

АКАДЕМИЯ НАУК СССР

ent Duplicate
JOURNAL

ЖУРНАЛ
Fizicheskoi
ФИЗИЧЕСКОЙ
ХИМИИ

PT 2

ТОМ
XXXIV

1960

ВЫПУСК 7

ИЮЛЬ

ИЗДАТЕЛЬСТВО АКАДЕМИИ НАУК СССР
МОСКВА • 1960

ЖУРНАЛ ФИЗИЧЕСКОЙ ХИМИИ

Редакционная коллегия:

В. Я. АНОСОВ, К. В. АСТАХОВ, А. И. БРОДСКИЙ, Г. К. БОРЕСКОВ,
Я. И. ГЕРАСИМОВ, С. В. ГОРБАЧЕВ, Г. С. ЖДАНОВ,
Л. А. НИКОЛАЕВ, Н. Н. СЕМЕНОВ, А. Н. ТЕРЕНИН, А. Н. ФРУМКИН,
К. В. ЧМУТОВ

Главный редактор Я. И. ГЕРАСИМОВ

Заместители главного редактора: С. В. ГОРБАЧЕВ, К. В. ЧМУТОВ

Отв. секретарь Л. А. НИКОЛАЕВ

ЗАКОНОМЕРНОСТИ ЗАМЕЩЕНИЯ АТОМОВ ВОДОРОДА
В БЕНЗОЛЬНОМ ЯДРЕ АЛКИЛЬНЫМИ ГРУППАМИX. СООТНОШЕНИЕ МЕЖДУ КОНСТАНТАМИ СКОРОСТИ ОБРАЗОВАНИЯ
ИЗОПРОПИЛБЕНЗОЛОВ И УРАВНЕНИЯ СОСТАВА ПРОДУКТОВ
АЛКИЛИРОВАНИЯ ИЗОПРОПИЛБЕНЗОЛА ПРОПИЛЕНОМ В ПРИСУТСТВИИ
ХЛОРИСТОГО АЛЮМИНИЯЕ. П. Бабин, В. Г. Плюснин, М. И. Насакина
и Н. М. Родигин

Ранее [1] указывалось, что в присутствии хлористого алюминия реакция алкилирования бензола пропиленом является обратимо-последовательной, причем обратные реакции имеют место на первой, второй и четвертой ступенях. Исходя из этого, при алкилировании изопропилбензола пропиленом в присутствии хлористого алюминия следует ожидать образования бензола как продукта дезалкилирования изопропилбензола. В связи с этим представлялось интересным установить соотношение констант скорости прямой и обратной реакций в этом процессе, а также выяснить, будут ли соотношения между константами скорости реакции алкилирования бензола пропиленом соответствовать соотношению между константами скорости алкилирования изопропилбензола пропиленом. С этой целью было проведено исчерпывающее алкилирование изопропилбензола (d_4^{20} 0,8624; n_D^{20} 1,4910) пропиленом в присутствии хлористого алюминия. Согласно спектральному анализу использованный алкилбензол является 100%-ным изопропилбензолом.

Экспериментальная часть

Алкилирование изопропилбензола пропиленом проводилось в трех-портовом реакторе, снабженном обратным холодильником, барботером для подачи пропилена и шнековой мешалкой.

Перед началом каждого опыта в реактор пропускался сухой азот. После удаления воздуха из реактора в него засыпался предварительно взвешенный в ампуле безводный хлористый алюминий (0,03 моля на моль изопропилбензола) и заливался сухим изопропилбензолом. Пропилен перед подачей в реактор тщательно очищался от примесей спирта и воды. Скорость подачи пропилена поддерживалась на границе проскока, и она равна среднему 200—250 л/час на 1 кг изопропилбензола.

Полученные катализаты, совместно с комплексным слоем, тщательно промывались и после высушивания подвергались ректификации на колонне, эффективность в 30 теоретических тарелок. Состав алкилатов, полученных при различных молярных соотношениях пропилен — изопропилбензол, приведен в табл. 1.

В табл. 2 приведены физико-химические характеристики средних фракций, полученных при ректификации алкилатов.

Данные табл. 1 и 2 указывают, что среди продуктов алкилирования изопропилбензола при 60° находятся не только ди-, три- и тетраизопропилбензолы, но и бензол. Выходы последнего незначительны, но и его образование свидетельствует о наличии обратной реакции на первой ступени

49

M12813

8796

18.11

Таблица 1

Состав алкилатов *, полученных при алкилировании изопропилбензола пропиленом при 60° (вес. %)

n	n'	p ₀	p ₁	p ₂	p ₃	p ₄
0,047	1,047	12,7	52,4	21,3	—	—
0,069	1,069	11,3	54,8	23,3	—	—
0,079	1,079	13,5	48,3	28,3	—	—
0,126	1,126	12,4	46,6	31,7	—	—
0,171	1,171	11,8	44,4	33,1	—	—
0,179	1,179	11,0	43,9	35,6	—	—
0,297	1,297	7,8	38,9	37,9	—	—
0,371	1,371	5,9	39,0	40,5	—	—
0,486	1,486	4,2	33,4	48,0	11,4	—
0,605	1,605	3,7	28,3	50,1	14,8	—
0,683	1,683	2,8	25,0	46,2	—	—
0,724	1,724	2,3	24,2	52,3	13,4	—
0,825	1,825	1,8	19,4	51,8	16,3	—
0,921	1,921	2,4	16,2	52,9	26,1	—
1,049	2,049	1,9	13,0	52,6	21,4	—
1,282	2,282	0,4	6,8	45,9	35,4	—
1,553	2,553	0,1	2,3	33,4	51,5	—
1,769	2,769	0,1	0,4	19,5	70,4	—
2,037	3,037	0,3	—	4,3	83,7	—
2,176	3,176	0,1	—	0,1	83,5	12,3
2,398	3,398	0,2	—	0,1	71,0	23,6
2,631	3,631	—	0,1	0,2	61,3	34,3

* n — молярное соотношение пропилен — изопропилбензол;

n' — молярное соотношение пропилен — бензол;

p₀ — содержание бензола в вес. %;p₁₋₄ — содержание моно-, ди-, три- и тетраизопропилбензолов в вес. %.

Таблица 2

Характеристика фракций алкилатов

Фракции	Т. кип., °C	d ₄ ²⁰	n _D ²⁰	Йодное число по Гюбле	Точка плавления, °C	Содержание, %*			
						Изопропил-бензол	Диизопропил-бензол		1,3,5-триизопропилбензол
							1,3-изо-мер	1,4-изо-мер	
Бензол	80—81	0,8786	1,5017	Нет	—	—	—	—	—
Изопропилбензол	148—152	0,8624	1,4920	»	—	100	—	—	—
Диизопропилбензол	198—212	0,8500	1,4892	»	—	—	65,0	35,0	—
Триизопропилбензол	225—235	0,8555	1,4891	»	—	—	—	—	100
Тетраизопропилбензол	—	—	—	»	117—118	—	—	—	—

* Данные получены методом комбинационного рассеяния света И. А. Алексеевой и Г. А. Семерновой.

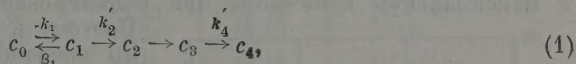
реакции. Таким образом, даже при интенсивной подаче пропилена дезалкилирование изопропилбензола протекает настолько значительно, что в алкилатах при низких значениях n, молярного отношения пропилен — изопропилбензол, остается свободный бензол.

Образование бензола при дезалкилировании изопропилбензола с хлористым алюминием показано в ряде работ [1—6]. Образующиеся при этом

алкилаты являются по своему составу равновесными [1—3]. Их состав зависит только от соотношения алкильных радикалов к бензольному ядру и каталитических свойств использованного катализатора. Приведенная зависимость подтверждена во многих работах [7—12].

Если при алкилировании изопропилбензола пропиленом с фтористым водородом не наблюдается образования бензола [8], что подтверждает выводы [1], то пропилирование изопропилбензола с хлористым алюминием даже при 20° сопровождается образованием бензола [12].

Учитывая обратную реакцию при пропилировании, можно представить реакцию алкилирования протекающей по схеме:



где k_i — константы прямых реакций, β_1 — константа обратной реакции; $i = 1, 2, 3$ и 4.

Следует иметь в виду, что схема (1) получена по экспериментальным данным, в действительности же, как указывалось ранее [1], реакция идет по схеме:



При алкилировании изопропилбензола невозможно учесть количество образовавшихся алкилбензолов при дезалкилировании ди- и тетраизопропилбензолов, в силу чего в наблюдаемой схеме константы скорости k_2 и k_4' являются «обобщенными» константами прямой и обратной реакции, за исключением константы скорости образования триизопропилбензола k_3 , где обратной реакцией дезалкилирования триизопропилбензола практически можно пренебречь [1].

Обсуждение результатов

Полимерные продукты, вычисленные по уравнению баланса в вес. % очень незначительны, поэтому их величины практически не отражаются на опытных молярных отношениях пропилен—изопропилбензол n . Вследствие этого для определения соотношения между скоростными постоянными обратимо-последовательной реакции алкилирования изопропилбензола пропиленом в присутствии хлористого алюминия при 60° были использованы данные табл. 1.

Для выявления соотношения констант скорости образования алкилбензолов были использованы уравнения последовательных обратимых реакций [13]. Путем подбора постоянных a_i и b_i [13] было установлено, что наиболее близко опытные и расчетные данные сходятся при следующих соотношениях констант:

$$\beta_1 : k_1 : k_2' : k_3 : k_4', \text{ как } 0,38 : 1 : 0,20 : 0,065 : 0,003,$$

три

$$g_1 = 0,14 \text{ и } g_2 = 1,44.$$

При указанном соотношении скоростных постоянных уравнения состава имеют вид:

$$c_0 = 38(0,769e^{-0,14kt} - 0,769e^{-1,44kt}), \quad (4)$$

$$c_1 = 66,16e^{-0,14kt} - 33,85e^{-1,44kt},$$

$$c_2 = 20(9,066e^{-0,065kt} - 8,820e^{-1,44kt} + 0,246e^{-1,44kt}),$$

$$c_3 = 1,3(80,38e^{-0,002kt} - 143,9e^{-0,065kt} + 64,38e^{-0,14kt} - 0,171e^{-1,44kt}),$$

$$c_4 = 100 - \sum_{c_0}^{c_3} c_i.$$

Исходя из

$$n' = \frac{1c_1 + 2c_2 + 3c_3 + 4c_4}{100}, \quad (5)$$

пользуясь уравнениями состава (4), можно найти зависимость n' от kt :

$$n' = 4 - 1,045e^{-0,003kt} + 1,756e^{-0,065kt} - 0,463e^{-0,14kt} + 2,088e^{-1,44kt}. \quad (6)$$

Полученные по уравнению (6) значения n' на единицу больше опытных значений, что указывает на то, что исходным продуктом при алкилировании был взят изопропилбензол — алкилбензол, образующийся в максимальном количестве при алкилировании бензола при $n = 1$.

Поэтому в таблицах и рисунках даны значения n' больше опытных на единицу.

На рис. 1 и 2 приведены рассчитанные кривые зависимости молярного и весового составов от молярного соотношения n' пропилен — бензол. На рис. 2 нанесены экспериментальные точки из табл. 1. Как видно из приведенного рисунка, отклонения опытных точек от теоретических кривых невелики, и можно считать, что соотношения скоростных постоянных подобраны правильно.

При алкилировании бензола пропиленом в присутствии хлористого алюминия было установлено соотношение между константами скорости образования алкилбензолов $k'_1 : k'_2 : k'_3 : k'_4$, как $1 : 0,58 : 0,24 : 0,015$ [11, 14]. Следует отметить, что в этом соотношении k'_1 представляет «обобщенную» константу, в которой константа скорости прямой реакции алкилирования бензола пропиленом превышает константу скорости обратной

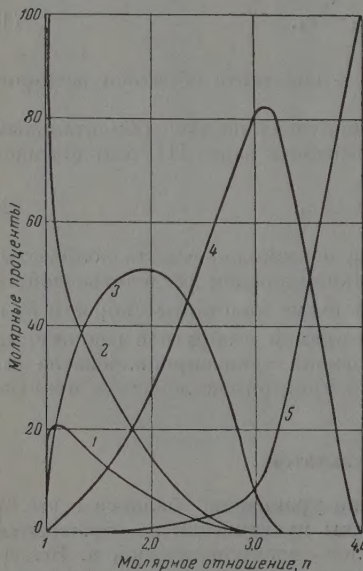


Рис. 1. Молярный состав системы при различных молярных соотношениях

реакции образования бензола из изопропилбензола. В соотношении же констант скорости образования алкилбензолов при алкилировании изопропилбензола k_1 представляет константу скорости только прямой реакции образования изопропилбензола из бензола. В связи с тем, что в том и другом соотношении k_1 принята за единицу, понятно, почему соотношения констант скорости при алкилировании бензола и изопропилбензола пропиленом получены различные.

Правильность установленных соотношений как к «обобщенной» константе, так и к константе только прямой реакции может быть проверена по уравнениям состава с указанными выше соотношениями констант скорости. В случае правильно установленных соотношений система бензол — пропилен и система изопропилбензол — пропилен не должны существенно отличаться при таких молярных соотношениях n , при которых в той и другой системе отсутствует бензол. Начиная с этого молярного соотношения и выше, в табл. 3 приводятся результаты расчета состава систем по уравнениям (4) с соотношениями констант скорости $0,38 : 1 : 0,20 : 0,065 : 0,003$ и по уравнениям, приведенным ранее [11, 14] при соотношении констант скорости $1 : 0,58 : 0,24 : 0,015$.

Из табл. 3 видно, что действительно расхождения в составах, рассчитанных по тем и другим уравнениям, невелики.

Таблица 3

Состав системы при $n > 2,5$

n	c_2	c_3	c_4	Вычислено по уравнениям
2,70 {	29,07	65,13	3,57	[11, 14]
	30,58	62,64	4,10	(4)
2,85 {	19,15	74,49	5,65	[11, 14]
	19,48	73,57	6,01	(4)
3,10 {	4,66	82,40	19,95	[11, 14]
	9,41	71,32	19,10	(4)
3,20 {	—	80,41	19,52	[11, 14]
	—	77,13	22,60	(4)

Последнее дает основание считать, что в том и другом случае соотношения между константами скорости установлены правильно. Кроме того,

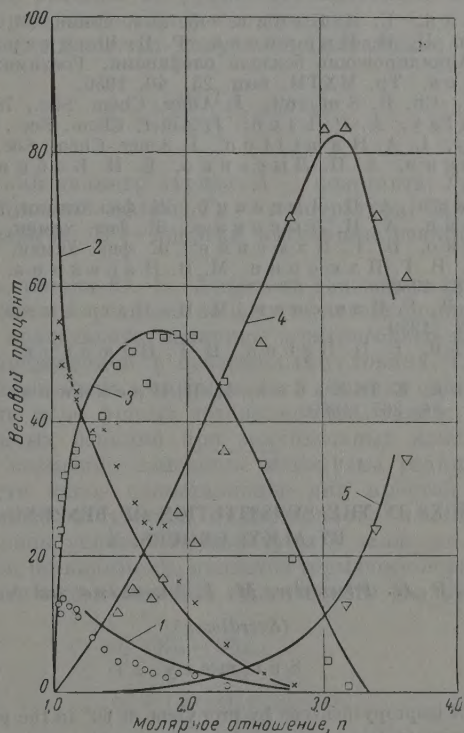


Рис. 2. Весовой состав системы при различных молярных отношениях. Экспериментальные точки: 1 — бензол; 2 — изопропилбензол; 3 — диизопропилбензол; 4 — триизопропилбензол; 5 — тетраизопропилбензол

уравнения состава системы [11, 14] применимы для расчета систем обратимо-последовательной реакции при условии исчезновения продукта, образующегося в результате обратимой реакции.

Выводы

1. Показано, что в присутствии хлористого алюминия при 60° процесс алкилирования изопропилбензола пропиленом сопровождается обратной реакцией с образованием бензола.

2. На основании кинетических уравнений обратимо-последовательной реакции найдены соотношения скоростных постоянных реакции алкилирования изопропилбензола пропиленом в присутствии хлористого алюминия при 60°. Найденные соотношения скоростных постоянных $\beta_1 : k_1 : k'_2 : k_3 : k'_4$ соответствуют 0,38 : 1 : 0,20 : 0,065 : 0,003.

3. Показано, что найденные соотношения констант скорости обратимо-последовательной реакции близки к соотношениям констант скорости последовательной реакции алкилирования бензола пропиленом в аналогичных условиях.

Уральский филиал Академии наук СССР
Институт химии
Свердловск

Поступила
25.IV.1957

ЛИТЕРАТУРА

1. В. Г. Плюснин, Е. П. Бабин, Ж. физ. химии, 34, 78, 1960.
2. М. А. Далин, П. И. Маркосов, Р. И. Шендерова, Т. В. Прокофьева, Алкилирование бензола олефинами, Госхимиздат, М., 1957.
3. Н. Н. Лебедев, Тр. МХТМ, вып. 23, 40, 1956.
4. H. C. Brown, Ch. R. Smoot, J. Amer. Chem. Soc., 78, 2176, 1956.
5. D. A. McCaulay, A. P. Lien, J. Amer. Chem. Soc., 75, 2411, 1953.
6. R. E. Kinney, L. A. Hamilton, J. Amer. Chem. Soc., 76, 786, 1954.
7. В. Г. Плюснин, А. П. Лысенко, Е. П. Бабин, Ж. физ. химии, 31, 2229, 1957.
8. В. Г. Плюснин, А. П. Лысенко, Ж. физ. химии, 31, 2464, 1957.
9. В. Г. Плюснин, А. П. Лысенко, Ж. физ. химии, 32, 1262, 1958.
10. А. П. Лысенко, В. Г. Плюснин, Ж. физ. химии, 32, 1074, 1958.
11. Е. П. Бабин, В. Г. Плюснин, М. И. Насакина, Изв. Сиб. отд. АН СССР, № 11, 28, 1958.
12. Е. П. Бабин, В. Г. Плюснин, М. И. Насакина, Изв. Сиб. отд. АН СССР, № 1, 72, 1959.
13. Н. М. Родигин, Е. П. Бабин, В. Г. Плюснин, Ж. физ. химии, 34, 966, 1960.
14. В. Г. Плюснин, Е. П. Бабин, М. И. Насакина, Н. М. Родигин, Ж. физ. химии, 34, 267, 1960.

CORRELATIONS IN THE SUBSTITUTION OF BENZENE HYDROGEN BY ALKYL GROUPS. X

E. P. Babin, V. G. Plusnin, M. I. Nasakina and N. M. Rodigin

(Sverdlovsk)

Summary

The alkylation of isopropylbenzene by propylene at 60° in the presence of aluminum chloride has been shown to be accompanied by the reverse reaction with the formation of benzene. On the basis of the kinetic equations for a consecutive reversible reaction the ratios of the rate constants of the alkylation reaction at the above temperature have been calculated. They have been found equal to $\beta_1 : k_1 : k'_2 : k_3 : k'_4 = 0.38 : 1 : 0.20 : 0.065 : 0.003$. These values of the rate constants for the consecutive reversible reaction have been shown to be close to those for the consecutive alkylation of benzene under analogous conditions.

КРИТИЧЕСКИЙ ДИАМЕТР И СКОРОСТЬ ДЕТОНАЦИИ ЖИДКИХ РАСТВОРОВ ОЗОНА

*Е. И. Грибова, С. А. Каменеукая, А. В. Панкратов,
А. Я. Анин и С. Я. Пшежецкий*

Существенной характеристикой взрывчатого вещества является его критический диаметр. Согласно Ю. Б. Харитону [1] критическим диаметром взрывчатого вещества является минимальный диаметр цилиндрического заряда, при котором еще происходит устойчивая детонация с неизменной скоростью. Величина критического диаметра заряда пропорциональна продолжительности реакции во фронте детонационной волны; последняя же обратно пропорциональна скорости реакции.

Для критического диаметра получается выражение

$$d_k = \frac{AR \cdot T_E^2}{ET_e} e^{E/RT_E}, \quad (1)$$

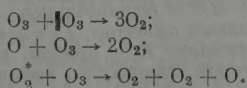
где d_k — критический диаметр заряда; A — константа; T_E — температура во фронте детонационной волны; T_e — температура, близкая к температуре продуктов взрыва; E — энергия активации реакции; R — газовая постоянная.

Таким образом, теория Ю. Б. Харитона связывает процесс детонации с кинетикой химической реакции во фронте детонационной волны. Представляет интерес сопоставить величины критического диаметра с кинетикой реакции, определенной в невзрывных условиях. Такое сопоставление, однако, возможно лишь, если механизм реакции одинаков в условиях медленной реакции и во фронте детонационной волны.

В случае сложных реакций при значительных изменениях температуры и давления возможно изменение механизма реакции. Поэтому существенно провести такое сопоставление для простой реакции, когда можно предположить отсутствие существенного изменения механизма реакции с изменением условий температуры и давления.

Такой реакцией, по-видимому, является термическое разложение озона.

Основные элементарные реакции термического разложения озона следующие:



В зависимости от условий, по-видимому, может лишь меняться соотношение между этими элементарными реакциями. Поэтому можно предположить, что основные величины, определяющие кинетику этой реакции, в частности энергия активации во фронте детонационной волны, будут теми же, что и при медленном термическом распаде или воспламенении озона в газовой фазе [2—4].

Измерение критических диаметров детонации смесей озона с различными веществами также может дать данные, интересные для сопоставления вытекающей из теории критических диаметров зависимости между

диаметром и кинетикой реакции. Смеси взрывчатых и инертных веществ рассматриваются Ю. Б. Харитоновым как взрывчатые вещества с пониженной теплотой взрыва и температурой во фронте детонационной волны T_E . Уменьшение T_E влечет за собой уменьшение скорости реакции, т. е. увеличение длительности реакции и, следовательно, критического диаметра. Если весовая доля взрывчатого вещества в смеси равна α , то в предположении $T'_E = \alpha T_E$ и $T'_e = \alpha T'_e$ где T'_E и T'_e относятся к смеси, получается следующее выражение для критического диаметра смеси:

$$d'_k = d_k \cdot \alpha \cdot e^{E/RT_E \left(\frac{1-\alpha}{\alpha} \right)}, \quad (2)$$

где d_k — критический диаметр чистого взрывчатого вещества.

Экспериментальная часть

Методика. Методика определения величины критического диаметра состояла в установлении наличия непрерывного следа детонации на латунных пластинках прикрепленных к цилиндрическим зарядам жидкого озона или растворов озона.

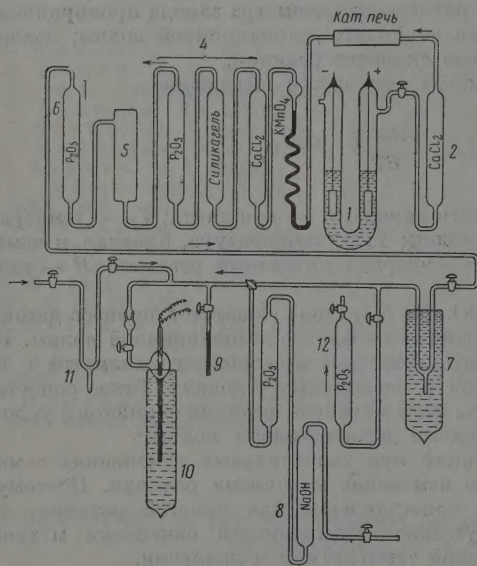


Рис. 1

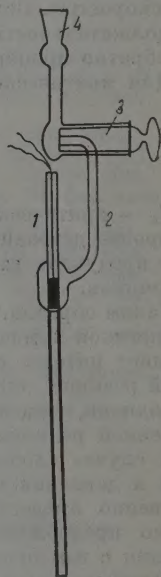


Рис. 2

Рис. 1. Схема установки: 1 — электролизер; 2 — хлоркальциевая трубка; 3 — трубка с палладиевым катализатором; 4, 6 — осушительная система (колонны с CaCl_2 и силикагелем, P_2O_5); 5 — стеклянный озонатор; 7 — ловушка для конденсации озона; 8 — колонка с NaOH ; 9 — приемник; 10 — прибор, в котором производился подрыв; 11 — ловушка, в которой помещались вещества, добавляемые к озону.

Рис. 2. Прибор для проведения подрыва: 1 — трубка для азида свинца; 2 — трубка для ввода озона и добавок; 3 — вакуумный кран; 4 — шпиф.

Оболочки, в которые помещался жидкий озон, представляли собой стеклянные трубки с толщиной стенок 0,5 мм. Длина заполненной части в случае чистого озона составляла 15 см; в случае растворов озона 10—15 и 25—30 см (толщины стенок 1,5—2 мм). Заполненная жидкостью трубка помещалась в стальной стакан диаметром 50 мм или в стеклянный стакан диаметром 100 мм, которые были заполнены жидким кислородом.

В связи с этим в величины критических диаметров следовало бы ввести поправки учитывающие наличие стеклянной оболочки и окружающего ее слоя жидкого кисло-

да. Величины этих поправок могут быть оценены на основании правила эквивалентности А. Ф. Беляева [5], согласно которому применение инертной обложки эквивалентно увеличению диаметра заряда. Однако в работе производится относительное сопоставление критических диаметров для различных смесей, испытанных в одинаковых ловушках. Величины же поправок имеют порядок неточности определения основных величин, поэтому учет их нецелесообразен.

Подрыв жидкого озона и его растворов производили при помощи заряда азидо-инициатора 0,2 ÷ 0,3 г или капсулем-детонатором № 8 (азидо-теновый). В некоторых испытаниях применяли добавочный инициатор — гексогеновая шашка, плотностью 3 г/см³ и весом 7 г. Заполнение стеклянных трубок жидким озоном или его растворами производили в вакуумной установке, представленной на рис. 1. Кислород, полученный электролизом воды, проходил через медный катализатор 3, где освобождался от следов водорода, после чего проходил через промывалки и сушилки. Очищенный, сухой кислород поступал в стеклянные озонаторы 5 типа Сименса; из озонаторов смесь озона с кислородом, через колонку 6 с P_2O_5 , поступала на конденсацию 7. Несконденсированный кислород выходил в воздух через колонку 12 с P_2O_5 . Сконденсированный озон освобождался от кислорода длительной откачкой вакуумным насосом, который был соединен с ловушкой 7 рез колонки 8 с P_2O_5 и $NaOH$. Озон из ловушки 7 регонялся в приемник 9 в количестве, необходимом для опыта.

Прибор 10, в котором производили подрывы, представлен на рис. 2. Трубка, в которой производили подрыв, в верхней части имела расширение, в которое были введены две трубки — одна для азидо свинца 1 и другая для ввода озона и добавок; последнюю соединяли через вакуумный кран 3 и шлиф 4 с вакуумной установкой. В начале опыта установка откачивалась, затем обрабатывалась газообразным озоном. В ловушку 11 помещали вещества, добавляемые к озоном. Дозировка состава раствора озона с другими веществами производилась по объему при помощи катетометра. После приготовления раствора заданного состава кран на приборе 10 перекрывали, закрытый прибор отсоединяли от установки и переносили в сосуд с кислородом, где производили подрыв. При определении состава плотность жидкого озона принималась равной 1,57 при $-183^\circ C$ [6]. В качестве смазки применяли фторированные углеводороды, которые, как было установлено, не взаимодействовали с озоном и именывались разбавителями.

Разбавители жидкого озона. Представляло интерес применить в качестве разбавителей озона вещества с различными молекулярным весом и числом атомов в молекуле для того, чтобы выяснить, имеют ли значение такие различия в свойствах разбавителей или для критического диаметра устойчивой детонации имеет значение лишь доля взрывчатого вещества в смеси. Естественно, что разбавители должны хорошо растворять озон и не взаимодействовать с ним химически. Для разведения жидкого озона применяли кислород и четырехфтористый углерод.

CF_4 (т. кип. — 128° ; $d = 1,96$) получался при взаимодействии газообразного фтора с водой. Растворы были однородными.

Опыты с разбавлением кислородом. Подрывы озон-кислородных растворов производили в стеклянных трубках разных диаметров. Длина полной раствором части трубки составляла ~ 300 мм. В качестве инициаторов применяли азидо-теновую капсулю-детонатор и гексогеновую шашку весом 2 г. Прохождение детонации определяли по следу на латунных пластинках толщиной 0,4 мм и шириной 30—40 мм, прикрепляемых к стеклянной трубке, или по детонации медных трубок, надеваемых на стеклянную трубку с озон-кислородным раствором.

Схема прибора для конденсации и подрыва представлена на рис. 3. В верхний конец змеевика 2 поступала газообразная озон-кислородная смесь из озонаторов, конденсировалась в змеевике и переливалась под давлением поступающего газа во взрывную трубку 1. Для устранения неоднородности состава жидкости раствор перемешивали продуванием газообразного кислорода. Кислород подавали в нижнюю часть взрывной трубки через стеклянную трубку 3. Состав озон-кислородной смеси определяли ареометрическим методом. Вес ареометров подбирали так, чтобы они плавали в растворе заданной концентрации до метки.

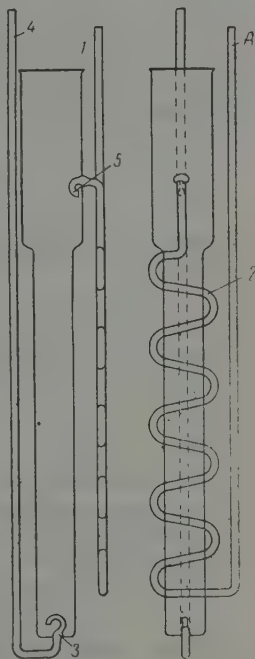


Рис. 3 Схема прибора конденсации и подрыва озон-кислородных растворов: 1 — взрывная трубка; 2 — змеевик

Экспериментальные данные

1. Критический диаметр детонации жидкого озона. Подрыв жидкого озона, содержащего 2—4% кислорода, производился в капиллярах различного диаметра с толщиной стенок 0,5 мм. Детонация жидкого озона происходит еще при диаметрах заряда около 0,15 мм. По-видимому, критический диаметр для жидкого озона несколько меньше 0,15 мм; а это означает, что жидкий озон следует отнести к классу высокочувствительных, инициирующих взрывчатых веществ.

2. Растворы озона и кислорода. Подрывы 33%-ных озono-кислородных растворов производились в стеклянных трубках диаметром 19 ÷ 38 мм. Длина заполненной раствором части трубки составляла 300 мм.

Таблица 1

Растворы, содержащие 37—40% озона

Концентрация озона в кислороде, вес. %	Внутренний диаметр стеклянной трубки, мм	Инициатор	Результаты опыта
37,4	20	к/д № 8	Детонация не прошла
37,4	20	к/д № 8 + пашка	То же
37,4	30	к/д № 8	» »
40,2	20	к/д № 8	Детонация началась и затухла

Часть опытов проведена в стеклянных трубках, помещенных в медные или латунные трубки с толщиной стенок 2,5 и 6 мм.

Во всех случаях подрыва 33%-ных растворов в трубках диаметром до 38 мм детонация не имела места.

Таблица 2

Таблица 3

Растворы, содержащие 47% озона

Внутренний диаметр стеклянной трубки, мм	Инициатор	Результаты опыта	Содержание озона, вес. %	Критический диаметр, мм
22	к/д № 8	Детонация прошла	32	>100
22	То же	То же	37	>30
20	»	» »	47	<4,5
10	»	» »	58	<0,9
4,5	»	» »	96	<0,15

Растворы, содержащие 58% озона, исследовались с количествами озона до 2 г. Подрыв трубок с раствором, длина которых составляла около 10 см, производился от заряда азида свинца весом 0,2 г. Стеклянная трубка с озono-кислородным раствором подрывалась в стальном сосуде, заполненном жидким кислородом. След детонации фиксировался на латунных пластинках.

58%-ный раствор озона детонирует в трубках диаметром 1,58; 1,24 и 0,9 мм.

Полученные данные позволяют приближенно оценить величину критических диаметров озono-кислородных растворов различного состава. Эти данные приведены в табл. 3.

3. Передача детонации в озono-кислородных растворах переменного состава. Представляет интерес исследование

передачи детонации через слой жидкости, не детонирующей в данных условиях. Такую возможность создает образование неоднородных по концентрации озono-кислородных растворов в отсутствие перемешивания. Такие опыты проводили в стеклянных трубках, помещенных в металлическую оболочку. В нижней части трубки находился раствор, содержащий 40-60% озона, в верхней — около 10%. Таким образом, капсюль-детонатор отделяли от концентрированного раствора слоем не детонирующей в данных диаметрах раствора толщиной около 180 мм. Результаты опытов с растворами переменного состава приведены в табл. 4.

Таблица 4

Таким образом, во всех случаях детонация передавалась в нижний слой раствора. По чувствительности к удару на копке типа Веллера растворы, содержащие около 58 вес. % озона, близки к нитроглицерину.

4. Растворы озона и четырехфтористого углерода. Растворы озона и четырехфтористого углерода, содержащие 45 до 50% озона, исследовались в стеклянных оболочках толщиной 0,5 мм. Подрыв производился от заряда азида свинца весом 0,2 г. Результаты приведены в табл. 5.

Таблица 5

Состав раствора, вес. %		Диаметр заряда, мм	Результаты опыта
O ₃	CF ₄		
50	50	1,8	Детонация прошла
50	50	1,0	Детонация затухла
47	53	1,8	Слабый след детонации
55	45	1,0	Детонация затухла
45	55	1,8	Детонация прошла

Обсуждение результатов

Результаты всех опытов представлены графически на рис. 4. Кривая рассчитана по уравнению (2). Для вычисления были приняты следующие данные: $E = 24000$ кал/моль, согласно [3] и [4], $T_E = 3000^\circ$ К (теоретическая температура горения озона) и $d_{кр} = 0,15$ мм для чистого озона. Качественно α принималась весовая доля озона в растворе. Расчет, естественно, является приближенным.

На рис. 4 значками обозначены соответствующие значения диаметра заряда против состава для различных смесей по данным, приведенным в табл. 1, 2, 4 и 5. Зачерненные значки соответствуют прохождению детонации, наполовину зачерненные — затуханию, не зачерненные — отсутствию детонации. Как видно на рисунке, рассчитанная кривая довольно четко отделяет область концентрации растворов озона, в которой происходит детонация от области концентрации, в которой детонация не проходит. Спонтанный характер зависимости критического диаметра детонации от количества озона также согласуется с положением экспериментальных значений, полученных для различных веществ.

Из полученных данных следует, что величина критического диаметра детонации d_k в основном определяется весовой долей взрывчатого вещества, как это следует из уравнения (2).

Возможно, что существуют некоторые различия для разбавителей, различающихся между собой молекулярным весом и числом атомов в мо-

лекуле. Однако полученные экспериментальные данные не позволяют достаточной определенностью установить эти различия. Следует учитывать также, что при взрыве возможно частичное разложение разбавляющих веществ, влияющее на температуру взрыва.

Приведенное сопоставление указывает на то, что уравнения теории критического диаметра (1) и (2) в основном правильно передают зависимость между детонационными свойствами жидкого озона и кинетики

его термического распада. Отсюда также следует, что взрывные свойства жидкого озона обусловлены закономерностями кинетики его распада.

Исследование скорости детонации озono-кислородных растворов. Определенные скорости детонации производились

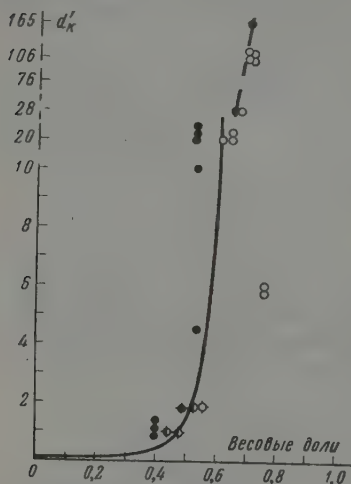


Рис. 4

Рис. 4. Зависимость критического диаметра заряда от содержания разбавителя озонном растворе. \circ — кислород; \square — четырехфтористый углерод. Зачерненные значки соответствуют прохождению детонации, светлые — детонация не прошла наполовину зачерненные — детонация началась и затухла

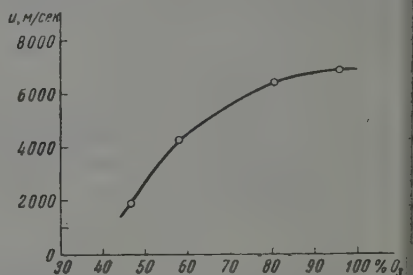


Рис. 5

Рис. 5. Зависимость скорости прохождения детонации в озono-кислородных растворах от содержания озона

фотографическим методом. Свечение от детонации заряда озono-кислородных растворов фиксировалось при помощи фоторегистра на светочувствительной киноплёнке. Вычисление скорости детонации производилось по углу наклона следа детонации заряда на плёнке.

Была измерена скорость детонации озono-кислородных растворов, содержащих 47, 60, 80 и 96 вес.% озона. Растворы, содержащие 47 и 60% озона, готовились конденсацией газообразной озono-кислородной смеси, поступающей из озонатора. Растворы, содержащие 80% озона, готовились испарением кислорода из 50%-ных растворов. Измерение скорости детонации в растворах, содержащих 47 и 80% озона, проводилось в стеклянных трубках диаметром 15–18 мм. Длина заряда составляла 250–300 мм, подрыв производился капсюлем-детонатором.

Измерение скорости прохождения детонации озono-кислородного раствора, содержащего 96% озона, проводилось в стеклянной трубке диаметром 2 мм и длиной заряда 10 см. Подрыв производился проволоочкой накаливания.

Таблица 6

Содержание озона в растворе, вес. %	Средняя скорость детонации, м/сек
47	1840
60	4260
81	6'60
96	640

Результаты измерений приведены в табл. 6 и графически представлены на рис. 5.

Из приведенных данных видно, что скорость детонации озono-кислородных растворов не пропорциональна концентрации озона. При диаметре 0 мм в 37%-ном растворе детонация затухает.

Таким образом, скорость детонации в жидком 100%-ном озоне должна составлять около 7000 м/сек, что соответствует скорости детонации тротила примерно при той же плотности ($\approx 1,6$ г/см³).

Выводы

1. Исследование детонации жидкого озона и его растворов показывает, что детонационные свойства озона в основном определяются характером кинетики его распада, в особенности низким значением энергии активации и большим предэкспоненциальным множителем.

2. Установленная зависимость критического диаметра от состава растворов озона соответствует закономерности, даваемой теорией критического диаметра устойчивой детонации Ю. Б. Харитона.

Физико-химический ин-т
им. Л. Я. Карпова

Поступила
22 II 1958

ЛИТЕРАТУРА

- Ю. Б. Харитон, Вопросы теории взрывчатых веществ. О детонационной способности ВВ, Изд-во АН СССР вып. 1, 7, 1947.
А. В. Панкратов и С. Я. Пшежецкий, Ж. физ. химии, 32, 1605, 1958.
С. Я. Пшежецкий, Н. М. Морозов, С. А. Каменецкая, В. Н. Сирятская и Е. И. Грибова, Ж. физ. химии, 33, 2306, 1959.
С. А. Каменецкая и С. Я. Пшежецкий, Ж. физ. химии, 32, 1122, 1958.
А. Ф. Беляев, Вопросы теории взрывчатых веществ. Условия устойчивой детонации амселитровых ВВ, Изд-во АН СССР, вып. 1, 74, 1947.
Е. И. Грибова, С. А. Каменецкая, С. Я. Пшежецкий, Ж. неорганической химии, 3, 1061, 1958. С. Brown and K. Franson, J. Chem. Phys., 21, 917, 1953; A. C. Jenkins and F. S. Di Paolo, J. Chem. Phys., 25, 296, 1956.

THE CRITICAL DIAMETER AND THE EXPLOSION RATE OF LIQUID OZONE SOLUTIONS

*E. I. Gribova, S. A. Kamenetskaya, A. V. Pankrator, A. Ya. Apin,
S. Ya. Pshezhetskii (Moscow)*

Summary

An investigation of the explosion of liquid ozone and its solutions shows that the explosion properties are determined chiefly by the nature of the kinetics of ozone decomposition, in particular, by the low value for the activation energy and the large frequency factor. The relation found between the critical diameter and composition of the solutions is in conformity with the relationship that follows from Yu. B. Khariton's theory of the critical diameter of stable explosion.

ЭЛЕКТРОХИМИЧЕСКОЕ ИССЛЕДОВАНИЕ РАСТВОРОВ HCl В РАСТВОРИТЕЛЯХ С НЕВЫСОКОЙ ДИЭЛЕКТРИЧЕСКОЙ ПРОНИЦАЕМОСТЬЮ. II

Е. М. Рыжков и А. М. Сухотин

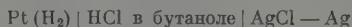
В предыдущей работе [1] была исследована электропроводность растворов хлористого водорода в бутаноле и его смесях с гексаном и рассчитаны значения констант диссоциации HCl в этих смесях. Для растворов в чистом бутаноле такой расчет произвести невозможно. В связи с этим оказалось полезным дополнить кондуктометрические данные результатами измерения э. д. с. элемента $Pt(H_2) | HCl$ в бутаноле $| AgCl - Ag$.

Имеется много работ, которые посвящены изучению э. д. с. элемента $Pt(H_2) | \overset{HCl}{\text{раствор}} | AgCl - Ag$, содержащего растворы хлористого водорода в органических растворителях. В большинстве случаев изучались растворы в спиртах. Наиболее обстоятельное исследование спиртовых систем выполнено Н. А. Измайловым и В. В. Александровым [2]. В этой работе была приведена и достаточно полная библиография, которая сейчас может быть дополнена рядом новых работ [3—11].

Основные затруднения потенциометрических исследований связаны с выбором метода определения разности стандартных потенциалов и коэффициентов активности растворенного вещества. Анализ этой проблемы для растворов с низкой диэлектрической проницаемостью был дан А. М. Сухотиным и З. Н. Тимофеевой [12]. В настоящей работе разобран пример системы со средним значением диэлектрической проницаемости.

Экспериментальная часть

Измерение электродвижущей силы элемента:



производилось компенсационным методом при помощи потенциометра типа ППТВ-1, перед входом которого был включен ламповый усилитель типа ЛУ-2. Стрелочный гальванометр прибора ЛУ-2 был заменен зеркальным гальванометром типа М-21. Ток для питания ЛУ-2 предварительно стабилизировался феррорезонансным стабилизатором. Чувствительность схемы была равна 0,01 mV.

Измерительная ячейка (рис. 1) состояла из двух водородных 2 и двух хлорсеребряных 1 электродов. Электродные пространства были разделены стеклянными фильтрами. Хлорсеребряные электроды готовились термическим способом [13].

Для работы отбирались электроды, разность потенциалов которых в 0,1*N* растворе HCl в бутаноле не превышала 0,1 mV.

Ячейка помещалась в водяной термостат, имевший температуру $25,00 \pm 0,01^\circ$. Растворы HCl в бутаноле готовились описанным ранее методом [1] с той разницей, что бутанол перед пропусканьем HCl освобождался от растворенного воздуха продувкой водородом. Для очистки от следов кислорода, влаги и сернистых соединений водород из баллона пропускался над нагретым до 400° платинированным асбестом и барботировался через 8%-ный раствор плюмбита натрия в 20%-ной NaOH и крепкую серную кислоту, после чего пропускался через слой твердой щелочи и стеклянной ваты.

Ампула с раствором HCl и определенное количество бутанола помещались в смеситель, сифон которого был пришлифован к сосуду 3, рис. 1. После этого через пустую ячейку и сосуд длительно пропускался ток водорода. Проходя

рез сифон смесителя, водород вытеснял растворенный воздух из бутанола. Затем ампула разбивалась, и большая часть образовавшегося раствора HCl в атмосфере водорода передавливалась в сосуд 3. После этого для окончательной промывки системы снова включался ток водорода. Водород удалялся, проходя через пористый стеклянный фильтр сосуда 3. Давлением водорода раствор переводился в измерительную ячейку.

После окончания опыта пробы раствора из ячейки отбирались в ампулы для последующего контрольного титрования.

При исследовании концентрированных растворов хлористого водорода нельзя было применять обычный режим пропускания водорода через водородный электрод, так как это приводило к заметному уносу HCl даже при наличии на линии подачи водорода соответствующих сатураторов. В этом случае осуществлялась циркуляция водорода в системе при помощи устройства *a*, изображенного на рис. 1.

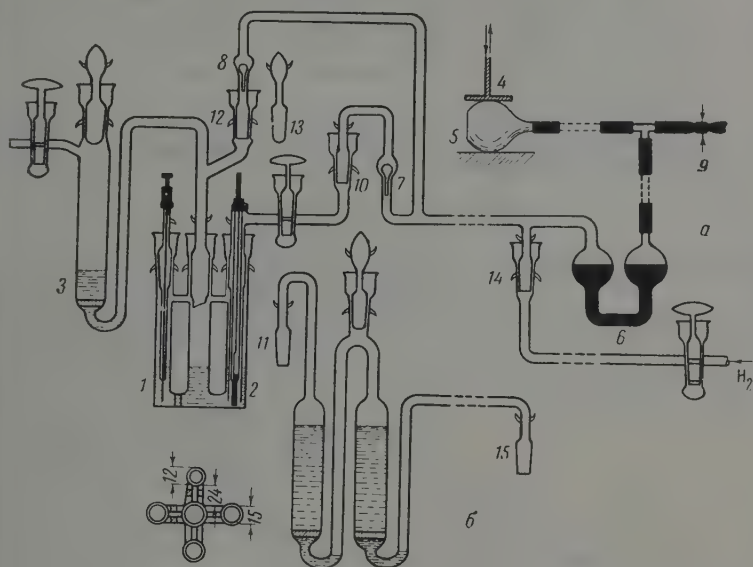


Рис. 1. Схема установки, использованной для измерения э. д. с. цепи $Pt(H_2) | HCl \text{ в бутаноле} | AgCl - Ag$

Механическое приспособление 4 автоматически производило периодическое сжатие пуши 5. Пульсирующее давление через ртутный затвор 6 передавалось водороду, причем система стеклянных клапанов 7 и 8 обеспечивала периодическое пробуждение водорода через боковые отверстия водородных электродов и циркуляцию его. Кран на линии подачи водорода был при этом закрыт. Регулировка интенсивности циркуляции производилась зажимом 9.

Для предотвращения попадания атмосферного кислорода все краны и шлифы закрывались бутанолом, и в системе поддерживалось небольшое избыточное давление водорода, которое могло быть ориентировочно оценено по разности уровней раствора в коленях сосуда 3. Вообще следует отметить, что полное исключение кислорода является залогом получения воспроизводимых результатов.

При изучении не очень концентрированных растворов HCl устройство *a* заменялось сатуратором 6, содержащим исследуемый раствор. В этом случае шлиф 10 закрывался шлифом 11, шлиф 12 — пробкой 13 и шлиф 14 — шлифом 15. Водород, выходя через сатураторы, снабженные стеклянными фильтрами, насыщался парами раствора и не изменял состава раствора в ячейке.

Постоянное значение э. д. с. в наших опытах устанавливалось в течение нескольких часов. Точность измерений и их воспроизводимость были не менее 0,2 mV.

Результаты измерений э. д. с. представлены в таблице и на рис. 2. Данные исправлены на атмосферное давление и на упругость пара раствора HCl в бутаноле. Упругость пара над растворами HCl в бутаноле изме-

Электродвижущая сила цепи $(\text{H}_2) \text{ Pt} | \text{HCl}$ в бутаноле $| \text{AgCl} - \text{Ag}$
 степень диссоциации и средний ионный коэффициент активности
 для растворов хлористого водорода в *n*-бутаноле, 25°

$c \cdot 10^3$	E, V	α	f_{\pm}	$c \cdot 10^3$	E, V	α	f_{\pm}
4150	-0,0856			18,5	0,1123	0,535	0,700
2680	-0,0472			9,71	0,1326	0,575	(0,835)
1580	-0,0202			5,44	0,1515	0,630	(0,94)
900	-0,0029			2,22	0,1866	0,770	(0,96)
311	0,0382	0,475	0,202	0,3265	0,2676		
298	0,0390	0,465	0,212	0,246	0,2828		
123,5	0,0613	0,465	0,325	0,1455	0,3123		
80,0	0,0723	0,465	0,406	0,1313	0,3131		
56,0	0,0808	0,450	0,506				

рялась статическим методом, предложенным Н. А. Купиной и А. А. Равделем [14]. Для наиболее крепких растворов поправка на упругость пара раствора не превышала 1 mV.

Обсуждение результатов

Для определения константы диссоциации хлористого водорода в чистом бутаноле уже нельзя пользоваться законом разбавления Оствальда, как это было сделано в случае раствора HCl в смесях бутанола с гексаном. Для

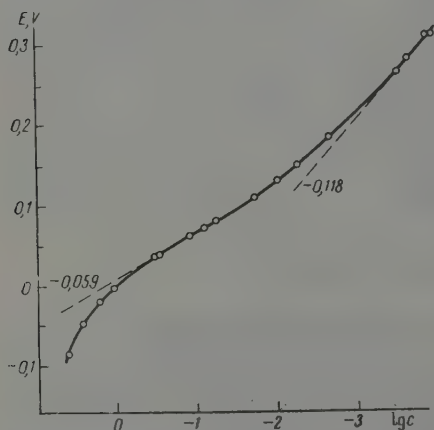


Рис. 2. Электродвижущая сила цепи $\text{Pt}(\text{H}_2) | \text{HCl}$ в бутаноле $| \text{AgCl} - \text{Ag}$, 25°

этой цели можно попытаться использовать полученные данные по э. д. с. цепи $\text{Pt}(\text{H}_2) | \text{HCl}$ в бутаноле $| \text{AgCl} - \text{Ag}$. Электродвижущая сила такого элемента равна

$$E = E^0 - \frac{2RT}{F} \ln c - \frac{2RT}{F} \ln \alpha f_{\pm} \quad (1)$$

где f_{\pm} — средний ионный коэффициент активности. Используя выражение для термодинамической константы диссоциации

$$K_d = \frac{\alpha^2 c f_{\pm}^2}{(1 - \alpha) f_{\text{HCl}}}, \quad (2)$$

можно вместо уравнения (1) написать тождественное выражение:

$$E = E^0 - \frac{RT}{F} \ln c - \frac{RT}{F} \ln (1 - \alpha) f_{\text{HCl}}, \quad (3)$$

где f_{HCl} — коэффициент активности недиссоциированной части электролита. Разности стандартных потенциалов E^0 и E^0' связаны друг с другом соотношением

$$E^0 = E^0' + \frac{RT}{F} \ln K_d \quad (4)$$

Согласно уравнению (1), в области малых концентраций, когда $\alpha \approx 1$, $f_{\pm} \approx 1$, зависимость E от $\lg c$ должна представлять собой прямую, имеющую наклон $-0,118$. Опыт показывает, что при $c < 3 \cdot 10^{-4} \text{ M}$ указан

я линейная зависимость действительно осуществляется, причем наклон прямой в точности совпадает с теоретической величиной (рис. 2).

Экстраполируя эту прямую на $\lg c = 0$, можно найти значение $E^0 = -0,1430$ V. Эта величина довольно сильно отличается от значения 0,132 V, найденного Н. А. Измайловым и В. В. Александровым путем экстраполяции данных, относящихся к более концентрированным растворам. Такое расхождение свидетельствует о неудовлетворительности существующих способов экстраполяции данных по э. д. с., основанных на оценке коэффициентов активности по модифицированным формулам теории Дебая — Хюккеля. Надежные значения E^0 для систем со средней диэлектрической проницаемостью, по-видимому, могут быть получены только при помощи данных для очень разбавленных растворов.

В области средних концентраций на кривой $E - \lg c$ имеется еще один линейный участок с наклоном, равным $-0,059$. Уравнение (3) показывает, что такому участку должно соответствовать неизменное значение степени диссоциации и равенство $f_{\pm} = 1$. Степень диссоциации при этих концентрациях можно рассчитать по способу Шидловского [15] из данных по электропроводности растворов HCl в бутаноле [1]. Этот способ основан на применении теории Онзагера. В области прямолинейного участка на кривой рис. 2 рассчитанные значения α почти не изменяются с концентрацией, что в известной мере можно рассматривать как подтверждение расчета. Зная степень диссоциации HCl, легко по уравнению (3) вычислить величину $E^0 = -0,0085$ V и по уравнению (4) найти константу диссоциации, $K_d = 5 \cdot 10^{-3}$.

Теперь представляется возможным по уравнению (3) рассчитать степень диссоциации хлористого водорода в менее концентрированных растворах ($c < 5 \cdot 10^{-2}$), где метод Шидловского приводит к очень неточным результатам.

При помощи уравнения (1) или (2) можно получить средние ионные коэффициенты активности f_{\pm} при тех концентрациях, для которых известна степень диссоциации. Найденные значения f_{\pm} приведены в таблице и на рис. 3 представлены в виде функции от \sqrt{ac} . Прямая 1 на этом рисунке отвечает предельному закону Дебая — Хюккеля, кривая 2 — второму приближению этой теории при «среднем ионном диаметре», равном 6,6 Å. Оба варианта теории не подтверждаются экспериментом, что не вызывает удивления, так как диэлектрическая проницаемость бутанола достаточно мала.

При концентрациях, превышающих 0,5 M, кривая $E - \lg c$ начинает отклоняться от прямой (рис. 2), что, по-видимому, является следствием изменения коэффициента активности недиссоциированной части HCl. Опыт показывает, что упругость пара HCl над крепкими растворами быстро возрастает с ростом концентрации. Это свидетельствует об увеличении f_{\pm} . Ориентировочная оценка показала, что в 4,15 M растворе значение f_{\pm} близко к шести.

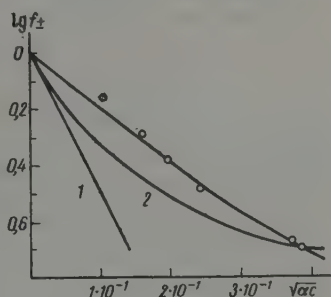


Рис. 3. Зависимость среднего ионного коэффициента активности HCl в бутаноле от ионной концентрации. 1 — предельный закон Дебая и Хюккеля; кривая 2 — второе приближение теории Дебая и Хюккеля ($a = 6,6$ Å)

Выводы

1. Измерена э. д. с. цепи $(\text{H}_2)\text{Pt}|\text{HCl}$ в бутаноле $|\text{AgCl} - \text{Ag}$ в области концентраций HCl от 10^{-4} до $4,15\text{ M}$ при 25° .

2. Из данных по электропроводности [1] и э. д. с. найдена константа диссоциации и средние ионные коэффициенты активности f_{\pm} для растворов HCl в бутаноле. Показано, что первое и второе приближения теории Дебая — Хюккеля не могут служить для описания зависимости f_{\pm} от концентрации в этой системе.

Государственный институт прикладной химии
Ленинград

Поступила
14.VI.1958

ЛИТЕРАТУРА

1. Е. М. Рыжков, А. М. Сухотин, Ж. физ. химии, 34, 762, 1960.
2. Н. А. Измайлов, В. В. Александров, Ж. физ. химии, 31, 2619, 1957.
3. H. Harned, D. Allen, J. Phys. Chem., 58, 191, 1954.
4. D. Feakins, C. M. French, J. Chem. Soc., 2284, 2581, 1957.
5. B. H. Claussen, C. M. French, Trans. Faraday Soc., 51, 708, 1124, 1955.
6. L. M. Mukherjee, J. Phys. Chem., 58, 1042, 1954; 60, 974, 1956.
7. Oyawa, J. Chem. Soc. Japan, Pure Chem. Soc., 75, 160, 1047, 1954.
8. D. H. Everett, S. E. Rasmussen, J. Chem. Soc., 2812, 1954.
9. E. L. Sieckmann, E. Grundwald, J. Amer. Chem. Soc., 76, 3855, 1954.
10. J. Koskikallio, Suomen kem., 30, B38, B43, 1957.
11. H. Taniguchi, G. J. Janz, J. Phys. Chem., 61, 688, 1957.
12. А. М. Сухотин, З. И. Тимофеева, Ж. физ. химии, 33, 1739, 1959.
13. H. Harned, K. Ehlers, J. Am. Chem. Soc., 54, 1350, 1932.
14. Н. А. Купина, А. А. Равдель, Ж. прикл. химии, 30, 1405, [1957].
15. T. Shedlovsky, J. Franklin Inst., 225, 739, 1938.

ELECTROCHEMICAL INVESTIGATION OF HCl SOLUTIONS IN SOLVENTS WITH LOW DIELECTRIC CONSTANT VALUES. II.

E. M. Ryzhkov, A. M. Sukhotin (Leningrad)

Summary

The emf of the cell $\text{Pt}(\text{H}_2)|\text{HCl}$ in butanol $|\text{AgCl} - \text{Ag}$ has been measured at 25 for HCl concentrations ranging from 10^{-4} to 4.15 M . From the electroconductivity (1) and emf data the dissociation constant and the mean ionic activities f_{\pm} have been found for butanol solutions of HCl . It has been shown that the first and second approximation of Debye — Hückel's theory can not serve to describe the concentration dependence of f_{\pm} in this system.

ТЕРМОДИНАМИЧЕСКАЯ ТЕОРИЯ КРИТИЧЕСКИХ ЯВЛЕНИЙ В ТРЕХКОМПОНЕНТНЫХ СИСТЕМАХ

V. О РАВНОВЕСИИ ГЕТЕРОГЕННЫХ СИСТЕМ, СОДЕРЖАЩИХ
КРИТИЧЕСКУЮ ФАЗУ

А. В. Сторонкин и А. И. Русанов

Непосредственное исследование свойств критической фазы представляет в экспериментальном отношении довольно сложную, а иногда и невыполнимую задачу. Поэтому в ряде случаев пользуются косвенным методом исследования критического состояния, который состоит в изучении фаз, сосуществующих с критической фазой. Так, например, измерение упругости и состава пара, сосуществующего с жидкой критической фазой, позволяет определить коэффициенты активности компонентов критической фазы [1]. Свойства твердой критической фазы можно изучать по свойствам раствора, сосуществующего с этой фазой.

Изучение гетерогенных систем, содержащих критическую фазу, является одним из самых сложных разделов термодинамической теории критических явлений. Поскольку число степеней свободы n — компонентной двухфазной системы, содержащей критическую фазу, равно $n - 2$, разработка этого вопроса не может быть произведена в рамках теории однокомпонентных и бинарных систем.

В настоящей работе рассматривается общий способ описания двухфазных равновесий с участием критической фазы, а также некоторые частные случаи равновесий в тройных системах.

Способ описания двухфазных равновесий с участием критической фазы. Связь между переменными любой из фаз, участвующих в двухфазном равновесии, дается обобщенным дифференциальным уравнением Ван-дер-Ваальса [2]. Если мы обозначим сосуществующие фазы индексами (1) и (2), обобщенное дифференциальное уравнение Ван-дер-Ваальса в переменных первой фазы будет иметь следующий вид:

$$v_{12}dP = \eta_{12}dT + \sum_{i=1}^{n-1} \sum_{k=1}^{n-1} (x_i^{(2)} - x_i^{(1)}) \zeta_{ik}^{(1)} dx_k^{(1)}, \quad (1)$$

де

$$\eta_{12} \equiv \eta^{(2)} - \eta^{(1)} - \sum_{i=1}^{n-1} (x_i^{(2)} - x_i^{(1)}) \left(\frac{\partial \eta}{\partial x_i} \right)^{(1)},$$

$$v_{12} \equiv v^{(2)} - v^{(1)} - \sum_{i=1}^{n-1} (x_i^{(2)} - x_i^{(1)}) \left(\frac{\partial v}{\partial x_i} \right)^{(1)}$$

— молярный объем; η — молярная энтропия; x_i — молярная доля i -го компонента; ζ — молярный термодинамический потенциал Гиббса; $\zeta \equiv (\partial^2 \zeta / \partial x_i \partial x_k)_{P,T}$; P — давление, T — температура, n — число компонентов. Аналогичный вид это уравнение будет иметь и в переменных второй фазы [индексы (1) и (2) поменяются местами].

Помимо уравнения (1), двухфазное равновесие характеризуется равенствами:

$$d \left(\frac{\partial \zeta}{\partial x_i} \right)^{(1)} = d \left(\frac{\partial \zeta}{\partial x_i} \right)^{(2)} \quad (i = 1, 2, \dots, n-1), \quad (2)$$

которые дают связь между переменными, относящимися к различным фазам.

Уравнения (1) и (2) выводятся из условий равновесия:

$$dT^{(1)} = dT^{(2)}, \quad dP^{(1)} = dP^{(2)}, \quad d\mu_i^{(1)} = d\mu_i^{(2)} \quad (i = 1, 2, \dots, n) \quad (3)$$

(μ_i — химический потенциал i -го компонента), которые сохраняют свой вид и в том случае, когда одна из сосуществующих фаз является критической. Поэтому уравнения (1) и (2) годятся и для описания двухфазных равновесий с участием критической фазы. Своеобразие этого случая состоит в том, что условия (1) и (2) должны рассматриваться совместно с уравнениями, характеризующими состояние критической фазы:

$$U_{n-1}^{(K)} \equiv \begin{vmatrix} \zeta_{11}^{(K)} & \zeta_{12}^{(K)} & \dots & \zeta_{1,n-1}^{(K)} \\ \zeta_{21}^{(K)} & \zeta_{22}^{(K)} & \dots & \zeta_{2,n-1}^{(K)} \\ \dots & \dots & \dots & \dots \\ \zeta_{n-1,1}^{(K)} & \zeta_{n-1,2}^{(K)} & \dots & \zeta_{n-1,n-1}^{(K)} \end{vmatrix} = 0; \quad (4)$$

$$V_{n-1}^{(K)} \equiv \begin{vmatrix} \left(\frac{\partial U_{n-1}}{\partial x_1} \right)^{(K)} & \left(\frac{\partial U_{n-1}}{\partial x_2} \right)^{(K)} & \dots & \left(\frac{\partial U_{n-1}}{\partial x_{n-1}} \right)^{(K)} \\ \zeta_{21}^{(K)} & \zeta_{22}^{(K)} & \dots & \zeta_{2,n-1}^{(K)} \\ \dots & \dots & \dots & \dots \\ \zeta_{n-1,1}^{(K)} & \zeta_{n-1,2}^{(K)} & \dots & \zeta_{n-1,n-1}^{(K)} \end{vmatrix} = 0. \quad (5)$$

Верхний индекс (K) показывает, что величина относится к критической фазе.

Для написания системы дифференциальных уравнений, описывающей двухфазное равновесие с участием критической фазы, мы заменим в уравнениях (1) и (2) индекс (2) символом критической фазы (K), а уравнения (4) и (5) запишем в дифференциальной форме. Полученная система уравнений будет иметь следующий вид:

$$\left. \begin{aligned} \eta_{1K} dT - v_{1K} dP + \sum_{i=1}^{n-1} \sum_{j=1}^{n-1} (x_i^{(K)} - x_i^{(1)}) \zeta_{ij}^{(1)} dx_j^{(1)} &= 0; \\ \left(\frac{\partial U_{n-1}}{\partial T} \right)^{(K)} dT + \left(\frac{\partial U_{n-1}}{\partial P} \right)^{(K)} dP + \sum_{i=1}^{n-1} \left(\frac{\partial U_{n-1}}{\partial x_i} \right)^{(K)} dx_i^{(K)} &= 0; \\ \left(\frac{\partial V_{n-1}}{\partial T} \right)^{(K)} dT + \left(\frac{\partial V_{n-1}}{\partial P} \right)^{(K)} dP + \sum_{i=1}^{n-1} \left(\frac{\partial V_{n-1}}{\partial x_i} \right)^{(K)} dx_i^{(K)} &= 0; \\ d \left(\frac{\partial \zeta}{\partial x_i} \right)^{(1)} = d \left(\frac{\partial \zeta}{\partial x_i} \right)^{(K)} & \quad (i = 1, 2, \dots, n-1). \end{aligned} \right\} \quad (6)$$

Система $n + 2$ уравнений (6) полностью характеризует двухфазное равновесие в системе, содержащей критическую фазу. Исключая переменные состава одной из фаз, мы можем получить систему уравнений, характеризующую двухфазное равновесие в переменных другой фазы. Поскольку сосуществующие фазы в рассматриваемом случае сильно различаются по

ной термодинамической характеристике, полученная система уравнений будет иметь различный вид в переменных критической и некритической фаз. Наиболее простой вид она имеет в переменных состава критической фазы:

$$\left. \begin{aligned} \eta_{\kappa 1} dT - v_{\kappa 1} dP + \sum_{i=1}^{n-1} \sum_{j=1}^{n-1} (x_i^{(1)} - x_i^{(\kappa)}) \zeta_{ij}^{(\kappa)} dx_j^{(\kappa)} &= 0; \\ \left(\frac{\partial U_{n-1}}{\partial T} \right)^{(\kappa)} dT + \left(\frac{\partial U_{n-1}}{\partial P} \right)^{(\kappa)} dP + \sum_{i=1}^{n-1} \left(\frac{\partial U_{n-1}}{\partial x_i} \right)^{(\kappa)} dx_i^{(\kappa)} &= 0; \\ \left(\frac{\partial V_{n-1}}{\partial T} \right)^{(\kappa)} dT + \left(\frac{\partial V_{n-1}}{\partial P} \right)^{(\kappa)} dP + \sum_{i=1}^{n-1} \left(\frac{\partial V_{n-1}}{\partial x_i} \right)^{(\kappa)} dx_i^{(\kappa)} &= 0. \end{aligned} \right\} \quad (7)$$

Следует отметить, что системой уравнений (7) можно пользоваться для описания состояния критической фазы, сосуществующей с другой фазой, только в том случае, когда критическая фаза содержит все компоненты. В тех случаях, когда число компонентов критической фазы меньше общего числа компонентов в системе, следует пользоваться системой уравнений (6). Дело в том, что число уравнений (2), входящих в систему (6), зависит от числа компонентов, входящих в критическую фазу. При уменьшении числа компонентов критической фазы уменьшается число условий (2). Поэтому система уравнений (6) правильно описывает двухфазное равновесие и в том случае, когда часть компонентов не входит в одну из фаз. Число же уравнений (7) не зависит от числа компонентов, входящих в критическую фазу. Поэтому использование системы (7) приведет неизбежно к неверным результатам в тех случаях, когда хотя бы один из компонентов отсутствует в критической фазе.

Кривая сосуществования критической и некритической фаз в тройной системе. Рассмотрим трехкомпонентную двухфазную систему, содержащую критическую фазу, будем полагать, что в критической фазе содержатся все три компонента системы. Число степеней свободы такой системы равно единице, и, следовательно, геометрическое место фигуративных точек на диаграмме состояния системы является кривой. Уравнение этой кривой в переменных критической фазы задается системой (7), которая при $n = 3$ принимает следующий вид:

$$\left. \begin{aligned} \eta_{\kappa 1} dT - v_{\kappa 1} dP + \varphi_1^{(\kappa 1)} dx_1^{(\kappa)} + \varphi_2^{(\kappa 1)} dx_2^{(\kappa)} &= 0, \\ \left(\frac{\partial U_2}{\partial T} \right)^{(\kappa)} dT + \left(\frac{\partial U_2}{\partial P} \right)^{(\kappa)} dP + \left(\frac{\partial U_2}{\partial x_1} \right)^{(\kappa)} dx_1^{(\kappa)} + \left(\frac{\partial U_2}{\partial x_2} \right)^{(\kappa)} dx_2^{(\kappa)} &= 0, \\ \left(\frac{\partial V_2}{\partial T} \right)^{(\kappa)} dT + \left(\frac{\partial V_2}{\partial P} \right)^{(\kappa)} dP + \left(\frac{\partial V_2}{\partial x_1} \right)^{(\kappa)} dx_1^{(\kappa)} + \left(\frac{\partial V_2}{\partial x_2} \right)^{(\kappa)} dx_2^{(\kappa)} &= 0, \end{aligned} \right\} \quad (8)$$

где

$$\begin{aligned} \varphi_1^{(\kappa 1)} &\equiv \zeta_{11}^{(\kappa)} (x_1^{(1)} - x_1^{(\kappa)}) + \zeta_{12}^{(\kappa)} (x_2^{(1)} - x_2^{(\kappa)}), \\ \varphi_2^{(\kappa 1)} &\equiv \zeta_{12}^{(\kappa)} (x_1^{(1)} - x_1^{(\kappa)}) + \zeta_{22}^{(\kappa)} (x_2^{(1)} - x_2^{(\kappa)}). \end{aligned}$$

Кривая, описываемая системой (8), расположена на критической поверхности тройной системы. Решая систему (8) относительно производных dT/dx_1 , dP/dx_1 , dx_2/dx_1 , получим

$$\left(\frac{dT}{dx_1} \right)_{\text{сосущ.}} = - \frac{\begin{vmatrix} \varphi_1^{(\kappa 1)} & -v_{\kappa 1} & \varphi_2^{(\kappa 1)} \\ \left(\frac{\partial U_2}{\partial x_1} \right)^{(\kappa)} & \left(\frac{\partial U_2}{\partial P} \right)^{(\kappa)} & \left(\frac{\partial U_2}{\partial x_2} \right)^{(\kappa)} \\ \left(\frac{\partial V_2}{\partial x_1} \right)^{(\kappa)} & \left(\frac{\partial V_2}{\partial P} \right)^{(\kappa)} & \left(\frac{\partial V_2}{\partial x_2} \right)^{(\kappa)} \end{vmatrix}}{\Delta_3^{(\kappa)}}; \quad (9)$$

$$\left(\frac{dP}{dx_1}\right)_{\text{сосущ}} = - \frac{\begin{vmatrix} \eta_{K1}, & \varphi_1^{(K1)}, & \varphi_2^{(K1)} \\ \left(\frac{\partial U_2}{\partial T}\right)^{(K)}, & \left(\frac{\partial U_2}{\partial x_1}\right)^{(K)}, & \left(\frac{\partial U_2}{\partial x_2}\right)^{(K)} \\ \left(\frac{\partial V_2}{\partial T}\right)^{(K)}, & \left(\frac{\partial V_2}{\partial x_1}\right)^{(K)}, & \left(\frac{\partial V_2}{\partial x_2}\right)^{(K)} \end{vmatrix}}{\Delta_3^{(K)}}; \quad (10)$$

$$\left(\frac{dx_2}{dx_1}\right)_{\text{сосущ}} = - \frac{\begin{vmatrix} \eta_{K1}, & -v_{K1}, & \varphi_1^{(K1)} \\ \left(\frac{\partial U_2}{\partial T}\right)^{(K)}, & \left(\frac{\partial U_2}{\partial P}\right)^{(K)}, & \left(\frac{\partial U_2}{\partial x_1}\right)^{(K)} \\ \left(\frac{\partial V_2}{\partial T}\right)^{(K)}, & \left(\frac{\partial V_2}{\partial P}\right)^{(K)}, & \left(\frac{\partial V_2}{\partial x_1}\right)^{(K)} \end{vmatrix}}{\Delta_3^{(K)}}; \quad (11)$$

$$\Delta_3^{(K)} \equiv \begin{vmatrix} \eta_{K1}, & -v_{K1}, & \varphi_2^{(K1)} \\ \left(\frac{\partial U_2}{\partial T}\right)^{(K)}, & \left(\frac{\partial U_2}{\partial P}\right)^{(K)}, & \left(\frac{\partial U_2}{\partial x_2}\right)^{(K)} \\ \left(\frac{\partial V_2}{\partial T}\right)^{(K)}, & \left(\frac{\partial V_2}{\partial P}\right)^{(K)}, & \left(\frac{\partial V_2}{\partial x_2}\right)^{(K)} \end{vmatrix}.$$

Уравнения (9), (10), (11) описывают ход проекций кривой сосуществования критической и некритической фаз тройной системы на соответствующие плоскости координат. Эти уравнения довольно громоздки и принимают простой вид только в тех точках кривой сосуществования, где меняется тип критической точки в отношении двух из величин T , P и x_2 , так что величины двух производных из $(\partial U_2/\partial T)^{(K)}$, $(\partial U_2/\partial P)^{(K)}$, $(\partial U_2/\partial x_2)^{(K)}$ становятся равными нулю.

Кривая сосуществования бинарной критической и тройной некритической фаз. Мы перейдем теперь к рассмотрению такого двухфазного равновесия, когда один из компонентов тройной системы отсутствует в критической фазе. Такой случай часто встречается на практике. Так, например, критические явления в двухкомпонентной системе кристалл — кристалл часто наблюдаются при условии сосуществования твердых фаз с маточным раствором, содержащим третий компонент. Критические явления в системе жидкость — жидкость часто наблюдаются при условии равновесия жидких фаз с газообразной фазой, содержащей компоненты (воздух), очень мало растворимые в жидких фазах и т. д.

Если в критической фазе содержатся только два компонента, уравнения (4) и (5) принимают следующий вид:

$$\left. \begin{aligned} U_1^{(K)} &\equiv \zeta_{11}^{(K)} = 0, \\ V_1^{(K)} &\equiv \left(\frac{\partial \zeta}{\partial x_1^3}\right)^{(K)} = 0. \end{aligned} \right\} \quad (12)$$

Далее, если в критической фазе тройной системы содержатся два компонента, мы не можем выразить условия сосуществования при помощи одних только переменных критической фазы и должны воспользоваться системой уравнений (6). В условии

$$d\left(\frac{\partial \zeta}{\partial x_1}\right)^{(K)} = d\left(\frac{\partial \zeta}{\partial x_1}\right)^{(1)}$$

искроем дифференциалы, принимая во внимание (12):

$$\left. \begin{aligned} d\left(\frac{\partial \zeta}{\partial x_1}\right)^{(K)} &= -\left(\frac{\partial \eta}{\partial x_1}\right)^{(K)} dT + \left(\frac{\partial v}{\partial x_1}\right)^{(K)} dP, \\ d\left(\frac{\partial \zeta}{\partial x_1}\right)^{(1)} &= -\left(\frac{\partial \eta}{\partial x_1}\right)^{(1)} dT + \left(\frac{\partial v}{\partial x_1}\right)^{(1)} dP + \zeta_{11}^{(1)} dx_1^{(1)} + \zeta_{12}^{(1)} dx_2^{(1)}. \end{aligned} \right\} \quad (13)$$

здесь x_1 — молярная доля компонента, присутствующего в обеих фазах, x_2 — молярная доля компонента, отсутствующего в критической фазе.

Систему (6) мы можем написать в рассматриваемом случае, учитывая (2) и (13), следующим образом:

$$\left. \begin{aligned} \eta_{IK} dT - v_{IK} dP + \varphi_1^{(IK)} dx_1^{(1)} + \varphi_2^{(IK)} dx_2^{(1)} &= 0, \\ -\left(\frac{\partial^2 \eta}{\partial x_1^2}\right)^{(K)} dT + \left(\frac{\partial^2 v}{\partial x_1^2}\right)^{(K)} dP &= 0, \\ -\left(\frac{\partial^3 \eta}{\partial x_1^3}\right)^{(K)} dT + \left(\frac{\partial^3 v}{\partial x_1^3}\right)^{(K)} dP + \left(\frac{\partial^4 \zeta}{\partial x_1^4}\right)^{(K)} dx_1^{(K)} &= 0, \\ \left[\left(\frac{\partial \eta}{\partial x_1}\right)^{(K)} - \left(\frac{\partial \eta}{\partial x_1}\right)^{(1)}\right] dT - \left[\left(\frac{\partial v}{\partial x_1}\right)^{(K)} - \left(\frac{\partial v}{\partial x_1}\right)^{(1)}\right] dP + \zeta_{11}^{(1)} dx_1^{(1)} + \zeta_{12}^{(1)} dx_2^{(1)} &= 0, \end{aligned} \right\} \quad (14)$$

где

$$\varphi_1^{(IK)} \equiv \zeta_{11}^{(1)} (x_1^{(K)} - x_1^{(1)}) - \zeta_{12}^{(1)} x_2^{(1)},$$

$$\varphi_2^{(IK)} \equiv \zeta_{12}^{(1)} (x_1^{(K)} - x_1^{(1)}) - \zeta_{22}^{(1)} x_2^{(1)},$$

$$\eta_{IK} \equiv \eta^{(K)} - \eta^{(1)} - \left(\frac{\partial \eta}{\partial x_1}\right)^{(1)} (x_1^{(K)} - x_1^{(1)}) + \left(\frac{\partial \eta}{\partial x_2}\right)^{(1)} x_2^{(1)},$$

$$v_{IK} \equiv v^{(K)} - v^{(1)} - \left(\frac{\partial v}{\partial x_1}\right)^{(1)} (x_1^{(K)} - x_1^{(1)}) + \left(\frac{\partial v}{\partial x_2}\right)^{(1)} x_2^{(1)}.$$

Полученная система дифференциальных уравнений (14) описывает кривую сосуществования бинарной критической и тройной некритической фаз. Уравнение этой кривой мы можем выразить в переменных как критической, так и некритической фаз.

Связь между параметрами критической фазы дается вторым и третьим уравнениями системы (14). Но эти же уравнения характеризуют ход критической кривой бинарной системы [3]. Следовательно, рассматриваемая кривая сосуществования в переменных критической фазы совпадает с критической кривой отдельно взятой бинарной критической фазы. Мы приходим, таким образом, к важному практическому выводу: изучение критического состояния бинарной фазы при условии ее сосуществования с тройной фазой приводит к тем же результатам, что и изучение отдельно взятой бинарной критической фазы.

Уравнение кривой сосуществования в переменных тройной некритической фазы можно получить из первого и четвертого уравнений системы (14). Величину производной $(dP/dT)_{\text{сосущ}}$ мы будем считать заданной по уравнению критической кривой бинарной системы и введем для нее обозначение $(dP/dT)_K$. Тогда первое и четвертое уравнения системы (14) можно записать отдельно в виде системы линейных уравнений относи-

тельно производных $(dx_1/dT)_{\text{сосущ}}^{(1)}$ и $(dx_2/dT)_{\text{сосущ}}^{(1)}$:

$$\left. \begin{aligned} \varphi_1^{(1K)} \left(\frac{dx_1}{dT} \right)_{\text{сосущ}}^{(1)} + \varphi_2^{(1K)} \left(\frac{dx_2}{dT} \right)_{\text{сосущ}}^{(1)} &= -\tau_{1K} + v_{1K} \left(\frac{dP}{dT} \right)_K \\ \zeta_{11}^{(1)} \left(\frac{dx_1}{dT} \right)_{\text{сосущ}}^{(1)} + \zeta_{12}^{(1)} \left(\frac{dx_2}{dT} \right)_{\text{сосущ}}^{(1)} &= - \left[\left(\frac{\partial \eta}{\partial x_1} \right)^{(K)} - \left(\frac{\partial \eta}{\partial x_1} \right)^{(1)} \right] + \\ &+ \left[\left(\frac{\partial v}{\partial x_1} \right)^{(K)} - \left(\frac{\partial v}{\partial x_1} \right)^{(1)} \right] \left(\frac{dP}{dT} \right)_K \end{aligned} \right\} \quad (15)$$

Определитель системы (15) является положительной величиной согласно условиям устойчивости:

$$\Delta_2^{(1)} \equiv \begin{vmatrix} \varphi_1^{(1K)} & \varphi_2^{(1K)} \\ \zeta_{11}^{(1)} & \zeta_{12}^{(1)} \end{vmatrix} = x_2^{(1)} [\zeta_{11}^{(1)} \tau_{22}^{(1)} - (\zeta_{12}^{(1)})^2] > 0.$$

Решая систему (15) относительно производных $(dx_1/dT)_{\text{сосущ}}^{(1)}$ и $(dx_2/dT)_{\text{сосущ}}^{(1)}$ получим следующие выражения:

$$\left(\frac{dx_1}{dT} \right)_{\text{сосущ}}^{(1)} = - \frac{\begin{vmatrix} \tau_{1K} & \varphi_2^{(1K)} \\ \left(\frac{\partial \eta}{\partial x_1} \right)^{(K)} - \left(\frac{\partial \eta}{\partial x_1} \right)^{(1)} & \zeta_{12}^{(1)} \end{vmatrix}}{\Delta_2^{(1)}} + \frac{\begin{vmatrix} v_{1K} & \varphi_2^{(1K)} \\ \left(\frac{\partial v}{\partial x_1} \right)^{(K)} - \left(\frac{\partial v}{\partial x_1} \right)^{(1)} & \zeta_{12}^{(1)} \end{vmatrix}}{\Delta_2^{(1)}} \left(\frac{dP}{dT} \right)_K; \quad (16)$$

$$\left(\frac{dx_2}{dT} \right)_{\text{сосущ}}^{(1)} = - \frac{\begin{vmatrix} \varphi_1^{(1K)} & \tau_{1K} \\ \zeta_{11}^{(1)} & \left(\frac{\partial \eta}{\partial x_1} \right)^{(K)} - \left(\frac{\partial \eta}{\partial x_1} \right)^{(1)} \end{vmatrix}}{\Delta_2^{(1)}} + \frac{\begin{vmatrix} \varphi_1^{(1K)} & v_{1K} \\ \zeta_{11}^{(1)} & \left(\frac{\partial v}{\partial x_1} \right)^{(K)} - \left(\frac{\partial v}{\partial x_1} \right)^{(1)} \end{vmatrix}}{\Delta_2^{(1)}} \left(\frac{dP}{dT} \right)_K. \quad (17)$$

Опыт говорит о том, что в случае жидкой бинарной критической фазы абсолютная величина производной $(dP/dT)_K$ имеет обычно очень большое значение ($\sim 10 \div 100$ атм/град). В еще большей мере это справедливо для кристаллической критической фазы бинарной системы. Поэтому при рассмотрении таких фаз первым слагаемым правой части (16) и (17) можно пренебречь по сравнению со вторым. Полученные уравнения будут описывать ход кривой сосуществования на значительном ее протяжении, но они будут терять свою силу вблизи точек экстремумов давления, где меняется тип критической точки в отношении температуры. В последнем случае, наоборот, производная $(dP/dT)_K$ стремится к нулевому значению и мы можем отбросить второе слагаемое в правой части (16) и (17).

Поскольку определитель $\Delta_2^{(1)}$ может стать равным нулю только на границе устойчивости первой фазы, обращение в нуль производных $(dT/dx_1)_{\text{сосущ}}^{(1)}$ и $(dT/dx_2)_{\text{сосущ}}^{(1)}$, как это видно из (16) и (17), неизбежно вызывает обращение в нуль производной $(dT/dP)_K$ и, следовательно, свидетельствует об изменении типа критической точки в отношении давления [3]. Аналогичным образом обращение в нуль производных $(dP/dx_1)_{\text{сосущ}}^{(1)}$ и $(dP/dx_2)_{\text{сосущ}}^{(1)}$ свидетельствует об изменении типа критической точки в отношении температуры.

Выводы

1. Дан общий подход к исследованию двухфазных равновесий с участием критической фазы.

2. Рассмотрены уравнения сосуществования критической и некритической фаз в тройной системе и обсужден случай сосуществования бинарной критической и тройной некритической фаз.

ЛИТЕРАТУРА

1. А. И. Р у с а н о в, Вестн. ЛГУ, № 16, 99, 1958.-
2. А. В. С т о р о н к и н, Об условиях термодинамического равновесия многокомпонентных систем, Изд-во ЛГУ, Л., 1948.
3. А. И. Р у с а н о в, Вестн. ЛГУ, № 22, 120, 1957.

THERMODYNAMIC THEORY OF CRITICAL PHENOMENA IN THREE COMPONENT SYSTEMS.

V. EQUILIBRIUM IN HETEROGENEOUS SYSTEMS CONTAINING THE CRITICAL PHASE

A. V. Storonkin, A. I. Rusanov (Leningrad)

S u m m a r y

A general procedure is examined for describing two phase equilibria with participation of the critical phase in multicomponent systems. An equation has been derived the coexistence of critical and non-critical phases in a ternary system. The case has been discussed of the coexistence of binary critical and ternary non-critical phases.

ТЕПЛОПРОВОДНОСТЬ НЕВОДНЫХ РАСТВОРОВ СОЛЕЙ II. К МЕХАНИЗМУ ТЕПЛОПРОВОДНОСТИ ЭЛЕКТРОЛИТОВ

Ф. Г. Эльдаров

Полученный к настоящему времени экспериментальный материал по неводным [1] и водным растворам солей [2—4] дает возможность в настоящей работе рассмотреть механизм теплопередачи в этих растворах на основе теории, разработанной для случая однокомпонентных жидкостей.

Из существующих теоретических работ по теплопроводности жидкостей наиболее перспективными, с нашей точки зрения, являются работы, основывающиеся на явлении передачи тепла акустическими волнами, поскольку тепловые явления в веществе сопровождаются местными флуктуациями плотности, которые в действительности являются реальными акустическими волнами.

Рассматривая тепловое состояние жидкости, как хаотическое движение и накладывающиеся на него флуктуационные колебания ансамбля, подчиняя эти колебания уравнению случайных перемещений, А. С. Предводителев [5] теоретически обосновал формулу для теплопроводности жидкостей, которая эмпирически была ранее найдена Вебером

$$\lambda = AC_T \rho^{1/2} M^{-1/2}, \quad (1)$$

где A — некоторая величина, не зависящая от природы жидкости, являющаяся функцией температуры; C_p — теплоемкость; ρ — плотность; M — молекулярный вес жидкости.

Н. Б. Варгафтиком и Ю. П. Осьмининым [3] было предложено использовать это соотношение для описания поведения теплопроводности водных растворов электролитов в зависимости от концентрации. При этом они полагали, что степень ассоциации воды и водных растворов электролитов близки друг другу. Это соотношение:

$$\lambda_0 = \lambda_B \frac{C_{p0}}{C_{pB}} \cdot \left(\frac{\rho_0}{\rho_B} \right)^{1/2} \left(\frac{M_B}{M_0} \right)^{1/2}, \quad (2)$$

находится в удовлетворительном согласии с опытом.

Соотношение (2) имеет ряд преимуществ по сравнению с эмпирической формулой Риделя [2]:

$$\lambda_0 = \lambda_B + \sum \alpha_i c_i,$$

где λ_0 и λ_B — теплопроводность электролита и воды; c_i — молярная концентрация (моль/л); α_i — коэффициенты, характеризующие ионы. Действительно, в нашей работе [1] было показано, что коэффициенты α_i зависят не только от иона, но и от природы самого растворителя. Это обстоятельство сильно ограничивает применимость соотношения Риделя в отношении теплопроводности электролитов. Кроме того, самим Риделем было показано, что его соотношение не в состоянии удовлетворительно объяснить рост теплопроводности водных растворов щелочей NaOH

ОН и кислот в зависимости от концентрации. Однако соотношение содержит в себе объяснения этих явлений.

Обобщая формулу (2) для случая любого растворителя, мы проверили применимость соотношения (2) для неводных растворов, используя наши экспериментальные данные по теплопроводности, теплоемкости и плотности [1].

Представленное на рис. 1—3 сравнение опытных (сплошные линии) и вычисленных (пунктирные линии) значений показывает, что соотношение

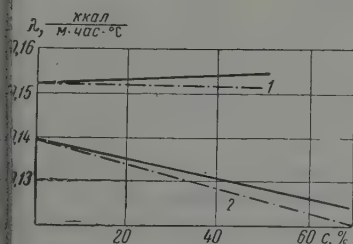


Рис. 1. Теплопроводность системы при 25°: 1 — этиловый спирт — ZnCl_2 ; 2 — ацетон — SbCl_3

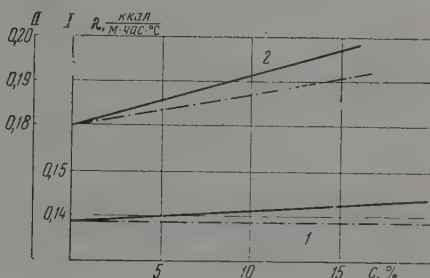


Рис. 2. Теплопроводность системы при 25°: 1 — ацетон — ZnCl_2 ; 2 — метиловый спирт — NH_4NO_3

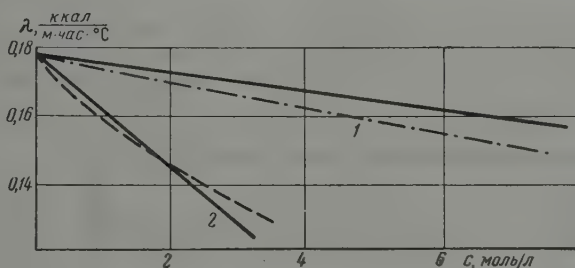


Рис. 3. Теплопроводность систем при 25°: 1 — метиловый спирт — SbCl_3 ; 2 — метиловый спирт — CdJ_2

верно отражает зависимость теплопроводности от концентрации для неводных растворов солей. Наибольшее отклонение вычисленных по формуле (2) значений теплопроводности от опытных не превосходит 5%.

Температурная зависимость теплопроводности жидкостей хорошо описывается известным соотношением [6] $\lambda = B\rho^{1/3}$, где B — постоянная величина. Нами рассмотрена применимость этого соотношения на примере системы $\text{CH}_3\text{OH} - \text{CdJ}_2$. Выбор указанной системы основывался на том, что в ней отчетливо выявлялись характерные черты концентрационной зависимости теплопроводности всех неводных растворов электролитов. Соотношение $\lambda = B\rho^{1/3}$ было рассмотрено в более общем виде, а именно: $\lg \lambda = \lg B + \beta \lg \rho$. Температурная зависимость плотности растворов для различных концентраций определялась пикнометрическим методом. Наклоны построенных прямых [в координатах $\lg \lambda(t)$ и $\lg \rho(t)$] дают следующие значения для β ; для растворов с концентрацией до 40% $\beta = 1/3$, для растворов более высокой концентрации значения β уменьшаются до 0,8 (при 60%) (табл. 1). Таким образом, соотношение $\lambda = B\rho^{1/3}$ хорошо описывает температурную зависимость теплопроводности неводных растворов солей не особенно высокой концентрации.

Таблица 1

Весовая концентр. %	Темпера- тура, °C	Плотность, г/см ³	lg ρ	lg λ	β
28,6	25	1,057	0,02407	1,2135	1,33
	30	1,051	0,02160	1,2101	
	40	1,041	0,01745	1,2030	
	50	1,029	0,01242	1,1962	
	59	1,016	0,00689	1,1895	
57,4	25	1,588	0,20085	1,1303	0,8
	30	1,582	0,19921	1,1287	
	40	1,569	0,19562	1,1255	
	50	1,554	0,19145	1,1222	
	59	1,533	0,18554	1,11889	

Определенный интерес представляет проверка соотношения Бриджмена [7] для теплопроводности растворов электролитов, которое устанавливает связь между теплопроводностью и скоростью распространения звука u :

$$\lambda = 3k\delta^{-2},$$

где k — постоянная Больцмана, δ — среднее расстояние между молекулами.

При сопоставлении опытных данных по теплопроводности жидкостей с вычисленными по уравнению (3) для некоторых веществ обнаруживается большое расхождение (до 15—20%). Можно было бы объяснить эти расхож-

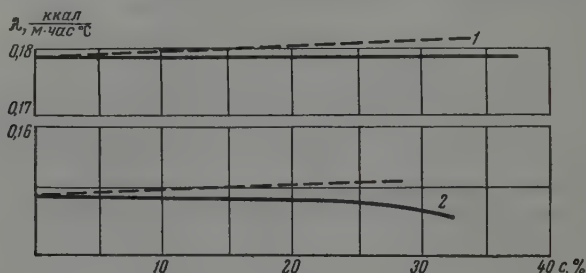


Рис. 4. Теплопроводность систем: 1 — метилловый спирт NaJ; 2 — этиловый спирт NaJ. Пунктирные линии начерчены согласно формуле (4)

дения тем, что в жидкостях распространение тепловых волн происходит не со скоростью звука, а со скоростью гиперзвука. Однако наши вычисления теплопроводности некоторых жидкостей по формуле (3) с учетом не большой дисперсии скорости звука [8] в них не дали положительного ответа на этот вопрос (табл. 2). Однако соотношение (3) качественно хорошо описывает явления теплопроводности жидкостей.

Из соотношения (3) для теплопроводности растворов электролитов λ_0 получим выражение:

$$\lambda_0 = \lambda_p \frac{u_p}{u_0} \left(\frac{\delta_p}{\delta_0} \right)^{-2}, \quad (4)$$

где λ_p — теплопроводность растворителя; δ_p и δ_0 — межмолекулярные расстояния растворителя и электролита; u_p и u_0 — скорости звука

Теплопроводность жидкостей при 20° С

Вещество	Молек. вес М	Плот- ность, г/см ³	Среднее рас- стояние между молекулами, А	Скорость гиперазвук, м/сек	Скорость ультразвука, м/сек	Дисперсия звук $\frac{\Delta c}{c} \cdot 10^2$	Теплопроводность, ккал/м. час. °С			$\left(\frac{\Delta \lambda}{\lambda_{\text{эксп}}}\right)_{\text{зв}}$, %	$\left(\frac{\Delta \lambda}{\lambda_{\text{эксп}}}\right)_{\text{гип}}$, %
							$\lambda_{\text{гип}}$	$\lambda_{\text{зв}}$	$\lambda_{\text{эксп.}}$		
Бензол	78	0,879	3,57	1470	1324	10	0,135	0,122	0,125	8	-2
Сероуглерод	76	1,263	4,63	1265	1158	8,8	0,151	0,138	0,137	10	0,7
Четыреххлористый углерод	154	1,595	3,40	1040	920	12	0,0915	0,081	0,087	5,2	-6,9
Толуол	92	0,867	3,2	1314	1324	0	0,1085	0,1095	0,118	-7,6	7,8
Ацетон	58	0,792	4,08	1190	1190	0	0,1255	0,1255	0,139	-9,4	-9,4
Уксусная кислота	60	1,049	4,8	1140	1140	0	0,123	0,123	0,140	-12	-12

Таблица 3

Теплопроводность водных растворов солей по формулам (4) и (5)

Соль	Весовая конц., %	Плотность раствора, г/см ³	Молярная доля соли	M_2	$\left(\frac{\delta p}{\delta c}\right)^2$	$\frac{C_2}{C_p}$	$1 - \frac{x_2}{x_p}$, %	$\frac{\lambda_{\text{эксп}}}{\lambda_2}$ по формуле [4]	λ_2 по формуле [5]	$\lambda_{\text{эксп}}$	$\frac{\Delta \lambda}{\lambda_{\text{эксп}}} \cdot 10^2$
NaCl	25	1,195	0,0885	21,6	1,00	1,20	42	0,96	0,495	0,493	+0,4
KCl	25	1,163	0,0745	22,2	0,96	1,125	32,5	0,905	0,466	0,471	-2,3
NaNO ₃	25	1,19	0,066	22,4	0,96	1,12	33,5	0,89	0,460	0,494	-6,8
KBr	25	1,218	0,048	23	0,96	1,04	24	0,88	0,453	0,460	-1,5
KNO ₃	25	1,162	0,056	22,7	0,945	1,08	26	0,89	0,460	0,480	-4,2
KJ	25	1,227	0,0348	23,2	0,96	0,995	17	0,875	0,450	0,460	-2,2
LiCl	9	1,056	0,020	18,6	1,00	1,09	20	0,98	0,505	0,496	+1,8
LiBr	13	1,091	0,030	20,1	0,97	1,02	15	0,91	0,470	0,485	-3,1
LiBr	13	1,115	0,0254	20,1	1,00	1,03	16	0,95	0,490	0,490	0
NaJ	14	1,174	0,0168	20,2	1,00	1,00	11	0,96	0,495	0,490	+1
BaCl ₂	17	1,179	0,0174	21,3	1,00	1,035	23	0,91	0,470	0,500	-6

чистом растворителе и растворе. В формуле (4) $\delta_0 = \sqrt{M_0/\rho_0 N}$, где ρ_0 и M_0 — плотность и эквивалентный молекулярный вес раствора; $M_0 = M_p x + M_c(1-x)$, где M_p и M_c — молекулярные веса растворителя и соли; x — молекулярная доля растворителя. В литературе, к сожалению, почти отсутствуют экспериментальные данные по скорости звука в неводных растворах электролитов. В работе [9] приводятся опытные данные по скорости звука для растворов NaJ в трех растворителях: в метаноле, этаноле и в изопропиловом спирте. Автор [9] на основе своих данных приходит к заключению, что в отличие от водных растворов электролитов неводные растворы электролитов ведут себя, как смеси органических жидкостей.

Пользуясь данными [9] по скорости звука, мы по соотношению (4) вычислили значения теплопроводности в зависимости от концентрации для двух систем: метанол — NaJ и этанол — NaJ (рис. 4). Сравнения опытных и вычисленных значений теплопроводности этих систем показывают наличие хорошего согласия между ними.

Однако вычисление, произведенное нами согласно (4) для водных растворов солей, дает систематически завышенные значения теплопроводности по сравнению с опытными данными (табл. 3).

Нам кажется, что эти отклонения связаны со следующим обстоятельством. При оценке межмолекулярного расстояния δ_0 предполагается равномерное распределение молекул растворителя и соли по всему объему раствора. Однако известно, что аномально резкое возрастание скорости звука в водных растворах солей обусловлено электрострикционными явлениями в них. Вследствие этого по мере увеличения концентрации растворенного вещества все большее и большее количество воды подвергается высоким давлениям электрострикционного происхождения. При этом понижение сжимаемости электролитов происходит без существенного изменения объема, что приводит к увеличению среднего расстояния между сольватированными комплексами электролита и молекулами воды.

Для оценки влияния вышеуказанного эффекта мы исходили из известной модели электролита [10, 11], как двух составленных друг в друга структур: растворитель и ионная решетка, причем обе структуры занимают весь объем. Такая модель, конечно, весьма приближительна, однако она в некоторых случаях отражает основные черты явлений, происходящих в электролитах. Затем, основываясь на методах расчета ионного кристалла [12], можно легко получить соотношение, связывающее изменение сжимаемости раствора с изменением среднего межмолекулярного расстояния. С учетом этого фактора нами получено полуэмпирическое соотношение для теплопроводности водных растворов электролитов:

$$\lambda_0 = \lambda_p \frac{u_0}{u_p} \left(\frac{\delta_p}{\delta_0} \right)^2 (1 - 2\Delta), \quad (5)$$

где $\Delta = \frac{1}{4} \left(1 - \frac{x_0}{x_p} \right)$, x_0 ; x_p — сжимаемость раствора и растворителя.

Проверка выполнимости соотношения (5) для водных растворов электролитов показывает удовлетворительное соответствие между вычисленными и опытными данными (табл. 3). Необходимые для расчета данные взяты из работ [13, 14].

Выводы

1. Теплопроводность неводных растворов электролитов и их температурная зависимость удовлетворительно описываются формулой Вебера — Предводителяева.

2. Рассмотрена применимость соотношения Бриджмена для расчета теплопроводности растворов электролитов. Для неводных растворов

лей получается удовлетворительное согласие между опытными и вычисленными результатами. Для водных растворов электролитов в формулу Бриджмена необходимо ввести поправку, связанную с учетом электроприкиционных явлений в водных растворах электролитов.

Дагестанский филиал Академии наук СССР
Институт физики
Махачкала

Поступила
23.VIII.1958.

ЛИТЕРАТУРА

- Ф. Г. Эльдаров, Ж. физ. химии, 32, 2443, 1958.
L. Riedel, Chem.-Ingr.-Techn., 22, 54, 1950; 23, 59, 1951.
Н. Б. Варгафтик и Ю. П. Осьминин, Теплоэнергетика, 7, 11, 1256.
А. Ф. Капустинская и И. И. Рузавин, Ж. физ. химии, 29, 2922, 1955; 30, 548, 1956.
А. С. Предводителев, Ж. физ. химии, 22, 339, 1948.
Н. Б. Варгафтик, Диссертация. ЭНИН АН СССР, 1951.
П. В. Бриджмен, Физика высоких давлений, М., 1935.
И. Л. Фабелинский, Успехи физ. наук. 63, 355, 1957.
Л. Б. Чимитдоржиев. Применение ультраакустики к исследованию вещества, вып. 6, стр. 69, Изд-во МОПИ, 1958.
И. Г. Михайлов, Ю. П. Сырников, Вестн. ЛГУ, № 10, 1958.
Б. Б. Кудрявцев. Акустический журнал, 2, вып. 2, 1956.
Э. Ферми, Молекулы и кристаллы, ИЛ, М., 1947.
Б. Б. Кудрявцев, Применение ультраакустических методов в практике физико-химических исследований, М.—Л., 1952.
А. Пасынский, Ж. физ. химии, 11, 606, 1938.

THERMAL CONDUCTIVITY OF NON-AQUEOUS SALT SOLUTIONS

II. MECHANISM OF THE THERMAL CONDUCTIVITY OF ELECTROLYTES

F. G. El'darov (Makhach-Kala)

Summary

The mechanism of the thermal conductivity of electrolyte solutions has been examined in the light of earlier existing theoretical deductions for the case of one component liquids.

Modified Weber — Predvoditelev and Bridgman correlations have been discussed. Comparison of experimental and calculated values for the thermal conductivity of non-aqueous electrolyte solutions showed them to be in good agreement with each other.

ФАЗОВЫЕ РАВНОВЕСИЯ ЖИДКОСТЬ — ГАЗ В СИСТЕМАХ ЦИКЛОГЕКСАН — ДВУОКИСЬ УГЛЕРОДА И ЦИКЛОГЕКСАН — ЗАКИСЬ АЗОТА

И. Р. Кричевский и Г. А. Сорина

Исследования фазовых равновесий жидкость — газ проводили полнотермическим методом [1]. Циклогексан очищался от непредельных соединений, циклогексанона и бензола адсорбцией их на силикагеле и перегонялся над прокаленным хлористым кальцием.

Коэффициент преломления циклогексана $n_D^{20} = 1,4263$ совпал с литературными данными [2]. Совпала и температура кипения: $80,1^\circ \text{C}$ при 744 мм рт. ст. [3].

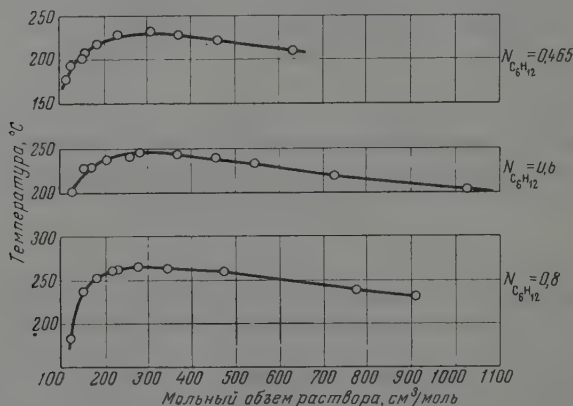


Рис. 1. Диаграмма $v - t$ при $N = \text{const}$ для систем циклогексан — двуокись углерода, циклогексан — закись азота

Баллонные двуокись углерода и закись азота сушили над ангидроном, конденсировали жидким азотом, откачивали и затем испаряли в вакуированные колбы. В них и хранились очищенные газы.

Методом запаянных ампул [4] была исследована зависимость молярного объема v от температуры t при трех значениях молярной доли циклогексана: 0,8; 0,6 и 0,465 (рис. 1).

Для каждого состава были найдены значения критических температур и объемов. Критические параметры чистых компонентов взяты из сводки [5].

По экспериментальным кривым $t - v$ были построены изотермы $v - t$ для температур от 200 до 260° через каждые десять градусов (рис. 2).

Данные для системы циклогексан — двуокись углерода и циклогексан — закись азота совпали, что можно объяснить равенством молекулярных весов двуокиси углерода и закиси азота и близостью их критических параметров.

Располагая диаграммой $v-N$ при $t=\text{const}$, авторы могли измерить давления (p), составы и молярные объемы сосуществующих фаз при различных температурах [1].

Интерполированные данные сведены в табл. 1 и 2.

Таблица 1

Интерполированные данные p, v, t, N системы циклогексан — двуокись углерода

атм	Жидкая фаза		Газовая фаза		p, атм	Жидкая фаза		Газовая фаза	
	$N_{C_6H_{12}}$	v , см ³ /моль	$N_{C_6H_{12}}$	v , см ³ /моль		$N_{C_6H_{12}}$	v , см ³ /моль	$N_{C_6H_{12}}$	v , см ³ /моль
200°									
2,2	1,000	146	1,000	2250	20,7	1,000	160	1,000	1347
0,0	0,967	140	0,730	1440	30,0	0,963	153	0,815	897
0,0	0,925	135	0,572	977	40,0	0,925	150	0,697	698
0,0	0,880	133	0,465	760	50,0	0,885	146	0,607	575
0,0	0,835	130	0,393	620	70,0	0,805	145	0,500	420
0,0	0,725	125	0,308	405	90,0	0,713	148	0,473	235
0,0	0,620	125	0,307	285	105,5 кр	0,563	177	0,563	177
0,0 кр	0,430	150	0,430	150	240°				
210°									
5,5	1,000	150	1,000	1897	24,0	1,000	166	1,000	1123
0,0	0,980	148	0,827	1427	30,0	0,978	163	0,905	917
0,0	0,940	145	0,658	977	40,0	0,935	160	0,770	670
0,0	0,897	140	0,545	745	50,0	0,890	157	0,675	545
0,0	0,857	135	0,462	605	70,0	0,795	157	0,565	380
0,0	0,755	130	0,357	407	96,0 кр	0,625	197	0,625	197
0,0	0,647	130	0,360	273	250°				
0,0 кр	0,467	164	0,467	164	27,9	1,000	175	1,000	929
220°									
3,0	1,000	154	1,000	1603	40,0	0,942	170	0,825	617
0,0	0,949	144	0,740	955	50,0	0,893	170	0,735	495
0,0	0,907	140	0,632	742	60,0	0,840	172	0,677	400
0,0	0,865	135	0,540	600	70,0	0,788	180	0,645	330
0,0 кр	0,513	168	0,513	168	83,0 кр	0,700	215	0,700	215
260°									
280°									
300°									
320°									
340°									
360°									

Таблица 2

Критические параметры системы циклогексан — двуокись углерода

C_6H_{12}	t , °C	p , атм	v , см ³ /моль	$N_{C_6H_{12}}$	t , °C	p , атм	v , см ³ /моль
0,000	31,0	72,9	94	0,625	240,0	95	204
0,157	100,0	138	98	0,660	245,0	89	209
0,280	150,0	148	120	0,800	262,0	66	234
0,430	200,0	125	158	1,000	280,0	40,0	308
0,513	220,0	117	178				

Упругость пара чистого циклогексана и его ортобарические молярные объемы взяты соответственно из [3] и [6].

Для системы циклогексан — закись азота вторую часть исследований (определение давлений) не проводили из-за опасения взрыва.

Обсуждение результатов

В жидком состоянии циклогексан и двуокись углерода (закись азота) неограниченно смешиваются друг с другом.

Критическая кривая $t - N$ монотонно меняется от критической температуры одного компонента до критической температуры другого компонента. Так как критические температуры компонентов сильно различаются, то на критической кривой $p - N$ имеется максимум по давлению.

Авторы на примере системы циклогексан — двуокись углерода обратили внимание на одну интересную закономерность, которой дали название правила совпадения линий нод.

Авторы на примере системы циклогексан — двуокись углерода обратили внимание на одну интересную закономерность, которой дали название правила совпадения линий нод.

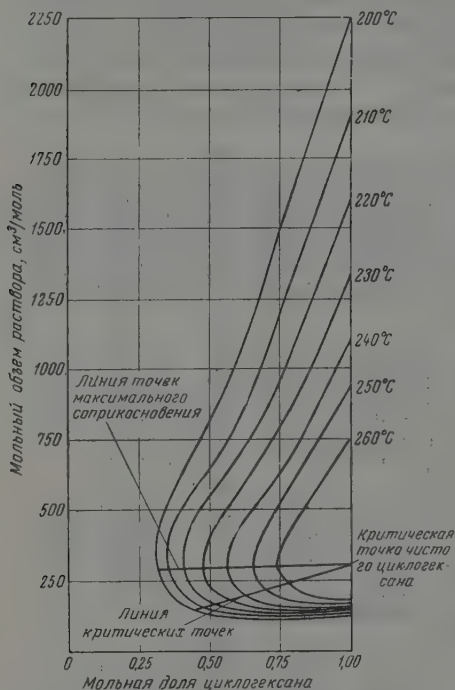


Рис. 2. Диаграмма $v - N$ при $t = \text{const}$ для систем $\text{C}_6\text{H}_{12} - \text{CO}_2$, $\text{C}_6\text{H}_{12} - \text{N}_2\text{O}$

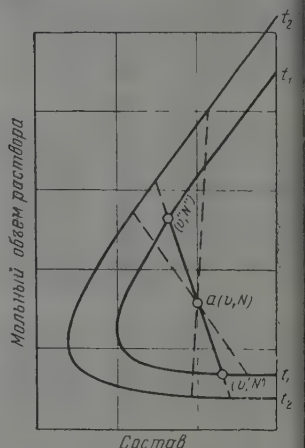


Рис. 3. Диаграмма $v - N$ для объяснения правила совпадения линий нод

На рис. 3 представлены две изотермы в координатах $v - N$. Пусть точка a , координаты которой v и N , принадлежит к гетерогенной области обеих изотерм. Через эту точку для каждой изотермы проходит линия нод. Пусть для изотермы t_1 линия нод пересекает пограничную изотерму в точках с координатами N'' , v'' и N' , v' .

Ставится вопрос: под каким наклоном должна пройти линия нод для изотермы t_2 через точку a ? В случае системы циклогексан — двуокись углерода авторы обнаружили, что при переходе от одной температуры к другой не происходит изменения наклона линий нод (рис. 4), проходящих через любую фигуративную точку. Другими словами, линии нод совпадают для всех изотерм. Давления на совпавших линиях нод при различных температурах, конечно, различны. Для чистых веществ такое совпадение само собою разумеется.

Можно показать термодинамически, что совпадение линий нод происходит тем точнее, чем ближе фигуративная точка расположена в критической точке при данной температуре.

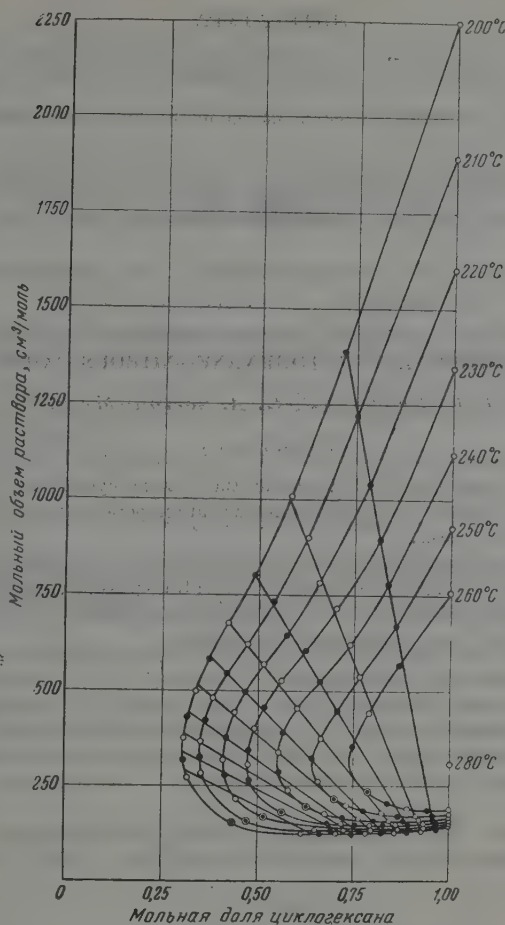


Рис. 4. Общая диаграмма $v - N$ с линиями нод для системы $C_6H_{12} - CO_2$

Авторы предполагают проверить правило совпадения линий нод на ющихся в литературе данных.

Авторы приносят благодарность Г. Д. Ефремовой за предоставление аппаратуры для измерения давления сосуществующих фаз.

Выводы

1. Политермическим методом исследованы фазовые равновесия жидкость — газ в системах циклогексан — двуокись углерода и циклогексан — азот при температурах от 200 до 260°C и при давлениях до 150 атм.
2. Для системы циклогексан — двуокись углерода обнаружена закономерность (правило совпадений линий нод), заключающаяся в том, что линия, проходящая через заданную фигуративную точку, не изменяет своего направления при переходе от одной температуры к другой.

ЛИТЕРАТУРА

1. И. Р. Кричевский и Г. А. Сорина, Ж. физ. химии, 33, 1151, 1959.
2. S. J. Kaarsemaker a. J. Coors, Recueil trav. chim., Pays-Bas 71, 26, 1952.
3. Д. Р. Стэлл, Таблицы давления паров индивидуальных веществ, ИЛ, М., 1949.
4. И. Р. Кричевский, Н. Е. Хазанова, Л. Р. Линшиц, Ж. физ. химии, 31, 2711, 1957.
5. K. A. Kobe a. R. Lynn, Jr. Chem. Rev., 52, 117, 1953.
6. Landolt-Börnstein, Phys.-chem. Tabellen, Bd. I, 276, 1923.

GAS—LIQUID PHASE EQUILIBRIA IN THE SYSTEMS CYCLOHEXANE—CARBON DIOXIDE AND CYCLOHEXANE—NITROUS OXIDE

I. R. Krichevskii, G. A. Sorina (Moscow)

Summary

Gas — liquid phase equilibria studies in the systems cyclohexane—carbon dioxide and cyclohexane — nitrous oxide have been made at temperatures from 200 to 260° C and pressures up to 150 atm.

A correlation has been found for the system cyclohexane — carbon dioxide (rule of nodal line coincidence) according to which the nodal lines passing through a predetermined figurative point on the molal volume — molal fraction diagram do not change their direction on passing from one temperature to another.

О ВЛИЯНИИ ОКИСНЫХ ПЛЕНОК НА СКОРОСТЬ ИСПАРЕНИЯ

Ан. Н. Несмеянов, Н. Э. Хандожилова, З. Д. Виленский,
Е. А. Бирин и Е. А. Борисов

Наиболее распространенными методами определения малых давлений пара (ниже 1 мм рт. ст.) являются методы испарения с открытой поверхности Лэнгмюра [1] и истечения пара через малое отверстие — эффузионный метод Кнудсена [2].

В обоих методах давление пара рассчитывается из скорости испарения по формуле:

$$p = 17,14 G \sqrt{\frac{T}{M}} \text{ мм}, \quad (1)$$

где G — скорость испарения $\text{г/см}^2 \text{ сек}$; T — температура в градусах Кельвина; M — молекулярный вес исследуемого вещества в парообразном состоянии.

При использовании метода Лэнгмюра в знаменатель вводится коэффициент Лэнгмюра α [2, 3], который характеризует отклонение измеренной скорости испарения от вычисленной из давления насыщенного пара по формуле (1). Этот коэффициент зависит от трех основных факторов: состава пара над конденсированной фазой [4], энергетического состояния поверхности, наличия на поверхности окисных или других посторонних пленок [5].

В методе Кнудсена коэффициент испарения входит в виде поправки на насыщенность пара в эффузионной камере [6] в формулу:

$$\frac{p'}{p} = \frac{1}{1 + aK/s} \quad (2)$$

где p' — измеренное давление; p — давление насыщенного пара, вычисленное по формуле (1); a — площадь эффузионного отверстия; s — поверхность, которой происходит испарение; K — коэффициент Клаузинга.

Сравнение данных по давлению пара, полученных методами Кнудсена и Лэнгмюра, может служить одним из способов определения α . Однако разница в значениях давления пара, полученных обоими методами, может зависеть и от других причин; например, охлаждение поверхности при больших скоростях испарения ведет к значительному уменьшению скорости испарения [5].

Метод изотопного обмена [7] вследствие отсутствия этого явления, а также ряда других ошибок, позволяет вычислить коэффициент α путем сравнения данных по давлению пара, полученных обменом с открытой поверхностью и через малое отверстие, с большой степенью точности.

В данной работе исследовалось влияние одного из вышеуказанных факторов, а именно, окисных пленок на скорость испарения и коэффициент α .

Экспериментальная часть

В качестве объектов исследования были выбраны металлические цинк, кадмий, виллий и свинец. Скорость испарения и давление насыщенного пара цинка, кадмия и свинца измерялась методом изотопного обмена с использованием в качестве индикаторов радиоактивных изотопов Zn^{65} , Cd^{113} , RaD . Скорость испарения цинка измерялась также методом Кнудсена.

Образцы металла для изотопного обмена, активный и неактивный, готовили электролитическим путем. Электролиз цинка проводился из щелочного раствора при силе тока 30—50 мА в случае использования медного катода и при 100—150 мА при выделении на молибденовой фольге (материал подложки не влиял на скорость испарения). Свинец выделялся на платине из уксуснокислого раствора при силе тока 10 мА. Кадмий вырезался из активной и неактивной фольги. Все образцы имели площадь $0,95 \text{ см}^2$.

Бериллий исследовался интегральным вариантом метода Кнудсена [8] с определением количества конденсата на приемнике аналитически. Налет металла смывался с приемника $0,1 \text{ N HCl}$. Затем раствор колориметрировался на ФЭК-52 при красном светофильтре с применением реактива «бериллон II ИРЕА».

Аппаратура и методика, использованные в работе, были аналогичны описанной ранее [9, 10]. Эффузионная камера имела сечение площадью 1 см^2 .

Для выяснения вопроса о скорости испарения свинца было также произведено измерение давления пара над двуокисью свинца интегральным вариантом метода Кнудсена при 468°K . Масса испарившегося вещества определялась колориметрически в лаборатории геохимии геологического факультета МГУ. Результаты работы приведены в табл. 1—3.

Обсуждение результатов

Известно, что подавляющее большинство металлов легко покрывается окисными пленками. Механизм испарения с окисленной поверхности точно неизвестен. Можно предположить, что испарение металла происходит через имеющиеся в окиси трещины. Структура окисной пленки, зависящая от способа получения и обработки поверхности, прочность сцепления ее с металлом, летучесть окисла — все эти факторы влияют на скорость испарения металла.

При работе с цинком было замечено, что полученная при электролизе поверхность металла быстро покрывается рыхлой пленкой окиси. Если эту поверхность подвергнуть механической обработке — полировке или шлифованию, то скорость окисления возрастает, но толщина самой пленки уменьшается, так как быстро образующийся окисел препятствует дальнейшему окислению металла.

Таблица 1
Экспериментальные данные по скоростям испарения цинка

№ опыта	T, °K	g, г	t·10 ³ , сек	s, см ²	G, $\frac{\text{г}}{\text{см}^2 \cdot \text{сек}}$	α
1	627	$1,15 \cdot 10^{-5}$	0,9	$2,54 \cdot 10^{-4}$	$5,04 \cdot 10^{-5}$	$1,94 \cdot 10^{-1}$
2	627	$1,08 \cdot 10^{-5}$	0,9	$2,54 \cdot 10^{-4}$	$4,74 \cdot 10^{-5}$	$1,82 \cdot 10^{-1}$
3	612	$9,81 \cdot 10^{-4}$	0,9	$7,85 \cdot 10^{-1}$	$1,39 \cdot 10^{-7}$	$7,25 \cdot 10^{-3}$
4	605	$6,08 \cdot 10^{-4}$	0,9	$2,54 \cdot 10^{-4}$	$8,60 \cdot 10^{-7}$	$7,41 \cdot 10^{-3}$
5	587	$1,28 \cdot 10^{-6}$	1,8	$7,85 \cdot 10^{-1}$	$2,79 \cdot 10^{-6}$	$4,89 \cdot 10^{-2}$
6	584	$5,10 \cdot 10^{-7}$	0,9	$7,85 \cdot 10^{-1}$	$7,22 \cdot 10^{-10}$	$1,48 \cdot 10^{-5}$
7	578	$7,24 \cdot 10^{-6}$	0,9	$7,85 \cdot 10^{-1}$	$1,03 \cdot 10^{-8}$	$2,69 \cdot 10^{-4}$
8	561	$6,12 \cdot 10^{-5}$	0,9	$7,85 \cdot 10^{-1}$	$8,67 \cdot 10^{-8}$	$4,67 \cdot 10^{-3}$
9	557	$2,50 \cdot 10^{-7}$	1,2	$7,85 \cdot 10^{-1}$	$2,65 \cdot 10^{-10}$	$1,73 \cdot 10^{-5}$
10	557	$4,20 \cdot 10^{-8}$	1,2	$7,85 \cdot 10^{-1}$	$4,46 \cdot 10^{-9}$	$2,95 \cdot 10^{-4}$
11	542	$3,69 \cdot 10^{-6}$	0,9	$7,85 \cdot 10^{-1}$	$5,22 \cdot 10^{-9}$	$7,07 \cdot 10^{-3}$
12	542	$2,28 \cdot 10^{-5}$	0,9	$7,85 \cdot 10^{-1}$	$3,23 \cdot 10^{-6}$	$4,36 \cdot 10^{-3}$
13	535	$2,44 \cdot 10^{-5}$	0,9	$7,85 \cdot 10^{-1}$	$3,46 \cdot 10^{-8}$	$6,61 \cdot 10^{-3}$
14	530	$1,00 \cdot 10^{-7}$	1,2	$7,85 \cdot 10^{-1}$	$1,06 \cdot 10^{-11}$	$2,57 \cdot 10^{-5}$
15	526	$5,00 \cdot 10^{-7}$	1,8	$7,85 \cdot 10^{-1}$	$5,18 \cdot 10^{-10}$	$2,09 \cdot 10^{-4}$
16	515	$3,63 \cdot 10^{-5}$	1,5	$7,85 \cdot 10^{-1}$	$3,08 \cdot 10^{-8}$	$1,68 \cdot 10^{-3}$
17	508	$2,49 \cdot 10^{-6}$	1,5	$7,85 \cdot 10^{-1}$	$2,11 \cdot 10^{-9}$	$1,69 \cdot 10^{-2}$
18	492	$4,47 \cdot 10^{-6}$	0,9	$7,85 \cdot 10^{-1}$	$6,33 \cdot 10^{-9}$	$1,29 \cdot 10^{-2}$
19	465	$1,00 \cdot 10^{-7}$	1,8	$7,85 \cdot 10^{-1}$	$7,08 \cdot 10^{-11}$	$7,95 \cdot 10^{-2}$

Как видно из табл. 1, действительно, скорость испарения с необработанной поверхности (опыты 8, 13, 16), на которой имелась рыхлая пленка с большим числом трещин, больше чем с полированной (опыт

10, 14, 19), покрытой очень плотной и тонкой пленкой. Было замечено, что полированная поверхность не всегда сохраняет свой вид в процессе работы, причем изменения, происходящие на поверхности, связаны с остаточным давлением в приборе. С увеличением остаточного давления в приборе степень окисления увеличивается и поверхность приобретает серую окраску, что сопровождается изменениями в скоростях испарения; скорость испарения с темно-серых, более окисленных образцов (опыты 3, 4, 18), больше, чем со светлых (опыты 7, 15).

Скорость испарения, измеренная для этих образцов методом Кнудсена, как это видно из данных, намного выше (опыты 1, 2, 5), что указывает на меньшее влияние коэффициента α в этом методе.

В аналогичных условиях при обмене через малое отверстие [10] данные давлению насыщенного пара цинка хорошо согласуются с данными, полученными другими методами.

Расхождение между данными, полученными разными способами, объясняется тем, что влияние коэффициента α в случае обмена через малое отверстие много меньше, чем при обмене с открытой поверхности. Так, при $\alpha = 10^{-2}$ ошибка в скорости обмена составляет 5%, что находится в пределах ошибок опыта.

Вероятность того, что коэффициент Лэнгмюра для цинка отличается от единицы за счет несоответствия состава пара составу конденсированной фазы, мала, поскольку теплота испарения димерных молекул 55 ккал/моль [1], в то время как для мономерных молекул она составляет около 1 ккал/моль, что позволяет считать пары цинка моноатомными. Совершенно аналогичная картина наблюдалась нами и для кадмия. При измерении давления насыщенного пара твердого свинца было замечено, что скорость испарения с исследуемых образцов много больше той, которую можно было бы ожидать из экстраполяции данных по давлению пара для чистого свинца [12]. Как видно из табл. 2, скорость испарения изменяет-

Таблица 2

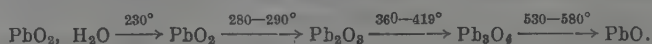
Экспериментальные данные по скоростям испарения свинца

№ опыта	T, °K	g, г.	t·10 ³ , сек	s, см ²	G, $\frac{г}{см^2 \text{ сек}}$
1	545	5,22·10 ⁻⁸	7,2	3,03·10 ⁻⁴	2,39·10 ⁻⁸
2	545	7,37·10 ⁻⁸	7,2	3,03·10 ⁻⁴	3,39·10 ⁻⁸
3	543	1,01·10 ⁻⁶	3,6	7,85·10 ⁻¹	3,58·10 ⁻¹⁰
4	543	7,76·10 ⁻⁹	3,6	7,85·10 ⁻³	2,75·10 ⁻¹⁰
5	541	6,62·10 ⁻⁸	3,6	7,85·10 ⁻¹	2,34·10 ⁻¹⁰
6	525	1,03·10 ⁻⁶	3,6	7,85·10 ⁻¹	3,64·10 ⁻¹⁰
7	525	7,99·10 ⁻⁹	7,2	3,03·10 ⁻⁴	3,66·10 ⁻⁹
8	524	3,34·10 ⁻⁹	3,6	7,85·10 ⁻³	1,18·10 ⁻¹⁰
9	525	2,17·10 ⁻⁷	3,6	7,85·10 ⁻¹	7,68·10 ⁻¹¹
10	524	1,08·10 ⁻⁸	7,2	3,03·10 ⁻⁴	4,93·10 ⁻⁹
11	524	1,85·10 ⁻⁷	3,6	7,85·10 ⁻¹	6,55·10 ⁻¹¹
12	505	6,64·10 ⁻⁶	3,6	7,85·10 ⁻¹	2,36·10 ⁻⁹
13	505	8,12·10 ⁻⁸	3,6	7,85·10 ⁻¹	2,87·10 ⁻¹¹
14	505	7,48·10 ⁻⁹	7,2	3,03·10 ⁻⁴	3,43·10 ⁻⁹
15	505	6,56·10 ⁻⁸	3,6	7,85·10 ⁻¹	2,32·10 ⁻¹¹
16	504	4,47·10 ⁻⁹	7,2	3,03·10 ⁻⁴	2,05·10 ⁻⁹
17	485	6,95·10 ⁻⁸	3,6	7,85·10 ⁻¹	2,46·10 ⁻¹¹
18	459	6,51·10 ⁻⁹	3,6	7,85·10 ⁻¹	2,30·10 ⁻¹²
19	410	5,15·10 ⁻⁸	7,2	7,85·10 ⁻¹	9,09·10 ⁻¹²

ся в зависимости от площади обменного отверстия (опыты 1, 2, 3, 4, 6, 7, 9, 10, 11, 13, 14, 15, 16). Так как масса испарившегося вещества опре-

делялась по количеству RaD , то на поверхности образцов имеются какие-то более летучие соединения свинца.

Оказалось, что за счет электрохимических процессов на поверхности металлического свинца образуется двуокись свинца PbO_2 , которая подвергается превращениям по следующей схеме [13, 14]:



Указанные окислы способны образовывать между собой твердые растворы переменного состава Pb_xO_y .

Наличие этой фазы доказано следующим образом. Рентгенограммы, снятые с исследуемых образцов свинца и двуокиси PbO_2 , прогретые в одном и том же интервале температур, совпали, причем они содержали в себя линии, не принадлежащие ни к одному из известных соединений свинца.

Давление насыщенного пара над двуокисью свинца, измеренное методом Кнудсена и путем обмена через малое отверстие над образцами металлического свинца, совпало в пределах ошибок опыта. Это свидетельствует о сложности процессов испарения с поверхности, содержащей посторонние примеси и возможности завышения результатов по давлению пара за счет образования на поверхности окисных пленок.

Во время работы с Ве обнаружилась также большая склонность этого металла к окислению. Это подтвердилось рентгенографически, а также путем сравнения данных по давлению пара, вычисленных по потере весов камеры и путем анализа конденсата на приемнике.

Таблица 3

Экспериментальные данные по скоростям испарения бериллия

№ опыта	T, °K	$g \cdot 10^6, \text{г}$	$t \cdot 10^3, \text{сек}$	$s \cdot 10^{-4}, \text{см}^2$	K	$G, \frac{\text{г}}{\text{см}^2 \cdot \text{сек}}$
1	1380	1,76	5,4	8,81	0,95	$3,88 \cdot 10^{-6}$
2	1408	3,81	2,4	14,1	0,95	$1,19 \cdot 10^{-5}$
3	1423	2,28	1,2	75,0	0,87	$2,91 \cdot 10^{-6}$
4	1443	2,94	2,7	8,76	0,95	$4,42 \cdot 10^{-5}$
5	1443	2,28	1,8	3,49	0,90	$4,03 \cdot 10^{-5}$
6	1449	4,13	1,8	6,73	0,82	$3,71 \cdot 10^{-5}$
7	1465	16,0	2,7	8,76	0,95	$7,13 \cdot 10^{-5}$
8	1473	9,16	1,1	7,50	0,85	$1,13 \cdot 10^{-5}$
9	1478	2,1	1,8	14,1	0,95	$8,71 \cdot 10^{-6}$
10	1530	1,77	1,2	14,1	0,95	$1,11 \cdot 10^{-5}$

Как видно из табл. 3, наличие окисной пленки по-разному влияет на результаты измерения скорости испарения при различных площадях эффективного отверстия. Так, при изменении площади отверстия от $3,49 \cdot 10^{-4}$ до $1,41 \cdot 10^{-3} \text{ см}^2$ (опыты 1, 2, 4, 5) величина отверстия не влияет на результаты, однако при переходе к отверстиям с площадью $7,5 \cdot 10^{-3} \text{ см}^2$ (опыты 3, 8) наблюдается значительное занижение данных.

При увеличении степени окисления предел, в котором скорость испарения не зависит от площади отверстия, снижается, так как играет роль соотношение испаряющей поверхности и площади отверстия.

Выводы

1. Показана возможность применения метода изотопного обмена для изучения механизма испарения и определения коэффициента испарения.
2. Обнаружена зависимость скорости испарения и коэффициента Лэнгмюра α от степени окисления.

3. Установлено, что скорость испарения зависит от механической обработки поверхности и остаточного давления в приборе.
4. Доказано существование на поверхности свинца при температурах 45—409°K твердых растворов окислов переменного состава.
5. Показано, что наличие окисных пленок на поверхности металла может приводить как к занижению (цинк, кадмий, бериллий), так и к завышению (свинец) результатов по давлению пара.

Московский государственный университет
им. М. В. Ломоносова

Поступила
6.IX.1958

ЛИТЕРАТУРА

1. I. Langmuir, Phys. Rev., 2, 329, 1913.
2. M. Knudsen, Ann. Physik, 28, 75, 1909.
3. M. Knudsen, Ann. Physik, 47, 697, 1915.
4. L. Brewer, J. Kane, J. Phys. Chem., 59, 105, 1955.
5. O. Knaske, I. Stranski, Progr. Metal. Phys., 6, 181, 1956.
6. M. G. Rossman, I. Yagwood, J. Chem. Phys., 1, 1406, 1953.
7. Ан. Н. Несмеянов, Н. Ф. Лебедев, В. И. Лозгачев, Э. Г. Чудинов, Сессия по мирному использованию атомной энергии. Отд. тех. наук, 1955.
8. Ю. А. Приселков, Ан. Н. Несмеянов, Докл. АН СССР, 95, № 6, 1954.
9. Я. И. Герасимов, Ан. Н. Несмеянов, Н. Э. Хандамирова, А. М. Евсеев, Г. В. Пожарская, Е. А. Борисов, Ж. неорганической химии, 4, 2192, 1959.
10. А. Н. Несмеянов, И. М. Ильичева, Ж. физ. химии, 32, 423, 1958.
11. The chemistry and metallurgy of miscel. materials thermodynamics New York, Toronto, London, 1950, VII.
12. W. H. Rodebuch, A. L. Dixon, Phys. Rev., 26, 851, 1925.
13. T. Carnelly, J. Chem. Soc., 53, 59, 1888.
14. T. Katz, Ann. chimie, 12, 5, 5, 1950.

EFFECT OF OXIDE FILMS ON THE RATE OF VAPORIZATION

*An. N. Nesmeyanov, N. E. Khandamirova, V. D. Vilenskii, E. A. Birin,
E. A. Borisov (Moscow)*

Summary

The investigation is devoted to a study of the effect of oxide films on the vaporization rate of metallic zinc, cadmium, beryllium and lead.

Zinc, cadmium and lead were investigated by the isotope exchange method with the use of Zn^{65} , Cd^{113} and RaD as indicators, beryllium by the integral variant of the Knudsen effusion method with analytical determination of the amount of condensate.

The effect of finishing and of the residual pressure in the apparatus on the structure and character of the oxide films and on the vaporization rate has been determined.

In the experiments with lead the presence of solid solutions of oxides of varying composition was revealed on the surface.

It was shown that the presence of oxides may affect the results of vapor pressure determinations by the rate of vaporization, both in the direction of low (zinc, cadmium, beryllium), as well as too high (lead) values.

КИНЕТИКА КАТОДНОГО ВЫДЕЛЕНИЯ ВИСМУТА

1. ПОЛЯРОГРАФИЧЕСКИЕ ВОЛНЫ РАЗРЯДА ИОНОВ ВИСМУТА ИЗ НЕКОМПЛЕКСНЫХ ЭЛЕКТРОЛИТОВ

М. А. Лошкарев и Е. И. Дубяго

Большинство работ по исследованию осаждения висмута на ртуть преследовало чисто аналитические цели. Положительное значение полу волнового потенциала в большой мере облегчало эту задачу, даже для тех случаев, когда висмут находился в виде примеси со сравнительно небольшим процентным содержанием.

Со значительными затруднениями мы встречаемся лишь при попытках полярографического определения висмута в присутствии меди, сурьмы, мышьяка и некоторых других металлов с близкими значениями обратимых потенциалов.

Наконец, склонность солей висмута к гидролизу и образованию непрочных комплексных соединений, а также обнаруженное в последнее время искажение полярографических волн под влиянием органических примесей в электролите явились причиной для более детального исследования кинетики этого процесса.

К одним из первых работ по полярографии висмута следует отнести исследование [1—3], в которых изучалось выделение висмута из растворов отдельных сильных кислот. Позднее данные этих авторов были уточнены в работе [4], и получены более точные значения $\phi_{1/2}$ для осаждения висмута из растворов соляной, азотной и серной кислот.

Изучению влияния фона на высоту и расположение полярографических волн посвящены работы [5—8]. К сожалению, в литературе мы почти не встречались с детальным изучением влияния состава электролита на форму полярографической кривой, являющейся отражением кинетики электродного процесса. Имеющиеся в этом отношении сведения ограничиваются отдельными указаниями в работах [9—11].

Что касается изменения скорости катодного процесса под влиянием адсорбции добавок, то после опубликования первых наших работ по адсорбционной химической поляризации этот эффект был обнаружен для полярографических волн многих металлов, в том числе и висмута [12]. Однако специальных исследований и обсуждения особенностей действия добавок на кинетику катодного выделения висмута в литературе опубликовано не было.

Расположение полуволнового потенциала висмута значительно положительнее нулевой точки ртути, а также большая область диффузионного предельного тока, заканчивающаяся при больших отрицательных значениях заряда поверхности ртути, позволяют наиболее полно изучить действие адсорбционных слоев на кинетику электродного процесса. Отдельные указания о наличии заметной необратимости электрокристаллизации висмута из сернокислых и хлорнокислых электролитов придает этим исследованиям дополнительный интерес, поскольку позволяет изучить кинетику катодного выделения в условиях почти идеального постоянства свойств катодной поверхности.

Экспериментальная часть

Условия опытов. Снятие полярографических кривых производилось на визуальной установке, описанной в предыдущей работе [13]. Во всех случаях одновременно с основными измерениями определялся и ток фона.

Характеристика капилляра: период капания — 2,67 сек., скорость вытекания ртути из капилляра 0,0259 г/сек. Анаодом служила ртуть, заполнявшая дно электролизера. В качестве электрода сравнения был принят насыщенный каломелевый электрод. Полярограммы снимались при 25°, постоянство температуры поддерживалось при помощи ультратермостата ТС-15 с выносным теплообменником, в который помещалась электролитическая ячейка.

Адсорбция поверхностноактивных веществ изучалась путем снятия электрокапиллярных кривых. На описании методики определения величины поверхностного напряжения мы останавливаться не будем, поскольку она изложена в прежних работах.

Электролиты готовились путем растворения химически чистой окиси висмута в концентрированных кислотах. Фенолсульфоновая и толуолсульфоновая кислоты были получены при сульфировании фенола и толуола высокопроцентным олеумом. Оставшаяся после сульфирования свободная серная кислота осаждалась в виде $PbSO_4$; раствор обрабатывался сероводородом.

Применяемая в работе ртуть предварительно подвергалась химической очистке подкисленным раствором $Hg_2(NO_3)_2$ и затем дважды перегонялась под вакуумом.

Обсуждение результатов

На рис. 1 представлены полярографические волны висмута, снятые из растворов, содержащих в виде фона двунормальные кислоты: серную, соляную, азотную, хлорную, толуолсульфоновую и фенолсульфоновую.

Полуволновые потенциалы $\varphi_{1/2}$, численные значения которых получены при 25° и $c_{Bi^{3+}} = 0,01 N$ и представлены в табл. 1, удовлетворительно совпадают с данными [4] и не-
 сколько отличаются от данных [14].

Высота предельного диффузионного тока i_d также близка к расчетной величине, полученной из уравнения Ильковича.

В исследуемой области концентраций висмута удовлетворительно соблюдается пропорциональность между его содержанием и величиной диффузионного предельного тока (рис. 2).

Таким образом, представлены кривые с достаточной для аналитических целей полнотой характеризуют полярографическое поведение висмута в изучаемых растворах.

На рис. 1 обращает на себя внимание различие в наклоне кривых i/φ при величинах i , меньших i_d , т. е. в области, где ход полярографических кривых может в большей мере определяться наряду с диффузией чисто кинетическими затруднениями процесса.

Из сопоставления кривых видно, что в одинаковых по диффузии условиях степень необратимости электродного процесса зависит от выбранного фона и достигает наибольших значений для выделения висмута из пероксисерной и фенолсульфоновой электролитов.

Перед тем как перейти к более детальному рассмотрению катодного процесса в каждом из электролитов, нужно было учесть, что измеряемое значение электродного потенциала представляет собой сумму действительной величины катодного потенциала φ , омического падения напряжения в электролите и ртути ($\Delta E_{эл} + \Delta E_{Hg}$) и диффузионного потенциала φ_d и внести соответствующие коррективы в результаты измерений.

Если различие значений φ_d вносит некоторую ошибку только приравнивании полуволновых потенциалов висмута для различных фонов, то омическое падение напряжения, если оно достаточно велико, может исказить результаты анализа кривых i/φ .

Таблица 1

Значения полуволновых потенциалов для выделения висмута из растворов с различными фонами ($t = 25^\circ$, $c_{Bi^{3+}} = 0,01N$)

Фон	Значения $\varphi_{1/2}$, V	
	Наши данные	Данные [4]
1N H_2SO_4	-0,002	-0,02
1N HCl	-0,10	-0,11
1N HNO_3	-0,01	-0,03
2N CH_3CO_2H	-0,007	—
2N $HOOC_2H_4SO_3H$	-0,048	—
1N $HClO_4$	-0,067	—

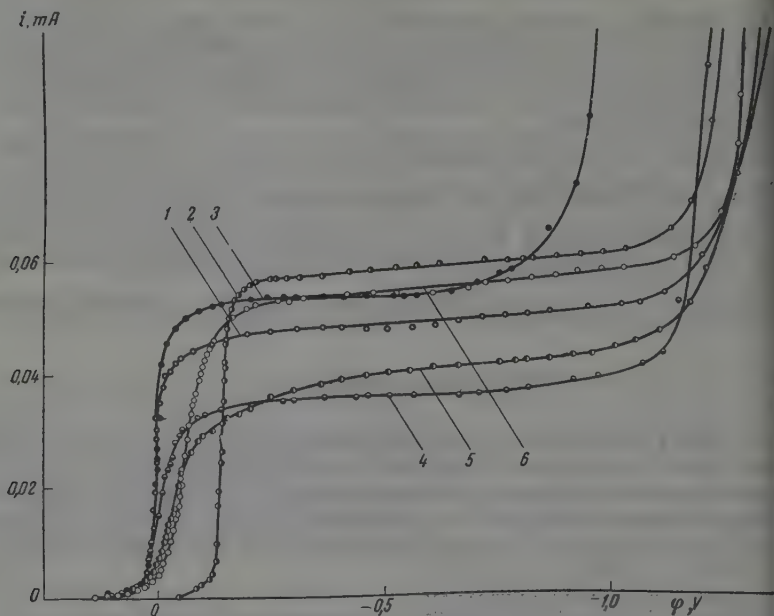


Рис. 1. Полярографические волны выделения висмута из некомплексных электролитов. Концентрация кислоты $2N$, соли висмута $0,01 N$, фон: 1 — H_2SO_4 ; 2 — HNO_3 ; 3 — HNO_3 ; 4 — $CH_3C_6H_4SO_3H$; 5 — $HOOC_6H_4SO_3H$; 6 — $HClO_4$

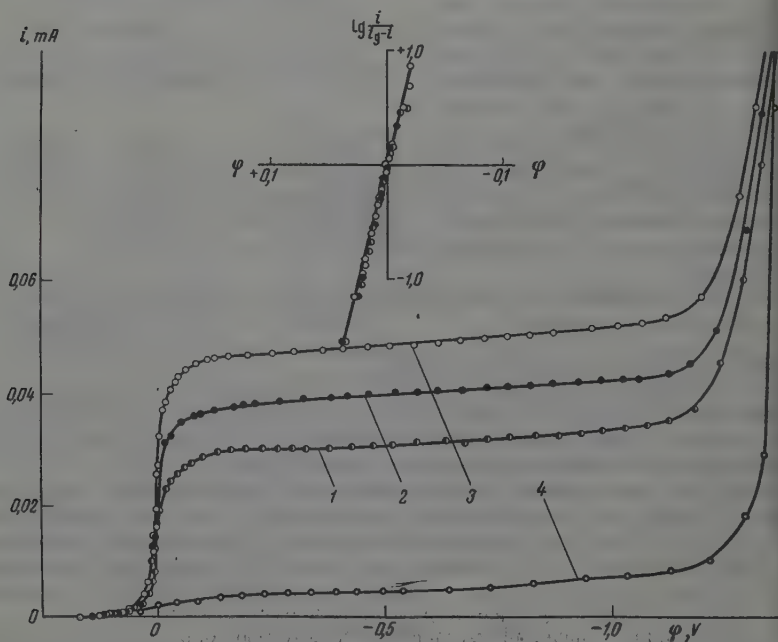


Рис. 2. Влияние концентрации висмута на высоту и форму полярографической волны. Концентрация Bi^{3+} : 1 — $0,006 N$; 2 — $0,008 N$; 3 — $0,01 N$; 4 — фон — $2 N H_2SO_4$

Учет возможных ошибок такого рода может быть выполнен либо методом сравнения с процессом, имеющим уже известную кинетику, что было сделано А. Г. Стромбергом [15] и Я. И. Турьяном [16], либо путем подсчета каждого из слагаемых.

Нами был использован последний способ, приводящий, по нашему мнению, к более точным результатам. Величины диффузионного потенциала вычислялись по уравнению Гендерсона [17], дающему наиболее близкие к опытным данным значения φ_d . Последние для одинаковых концентраций тех сильных кислот практически мало отличаются друг от друга и составляют около 20 мВ. Заметные изменения φ_d наблюдаются лишь при резком увеличении или понижении кислотности раствора.

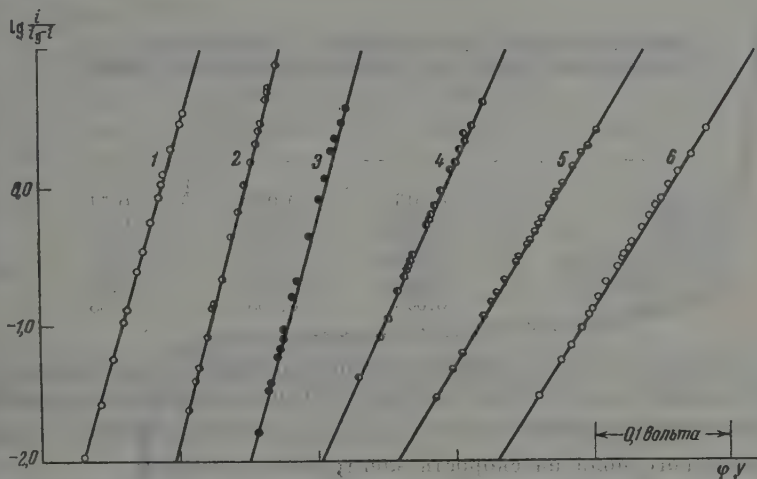


Рис. 3. Графическая проверка опытных данных по уравнению (2) фон: 1 — H_2SO_4 ; 2 — HCl ; 3 — HNO_3 ; 4 — $\text{CH}_3\text{C}_6\text{H}_4\text{SO}_3\text{H}$; 5 — $\text{HOOC}_6\text{H}_4\text{SO}_3\text{H}$; 6 — HClO_4 . Концентрация Bi^{3+} — 0,01 N

Расчет омического падения напряжения в электролите производился по интегральному уравнению, учитывающему падение напряжения в шаговом слое:

$$\Delta E_{\text{эл}} = \int_{r_1}^{\infty} \frac{i}{x} \frac{dr}{4\pi r^2} \quad (1)$$

Для среднего радиуса ртутной капли в наших условиях ($r_1 = 0,06$ см) максимального тока в 0,03 мА омическое падение напряжения в 2 N H_2SO_4 составляло 0,2 мВ, что практически совпадало с результатами прямого измерения электропроводности на платиновой модели капли в тех же условиях (0,15 мВ). Сумма омических падений напряжения в ртути и переходных контактах также не превышала 1 мВ. Таким образом, в наших условиях следовало учитывать лишь φ_d .

Исправленные значения полувольтных потенциалов выделения висмута из растворов различных кислот собраны в табл. 2.

В той же таблице и на рис. 3 представлены результаты пересчета опытных данных по уравнению:

$$\varphi = \varphi_{1/2} - b \ln \frac{i}{i_d - i} \quad (2)$$

Для удобства рассмотрения кривые $\lg \frac{i}{i_d - i} - \varphi$ произвольно смещены относительно друг друга по оси потенциалов. Там же дан масштаб φ .

Как видно, во всех случаях получена прямолинейная зависимость, однако предлогарифмические коэффициенты, характеризующие наклон этих прямых, различны. Для большинства электролитов, коэффициент b превышает значение, характерное для наличия одной концентрационной поляризации ($\sim 0,020$ V), а при выделении висмута из хлорнокислого, фенол- и толуолсульфоновокислых электролитов наблюдается торможение, имеющее явно активационный характер. В связи с последним интересно заметить, что наличие химической поляризации при катодном осаждении висмута из сернокислых растворов отмечалось О. А. Есиным [18]. Замедленный разряд констатировался также нами для электрокристаллизации висмута из хлорнокислых электролитов [13].

Таблица 2

Значения полувольтных потенциалов и коэффициентов b и α для выделения висмута из растворов с различными фонами

Фон	$\varphi_{1/2}$, V	$b = \frac{RT \cdot 2.3}{\alpha n F}$	α
2N H ₂ SO ₄	+0,015	0,0272	0,71
2N HCl	-0,125	0,0247	0,78
2N HNO ₃	+0,02	0,0253	0,76
2N CH ₃ C ₆ H ₄ SO ₃ H	+0,0158	0,041	0,47
2N HOC ₆ H ₄ SO ₃ H	-0,0252	0,055	0,35
2N HClO ₄	-0,048	0,058	0,33

В последнем случае величина предлогарифмического коэффициента b для выделения на ртути выше, чем для твердого электрода, что указывает на уменьшение коэффициента $\alpha = \frac{1}{b} \frac{RT}{0,43 \cdot 3 \cdot F}$, характеризующего влияние электрического поля на скорость электродного процесса.

Раньше мы отмечали, что катодные осадки висмута, полученные из хлорнокислых и фенолсульфоновокислых электролитов, были наиболее плотными, ровными и мелкокристаллическими. Такое улучшение качества катодных отложений висмута является, по-видимому, следствием большей степени необратимости процесса разряда.

Значительная зависимость степени торможения катодного выделения висмута от природы аниона может быть связана либо с комплексообразованием, либо с адсорбцией анионов на границе электрод — электролит.

Первое из этих объяснений относится только к хлоридным растворам, для которых констатировано образование комплексных хлорокислот типа HBiCl₄ и H₂BiCl₅ [49].

Характерно, что здесь предлогарифмический коэффициент b практически мало отличается от требуемого для чисто концентрационной поляризации, что совпадает с выводом Гейровского [20] о том, что введение ионов хлора «уничтожает необратимость» катодного выделения ряда металлов на ртути. По величине смещения φ_1 можно рассчитать константу нестойкости комплексных соединений висмута, на чем мы остановимся в следующей статье.

Что же касается остальных растворов, то влияние фона на скорость процесса разряда ионов висмута здесь можно рассматривать лишь с точки зрения теории замедленного разряда с учетом адсорбционных явлений на электродах. При выделении висмута область кинетического тока ($i < i_d$) лежит в диапазоне потенциалов, соответствующих весьма значительной адсорбции ряда анионов на ртути. Резкое снижение поверхностного натяжения в случае фенолсульфоновой и толуолсульфокислоты (рис. 7) указывает на то, что их анионы образуют на ртути наиболее плотные и прочные адсорбционные слои. Обладая значительным ионным объемом, эти

анионы, с точки зрения влияния на электродные процессы, как бы совмещают в себе свойства типичных ионных и молекулярных веществ.

А. Н. Фрумкин [21] и нами [22] отмечалось, что действие таких добавок на электродный процесс, скорость которого является сложной экспоненциальной функцией:

$$i = k \cdot c_{\text{Bi}^{3+}} e^{-\alpha(\varphi - \psi') nF/kT} \left(1 - \frac{i}{i_d}\right) \cdot e^{-\psi' nF/kT} F(\Gamma), \quad (3)$$

может заключаться как в изменении ψ' -потенциала, так и в возрастании потенциального барьера (уменьшение величины k).

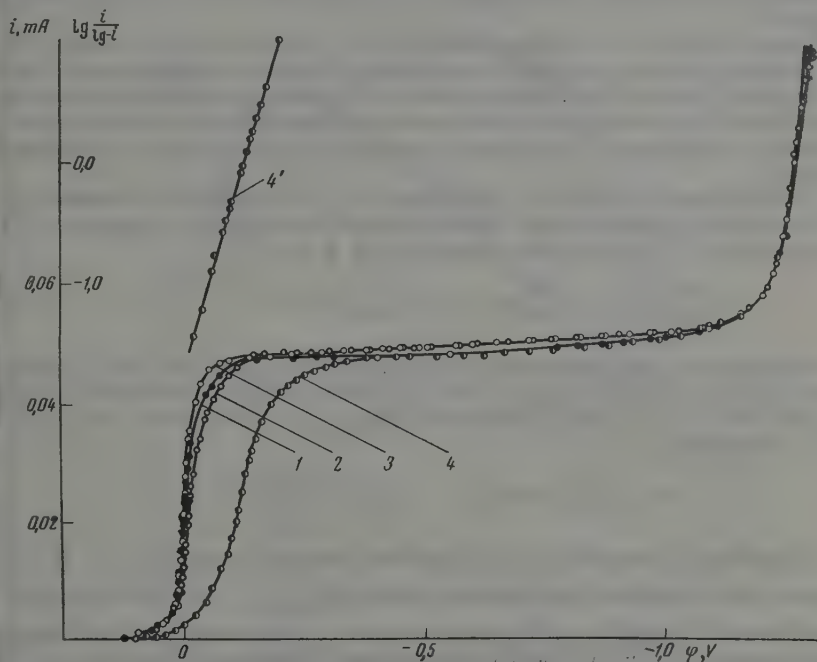


Рис. 4. Влияние добавок сульфокислот на выделение висмута из сернокислого электролита. Состав раствора: $2N \text{ H}_2\text{SO}_4$, $0,01 N \text{ Bi}_2(\text{SO}_4)_3$. 1 — чистый электролит; 2 — $0,005 \text{ моль/л } \text{CH}_3\text{C}_6\text{H}_4\text{SO}_3\text{H}$; 3 — $0,005 \text{ моль/л } \text{HO}_3\text{SC}_6\text{H}_3(\text{OH})\text{CO}_2\text{H}$; 4 — $0,005 \text{ моль/л } \text{C}_{10}\text{H}_7\text{SO}_3\text{H}$; 4 — пересчет данных кривой 4 в координатах $\lg \frac{i}{i_d - i} / \varphi$

Здесь мы встречаемся с одновременным влиянием обоих факторов, причем, поскольку адсорбция анионов, смещая ψ' -потенциал в отрицательную сторону, ускоряет процесс, то, очевидно, увеличение энергии активации (снижение k) должно перекрывать эффект изменения ψ' -потенциала. Этот вывод имеет большое значение, поскольку он указывает на возможность торможения электродных процессов за счет адсорбции поверхностно-активных анионов, что в течение длительного времени считалось маловероятным. Ниже мы увидим, что отдельные поверхностно-активные анионы могут значительно затормозить процесс, даже при введении их в электролит в весьма небольших количествах.

На рис. 4 представлены полярографические волны выделения висмута из сернокислых электролитов, содержащих в качестве добавок различные сульфокислоты. Из рисунка видно, что введение последних приводит к заметному изменению как хода полярографической волны, так и вели-

чины $\varphi_{1/2}$. Характерно, что при добавлении в раствор нафталинсульфокислоты или ее натриевой соли сдвиг полуволнового потенциала в отрицательную сторону составляет 0,13 В. Поскольку этот эффект в основном достигается за счет уменьшения наклона полярографической кривой, то было интересно проверить, сохранится ли при добавлении $C_{10}H_7SO_3Na$ подчинение кинетическим уравнениям (2) и (3). Действительно, как следует из рис. 4, между $\lg \frac{i}{i_d - i}$ и φ наблюдается прямолинейная зависимость.

Коэффициент b , однако, составляет 0,07, т. е. более чем вдвое превосходит соответствующие значения для чистого сернокислого электролита. Таким образом, резкое торможение процесса имеет явно активационный характер.

Вычисленная в этом случае величина α составляла всего лишь 0,28, что указывает на значительное уменьшение влияния электрического поля на скорость разряда. При сохранении этого эффекта на твердом электроде можно было бы рассчитывать на возможность использования добавки ароматических сульфокислот в качестве регулятора роста катодных отложений висмута.

По смещению потенциала полуволны $\Delta\varphi_{1/2}$ и изменению ψ' -потенциала при введении добавки можно ориентировочно определить значение $F(\Gamma)$. Для последнего преобразуем уравнение (3) к виду:

$$\varphi = \frac{RT}{anF} \ln \frac{kc}{i_d} - \frac{RT}{anF} \ln \frac{i}{i_d - i} + \frac{RT}{anF} \ln F(\Gamma) - \frac{1-\alpha}{\alpha} \psi'. \quad (4)$$

Подставляя соответствующие значения $\varphi_{1/2}$ и ψ' для чистого (1) и содержащего $C_{10}H_7SO_3Na$ (2) растворов, а также учитывая, что в отсутствие добавки $F(\Gamma) = 1$, получим следующее выражение для сдвига полуволнового потенциала.

$$\Delta\varphi_{1/2} = \frac{RT}{a_2nF} \ln F(\Gamma_2) - \left(\frac{1-\alpha_2}{\alpha_2} \psi'_2 - \frac{1-\alpha_1}{\alpha_1} \psi'_1 \right). \quad (5)$$

Дальнейшее вычисление $F(\Gamma)$ требует знания величин α_1, α_2 , ψ'_1 , ψ'_2 . Первые из них найдены при анализе кривых $\lg \frac{i}{i_d - i} - \varphi$, что касается ψ' -потенциалов, то они могут быть взяты лишь с известным приближением. Для раствора 2N H_2SO_4 определенная по уравнению Гуи ($\varphi = 0,3$ В) величина ψ'_1 составила 0,040 В. Опытное значение $\Delta\varphi_{1/2} = -0,128$ В. Сдвиг максимума электрокапиллярных кривых при введении добавки $\Delta\varphi_{\text{манс}} = -0,225$ В. Отсюда ориентировочно: $\psi'_2 = \psi'_1 + \Delta\varphi_{\text{манс}} = -0,040 - 0,225 = -0,185$.

Подставляя эти значения в уравнение (5), окончательно получим $F(\Gamma_2) = 1,26 \cdot 10^{-10}$. Поскольку величина $F(\Gamma)$ является следствием возникновения дополнительного потенциального барьера, то по ее значению можно определить возникающее при введении добавки увеличение энергии активации процесса:

$$\Delta E = 2,3 RT \lg F(\Gamma).$$

Как легко видеть, в принятых в опыте условиях (25° , концентрация $C_{10}H_7SO_3Na = 0,005$ моль/л) величина ΔE составляет 13 600 кал.

Рассмотренный случай является характерным для влияния на скорость разряда ионов висмута многих анионных добавок. В силу описанного выше одновременного изменения двух противоположно влияющих на поляризацию факторов (ψ' -потенциала и величины потенциального барьера) увеличение степени необратимости здесь не может достигать очень больших значений. Близкое к точке нулевого заряда расположение потенциалов

десорбции анионов также ограничивает возможность возрастания поляризации. Поэтому увеличение степени необратимости процесса в случае достаточно эффективных ингибиторов молекулярной и катионной природы должно быть значительно большим. Последнее подтверждается данными, приведенными на рис. 5, на котором изображены электрокапиллярные кривые и полярограммы выделения висмута из сернокислого электролита с добавками натриевой соли нафталинсульфокислоты, тимола и трибензил-амина.

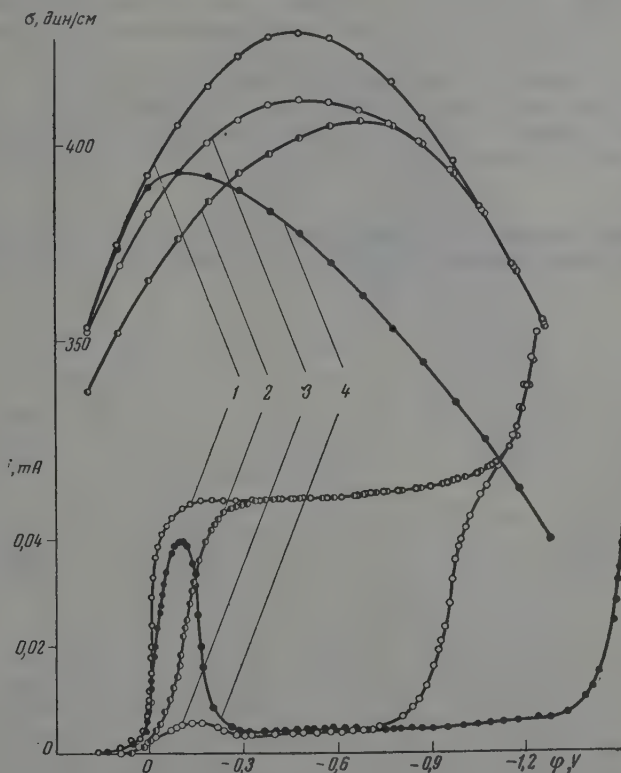


Рис. 5. Электрокапиллярные кривые и полярограммы выделения висмута из сернокислого электролита. Концентрация H_2SO_4 — $2N$, концентрация соли висмут — $0,01 N$ добавки: 1 — чистый электролит; 2 — $0,005$ моль/л $\text{C}_{10}\text{H}_7\text{SO}_3\text{Na}$; 3 — $0,005$ моль/л $(\text{C}_6\text{H}_5\text{CH}_2)_3\text{N}$; 4 — $0,005$ моль/л $(\text{C}_3\text{H}_7)\text{C}_6\text{H}_3\text{OH}$

Особенности полярографической волны висмута в растворах с добавкой $\text{C}_{10}\text{H}_7\text{SO}_3\text{Na}$ описаны выше. Следует лишь добавить, что торможение здесь начинается с первых участков волны и заканчивается значительно раньше достижения потенциала десорбции ($\phi = -0,8$ V).

В случае катионной добавки (трибензиламина) в начале полярографической кривой наблюдается резкий пик тока, расположенный вблизи левого потенциала десорбции ($\phi_{\text{дес}}^+$), т. е. при таких значениях потенциала, когда адсорбционная пленка $(\text{C}_6\text{H}_5\text{CH}_2)_3\text{NH}^+$ на ртути еще не является достаточно прочной.

С дальнейшим изменением потенциала в отрицательную сторону ток резко понижается, достигая очень малых и слабо меняющихся в большой области ϕ значений. Наконец, при $\phi = -1,3$ — $-1,4$ V вновь начинается

резкое увеличение тока, отражающее как прямое влияние потенциала на скорость процесса разряда, так и снижение тормозящего действия пленки вследствие уменьшения поверхностной концентрации адсорбированных частиц по мере приближения к отрицательному потенциалу десорбции ($\Phi_{\text{дес}}^-$).

Аналогичный характер носит кривая i/Φ для выделения висмута из раствора, содержащего молекулярную добавку — тимол. В отличие от трибензиламина пик тока в начале кривой выражен значительно слабее, что легко объясняется более положительным расположением $\Phi_{\text{дес}}^+$ тимола.

Торможение под влиянием добавки здесь проявляется практически почти во всей области потенциалов, соответствующих адсорбции тимола на ртути, т. е. от $\Phi_{\text{дес}}^+$ до $\Phi_{\text{дес}}^-$.

В табл. 3 приведены результаты расчета $F(\Gamma_2)$ и ΔE для добавок поверхностноактивных веществ. Из материалов таблицы следует, что потенциальность потенциального барьера анионных и молекулярных адсорбционных слоев по отношению к Bi^{3+} имеет близкий порядок величин.

Таблица 3

Влияние поверхностноактивных веществ на величину потенциального барьера разряда ионов висмута на ртути при 25° и концентрации добавки $0,005 \text{ моль/л}$

Электролит	Добавка	$F(\Gamma_2)$	$\Delta F, \text{ кал}$
$2N \text{ H}_2\text{SO}_4, 0,01N \text{ Bi}^{3+}$	$\text{C}_{10}\text{H}_7\text{SO}_3\text{Na}$	$1,3 \cdot 10^{-10}$	13 600
$2N \text{ H}_2\text{SO}_4, 0,01N \text{ Bi}^{3+}$	$(\text{CH}_3)(\text{C}_6\text{H}_7)\text{C}_6\text{H}_5\text{ON}$	$6,2 \cdot 10^{-9}$	11 300
$2N \text{ H}_2\text{SO}_4, 0,01N \text{ Bi}^{3+}$	$\text{C}_{10}\text{H}_{17}\text{OH}$	$3,39 \cdot 10^{-11}$	14 300

Что касается данных по влиянию катионных добавок (трибензиламин, сульфат тетрабутиламмония), то проанализировать их с достаточной точностью пока не удалось в связи с тем, что при значительных отрицательных потенциалах, соответствующих подъему кривой, большая часть тока расходуется на выделение водорода.

Более резкое торможение разряда под влиянием добавок является характерной особенностью кинетики катодного выделения висмута по сравнению с разрядом ионов других металлов. В полярографическом анализе этот вывод имеет и чисто практическое значение, поскольку заставляет более осторожно относиться к подбору подавителей максимумов. Действительно, многие из них, в том числе метиленовая голубая, желатина и другие заметно смещают полуволновый потенциал и, начиная с $0,01\%$ -ной концентрации, уменьшают высоту полярографической волны. Многие из катионных добавок при этом полностью искажают и ее форму, что делает невозможным аналитическое определение висмута.

В заключение рассмотрим влияние фона на характер тормозящего действия добавок при электродных процессах. На рис. 6 представлены электрокапиллярные кривые, снятые из двупормальных растворов серной и толуолсульфоновой кислот. Там же даны соответствующие значения σ как функции потенциала для тех же растворов с добавкой трибензиламина. Защирихованные области соответствуют снижению поверхностного натяжения под влиянием адсорбции. Ниже приведены соответствующие полярограммы. При рассмотрении последних видно, что сравнительно узкий пик тока в начале кривой i/Φ , характерный для действия добавки трибензиламмония в $2N \text{ H}_2\text{SO}_4$, значительно расширяется в случае выделения висмута из раствора с фоном $\text{CH}_3\text{C}_6\text{H}_4\text{SO}_3\text{H}$. Аналогичная картина наблюдается для молекулярной добавки. В качестве иллюстрации последнего на рис. 7 приведены полярографические волны выделения висмута из различных растворов, содержащих борнеол.

Объяснение такой зависимости тормозящего действия добавок от природы аниона фона связано с особенностями адсорбции ионов добавки и фона на электроде. Действительно, из расположения электрокапиллярных кривых (рис. 6) следует, что ионы SO_4^{2-} и HSO_4^- обладают значительно меньшей поверхностной активностью, чем анион толуолсульфокислоты. Поэтому область адсорбции трибензиламмония из растворов H_2SO_4 начинается при более положительных потенциалах.

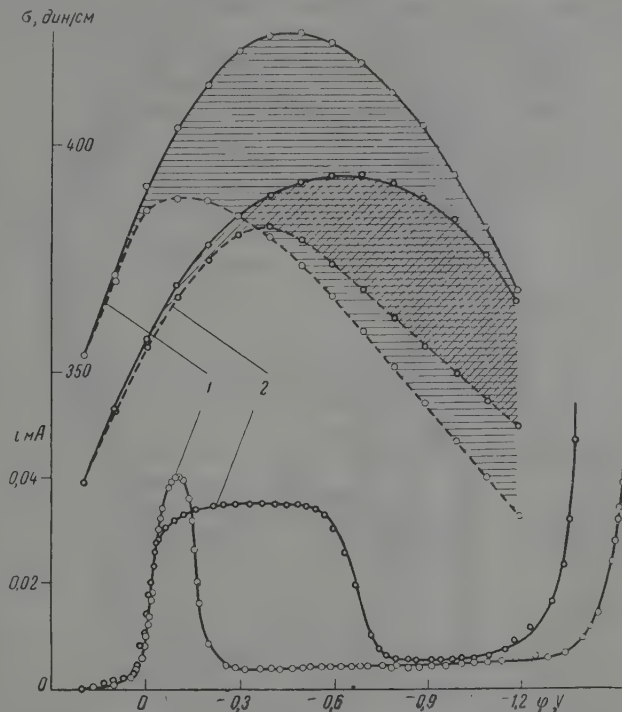


Рис. 6. Электрокапиллярные кривые и полярограммы выделения висмута из растворов серной и толуолсульфоновой кислот, содержащих 0,005 моль/л трибензиламмония: 1 — сернокислый электролит; 2 — паратолуолсульфоновокислый электролит

Резкое понижение σ указывает на большое увеличение плотности адсорбционной пленки с изменением потенциала. Наоборот, в случае паратолуолсульфокислоты кривые σ/ϕ для чистого раствора и с добавкой примыкают друг к другу постепенно. Снижение поверхностного натяжения под влиянием добавок в диапазоне от 0 до $-0,5$ В является незначительным, что указывает на слабую адсорбцию трибензиламмония при этих потенциалах. Естественно, что торможение разряда висмута здесь начинается позднее, и поэтому пик тока охватывает большую область потенциалов.

При достаточно отрицательном заряде поверхности, где влияние аниона фона на адсорбцию добавки оказывается уже практически незначительным, кривые i/ϕ для выделения висмута из сернокислых и толуолсульфоновокислых растворов сближаются. Таким образом, влияние аниона фона на тормозящее действие добавки тесно связано с адсорбционными свойствами фона. В описываемом случае увеличение адсорбируемости анионов фона приводит к уменьшению степени влияния добавки на скорость электрод-

ного процесса. При достаточно высокой поверхностной активности фона действие добавки может быть полностью исключено (кривые 4 и 5 рис. 7).

Делая эти выводы, следует, однако, оговориться, что известны случаи, когда введение хорошо адсорбирующего аниона приводит к некоторой

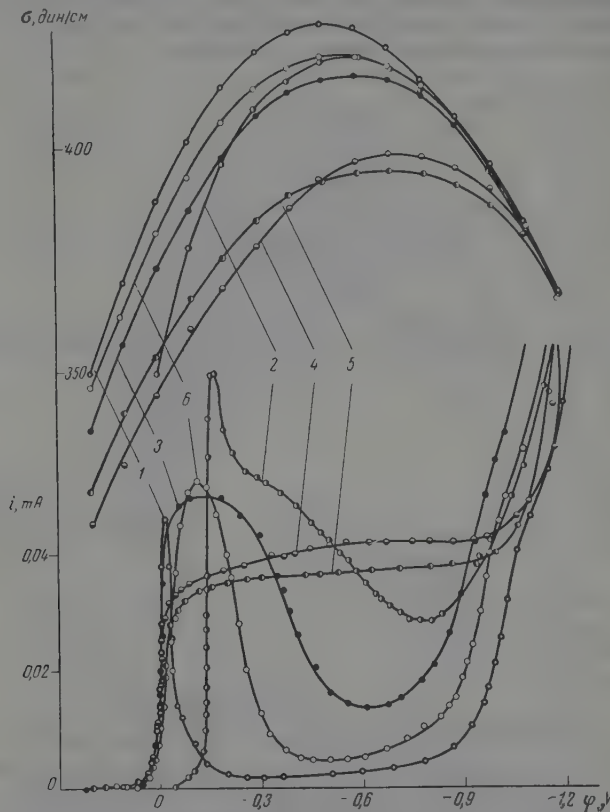


Рис. 7. Влияние борнеола на выделение висмута из различных электролитов. В верхней части рисунка приведены электрокапиллярные кривые, снятые из чистых растворов тех же кислот. Содержание борнеола — 0,005 моль/л. Фон — 2 N кислоты: 1 — H_2SO_4 ; 2 — HCl ; 3 — HNO_3 ; 4 — $\text{CH}_3\text{C}_6\text{H}_4\text{SO}_3\text{H}$; 5 — $\text{HOC}_6\text{H}_4\text{SO}_3\text{H}$; 6 — HClO_4 .

области потенциалов не только к уменьшению, но и даже к заметному увеличению адсорбции [23]. На описании аналогичного случая и его объяснении мы остановимся в одной из следующих статей.

Выводы

1. Изучены полярографические волны выделения висмута из чистых растворов его простых солей и найдены значения полуволновых потенциалов для различных электролитов.

2. Установлено, что катодное выделение висмута на ртути сопровождается замедленным разрядом и что степень активационного торможения зависит от природы фона, увеличиваясь с увеличением поверхностной активности анионов, имеющих большой ионный объем. Влияние подобных

анионов на скорость катодного выделения висмута рассматривается в согласии с работами А. Н. Фрумкина, как следствие одновременного изменения величины активационного барьера $F(\Gamma)$ и ψ' -потенциала.

3. Изучено торможение разряда ионов висмута при введении в электролит добавок анионного, катионного и молекулярного типов и установлены особенности их действия.

4. По сдвигу потенциалов полуволи и изменению ψ' -потенциалов приближенно рассчитаны значения $F(\Gamma)$ и дополнительные энергии активации разряда висмута на ртути из сернокислого висмутитового электролита с добавкой β -нафталинсульфокислоты, тимола, борнеола. Величины $F(\Gamma)$ соответственно составляют $1,3 \cdot 10^{-10}$; $6,3 \cdot 10^{-9}$; $3,4 \cdot 10^{-11}$.

5. Установлено влияние аниона фона на тормозящее действие добавок. В описываемых случаях увеличение адсорбируемости аниона фона приводит к уменьшению степени их влияния на скорость катодного процесса. При достаточно высокой поверхностной активности фона действие добавки может быть полностью исключено.

Днепропетровский
химико-технологический институт

Поступила
13.IX.1958

ЛИТЕРАТУРА

1. V. Bayerle, Recueil trav. chim., 44, 518, 1925.
2. K. Kacirkova, Coll. Czechosl. Chem. Comm., 1, 484, 490, 1929.
3. I. Kolthoff, J. Lingane, Polarography. N. V. Interscience Publishers, Inc. 263, 1941.
4. J. E. Page, F. A. Robinson, J. Soc. Chem. Ind., 61, 93, 1942.
5. Н. Я. Хлопин, Ж. аналит. химии, 2, 55, 1947, Заводск. лаборатория, 14, 156, 1948.
6. E. S. Peracchio, V. W. Meloche, J. Amer. Chem. Soc., 60, 1770, 1938.
7. P. W. West, J. Dean, J. Breda, J. Coll. Czechosl. Comm., 13, 1, 1948.
8. T. A. Pinfold, T. Sebba, J. Amer. Chem. Soc., 78, 5193, 1956.
9. E. J. Breda, L. Meites, T. B. Reddy, P. W. West, Analyt. chim. acta, 14, 390, 1956.
10. J. W. Grenier, L. Meites, Analyt. chim. acta, 14, 482, 1956.
11. О. Есин и М. Лошкарёв, 13, 794, 1939.
12. М. Лошкарёв, О. Есин и В. Сотникова, Ж. общ. химии, 2, 1412, 1939; J. J. Lingane, Industr. and Engng Chem., Anal. Ed., 16, 147, 1944; М. Лошкарёв и А. Крюкова, Ж. физ. химии, 23, 209, 1949.
13. М. А. Лошкарёв и Е. И. Дубяго, Тр. Днепропетровского химико-технологического института, 5, 186, 1956.
14. J. J. Lingane, Industr. and Engng Chem., Anal. Ed., 15, 583, 1943.
15. А. Г. Стромберг, И. Е. Быков, Ж. физ. химии, 19, 245, 1949.
16. Я. И. Турьян, Докл. АН СССР, 113, 631, 1957.
17. Henderson, Z. phys. Chem., 59, 118, 1907; 63, 325, 1908; Негманс, Recueil trav. chim., 57, 1373, 1939.
18. О. Есин, М. Лошкарёв, З. Левитина и К. Русанова, Ж. прикл. химии, 13, 56, 1940.
19. А. И. Бусев, Аналитическая химия висмута, Изд-во АН СССР, Москва, 1953, стр. 184.
20. J. Neugowsky, T. Sorma, J. Foreit, Collection, 12, 11, 1947.
21. А. Н. Фрумкин, Докл. АН СССР, 85, 373, 1952.
22. М. А. Лошкарёв и А. А. Крюкова, Ж. физ. химии, 31, 452, 1957.
23. Б. Б. Дамаскин, Н. В. Николаева-Федорович и А. Н. Фрумкин, Докл. АН СССР, 124, 129, 1958; А. Н. Фрумкин. Электрокапиллярные явления и электродные потенциалы, Одесса, 1919; А. Н. Фрумкин, В. Н. Николаева-Федорович, Вестн. МГУ, № 4, 169, 1957.

KINETICS OF THE CATHODIC DEPOSITION OF BISMUTH

I. POLAROGRAPHIC WAVES OF BISMUTH ION DISCHARGE FROM NON-COMPLEX ELECTROLYTES

M. A. Loshkarev and E. I. Dubyago (Dniepropetrovsk)

S u m m a r y

A study has been made of the polarographic waves of bismuth deposition from the acid solutions of its simple salts. The cathodic deposition of bismuth on mercury was found to be accompanied by slow discharge. The degree of activated retardation of the reaction $\text{Bi}^{3+} + 3e \rightarrow \text{Bi}$ depends upon the nature of the electrolyte, increasing with increasing surface activity of the anions of large ionic volume.

Investigation of the influence of anions on the effect of cationic and molecular types of addition agents showed that a rise in the adsorbability of the anion of the electrolyte leads to a fall in the degree of retardation of the electrodic process by the additions.

The values of $F(G)$ and the additional activation energy of the discharge of bismuth on mercury from bismuth sulfate electrolyte with β -naphthalenesulfoacid, thymol and borneol as additions was approximately calculated from the shift in the half wave potential and the change in the ψ' potential.

О МЕХАНИЗМЕ КАТАЛИЗА

III. О ВАЛЕНТНОЙ И ЭНЕРГЕТИЧЕСКОЙ ФОРМЕ ГЕТЕРОГЕННОГО И ФЕРМЕНТНОГО КАТАЛИЗА

Н. И. Кобозев

Каталитический акт столь неразрывно связан со свойствами активного центра, на котором он происходит, что исследование механизма катализа возможно лишь на основе количественно-разработанной теории активных центров. Эта теория должна давать сведения о природе и строении активных центров, об их числе и абсолютной активности, т. е. производительности одного центра. Только путем сопоставления таких абсолютных активностей для разных процессов и в разных условиях можно проникнуть в механизм катализа и поднять его на уровень современной научной теории. Никакие условные меры активности — вроде расчета на единицу веса, на единицу поверхности, сопоставление энергий активации — не могут дать для теории сколько-нибудь надежных результатов.

В области гетерогенного катализа количественной теорией активных центров является теория активных ансамблей [5], в области гомогенного и микрогетерогенного (ферментного) катализа — теория активных простетических групп. Эти концепции: первая, построенная на базе статистической теории, вторая — на основе химических методов, позволяют определять природу и абсолютную активность катализирующих центров и групп и сопоставлять их между собой.

В двух предыдущих статьях [2, 3], на основе представлений об атомной природе активных центров, был рассмотрен валентный механизм каталитической активации химических связей, заключающийся в ослаблении прочности связей на первой адсорбционной стадии катализа и, вследствие этого, их более легкой перестройки на второй реакционной стадии. Там же был разобран вопрос о возможной роли цепных процессов в гетерогенном катализе, и показано, что химическая цепь, переходящая в объем в виде частиц со свободными связями (радикалы, атомы), не способна активировать процесс, так как отрыв таких частиц слишком сильно повышает его энергетический барьер, и что такую активацию способна произвести только энергетическая цепь.

Настоящая статья является развитием этого вывода.

Две формы катализа

Явления катализа обычно стремятся свести к комбинации валентных актов, т. е. к обмену связями или электронами, происходящему в условиях статистического и энергетического равновесия с внешней средой. Эта валентная форма катализа считается столь универсальной, что обычно даже не ставится вопрос о существовании какой-либо другой его формы*. А между тем эта другая форма существует и весьма широко представлена в виде биологического ферментного катализа, охватывающего огромную область каталитических превращений в живом веществе. При этом абсолютная активность ферментов (рассчитанная на одну активную группу) достигает иногда огромных величин, на много порядков превышающих даже самые производительные неорганические катализаторы. Поэтому в своей последней работе по механизму катализа я должен был указать, что валентный механизм каталитического действия нельзя признать вполне общим и что должна существовать иная, весьма мощная форма каталитической активации, реализующаяся в биокатализе. Поэтому выносить биокатализ за границы общей теории катализа, как это обычно

* Такие явно не валентные формы катализа как орто-пара-превращение водорода под действием магнитного поля парамагнитных частиц, представляют особые и единичные случаи.

делается, значит уклоняться от рассмотрения самой важной формы активации, которая нам известна, и пытаться искать разгадку катализа в его более вялых формах. По этой же причине вопрос о различии и сходстве гетерогенных (неорганических) и микрогетерогенных (биологических) катализаторов имеет принципиальное значение для разбираемой темы, так как именно здесь наиболее типично выражена, с одной стороны, обычная валентная, а с другой — особая энергетическая форма катализа.

Нужно подчеркнуть, что между гетерогенным катализатором и ферментом имеется важный сближающий момент, заключающийся в двухкомпонентности типа их структуры: гетерогенный катализатор представляет структуру, состоящую из активного центра (ансамбля атомов) и адсорбционно связанного с ним носителя, роль которого играет или посторонняя подкладка, или кристаллическая решетка самого катализатора:

гетерогенный = (активный ансамбль) (инертный носитель или собственная кристаллическая решетка)

Аналогично этому, ферменты дуалистического типа, согласно схеме Вильштеттера—Краута, состоят из агона, играющего роль активного центра и белкового носителя (ферона):

фермент = [активная группа] [специфический белковый носитель]
(агон) (ферон)

Агон фермента обычно представляет простую функционально-активную группу, связанную с активирующими аддендами или балластными группами, белковая же молекула, или ферон, представляет аналог кристаллической решетки гетерогенного катализатора.

Однако, несмотря на указанное глубокое сходство типов строения, физико-химическое различие между катализатором и ферментом (не говоря уже об их чисто химическом различии) выражено весьма резко. Первым существенным различием является низкая абсолютная активность большинства неорганических катализаторов (рассчитанная на один активный центр) сравнительно с огромной удельной активностью многих ферментов. Другим, может быть, еще более существенным отличием гетерогенных катализаторов от ферментов является их практическая неспособность к сколько-нибудь значительному повышению активности, кроме самой простейшей, сводящейся к развитию поверхности и обрастанию ее атомной фазой. Это особенно контрастирует с огромной способностью ферментовидных катализаторов к структурной активации.

Действительно, явление промотирования, смешанного катализа, действие микропримесей в случае неорганических катализаторов редко способны повысить их активность более чем на один порядок. Даже полупроводники, столь чувствительные по своим физическим свойствам к примесям и дефектам решетки, показывают при этом весьма небольшой положительный рост каталитической активности и даже меньший, чем металлы*. Можно было бы привести много примеров подобной «неактивируемости» неорганических кристаллических катализаторов. Некоторые из них даны в табл. 1.

Полной противоположностью этому является ярко выраженная способность ферментовидных молекул, содержащих ионные или полярные

* Это отличие металлов от полупроводников получает естественное объяснение в теории каталитических дефектов на кристаллических катализаторах, развитой О. М. Полтораком. Объясняется оно тем, что возникновение активных центров на металлических кристаллах в виде адсорбированных атомных ансамблей сильно зависит от размера и характера ограничения кристаллов, в то время как у полупроводников такой зависимости нет [4].

Таблица 1

Слабая активируемость кристаллических неорганических катализаторов

№	Процесс и катализатор	Максимальная степень активации	Авторы
А. Металлические катализаторы			
1	Разложение H_2O_2 Pt-золь/Pt-чернь	7,6	[5] [6]
2	Синтез NH_3 $Fe + 1,35\% Al_2O_3/Fe$ (чист.)	5,0	[7]
3	Дегидратация C_2H_5OH $Cu + 13$ ат. % MgO/Cu (чист.) $Cu + 24,8$ ат. % MgO/Cu (чист.)	3,1 2,5	[8]
4	Крекинг гексана $Mo + 3,4$ ат. % Si/Mo (чист.) Крекинг циклогексана $Mo + 34$ ат. % Si/Mo (чист.)	2,7 12,6	[9]
5	Восстановление CO до CH_4 $Ni + 18\% Zr/Ni$ (чист.) $Ni + 7\% Si/ZnS$ (чист.) $Ni + 5\% Ce/ZnS$ (чист.)	8,9 12,3 17,7	[10]

Б. Полупроводниковые катализаторы

6	Разложение N_2O $NiO + 1$ мол. % SiO_2/NiO (чист.)	1,6	[11]
7	Разложение метанола $ZnS + 10-4\% Cu/ZnS$ (чист.) $ZnS + 10-6\% Cu/ZnS$ (чист.) $ZnS + 340$ ед. избыточн. Zn/ZnO (чист.)	1,6 1,9 3,0	[12] [13]
8	Обмен $H_2 \rightarrow D_2$ $ZnO + Al_2O_3/ZnO$ (чист.) $ZnO + 1$ мол. % Ca_2O_3/ZnS (чист.)	1,5 6,0	[14]
9	Окисление CO а) $Fe_3O_4 + 8,1\% Al_2O_3/Fe_2O_3$ (чист.) б) $NiO + 0,01$ мол. % GeO_2/Ni (чист.)	2,5 1,8	[15] [16]
10	Разложение H_2O_2 а) $Fe_3O_4 + 2\% Al_2O_3/Fe_2O_4$ (чист.) б) $MgO + 0,8\% SnO_2/MgO$ (чист.) в) $MgO + 0,4\% Sb_2O_3/Mg$ (чист.)	1,9 4,5 3,1	[17] [18] [18]
11	Окисление H_2 $NiO + 0,5\% Pb/NiO$ (чист.)	2,5	[18]

руппы, сильно активироваться при усложнении структуры присоединенных к ним аддендов и носителей. Эта их способность столь типична и выражена столь сильно, что проявление ее было выделено нами в виде особого класса каталитических явлений и названо «эффектом агравации».

Типичным примером молекулярной и адсорбционной агравации является активация NH_2 -группы путем присоединения к ней все более усложняющихся аддендов (органических радикалов) [21] и адсорбции на соответствующих носителях [22]. Эти данные приведены в табл. 2 и на рис. 1. Из них ясно видно быстрое и закономерное (примерно экспоненциальное [25]) возрастание активности аминогруппы по мере усложнения молекулярных структур, к которым она присоединена, и еще большее увеличение активности этих структур при их адсорбции на неорганических и орга-

Таблица 2

Сильная активируемость молекулярных органических катализаторов (ферментовидов).
Эффект молекулярной и адсорбционной активации NH_2 -группы при каталитическом декарбоксилировании

Катализатор	Формула активная группа NH_2	агравирующая часть [аграватор]	Носитель	Степень активации f	Молекулярный вес агравирующих аддендов M
Метиламин	$\text{NH}_2 \cdot [\text{CH}_3]$		Без носителя	1	15
Гликокол	$\text{NH}_2 \cdot \left[\begin{array}{c} -\text{CH}_2 \\ \cdot \\ \text{COOH} \end{array} \right]$		» »	18	59
Фениламиноуксусная кислота	$\text{NH}_2 \cdot \left[\begin{array}{c} -\text{CHCOOH} \\ \cdot \\ \text{C}_6\text{H}_5 \end{array} \right]$		» »	30	135
<i>н</i> -пропиламин	$\text{NH}_2 \cdot \left[\begin{array}{c} \text{CH}_3 \\ \diagup \\ \text{CH} \\ \diagdown \\ \text{CH}_3 \end{array} \right]$		Уголь	38	44
Бутиламин	$\text{NH}_2 \cdot [\text{CH}_2\text{CH}_2\text{CH}_2\text{CH}_3]$		Уголь	46	67
Этилендиамин	$\text{NH}_2 \cdot \left[\begin{array}{c} \text{CH}_2 \\ \\ \text{CH}_2 \end{array} \right]$		Уголь	88	28
	$\text{NH}_2 \cdot [\text{CH}_3]$		Волокно	175	28
Амиламин	$\text{NH}_2 \cdot [\text{CH}_2\text{CH}_2\text{CH}_2\text{CH}_2\text{CH}_3]$		Уголь	96	71
Гликокол	$\text{NH}_2 \cdot [\text{CH}_2\text{COOH}]$		Al_2O_3	200	59
Лейцин	$\text{NH}_2 \cdot \left[\begin{array}{c} \text{CHCOOH} \\ \quad \diagup \\ \text{CH}_2 \quad \text{CHCH}_3 \end{array} \right]$		Al_2O_3	250	115
Аламин	$\text{NH}_2 \cdot \left[\begin{array}{c} -\text{CHCOOH} \\ \\ \text{CH}_3 \end{array} \right]$		Al_2O_3	264	73
Аминоксиндол	$\text{NH}_2 \cdot \left[\begin{array}{c} -\text{CH} \\ \quad \diagup \\ \text{CO} \quad \text{C}_6\text{H}_5 \\ \\ \text{NH} \end{array} \right]$		Без носителя	690	132
Аминонафтоксиндол	$\text{NH}_2 \cdot \left[\begin{array}{c} -\text{HC} \\ \quad \diagup \\ \text{OC} \quad \text{C}_{10}\text{H}_7 \\ \\ \text{NH} \end{array} \right]$		» »	1310	182
Оксиаминонафтоксиндол	$\text{NH}_2 \cdot \left[\begin{array}{c} -\text{HC} \\ \quad \diagup \\ \text{OC} \quad \text{C}_{10}\text{H}_6\text{OH} \\ \\ \text{NH} \end{array} \right]$			3000	198
Цистин	$\text{NH}_2 \cdot \left[\begin{array}{c} -\text{CHCOOH} \\ \\ \text{CH} \\ \\ \text{S} \\ \\ \text{S} \quad \text{NH}_2 \\ \\ \text{CH} - \text{COOH} \end{array} \right]$		Al_2O_3	10 000	209
Фермент карбоксилаза (фосфорилированный) витамин B_1	$\text{NH}_2 [\text{CH}_{17}\text{N}_2\text{O}_7\text{P}_2]$		Белок	$3 \cdot 10^7$	377

ческих носителях. В результате этой двойной активации, карбоксилазная активность NH_2 -группы, считая от метиламина в растворе до цистина Al_2O_3^* , возрастает приблизительно в 10 000 раз, а считая до самого фермента карбоксилазы в 10 000 000 раз.

Таким образом, если активация неорганических кристаллических катализаторов в редких случаях переходит за пределы одного порядка, то ферментоидных катализаторов эффект аграваии способен поднимать производительность активной группы в миллионы и десятки миллионов раз. Ярким примером этого, помимо карбоксилазного процесса, может служить катализаторный процесс, т. е. разложение H_2O_2 , приведенный в табл. 3. Начиная от Fe^{3+} -иона в растворе, через гемин в растворе, далее, гемин на носителе и до самого фермента катализы (т. е. гемина на специфическом белке), активность возрастает в 10 000 000 раз, и оказывается в несколько сот раз выше самого активного неорганического катализатора — атома Pt, адсорбированного на решетке платины. То же самое можно видеть в сопоставлении активностей и других ферментов с соответствующими неорганическими катализаторами, приведенными в той же таблице.

Вместе с тем, отвлекаясь от характера процесса, можно заметить, что наиболее активные неорганические катализаторы, как и упомянутый Pt_1 /решетка Pt, способны даже перегнать некоторые ферменты. Это показывает, что абсолютная активность ферментов отнюдь не является недостижимой для неорганических катализаторов.

Тот же аграваационный механизм действует и в живой природе, при активации биологически деятельных естественных и синтетических веществ, выполняющих различные функции в организме, как это было найдено ранее [27].

Для этих веществ также оправдывается найденный для катализа показательный закон аграваии, который здесь может быть записан так:

$$[\text{Dos}]_{g\text{-моль}} = [\text{Dos}]_{g\text{-моль}}^0 e^{-\beta M}, \quad (1)$$

где $[\text{Dos}]_{g\text{-моль}}$ — g -молекулярная биологически действующая доза, β — коэффициент аграваии, составляющий от $1/50$ до $1/20$.

Общий вывод из этих исследований тот, что и в обычном катализе органическими молекулами, и в их биологическом действии для получения данного эффекта требуется, как правило, чем меньшая доза вещества, чем сложнее его строение.

Поэтому простые, «легкие» структуры, несмотря на наличие нужных валентных групп, имеют мало шансов на высокую активность, которая для «легких» молекул ($M \leq 200$) не спускается в отношении биологически действующей дозы ниже $10^{-3}g\text{-молей}$, т. е. десятых долей грамма. Наоборот, молекулярные веса особо активных веществ, действующих в количестве долей миллиграмма, как правило, лежат выше 500. В среднем увеличение молекулярного веса на 100 единиц, т. е. примерно на 7 CH_2 -групп,

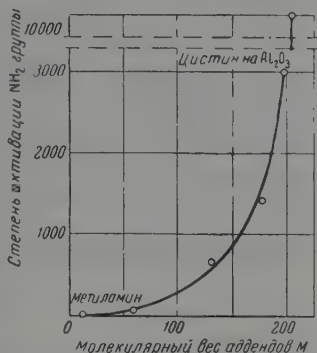


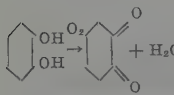
Рис. 1. Аграваационная активация NH_2 -группы при декарбоксилировании α -кетокислот

* Из табл. 2 видно, что адсорбционная аграваия по приросту активности как бы эквивалентна повышению молекулярного веса агравирующих аддендов в среднем на 40—60 единиц.

По абсолютной активности адсорбированные амины лежат примерно в 10—30 раз выше.

Таблица 3

Сравнительные абсолютные активности ферментов и катализаторов

Процесс	Катализатор	t°, C	Тепловой эффект процесса, Q _p	Активность (число молекул субстрата, превращаемых в 1 сек активным центром катализатора или одной молекулой фермента α)
I. Разложение перекиси водорода				
$2\text{H}_2\text{O}_2 \rightarrow 2\text{H}_2\text{O} + \text{O}_2$	Фермент каталаза *	0	+46,2	300 000
$2\text{H}_2\text{O}_2 \rightarrow 2\text{H}_2\text{O} + \text{O}_2$	Pt ₁ на решетке Pt	20	46,2	100
$2\text{H}_2\text{O}_2 \rightarrow 2\text{H}_2\text{O} + \text{O}_2$	Pt ₂ на инерт. носителе	20	46,2	1,5
$2\text{H}_2\text{O}_2 \rightarrow 2\text{H}_2\text{O} + \text{O}_2$	Гемин на угле	18	46,2	0,5
$2\text{H}_2\text{O}_2 \rightarrow 2\text{H}_2\text{O} + \text{O}_2$	Гемин в растворе	0	46,2	0,03
$2\text{H}_2\text{O}_2 \rightarrow 2\text{H}_2\text{O} + \text{O}_2$	Fe ³⁺ -ион в растворе	30	46,2	0,002
II. Окисление полифенолов				
	Фермент полифенолоксидаза	20	+26	1 200
III. Гидрирование				
а) $(\text{K}_0\text{I}) \text{H}_2 + \text{CH}_3\text{CON} \rightarrow \text{C}_2\text{H}_5\text{ON} + (\text{K}_0\text{I})$	Фермент алкогольдегидраза	20	+20	330
б) $\text{H}_2 + \text{RCH}=\text{CH} \rightarrow \text{RCH}_2-\text{CH}_3$	Pt ₂ на решетке Pt	25	+30	5
$\text{H}_2 + \text{RCH}=\text{CH} \rightarrow \text{RCH}_2-\text{CH}_3$	Pt ₂ на инертном носителе	25	+30	0,5
IV. Окисление аминокислот				
$\text{R} \cdot \underset{\text{COOH}}{\text{CH}} \cdot \text{NH}_2 + \text{O} \rightarrow \text{R} \cdot \underset{\text{COOH}}{\text{C}} = \overset{\text{NH}}{\text{N}} + \text{H}_2\text{O}$	Фермент оксидаза	38	+10	32
V. Декарбоксилирование α-кетокислот				
$\text{CH}_3\text{COCOON} \rightarrow \text{CH}_3\text{CON} + \text{CO}_2$	Фермент карбоксилаза	30	+0,3	16
$\text{CH}_3\text{COCOON} \rightarrow \text{CH}_3\text{CON} + \text{CO}_2$	Цистин на Al ₂ O ₃	30	+0,3	0,012
$\text{CH}_3\text{COCOON} \rightarrow \text{CH}_3\text{CON} + \text{CO}_2$	Оксиаминонафтоксииндол в растворе	30	+0,3	0,004

* Кроме каталазы все активности ферментов взяты из книги Э. Болдуина [24].

Для каталазы взято значение, полученное из данных Эйлера и Йозефсона [24], рассчитанное для концентрированной H_2O_2 , равной 0,1 моль/л. Для процесса I тепловой эффект хорошо известен; для процесса II тепловой эффект рассчитан О. М. Полтораком [25] из теплот сгорания *p*-формы. Для процесса IV тепловой эффект рассчитан им же по энергиям связей. Для процесса III тепловой эффект + 26 ккал относится к гидрированию свободным водородом; для реакции с [(кодегидразой) $\text{I} \cdot \text{H}_2$] он будет несколько отличаться, но, вероятно, не на много, поскольку тепловой эффект $\text{K}_0\text{I} \cdot \text{H}_2 \rightarrow \text{K}_0\text{I} + \text{H}_2$ не может быть значительным. Для процесса V тепловой эффект вычислен из теплоты сгорания пировиноградной кислоты, определенной Блашко [26], и отвечает превращению твердой кислоты в жидкий ацетальдегид.

уменьшает активную дозу в 8 раз. Практически все естественные активные структуры относятся к сильно аграммированным формам*.

Эффект аграммации имеет явно не валентную природу, так как присоединение сложных аддендов к иону или полярной группе существенно не влияет на их валентное состояние, как это показывают прямые спектроско-

* Из известных индивидуальных веществ, по-видимому, наивысшей биологической активностью обладает кобальт-содержащий витамин B_{12} (молекулярный вес > 1300), действующая доза которого составляет от $2 \cdot 10^{-8}$ до $5 \cdot 10^{-6}$ г или $\approx 1,5 \cdot 10^{-9}$ — $3 \cdot 10^{-8}$ г-молей.

ческие определения. Не перенося весь центр тяжести на структурно-идентичный фактор («фермент подходит к субстрату, как ключ к замку»), который усиленно выдвигался в науке со времени Фишера, Эрлиха и Бергенрота, концепция агравации старается найти более общий механизм активации сложных структур. Действительно, хотя имеется много данных тонкой настройке биологических катализаторов на определенный субстрат и процесс, все они не в состоянии разъяснить основную загадку биокатализа: почему ферменту, выполняющему такие простые функции, как разложение H_2O_2 , отщепление CO_2 от α -кетокислот, выделение CO_2 из H_2CO_3 , требуется такая исключительная сложность строения? Зачем ферментному «ключу» при такой простой «бородке», т. е. активной группе, иметь такую огромную и замысловатую «ручку»?

Очевидно, структурно-химическая, т. е. чисто валентная точка зрения не ускользает здесь из вида какой-то очень важный фактор. Поэтому уже в первых работах [28], посвященных эффекту агравации, пришлось допустить его энергетический характер, введя понятие о потенциале агравации ϕ_m , понижающем энергию активации процесса.

О. М. Полторак [25] обратил внимание на то, что средняя квадратичная величина флуктуации энергии $\delta\bar{\epsilon}$ в молекулярных системах, согласно Гиббсу, связана с молярной теплоемкостью:

$$\delta\bar{\epsilon} = \sqrt{(\epsilon - \bar{\epsilon})^2} = CT \sqrt{C_p} \quad (2)$$

где ϵ — фактическая энергия молекулы, $\bar{\epsilon}$ — ее средняя энергия, а эта последняя для органических молекул (которые обычно являются агравателями) закономерно растет с их молекулярным весом, в противоположность теплоемкости неорганических веществ. Тогда, приняв, что потенциал агравации пропорционален флуктуационному накоплению энергии в аграваторе, например, за счет теплоты реакции, можно получить выражение для эффекта агравации, функционально близкое к приведенному эмпирическому уравнению.

Рекуперация энергии и автоактивация ферментов и катализаторов

С особой убедительностью энергетическая природа эффекта агравации проявляется в отчетливой зависимости между удельной активностью ферментов (числом превращающихся молекул субстрата на одну активную группу фермента или на одну его молекулу в одну секунду) и тепловым эффектом энзиматической реакции (см. табл. 3 и прямую I на рис. 2). Это приводит к возможности выразить удельную активность ряда ферментов a_ϕ в виде общей показательной функции от теплового эффекта катализируемой реакции Q_p :

$$a_\phi = a_0 e^{\gamma Q_p} \approx \underbrace{(1 \div 2)}_{\text{валентная энергетическая}} \underbrace{e^{0,23 Q_p}}_{\text{активность автоактивации центра}}, \quad (3)$$

где γ представляет коэффициент возврата энергии реакции на автоактивацию центра. Из приведенного уравнения видно, что для реакции с тепловым эффектом, близким к нулю, или для таких систем, где степень возврата энергии реакции близка к нулю, удельная ферментная активность отвечает превращению всего лишь нескольких молекул субстрата на одну активную группу в секунду, что ставит ее совершенно в один ряд с активностью самых обычных неорганических катализаторов. Это выражается тем, что ферментная прямая I вблизи $Q_p = 0$ пересекается с линейной осью III для атомных адсорбционных катализаторов (рис. 2).

Это количественное сближение сложного ферментного симплекса с элементарным неорганическим катализатором при изменении энергетических параметров реакции представляется весьма важным фактом, который создаст возможность перекинуть мост между неорганическим и фер-

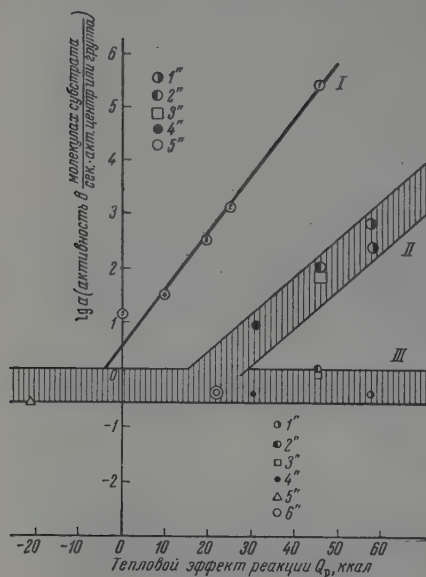


Рис. 2. Энергетическая автоактивация гетерогенных катализаторов и ферментов. I. Активность ферментов (активные группы на белковых носителях). 1 — каталаза; 2 — полифенолоксидаза; 3 — алкогольдегидраза; 4 — оксидаза аминокислот; 5 — карбоксилаза. II. Активность кристаллических катализаторов (атомные ансамбли на собственной кристаллической решетке). 1'' — катализ гремучего газа на $Pt_1/[Pt]$ (верхняя точка для катализа нестехиометрической смеси в газовой фазе при $100^\circ C$; нижняя — для катализа стехиометрической смеси в растворе при $25^\circ C$); 2'' — разложение H_2O_2 на $Pt_1/[Pt]$; 3'' — окисление SO_2 на $Pt_1/[Pt]$; 4'' — гидрогенизация на $Pt_1/[Pt]$; 5'' — синтез NH_3 на $Fe/[Fe]$. III. Активность адсорбционных катализаторов (атомные ансамбли на инертных носителях): 1' — катализ гремучего газа на $Pt_1/уголь$; 2' — разложение H_2O_2 на Pt_1/SiO_2 ; 3' — окисление SO_2 на Pt_1/SiO_2 ; 4' — гидрогенизация на Pt_2/SiO_2 ; 5' — разложение метанола на Zn_1/SiO_2 ; 6' — синтез NH_3 на $Fe_3/уголь$, Al_2O_3 , асбест.

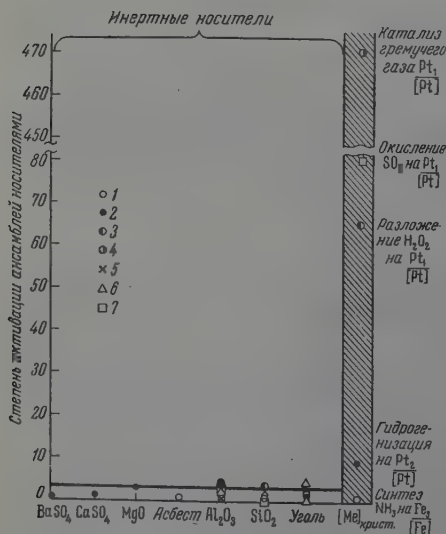


Рис. 3. Влияние природы носителей на активность атомных ансамблей Me_n : 1 — гидрогенирование ненасыщенных углерод-углеродных связей на Pt (активный ансамбль Pt_2); 2 — синтез NH_3 на Fe (активный ансамбль Fe_3); 3 — разложение H_2O_2 на Pt (активный ансамбль Pt_1); 4 — катализ гремучего газа на Pt (активный ансамбль Pt_1); 5 — окисление NH_3 на Pt (активный ансамбль Pt_1); 6 — восстановление NO_2 -группы в пикриновой кислоте на Pt (активный ансамбль Pt_1); 7 — окисление SO_2 на Pt (активный ансамбль Pt_1).

ентным катализом. Это же вплотную подводит к принципиальному вопросу: является ли описанная энергетическая, невалентная активация ферментов их исключительной особенностью, или она в какой-то мере присуща и простым каталитическим системам: атомным ансамблем и неорганическим кристаллическим катализаторам?

Знание абсолютных активностей каталитических центров, полученное на основе теории ансамблей, позволяет взяться за решение этого вопроса. Исследование активности атомных ансамблей на разных носителях приводит к картине, иллюстрируемой рис. 3. Пересадка данного атомного ансамбля с одного инертного носителя на другой практически не меняет его активности. Это видно из того, что точки, расположенные в левой части этого рисунка, отвечающие таким носителям, как BaSO_4 , CaSO_4 , SiO_2 , SiO_2 , асбест, Al_2O_3 , уголь, — все лежат в пределах полуорядка (в каждом случае за единицу активности ансамбля принято его наименьшее значение на одном из носителей). Среди этих инертных носителей трудно даже указать какой-либо выделяющийся по своему действию на активный ансамбль. Таким образом, атомные ансамбли явно отличаются по своему отношению к инертным носителям от ферментоидных катализаторов, очень чувствительных к природе носителя (см. [27, 28]). Однако картина меняется, когда мы доходим до металлических носителей, обозначенных на рис. 3 символом $[\text{Me}]$, под которым понимается кристаллическая решетка самого катализатора. Как видно из этого рисунка, комбинация активного ансамбля с решеткой катализатора, как правило, дает резкое увеличение активности ансамбля. Это увеличение имеет весьма разное значение. Так, для синтеза аммиака адсорбция трехатомного ансамбля Fe на кристаллах самого железа не дает никакого роста активности, по сравнению с инертными носителями. В случае гидрирования замена инертного носителя решеткой платины приводит примерно к 10-кратному увеличению активности. Дальше эта активация возрастает, и в случае катализа гремучего газа увеличение активности Pt_1 на решетке платины по сравнению с инертным носителем составляет 470 раз. Более подробно эти данные приведены в табл. 4.

Здесь нужно пояснить, как определялось число активных ансамблей на металлических катализаторах. В ряде случаев (распад H_2O_2 , катализ гремучего газа) эта величина определялась методом активных ансамблей из данных по отравлению катализаторов, так как эта теория позволяет определить из кривой отравления число миграционных ячеек на поверхности катализатора. В случае активных черней, термодинамически весьма неравновесных, эти ячейки малы (порядка 5—10 атомных площадей) (практически все заняты активными ансамблями (см. [1, 6]), т. е. атомной фазой), что позволяет приближенно приравнять число ячеек числу ансамблей и вести расчет активности на число ячеек. Эти данные являются достаточно надежными (во всяком случае сравнимыми друг с другом), и они в основном использованы для указанных процессов (табл. 4). По смыслу такого расчета активность ансамбля на собственной решетке может быть только преуменьшена. Поскольку по окислению SO_2 в SO_3 не удалось таких данных, расчет активности кристаллического катализатора велся на полное число атомов его поверхности, заведомо зная, конечно, что не вся поверхность катализатора является активной. Для этого случая была взята величина активности, полученная из данных В. С. Чесаловой, измерившей каталитическую активность платиновой жести с известной геометрической поверхностью. Здесь величина активности, с одной стороны, преуменьшена за счет допущения активности всех атомов поверхности, а с другой — преувеличена за счет преуменьшения истинной величины поверхности. В результате возможной компенсации двух погрешностей конечный результат, быть может, не очень далек от действительности. Вообще же очевидно, что во всех случаях, где активность центров определялась в предположении активности всех атомов поверхности, она заметно преуменьшена.

Для гидрогенизационного катализа был в основном применен третий, вероятно, наиболее надежный метод сопоставления активностей ансамблей на инертной поверхности и на подстилке из атомов катализатора, основанный на измерении активности атомов платины в различных ансамблях, возникающих на полиэкстремальной кривой (т. е. сохранившей несколько максимумов активности). Такие кривые были получены в нашей лаборатории для распада перекиси водорода (Н. И. Кобозев и Н. А. Решетовская [35]; А. А. Лопаткин, В. И. Шехобалова и В. П. Лебедев [36]) и для гидрирования (Н. И. Ко-

Таблица 4

Активация металлических ансамблей собственной решеткой

Каталитический процесс и активный ансамбль	Температурный эффект реакции Q_p	Средняя активность одного ансамбля в числе молекул субстрата, превращаемых в 1 сек.		Коэффициент ингибирования ансамбля	Авторы опытных данных и расчетов
		на инертных носителях	на собственной решетке		
262 $\text{CH}_3\text{CN} \rightarrow \text{CO} + 2\text{H}_2$ /активный ансамбль Cd_1 360 активный ансамбль Zn_1 450 $\text{N}_2 + 3\text{H}_2 \rightarrow 2\text{NH}_3$ /активный ансамбль Fe_3	-22 ккал -22 ккал 22 ккал	0,0015 0,25 0,48	~0,002 0,51 (мелкокристаллический порошок)	1 1 10	Данчевская и Кобозев [29] Кобозев, Клячко-Гурвич [30], Евдокимов [31], Мит-Миташ [34], Кейнека * Алмивист и Блэк * [7] Кобозев, Мальцев [32]
25 Гидрогенизация неспасшен. углерод-углеродных связей $\text{H}_2 + \text{R}'\text{CH}=\text{CH}\text{R}'' \rightarrow \text{R}'\text{CH}_2-\text{CH}_2\text{R}'$ /активный ансамбль Pt_2 20 $2\text{H}_2\text{O}_2 \rightarrow 2\text{H}_2\text{O} + \text{O}_2$ активный ансамбль Pt_1	30 ккал (в среднем) + 46,2 ккал	1,5	96 (чернь, золь)	65	Кобозев, Решетовская [34], Лебедев, Попаткин [35], Крылова; Стрельникова [36] [37] Брединг-Икеда [38], Мактед * [6]
450 $\text{SO}_2 + 2\text{O}_2 \rightarrow 2\text{SO}_3$ /активный ансамбль Pt_1 25 $\text{N}_2 + 1/2 \text{O}_2 \rightarrow \text{H}_2\text{O}(\text{пар})$ /активный ансамбль Pt_1	46 ккал 58 ккал	0,85 0,54	0,85 ~70(фольга) 255 (золь) 640 (проволока)	80 470	Кобозев, Шехобалова, Крылова [39], Боресков * [40], Чесалова [41] Кобозев, Решетовская [34], Эрст * [42], Боресков * [43]
25 Гидрогенизация коричной кислоты/актив. ансамбль Pt_2 Ni крист. SiO_2 25 Гидрогенизация 2-метил-4-метокс-2-3-бутена/активный ансамбль Pt_2/Ni Ренея 25 Гидрогенизация стирола/активный ансамбль Pt_2/Ni Ренея	30 ккал —	0,2 0,14 1,35 в среднем 0,56	— — — (близко к средней активности Pt_2 на инертном носителе—0,5)	— — —	Бухман и Соколовский [44] Щеглов и Соколовский [45] [45]

Примечания: 1) Гидрогенизационная активность центра Pt_2 на инертном носителе и на платиновой грани $[\text{Pt}_6]$ и $[\text{Pt}_{10}]$ определялась из гидрогенизации 4-гетена, циклогексена, метилциклогексана, 1-3-циклогексана (подробней см. работу А. Н. Мальцева и Н. И. Кобозева).

зев и Н. А. Решетовская [35] и Н. А. Мальцев, Н. И. Кобозев и А. К. Семенова [34]). В случае гидрирования непредельных углеводородов разной структуры на платине, сорбированной на силикагеле, оказалось возможным теоретически интерпретировать три полученных максимума активности — при $n = 2$, при $n \sim 7$ и при $n = 12-14$, и, рассчитав индивидуальные активности соответствующих центров: Pt_2 , Pt_{12-14} , определить отсюда степень активации центра Pt_2 элементом решетки в виде отношения a_{Pt_2}/a_{Pt_2} и $a_{Pt_{12-14}}/a_{Pt_2}$.

Последние два ансамбля уже могут рассматриваться как сочетание элементарного активного центра гидрогенизации и закристаллизованной подстилки из 5—10 атомов платины, т. е. как модель активного центра, сидящего на кристаллической решетке (подробней см. [34]).

В табл. 4 внесены также величины, полученные пересчетом данных Г. К. Борцова по активности массивной платины при катализе гремучего газа, а также данные В. Сокольского с сотрудниками по гидрированию непредельных углеводородов платино, нанесенной на адсорбированный никель и на скелетный никель Реная. Эти последние случаи представляют особый интерес, так как здесь осуществляется симбиоз активных ансамблей платины с кристаллической фазой инородного катализатора. Нужно отметить, что при опытах Д. В. Сокольского никель был каталитически недействительным.

Возвращаясь к рис. 3 и к табл. 4, мы видим, что должны ограничить свое первоначальное представление о безразличном отношении атомных металлических ансамблей к носителям, на которых они адсорбированы. Это остается справедливым для инертных носителей типа окислов, олей, угля, но не для собственной кристаллической решетки. Что касается железного аммиачного катализатора, у которого активность ансамбля Fe_3 не зависит от природы носителя, включая юда и кристаллическую решетку самого железа, то этот случай не может быть распространен на все процессы по причинам, указанным ниже.

Дальнейший анализ показывает, что активизирующее действие кристаллической решетки катализатора на ансамбли, резко отличающее ее от индифферентных носителей, так же как у ферментов, носит энергетический характер. Это видно из того, что эта активация, выраженная в виде отношения (f) активности ансамбля на кристаллической решетке к его активности на индифферентном носителе (f — степень активации), показывает ясную зависимость от теплового эффекта каталитического процесса* (рис. 4). Как видно из этого рисунка, степень активации ансамбля его собственной решеткой растет по тому же экспоненциальному закону с увеличением теплового эффекта катализируемой реакции, как и активность ферментов:

$$f = e^{(Q_p - q)} \approx e^{0,16 (Q_p - 20)} \quad (4)$$

$$\lg f = -0,4 + 0,07 Q_p, \quad (5)$$

Достигая для реакций с большими тепловыми эффектами высоких значений. Однако в отличие от ферментов здесь имеется некоторая минимальная величина теплового эффекта q (как раз отвечающая теплоте образования аммиака), при которой энергетическая активация центра кристаллической решеткой еще не имеет места. Этот минимум составляет ~ 20 ккал на моль активизируемого компонента реакции. (Для сравнения брались наиболее

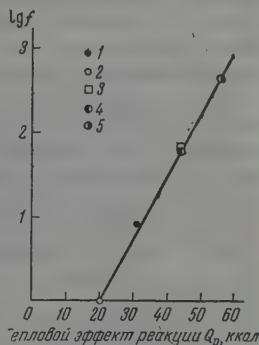


Рис. 4. Степень активации атомных ансамблей Me_n собственной решеткой в зависимости от теплового эффекта реакции: 1 — гидрогенизация ненасыщенных углеводородов на Pt; 2 — синтез NH_3 на Fe; 3 — окисление SO_2 на Pt; 4 — разложение H_2O_2 на Pt; 5 — катализ гремучего газа на Pt

* Так как степень активации f представляет отношение активностей на решетке и на инертном носителе при одинаковой температуре, то влияние температуры здесь элиминировано, и это позволяет сопоставлять между собой реакции при разных температурах.

активные катализаторы для каждого процесса, так как иное сопоставление было бы нехарактерным, причем все тепловые эффекты относились к молю активируемого компонента, а именно N_2 , H_2 и O_2 .)

Та же зависимость, но не степени активации, а самой активности центра на собственной кристаллической решетке от теплового эффекта реакции видна из полосы II на рис. 2. Мы видим, что несмотря на различие температур (что неизбежно сообщает точкам значительный разброс) и здесь наблюдается закономерное падение удельной активности ансамбля с уменьшением теплового эффекта реакции: так, активности менее экзотермических процессов все располагаются в нижней части графика*.

Если теперь обратиться к активности ансамблей не на решетке, а на индифферентных носителях (полоса III рис. 2), то здесь зависимость от теплового эффекта исчезает, и мы имеем практически горизонтальную полосу, заключающую точки для различных процессов. Этот важный факт говорит о том, что активация ансамбля энергией процесса связана с его фиксацией именно на собственной решетке и практически не осуществляется при адсорбции на инертных носителях.

Нужно, однако, указать, что при весьма слабых заполнениях поверхности инертных носителей активными ансамблями нами уже ранее наблюдалась аномально высокая активность этих центров, совпадающая с высоким парамагнетизмом и сильным тушением люминесценции первыми порциями наносимого металла. Это заставило прийти к выводу о существовании особых активных центров на носителе — «ловушек энергии», — в которых энергия предохраняется от рассеяния и идет на дополнительную активацию атомов катализатора, попавших в эту ловушку. Сказанное позволяет думать, что слабая активируемость многих неорганических катализаторов, объясняется тем, что их активные центры уже активированы контактом с собственной металлической решеткой. Таким образом, даже в случае простейших неорганических катализаторов, взятых в кристаллическом виде, часто мы имеем не чисто валентный механизм, а смешанный валентно-энергетический. Этот факт с новой стороны доказывает отсутствие кристаллической фазы катализатора на носителях при достаточных разведениях слоя, так как иначе зависимость абсолютной активности центра от Q_p для нанесенных и поликристаллических катализаторов была бы одинаковой, что не имеет места (ср. полосы II и III на рис. 2).

Можно было бы думать, что энергетическая автоактивация катализатора сводится к простому увеличению числа активных центров на решетке под действием энергии реакции, но расчет активности платиновой черни, сделанный в этом предположении, очень далеко расходится с опытом: так, приняв для индивидуальной активности ансамбля $Pt_1/[Pt]$ при разложении H_2O_2 величину, которую она имеет на инертных носителях (в среднем 1,5 молекулы H_2O_2 /сек. центр, см. табл. 2), и рассчитав отсюда максимальную граммową активность черни (т. е. допустив, что все атомы ее поверхности активны) мы получим значение активности около $5 \cdot 10^{-4}$ г-молекул H_2O_2 /1 г Pt сек.; в действительности же граммová активность черни составляет $(1 \div 2) \cdot 10^{-2}$ г-молекул H_2O_2 /1 г Pt сек., т. е. в 20—40 раз больше. Фактическое расхождение будет еще резче, так как, конечно, не все атомы поверхности активны. Отсюда следует, что активирующее действие решетки не представляет простого увеличения числа центров того же сорта и той же активности. Приходится думать, что главную роль здесь играет повышение индивидуальной производительности активного центра за счет выделяющейся энергии реакции; возбужденная же решетка служит передатчиком этой энергии от центра к центру по некоторому эстафетному механизму (подобно перемещению «экситона» или «дырки»). В результате усиленной работы центров катализатора на его поверхности возникает «энергетическая лавина» или цепь, обрывом которой является

* Надо оговорить, что здесь не может быть речи о саморазогреве катализатора в прямом смысле слова, так как мощность, подаваемая на 1 cm^2 поверхности катализатора, для этого слишком мала (особенно, учитывая, что катализаторы в большинстве случаев взбалтываются в жидкости), составляя, например, для распада H_2O_2 на платиновой черни не более $5 \cdot 10^{-3}$ кал в секунду на 1 cm^2 поверхности, или ~ 1 кал в секунду на всю навеску платиновой черни.

переход энергии в окружающую среду через тепловые колебания решетки или электронные толчки. Расчет показывает, что достаточно, чтобы энергия активации процесса, необходимая центру, была скомпенсирована при низкотемпературном катализе на 3—4 ккал, а при высокотемпературном — на 6—7 ккал, чтобы его производительность возросла в несколько сот раз. При весьма большой интенсивности процесса не исключена возможность азупорядочения поверхностных атомов решетки и появления новых активных центров.

Обратившись еще раз к рис. 2 и сопоставив уравнения энергетической автоактивации ферментов и неорганических катализаторов, мы увидим, что они могут быть выражены в виде следующего общего закона активации катализаторов:

$$a = a_0 e^{\gamma(Q_p - q)} = a^0 e^{\gamma \eta Q_p} \frac{\text{молекул субстрата}}{\text{сек. акт. центр или группа}} \quad (6)$$

где $(Q_p - q)$ — энергия, захваченная молекулярными аддендами, белковым носителем или кристаллической решеткой катализатора; q — порог энергетической автоактивации; γ — коэффициент возврата энергии к активному центру; $\eta = (Q_p - q)/Q_p$ — степень рекуперации энергии реакции катализатором или носителем (для $Q_p > q$); a_0 — валентная производительность центра или группы при $\gamma \eta Q_p = 0$. Существенное отличие между ферментом и гетерогенным катализатором заключается в числовых значениях этих коэффициентов, показанных в табл. 5.

Таблица 5

Тип катализатора	Порог энергетической автоактивации q , ккал	Степень рекуперации энергии η	Коэффициент возврата энергии γ	Активность a	
				Валентная активность центра молекул сек. центр a_0	Энергетическая автоактивация центра
а) Ферменты	0	1	0,23	$(1 \div 2)$	$(1-2) e^{0,23 Q_p}$
б) Гетерогенные катализаторы:					
а) для $Q_p < 20$ ккал	20	$(0 \div 0,6)$	0,16	$(0,5 \div 1,5)$	$(0,5 : -1,5) \cdot 1$
б) для $Q_p \geq 20$ ккал	20	$(0 \div 0,6)$	0,16	1	$1 \cdot e^{0,16(Q_p - 20)}$

Замечательной особенностью ферментов, которая выделяет их среди стальных катализаторов и сообщает им столь высокую активность, является их способность к практически полной рекуперации энергии реакции $\eta \sim 1$ или, что то же самое, $q \sim 0$, т. е. способность почти полностью откачивать энергию реакции в белковый носитель и подпитывать ею активную группу. Что касается степени возврата энергии γ , то она имеет у ферментов и гетерогенных катализаторов близкий порядок, и, следовательно, не ею определяется их различие. Поэтому возможность радикального повышения активности обычных катализаторов нужно искать именно в увеличении η , т. е. полноты рекуперации энергии. Например, для катализаторов синтеза аммиака увеличение η от нуля (что отвечает применяемому сейчас железным катализаторам) до единицы (уровень ферментов) позволило бы поднять их активность приблизительно в 200 раз. Увеличение же степени возврата энергии γ до уровня ферментов (от 0,16 до 0,23) даст рост активности всего лишь в несколько раз.

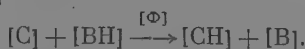
В явлении рекуперации энергии выражается физико-химическое сходство между ферментами и гетерогенными катализаторами. Оно также позволяет понять необходимость сложной и тонкой архитектуры фермен-

тных молекул, так как столь полное сохранение энергии реакции от рассеяния возможно только в сложных структурах, достаточно изолированных от внешней среды и снабженных электронно-молекулярными механизмами, способными обращать энергию внутри каталитической системы. Аналогично тому, как у ферментов рекуперация энергии требует связи активной группы с молекулярными аддендами и специфическим белком, так у неорганических катализаторов она нуждается в контакте активного центра с собственной решеткой; так же как белковый носитель сам по себе неактивен, неактивна сама по себе кристаллическая решетка, и только их комбинация с активными группами или центрами дает высокодеятельные каталитические структуры.

Естественно, что структура ферментов, столь тщательно отобранная в результате миллионов лет биохимической эволюции живого вещества, представляет значительно более совершенный аппарат для рекуперации энергии, чем кристаллическая решетка, которая может быть уподоблена «конденсатору с потерями». Благодаря весьма полному захвату энергии белком, фактор энергетической активации у ферментов, выражаемый членом $e^{\eta Q_p}$, очень велик, достигая, например в случае каталазы, 50 000 актов на 1 валентный акт (как бы «длина энергетической цепи»); у лучшего же неорганического катализатора для распада H_2O_2 — платиновой черни или золя — он составляет всего около 70. Подобная подпитка активных центров за счет энергии реакции может рассматриваться как катализ в потоке собственной свободной энергии процесса.

Обнаруженный нашим анализом энергетический обмен между носителем и активными центрами или группами подтверждается фактами из фотохимии кристаллов, макромолекул и адсорбционных слоев, собранными и описанными в основном А. Н. Терениным [46]. Они указывают на возможность интенсивного энергетического обмена между адсорбционным слоем и носителем. Сюда относится сильное тушение флуоресценции крупных молекулярных агрегатов незначительными добавками тушителей, а также перехват энергии флуоресцирующими добавками. Так, добавка к антрацену незначительных количеств тетрацена полностью подавляет собственную флуоресценцию антрацена и ведет к возникновению интенсивно желтой флуоресценции тетрацена. Это показывает, что энергия, поглощенная кристаллом антрацена, способна без растраты перемещаться по нему и высвечиваться на тетраценовых центрах. Этот перенос энергии осуществляется и в обратную сторону — от кристалла к адсорбционному слою. Так, при окислении перманганатом кремнийорганического соединения — силоксена, на котором адсорбирован какой-либо краситель-люминофор (родамин В и др.), появляется яркая люминесценция, тождественная испусканию самого красителя. Следовательно даже большие порции энергии реакции способны сохраняться в кристалле и доходить до активных центров, в данном случае — молекул красителя.

Методом, изложенным в первой части работы [2], можно определить значение валентной энергии активации (\mathcal{E})_{валент} для какого-либо процесса, например для передачи Н-атома от донора [ВН] к акцептору [С] через катализатор [Ф]



Ферментная энергия активации за счет энергетической подпитки будет меньше валентной величины на член: $0,14 \eta Q_p$ (для $T \sim 300^\circ \text{K}$) и выражится:

$$\mathcal{E}_\Phi = \underbrace{\frac{\beta \alpha' D_{\text{В-Н}} - \alpha \beta' \varphi'_{\text{С-Н}}}{2\alpha + \beta}}_{\mathcal{E}_{\text{валент}}} - \underbrace{0,14 \eta Q_p}_{\Delta \mathcal{E}_{\text{подпитки}}} \quad (7)$$

(обозначения см. в первой части работы [2]). Первый член уравнения (7) не содержит каких-либо величин, специфических именно для ферментного катализа, так как величины α , α' , β , β' , $D_{\text{В-Н}}$, $\varphi_{\text{С-Н}}$ должны иметь одинаковый порядок для ферментных и каталитических процессов. Специфичность заключается именно во втором члене, который у ферментов имеет наивысшее значение $0,14 Q_p$ за счет приближения степени ре

уперации η к единице. Из уравнения (7) можно определить валентную энергию активации для активной группы фермента. Так, например, в случае каталазы получим $\mathcal{E}_{\text{валент}} = 12 \text{ ккал}$, что практически совпадает с энергией активации для неорганических катализаторов (Fe^{3+} -ион, платиновая чернь, платиновый золь).

Резюмируя, можно сказать, что валентно-энергетическая форма катализа является наиболее общей и наиболее эффективной. Именно поэтому гетерогенные и ферментные катализаторы, снабженные специфическими энергетическими емкостями в виде кристаллических решеток и белковых макромолекул, являются наиболее каталитически деятельными из известных систем и составляют физико-химическую основу жизнедеятельности организмов и современных интенсивных технологических процессов.

Выводы

Дана новая концепция гетерогенного и ферментного катализа. Сопоставление абсолютной активности ферментных групп ($a_{\text{ф}}$) с тепловым эффектом энзиматического процесса (Q_p) выявляет между ними зависимость экспоненциального типа: $a_{\text{ф}} = a_0 e^{\gamma Q_p}$. Таким образом, огромная производительность ряда ферментов, особенно окислительного класса (с большим Q_p) объясняется не особой валентной активностью простетических групп (a_0), а их энергетической подпиткой за счет энергии реакции, захватываемой белковым носителем (энергетическая автоактивация). Валентная же производительность простетических групп практически совпадает со средней производительностью активных центров обычных катализаторов (несколько молекул в секунду на один активный центр). Сравнение производительности активных центров металлических катализаторов на собственной решетке и на носителях показывает, что решетка катализатора активирует его центры, аналогично тому, как белковый носитель ферментов активирует простетические группы, причем эта активация растет с тепловым эффектом катализируемой реакции по уравнению того же типа:

$$a_{\text{к}} = a_0 = e^{\gamma(Q_p - q)}$$

Существенное различие между ферментом и обычным гетерогенным катализатором заключается в том, что фермент способен к энергетической автоактивации своих групп, начиная с самых слабых тепловых эффектов $q \sim 0$, отсюда почти полная рекуперация энергии белковым носителем); кристаллические же катализаторы проявляют эту способность, начиная лишь с значительного теплового эффекта $\sim +20 \text{ ккал/моль}$ (большое рассеяние энергии реакции кристаллической решеткой).

Таким образом, наряду с обычной валентной активацией превращаемых молекул обнаруживается существование особой энергетической активации за счет энергии реакции, захваченной сложной высокомолекулярной структурой фермента или кристаллической решеткой катализатора. Предположительно принимается, что захваченная энергия передается по носителю (белку, кристаллу) в форме экситона.

Московский государственный университет
им. М. В. Ломоносова

Поступила
13.IX.1958

ЛИТЕРАТУРА

1. Н. И. Кобозев, Ж. физ. химии, а) 13, 1, 1939; б) 14, 663, 1940; в) 19, 71, 142, 1945; г) 21, 1413, 1947; д) Уч. зап. МГУ, вып. 66, 1957; ж) Успехи химии, 25, 545, 1956.
2. Н. И. Кобозев, Ж. физ. химии, 31, 2162, 1957.
3. Н. И. Кобозев, Ж. физ. химии, 31, 2391, 1957.
4. О. М. Полтораки. Термодинамика реальных кристаллов и активные центры катализаторов (докл. диссертация МГУ 1958); Ж. физ. химии, 31, 977, 1957; 32, 534, 1958.

5. Bredig u. Müller v. Berneck, Z. phys. Chem., 31, 324, 1899; См. также [38].
6. Maxted, J. Chem. Soc., 121, 1760, 1922.
7. Almqvist a. Black, J. Amer. Chem. Soc., 48, 2814, 2820, 1926; Mittasch u. Kleineske, Z. Elektrochem., 41, 274, 1938.
8. Palmer, Proc. Roy. Soc., 101, 175, 1922.
9. Griffitt a. Hill, J. Amer. Chem. Soc., 67, 1223 (1945).
10. Medsforth, J. Chem. Soc., 45, 1071, 1923; 46, 1675, 1924.
11. К. Хауффе, Теория полупроводников и проблема гетерогенного катализа. Сборник статей по катализу. Электронные явления, ИИЛ, 1958.
12. И. В. Крылова, М. Н. Данчевская, Н. И. Кобозев, Ж. физ. химии, 29, 1684, 1955.
13. Л. И. Шехтер (И. А. Мясников, С. А. Пшежецкий), Диссертация. Физ.-хим. ин-т им. Л. Я. Карпова, 1958.
14. E. Mollinari a. G. Ragavanno, J. Amer. Chem. Soc., 75, 5233, 1953.
15. Eskell, Z. Elektrochem., 38 (9), 807, 1933.
16. G. Ragavanno, J. Amer. Chem. Soc., 75, 1352, 1448, 1958.
17. О. И. Блох и Н. И. Кобозев, Ж. физ. химии, 8, 492, 1934.
18. П. М. Жаброва и В. А. Фокина, Проблемы кинетики и катализа, 6, 151, 1949.
19. Г. К. Боресков, Ж. физ. химии, 31, 937, 1957.
20. Н. И. Кобозев, Ж. физ. химии, 27, 761, 1953; 30, 700, 1956.
21. Langenbeck, Die organische Katalysatoren u. ihre Beziehungen zu den Fermenten, 1943.
22. Н. И. Кобозев, Лифшиц и Гайсинская Уч. зап. МГУ, вып. 174, 1955.
23. Н. И. Кобозев, Ж. физ. химии, 21, 1413, 1947.
24. Э. Болдуин, Основы динамической биохимии, ИИЛ, 1949.
25. О. М. Полторак, В сборнике Гетерогенный катализ в химической промышленности, Госхимиздат, М., 1955, стр. 118.
26. Blaschko, Biochem. Z., 158, 428, 1925.
27. Н. И. Кобозев, Уч. зап. МГУ, вып. 174, 125, 1955.
28. Н. И. Кобозев, Уч. зап. МГУ, вып. 86, 1946.
29. М. Н. Данчевская и Н. И. Кобозев. Ж. физ. химии., 34, № 8, 1960.
30. Н. И. Кобозев и Л. Л. Клячко-Гурвич, Ж. физ. химии, 13, 27, 1939.
31. В. Б. Евдокимов, В сборнике Гетерогенный катализ в химической промышленности, Госхимиздат, М., 125, 1955.
32. Н. А. Mittasch и Kleineske, Z. Elektrochem, 38, 666, 1932.
33. Н. А. Мальцев, Н. И. Кобозев, А. В. Семенова, Е. И. Карпова, Ж. физ. химии, 34, 1190, 1960.
34. Н. И. Кобозев и Н. А. Решетовская, Ж. физ. химии, 23, 288, 1949.
35. А. А. Лопаткин, В. И. Шехобалова и В. П. Лебедев, Ж. физ. химии, 28, 2222, 1956.
36. Ж. В. Стрельникова, А. А. Лопаткин и В. П. Лебедев, Ж. физ. химии, 30, 639, 1956.
37. А. А. Лопаткин, Ж. В. Стрельникова, Н. С. Осипов и В. П. Лебедев, Вестн. МГУ, № 5, 215, 1957.
38. Bredig u. Ikeda, Z. phys. Chem., 37, 8, 1901.
39. В. И. Шехобалова, И. В. Крылова, Н. И. Кобозев, Ж. физ. химии, 26, 72, 1972; В. И. Шехобалова и Н. И. Кобозев, Ж. физ. химии, 26, 703, 1952.
40. Г. К. Боресков, Ж. физ. химии, 29, 2086, 1955.
41. В. С. Чесалова и Г. К. Боресков, Ж. физ. химии, 30, 2560, 1956.
42. Egnst, Z. phys. Chem., 37, 448, 1901.
43. Г. К. Боресков, Г. К. Боресков, Ж. физ. химии, 31, 937, 1957.
44. С. П. Вухман и Д. В. Сокольский, Изв. АН КазССР, Сер. химич. вып. 2, 64, 1948.
45. Д. В. Сокольский и Щеглов, Изв. АН КазССР, Сер. химич. вып. 5, 39, 1953.
46. А. Н. Теренин, Фотохимия красителей, Изд-во АН СССР, 1947.
47. И. В. Крылова и Н. И. Кобозев, Ж. физ. химии, 31, 2725, 1957.

ON THE MECHANISM OF CATALYSIS. III

N. I. Kobozev (Moscow)

Summary

An exponential relation has been found between the heat effects of a reaction and the absolute efficiency of the active groups of enzymes and of the active centers of catalysts on their own lattice (the activity of the latter being determined on the basis of the theory of ensembles):

$$a = a^0 e^{(Q_{\text{react}} - q) \frac{\text{molec. substrate}}{\text{sec. active center (group)}}}$$

This relation is interpreted as the result of seizure of part of the energy by the protein carrier (enzymes) or crystal lattice (catalysts) with subsequent gradual feeding of the active groups and centers with this energy ($Q_{\text{react}} - q$) («energetical self-activation»). The quantity q expresses the energy loss in recuperation. It is considerably lower in the case of protein carriers ($q \sim 0$), than in the case of crystal lattices ($q \cong 20$ kcal) and, correspondingly the degree of energy recuperation of the former is considerably higher. This is responsible for the very high efficiency of the enzymes, particularly of the oxidative type (large values for the Q_{react} of the reaction) due to energetical self-activation. At the same time the valence efficiencies (a_0) of the active groups of the enzymes and the active centers of the catalysts are of the same order (ca. 1 molecule/sec at ordinary temperatures). The coefficient of energy return is also of the same order (0.23 for enzymes and 0.16 for catalysts). The transfer of active centers (ensembles) from their own lattice to an inert carrier as a rule lowers their energetical activation.

О КЛАССИФИКАЦИИ ПРОЦЕССОВ РАЗДЕЛЕНИЯ

Л. А. Нисельсон

Большинство процессов химической технологии и смежных с ней производств, например металлургии, прямо или косвенно связано с процессами разделения. В последнее время, в связи с возросшей потребностью в материалах весьма высокой чистоты, вопросы разделения очистки приобретают особо важное значение. В некоторых случаях задача разделения не представляет особых трудностей, поскольку выделяемый или синтезируемый продукт резко отличается по физико-химическим свойствам от продуктов, сопутствующих ему при получении. Однако в тех случаях, когда выделяемые продукты близки по свойствам или необходима их очень высокая чистота, задача разделения и очистки становится основной. Несмотря на очевидное значение процессов разделения, для них в настоящее время, по-видимому, не имеется ни достаточно четкой классификации и систематизации, ни простых и ясных способов оценки и сопоставления.

Многие авторы приводят классификацию процессов, в основе которой лежит деление их на группы по признаку физико-химических свойств, используемых для разделения компонентов. Однако при такой, как бы естественной или натуральной, классификации не учитывается ряд важных особенностей сложных процессов разделения, и в одну группу могут попасть процессы, принципиально отличные друг от друга. Например, в группу процессов, использующих для разделения компонентов их разную летучесть, попадают и простые процессы типа фракционной дистилляции или сублимации, и сложный колонный процесс типа ректификации.

Можно также указать на попытку классификации процессов разделения по термодинамическому признаку. В работе [1] приведена классификация некоторых основных многоступенчатых и противоточных процессов разделения по степени их термодинамической обратимости и легкости группировки отдельных ступеней разделения. Такая классификация, являясь весьма полезной для определенных целей, носит, однако, очень специальный характер и также не отражает ряда важных особенностей процессов разделения.

В настоящей работе сделана попытка классифицировать сложные процессы разделения с точки зрения их различия в динамике материальных потоков разделяемых компонентов. Поскольку данная работа является первой попыткой классификации процессов разделения по указанному признаку, ряд ее положений носит дискуссионный характер.

В общую классификацию должны войти в виде двух обширных классов процессы разделения как гетерогенных, так и первоначально гомогенных смесей, характеризующихся молекулярной степенью дисперсности. Разделение грубо гетерогенных смесей чисто физическими или механическими методами на отдельные фазы без изменения состава последних в значительной мере относится к области процессов обогащения с рядом их специфических особенностей, и мы не будем здесь останавливаться на их детальном рассмотрении.

Положение, что все процессы разделения основаны на использовании различия в каких-либо свойствах разделяемых компонентов, общеизвестно. Условимся считать «элементарным» или «простым» такой процесс разделения, в котором то или иное различие в свойствах разделяемых компонентов используется однократно. Элементарные процессы разделения могут быть классифицированы по ряду признаков. Наиболее естественна

для них классификация по характеру физико-химического различия в войстве, лежащем в основе данного процесса разделения. В подавляющем большинстве процессов работа разделения (или ее часть) производится в конечном счете против сил диффузии. Для дальнейшего изложения весьма существенно ввести понятие о «динамически обратимых» и «динамически необратимых» элементарных процессах разделения.

При разделении в первоначально однородной среде возникают по меньшей мере две области с различной относительной концентрацией разделяемых компонентов. В динамически обратимых процессах возможно динамическое равновесие между этими областями. Естественно, что в таком случае процесс перехода в первоначальное состояние (с точки зрения однородности) может осуществляться путем простой диффузии при устранении причины, вызвавшей градиент относительной концентрации. В то же время, с указанной точки зрения, термодинамическая обратимость процесса необязательна для отнесения процесса к динамически обратимому. Например, термодиффузия является термодинамически необратимым процессом, поскольку она происходит с деградацией энергии, но динамически — обратимым; электролиз воды можно провести термодинамически обратимо, но вследствие кинетической заторможенности реакции образования воды из водорода и кислорода этот процесс при нормальной температуре и отсутствии катализаторов динамически необратим. Подавляющее большинство физико-химических процессов, используемых для разделения, может быть отнесено к динамически обратимым. К этой же категории могут быть отнесены многие химические реакции и электрохимические процессы при условии их обратимости в указанном выше смысле. Динамически необратимым относятся, например, процессы, носящие импульсный характер, взрыв, электрический разряд и т. п.

Как и любой процесс разделения, элементарный процесс характеризуется коэффициентом разделения α , который можно определить отношением относительных концентраций выделяемого компонента в полученной фракции к исходному содержанию или отношением концентраций того компонента в двух областях, находящихся в динамическом равновесии:

$$\alpha = \frac{\frac{N_1}{1 - N_1}}{\frac{N_0}{1 - N_0}},$$

где N_0 и N_1 — молярные концентрации компонента соответственно в исходной смеси и выделенной фракции.

Коэффициент разделения элементарного акта может быть определен из диаграммы состав — свойство. Причем в общем случае коэффициент разделения зависит от состава и термодинамических параметров. В большинстве процессов коэффициент разделения для компонентов, идущих в головную фракцию, достигает максимального значения при величине головной фракции, стремящейся к нулю. Концентрация компонента, остающегося в хвостовой фракции, может быть определена из уравнения Рэлея, которое является следствием материального баланса:

$$\ln^* S^t = \int \frac{dN_S}{N_S - N_D},$$

где S — величина хвостовой фракции, N_S — концентрация компонента в хвостовой фракции, N_D — концентрация компонента в головной фракции, которая определяется как $f(N_S, \alpha)$.

Из анализа уравнения Рэлея следует, что в однократном процессе теоретически мыслимо получение чистого компонента, остающегося в хвостовой

вой фракции. Однако при значениях коэффициента разделения, не отличающихся чрезмерно от единицы, выход этого компонента резко уменьшается с повышением его чистоты, стремясь в пределе к нулю. В тех случаях, когда однократный процесс не дает достаточного эффекта разделения, необходимо его многократное повторение, т. е. переход к каскаду.

Объединение отдельных процессов в каскад может быть выполнено различными способами, из которых некоторые являются по определенным параметрам [2, 3] оптимальными. При коэффициентах разделения, близких к единице, и необходимости получить продукты высокой чистоты, а также при желании сохранить достаточно высокий выход разделяемых компонентов число ступеней каскада становится чрезмерно большим. Каскад еще значительно усложняется при разделении многокомпонентной смеси. Практическое осуществление непрерывной работы каскада, как правило, является довольно сложным ввиду необходимости согласования действия его отдельных ступеней и переноса материала между ними. Значительно целесообразнее в тех случаях, когда это возможно, осуществление процессов разделения в виде многоступенчатых колонных процессов, в которых конечный эффект, подобный действию сложного каскада, достигается за одну операцию в одном аппарате.

Рассмотрим основные типы многоступенчатых колонных процессов разделения.

1. Противоточные колонные процессы характеризуются наличием непрерывного массо- и теплообмена между двумя противоположно направленными материальными потоками. На схеме процесса, представленной на рис. 1, видно возникновение специфического противоточного колонного эффекта разделения. На указанной схеме, сущность которой заимствована нами из работы [4], процессы разделения, соответствующие элементарным актам, и движение потоков расчленены для наглядности на отдельные этапы. Для каждого элементарного акта принят равновесный коэффициент разделения, равный 2,0, и продвижение потоков между этими актами на одну ступень. В реальном случае оба процесса протекают одновременно и непрерывно, что приводит к тому, что в каждом сечении колонны, перпендикулярном потокам, имеется неравновесное состояние: а разделяемые компоненты движутся по отношению к колонне в разные стороны. Элементарные акты массообмена в противоточных процессах могут быть частично локализованы (например, в тарельчатых колоннах) или полностью рассредоточены (например, в насадочных ректификационных или термодиффузионных колоннах).

Основными факторами, определяющими эффективность разделения противоточного процесса, являются максимальная величина коэффициента разделения элементарного акта, число теоретических ступеней колонны и величина флегмового числа, равная отношению количества продукта, возвращаемого в колонну, к отбору. При флегмовом числе, стремящемся к нулю, противоточный процесс вырождается в элементарный. Важной особенностью противоточных процессов разделения является легкость их оформления как непрерывных. Общность отдельных или всех противоточных процессов разделения неоднократно подчеркивалась многими авторами, например [5—7].

2. Процессы разделения хроматографического типа, с точки зрения настоящей классификации, характеризуются наличием потока носителя, осуществляющего перенос разделяемых компонентов. Вследствие непрерывной миграции разделяемых компонентов из движущегося потока и неподвижного фиксатора, и обратно, осуществляемой с различной скоростью, возникает различие в эффективных скоростях компонентов по направлению движения потока носителя. На рис. 2 представлена возможная схема процесса типа хроматографии, на которой миграция компонентов, соответствующая элементарным актам, и движение потока носителя расчленены для наглядности на отдельные чередующиеся этапы. В каждом элементарном

ном акте принят равновесный коэффициент разделения, равный 2,0, продвижение потока носителя между актами разделения на одну ступень. В случае процессов хроматографического типа движение разделяемых компонентов происходит в одну сторону по отношению к неподвижно

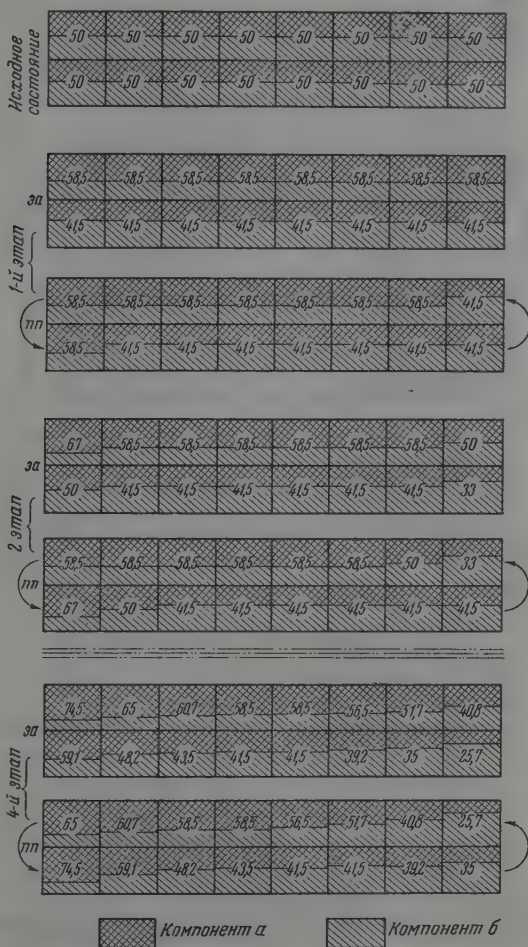


Рис. 1. Схема колонного процесса разделения противоточного типа. Равновесный коэффициент разделения элементарного акта равен двум. за — элементарный акт разделения; пп — продвижение потоков; заштрихованная площадь пропорциональна концентрации соответствующего компонента в данном «квадрате» колонны. Цифры на схеме указывают концентрацию компонента а в бинарной смеси $a + b$

фиксированному носителю (или стенкам колонны). Как предельный случай, можно представить хроматографию и без подвижного носителя, например при очистке продукта от примесей, присутствующих в незначительном количестве. В последнем случае роль подвижного носителя будет выполнять сам очищаемый продукт. В некоторых случаях нет необходимости иметь и активно участвующий в процессе фиксатор.

Осуществление непрерывного хроматографического процесса наталкивается на определенные трудности, именно вследствие его «прямоточности».

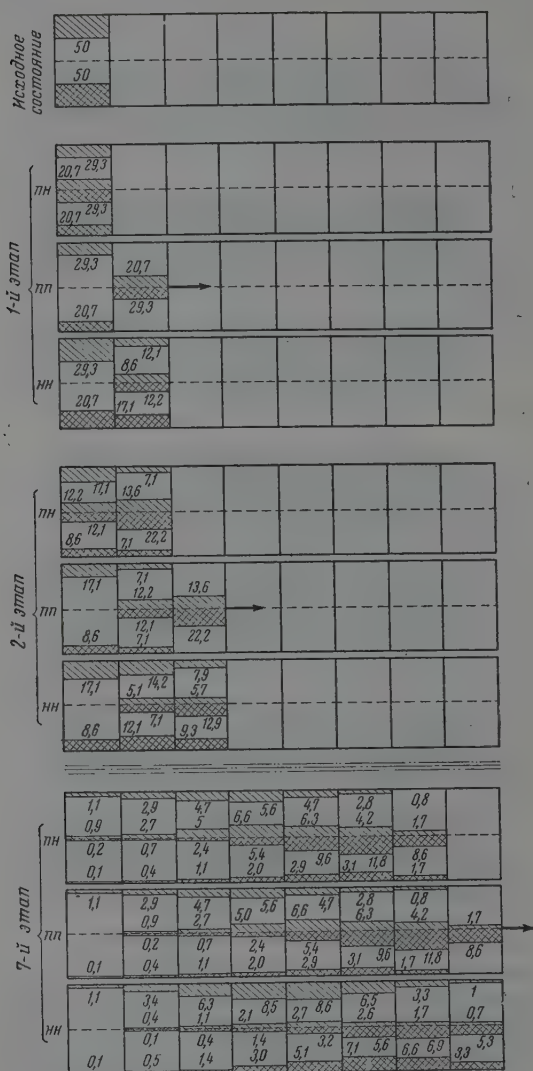


Рис. 2. Схема колонного процесса разделения хроматографического типа. Равновесный коэффициент разделения элементарного акта равен двум. пн — миграция в подвижной носитель; лн — продвижение потоков; лн — миграция на неподвижный носитель. Остальные условные обозначения те же, что и на рис. 1

отдельных случаях этот процесс можно осуществить, применяя различные силовые поля. Так, в работе [8] для этой цели использовано перпендикулярное гравитационному электрическое поле. Элементарный акт процессах хроматографического типа может быть локализован или расщелочен. Последнее имеет место в большинстве случаев.

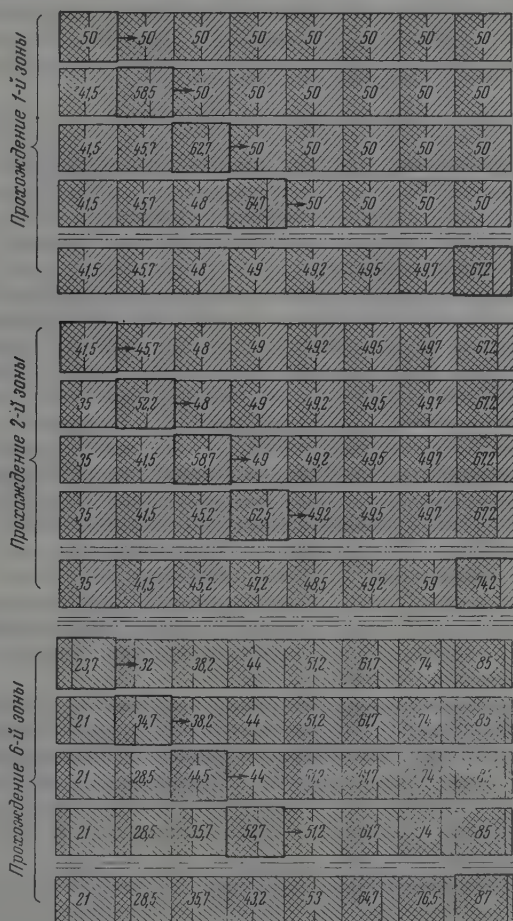


Рис. 3. Схема колонного процесса разделения зонного типа. Равновесный коэффициент разделения между зоной и областью за ней равен двум. Условные обозначения те же, что и на рис. 1

3. Процессы разделения зонного типа, с точки зрения настоящей классификации, характеризуются наличием перемещающихся зон, более богатых (или бедных) по каким-либо компонентам, чем окружающие их области, вследствие различного отношения этих компонентов к измененным условиям в зоне. Одна из возможных схем процесса зонного типа представлена на рис. 3. На указанной схеме равновесный коэффициент разделения между зоной и лежащей за ней областью принят равным двум. Для наглядности передвижение зон и элементарные акты разделения расчленены и показаны отдельными этапами. В зонных процессах градиент концентраций разделяемых компонентов в элементарном акте (или основная состав-

ляющая этого градиента) направлен вдоль оси колонны по направлению движения зоны, если не принимать во внимание знака. По своему существу зонные процессы являются локальными. Однако в отдельных случаях, например при неплоском фронте зоны, имеет место определенная рассредоточенность, которая может достигать значительной величины. При уменьшении числа проходов фронта зоны до одного и ширине зоны, стремящейся к размеру исходной загрузки, зонный процесс вырождается в элементарный. Оформление зонных процессов как непрерывных представляет довольно сложным. Один из возможных путей описан в работе [5] для зонной плавки.

В основу каждого из рассмотренных многоступенчатых процессов разделения может быть положен (хотя бы мысленно) любой элементарный процесс, если он относится к группе динамически обратимых. Необходимо подчеркнуть, что принципиальная возможность осуществления колонных процессов разделения на основе любого динамически обратимого элементарного процесса еще ничего не говорит о ее практической целесообразности в каждом отдельном случае. Для некоторых из них технические препятствия могут быть столь велики, что процесс вообще не может быть практически реализован. Например, трудно себе представить, по вполне понятным причинам, использование гравитационного эффекта разделения в виде процесса хроматографического или зонного типа, тогда как в виде противоточного процесса это может быть легко выполнено [9]. Процесс разделения кристаллизацией просто и естественно оформляется как зонный процесс, несколько сложнее — как процесс типа хроматографии [10], и, по-видимому, еще более сложно будет его оформление в виде процесса противоточного типа. В то же время процесс разделения распределением между двумя несмешивающимися растворителями (жидкостная экстракция) может быть относительно легко оформлен как процесс противоточного [6] или хроматографического типа ([11], стр. 135), и очень трудно представить его практическое выполнение в виде процесса зонного типа. Сформулированный выше принцип может быть положен в основу классификации процессов разделения, сущность которой понятна из представленной на рис. 4 схемы.

В реальных колонных процессах может иметь место одновременное протекание различных по характеру элементарных актов разделения, сочетающихся сложным образом. Например, в работе [12], посвященной разделению изотопов азота, в противоточном процессе используется термодиффузия в сочетании с химическим обменом. Процессы зонной перекристаллизации при наличии легколетучих составляющих могут сопровождаться зонной пересублимацией и т. д.

Внимательное рассмотрение колонных многоступенчатых процессов показывает, что они могут сочетать в себе одновременно черты различных типов. Таким образом, рассмотренные выше три типа колонных процессов являются предельными, и между ними можно наметить непрерывный последовательный переход. Указанная связь отмечена на рис. 4 пунктирными линиями. Так, разная летучесть компонентов может быть использована для их разделения в процессе хроматографического типа с локализованными зонами миграции (испарение — конденсация) и подвижного носителя в виде инертного, по отношению к компонентам, газа. Уменьшая количество и скорость потока газа, с одной стороны, и приводя в движение зоны испарения и конденсации, — с другой, можно постепенно перейти к процессу зонного типа, носящего для случая жидкость — пар не совсем удачное название «термической ректификации» ([13], стр. 395). Вызывая и постепенно увеличивая противоток пара и конденсата, а также уменьшая скорость движения зон, выравнивая температурное поле вдоль колонны и уменьшая теплообмен с окружающей средой, мы через ряд промежуточных процессов придем к хорошо известной противоточной, адiabатической ректификации. Вызывая дальше опять появление зон испарения

ния и конденсации, уменьшая противоток и вводя подвижной носитель, и снова приходим к процессу типа хроматографии.

Естественно, что возможны и другие пути перехода между колонными процессами, а также более сложные случаи, например сочетающие все рассмотренные типы. Разделительные колонны могут, так же как элементарные процессы, быть соединены в каскад, что в некоторых слу-

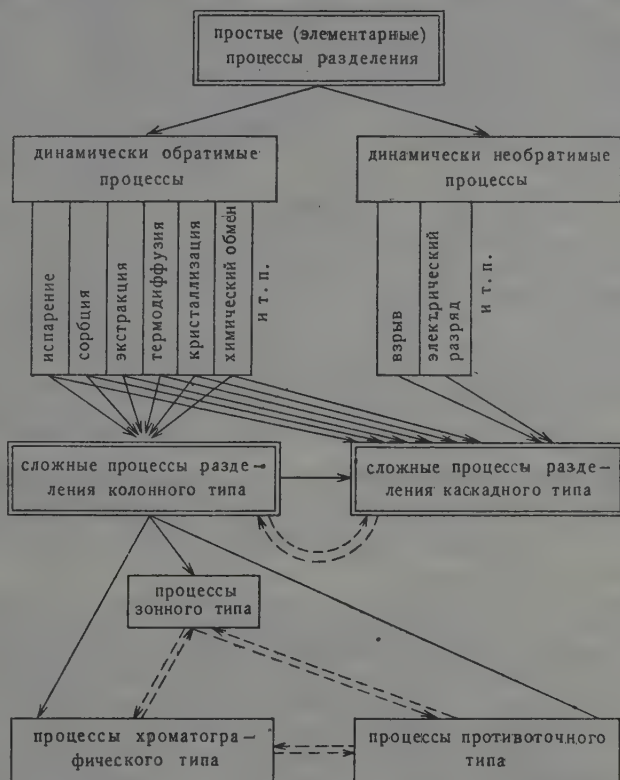


Рис. 4. Схема классификации процессов разделения

ах дает преимущества, с точки зрения экономики процесса разделения [1]. Кроме того, между колонными и каскадными процессами разделения существует и более тесная связь, заключающаяся в возможности непрерывного и последовательного перехода между ними (на рис. 4 указанная связь отмечена пунктирными стрелками).

Следует также сказать несколько слов о сопоставлении различных процессов разделения, с точки зрения эффективности, что ввиду их большого разнообразия представляется весьма затруднительным. Некоторой мерой сравнения эффективности разнородных процессов разделения могла бы, по-видимому, служить величина какого-либо из параметров, например геометрического (высота, поперечное сечение или объем аппаратуры), энергетического или наиболее важного практически-экономического, отнесенная к количеству основного компонента, в котором изменяется содержание другого на один порядок за единицу времени, что может быть выражено следующей формулой:

$$\partial_{\Phi} = \frac{G}{\frac{dN}{d\tau} \cdot \Pi},$$

где G — количество основного компонента, Π — характеристика параметра.

Естественно, что если нас интересует сравнение эффективности самих процессов, а не эффективности разделения данной смеси различными методами, это сопоставление должно проводиться при одинаковой величине коэффициентов разделения элементарных процессов. Следует также учитывать, что сопоставление должно производиться в одинаковой области концентрацией разделяемых компонентов, поскольку эффективность процессов может от нее зависеть по-разному. Если, исходя из этого, сравнивать колонные процессы разделения, то можно сказать, что гетерогенные, противоточного типа процессы с потоками «жидкость — пар» или «жидкость — жидкость» имеют перед другими преимущество в отношении общей эффективности. В этих процессах приходится преодолевать лишь сравнительно незначительное диффузионное сопротивление на границе раздела фаз, а в самих фазах выравнивание концентрацией может происходить за счет мощных турбулентных потоков. Большое различие в плотностях потоков для процессов «жидкость — пар» позволяет легко достигнуть их большой относительной скорости. Классическим примером таких процессов является ректификация. Для процессов с потоками «жидкость — жидкость» различие в плотностях обычно меньше, но путем определенного конструктивного усложнения (центрифугирование) и в этом случае может быть достигнута их большая относительная скорость, как, например, в специальных колоннах для жидкостной противоточной экстракции [14].

Сказанное выше относится к проблеме разделения с получением продуктов умеренной чистоты, содержащих до 10^{-2} — $10^{-4}\%$ посторонних примесей. Специальные вопросы возникают при задаче глубокой очистки основного компонента от примесей — задаче, являющейся частным случаем общей проблемы разделения.

Как известно, одним из основных препятствий при получении сверхчистых веществ является специфическая «проблема стенки», которая ограничивает достижение степеней очистки, ожидаемых на основании идеализированных теоретических расчетов. Можно провести определенную аналогию между получением материалов высокой степени чистоты и созданием высокого вакуума в системе. Роль остаточного давления в этом случае играет концентрация остающихся примесей. В этой аналогии наличие стенки подобно поверхности с загрязнениями, имеющими большую упругость пара. Поэтому для получения материалов очень высокой чистоты на последней стадии необходимы процессы, пусть и менее производительные, но с минимальным участием инородных поверхностей. Классическим примером таких процессов является зонная перекристаллизация (плавка) особенно в ее бестигельном варианте.

Можно отметить возможность проявления механизма, свойственного колонным процессам разделения, в геологических и космических масштабах. Для геологических процессов, особенно в период вторичной миграции элементов, наиболее вероятно возникновение колонных процессов противоточного и хроматографического типа. Причем незначительная в данном случае скорость массообмена восполняется большими отрезками времени. В космических явлениях более вероятны процессы противоточного и зонного типа с возможным участием в массообмене объектов не только молекулярной степени дисперсности (газовые туманы, звездные атмосферы), но и более крупной (пылевые облака) вплоть до звездно-дискретной. Конечно, в большинстве случаев доля в сегрегации, привносимая колонными эффектами, по-видимому, невелика и становится значительной лишь при особо благоприятных обстоятельствах.

Предложенная классификация, естественно, не лишена недостатков. Так, например, недостаточно четко определено понятие динамически обратимых и необратимых процессов, да и сами эти термины не совсем удач

м. Более строгим, с возможностью количественной характеристики, было бы, по-видимому, их определение через понятие химического потенциала и кинетические характеристики системы. Желательны также более строгие определения и критерии для разных типов колонных процессов. Классификация носит до известной степени формальный характер, что, правда, одновременно является и ее положительной стороной, поскольку таким образом достигается наибольшая общность. Она дает также возможность распространения теоретических положений и расчетных приемов, разработанных для каких-либо конкретных частных случаев, на остальные процессы аналогичного типа. Наконец, что самое главное, предлагаемая классификация позволяет разрабатывать на ее основе процессы разделения, не применявшиеся ранее.

Выводы

1. Основные колонные процессы охарактеризованы с точки зрения их различия в динамике потоков разделяемых компонентов.
2. На основе установленного различия предложена классификация процессов разделения.
3. Приведенная классификация позволяет разрабатывать на ее основе новые процессы, не применявшиеся ранее.
4. Предложен критерий для сопоставления эффективности различных процессов разделения.

Московский институт
цветных металлов и золота
им. М. И. Калинина

Поступила
15.IX.1958

ЛИТЕРАТУРА

- M. Benedict, Chem. Engng Progr., 1, 41, 1947.
K. Cohen, Nucleonics, 2, 3, 1948.
О. К. Давтян, Ж. физ. химии, 23, 283, 1957.
К. Э. Грю и Т. Л. Иббс, Термическая диффузия в газах, ГИТТЛ, 1956.
А. И. Бродский, Химия изотопов, Изд-во АН СССР, 1957.
R. Rometsch, Helv. chim. acta, 33, 184, 1950.
А. М. Розен, Докл. АН СССР, 108, 122, 1956.
W. Grassmann, K. Hannaig, Z. physiol. Chem., 292, 32, 1953.
G. Hertz, E. Nann, Z. Elektrochem., 58, 612, 1954.
C. A. Baker and R. J. P. Williams, J. Chem. Soc. (London), 2352, 1956.
А. Дж. П. Мартин, Хроматография, сборн. № 1, ИИЛ, 1949.
К. J. Taylor, W. Spindel, J. Chem. Phys., 16, 635, 1948.
Под ред. А. Вайсбергера, «Перегонка», ИИЛ, 1954.
Г. П. Питерских и Е. Р. Валашек, Хим. пром-сть, № 3, 158, 1957.

CLASSIFICATION OF SEPARATION PROCESSES

L. A. Nisel'son (Moscow)

Summary

An attempt has been made to classify complex separation processes on the basis of differences in the mass flow dynamics of the components being separated. It has been shown that at the basis of multistage separation processes, countercurrent, zonal and chromatographic, may be laid any elementary process of separation, provided it belongs to the type termed in the investigation as «dynamically reversible».

A relation has been established between the three fundamental types of column processes, counterflow, zonal and chromatographic and the possibility has been shown of gradual transition from one to the other. Issuing from the classification new processes, heretofore not used may be developed.

ИССЛЕДОВАНИЕ МЕХАНИЗМА УСИЛЕННОЙ КОРРОЗИИ
ЖЕЛЕЗА У ТРЕХФАЗНОЙ ГРАНИЦЫ

Л. А. Ларин и З. А. Иофа

В коррозионной литературе [1—3] отмечаются многочисленные случаи усиленной коррозии железа и других металлов в электролитах, протекающей на границе соприкосновения металлов с неметаллическими материалами — стеклом, резиной, парафином, смолами, маслом, тканями, газowymi пузырями и пр.

Этот вид линейно-избирательной коррозии у полифазной границы многими исследователями рассматривается как особый вид коррозии, вызываемый специфическими особенностями, вносимыми наличием диэлектрика на границе металла с раствором, другие авторы причисляют ее к щелевой коррозии и объясняют ее появлением пар дифференциальной аэрации с одновременным образованием пассивирующих пленок на катодных участках металла.

Теорию дифференциальной аэрации развивали Эванс и ряд других авторов. Количественными исследованиями И. Л. Розенфельда и И. К. Маршкова [4] показана роль макро- и микропар при коррозии ряда металлов в щелях и зазорах в аэрированных электролитах и в присутствии пассиваторов.

Однако имеются данные, указывающие на появление усиленной коррозии железа у полифазной границы в слабокислых растворах и в отсутствие кислорода и окислителей. На основании этих фактов Либрейх [5] приходит к выводу о несостоятельности теории дифференциальной аэрации и, основываясь на опытах Шикора [6], дает теорию, согласно которой железо в кислых средах должно корродировать быстрее в местах с большим значением pH.

Экспериментальная часть

Методика исследования. Для исследования коррозии железа у трехфазной границы использовали пластинки железа Армко. Ряд опытов проводили также с спектрально-чистым железом. Межфазная граница создавалась нанесением капли расплавленного парафина (перекристаллизованного из чистого бензола) или канифоли на слегка нагретую пластинку размером 2×2 см. Электролитом служили растворы H_2SO_4 , $\text{H}_2\text{SO}_4 + \text{Na}_2\text{SO}_4$ и $\text{H}_2\text{SO}_4 + \text{FeSO}_4$. В качестве третьей фазы использовали также стекло, плексиглас и другие материалы. Пластинку с застывшим диэлектриком погружали в электролит на длительное время (от 2 до 150 час.). Опыты проводили при доступе воздуха и в атмосфере чистого водорода при полном освобождении раствора и всей системы от кислорода. В случае опытов с перемешиванием образец с нанесенными полосками парафина или канифоли прикрепляли к вращающемуся при помощи мотора плексигласовому стержню. Через определенные сроки пластинки извлекали из раствора, промывали, высушивали, освобождали от парафина или канифоли при помощи бензола, и измеряли глубину образовавшихся коррозионных канавок при помощи металлмикрооскопа и оптического профилографа (микрооскопа Линника МИС-11) с точностью до 0,5—1,0 мк. Кроме того, образцы фотографировали под микроскопом в отраженном свете или зарисовывали при помощи рисовального аппарата. Фиксировали также положение канавок по отношению к полифазной границе. Все опыты проводили при 20°.

Результаты опытов. Во всех случаях коррозия железной пластинки при соприкосновении ее с третьей фазой (твердой, жидкой или

азообразной) в кислых растворах локализуется на границе соприкосновения фаз, несколько отступая от нее вглубь, в виде более или менее глубокой канавки.

На рис. 1 показан схематический разрез корродирующей пластинки нанесенной застывшей каплей парафина или канфоли. Коррозионный процесс начинается у края и распространяется через щель между диэлектриком и металлом, образуя сплошную канавку. На тонкой железной пластинке при длительном воздействии электролита получались сквозные разрезы под диэлектриком, вблизи его границы. Интересен тот факт, что незащищенная часть пластинки, находящаяся в растворе, может совсем не подвергаться коррозии. В растворах H_2SO_4 выше 0,1 N концентрации под действием выделяющихся пузырьков водорода парафин или другой диэлектрик с краев отстает от железной пластинки, и благодаря этому обра-

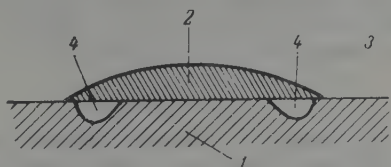


Рис. 1. Схематический разрез корродирующей железной пластинки с нанесенной застывшей каплей парафина в атмосфере водорода: 1 — металл, 2 — парафин, 3 — раствор, 4 — коррозионная канавка

зуется несколько чередующихся коррозионных канавок, которые через некоторое время сливаются в одну более широкую канавку. На рис. 2 показаны кривые зависимости глубины коррозионных канавок на железе у границы с каплей парафина от продолжительности пребывания в растворе H_2SO_4 различной концентрации без освобождения от растворенного

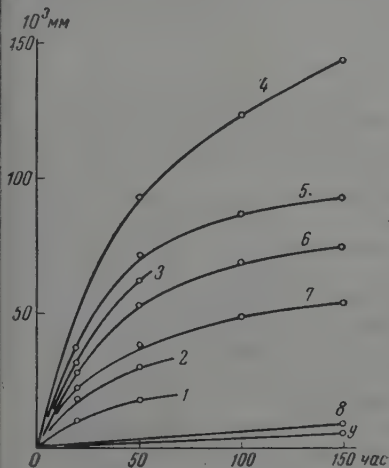


Рис. 2. Зависимость глубины коррозионных канавок от продолжительности коррозии в растворах H_2SO_4 : 1 — 1, 2 — 0,5, 3 — 0,1, 4 — 0,05, 6 — 0,01, 7 — 0,005 и 8 — 0,001

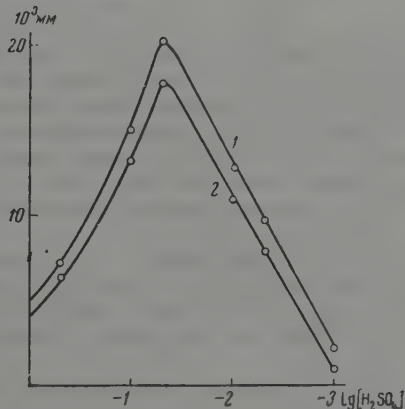


Рис. 3. Зависимость глубины коррозионных канавок от логарифма концентрации раствора H_2SO_4 за 8 час.: 1 — в воздухе, 2 — в атмосфере водорода

воздуха, из которых видно, что скорость линейно-избирательной коррозии уменьшается со временем, но глубина канавок неизменно возрастает. Наибольшая скорость их образования наблюдается в 0,05 N концентрации серной кислоты, в растворах более низкой и более высокой концентрации глубина коррозионных канавок для того же срока времени резко падает (рис. 3).

Опыты в атмосфере водорода (при полном отсутствии кислорода в системе) показали качественно аналогичное протекание межфазной коррозии,

как это видно из рис. 3. В этих условиях, как и в присутствии растворенного кислорода, скорость межфазной коррозии сильно зависит от концентрации кислоты, максимум лежит также примерно при 0,05 *N* концентрации. Скорость образования канавок в атмосфере водорода несколько меньше, чем в присутствии воздуха.

Если межфазная коррозия связана с разделением анодного и катодного процессов и вызывается действием макропары, то ее скорость должна зависеть от электропроводности раствора. Добавление соли к разбавленным растворам кислоты должно увеличивать скорость такой коррозии.

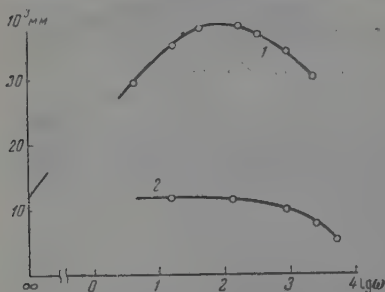


Рис. 4. Влияние скорости вращения образца с застывшей каплей канифоли на глубину коррозионных канавок: 1 — в воздухе, 2 — в атмосфере водорода

Действительно, опыты показали, что добавление Na_2SO_4 к растворам H_2SO_4 приводит к значительному возрастанию скорости образования коррозионных канавок в растворах с малой концентрацией кислоты и слабо сказывается при значительной ее концентрации. Общий характер зависимости коррозии от времени и pH остается тем же. Аналогичные результаты получены в растворах $\text{H}_2\text{SO}_4 + \text{FeSO}_4$ в атмосфере водорода. Местная коррозия железа наблюдается также у трехфазной границы с пузырьками водорода, при этом растворение металла происходит по периферии прикрепления пузырька, тогда как под пузырьком металл почти не корродирует.

Результаты этих наблюдений противоречат утверждению М. К. Тихонова [7], согласно которому анодной зоной служит центр сидящего на металле пузырька, а периферия является катодом. Показано также, что скопление пузырьков водорода у полифазной границы не указывает на катодную функцию этой границы, и в условиях наших опытов они не являются причиной избирательной коррозии.

Опыты с вращающейся железной пластинкой, на которой нанесены полосы канифоли или парафина, показали, что в разбавленных растворах кислоты (0,01 *N*) при доступе воздуха глубина канавок растет с увеличением скорости вращения до 5000 об/мин., при дальнейшем увеличении скорости вращения она начинает снижаться, как это видно из рис. 4. В этом случае на незащищенной поверхности пластинки происходит сильная коррозия железа благодаря деполяризующему действию воздуха. Между возникающей канавкой и поверхностью, омываемой раствором, образуется барьер под диэлектриком у самой его границы.

При вращении образца без доступа воздуха (при пропускании водорода) в разбавленных растворах кислоты (0,01 *N*) глубина коррозионных канавок не зависит от скорости вращения до 200 об/мин., при дальнейшем увеличении скорости вращения глубина канавок уменьшается (рис. 4). Барьер, отделяющий канавку от остальной поверхности пластинки, в данном случае не образуется, так как съем металла с поверхности очень мал.

В более концентрированных растворах кислоты (0,1 *N*) наблюдается иная картина. Как в атмосфере водорода, так и при доступе воздуха глубина коррозионных канавок уменьшается с увеличением скорости вращения и при скорости выше 100—200 об/мин. канавка совсем исчезает.

Исследовалось также влияние внешней катодной и анодной поляризации железной пластинки на глубину коррозионных канавок у межфазной границы. Оно проводилось в 0,01 *N* H_2SO_4 в специальной ячейке, в которой катодная часть была отделена от анодной стеклянным крапом. Результаты этого исследования представлены в таблице. Плотность тока рассчитана на поверхность, не покрытую парафином.

Атмосфера	Плотность тока, mA/cm^2		Время экспозиции, часы	Средняя глубина коррозийных канавок $\times 10^3$, мм
	анодная поляризация	катодная поляризация		
Водород	—	0,60	8	0
То же	0,63	—	8	35
Воздух	—	0,54	8	0
То же	—	0,47	40	0
»	0,54	—	8	45
»	4,6	—	8	96

Из таблицы видно, что внешняя катодная поляризация уменьшает или полностью подавляет эффект линейно-избирательной коррозии, тогда как анодная поляризация образца значительно увеличивает глубину образующихся за тот же срок времени канавок, причем с увеличением анодной плотности тока глубина последней возрастает.

С целью выяснения влияния природы третьей фазы на межфазную коррозию были проведены опыты в 0,05 и 0,01 $N \text{ H}_2\text{SO}_4$ в атмосфере воздуха, а также водорода, с различными материалами в качестве третьей контактирующей фазы. Были испытаны, помимо парафина и канифоли, масло, плексиглас, стекло и шлифованные куски того же металла — железа. Во всех случаях появлялись коррозионные канавки у межфазной границы и за одинаковый срок (24 часа); их глубина была примерно одного и того же порядка. Эти опыты показали, что природа материала третьей фазы не оказывает существенного влияния на протекание коррозии на границе соприкосновения фаз.

Обсуждение результатов

Твердо установленный факт, согласно которому усиленная коррозия железа у полифазной границы в кислых растворах протекает при полном отсутствии кислорода, свидетельствует о недостаточности теории дифференциальной аэрации, основанной на представлении о действии различной концентрации поступающего кислорода в щель и на остальную поверхность образца. Необходимо поэтому признать существование других факторов, помимо дифференциальной аэрации, которые приводят к местной коррозии у полифазной границы.

Представление В. А. Кистяковского [8] об активирующем действии поверхности, связанном с наличием разности потенциалов между металлом и диэлектриком, нельзя признать состоятельным, так как природа третьей фазы не оказывает существенного влияния на протекание линейно-избирательной коррозии железа.

Проведенные опыты показали, что появление нескольких чередующихся коррозионных канавок под диэлектриком не связано с какими-либо специфическими свойствами соприкасающихся фаз или стабильностью пузырьков водорода у границы фаз, как это предполагалось в работе [3]. Чередующиеся коррозионные канавки образуются, по-видимому, вследствие постепенного отслаивания диэлектрика с краев от железной пластинки и постепенного проникновения электролита в образующиеся щели. Выделяющиеся пузырьки водорода способствуют такому отслаиванию.

Эти опыты, а также совокупность других фактов свидетельствуют, что коррозия у границы фаз связана в первую очередь с наличием сначала малой, а потом увеличивающейся щели, в которую затруднена диффузия электролита. Та часть металла в щели, к которой затруднен доступ электролита, действует в качестве анода, а вблизи лежащая часть металла — в качестве катода. Поэтому, как это хорошо видно из рис. 1, коррозионная канавка развивается под третьей фазой, несколько отступая от края вглубь,

а металл непосредственно у границы фаз почти совсем не подвергается коррозии. Вся остальная неприкрытая часть пластинки также почти не корродирует, и только при усиленном доступе воздуха при перемешивании она растворяется с заметной скоростью. Поэтому в последнем случае образуется барьер, отделяющий анодную часть пластинки от остальной, находящейся в растворе. Между электролитом в канавке и электролитом в объеме, очевидно, сохраняется узкая щель, диффузия ионов через которую затруднена, что приводит к возрастанию pH раствора в щели.

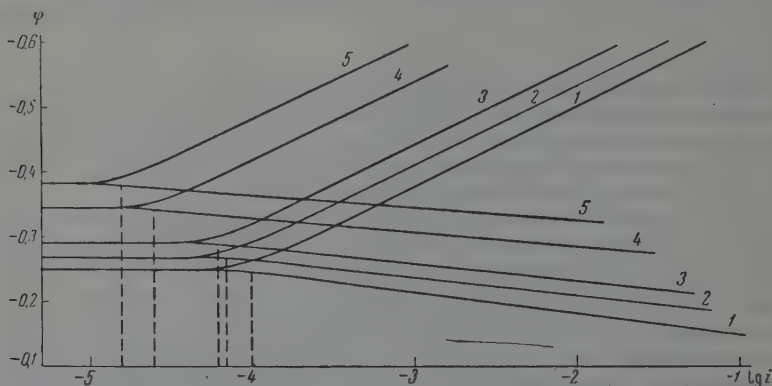


Рис. 5. Катодные и анодные поляризационные кривые железистого электрода в растворах $p \text{ H}_2\text{SO}_4 + q \text{ Na}_2\text{SO}_4$, $p + q = 0,5 \text{ N}$: 1 — $p = 0,4 \text{ N}$; 2 — $p = 0,2 \text{ N}$; 3 — $p = 0,1 \text{ N}$; 4 — $p = 0,01 \text{ N}$; 5 — $p = 0,002 \text{ N}$

Каков же механизм коррозии железа на границе фаз при полном освобождении системы от кислорода, когда теория дифференциальной аэрации неприменима?

Как нам кажется, ближе других к правильному ответу на этот вопрос подошли Шикор и Либрейх. Они объясняют такую коррозию тем, что железо легко растворяется в местах, в которых затруднено выделение водорода, т. е. в местах соприкосновения железа с менее кислым раствором. В доказательство этому предположению они приводят следующий наглядный опыт. Если налить в сосуд, разделенный диафрагмой, два раствора с различным значением pH, например HCl и KCl, и опустить в них две одинаковые железные пластинки, соединенные проводником, то скорее растворяться будет железо в растворе с большим значением pH, т. е. в растворе KCl, а водород будет выделяться в более кислом растворе — HCl.

Более полное обоснование указанному объяснению межфазной коррозии могут дать результаты проведенного нами исследования зависимости анодной и катодной поляризации железного электрода от pH раствора. Поляризационные кривые снимались при 20° в чистых растворах H_2SO_4 от 1 до 0,005 N концентрации, а также в растворах $p \text{ H}_2\text{SO}_4 + q \text{ Na}_2\text{SO}_4$ и $p \text{ H}_2\text{SO}_4 + q \text{ FeSO}_4$ при $p + q = 0,5 \text{ N}$, причем концентрация кислоты изменялась от 0,5 до 0,002 M. Растворы готовились из перекристаллизованной H_2SO_4 и перекристаллизованных солей. Перед опытом растворы подвергались адсорбционной очистке в токе водорода на платинированной платиновой сетке.

На рис. 5 показаны $\varphi - \lg i$ кривые анодной и катодной поляризации железного электрода в растворах $p \text{ H}_2\text{SO}_4 + q \text{ Na}_2\text{SO}_4$. Из этих кривых видно, что с уменьшением концентрации ионов водорода в растворе скорость выделения водорода при постоянном потенциале уменьшается, а скорость ионизации железа, напротив, заметно возрастает. Коэффициенты на-

лона анодных $\varphi - \lg i_a$ прямых с увеличением pH заметно уменьшаются для катодных прямых они лежат в пределах 0,100—0,125 V). Аналогичные закономерности наблюдаются и в случае других указанных выше серий растворов.

Большое значение для теории коррозионных процессов представляют вытекающие из кривых рис. 5, смещение значения константы a_2 в сторону более отрицательных потенциалов и уменьшение коэффициента b_2 в уравнении $\varphi = a_2 + b_2 \lg i_a$ для кривой анодной поляризации железа с увеличением pH раствора*. Эти изменения приводят к тому, что с увеличением pH при том же потенциале скорость анодной реакции ионизации железа сильно возрастает, например при $\varphi = -0,250$ в растворе $p\text{H}_2\text{SO}_4 + q\text{Na}_2\text{SO}_4$ при

p	0,4	0,2	0,1	0,01	0,002
$\lg i_a$	-3,90	-3,50	-2,70	-0,40	+0,1

Недавно Бонгеффер и Гейслер [10] нашли аналогичное уменьшение анодной поляризации железного электрода с возрастанием pH растворов $\text{HClO}_4 + \text{NaClO}_4$ и соответствующее ускорение анодной реакции при $p = \text{const}$ **.

Увеличение скорости ионизации железа с увеличением pH было обнаружено Б. Н. Кабановым и Д. И. Лейкис [12] при сравнении скорости этой реакции в кислых и щелочных растворах. Оно ими было объяснено активирующим действием ионов OH^- , адсорбированных на поверхности железа.

Протекание коррозионного процесса у границы фаз при затрудненной диффузии ионов в щели приводит к возрастанию pH в этой щели и разделению анодной и катодной реакций, причем их скорость зависит от разности pH и сопротивления образующегося локального элемента. Катодный участок находится все время в более кислом растворе, так как к нему облегчен доступ ионов путем диффузии из объема раствора, потенциал его можно считать равным потенциалу саморастворения в исходном растворе. Потенциал анодного участка, находящегося в среде с более высоким pH, мало отличается от потенциала катодного благодаря их близости. В случае изменения первоначальной ширины щели или при появлении новой, более глубокой, происходит передвижение анодной и вместе с ней катодной зоны и образование нескольких новых чередующихся канавок.

При интенсивном перемешивании раствора движение жидкости в некоторой степени проникает в щель, состав раствора в щели приближается к исходному, и глубина образующихся канавок падает.

При рассмотрении зависимости глубины образующихся канавок от концентрации кислоты приходится учитывать ряд факторов. С одной стороны, увеличение концентрации кислоты приводит к увеличению скорости саморастворения железа и к снижению сопротивления локального элемента, что должно благоприятствовать развитию линейного коррозионного эффекта. Однако в растворах более высокой концентрации кислоты, обладающих большей буферностью, растворение железа вызывает меньшее изменение pH раствора, что, согласно разобранным механизму, должно привести к снижению скорости образования канавок. Появление максимума глубины коррозионных канавок при некоторой промежуточной кон-

* Из этих данных следует, что нельзя принимать значения для коэффициента наклона анодных кривых не зависящими от pH, и, принимая эти коэффициенты постоянными, из их значений, взятых из опыта для одной какой-либо концентрации кислоты, делать выводы о механизме реакции разряда ионов водорода на железном электроде, как это делается в работе [9].

** Указанные выше авторы, однако, не обнаружили уменьшения коэффициента наклона b_2 кривых $\varphi - \lg i_a$ с увеличением pH. Противоречит также нашим данным и результатам опытов ряда авторов [11] найденная ими независимость тока саморастворения железа и с изменением pH раствора.

центрации является результатом наложения этих направленных в противоположные стороны влияний.

Существенным подтверждением справедливости изложенного механизма межфазной коррозии железа служат опыты по исследованию влияния на скорость такой коррозии катодной и анодной поляризации корродирующего образца, результаты которых даны в таблице.

Пользуемся случаем выразить нашу благодарность акад. А. Н. Фрумкину за внимание и советы при выполнении настоящей работы.

Выводы

1. Исследовалась линейно-избирательная коррозия железа в кислых растворах у межфазной границы соприкосновения его с другими различными материалами. Показано, что усиленная коррозия у трехфазной границы может протекать как в присутствии кислорода, так и при полном его удалении из раствора. Поэтому для случаев, когда кислород удален, теория дифференциальной аэрации неприменима.

2. Глубина и скорость образования коррозионных канавок у границы фаз в деаэрированных системах зависят от pH раствора и не зависят от природы третьей фазы. Анодная поляризация сильно увеличивает скорость такой коррозии, а катодная поляризация может полностью ее подавлять. Перемешивание раствора уменьшает скорость образования коррозионных канавок у границы фаз. В независимых опытах показано, что с увеличением pH раствора возрастает скорость анодного процесса ионизации железа при том же потенциале.

3. В результате проведенного исследования составлено представление о механизме протекания межфазной коррозии в деаэрированных системах, согласно которому последняя возникает вследствие затруднения диффузии ионов водорода в щель и увеличения pH раствора у межфазной границы, которое при том же потенциале увеличивает скорость ионизации железа.

Московский государственный университет
им. М. В. Ломоносова

Поступила
15.IX.1958

ЛИТЕРАТУРА

1. Ю. Э ван с, Коррозия, пассивность и защита металлов. Металлургиздат, 1941, стр. 632—638; U. Evans, C. Vogtman, Z. phys. Chem. A160, 194, 1932.
2. С. А. Балезин и В. Б. Ратин ов, Докл. АН СССР, 85, 367, 1952; Уч. зап. МГПИ им. В. И. Ленина, вып. 6, 43, 1957.
3. Л. Г. Гиндин, Д. И. Мирлис, Ф. М. Шемякин, Ж. физ. химии, 9, 84, 1937; Л. Г. Гиндин, Ф. М. Шемякин, Докл. АН СССР, 16, 417, 1937.
4. И. Л. Розенфельд, И. К. Маршаков, Ж. физ. химии, 30, 2724, 1956; 31, 72, 1957.
5. E. Liebreich Z. phys. Chem., A155, 123, 1931; A161, 97, 1933.
6. J. Schicko, Z. phys. Chem., A160, 205, 1932.
7. М. К. Тихонов, Ж. физ. химии, 12, 518, 1939.
8. В. А. Кистяковский, Докл. АН СССР, 231, 1931.
9. Л. И. Антропов, Ж. физ. химии, 27, 1611, 1953; 28, 1349, 1954.
10. K. Vonhöffer, K. Heusler, Z. phys. Chem. (N. f), 8, 390, 1956; Z. Elektrochem., 61, 122, 1957.
11. А. И. Шултин, Ж. физ. химии, 13, 69, 1944; Б. А. Пурин, Автореферат диссертации, Рига, 1955.
12. Б. Н. Кабанов и Д. И. Лейкис, Докл. АН СССР, 58, 1685, 1947.

INVESTIGATION OF THE MECHANISM OF ENHANCED CORROSION AT
THE THREE PHASE BOUNDARY*L. A. Larin and Z. A. Iofa (Moscow)*

S u m m a r y

An investigation was made of the linearly selective corrosion of iron at its interface with various materials. Corrosion of this type has been shown to take place also on complete removal of oxygen from the solution. The differential aeration theory ordinarily employed to explain this process can therefore not be considered as sufficient.

A mechanism for such corrosion has been developed on the basis of the assumption that interfacial corrosion proceeds independently of the nature of the material comprising the third phase, that the corrosion rate and the depth of the corrosion crevices formed at the interface depends upon the pH of the solution and on the basis of the effects of anodic and cathodic polarization and observations on the rate of anodic solution of iron at different pH values. According to this mechanism interfacial corrosion (in the absence of oxygen) occurs as the result of hindrance to hydrogen ion diffusion into the crevice at the interface, the increase in pH of the solution at that site and increase, as a result, of the rate of anodic ionization of iron.

К ТЕОРИИ РАСТВОРОВ

Х. О ВЛИЯНИИ ФЛУКТУАЦИЙ НА ДИЭЛЕКТРИЧЕСКУЮ ПРОНИЦАЕМОСТЬ
ОДНОРОДНЫХ ИЗОТРОПНЫХ СИСТЕМ*М. И. Шахпаронов*

Теория диэлектрических свойств полярных жидкостей и газов начала свое развитие в работах Дебая [1]. Полученные Дебаем формулы количественно согласуются с опытом при рассмотрении диэлектрических свойств разреженных газов. В случае полярных жидкостей такое согласие между теорией [1] и опытом не наблюдается. Некоторые выводы теории [1] противоречат фактам. Например, по теории [1] полярные жидкости должны иметь точку Кюри и обладать свойствами сегнетоэлектриков, что не соответствует действительности.

Как известно, локальное электрическое поле, действующее на молекулу внутри диэлектрика, отличается от среднего поля вследствие поляризации молекул диэлектрика и взаимодействия молекул с их окружением. Исходя из теории «внутреннего поля», предложенной ранее Клаузиусом и Мосотти, Дебай принял, что «внутреннее поле» имеет следующий вид:

$$E = E_{\text{ср}} + \frac{4\pi}{3} p, \quad (1)$$

где E — внутреннее поле, $E_{\text{ср}}$ — среднее поле в диэлектрике, p — электрический момент, индуцированный в единице объема диэлектрика.

Формула (1) является хорошим приближением к действительности в случае разреженных газов, когда можно пренебречь действием полярных молекул на окружение. Но, как было показано Онзагером [2], в случае полярных жидкостей уравнение (1) неприменимо. Необходимо учесть действия реактивного поля молекул.

Попытки Дебая [3] улучшить теорию [1] на основе представления о «заторможенном вращении» молекул не были вполне убедительными, так как не было принято во внимание действие реактивного поля, и внутреннее поле по-прежнему выражалось уравнением (1).

Таким образом, последовательная теория диэлектрических свойств полярных жидкостей была впервые развита в работе Онзагера [2]. Теория Онзагера базируется на следующей молекулярной модели. Полный шар диаметром которого равен среднему диаметру полярной молекулы, имеет в центре диполь μ_0 и окружен непрерывной средой с диэлектрической проницаемостью ϵ , равной средней макроскопической диэлектрической проницаемости жидкости. Следовательно, в модели Онзагера не учитывается возможность флуктуаций диэлектрической проницаемости, вызываемых тепловым движением молекул, а также наличия ближней упорядоченности в распределении молекул жидкости.

Принимая, что объем, занимаемый молекулами, при растворении не изменяется и пустоты в жидкости отсутствуют, Онзагер вывел следующую формулу, связывающую диэлектрическую проницаемость раствора с

дипольные моменты молекул μ_{0i} :

$$\sum_i \varphi_i \frac{\varepsilon - n_i^2}{2\varepsilon + n_i^2} = \frac{4\pi}{3} \sum_i \frac{\mu_{0i}^2}{3kT} \frac{\varepsilon (n_i^2 + 2)^2}{(2\varepsilon + n_i^2)^2}. \quad (2)$$

Здесь φ_i — объемная доля компонента i в растворе, n_i — «индивидуальные показатели преломления», определяемые из соотношения:

$$\alpha_i = \frac{a_i^3 (n_i^2 - 1)}{n_i^2 + 2}, \quad (3)$$

α_i — средняя электронная поляризуемость одной молекулы; N_i — число молекул компонента i в 1 см^3 раствора, a_i — радиус молекулы i .

Как известно, теория Онзагера хорошо согласуется с опытом для нитрозола, анилина, этилацетата, ацетона и некоторых других полярных жидкостей и значительно хуже для воды, спиртов и ряда других. Для растворов этих последних жидкостей согласие теории Онзагера с опытом можно существенно улучшить, если заменить значения μ_{0i} , взятые из опыта, значениями, вычисленными из теории Онзагера для чистых жидкостей. Тогда вместо (2) имеем

$$\sum_i \varphi_i \frac{\varepsilon - n_i^2}{2\varepsilon + n_i^2} = \sum_i \frac{\varepsilon (n_i^2 + 2)^2}{(2\varepsilon + n_i^2)^2} \frac{(2\varepsilon_{0i} + n_{0i}^2) (\varepsilon_{0i} - n_{0i}^2)}{\varepsilon_{0i} (n_{0i}^2 + 2)^2} \frac{N_i}{N_{0i}}, \quad (4)$$

n_{0i} — показатель преломления чистого жидкого компонента i , экстраполированный от оптического диапазона частот к $\lambda \rightarrow \infty$; ε_{0i} — диэлектрическая проницаемость этого компонента в статических полях; N_{0i} — число молекул в 1 см^3 чистого жидкого компонента i .

Уравнение (4) дает возможность рассчитывать статическую диэлектрическую проницаемость ε раствора, если известны состав и плотность раствора, показатель преломления, диэлектрическая проницаемость и плотность индивидуальных жидких компонентов.

Кирквуд [4] и Фрелих [5] предприняли попытку усовершенствования фактовки Онзагера на основе более детальной молекулярной модели, в известной мере учитывающей упорядоченность в распределении ближайших молекул в жидкости. Формулы, полученные Кирквудом и Фрелихом, содержат множитель $g = 1 + z \cos \gamma$, который, как правило, фактически играет роль эмпирической постоянной, что значительно ограничивает возможности указанных теорий.

Наряду с этим был предложен ряд уточнений теории Онзагера, сводящихся к более полному рассмотрению поляризации молекул диполями, к анизотропии поляризуемости полярных молекул и отклонения формулы молекул от сферической [6]. Если все эти уточнения ввести в уравнение (4), то в случае, когда раствор является двухкомпонентным, причем один из компонентов неполярен, получим

$$\frac{\varepsilon - 1}{4\pi} = N_1 \frac{3\varepsilon}{2\varepsilon + 1} \cdot \frac{\alpha_1}{1 - f_1 \alpha_1} + N_2 \frac{3\varepsilon}{2\varepsilon + 1} \cdot \frac{\alpha_2}{1 - f_2 \alpha_2} + \\ + \frac{N_2}{N_{02} \varepsilon + (1 - \varepsilon) A} \left(\frac{1 - f_2 \alpha_2}{1 - f_m \alpha_m} \right)^2 \left[\frac{(2\varepsilon_{02} + n_{02}^2) (\varepsilon_{02} - n_{02}^2)}{12\pi \varepsilon_{02}} - \frac{N_{02} \alpha_2}{1 - f_2 \alpha_2} \right]. \quad (5)$$

Эта формула выведена в предположении, что молекулы полярного компонента 2 имеют эллипсоидальную форму. α_m — поляризуемость полярных молекул в направлении дипольного момента, f_1 , f_2 , f_m и A определя-

ются формулами:

$$f_i = \frac{1}{a_i^3} \frac{2\varepsilon - 2}{2\varepsilon + 1} \quad (i = 1, 2);$$

$$f_m = \frac{3}{abc} \frac{A(1-A)(\varepsilon - 1)}{\varepsilon + (1 - \varepsilon)A};$$

$$A = \frac{abc}{2} \int_0^\infty \frac{ds}{(s+a)^{1/2}(s+b)^{1/2}(s+c)^{1/2}},$$

где $2a$, $2b$, $2c$ — оси эллипсоида, изображающего полярную молекулу, причем ось $2a$ совпадает с осью диполя [6].

Расчеты по формуле (5) приводят к значениям ε , мало отличающимся от значений ε , вытекающих из уравнения (4). Из расчетов следует, что зависимость диэлектрической проницаемости раствора от его концентрации, выраженной в объемных долях φ_i , должна быть близка к линейной. В опыте в большинстве случаев указывает на более или менее значительные отклонения от линейной зависимости ε от φ_i . В растворах C_6H_6 — CH_3OH , C_6H_{10} — CH_3OH , C_6H_6 — $C_6H_5NO_2$, C_6H_{14} — $C_6H_5NO_2$ и многих других при $\varphi = 0,5$ экспериментальные значения ε оказываются на 20—30% меньшими, чем значения ε , вычисленные по формуле (4) или (5). В растворах $CHCl_3$ — $(CH_3)_2CO$, H_2O — H_2O_2 и ряде других, наоборот, значения найденные из опыта, несколько выше, чем следует из теории Онзагера.

Наиболее существенными причинами отклонения экспериментальных значений ε от значений, вытекающих из уравнений (4) и (5), могут быть следующие.

а) Изменения состояния молекул в растворе вследствие неучитываемой теорией, но имеющегося в ряде случаев специфического взаимодействия между молекулами различных компонентов (например, водородная связь).

б) Флуктуации диэлектрической проницаемости, обусловленные флуктуациями концентрации, ориентации, плотности и т. п.

в) Изменения ближнего в том числе ориентационного порядка в распределении молекул с изменением состава раствора.

Эти причины могут действовать как совместно, так и поодиночке. Отметим, что действие специфических межмолекулярных сил, приводящих к образованию более или менее устойчивых молекулярных соединений, препятствует появлению флуктуаций концентрации в растворах. Наиболее благоприятные условия для возникновения флуктуаций концентрации обычно имеют место тогда, когда силы притяжения между молекулами различных компонентов относительно слабы. В этих случаях влияние флуктуаций концентрации может превосходить влияние всех остальных факторов.

Ввиду сложности задачи построения теории растворов, одновременно учитывающей действие всех перечисленных выше факторов, по-видимому, целесообразно попытаться выяснить сначала влияние каждого из этих факторов в отдельности. В дальнейшем мы ограничимся рассмотрением влияния флуктуаций диэлектрической проницаемости на среднюю макроскопическую величину ε раствора.

Рассмотрим объем V раствора, состоящего из N_1 , N_2 , ..., N_M молекул компонентов 1, 2, ..., M . Макроскопическая диэлектрическая проницаемость раствора равна ε . Воспользуемся представлением о локальной диэлектрической проницаемости $\varepsilon_{\text{л}} = \varepsilon_{\text{л}}(x, y, z)$. Под локальной диэлектрической проницаемостью в малом элементе объема $dx dy dz$ понимается диэлектрическая проницаемость, которую имел бы раствор при условии, что по всему объему V состояние раствора было таким же, как и в элементе объема $dx dy dz$.

Вследствие флуктуаций локальная диэлектрическая проницаемость колеблется вокруг некоторого среднего значения ϵ' . Среднее значение локальной диэлектрической проницаемости ϵ' — это диэлектрическая проницаемость раствора, в котором флуктуации отсутствуют, т. е. свойства раствора в данном элементе объема и во всем остальном объеме совпадают с их средними локальными значениями. Именно эти предположения и используются при расчете диэлектрических проницаемостей чистых жидкостей и растворов в теории Онзагера. Следовательно, теория Онзагера [2] открывает возможность расчета средней локальной диэлектрической проницаемости чистых жидкостей и их растворов и, как мы видели, указывает, что зависимость ϵ' от φ_i при $\epsilon' \gg n^2$ близка к линейной. В дальнейшем будем принимать

$$\epsilon' = \sum_i \epsilon'_i \varphi_i, \quad (9)$$

где ϵ'_i — средняя локальная диэлектрическая проницаемость индивидуального жидкого компонента i . Как мы увидим, ϵ'_i может заметно отличаться от ϵ_i — средней макроскопической диэлектрической проницаемости индивидуального жидкого компонента i только при температурах, близких к критической точке жидкость — пар. При температурах, далеких от критической области жидкость — пар,

$$\epsilon'_i = \epsilon_i. \quad (10)$$

Экспериментально определяется не средняя локальная диэлектрическая проницаемость ϵ' , а макроскопическая диэлектрическая проницаемость ϵ . Попытаемся учесть влияние флуктуаций $\epsilon_L(x, y, z)$ на ϵ' .

Разделим мысленно объем V раствора на большое число N одинаковых элементов объема dV кубической формы. Элементы объема dV малы по сравнению с объемом всей жидкости, но в каждом из них содержится достаточно большое число молекул, так что значительные отклонения от средней плотности и концентрации вследствие флуктуации сравнительно маловероятны. Размеры элементов объема dV как раз таковы, что для них представление о локальной диэлектрической проницаемости приобретает физический смысл, т. е. $\epsilon_L(x, y, z)$ можно рассматривать как некоторую термодинамическую функцию состояния раствора в элементе объема dV . Для элементов объема раствора, меньших чем dV , представление о локальной диэлектрической проницаемости становится уже неприменимым. Области раствора, занимаемые в любой данный момент флуктуациями локальной диэлектрической проницаемости, при таком выборе величины dV можно представить себе состоящими из одной или нескольких областей, каждая из которых равна dV .

Будем, как обычно, считать распределение вероятностей флуктуаций нормальным. В любом произвольно выбранном элементе объема dV_k , где $k = 1, 2, \dots, N$, вероятность найти определенное положительное отклонение локальной диэлектрической проницаемости ϵ_k от ϵ' равна вероятности найти такое же по абсолютной величине отрицательное отклонение.

Таким образом, мы можем формально рассматривать раствор как статистическую гетерогенную систему, элементы «фаз» которой имеют локальную диэлектрическую проницаемость ϵ_k .

Согласно (9) и (10) ϵ_k может приобретать значения, лежащие в интервале от $\epsilon_{i \min}^{\min}$ до $\epsilon_{j \max}^{\max}$, где $\epsilon_{i \min}^{\min}$ — минимальное значение диэлектрической проницаемости индивидуальных компонентов, входящих в состав раствора, $\epsilon_{j \max}^{\max}$ — соответственно максимальное значение. Вероятность найти в произвольно выбранном элементе объема dV значение локальной диэлектрической проницаемости, равное ϵ_k , будет определяться как отношение суммарного объема всех dV_k , в которых $\epsilon_L(x, y, z) = \epsilon_k$, ко всему

объему раствора:

$$dW_k = \frac{n_k dV_k}{V}, \quad (14)$$

где dW_k — вероятность значения ε_k ; n_k — число элементов объема dV_k в которых локальная диэлектрическая проницаемость равна ε_k . Из (10) следует, что dW_k можно определять как объемную долю «фазы» k в растворе.

Так как распределение отклонений ε_k от ε' в элементах объема dV_k принято нами гауссовским, то dW_k определяется также соотношением:

$$dW_k = [2\pi (\overline{\varepsilon_k - \varepsilon'})^2]^{-1/2} \exp \left\{ -\frac{(\varepsilon_k - \varepsilon')^2}{2 (\overline{\varepsilon_k - \varepsilon'})^2} \right\} d\varepsilon_k. \quad (15)$$

Допустим, что раствор помещен в однородное внешнее поле E_0 . Плотность свободных зарядов внутри раствора равна нулю. Поэтому потенциал поля в области, занимаемой диэлектриком, подчиняется уравнению Лапласа:

$$\Delta \Phi = 0. \quad (16)$$

Точно так же для любого из элементов «фаз» dV_k имеем

$$\Delta \Phi_k = 0. \quad (17)$$

Из уравнения Лапласа следует, что вдоль поверхности раздела k -той и l -той элементов «фаз» выполняются граничные условия [7]:

$$\frac{\partial \Phi^{(k)}}{\partial S} = \frac{\partial \Phi^{(l)}}{\partial S}; \quad \varepsilon_k \frac{\partial \Phi^{(k)}}{\partial q_k} + \varepsilon_l \frac{\partial \Phi^{(l)}}{\partial q_l} = 0, \quad (18)$$

причем $\partial/\partial S$ обозначает дифференцирование по любому направлению, лежащему в касательной плоскости к поверхности раздела элементов «фаз», а $\partial/\partial q_k$ и $\partial/\partial q_l$ — производные по нормальям, направленным соответственно в k -й и l -й элементы «фаз».

Будем рассматривать теперь систему, состоящую из элемента объема dV_k с диэлектрической проницаемостью, равной, ε_k , и всего остального объема раствора со средней макроскопической диэлектрической проницаемостью, равной ε . Согласно (15), распределение потенциала не изменится при изменении ε_k и ε_l или ε в одно и то же число раз. Поэтому пользуясь (15), находим

$$\frac{\varepsilon_k}{\varepsilon_l} = \frac{\varepsilon_k}{\varepsilon} \text{const}_{kl} \quad (l = 1, 2, \dots, k-1, k+1, \dots, N). \quad (19)$$

Уравнение (16) выражает известную теорему пропорциональности, согласно которой увеличение в одно и то же число раз диэлектрической проницаемости $\varepsilon_k, \varepsilon_l, \dots$ всех фаз системы приводит к возрастанию в то же число раз средней диэлектрической проницаемости ε гетерогенной системы.

Следуя [8], заменим раствор вспомогательной системой с тем же распределением элементов «фаз» dV_k , но с локальными диэлектрическими проницаемостями элементов «фаз», уменьшенными в ε раз. Тогда локальные диэлектрические проницаемости элементов dV_k раствора будут равны *

$$\eta_k = \frac{\varepsilon_k}{\varepsilon} \quad (k = 1, 2, \dots, N). \quad (20)$$

По теореме пропорциональности макроскопическая диэлектрическая проницаемость раствора также уменьшится в ε раз и будет равна

* η_k может быть меньше единицы.

инице:

$$\xi = 1. \quad (18)$$

Этот прием позволяет привести задачу о поляризации элемента объема раствора с локальной диэлектрической проницаемостью ε_k , находящегося в растворе, к задаче о поляризации такого же элемента объема в вакууме. В реальном растворе среднее макроскопическое поле $E_{\text{ср}}$ будет отличаться от E_0 . Но в рассматриваемой нами вспомогательной системе $E_{\text{ср}} = E_0$. Заменим для удобства расчета кубические элементы объема эквивалентными (в отношении поляризации) сферами. Тогда, решая уравнение Лапласа (14), получим:

$$E_k = 3E_0/\eta_k + 2. \quad (19)$$

Электрический момент элемента объема dV_k равен

$$p_k dV_k = \frac{\eta_k - 1}{4\pi} E_k dV_k = \frac{\eta_k - 1}{4\pi} \frac{3E_0}{\eta_k + 2} dV_k, \quad (20)$$

где p_k — поляризация единицы объема диэлектрика, диэлектрическая проницаемость которого равна η_k .

Поляризация p единицы объема вспомогательной системы:

$$p = \frac{1}{V} \sum_k n_k p_k dV_k = \frac{D - E_0}{4\pi} = \frac{\xi - 1}{4\pi} E_0 = 0. \quad (21)$$

Из (11) и (21) следует:

$$\sum_k p_k dW_k = \sum_k \frac{\eta_k - 1}{\eta_k + 2} dW_k = 0. \quad (22)$$

Умножая числитель и знаменатель в (22) на ε и переходя, следовательно, от вспомогательной системы к реальному раствору, находим

$$\sum_k \frac{\varepsilon_k - \varepsilon}{\varepsilon_k + 2\varepsilon} dW_k = 0. \quad (23)$$

Так как $\sum_k dW_k = 1$, то из (23) следует

$$\sum_k \frac{dW_k}{\varepsilon_k + 2\varepsilon} = \frac{1}{3\varepsilon}. \quad (24)$$

Распределение значений ε_k в растворе является непрерывным во всем интервале от $\varepsilon_i^{\text{мин}}$ до $\varepsilon_j^{\text{макс}}$. Поэтому суммирование следует заменить интегрированием. Пользуясь (12), получаем

$$\sqrt{\frac{A}{\pi}} \int_{\varepsilon_i^{\text{мин}}}^{\varepsilon_j^{\text{макс}}} \frac{e^{-A(\varepsilon_k - \varepsilon')^2} d\varepsilon_k}{\varepsilon_k + 2\varepsilon} = \frac{1}{3\varepsilon}. \quad (25)$$

Здесь для сокращения введено обозначение:

$$A = 1/2(\varepsilon_k - \varepsilon')^2 = 1/2(\Delta\varepsilon')^2. \quad (26)$$

Продифференцируем уравнение (25) по параметру q , характеризующему состояние раствора в объеме V . В качестве q может быть температура T ,

давление p , числа молекул N_1, N_2, \dots, N_M и т. д. Заметим, что ε_k не характеризует состояние раствора в целом. Поэтому $d\varepsilon_k/dq = 0$. Получим

$$\begin{aligned} \frac{1}{3\varepsilon^2} \frac{d\varepsilon}{dq} &= \frac{dA}{dq} \sqrt{\frac{A}{\pi}} \int_{\varepsilon_i^{\min}}^{\varepsilon_j^{\max}} \frac{(\varepsilon_k - \varepsilon')^2 e^{-A(\varepsilon_k - \varepsilon')^2}}{\varepsilon_k + 2\varepsilon} d\varepsilon_k + \\ &+ 2 \frac{d\varepsilon}{dq} \sqrt{\frac{A}{\pi}} \int_{\varepsilon_i^{\min}}^{\varepsilon_j^{\max}} \frac{e^{-A(\varepsilon_k - \varepsilon')^2} d\varepsilon_k}{(\varepsilon_k + 2\varepsilon)^2} - 2 \frac{d\varepsilon'}{dq} A \sqrt{\frac{A}{\pi}} \int_{\varepsilon_i^{\min}}^{\varepsilon_j^{\max}} \frac{(\varepsilon_k - \varepsilon') e^{-A(\varepsilon_k - \varepsilon')^2}}{\varepsilon_k + 2\varepsilon} d\varepsilon_k - \\ &- \frac{1}{2} \frac{dA}{dq} \frac{1}{\sqrt{\pi A}} \int_{\varepsilon_i^{\min}}^{\varepsilon_j^{\max}} \frac{e^{-A(\varepsilon_k - \varepsilon')^2} d\varepsilon_k}{\varepsilon_k + 2\varepsilon}. \end{aligned} \quad (27)$$

После преобразований (27) и интегрирования по ε_k с учетом уравнения (25) получим

$$\begin{aligned} \frac{1}{\varepsilon^2} \frac{d\varepsilon}{dq} &= \frac{dA}{dq} \left[\varepsilon' + \frac{(\varepsilon')^2}{\varepsilon} - 2\varepsilon - \frac{1}{2\varepsilon A} + \sqrt{\frac{A}{\pi}} I_1 \right] + \\ &+ \frac{d\varepsilon}{dq} \left[4A \left(\frac{\varepsilon'}{\varepsilon} - 1 \right) + \sqrt{\frac{A}{\pi}} I_2 \right] + 2A \left(\frac{\varepsilon'}{\varepsilon} - 1 \right) \frac{d\varepsilon'}{dq}, \end{aligned} \quad (28)$$

где

$$\frac{1}{3} I_1 = \int_{\varepsilon_i^{\min}}^{\varepsilon_j^{\max}} e^{-A(\varepsilon_k - \varepsilon')^2} (\varepsilon_k - \varepsilon') d\varepsilon_k, \quad (29)$$

$$\frac{1}{2} I_2 = \frac{e^{-A(\varepsilon_j^{\max} - \varepsilon')^2}}{\varepsilon_j^{\max} + 2\varepsilon} - \frac{e^{-A(\varepsilon_i^{\min} - \varepsilon')^2}}{\varepsilon_i^{\min} + 2\varepsilon}. \quad (30)$$

Множитель I_2 в (28) получается при интегрировании по частям второго члена в правой части уравнения (27).

Как уже отмечалось, большие отклонения ε_k от ε' сравнительно маловероятны. Экспоненциальные множители в (30) малы. Поэтому можно принять

$$I_2 \approx 0. \quad (31)$$

На основании тех же соображений интеграл (29) можно привести к следующему виду:

$$I_1 \approx 3 \int_{-\infty}^{+\infty} e^{-Ax^2} x dx = \frac{3}{\sqrt{\pi A}} = 3 \sqrt{\frac{2(\Delta\varepsilon')^2}{\pi}}. \quad (32)$$

Пользуясь (31) и (32) и преобразуя (30), получаем

$$\frac{\varepsilon'}{\varepsilon} = 1 + \frac{(\Delta\varepsilon')^2}{\varepsilon^2 \left(2 + \frac{d\varepsilon'/dq}{d\varepsilon/dq} \right)} + \frac{d(\Delta\varepsilon')^2/dq}{2(d\varepsilon/dq) + (d\varepsilon'/dq)} \left(\frac{3}{\sqrt{2\pi(\Delta\varepsilon')^2}} - \frac{1}{2\varepsilon} \right). \quad (33)$$

Уравнение (33) устанавливает связь между средними флуктуациями диэлектрической проницаемости раствора в элементе объема dV и значениями ε' , ε , $d\varepsilon'/dq$ и $d\varepsilon/dq$. Число уравнений вида (33) равно, очевидно, числу параметров q , характеризующих состояние раствора.

Обычно второй член в правой части уравнения (33) значительно больше, чем третий. Пренебрегая этим последним, получим

$$\frac{\varepsilon'}{\varepsilon} = 1 + \overline{(\Delta\varepsilon')^2} / \varepsilon^2 \left(2 + \frac{d\varepsilon'/dq}{d\varepsilon/dq} \right). \quad (34)$$

или $d\varepsilon'/dq \approx d\varepsilon/dq$, то из (34) следует

$$\varepsilon'/\varepsilon = 1 + \overline{(\Delta\varepsilon')^2} / 3\varepsilon^2 \quad (35)$$

$$\varepsilon/\varepsilon' = 1 - (\overline{(\Delta\varepsilon')^2} / 3\varepsilon\varepsilon') \approx 1 - (\overline{(\Delta\varepsilon')^2} / 3(\varepsilon')^2), \quad (36)$$

то совпадает с уравнением (2) в [9]. Уравнения (33) и (34) показывают, что флуктуации локальной диэлектрической проницаемости приводят к уменьшению средней макроскопической диэлектрической проницаемости раствора. Если ввести в рассмотрение два независимых параметра состояния q_i и q_j , то можно написать два уравнения вида (30). Исключая скобку

$$\left[\varepsilon' + \frac{(\varepsilon')^2}{\varepsilon} - 2\varepsilon - \frac{1}{2\varepsilon A} + I_1 \sqrt{\frac{A}{\pi}} \right],$$

получим

$$\varepsilon'/\varepsilon = 1 + \overline{[(\Delta\varepsilon')^2/\varepsilon^2]} \{1/(2 + D'_{ij}/D_{ij})\}, \quad (37)$$

$$D'_{ij} = \left| \frac{d\varepsilon'/dq_i}{d(\overline{(\Delta\varepsilon')^2}/dq_i)} \frac{d\varepsilon'/dq_j}{d(\overline{(\Delta\varepsilon')^2}/dq_j)} \right|; \quad (38)$$

$$D_{ij} = \left| \frac{d\varepsilon/dq_i}{d(\overline{(\Delta\varepsilon')^2}/dq_i)} \frac{d\varepsilon/dq_j}{d(\overline{(\Delta\varepsilon')^2}/dq_j)} \right|. \quad (39)$$

Допустим, что число параметров, определяющих состояния раствора, равно r . Тогда число уравнений вида (37), которые могут быть написаны для одного и того же раствора, равно числу сочетаний из r по два.

В частном случае, когда $d\varepsilon/dq_i = d\varepsilon'/dq_i$ и $d\varepsilon'/dq_j = d\varepsilon/dq_j$, определители D'_{ij} и D_{ij} совпадают и (37) переходит в (35).

Уравнение (37) справедливо, если $D_{ij} \neq 0$.

Исключая ε' , ε и $(\Delta\varepsilon')^2$ из каких-либо двух уравнений вида (37), получим

$$D'_{ij}/D_{ij} = D'_{kl}/D_{kl}. \quad (40)$$

Число уравнений вида (40) равно числу сочетаний из r по три. Все приведенные выше рассуждения и выводы остаются справедливыми и в том частном случае, когда жидкость состоит только из одного компонента. Формулы (33) — (40) применимы также к твердым изотропным диэлектрикам, сегнетоэлектрикам, в последнем случае в области слабых полей.

Средняя локальная диэлектрическая проницаемость ε' является функцией температуры, плотности, состава и других параметров состояния, системы. Флуктуации ε' могут возникать вследствие образования в растворе флуктуаций концентрации, ориентации, плотности и температуры:

$$\Delta\varepsilon' = \sum_{j=2}^M \frac{\partial \varepsilon'}{\partial c_j} [\Delta c_j + \frac{\partial \varepsilon'}{\partial T} \Delta T + \frac{\partial \varepsilon'}{\partial \rho} \Delta \rho + (\Delta\varepsilon')_{\text{ор}}, \quad (41)$$

где $c_j = N_j/N_1$. Первый член в правой части уравнения (41) учитывает влияние флуктуаций концентрации, второй — влияние флуктуаций температуры, третий — влияние флуктуаций плотности, четвертый — влияние флуктуаций в распределении ориентаций молекул.

Член $(d\varepsilon'/dT) \Delta T$ мал и может быть отброшен. Флуктуации плотности концентрации и ориентации с известным приближением можно считать статистически независимыми. Следовательно, $\overline{\Delta c_j \Delta \rho} = 0$, $\overline{\Delta c_j (\Delta \varepsilon')_{\text{ор}}} = 0$, $\overline{\Delta \rho (\Delta \varepsilon')_{\text{ор}}} = 0$. На этом основании получаем следующее выражение для статистического среднего квадрата флуктуаций ε :

$$\overline{(\Delta \varepsilon')^2} = \sum_{j, k=2}^M \frac{\partial \varepsilon'}{\partial c_j} \frac{\partial \varepsilon'}{\partial c_k} \overline{\Delta c_j \Delta c_k} + \left(\frac{\partial \varepsilon'}{\partial \rho} \right)^2 \overline{(\Delta \rho)^2} + [\overline{(\Delta \varepsilon')_{\text{ор}}}]^2. \quad (42)$$

Для расчета производных $d\varepsilon'/dc_j$ и $d\varepsilon'/d\rho$ целесообразно пользоваться уравнением (9). Из сказанного следует, что уравнение (42) должно было точно соответствовать действительности, чем уравнение, в котором вместо $\overline{(\Delta \varepsilon')^2}$ фигурирует $\overline{(\Delta \varepsilon)^2}$, и вместо производных $d\varepsilon'/dc_j$ и $d\varepsilon'/d\rho$ имеются производные $d\varepsilon/dc_j$ и $d\varepsilon/d\rho$.

Если подставить значения $\overline{\Delta c_j \Delta c_k}$, $\overline{(\Delta \rho)^2}$ и $[\overline{(\Delta \varepsilon')_{\text{ор}}}]^2$ в приближении рассмотренном Кирквудом и Гольдбергом [10] и Штокмайером [11] получим для среднего квадрата флуктуаций ε_{∞}' в элементе объема dV следующее выражение:

$$\overline{(\Delta \varepsilon_{\infty}')^2} = \chi/dV, \quad (43)$$

где χ есть функция T , c_j , ρ и Δ — степени деполяризации рэлеевского рассеяния в оптическом диапазоне частот:

$$\frac{6-7\Delta}{6+6\Delta} \chi = kT\beta \left(\rho \frac{\partial \varepsilon_{\infty}'}{\partial \rho} \right)^2 + \frac{1}{\rho_1} \sum_{j, k=2}^M c_j c_k \frac{|\nu_{jk}|}{|\nu_{jk}|} \left(\frac{\partial \varepsilon_{\infty}'}{\partial c_j} \right)_{T, \rho, c_k} \left(\frac{\partial \varepsilon_{\infty}'}{\partial c_k} \right)_{T, \rho, c_j}. \quad (44)$$

Здесь ρ_1 — масса растворителя 1 в единице объема раствора, β — изотермическая сжимаемость, $|\nu_{jk}|$ — определитель, элементы которого имеют следующий вид:

$$\nu_{jk} = \frac{c_j c_k}{M_j R T} \left[\left(\frac{\partial \mu_j}{\partial N_k} \right)_{T, V, N_l} - \frac{\bar{v}_j^* \bar{v}_k^*}{N^2 \bar{v} V} \right] \frac{N^2 m_1}{M_k}, \quad (45)$$

μ_j — химический потенциал компонента j , M_j — его молекулярный вес, m_1 — средняя масса компонента 1 в объеме раствора V , \bar{v}_j^* , \bar{v}_k^* — парциальные молярные объемы компонентов j и k ; N — число Авогадро, $|\nu_{jk}|$ в уравнении (44) обозначает определитель, элементы которого равны $1/\nu_{jk}$.

В случае двухкомпонентного раствора функция χ определяется следующим соотношением:

$$\frac{6-7\Delta}{6+6\Delta} \chi = kT\beta \left(\rho \frac{\partial \varepsilon_{\infty}'}{\partial \rho} \right)^2 + \frac{kT M_1}{\rho_1 \left(\frac{\partial \mu_2}{\partial c} \right)_{T, \rho}} \left(\frac{\partial \varepsilon_{\infty}'}{\partial c} \right)_{T, \rho}^2. \quad (46)$$

Для растворов вдали от критической области жидкость — пар в ряде случаев можно ограничиться учетом только первого члена в уравнении (42). Тогда для двухкомпонентного раствора

$$\overline{(\Delta \varepsilon')^2} = \left(\frac{\partial \varepsilon'}{\partial c} \right)^2 \overline{(\Delta c)^2}, \quad (47)$$

где $\overline{(\Delta c)^2}$ — среднее статистическое квадрата флуктуаций концентрации в элементе объема dV . Подставляя (47) в (37) и преобразовывая, получим

$$\frac{\varepsilon}{\varepsilon'} = 1 - \frac{(\partial \varepsilon'/\partial c)^2}{\varepsilon' \varepsilon} \frac{\overline{(\Delta c)^2}}{2 + D_{ij}/D_{ij}}. \quad (48)$$

Выводы

1. Рассмотрены причины отклонения экспериментальных значений диэлектрической проницаемости растворов ϵ от значений, вытекающих из теории Онзагера.
2. Развита теория, учитывающая влияние флуктуаций на диэлектрическую проницаемость однородных изотропных систем.
3. Показано, что средний квадрат флуктуаций диэлектрической проницаемости является функцией средней локальной диэлектрической проницаемости.

Московский государственный университет
им. М. В. Ломоносова

Поступила
11.IX.1953

ЛИТЕРАТУРА

1. P. Debye. Phys. Z., 13, 97, 1912.
2. L. Onsager, J. Amer. Chem. Soc., 58, 1486, 1936.
3. P. Debye, Phys. Z., 36, 100, 1935; Chem. Rev., 19, 171, 1936; P. Debye and W. Ramm, Ann. Physik, 28, 28, 1937.
4. J. G. Kirkwood, J. Chem. Phys., 7, 911, 1939.
5. H. Fröhlich, Theory of Dielectrics. Oxford, London, 1949.
6. C. J. F. Böttcher. Theory of electric polarisation, Amsterdam, 1952.
7. См., например, Г. А. Гринберг, Избранные вопросы математической теории электрических и магнитных явлений, Изд-во АН СССР, стр. 15.
8. В. И. Оделевский. Ж. техн. физ., 21, 678, 1951.
9. М. И. Шахпаронов, Ж. физ. химии, 32, 1414, 1958.
10. J. G. Kirkwood and R. J. Goldberg, J. Phys. Chem., 18, 54, 1950.
11. W. H. Stockmayer, J. Chem. Phys., 18, 58, 1950.

ON THE THEORY OF SOLUTIONS

X. EFFECT OF FLUCTUATIONS ON THE DIELECTRIC CONSTANT OF HOMOGENEOUS ISOTROPIC SYSTEMS

M. I. Shakhparonov (Moscow)

Summary

The causes for the deviation of the experimental values for the dielectric constant of solutions from those following from Onsager's theory have been examined. A theory has been developed that takes into account the effect of fluctuations on the dielectric constant of homogeneous isotropic systems. It has been shown that $(\overline{\Delta\epsilon})^2$ is a function of the mean local dielectric constant.

КИНЕТИКА И МЕХАНИЗМ КРЕКИНГА ПАРАФИНОВЫХ
УГЛЕВОДОРОДОВВЛИЯНИЕ ГЕТЕРОГЕННОГО ФАКТОРА НА КИНЕТИКУ И МЕХАНИЗМ
КРЕКИНГА ЭТАНА И ПРОПАНА

А. Д. Степухович и Ю. П. Наумов

Кинетика распада алканов в зависимости от глубины разложения, как известно, хорошо описывается эмпирическим уравнением А. И. Динцеса и А. В. Фроста [1]

$$\frac{dx}{dt} = \frac{k(1-x)}{1-\beta(1-x)}, \quad (1)$$

в котором k и β — некоторые эмпирические постоянные. Несколько лет назад одним из нас уравнение (1) было выведено на основе представления о радикально-цепном механизме распада углеводородов и гипотезы о гетерогенном зарождении активных радикалов в условиях адсорбционного насыщения стенок молекулами алканов и гибели их в объеме, путем замены на менее активные радикалы в результате реакций с некоторыми продуктами крекинга, а также на стенках [2].

Тогда же были получены формулы для вычисления эмпирических коэффициентов k и β через константы скорости соответствующих радикальных реакций:

$$k = \frac{2w_0k_3V}{\alpha k_4} \quad \text{и} \quad \beta = \frac{\alpha k_4}{k_5V + \alpha k_4}. \quad (2)$$

Формулы (2) выражают коэффициент торможения β через константы скорости реакции ингибирования цепей в объеме k_4 при встречах активных радикалов с молекулами тормозящих продуктов, захвата радикалов стенками k_5 , реакции развития цепи в объеме k_3 и скорость гетерогенного зарождения радикалов (w_0 — постоянная величина в условиях насыщенного адсорбции), α и V — доля образования тормозящего продукта и объем реактора.

Исследуя зависимость β от гетерогенного фактора, т. е. отношения поверхности к объему реактора S/V , мы можем проверить гипотезу о гомогенном действии тормозящих продуктов. Действительно, из формулы для β следует, что если k_4 является константой скорости гомогенной реакции, то изменение гетерогенного фактора S/V должно влиять только на величину константы скорости захвата радикалов k_5 , так как этот фактор входит в выражение для k_5 . В частности, с увеличением S/V увеличивается k_5 и должен уменьшаться коэффициент торможения. Естественно, что должна увеличиваться и эмпирическая константа k , в выражении которой только величина w_0 пропорциональна гетерогенному фактору.

Если же действие ингибиторов связано с воздействием их на стенки, как это полагают В. В. Воеводский и В. А. Полторак (см. [3]), т. е. направлено на подавление процесса гетерогенного зарождения радикалов, то коэффициент торможения не должен зависеть от отношения S/V , так как увеличение поверхности в одинаковой мере влияет на константы скорости k_4 и k_5^* .

* При условии, что формулы (2) в случае подобного механизма сохраняют свое значение.

Задачей настоящей работы является экспериментальное исследование зависимости β от отношения S/V . Кроме того, располагая реакторами различной геометрической формы, мы решили применить общую физическую теорию цепей, в частности формулы для длины неразветвленной цепи, обрывающейся или возникающей на стенках, к распаду алканов с целью выяснения того, действуют ли стенки только в качестве фактора обрыва цепей, или же роль их более сложная и они инициируют также цепи, как это предполагается при выводе уравнения (1).

Вообще, как отмечалось ранее [4], желательна проверка представления о цепном характере крекинг-процесса с позиций общей теории неразветвленных цепей.

В случае гомогенного зарождения стационарных цепей и обрыва их на стенках, длина неразветвленной цепи для цилиндрического и шарового реактора вычисляется по формулам [5]:

$$\nu_{\text{ц}} = 0,1 \frac{d^2 p^2}{q \lambda_0^2}, \quad (3)$$

$$\nu_{\text{ш}} = 0,05 \frac{d^2 p^2}{q \lambda_0^2},$$

в которых d — диаметр реактора, p — давление в мм рт. ст., λ_0 — средняя длина свободного пробега при p , равном 1 мм рт. ст., и q — среднее число столкновений, которое испытывает центр перед тем как вступить в реакцию. При этом в шаровом реакторе длина цепи короче, чем в цилиндрическом.

Если же цепи не только обрываются, но и возникают на стенках, то длина цепи уже не квадратично, а линейно зависит от давления и диаметра [5] и, вообще, при прочих равных условиях становится заметно короче. Кроме того, если зарождение и обрыв цепей на стенках связаны с одними и теми же активными центрами, то длина цепи, естественно, не будет зависеть от изменения гетерогенного фактора.

Экспериментальная часть

Мы изучали влияние гетерогенного фактора на реакции крекинга этана и пропана каталитическим методом в цилиндрическом реакторе (кварцевая цилиндрическая колба объемом 320 см³, диаметром 4 см и длиной 25,5 см). Для увеличения поверхности применялась набивка в виде кварцевых трубочек диаметром в 4—5 мм и одинаковой длины. Давление в установке измерялось манометром Мак-Леода. Давления от 10 мм и выше измерялись U-образным манометром. Приrost давления во время крекинга измерялся мембранным манометром. Процент распада определялся по приросту давления, а в некоторых опытах по данным хроматермографического анализа для состава получаемых продуктов. Расхождение в измерениях процента распада по обоим методам не превышало 10%.

В опытах без набивки применялась также кварцевая шаровая колба ($V = 370$ см³, $d \approx 9$ см).

Обогрев реактора производился электрической печью. Температура измерялась при помощи хромель-алюмелевой термопары компенсационным методом при помощи потенциометра типа ПП.

Опыты с этаном проводились при 600° и начальных давлениях, равных 10, 20 и 30 мм рт. ст. Опыты с пропаном проводились при 580° и тех же давлениях.

Исходные углеводороды синтезировались через магнийорганические соединения после разгонки на медной колонке, очищенные от следов влаги, запускались в емкости установки. Перед каждым опытом установка откачивалась до 10^{-4} мм. Методика опытов описана в прежних работах [6].

Первая серия опытов была проведена в пустых шаровом и цилиндрическом реакторах со свежими стенками. Результаты опытов приведены в табл. 1 и 2. Если изобразить кривые зависимости $\Delta p - t$ распада этана и пропана по данным табл. 1 и 2, то получим линейную зависимость скорости распада от давления, что указывает на гетерогенное зарождение цепей.

Таблица 1

Крекинг углеводородов в шарообразном реакторе

(давление выражено в мм рт. ст.)

Время	Этан (600°)						Пропан (580°)					
	Др. мм рт. ст.						Др. мм рт. ст.					
	10 мм	% распа- да	20 мм	% распа- да	40 мм	% распа- да	10 мм	% распа- да	20 мм	% распа- да	40 мм	% распа- да
15 сек.	0,05	0,5	0,07	0,35	0,33	0,82	0,06	0,6	0,27	1,35	1,08	2,7
30 »	0,09	0,9	0,13	0,65	0,59	1,47	0,19	1,9	0,62	3,1	1,84	4,6
45 »	0,12	1,2	0,21	1,10	0,79	1,97	0,32	3,2	0,91	4,55	2,42	6,05
1 мин.	0,17	1,7	0,28	1,40	0,99	2,47	0,44	4,4	1,08	5,4	2,92	7,30
1,5 »	0,21	2,1	0,45	2,25	1,29	3,24	0,61	6,1	1,6	8,0	3,95	9,87
2 »	0,30	3,0	0,59	2,95	1,60	4,0	0,8	8,0	1,9	9,5	4,8	12,0
2,5 »	0,37	3,7	0,74	3,70	1,90	4,75	0,96	9,6	2,2	11,0	5,5	13,75
3 »	0,40	4,0	0,85	4,25	2,10	5,25	1,09	10,9	2,5	12,5	6,15	15,38
3,5 »	0,45	4,5	0,97	4,85	—	—	1,21	12,1	2,7	13,5	6,8	17,0
4 »	0,49	4,9	1,09	5,45	2,53	6,32	1,35	13,5	2,97	14,85	7,2	18,0
4,5 »	0,52	5,2	1,20	6,0	2,70	6,75	1,46	14,6	3,2	16,0	7,7	19,25
5 »	0,57	5,7	1,32	6,6	—	—	1,6	16,0	3,5	17,5	—	—
5,5 »	0,63	6,3	1,43	7,15	3,20	8,0	1,7	17,0	3,7	18,5	8,7	21,75
6 »	0,66	6,6	1,60	8,0	3,40	8,5	1,78	17,8	4,0	20,0	9,3	23,25

Таблица 2

Крекинг углеводородов в цилиндрическом реакторе без набивки

(давление выражено в мм рт. ст.)

Время	Этан (600°)						Пропан (580°)					
	Др. мм рт. ст.						Др. мм рт. ст.					
	10 мм	% распа- да	20 мм	% распа- да	40 мм	% распа- да	10 мм	% распа- да	20 мм	% распа- да	40 мм	% распа- да
15 сек.	0,06	0,6	0,22	1,1	0,73	1,82	0,19	1,9	0,64	3,2	1,5	3,75
30 »	0,15	1,5	0,46	2,3	1,28	3,2	0,38	3,8	1,16	5,8	2,4	6,0
45 »	0,23	2,3	0,64	3,2	1,73	4,32	0,56	5,6	1,6	8,0	3,05	7,62
1 мин.	0,30	3,0	0,86	4,3	2,1	5,25	0,70	7,0	1,9	9,5	3,75	9,38
1,5 »	0,46	4,6	1,14	5,7	2,7	6,75	0,91	9,1	2,35	11,75	4,95	12,38
2 »	0,59	5,9	1,46	7,3	3,35	8,38	1,08	10,8	2,7	13,5	5,85	14,62
2,5 »	0,73	7,3	1,75	8,75	4,05	10,05	1,33	13,3	3,15	15,75	6,6	16,5
3 »	0,87	8,7	2,0	10,0	4,6	11,5	1,45	14,5	3,5	17,5	7,3	18,25
3,5 »	0,96	9,6	2,25	11,25	5,2	13,0	1,63	16,3	3,85	19,25	8,0	20,0
4 »	1,08	10,8	2,45	12,25	5,65	14,12	1,75	17,5	4,2	21,0	8,6	21,5
4,5 »	1,16	11,6	2,63	13,15	6,1	15,25	1,9	19,0	4,5	22,5	9,3	23,25
5 »	1,35	13,5	3,0	15,0	6,75	16,87	2,1	21,0	5,0	25,0	10,4	26,0
6 »	1,46	14,6	3,2	16,0	7,2	18,0	2,18	21,8	15,23	26,15	10,8	27,0

Сравнение распада этана и пропана в шаровом и цилиндрическом реакторах показывает, что скорость крекинга углеводорода в шаровом реакторе в начале процесса в 1,5—3 раза меньше, чем в цилиндрическом. Это согласуется с требованием физической теории цепей, когда цепи зарождаются на стенках при условии, если они обрываются не только на стенках, но и в объеме.

С качественной стороны ясно, что дополнительный обрыв цепи в объеме должен снижать длину цепи в любом реакторе. Количественно это уменьшение длины неразветвленной цепи можно вычислить согласно общей формуле [5]:

$$v = v_0 \left\{ 1 - \frac{th x}{x} \right\}, \quad (4)$$

которой v_0 — длина цепи в случае обрыва цепей только в объеме, а x — величина, зависящая от диаметра сосуда и коэффициентов обрыва цепей в объеме g (зависит от температуры и давления) и диффузии D .

Пользуясь известным разложением $\text{th } x/x$ в ряд и выражениями для коэффициента диффузии и среднего времени жизни активного центра, получим приближенную формулу для вычисления длины цепи:

$$v = v_0 \left\{ 1 - 0,1 \frac{g}{D} d^2 + 0,01 \left(\frac{g d^2}{D} \right)^2 \right\}, \quad (5)$$

в которой v_0 является уже длиной цепи, обрывающейся только на стенках, зависящей от геометрической формы сосуда, а также диаметра сосуда. Давления реагента квадратично или линейно, смотря по тому, зарождаются цепи гомогенно или гетерогенно. Следовательно, длина цепи, обрывающейся на стенках и в объеме, выражается через длину цепи, обрывающейся только на стенках, и корректирующий множитель, связанный только с обрывом цепей в объеме.

Согласно формуле (5) очевидно, что уменьшение длины цепи при одинаковых диаметрах в шаровом реакторе будет больше, так как первый множитель формулы будет меньше в два раза, чем для цилиндрического реактора.

Для примененных нами реакторов первый множитель формулы (5) будет практически одинаковым, так как отношение диаметров равно приблизительно двум, но второй множитель для шарового реактора будет много меньше (влияние члена $0,1 g d^2/D$, который вычитается), что и обусловит уменьшение длины цепи, а следовательно, и скорости реакций в число раз, приблизительно равное

$$m \approx \frac{1 - 0,1 \frac{g}{D} d_{\text{ш}}^2}{1 - 0,1 \frac{g}{D} d_{\text{ц}}^2} = \frac{1 - 1,6 \frac{g}{D}}{1 - 8,1 \frac{g}{D}}. \quad (6)$$

Согласно данным наших опытов (принимая во внимание, что объемы реакторов практически одинаковы), $m = 1,5 - 3$. Таким образом отношение g/D по опытным данным получается лежащим в пределах $0,022 - 0,088 \text{ см}^{-2}$. Вычисляя коэффициент диффузии атомов H (или радикалов H_2) по известным формулам кинетической теории, получим фактор обрыва цепей g , изменяющийся в пределах $0,063 - 0,25 \text{ сек.}^{-1}$.

Другая серия опытов по крекингу этана и пропана была поставлена в цилиндрическом реакторе, набитом кварцевыми трубочками наполовину полностью, в тех же условиях. Данные этих опытов помещены в табл. 3, 4 и 5. Опыты по крекингу этана при 600° и 40 мм рт. ст. сопровождались хроматомографическим анализом продуктов распада этана в пустом и набитом цилиндрическом реакторе, результаты которого приведены в табл. 5.

При условии гомогенного зарождения цепей следовало ожидать, что с увеличением степени набивки будет наблюдаться только тормозящее действие, поскольку стенки могут только захватывать радикалы, но не генерировать их.

В условиях, когда стенки генерируют радикалы, можно наблюдать до установления стационарного состояния не только торможение, но и ускоряющую роль стенок, особенно при введении свежей поверхности [3], в начале процесса, когда стенки не состарились.

При проведении опытов со свежей набивкой мы наблюдали только тормозящее действие ее на распад углеводородов, по сравнению с пустым реактором. Однако после проведения нескольких опытов с одной и той же набивкой мы наблюдали, что тормозящее действие набивки значительно

Таблица 3

Крекинг углеводородов в цилиндрическом реакторе, загруженном трубочками наполовину

Время, мин.	% распада (α)			$k_1 \cdot 10^3$			α/t		
	10 мм	20 мм	40 мм	10 мм	20 мм	40 мм	10 мм	20 мм	40 мм рт. ст.

Этан (600°)

1	3,4	7,0	8,0	3,45	7,13	8,28	3,4	7,0	8,0
2	6,9	11,5	13,5	3,45	6,0	7,25	3,45	5,75	6,75
3	9,8	15,25	17,2	3,37	5,45	6,3	3,27	5,08	5,75
4	12,5	18,75	20,5	3,22	5,42	5,75	3,1	4,69	5,12
5	15,3	21,75	23,5	—	4,88	5,35	—	4,35	4,7
6	17,5	24,25	26,0	3,14	4,6	5,0	2,92	4,06	4,33

Пропан (580°)

1	7,6	9,7	11,4	7,83	10,1	12,0	7,6	9,7	11,4
2	12,5	15,0	17,0	6,55	8,05	9,2	6,25	7,5	8,5
3	17,0	18,7	21,8	6,13	6,9	8,12	5,7	6,25	7,3
4	20,0	23,0	26,0	5,52	6,5	7,48	5,0	5,75	6,5
5	22,5	26,0	29,3	5,07	6,0	6,9	4,5	5,2	5,86
6	25,0	28,7	32,0	4,75	5,6	6,36	4,12	4,8	5,3

Таблица 4

Крекинг углеводородов в цилиндрическом реакторе

Время, мин.	Процент распада		$k_1 \cdot 10^3$		α/t	
	п *	пн *	п	пн	п	пн

Этан (600°, 40 мм рт. ст.)

1	9,5	5,75	9,9	5,75	9,5	5,75
2	15,25	10,25	8,27	5,3	7,62	5,12
3	19,5	13,25	7,2	4,68	6,5	4,43
4	23,0	15,5	6,5	4,2	5,75	3,75
5	25,2	17,75	5,95	3,9	5,16	3,55
6	28,2	19,75	5,5	3,64	4,7	3,3
			$\beta_p = 0,945, \beta_{пн} = 0,852$			

Пропан (580°, 40 мм рт. ст.)

1	—	10,5	—	10,8	—	10,5
1,5	17,25	—	12,5	—	11,5	—
2	—	16	—	8,62	—	8,0
3	25,0	19,75	9,5	7,3	8,35	6,6
4	—	23,5	—	6,66	—	5,75
5	32,0	26,8	7,7	6,08	6,4	5,36
6	34,2	29,2	6,6	5,75	5,7	4,87
			$\beta_p = 0,932, \beta_{пн} = 0,912$			

* п — пустой реактор; пн — полностью набитый.

уменьшается. Набивка как бы стареет в отношении обрыва цепей. Этот эффект, по-видимому, обусловлен хемосорбцией некоторых радикалов (в частности Н), которые не удаляются в процессе откачки между опытами, успевая рекомбинироваться и десорбироваться в виде молекул.

С увеличением числа опытов устанавливается хорошая воспроизводимость, это касается как опытов с набивкой, так и без нее.

Данные, помещенные в табл. 3 и 4, относятся к состояниям реактора и набивки, когда установилась хорошая воспроизводимость. Как видно

увеличение степени набивки заметно снижает скорость крекинга этана и пропана. Таким образом, несмотря на зарождение радикалов на стенках, тормозящее влияние стенок на цепной процесс преобладает. При этом действие стенок аналогично действию тормозящих продуктов или ингибитора. Развивая поверхность стенок внутри реактора, сокращая расстояние между стенками путем введения трубочек, мы как бы разбиваем реактор на множество более узких цилиндрических сосудов с меньшими диаметрами, и приблизительно пропорционально уменьшению общего диаметра снижается длина цепи, а вместе с ней и скорость.

В табл. 3 и 4 помещены значения мономолекулярных констант скорости распада этана и пропана, вычисленные для различной глубины разложения, и соответствующие им значения приведенной глубины разложения x/t .

Таблица 5

Хроматографический анализ продуктов распада этана для цилиндрического реактора ($600^\circ \text{ } p_0 = 40 \text{ мм рт. ст.}$)

	H_2 , %	CH_4 , %	C_2H_4 , %	C_2H_6 , %	γ
Без набивки	26,4	1,1	26,6	45,8	24
С набивкой	21,3	1,4	20,8	56,4	15

Как видно из табл. 3, коэффициент торможения β для этана возрастает с увеличением давления в соответствии с прежними результатами [7] в набитом реакторе уменьшается на 0,1, т. е. на 10% от значения в пустом реакторе (при ошибке определения $\pm 0,01$).

Из табл. 4 видно, что β в случае пропана не зависит от давления, как это находилось ранее [8], и незначительно уменьшается в набитом реакторе (на 0,02), но все же уменьшается. Эти результаты можно считать экспериментальной проверкой гипотезы о гомогенном обрыве цепей на молекулах продуктов или ингибиторах.

Результаты объемного хроматографического анализа продуктов крекинга этана в реакторе без набивки и с набивкой (табл. 5) отчетливо показывают, что набивка угнетает процесс дегидрогенизации этана и снижает длину цепи почти в два раза. Выход метана служит индикатором длины цепи, которая в первом приближении определяется отношением $(\text{H}_2)/(\text{CH}_4)$.

Выводы

1. Проведено сравнительное изучение скорости распада этана и пропана в цилиндрическом и шаровом реакторах при различных давлениях.
2. Показано, что скорость распада линейно изменяется с изменением диаметра сосуда, что доказывает гетерогенный характер зарождения цепей.
3. Показано, что скорость крекинга углеводорода в шаровом реакторе меньше, чем в цилиндрическом, и дано объяснение этому, с точки зрения общей теории цепей.
4. На основании экспериментальных данных вычислен коэффициент обрыва цепей в объеме.
5. Изучено влияние фактора набивки на крекинг этана и пропана.
6. Показано, что увеличение свежей набивки резко снижает скорость распада углеводородов, что доказывает угнетающий эффект увеличения поверхности стенок, а следовательно, цепной характер крекинга.
7. Показано, что по мере проведения неоднократных крекингов с той же набивкой последняя утрачивает свойства обрывать цепи, т. е. стареет,

что, по-видимому, обусловлено прочным хемосорбционным захватом стенками активных центров с последующей их отдачей.

8. Показано, что коэффициент торможения β в уравнении (1) зависит от гетерогенного фактора S/V (степени набивки), уменьшаясь с увеличением набивки, что доказывает гомогенный характер самоторможения продуктами и действия ингибиторов.

9. Подтверждены полученные нами ранее результаты о том, что β для этана зависит от давления, а для пропана — не зависит.

Саратовский государственный университет

Поступила
22.IX.1958

ЛИТЕРАТУРА

1. А. И. Динцес, А. В. Фрост, Докл. АН СССР, 3, 510, 1934.
2. А. Д. Степухович, Ж. физ. химии, 28, 1882, 1954. Уч. зап. СГУ, 56, в. физич., 51—100, 1957.
3. В. А. Полтораки, Кандидатская диссертация, МГУ, 1953.
4. А. Д. Степухович, Ж. общ. химии, 15, 341, 1945.
5. Н. Н. Семенов, Цепные реакции, ОНТИ, Л., 1934.
6. А. Д. Степухович, Е. Г. Каплан, Ж. физ. химии, 30, 928, 1956.
7. А. И. Динцес, Д. А. Квятковский, А. Д. Степухович, А. В. Фрост, Ж. общ. химии, 7, 1754, 1937.
8. А. Д. Степухович, И. Л. Князева, П. И. Жалейко, Уч. зап. СГУ, в. химич., 21, 3, 1949.

THE INFLUENCE OF THE HETEROGENEITY FACTOR ON THE KINETICS AND MECHANISM OF CRACKING OF ETHANE AND PROPANE

A. D. Stepukhovich and Yu. P. Naumov (Saratov)

Summary

The results of experiments concerning the influence of reactor filling or heterogeneity factor increase on the rate of cracking of ethane or propane showed that fresh filling retards the cracking of the hydrocarbons, acting similarly to inhibitory products. The rate of hydrocarbon decomposition, however, calculated on a unit volume basis increases not as the square but as the linear value of the vessel diameter, which is associated with the heterogeneous initiation of chains. The inhibiting coefficient β decreases with increase in the factor of heterogeneity (S/V), i. e. with increase in the filler. According to the theory for the β coefficient developed by A. D. Stepukhovich this may be explained by assuming the effect of inhibiting products or inhibitors on the cracking to be of a homogeneous character. It has been shown that the inhibiting effect of the filler diminishes in the course of the cracking process.

ТЕРМОДИНАМИЧЕСКИЕ СВОЙСТВА КОМПОНЕНТОВ В ЖИДКИХ РАСТВОРАХ СИСТЕМЫ АЛЮМИНИЙ — ЦИНК

В. Н. Еременко

Термодинамические свойства системы алюминий — цинк почти не изучены. Шнайдер и Штолл [1] измеряли парциальное давление паров цинка методом «точки росы» в интервале 650—800°. Было исследовано 10 сплавов, причем в интервале 50—100 ат. % Zn исследован всего один сплав (70% Zn), что совершенно недостаточно. Результаты измерений были использованы для вычисления активностей и коэффициентов активности цинка при 650 и 800°. Термодинамические свойства алюминия не определялись. Авторы сделали заключение, что растворы цинка с алюминием близки к регулярным по терминологии Гильдебрандта. Вычисленные температуры испарения цинка из кривых зависимости упругости пара от температуры при различных составах сплава оказались постоянными, не зависящими от содержания алюминия в растворе.

В настоящей работе было выполнено более подробное изучение термодинамических свойств компонентов в жидких растворах алюминия с цинком.

В качестве метода исследования был выбран метод измерения электродвижущих сил концентрационных цепей вида



В нашем случае потенциалопределяющими являются ионы алюминия Al^{3+} , так как алюминий стоит перед цинком в ряду напряжений металлов расплавленной смеси $\text{KCl} + \text{NaCl}$ [2].

При выполнении определенных условий [3] и использовании в качестве одного электрода чистого менее благородного компонента сплава, процесс, обеспечивающий работу гальванической цепи, будет состоять переносе менее благородного металла из чистого состояния ($a_0 = 1$) в раствор с данной активностью его (a_1). При обратимом протекании процесса э.д.с. цепи определяется уравнением:

$$E = -\frac{RT}{nF} \ln a_1.$$

Таким образом измеренная электродвижущая сила однозначно определяет активность одного (менее благородного) компонента сплава.

Экспериментальная часть

Для приготовления сплавов были использованы: алюминий высокой чистоты, содержащий менее 0,01% примесей, и цинк квалификации «ч.д.а.». Сплавы готовились плавлением навесок металлов под расплавленной смесью хлоридов калия и натрия эвтектического состава. При сплавлении металл тщательно перемешивался для равномерного распределения компонентов, одновременно с этим удалялись окисные пленки, всегда имеющиеся на металле.

В качестве электролита применялась смесь хлоридов калия и натрия эвтектического состава, в которую вводился безводный хлористый алюминий в количестве 1—2%. Так как хлористый алюминий сильно летуч, то мы специально поставленным опытом убедились, что за время опыта (~ 15 час.) в электролите сохраняется достаточное количество AlCl_3 , необходимое для поддержания устойчивого потенциала.

В качестве сосуда для электролитической ячейки использовалась кварцевая пробирка диаметром 40 мм и длиной около 300 мм, в верхней части которой имелся от-

росток для ввода электролита (рис. 1). Внутри этого сосуда помещались четыре кварцевые пробирки диаметром около 12 мм и длиной 25—30 мм, в двух из которых находился чистый алюминий и в двух — исследуемые сплавы.

Токоотводами служили вольфрамовые проволоки, защищенные фарфоровыми трубками; зазор между вольфрамом и фарфором уплотнялся огнеупорной глиной, перед использованием место уплотнения прокаливало в атмосфере водорода. Свободным оставался только небольшой отрезок проволоки длиной 3—4 мм, который помещался в расплавленный металл. Второй конец вольфрамовой проволоки выводился из ячейки и через переключатель подключался к потенциометру. По центру ячейки

в зазор между четырьмя пробирками помещалась термопара в тонкостенном кварцевом защитном чехле. Температура фиксировалась самопишущим гальванометром.

Ячейка помещалась в трубчатую электрическую печь сопротивления, в которой лабораторным автотрансформатором обеспечивалось очень медленное и плавное изменение температуры. Для выравнивания температуры в печном пространстве находился толстостенный стакан из никеля, внутрь которого и помещалась ячейка. Для устранения конвекционных токов нижнее и верхнее отверстия печи были тщательно уплотнены. При измерениях температура длительное время могла поддерживаться постоянной в пределах 3° .

Опыт осуществлялся следующим образом: заранее приготовленные сплавы помещались в малые пробирки, и последние вводились в ячейку. Вольфрамовые токопроводы

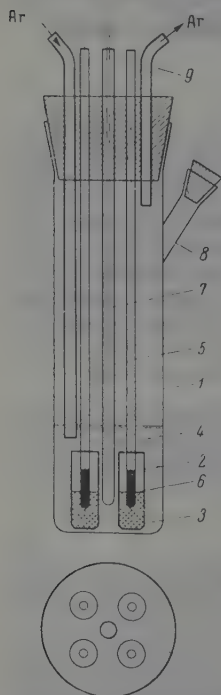


Рис. 1. Электролитическая ячейка для измерений э. д. с. цепи $\text{Al}_{\text{ж}} | \text{KCl} + \text{NaCl} + \text{AlCl}_3 | \text{Al}(\text{Zn})_{\text{ж}}$: 1 — кварцевый сосуд диаметром 40 мм; 2 — кварцевые пробирки диаметром 12 мм; 3 — металл; 4 — электролит; 5 — вольфрамовая проволока защищена фарфоровой трубкой; 6 — уплотнение из огнеупорной глины; 7 — термопара; 8 — патрубки для введения электролита; 9 — трубки для ввода и выхода аргона

тщательно центрировались по отношению пробирок, после чего ячейка помещалась в печь. Одновременно в ячейку пропускался ток сухого очищенного аргона. Когда сплав расплавлялся, ток аргона увеличивался, и через боковой отросток в ячейку вводился тем временем приготовленный электролит.

Для измерения э. д. с. пользовались потенциометром ППТВ. В качестве нуль-инструмента применялся зеркальный гальванометр, который между отсчетами замыкался накоротко. Стандартом служил элемент Вестона II класса, электродвижущая сила которого была:

$$E_t = 1,0187 - 0,00004(t - 20^\circ) \text{ абсолютного вольта.}$$

После расплавления и установления равновесия, на что требовалось около 1—1,5 часа, проводилось измерение э. д. с. Затем, не изменяя температуры, давали выдержку 10—15 мин. и вновь производили измерение. Если 2—3 последовательных измерения проведенные через 10—15 мин., давали одинаковый результат в пределах 0,2—0,3 мВ, то повышали температуру на 25—35° и после необходимой выдержки вновь проводили измерения.

Измерения были проведены в интервале от 670 до 850°.

Так как в ячейке всегда имелось два электрода сравнения, то измерения дублировались.

Для большинства сплавов были поставлены повторные опыты. Воспроизводимость результатов была хорошей при содержании цинка в сплавах до 50 ат.%. При содержании в сплаве свыше 70 ат.% цинка воспроизводимость была меньшей, и расхождение достигали 0,4—0,6 мВ.

Все сплавы после опыта анализировались, и при вычислениях термодинамических свойств составы сплавов брались по анализу, а не по пиктовке.

Результаты измерений и вычисление термодинамических величин. Были измерены электродвижущие силы девяти ячеек при атомной доле цинка от 0,1421 до 0,9528 и в интервале температур 670—850°. Полученные результаты представлены на рис. 2, где для каждой ячейки дана зависимость э. д. с. от температуры.

При всех составах, включая $N_{Zn} = 0,7071$, э. д. с. растет с температурой линейно. При атомной доле цинка в сплаве 0,8198 и 0,9528 вначале, при температурах 670—720° э. д. с. растет не линейно, однако при более высоких температурах и для этих ячеек устанавливается линейный ход э. д. с. с температурой. Наклон прямых увеличивается при увеличении содержания цинка в сплаве.

Чтобы исключить при дальнейших вычислениях влияние ошибок отдельных измерений, по прямым, выполненным в большом масштабе, были отсчитаны сглаженные значения э. д. с. при 960 и 1120° К. Эти сглаженные значения э. д. с. и температурные коэффициенты э. д. с., вычисленные как отношения разности э. д. с. при 1120 и 960° К разности температур, приведены в табл. 1.

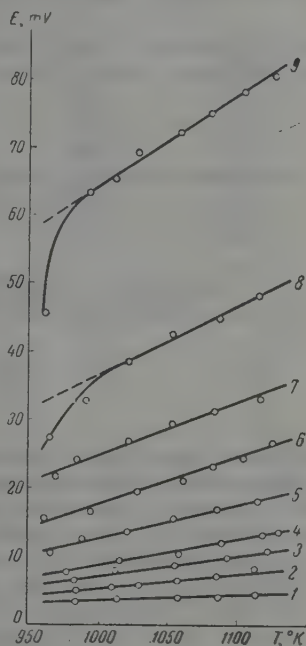


рис. 2. Электродвижущие силы концентрационных ячеек $Al_{ж} | Al^{3+}$ в расплаве $KCl + NaCl | (Al, Zn)_{ж}$: 1 — 0,1421; 2 — 0,2192; 3 — 0,2863; 4 — 0,3516; 5 — 0,4893; 6 — 0,6037; 7 — 0,7071; 8 — 0,8198 и 9 — 0,9528 N_{Zn}

Данные табл. 1 были использованы для вычисления активности a_{Al} , коэффициента активности γ_{Al} и относительного парциального молярного теплосодержания алюминия \bar{L}_{Al} в сплавах по уравнениям:

$$\lg a_{Al} = - \frac{nFE}{2,303 RT}; \quad \gamma_{Al} = \frac{a_{Al}}{N_{Al}};$$

$$\bar{L}_{Al} = nFE + nFT \frac{dE}{dT}.$$

Таблица 1

Электродвижущие силы концентрационных ячеек $Al | Al^{3+}$ в расплаве $KCl + NaCl | (Al, Zn)_{ж}$

Содержание цинка по анализу, вес. %	Атомная доля		E · 10 ³ , V (сглаженные значения)		$\frac{dE}{dT} \cdot 10^3 \frac{V}{град}$
	цинка	алюминия	960° К	1120° К	
28,1	0,1421	0,8579	3,8	4,8	6,25
20,5	0,2192	0,7808	5,4	7,9	15,63
49,3	0,2863	0,7137	6,5	10,6	25,63
56,8	0,3516	0,6484	7,2	13,1	36,88
69,9	0,4893	0,5107	10,6	18,6	50,00
78,7	0,6037	0,3963	15,3	25,8	65,63
85,4	0,7071	0,2929	21,8	34,2	77,50
91,7	0,8198	0,1802	32,4	46,7	91,38
98,0	0,9528	0,0472	59,1	80,5	133,75

Результаты представлены в табл. 2.

Таблица 2

Термодинамические свойства алюминия в жидких сплавах алюминия с цинком

N_{Al}	a_{Al}		γ_{Al}		\bar{L}_{Al} , кал/г-ат
	960° К	1120° К	960° К	1120° К	
0,8579	0,8713	0,8614	1,016	1,004	152
0,7808	0,8222	0,7823	1,053	1,002	665
0,7137	0,7900	0,7193	1,107	1,005	1253
0,6484	0,7702	0,6655	1,188	1,026	1952
0,5107	0,6808	0,5610	1,333	1,098	2589
0,3963	0,5742	0,4485	1,449	1,132	3302
0,2929	0,4536	0,3454	1,549	1,179	3641
0,1802	0,3088	0,2342	1,714	1,300	3830
0,0472	0,1173	0,0819	2,485	1,735	4797

Для вычисления коэффициента активности цинка в сплавах использовалось парциальное молярное условие в виде:

$$\ln \frac{a_{Zn}}{N_{Zn}} = - \int_0^{N_{Zn}} \frac{N_{Al}}{N_{Zn}} d \ln \frac{a_{Al}}{N_{Al}}.$$

Значение интеграла, стоящего в правой части уравнения, определялось графическим интегрированием. Значения, полученные при интегрировании, отвечают бесконечно разбавленному раствору цинка как стандартному состоянию. Для единообразия за стандартное состояние цинка выбрано его чистое жидкое состояние. Оба стандартных состояния приводятся в соответствие постоянным фактором.

В табл. 3 приведены значения γ_{Zn} и a_{Zn} , вычисленные по отношению к чистому цинку как стандартному состоянию.

Таблица 3

Коэффициенты активности γ_{Zn} и активности цинка a_{Zn} в жидких сплавах цинка с алюминием

N_{Zn}	γ_{Zn}		a_{Zn}	
	960° К	1120° К	960° К	1120° К
0	(2,88)	(1,35)	0,000	0,000
0,1	2,663	1,336	0,2663	0,1336
0,2	2,417	1,324	0,4834	0,2648
0,3	2,141	1,317	0,6423	0,3951
0,4	1,860	1,289	0,7480	0,5156
0,5	1,637	1,242	0,8185	0,6210
0,6	1,467	1,196	0,8802	0,7176
0,7	1,334	1,156	0,9338	0,8092
0,8	1,225	1,116	0,9800	0,8928
0,9	1,118	1,068	1,0062	0,9612
1,0	1,000	1,000	1,0000	1,0000

Для вычисления относительного парциального молярного теплосодержания цинка в сплавах использовалось парциальное молярное условие

$$\bar{L}_{Zn} = - \int_0^{N_{Zn}} \frac{N_{Al}}{N_{Zn}} d \ln \bar{L}_{Al},$$

для чего было выполнено графическое интегрирование кривых $N_{Al}/N_{Zn} = \varphi(\bar{L}_{Al})$.

Такое интегрирование дает значение относительного парциального молярного теплосодержания цинка в растворе относительно предельно разбавленного раствора как стандартного состояния (\bar{L}'_{Zn}). Для перехода к значениям, отнесенным к принятому стандартному состоянию (\bar{L}_{Zn}), все значения, полученные при расчете, следует уменьшить на величину \bar{L}'_{Zn} при $N_{Zn} = 1$.

Вычисленные значения парциальных молярных теплосодержаний цинка приведены в табл. 4. В той же таблице приведены величины теп-

Таблица 4

Парциальные молярные теплосодержания компонентов и теплоты образования жидких растворов алюминия с цинком

N_{Al}	N_{Zn}	$\bar{L}_{Al},$ кал/г-ат	$\bar{L}'_{Zn},$ кал/г-ат	$\bar{L}_{Zn},$ кал/г-ат	$Q,$ кал/г-ат
1,0	0,0	0	0	8170	0
0,9	0,1	80	— 120	8050	— 877
0,8	0,2	400	— 870	7300	— 1780
0,7	0,3	1400	— 2180	5990	— 2777
0,6	0,4	2300	— 3720	4450	— 3160
0,5	0,5	2900	— 5020	3150	— 3025
0,4	0,6	3300	— 6050	2120	— 2595
0,3	0,7	3600	— 6525	1645	— 2232
0,2	0,8	3800	— 7190	980	— 1544
0,1	0,9	3950	— 7730	440	— 791
0,0	1,0	(4040)	— 8170	0	0

лот смешения Q , вычисленные по уравнению:

$$-Q = \Delta H = N_{Al}\bar{L}_{Al} + N_{Zn}\bar{L}_{Zn}.$$

В табл. 5 приведены относительные парциальные молярные энтропии, вычисленные по уравнению:

$$\Delta S_{Al} = \bar{S}_{Al} - \bar{S}_{Al}^0 = nF \frac{dE}{dT},$$

и для сравнения идеальные энтропии растворения, вычисленные по

$$\Delta S_{Al} = -R \ln N_{Al}.$$

Таблица 5

Идеальная ($-R \ln N_{Al}$) и действительная парциальная молярная энтропия алюминия в жидких растворах алюминия с цинком

N_{Al}	$\bar{S}_{Al},$ э. ед.	$-R \ln N_{Al},$ э. ед.	N_{Al}	$\bar{S}_{Al},$ э. ед.	$-R \ln N_{Al},$ э. ед.
0,8579	0,433	0,305	0,3963	4,54	1,84
0,7808	1,08	0,49	0,2929	5,36	2,44
0,7137	1,77	0,67	0,1802	6,33	3,41
0,6484	2,55	0,86	0,0475	9,26	6,07
0,5107	3,46	1,34			

Обсуждение результатов

Представленный на рис. 3 ход изменения активности с изменением состава показывает наличие в системе положительных отклонений от закона Рауля для обоих компонентов при всех концентрациях. Уклонения от идеального поведения сильно уменьшаются с ростом температуры, и коэффициенты активности приближаются к единице.

На том же рисунке для сравнения нанесены активности цинка по измерениям Шнейдера и Штолля [1]. Сравнение показывает, что удовлетворительное согласие наших данных с [1] наблюдается только при малых (до 15 ат.%) содержаниях цинка и при температуре 960° К. При высоких температурах и при больших содержаниях цинка согласия нет.

При рассмотрении кривых на рис. 3 обращает на себя внимание то обстоятельство, что разбавленные растворы на основе алюминия очень близки к идеальным, в то время как растворы на основе цинка уже при малых концентрациях алюминия показывают значительные отклонения от идеального состояния. Область применимости закона Рауля в растворах на основе цинка исчезающе мала, вследствие чего на изотерме активности цинка нет обычно наблюдающихся точек перегиба. Такой ход изотерм активности алюминия и цинка согласуется с диаграммой состояния системы Al — Zn (рис. 4).

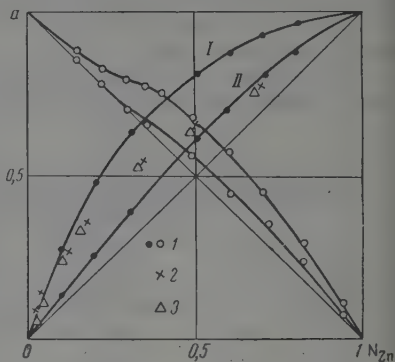


Рис. 3. Изотермы активности компонентов в жидких растворах алюминия с цинком: 1 — наши измерения; 2 — по [1] при 923° К; 3 — по [1] при 1073° К; I — 960° К; II — 1120° К

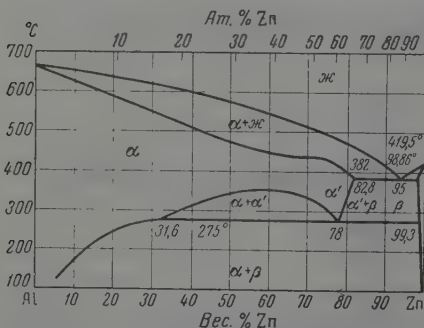


Рис. 4. Диаграмма состояния системы алюминий — цинк [4]; 419,5° соответствует концу линии ликвидуса; 98,86° — тройной точке на линии солидуса, β-фаза примыкает к оси ординат

Изменение парциальных молярных теплосодержаний компонентов при изменении состава показано на рис. 5. Температура не изменяет \bar{L}_{Al} и \bar{L}_{Zn} в изученном интервале температур при неизменном составе раствора. Это вытекает из линейного хода э. д. с. с температурой. Этого факта достаточно для того, чтобы сделать заключение, что при неизменном составе раствора сохраняется постоянная разность теплоемкости компонента в растворе и в чистом жидком состоянии при всех температурах, т. е. теплоемкость компонента в чистом жидком состоянии и его парциальная мо-

ковыми уравнениями, различающимися только величиной свободного энтропия.

Изображенные на графике (рис. 6) теплоты смешения свидетельствуют, что растворы образуются со значительным поглощением тепла. Наибольшее поглощение тепла (3150 ккал/г-ат) наблюдается при образовании раствора с 40 ат. % цинка.

Сопоставление значений парциальных молярных энтропий алюминия, приведенных в табл. 5, с идеальными энтропиями смешения ($-R \ln N_{\text{Al}}$) указывает, что при всех составах действительные значения значительно

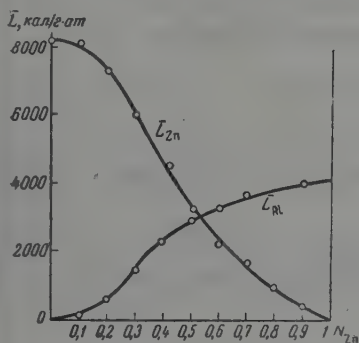


Рис. 5. Парциальные молярные теплосодержания компонентов в жидких растворах алюминия с цинком

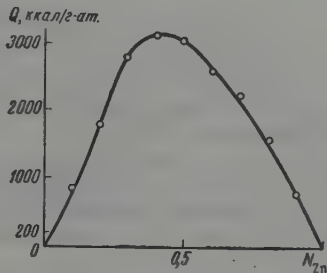


Рис. 6. Теплоты смешения алюминия с цинком в жидком состоянии

выше идеальных. Это указывает на то, что при растворении алюминия в цинке происходит изменение молекулярного состояния алюминия, сопровождающееся увеличением числа частиц, т. е. растворение сопровождается диссоциацией атомных комплексов, которые находятся в чистом расплавленном алюминии.

Выводы

1. Измерены электродвижущие силы и температурные коэффициенты д. с. концентрационных цепей: $\text{Al}_{\text{ж}}/\text{Al}^{3+}$ в расплаве $\text{KCl} + \text{NaCl}/(\text{Al}, \text{Zn})_{\text{ж}}$ во всем ряду концентраций растворов алюминия в цинке и в интервале $670-850^\circ$.
2. Вычислены активности, коэффициенты активности, относительные парциальные молярные теплосодержания обоих компонентов и парциальная молярная энтропия алюминия в жидких растворах алюминия с цинком.
3. В системе имеют место положительные отклонения от закона Рауля, существенно уменьшающиеся с ростом температуры.
4. Показано, что разность теплоемкости компонентов в чистом жидком состоянии и парциальной молярной теплоемкости в растворе зависит только от состава, но не от температуры.
5. Вычислены теплоты смешения при образовании жидких растворов алюминия с цинком. Теплоты смешения отрицательны и не зависят от температуры.
6. Найдено, что парциальная молярная энтропия алюминия в растворе значительно превосходит идеальную энтропию растворения при всех составах; это дает основание для заключения, что при растворении происходит диссоциация комплексов, присутствующих в чистом жидком алюминии.

ЛИТЕРАТУРА

1. A. Schneider u. E. K. Stoll, Z. Elektrochem., 47 (7), 527, 1941.
2. А. И. Беляев, Е. А. Жемчужина, Л. А. Фирсанова. Физическая химия расплавленных солей, Металлургиздат, 1957, стр. 184.
3. К. Вагнер. Термодинамика растворов, Металлургиздат, Москва, 1957, стр. 108.
4. Metals Handbook, The American Soc. for Metals, 1948, p. 1167.

THE THERMODYNAMIC PROPERTIES OF THE COMPONENTS OF LIQUID
METALLIC SOLUTIONS OF THE SYSTEM ALUMINUM—ZINC

N. V. Eremenko (Kiev)

Summary

Measurements have been made of the emf and its temperature coefficient for the concentration cells:

$\text{Al}_{\text{liq}}/\text{Al}^{3+}$ in the melt $\text{KCl} + \text{NaCl}/(\text{Al}, \text{Zn})_{\text{liq}}$ over the temperature range 670–850° C and over the entire series of concentrations.

The thermodynamic properties of aluminum and zinc on liquid solutions of the system aluminum—zinc and the heats of mixing on the formation of the liquid Al—Zn solutions have been calculated.

A discussion has been made of the deviation from the ideal behavior observed in liquid aluminum/zinc solutions.

ТЕПЛОЕМКОСТЬ РАССЛАИВАЮЩИХСЯ РАСТВОРОВ
ТРИЭТИЛАМИНА В ЛЕГКОЙ И ТЯЖЕЛОЙ ВОДЕ

В. П. Скрипов и В. М. Костин

В. К. Семенченко [1] дал обобщение теории критических явлений на более широкий класс фазовых переходов и предсказал существование максимума теплоемкости расслаивающихся растворов при концентрациях, близких к критической. Это послужило толчком к проведению экспериментальных работ [2—5] и вызвало дискуссию по ряду теоретических вопросов [6, 7].

Мы предприняли новые измерения теплоемкости растворов триэтиламина — вода и изучили изотопный эффект, связанный с заменой воды естественного состава на тяжелую воду.

Экспериментальная часть

Калориметрическая установка. Измерения теплоемкости проводились методом периодического ввода тепла в адиабатическом калориметре, конструкция которого представлена на рис. 1. Исследуемый раствор размешивался благодаря поворотам калориметра 4 на 180° вокруг горизонтальной оси с периодом 1,2 сек. Калориметр около 50 мл. Корпус изготовлен из латуни, все детали калориметра никелированы. Нагреватель 3 с сопротивлением 32 Ω намотан на слюдяную пластинку и смонтирован на текстолитовой стойке 2. В нижней крышке калориметра сделан карман для нагревателя. Измерения подъемов температуры производились термистором ($R_{20} = 110 \Omega$). Термистор 8 смонтирован на второй текстолитовой стойке 9 и вставляется в карман верхней крышки. Наполнение калориметра осуществлялось при помощи медицинского шприца через сосок в крышке калориметра. Сосок имеет наружную резьбу и закрывается колпачком со свинцовой прокладкой.

Для улучшения размешивания раствора служат два легких стеклянных шарика — стеклянный ролик, находящиеся по разные стороны от нагревателя: при поворотах наполненного калориметра шарики и ролик движутся в противоположных направлениях. Их работа проверялась на прозрачной модели калориметра и оказалась эффективной.

Крепление калориметра в кожухе 1 осуществляется благодаря текстолитовым стойкам 2, 9 и втулке 10. Корпус 1 и крышка 7 кожуха стягиваются болтами, герметичность соединения создается свинцовой прокладкой. Для контроля за разностью температур между калориметром и кожухом служит дифференциальная термобатарея из шести пар медь—константан. Холодные спаи приклеены к внутренней боковой поверхности кожуха, а горячие спаи крепятся на корпус калориметра по окружности при помощи резинового кольца. Тонкий слой клея БФ-2 дает хорошую электрическую изоляцию. Калориметр имеет внешнюю термостатную оболочку, которая после сборки установки заполняется трансформаторным маслом (16 л). Кожух устанавливается внутри оболочки при помощи боковой планки и малой полусоси 6. Большая полусось 5, проходящая через сальник в планке, служит для вывода проводов из калориметра и для передачи поворотного-колебательного движения от специального механизма. Оболочка имеет верхнюю съемную крышку, на которой смонтированы пропеллерная мешалка и змеевик холодильника. Открытый электрический нагреватель питается от автотрансформатора и расположен по окружности в нижней части оболочки. Оболочка ставится на ящик с теплоизоляцией.

Сопротивление термистора измерялось мостовой схемой с гальванометром М-21, приводящие провода включались в разные плечи моста. При силе тока, питающего мост, в 2 мА, температурная чувствительность схемы в интервале $12 \div 20^\circ$ составляла 10^{-4}° на 1 мм шкалы гальванометра. Градуировка термистора производилась по стандартному платиновому термометру сопротивления. Термистор использовался для определения подъемов температуры, а среднее значение температуры опыта оценивалось по ртутному термометру с ценой деления $0,1^\circ$, вставленному в оболочку.

Батарея дифференциальных термопар включалась через многопозиционный переключатель на гальванометр М-25 с внешним критическим сопротивлением 11 Ω .

Температурная чувствительность схемы $2,4 \cdot 10^{-3}^\circ$ на 1 мм шкалы. Температура оболочки поддерживалась равной температуре калориметра с колебаниями $\pm 0,012^\circ$ при вводе тепла в калориметр и $\pm 0,003^\circ$ при установлении равновесия. Мощность электрического тока, вводимого в калориметр, измерялась компенсационным методом при помощи потенциометра ППТВ. Для питания нагревателя служила батарея кислотных аккумуляторов емкостью 290 а-час при силе рабочего тока порядка 100 мА. Подъем температуры в отдельной ступени калориметрического опыта менялся от $0,16^\circ$ до $0,04^\circ$.

Тепловое значение калориметра c_0 определялось из опытов с водой. Для комнатных температур $c_0 = (8,8 \pm 0,4)$ кал/град.

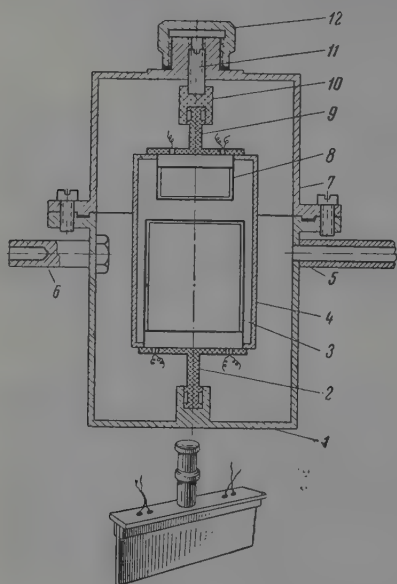


Рис. 1. Разрез кожуха с калориметром, внизу — общий вид термистора, собранного на текстолитовой стойке: 4 — калориметр, 3 — нагреватель, 8 — термистор, 2, 9 — текстолитовые стойки, 10 — текстолитовая втулка, 11 — регулировочный винт, 12 — головка крышки кожуха, 7, 1 — корпус кожуха, 6 — малая полусось, 5 — большая полусось

Оценка этой величины по теплоемкостям материалов, из которых сделан калориметр, дает значение $8,7$ кал/град, почти совпадающее с приведенным выше, что указывает на отсутствие заметного теплообмена между калориметром и оболочкой в ходе опыта. Объем паровой фазы в заполненном калориметре не превышал $2-3$ см³, что составляет $4-6\%$ полезного объема калориметра.

Относительная погрешность измерения теплоемкости растворов при подъемах температуры в $0,1^\circ$ составляет 2% .

Использованный для опытов триэтиламин был перегнан на колонке в присутствии кристаллической щелочи NaOH. Вода бралась дистиллированная с удельным сопротивлением $2 \cdot 10^5 \Omega$ см. Тяжелая вода содержала $99,7\%$ дейтерия. Растворы готовились весовым методом. Для контроля состава проводилось титрование триэтиламина децинормальным раствором серной кислоты.

Результаты опытов

Исследуемый раствор, охлажденный ниже температуры раскислаивания, заливали в калориметр, запирали колпачком и взвешивали. Повторное взвешивание производилось после опытов. Вес наполненного калориметра сохранялся неизменным с точностью до $1-2$ мг. В ходе всего опыта калориметр совершал поворотно-колебательное движение, и раствор благодаря этому непрерывно размешивался. Механизм размешивания

включали за $30-40$ мин. до начала измерений. Конечная температура одной ступени опыта служила начальной температурой для следующей ступени. При таком ведении опыта учитывается вклад в теплоемкость всей последовательности состояний системы, что особенно важно в области максимума теплоемкости.

Были измерены температурный ход теплоемкости пяти растворов триэтиламина (I) — тяжелая вода (II) различного состава: $19,3$; $25,6$; $30,5$; $33,0$ и $42,0$ вес. % I. Для растворов I в легкой воде (III) проведены измерения при четырех концентрациях: $20,1$; $25,6$; $28,8$; $31,5$ вес. % I. На рис. 2 сопоставлены данные по теплоемкости растворов I—II и I—III с одинаковой молярной концентрацией триэтиламина — $6,76\%$. Прежде всего бросается в глаза изотопный сдвиг температуры раскислаивания (максимума), которая у раствора I—II на $3,8^\circ$ ниже, чем у соответствующего раствора I—III. Этот эффект был прослежен также визуально по методу Алексеева для широкой области концентраций триэтиламина в растворе. На рис. 2 по оси ординат отложена молярная теплоемкость, вся кривая для

системы I—II слегка приподнята над кривой системы I—III. Это связано более высоким молекулярным весом D_2O по сравнению с H_2O . Если же провести сравнение не молярных, а удельных теплоемкостей, то при наложении графиков левые ветви кривых совмещаются, а правая ветвь системы I—II идет несколько ниже, чем у системы I—III.

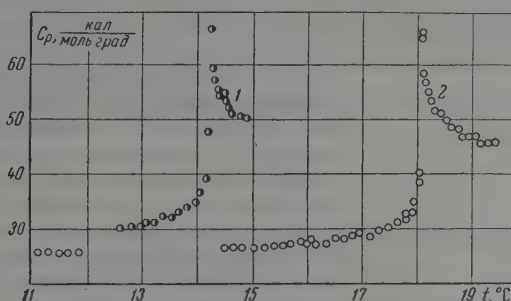


Рис. 2. Теплоемкость растворов: 1 — триэтиламин — тяжелая вода, 2 — триэтиламин — легкая вода с одинаковой молярной концентрацией триэтиламина — 6,76%

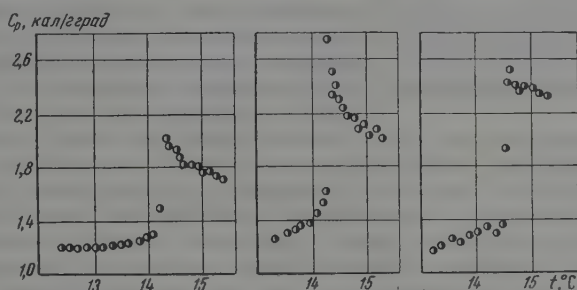


Рис. 3. Теплоемкость растворов триэтиламин — тяжелая вода при различной концентрации триэтиламина (слева направо): 19,3; 30,5 и 42,0 вес. %

Из рис. 3 можно видеть, как влияет концентрация раствора I—II на ход теплоемкости вблизи расслаивания. Хотя теплоемкость для гетерогенных состояний (правая ветвь) повышается с ростом концентрации триэтиламина в исследованном интервале его концентраций (19—42 вес. %), но максимальное значение теплоемкости приходится не на концентрацию 42%, а на концентрацию 30,5%, которая лежит ближе к критической. Рис. 4 дает представление об изменении максимальных значений удельной теплоемкости в зависимости от концентрации раствора. Кружками нанесены данные для системы I—II, а треугольниками — для системы I—III.

Обсуждение результатов

Рассмотрим для определенности кривую 2 (рис. 2). Ее правая ветвь соответствует гетерогенным состояниям системы. Температурный ход этой ветви обусловлен тепловым эффектом q' , сопровождающим перераспределение компонент раствора между жидкими фазами при изменении температуры. Мерой теплового эффекта может служить площадь, ограниченная сверху экспериментальной кривой, а снизу — линией, соответствующей

аддитивным значениям теплоемкости обеих фаз. За такую линию допустимо принять продолжение горизонтального участка левой ветви кривой. Соответствующее графическое интегрирование для интервала температуры в 1° , примыкающего к точке максимума кривой, дает $q' = 0,99 \text{ кал/г}$.

Большой интерес представляет рост теплоемкости раствора в однофазной области при подходе к температуре расслаивания (левая ветвь кривой).

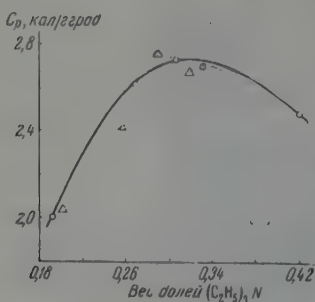


Рис. 4. Изменение максимальных значений теплоемкости в зависимости от концентрации раствора, кружки относятся к растворам с тяжелой водой, а треугольники — к растворам с легкой водой

не только температурой, но и концентрацией. При этом характер изменения теплоемкости теряет признаки скачка и приобретает признаки резкого максимума. Наоборот, с удалением концентрации раствора от критической изменение теплоемкости при переходе через пограничную кривую растворимости все более напоминает скачок. Рассматриваемая кривая 2 рис. 2 относится к первому типу. Оценим для нее тепловой эффект q'' «скрытого расслаивания» так же, как это было сделано при определении q' . Графическое интегрирование дает для интервала в 1° , примыкающего к температуре расслаивания, $q'' = 0,23 \text{ кал/г}$. Величина q'' составляет примерно четвертую часть от величины q' , что свидетельствует о большой интенсивности флуктуационного процесса, предшествующего макроскопическому расслаиванию.

Выводы

1. В калориметре с размещиванием оригинальной конструкции измерена теплоемкость ряда расслаивающихся растворов триэтиламин (I) — тяжелая вода (II) и триэтиламин — легкая вода (III). Измерения для системы I — II проведены впервые. Обнаружен изотопный сдвиг критической температуры расслаивания при замене D_2O на H_2O , он равен $3,8^\circ$. Характер кривой теплоемкости при этой замене сохраняется.

2. Показано, что наибольший подъем теплоемкости при переходе от гомогенных к гетерогенным состояниям раствора приходится на интервал концентраций 27—34 вес. %, внутри которого лежит критическая концентрация.

3. При обсуждении результатов обращено внимание на роль флуктуаций концентрации в растворе, ответственных за подъем теплоемкости со стороны однофазных состояний.

ЛИТЕРАТУРА

- В. К. Семенченко. Ж. физ. химии, 21, 1461, 1947.
В. П. Скрипов и В. К. Семенченко. Ж. физ. химии, 29, 174, 1955.
G. Jura, D. Fraga, G. Maki, J. N. Hildebrand. Proc. Nat. Acad. Sci., U.S.A., 39, 19, 1953.
Х. И. Амирханов, И. Г. Гурвич, Э. В. Матизен, Докл. АН СССР, 100, 736, 1955.
Я. В. Егупов, Уч. зап. Кабардинск. гос. пед. ин-та, вып. 10, 47, 1956.
И. Р. Кричевский и Н. Е. Хазанова, Ж. физ. химии, 29, 1088, 1955.
В. К. Семенченко, В сб. «Применение ультразвуки к исследованию вещества», Изд-во МОПИ, М., 1956.
В. П. Скрипов. В сб. «Термодинамика и строение растворов», Изд-во АН СССР, М., стр. 43, 1959.
-

THE HEAT CAPACITY OF SEPARATING-OUT TRIETHYLAMINE SOLUTIONS
IN LIGHT AND HEAVY WATER*V. P. Skripov and V. M. Kostin (Sverdlovsk)*

Summary

The heat capacities of a number of separating-out solutions of $(C_2H_5)_3N - D_2O$ and $(C_2H_5)_3N - H_2O$ have been measured on a rocking calorimeter equipped with thermostat and electrical heater. An isotopic shift of the critical solution temperature equal to 3.8° was revealed on substituting D_2O for H_2O , the nature of the heat capacity curve remaining the same. A relation has been observed between fluctuations in the solution concentration and the growth of heat capacity on approaching the critical point.

ИССЛЕДОВАНИЕ ВЛИЯНИЯ ДИФФУНДИРУЮЩЕГО АТОМАРНОГО ВОДОРОДА НА КИНЕТИКУ ЭЛЕКТРОХИМИЧЕСКОГО ВЫДЕЛЕНИЯ ЕГО

И. А. Багоцкая, Л. Д. Ковба и А. И. Оше

Исследование передачи перенапряжения через стенку железного сосуда. Наши более ранние исследования [1—4] по влиянию диффундирующего водорода на кинетику электрохимического выделения его проводились на железной мембране, зажатой в плоском шлифе между двумя сосудами. Края шлифа смазывались вакуумной смазкой для обеспечения герметичности и избежания электролитического контакта между двумя сторонами мембраны. Такая конструкция прибора позволяла проводить количественные измерения скорости диффузии водорода. Однако непосредственное соприкосновение электрода со смазкой является нежелательным и всегда возникает вопрос, не влияет ли в какой-то степени смазка на наблюдаемые нами явления*. Потому представляло интерес, хотя бы качественно, проверить влияние диффундирующего водорода на η в более чистых условиях.

Для этого был сконструирован прибор, изображенный на рис. 1. Выштампованная из армо-железа чашечка, диаметром 2 см, высотой около 1 см и толщиной стенок 0,1—0,07 мм, на железных ручках приваривалась к платиновому контакту. Внешняя поверхность чашечки служила поляризационной стороной, внутренняя—диффузионной.

После заполнения ячейки 1 газообразным водородом внутрь чашечки из сосудов 2 и 3 передавливался насыщенный водородом раствор 1N NaOH. На внутреннюю поверхность чашечки накладывалась катодная поляризация при помощи платинового анода 4, и систематически во времени измерялся потенциал диффузионной стороны φ_d относительно электрода сравнения 5. Краны 6 и 7 были закрыты. Высота столба жидкости внутри стаканчика была порядка 2—3 мм. После того как φ_d принимал во времени устойчивое значение, в ячейку 1 из сосуда 8 перекачивался насыщенный водородом раствор 2N H₂SO₄**, содержащий следы Pb(NO₃)₂ таким образом, что он соприкасался с доннышком чашечки, которое подвергалось кратковременной анодной поляризации при помощи вспомогательного электрода 9 через кран 10 с последующей катодной поляризацией током $1 \cdot 10^{-2}$ А***. Через раствор в ячейке 1 все время пропус-

* Следует заметить, что соприкосновение электрода со смазкой в наших опытах имело место как во время диффузии водорода, так и без нее, и изменение потенциала электрода происходило только в результате появления диффундирующего водорода на диффузионной стороне. Кроме того, специальными опытами было исследовано влияние используемой нами смазки на η в растворе H₂SO₄. Опыты проводились следующим образом: во времени измерялось η в растворе чистой H₂SO₄ на железном электроде, приваренном к платиновому контакту. Затем в раствор вводилась стеклянная палочка, смазанная смазкой, и продолжалось измерение η . При этом раствор все время перемешивался током водорода. В результате оказалось, что введение в раствор стеклянной палочки, смазанной вакуумной смазкой, не приводит к заметному изменению η .

** В ячейку 1 наливался раствор H₂SO₄, а не HCl с целью снижения возможности образования электролитического контакта между двумя сторонами чашечки.

*** Из ранее опубликованных нами работ [2] известно, что кратковременная анодная поляризация электрода с последующей катодной поляризацией приводит к быстрому началу диффузии водорода. Следы Pb(NO₃)₂ также способствуют диффузии водорода.

ался водород. Для прекращения диффузии водорода раствор кислоты, соприкасающийся с внешней поверхностью чашечки, заменялся насыщенным водородом раствором щелочи из сосуда 11, и прекращалась катодная поляризация. Для повторного вызова диффузии водорода щелочной раствор в ячейке 1 вновь заменялся кислотным, и внешняя поверхность активировалась анодной поляризацией с последующим наложением катодной поляризации. Измерять количества диффундирующего водорода в описанном приборе мы не могли, поскольку внутренние и внешние поверхности чашечки находились в контакте через газовую фазу. Опыты проводились на неотравленном армко-железе и на железе, отравленном ртутью. Как и в предыдущих работах, железная чашечка, обезжиренная бензолом и кипячением в крепкой щелочи, восстанавливалась

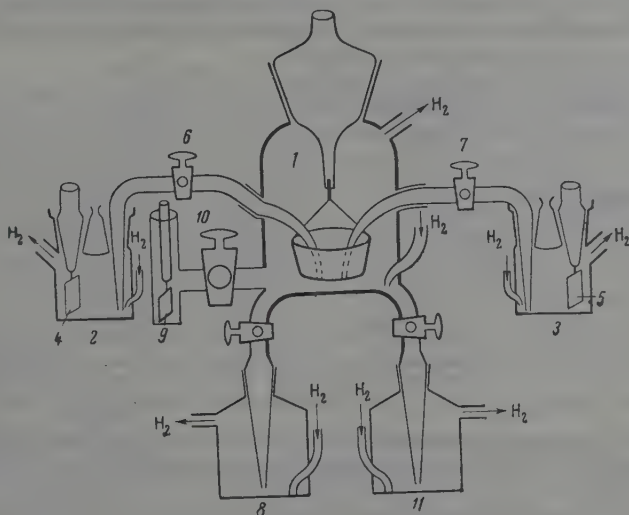


Рис. 1

в водород при 700° и откачивалась в вакууме при 850°. В опытах с железом, отравленным ртутью, чашечка, приготовленная вышеописанным способом, перед опытом травила в растворе HCl и катодно поляризовалась током 0,5 А в течение 10 мин. в растворе 5 N NaOH, насыщенном HgO. Налет ртути с внешней поверхности чашечки снимался ваткой, смоченной HCl, чашечка тщательно промывалась дважды перегнанной водой и высушивалась.

Результаты измерений на неотравленном железе приведены на рис. 2, на железе, отравленном ртутью, — на рис. 3. Черными кружками обозначены значения η в отсутствие диффузии водорода, светлыми — при наличии ее. Из рисунков видно, что диффузия водорода на неотравленном железе в исследованном интервале поляризаций сопровождается увеличением потенциала диффузионной стороны $\Delta\eta$, причем с ростом катодной поляризации $\Delta\eta$ уменьшается. На железе, отравленном ртутью, диффундирующий водород понижает η тем больше, чем выше катодная поляризация электрода. Разный знак действия диффундирующего водорода на η на чистом и отравленном ртутью железе доказывает, что наблюдаемые эффекты не обусловлены электролитическим контактом между диффузионной и поляризационной сторонами чашечки. Приведенные данные качественно соответствуют результатам, полученным нами на железных мембранах, однако количественно эффекты, наблюдаемые в опытах с чашечкой, несколько меньше, и не так ярко выражено влияние катодной поляризации диффузионной стороны на передачу перенапряжения, особенно на неотравленном железе. Это, по-видимому, связано с малыми потоками диффундирующего водорода из-за низкой катодной поляризации поляризационной

стороны *. Кроме того, измерениям на железной чашечке мешали следы кислорода, который диффундировал к внутренней поверхности из газовой фазы (объем газа в ячейке 1 был велик, около 120 см^3 , а слой электролита в чашечке относительно тонок, 2—3 мм). С этим, вероятно, связано то, что в отсутствие катодной поляризации диффузионной стороны, т. е. при стационарном потенциале, наблюдать передачу перенапряжения нам не удавалось.

Определение увеличения скорости электрохимического выделения водорода при постоянном η под влиянием диффундирующего водорода. Количественно ускорение реакции электрохимического выделения водорода под влиянием диффундирующего атомарного водорода изучалось нами ранее [4] по изменению потенциала электрода под влиянием диф-

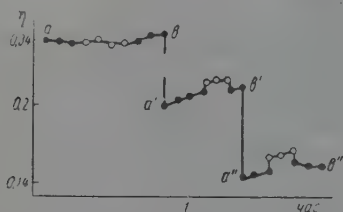


Рис. 2

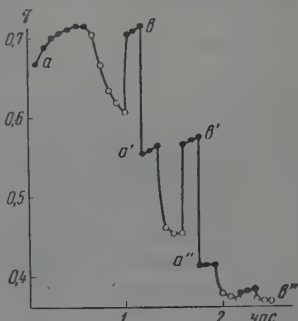


Рис. 3

Рис. 2. Влияние диффундирующего водорода на η на неотравленном железе в 1 N NaOH при различных катодных поляризациях: $ab - i_0 = 1,6 \cdot 10^{-4} \text{ A/cm}^2$; $a'b' - i_0 = 1,6 \cdot 10^{-5} \text{ A/cm}^2$ и $a''b'' - i = 0,4 \cdot 10^{-5} \text{ A/cm}^2$

Рис. 3. Влияние диффундирующего водорода на η на железе, отравленном ртутью, в 1 N NaOH при различных катодных поляризациях: $ab - i_0 = 1,6 \cdot 10^{-4} \text{ A/cm}^2$; $a'b' - i_0 = 1,6 \cdot 10^{-5} \text{ A/cm}^2$; $a''b'' - i_0 = 0,4 \cdot 10^{-6} \text{ A/cm}^2$

фундирующего водорода при постоянной катодной поляризации. Было показано, что по мере увеличения катодной поляризации железного электрода, отравленного ртутью, в растворе щелочи сдвиг потенциала в положительную сторону $\Delta\eta$ сначала возрастает при постоянном отношении i'/i_0 , затем стремится к предельному значению (i' — скорость диффузии атомарного водорода, i_0 — катодная поляризация электрода). При высоких значениях η , когда $\Delta\eta$ при $i'/i = \text{const}$ не зависит от η , $\Delta\eta$ вначале растет с i' , а затем приближается к предельному значению. На основании теории А. Н. Фрумкина [5] снижение перенапряжения $\Delta\eta$ под влиянием диффундирующего водорода при высоких поляризациях электрода и малых потоках диффундирующего водорода, когда можно пренебречь обратными реакциями, должно быть равно

$$\Delta\eta = b \lg(1 - i'/i).$$

Определенное на опыте значение $\Delta\eta$ оказалось выше теоретического и соответствовало примерно удвоенному потоку диффундирующего водорода. Это соответствует тому, что каждый атом диффундирующего водо-

* Так как в этих опытах диффузионная и поляризационная стороны имели контакт через газовую фазу, то измерения проводились при закрытом кране 10. Это ограничивало возможность увеличения катодной поляризации электрода, и плотность тока, текущего на внешнюю поверхность чашечки, была меньше, чем в опытах с мембраной.

да облегчает разряд двух молекул воды. На основании существующих теоретических представлений этот экспериментальный факт пока с трудом поддается объяснению. Поэтому представляло интерес непосредственно определить увеличение скорости реакции электрохимического выделения водорода Δi под влиянием диффундирующего водорода при постоянном перенапряжении ($\Delta i = i - i_0$, где i_0 — скорость электрохимического выделения водорода в отсутствие диффундирующего водорода и i — при наличии его) и, кроме того, получить количественные данные на других электродах, на которых диффундирующий водород также ускоряет реакцию электрохимического выделения его. В качестве такого электрода нами был выбран железный электрод, покрытый гальваническим осадком цинка.;

Перед нанесением осадков электроды из армко-железа восстанавливались в водороде при 700° и прокаливались в вакууме при 850° . Отравление ртутью производилось, как и ранее [4], катодной поляризацией электрода в растворе $5N\ NaOH + HgO$ током $0,01A/cm^2$ в течение 10 мин. Перед нанесением гальванического осадка цинка на диффузионную сторону поляризационная сторона мембраны покрывалась слоем парафина, травилась в HCl и на нее наносился гальванический осадок цинка катодной поляризацией током $0,02A/cm^2$ в течение 20 сек., 2, 10 и 40 мин. в гальванической ванне, не содержащей поверхностноактивных веществ [6]. После этого парафин механически снимался, пластинка с поляризационной стороны очищалась соляной кислотой, промывалась дважды перегнанной водой и высушивалась. Измерения на железе, отравленном ртутью, проводились в $0,5$ и $3N$ растворе $NaOH$, а на гальваническом осадке цинка в $0,5$ и $4N$ растворе $NaOH$. Растворы готовились разложением амальгамы ртути в дважды перегнанной воде. Измерения проводились в приборе, описанном ранее [3, 4]. При соприкосновении диффузионной стороны мембраны с раствором ртути на нее накладывалась катодная поляризация током $1 \cdot 10^{-3}A/cm^2$, и определялся потенциал электрода. Электродом сравнения всегда служил окиснортутный электрод в растворе $5N\ NaOH$.

После установления постоянного значения потенциала электрода φ_d при заданной катодной поляризации его, вызывалась диффузия водорода, которая сопровождалась движением φ_d в положительную сторону. Обычно после прекращения диффузии водорода потенциал диффузионной стороны электрода был положительнее своего исходного значения и не возвращался к нему со временем. Это явление, по-видимому, связано с частичной очисткой поверхности электрода от цинка и ртути или расшатыванием эшетки его под влиянием диффундирующего водорода. После двух- и трехкратного повторения диффузии водорода этот эффект уменьшался, и различие между исходным и конечным значением φ_d не превышало $1-2\ mV$.

Непосредственное определение ускорения реакций электрохимического выделения водорода Δi под влиянием диффундирующего водорода при $\varphi_d = const$ проводилось следующим образом: после начала диффузии водорода потенциал электрода, предварительно тренированного вышеописанным способом, поддерживался постоянным и определялась сила тока i , текущего на электрод при заданной скорости диффузии водорода i' . Контроль за φ_d в течение всего опыта осуществлялся непрерывно при помощи компенсационной схемы. Величина i' регулировалась катодной поляризацией поляризационной стороны. Количество диффундирующего водорода определялось нами по разности между объемом водорода, выделяющегося в течение 5 мин. с диффузионной стороны мембраны, во время диффузии водорода и без нее. При выражении скорости диффузии водорода в электрических единицах мы исходили из количества водорода, выделяющегося с диффузионной стороны мембраны при определенной катодной поляризации ее в отсутствие диффундирующего водорода. Герметичность прибора определялась в конце опыта по постоянству положения мениска раствора в горизонтальной бюретке при $i_0 = 0$. На железном электроде, отравленном ртутью, измерения проводились при $i' \ll i_0$ и таких значениях η , при которых, по данным [4], снижение под влиянием диффундирующего водорода достигает предельного значения и перестает увеличиваться с дальнейшим ростом η .

Результаты измерений $(\Delta i/i')_{cr}^*$, характеризующие активности диффундирующего водорода на данном электроде (среднее значение величины из большого числа опытов), приведены в таблице.

* Как упоминалось выше, потенциал электрода при постоянный катодной поляризации его после прекращения диффузии водорода был на $1-2\ mV$ положительнее исходного значения. Это эквивалентно увеличению i_0 после прекращения диффузии водорода при потенциостатическом измерении. Потому при вычислении Δi подставлялось значение i_0 , являющееся средней величиной между i_0 до начала диффузии и после прекращения ее.

Электрод	Раствор	Толщ. осадка, см	η *	$(\Delta i/i')_{\text{ср}}$
Fe + Hg	3N NaOH	**	0,800	1,72
	0,5N NaOH		0,790—0,875	1,37
Fe + Zn	4N NaOH	$1,8 \cdot 10^{-5}$	0,610	0,24
			0,770	0,33
		$1,1 \cdot 10^{-4}$	0,675—0,685	0,24
			0,725—0,735	0,22
			0,760	0,23
		$5,4 \cdot 10^{-4}$	0,730	0,25
			0,780	0,29
		$2,1 \cdot 10^{-3}$	0,720	0,03
	0,5N NaOH	$1,8 \cdot 10^{-5}$	0,690	0,1
			0,800	0,16

* Значения потенциала окиснортутного электрода в 5N NaOH относительно водородного электрода в растворах щелочи разной концентрации определялись нами на опыте.

** Указать количество ртути, нанесенной на железо, мы не можем, так как значительная часть тока при отравлении железного электрода ртутью шла на выделение водорода.

Из таблицы видно, что величина $\Delta i/i'$ на железе, отравленном ртутью, больше единицы и увеличивается с концентрацией щелочи. На гальваническом осадке цинка во всех исследованных случаях $\Delta i/i'$ меньше единицы. Возрастание η при всех прочих равных условиях не сопровождалось однозначно увеличением $\Delta i/i'$. Этот факт указывает на то, что наши измерения на гальваническом осадке цинка проводились при достаточно высоком η , когда $(\Delta i/i')_{i_0} = \text{const}$ и, следовательно, $(\Delta i/i')_{\eta=\text{const}}$ уже перестают зависеть от η и достигают своего предельного значения. Увеличение толщины осадка цинка в 30 раз (от $1,8 \cdot 10^{-5}$ до $5,4 \cdot 10^{-4}$ см) в 4N NaOH практически не влияет на величину $(\Delta i/i')$, и только дальнейший рост толщины осадка приводит к существенному уменьшению $\Delta i/i'$. Аналогичное явление было замечено на железном электроде, отравленном ртутью. Если железный электрод очень сильно отравить ртутью, то диффузия водорода через такой электрод не сопровождается снижением η при $i = \text{const}$ и соответственно увеличением силы тока, текущего на электрод, при $\eta = \text{const}$. Низкие значения величины $\Delta i/i'$ при относительно «больших» количествах ртути и цинка, наносимых на диффузионную сторону мембраны, связаны, вероятно, с тем, что в этих случаях почти весь диффундирующий атомарный водород рекомбинирует в глубоких порах и не попадает в зону электрохимической реакции. С этим обстоятельством, возможно, связано уменьшение величины $\Delta i/i'$ с понижением концентрации щелочи в растворе, из-за уменьшения смачиваемости поверхности **. Следует отметить, что постоянство $\Delta i/i'$ в довольно широком интервале изменения толщины осадка цинка указывает на высокую подвижность атомов водорода на поверхности исследуемого электрода, позволяющую им диффундировать и с поверхности от мест выхода из железа к местам протекания электрохимической реакции, учитывая, что металлические цинк и ртуть атомарный водород не пропускают. Расхождение между $(\Delta i/i')_{\eta=\text{const}} \approx 1,37$ —1,72 ($\Delta i/i')_{i_0=\text{const}} \approx 2$ [4], возможно, связано с ошибкой при вычислении

* На гальваническом осадке цинка ускорение реакции электрохимического выделения водорода Δi наблюдалось при скоростях диффузии водорода i' , близких к току катодной поляризации электрода i_0 .

** Другой причиной уменьшения $\Delta i/i'$ с понижением концентрации щелочи может быть ускорение реакции рекомбинации $\text{H}_{\text{адс}} + \text{H}_{\text{адс}} \rightarrow \text{H}_2$, что приведет к уменьшению количества атомарного водорода, участвующего в реакции электрохимической десорбции.

$(\Delta i/i')_{i=\text{const}}$ из-за неточного значения коэффициента b . Кроме того, следует иметь в виду, что опыты по определению $(\Delta i/i')_{i=\text{const}}$ проводились в растворах «х. ч.» щелочи, не подвергавшихся специальной очистке.

Влияние скорости диффузии водорода i' , катодной поляризации электрода и рН раствора на величину $\Delta\eta$ на неотравленном железе и гальваническом осадке никеля в растворах щелочи, учитывая высокую активность диффундирующего атомарного водорода в отношении ускорения реакции электрохимического выделения его на железе, отравленном ртутью, в растворах щелочи, представляло интерес. Олистоженное изучение _повышения перенапряжения под влиянием диф-

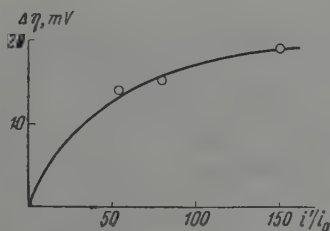


Рис. 4

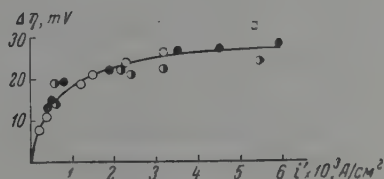


Рис. 5

Рис. 4. Повышение перенапряжения $\Delta\eta$ в зависимости от потока диффундирующего водорода при постоянной катодной поляризации железного электрода током $i_0 = 2,6 \cdot 10^{-6} \text{ A/cm}^2$ ($\eta = 0,130$) в 1N NaOH

Рис. 5. Смещение стационарного потенциала гальванического осадка никеля, нанесенного на железо, в отрицательную сторону в зависимости от количества диффундирующего водорода i' в 1N NaOH. Точки относятся к разным опытам

диффундирующего водорода. В качестве объектов исследования были выбраны железо-железо при низких катодных поляризациях и гальванический осадок никеля, нанесенный на железо, при стационарном потенциале в растворах щелочи. При выборе объектов исследования и условий проведения опытов мы руководствовались возможностью наблюдения максимальных эффектов повышения перенапряжения под влиянием диффундирующего водорода. Методика измерения и подготовка электродов к опыту оставались прежними.

Гальванический осадок никеля наносился на диффузионную сторону из ванны, содержащей поверхностноактивных веществ [6]. Поляризационная сторона мембраны при этом была покрыта парафином. Толщина осадка никеля составляла $1 \cdot 10^{-4} \text{ см}$. На железе измерения проводились в растворах щелочи квалификации «х. ч.» на гальваническом осадке никеля — в растворах щелочи, полученной разложением амальгамы натрия в дважды перегнанной воде.

На гальваническом осадке никеля в растворах «х. ч.» щелочи наблюдалось резкое нарастание $\Delta\eta$ во времени, что, вероятно, связано с высвобождением из раствора на поверхность электрода железа, соли которого содержатся в заметных количествах в щелочи квалификации «х. ч.»*. Результаты измерений на железе в растворах «х. ч.» щелочи и щелочи, полученной разложением амальгамы водой, практически совпадают. Так как количественно мы могли измерять потоки диффундирующего водо-

* Эффект повышения перенапряжения под влиянием диффундирующего водорода в растворах щелочи на чистом железе выше, чем на гальваническом осадке никеля.

рода не ниже $2 \cdot 10^{-4}$ А/см², а сами опыты проводились при низких катодных поляризациях электрода, когда $\Delta\eta$ относительно велико, то в проведенном нами исследовании i' было на много больше. На рис. 4 и 5 приведены данные по зависимости $\Delta\eta$ от скорости диффузии водорода i' на железе при постоянной катодной поляризации электрода током $2,6 \cdot 10^{-6}$ А/см ($\eta = 0,130$) и на гальваническом осадке никеля при стационарном потенциале *. Из рисунков видно, что при постоянной катодной поляризации электрода повышение перенапряжения на железе и гальваническом осадке никеля** вначале растет с i' , а затем стремится к предельному значению

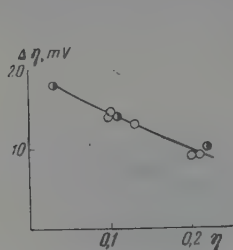


Рис. 6. Влияние катодной поляризации железного электрода в 1N NaOH на повышение перенапряжения $\Delta\eta$ под влиянием диффундирующего водорода при $i'/i = 50$

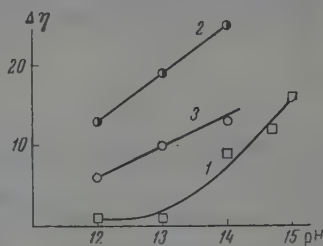


Рис. 7. Влияние pH раствора на повышение перенапряжения $\Delta\eta$: 1 — на железе при $\eta = 0,200$ В и $i'/i = 50$ и 2, 3 — на гальваническом осадке никеля при различных потоках диффундирующего водорода (2 — $i' = 4 \cdot 10^{-3}$ А/см²; 3 — $i' = 0,4 \cdot 10^{-3}$ А/см²)

Из теории А. Н. Фрумкина следует, что повышение перенапряжения под влиянием диффундирующего водорода связано с медленным удалением $\text{H}_{\text{адс}}$ по механизму рекомбинации или электрохимической десорбции. При этом $\Delta\eta$ должно непрерывно возрастать с i' при условии, если $\Delta\eta$ невелико и можно пренебречь влиянием изменения потенциала электрода из-за передачи перенапряжения на сам эффект $\Delta\eta$. Следует заметить, что увеличение перенапряжения под влиянием диффундирующего водорода намного меньше возрастания перенапряжения, которое имело бы место, если бы весь диффундирующий водород был получен на диффузионной стороне путем увеличения катодной поляризации ее. Так, на железе при $i'/i_0 = 50$ $\Delta\eta = 19$ мВ (рис. 4), в то время как при увеличении катодной поляризации диффузионной стороны в 50 раз при $b \approx 0,12$, $\Delta\eta = 0,120 \lg 50 \approx 200$ мВ. На рис. 6 приведена зависимость $\Delta\eta$ от η на железе в растворе 1N NaOH при $i'/i = 50$. Из рисунка следует, что в соответствии с теорией, с увеличением η на электроде $\Delta\eta$ падает вследствие уменьшения изоляции $\text{H}_{\text{адс}}$. Коэффициент наклона кривой $(\partial(\Delta\eta)/\partial\eta)_{i'/i}$ порядка 0,05. Учитывая столь низкое значение $(\partial(\Delta\eta)/\partial\eta)_{i'/i}$, можно показать, что стремление $\Delta\eta$ к пределу с ростом i' (рис. 4 и 5) нельзя полностью свести к уменьшению передачи перенапряжения из-за сдвига потенциала электрода в отрицательную сторону под влиянием диффундирующего водорода.

На железе и гальваническом осадке никеля повышение перенапряжения под влиянием диффундирующего водорода возрастает с увеличением pH раствора (рис. 7).

* На гальваническом осадке никеля измерения проводились лишь при стационарном потенциале, так как увеличение перенапряжения на нем под влиянием диффундирующего водорода даже при низких катодных поляризациях становится столь малым, что изучать его количественно представляется затруднительным.

** Уменьшение $\Delta\eta$ с ростом η наблюдалось нами ранее на железе в 5 N NaOH при $i'/i = 5$ [2].

Из приведенного экспериментального материала следует, что наблюдается известная аналогия между влиянием количества диффундирующего водорода и pH раствора на повышение перенапряжения на неотравленном железе и гальваническом осадке никеля и снижение перенапряжения на железе, отравленном ртутью, несмотря на то, что количественно эти эффекты гораздо меньше. К этому вопросу мы вернемся в следующей статье, где остановимся на истолковании наблюдаемых явлений с привлечением некоторых других данных.

Пользуемся случаем выразить глубокую благодарность акад. А. Н. Фрумкину за ценные советы при выполнении настоящей работы.

Выводы

1. Исследовано влияние диффундирующего водорода на перенапряжение η на чистом железе и железе, отравленном ртутью, в растворах 1N NaOH в условиях отсутствия соприкосновения электрода с вакуумной смазкой. Измерения проводились на железном сосуде, внешняя поверхность которого служила поляризационной, а внутренняя — диффузионной сторонами. Полученные результаты качественно соответствуют данным, полученным на железных мембранах: на неотравленном железе диффундирующий водород повышает η , а на отравленном ртутью — понижает его.
2. Непосредственно определено увеличение скорости реакции электрохимического выделения водорода в присутствии диффундирующего атомарного водорода при $\eta = \text{const}$ на железе, отравленном ртутью, и гальваническом осадке цинка, нанесенном на железо.
3. Показано, что на железе, отравленном ртутью, в растворах щелочи величина $\Delta i/i'$ больше единицы, а на гальваническом осадке цинка $\Delta i/i'$ меньше единицы (Δi — увеличение скорости электрохимического выделения водорода при постоянном потенциале электрода под влиянием диффундирующего атомарного водорода, i' — скорость диффузии водорода). С увеличением концентрации щелочи $\Delta i/i'$ возрастает.
4. Количественно изучено влияние потока диффундирующего водорода, потенциала электрода и pH раствора на повышение перенапряжения под влиянием диффундирующего водорода на чистом железе и гальваническом осадке никеля, нанесенном на железо, в растворах щелочи. Показано, что повышение перенапряжения при постоянной катодной поляризации электрода вначале растет с потоком диффундирующего водорода, а затем стремится к пределу. С увеличением η и уменьшением pH раствора $\Delta \eta$ падает.

Академия наук СССР
Институт электрохимии

Поступила
25.IX.1958

ЛИТЕРАТУРА

1. И. А. Багоцкая, А. Н. Фрумкин. Докл. АН СССР, 92, 979, 1953.
2. И. А. Багоцкая, Докл. АН СССР, 107, 843, 1956.
3. И. А. Багоцкая, Докл. АН СССР, 110, 397, 1956.
4. А. И. Оше, И. А. Багоцкая, Ж. физ. химии, 32, 1379, 1958.
5. А. Н. Фрумкин, Ж. физ. химии, 31, 1775, 1957.
6. В. И. Лайнер, Н. Т. Кудрявцев, Основы гальваностегии, 1953.

INVESTIGATION OF THE EFFECT OF DIFFUSING ATOMIC HYDROGEN ON THE KINETICS OF ITS ELECTROCHEMICAL EVOLUTION

I. A STUDY OF THE TRANSMISSION OF VOLTAGE THROUGH THE WALLS OF AN IRON VESSEL

I. A. Bagotskaya, L. D. Kovba and A. I. Oshe (Moscow)

Summary

The diffusing —atomic hydrogen — effected increase in the rate, of the electrochemical evolution of hydrogen Δi on mercury poisoned iron and on a galvanic zinc deposit on iron in 1 N NaOH solution at constant electrode polarization has been quantitatively determined. It has been shown that for mercury poisoned iron $\Delta i/i'$ is greater than unity (i' being the rate of hydrogen diffusion), whereas for zinc the values are less than unity.

It has been found that the increased overvoltage $\Delta\eta$ due to diffusing hydrogen on iron and on a galvanic nickel coating deposited on the latter first grows with i' in 1 N NaOH solution and then approaches a limiting value. With increase in the cathodic polarization of the iron electrode and decrease in the pH value of the solution $\Delta\eta$ decreases.

The results of measurements carried out with an iron vessel poisoned and not poisoned by mercury, provided there is no contact of the electrode with vacuum grease, are in qualitative agreement with those obtained with iron diaphragms.]

К ВОПРОСУ ОБ ОТНОСИТЕЛЬНОЙ РЕАКЦИОННОСТИ РАДИКАЛОВ

Х. С. Багдасарьян

Известно довольно много радикальных реакций, которые позволяют непосредственно из опытных данных определить относительную реакционность* валентнонасыщенных молекул по отношению к какому-либо радикалу**. Почти все исследования этого типа проводились методом конкурирующих реакций, не требующим знания абсолютных значений констант скоростей или энергий активации.

До сих пор не удалось найти ни одного экспериментального метода непосредственного определения относительной реакционности различных радикалов по отношению к какой-либо валентнонасыщенной молекуле. Для суждения о реакционности радикалов приходится сравнивать абсолютные значения констант скоростей или энергий активации. Определение этих последних величин в большинстве случаев представляет значительные экспериментальные трудности.

Шварц и сотрудники [1] предложили метод косвенного сравнения реакционности радикалов путем сопоставления рядов реакционности валентнонасыщенных молекул по отношению к этим радикалам. Метод Шварца основан на следующем эмпирическом положении. Пусть известны относительные реакционности молекул A_0, A_1, A_2, \dots по отношению к радикалам R_1 и R_2 , вступающим с этими молекулами в однотипные реакции. Молекулы A_0, A_1, A_2, \dots отличаются друг от друга заместителем, взаимодействующим с реакционным центром (двойной связью, подвижным атомом водорода, атомом ароматического кольца и т. д.); радикалы R_1 и R_2 могут быть как однотипными, так и разнотипными. Тогда, как показали Шварц и сотрудники на некоторых примерах, существует линейное соотношение

$$\lg \frac{k_{R_1 A_i}}{k_{R_1 A_0}} = n \lg \frac{k_{R_2 A_i}}{k_{R_2 A_0}}, \quad (1)$$

где $k_{R_1 A_i}$ — константа скорости реакции взаимодействия радикала R_1 с молекулой A_i , аналогичный смысл имеют и константы k с другими индексами. Величины $k_{R_1 A_i}/k_{R_1 A_0}$ и $k_{R_2 A_i}/k_{R_2 A_0}$ представляют относительные реакционности валентнонасыщенных молекул по отношению к радикалам R_1 и R_2 , A_0 — молекула, принятая в качестве стандарта сравнения, n — постоянная.

На рис. 1 и 2 приведены новые примеры применения соотношения (1). На рис. 1 логарифм относительного средства поливинилацетатного ради-

* Термин «реакционность» применяется в следующем смысле. Пусть молекулы (радикалы) A_0, A_1, A_2, \dots вступают в однотипные реакции. Реакционностью молекулы A_i мы называем любую величину, которая может служить кинетической характеристикой положения молекулы A_i в этом ряду. Реакционность может выражаться величиной энергии активации или константы скорости при заданной температуре. Применение метода конкурирующих реакций приводит к выражению реакционности в относительных единицах.

** Термин радикал мы применяем исключительно в смысле «свободный радикал».

кала к ароматическим кольцам [2] сопоставлен с логарифмом метильного сродства тех же молекул [1]. На рис. 2 представлена аналогичная зависимость для реакций взаимодействия поливинилацетатного [2] и полиметилакрилатного [3] радикалов с ароматическими нитросоединениями. Все данные для полимерных радикалов получены методом ингибирования полимеризации соответствующих мономеров.

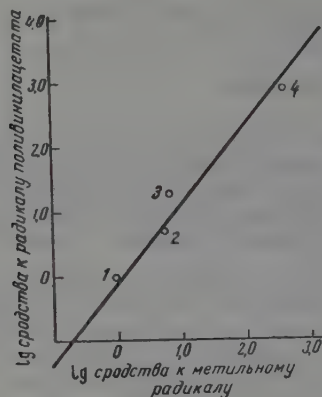


Рис. 1

Рис. 1. Реакционность ароматических углеводородов к метильному и поливинилацетатному радикалам: 1 — дифенил; 2 — нафталин; 3 — фенантрен; 4 — антрацен

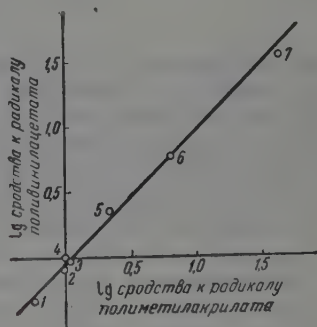


Рис. 2

Рис. 2. Реакционность производных нитробензола к поливинилацетатному и полиметилакрилатному радикалам: 1 — *p*-нитроанилин; 2 — *p*-нитрофенол; 3 — *p*-нитротолуол; 4 — нитробензол; 5 — *p*-нитробензойная кислота; 6 — *m*-динитробензол; 7 — *сис*-тринитробензол

Если в уравнении (1) $n = 1$, то, по мнению Шварца, это указывает на одинаковую реакционность радикалов R_1 и R_2 ; если $n > 1$, то радикал R_1 более реакционен, чем радикал R_2 .

Рассмотрим, в какой мере гипотеза Шварца о величине n как характеристике относительной реакционности радикалов может считаться обоснованной теоретически и экспериментально.

Уравнение (1) можно записать в следующей форме:

$$\lg k_{R_1 A_i} - n \lg k_{R_2 A_i} = \lg k_{R_1 A_0} - n \lg k_{R_2 A_0}. \quad (2)$$

Поскольку равенство (2) справедливо для любой молекулы A_i данного ряда, то

$$\lg k_{R_1 A_i} - n \lg k_{R_2 A_i} = \text{const.} \quad (3)$$

Таким образом уравнение (1) устанавливает существование линейного соотношения между логарифмами констант скоростей реакции радикалов R_1 и R_2 с данными рядом однотипных молекул A . Тротман-Диккенс [4] нашел, что абсолютные значения констант скоростей реакций отрывания атома водорода метильным и трифторметильным радикалами от углеводородов связаны уравнением (3), причем $n = 1$. Абсолютные значения констант скоростей для трифторметильного радикала значительно больше, чем для метильного.

Если опыт непосредственно дает лишь уравнение (1), т. е. известны лишь относительные значения констант скоростей, найденные, например, методом конкурирующих реакций, то константа в уравнении (3) остается неизвестной и по величине и по знаку. В этом случае уравнение (1) не позволяет делать какие-либо выводы об относительной реакционности радикалов R_1 и R_2 , независимо от величины n . Так, для реакций поливинилцетатного и полиметилакрилатного радикалов с ароматическими нитро-соединениями $n = 1$ (рис. 2), тогда как абсолютные значения констант скоростей для поливинилацетатного радикала на 2—3 порядка больше, чем для полиметилакрилатного радикала [2]. Исследование реакций присоединения метильного и этильного радикалов к ароматическим соединениям привело Смида и Шварца [5] к выводу об одинаковой реакционности этих радикалов на том основании, что $n = 1$ в уравнении (1). Абсолютные значения констант скоростей этих реакций неизвестны. Однако известные константы скорости присоединения этих радикалов к молекуле этилена в жидкой фазе. При 60° для метильного радикала константа равна 6800 л/моль сек [6], а для этильного радикала 1000 л/моль сек *. Эти данные дают основания считать, что реакционность метильного радикала больше реакционности этильного радикала.

Как указывалось выше, реакционность трифторметильного радикала значительно больше, чем реакционность метильного радикала, хотя n в уравнении (3) и, следовательно, в уравнении (1) равно единице.

Таким образом мы приходим к выводу, что гипотеза Шварца относительно величины n как характеристики реакционности радикалов теоретически не обоснована и не согласуется с опытными данными. В связи с этим возникает вопрос: каков физический смысл величины n в уравнениях (1) и (3)?

Уравнение (1) можно записать в следующей форме:

$$\Delta F_{R_1A_i}^\pm - \Delta F_{R_1A_0}^\pm = n(\Delta F_{R_2A_i}^\pm - \Delta F_{R_2A_0}^\pm), \quad (4)$$

где ΔF^\pm — свободные энергии активации соответствующих реакций. Как как

$$\Delta F^\pm = E - T\Delta S^\pm, \quad (5)$$

то получим

$$(\Delta F_{R_1A_i}^\pm - E_{R_1A_0}) - T(\Delta S_{R_1A_i}^\pm - \Delta S_{R_1A_0}^\pm) = n(E_{R_2A_i}^\pm - E_{R_2A_0}^\pm) - nT(\Delta S_{R_2A_i}^\pm - \Delta S_{R_2A_0}^\pm). \quad (6)$$

Для реакций, протекающих в жидкой фазе, широкое распространение имеет линейное соотношение, связывающее логарифм предэкспонента B с энергией активации:

$$\lg B = aE + c, \quad (7)$$

где a и c — константы.

Уравнение (7) можно записать в другой форме

$$T\Delta S^\pm = \beta E + \gamma, \quad (8)$$

где β и γ — постоянные при данной температуре. Из уравнения [8] следует

$$T\Delta\Delta S_{A_iA_0}^\pm = \beta\Delta E_{A_iA_0}, \quad (9)$$

где $\Delta\Delta S_{A_iA_0}^\pm$ и $\Delta E_{A_iA_0}$ означают изменения энтропии и энергии активации при переходе от молекулы A_0 к молекуле A_i в данном ряду однотипных реакций. Величина β часто меньше единицы, т. е. при переходе от од-

* Вычислено нами из данных работ [7] и [8].

ной молекулы к другой в данном ряду однотипных реакций, изменение энтропийного члена не полностью компенсирует влияние изменения энергетического члена в выражении для свободной энергии активации. В этом случае реакционность молекул A_i в данном ряду однотипных реакций в конечном счете определяется величиной энергии активации.

В то время как для жидкофазных органических реакций уравнения (8) и (9) имеют очень широкое применение *, применимость этих уравнений к газофазным реакциям менее ясна. Несомненно лишь, что β для газофазных реакций, как правило, меньше, чем для жидкофазных реакций, а в некоторых случаях, возможно, равно нулю, что означает постоянство предэкспонента (или энтропии активации) в данном ряду однотипных реакций. По-видимому, в большинстве случаев точность экспериментального определения энергии активации и предэкспонента для газовых реакций недостаточна для подтверждения уравнения (8) при малых значениях β .

Воспользовавшись равенством (9), уравнение (6) можно записать в следующем виде

$$(1-\beta_1) \Delta E_{R_1 A_i A_0} = n(1-\beta_2) \Delta E_{R_2 A_i A_0}, \quad (10)$$

где $\Delta E_{R_1 A_i A_0}$ означает изменение энергии активации при переходе от молекулы A_0 к молекуле A_i в реакциях с радикалом R_1 , аналогичный смысл имеет величина $\Delta E_{R_2 A_i A_0}$, β_1 и β_2 представляют величину β в реакциях с радикалами R_1 и R_2 .

Энергию активации, например $E_{R_1 A_i}$, можно представить как разность энергий переходного и начального состояний:

$$E_{R_1 A_i} = U_{R_1 A_i}^\ddagger - (U_{R_1} + U_{A_i}), \quad (11)$$

где $U_{R_1 A_i}^\ddagger$ — энергия переходного состояния, U_{R_1} и U_{A_i} — энергия радикала R_1 и молекулы A_i в начальном состоянии. Подставив в уравнение (10) вместо энергий активации разности энергий переходного и начального состояний согласно равенству (11), можно получить следующее выражение:

$$\frac{U_{R_1 A_i}^\ddagger - U_{R_1 A_0}^\ddagger}{U_{A_i} - U_{A_0}} - 1 = \frac{1-\beta_2}{1-\beta_1} n \left(\frac{U_{R_2 A_i}^\ddagger - U_{R_2 A_0}^\ddagger}{U_{A_i} - U_{A_0}} - 1 \right). \quad (12)$$

Величины $(U_{R_1 A_i}^\ddagger - U_{R_1 A_0}^\ddagger)/(U_{A_i} - U_{A_0})$ представляют отношение смещения уровня переходного состояния к смещению уровня начального состояния при переходе от молекулы A_0 к молекуле A_i в реакциях с радикалом R_1 . Эта дробь характеризует «восприимчивость» данной реакции к влиянию структурного фактора (например, заместителя) в однотипных молекулах. Аналогичный смысл имеет и дробь $(U_{R_2 A_i}^\ddagger - U_{R_2 A_0}^\ddagger)/(U_{A_i} - U_{A_0})$. Уравнение (12) связывает восприимчивости реакции с участием радикалов R_1 и R_2 . Обозначив восприимчивости реакций через δ_{R_1} и δ_{R_2} , запишем уравнение (12) в форме:

$$\frac{1-\beta_2}{1-\beta_1} n = \frac{\delta_{R_1} - 1}{\delta_{R_2} - 1}. \quad (13)$$

Рассмотрим случай, когда $\beta_1 = \beta_2$, в частности $\beta_1 = \beta_2 = 0$ — изоэнтропийные реакции. Тогда

$$n = \frac{\delta_{R_1} - 1}{\delta_{R_2} - 1}. \quad (14)$$

* Например, уравнение Гаммета ($\lg k/k_0 = \rho\sigma$) предполагает существование линейного соотношения (8).

оскольку n — положительная величина, восприимчивости обеих реакций должны быть или больше или меньше единицы. Для радикальных реакций является типичным случай, когда заместитель в валентнонасыщенной молекуле сильнее смещает уровень переходного состояния, чем начального [9, 10], т. е. $\delta_{R_1} > 1$ и $\delta_{R_2} > 1$. В этом случае при $n > 1$ восприимчивость реакции с участием радикала R_1 больше восприимчивости реакции с участием радикала R_2 . Однако могут быть случаи, когда $\delta_{R_1} < 1$ и $\delta_{R_2} < 1$. По-видимому, примером могут служить реакции взаимодействия полимерных радикалов с ароматическими нитросоединениями [2, 3]. В этом случае при $n > 1$, $\delta_{R_2} > \delta_{R_1}$. Если $n = 1$, то, очевидно, $\delta_{R_1} = \delta_{R_2}$. Если $n < 1$, то все указанные выше выводы сохраняются при перестановке местами δ_{R_1} и δ_{R_2} в уравнениях (13) и (14).

В общем случае, когда $\beta_1 \neq \beta_2$, восприимчивости реакций радикалов R_1 и R_2 связаны уравнением (13). Если, в частности, $n = 1$, то восприимчивости реакций определяются значениями β для соответствующих рядов реакций. Последний вывод не является удивительным, так как величина определяется типом реакции и природой радикала и не зависит от структурных особенностей молекул A_i в данном ряду однотипных молекул.

Необходимо иметь в виду, что β пропорциональна абсолютной температуре [из уравнений (7) и (8) следует: $\beta = aRT$]. Так как уровни начального переходного состояния практически от температуры не зависят, то из уравнения (13) следует зависимость n от температуры. Эта зависимость должна быть особенно резкой, когда β приближается к единице, что соответствует приближению к изокинетической температуре в смысле Лефлера [11]*.

Таким образом становится очевидным, что величина n в общем случае не имеет простого физического смысла и даже не является константой, характеризующей реакции радикалов R_1 и R_2 с данным рядом однотипных молекул. В частном случае, когда $\beta_1 = \beta_2$ (например, $\beta_1 = \beta_2 = 0$), n характеризует относительную восприимчивость реакций с участием радикалов R_1 и R_2 к влиянию структурного фактора в данном ряду однотипных молекул A_i .

Если реагирующие молекулы и радикалы являются углеводородами, то можно получить простую связь между реакционностью радикалов и восприимчивостью реакций с участием этих радикалов к структурному фактору.

Ранее было показано [9, 10], что энергия активации реакций присоединения радикала к двойной связи (или к ароматическому кольцу) можно представить полуэмпирическим уравнением

$$E = A - kf(Q_R Q_M), \quad (15)$$

где A и k — постоянные для однотипных реакций $f(Q_R \cdot Q_M)$ — функция от произведения коэффициентов реакционности радикала Q_R и молекулы Q_M ; коэффициенты реакционности численно равны коэффициентам сопряжения соответствующих молекулярных групп. Функция $f(Q_R Q_M)$ определена в графической форме и представляет энергию сопряжения в радикале, моделирующем переходное состояние. Величины Q_R и Q_M находятся из квантово-химических расчетных данных.

В практически интересной области $f(Q_R Q_M)$ может быть представлена в линейной форме

$$f(Q_R Q_M) = 1,20 Q_R Q_M + 0,27 \quad (16)$$

* Из уравнений (5) и (8) следует: $\Delta F^\ddagger = (1 - \beta)E - \gamma$. Если при температуре T_n $\beta = 1$, то для всех молекул A_i данного ряда ΔF^\ddagger и, следовательно, константы скорости становятся равными. Температура T_n по Лефлеру называется изокинетической. (Величина, обозначенная в статье Лефлера через β , имеет размерность температуры и в наших обозначениях равна T/β .)

(в единицах резонансного интеграла β). Теперь уравнение (15) можно записать в следующем виде

$$E = A' - k'Q_R Q_M, \quad (17)$$

где A' и k' — постоянные для данного ряда однотипных реакций. Как видно из уравнения (17), чем больше коэффициенты реакционности радикала и молекулы, тем меньше энергия активации. Таким образом находямая из квантово-химических расчетных данных величина Q_R характеризует реакционность углеводородного радикала. Уравнения (15) и (17) позволяют сравнивать между собой энергии активации, а также, при указанных выше допущениях, константы скорости реакций с участием различных радикалов. Предложенный метод квантово-химической характеристики реакционности молекул и радикалов существенно отличается от таких квантово-химических методов, как метод локализации или метод индексов свободной валентности, которые позволяют сравнивать только реакционности молекул и ничего не говорят о реакционности радикалов. Согласно уравнения (17) с опытными данными было рассмотрено раньше [9, 10, 12].

Из уравнений (10) и (17) следует

$$(1 - \beta_1)Q_{R_1} = n(1 - \beta_2)Q_{R_2}. \quad (18)$$

Из уравнений (13) и (18) получаем

$$\frac{Q_{R_1}}{Q_{R_2}} = \frac{\delta_{R_1} - 1}{\delta_{R_2} - 1}. \quad (19)$$

Так как для углеводородов $\delta_{R_1} > 1$ и $\delta_{R_2} > 1$ [9, 10], то из уравнения (19) следует, что чем больше реакционность углеводородного радикала, тем больше восприимчивость реакции с участием этого радикала к изменению структурного фактора в ряду однотипных молекул.

Рассмотрим теперь связь, которая существует между уравнением (1) и уравнением Гаммета

$$\lg \frac{k}{k_0} = \rho\sigma. \quad (20)$$

Так как структурная константа σ определяется равенством

$$\lg \frac{K_{BK}}{K_{BK_0}} = \sigma, \quad (21)$$

где K_{BK_0} — константа диссоциации бензойной кислоты, K_{BK} — константа диссоциации замещенной бензойной кислоты, то

$$\lg \frac{k}{k_0} = \rho \lg \frac{K_{BK}}{K_{BK_0}}. \quad (22)$$

Если написать уравнение Гаммета для двух реакций и исключить из этих уравнений σ , то получим

$$\lg \frac{k_1}{k_{10}} = \rho_{12} \lg \frac{k_2}{k_{20}}, \quad (23)$$

где k_{10} и k_{20} — константы скорости для незамещенных молекул и сравниваемых рядах молекул, $\rho_{12} = \rho_1/\rho_2$. Уравнения (22) и (23) внешне похожи на уравнение (1), но отличаются от него тем, что сравниваемые реакции, вообще говоря, не имеют общего ряда однотипных молекул. Поэтому свойства активных частиц (радикалов или ионов) в этих реакциях не могут быть непосредственно сопоставлены друг с другом. Если в обоих рядах реакций участвует один и тот же ряд молекул, то уравнение (23) становится частным случаем уравнения (1) и константа ρ_{12} приобретает тот же смысл, что и константа n .

Выводы

Показано, что предложенный Шварцем метод определения относительной реакционности радикалов по величине n в уравнении (1) теоретически обоснован и не согласуется с опытными данными. Предложено понятие о «восприимчивости» реакции с участием данного радикала (или иона) к влиянию структурного фактора (например, заместителя) в данном ряду родственных молекул.

В общем случае n не имеет простого физического смысла (так же как константа ρ в уравнении Гаммета). В частных случаях величина n характеризует относительную восприимчивость реакций с участием радикалов R_1 и R_2 к влиянию структурного фактора в общем ряду одноклассовых молекул, с которыми эти радикалы реагируют.

Физико-химический институт
им. Л. Я. Карпова

Поступила
29. IX.1958

ЛИТЕРАТУРА

- M. Levy, M. Szwarc, J. Amer. Chem. Soc., 77, 1949, 1955 (и последующие работы).
З. А. Синицына, X. С. Багдасарьян, Ж. физ. химии, 32, 2663, 1958.
З. А. Синицына, X. С. Багдасарьян, Ж. физ. химии, 34, 1110, 1960.
A. Trotman-Dickenson, Chem. and Industr., 37, 1243, 1957.
J. Smid, M. Szwarc, J. Amer. Chem. Soc., 78, 3322, 1956.
L. Mandelcorn, E. Steacie, Canad. J. Chem., 32, 474, 1955.
J. Pinder, D. Le Roy, Canad. J. Chem. 35, 588, 1957.
A. Shepp, K. Kutschke, J. Chem. Phys., 26, 1020, 1957.
X. С. Багдасарьян. Диссертация. Физ.-хим. ин-т им. Л. Я. Карпова, Москва, 1950.
X. С. Багдасарьян, Вопросы химической кинетики, катализа и реакционной способности, Изд-во АН СССР, Москва, 1955, стр. 59.
J. Lefler, J. Organic Chem., 20, 1202, 1955.
X. С. Багдасарьян, Теория радикальной полимеризации, Изд-во АН СССР, Москва, 1959, стр. 274.

ON THE RELATIVE REACTIVITY OF RADICALS

Kh. S. Bagdasaryan (Moscow)

Summary

The method proposed by Szwarc for determining the relative reactivities of radicals from the value for n in equation (1) lacks theoretical grounding and is in disagreement with results obtained experimentally. The concept has been proposed of the «susceptibility» of the reaction, with participation of a given radical (or ion), to the structural factor (for instance a substituent) in the series of given molecular species.

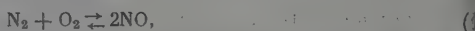
In the general case n lacks a simple physical meaning (just as the ρ constant of Hammett's equation). In particular cases the value for n characterizes the relative structural susceptibility of reactions with participation of the radicals R_1 and R_2 in the common series of molecular species with which these radicals react.

ФИЗИКО-ХИМИЯ КОНЦЕНТРИРОВАННОГО ОЗОНА

IX. ЗАВИСИМОСТЬ ВЫХОДА ОКИСИ АЗОТА ОТ ТЕМПЕРАТУРЫ
ВЗРЫВА ОЗОНО-АЗОТНЫХ СМЕСЕЙБ. В. Страхов, В. П. Егоров, В. П. Лебедев
и Н. И. Кобозев

Ранее авторами [1] было показано, что выход окиси азота при взрывном окислении в смесях азота с озоном проходит через максимум в зависимости от концентрации озона. При постоянных начальных давлениях (100 и 150 мм рт. ст.) максимум выхода лежит при 75—80 объемн. % озона. В этом случае положение максимума определялось совместным влиянием двух факторов — составом исходной смеси и температурой взрыва.

Если предположить, что конечный выход NO симбатен* с устанавливающимся при температуре взрыва равновесием:



и допустить, что при взрыве смесей различного состава, при постоянном начальном давлении, температуры взрыва одинаковы, то максимум выхода NO , как это показано на рис. 1, следовало бы ожидать при 40 объемн. % O_3 (что соответствует стехиометрической смеси 50% $\text{N}_2 + 50\%$ O_2 после взрыва).

Между тем температура взрыва растет с ростом концентрации озона. Ход температуры в зависимости от концентрации O_3 , вычисленный по приближенной формуле:

$$T_{\text{взр}} = T_0 + \frac{p_{\text{O}_3} Q_{\text{O}_3}}{p_{\text{N}_2} C_{\text{N}_2} + \frac{3}{2} p_{\text{O}_3} C_{\text{O}_2}} \quad (2)$$

(где T_0 — начальная температура смеси, p — парциальное давление, C — теплотемкость при постоянном объеме), показаны на рис. 2.

Таким образом на неизотермических кривых выход — состав исходной смеси положение максимума должно определяться составом смеси и температурой взрыва. На рис. 3 приведены результаты расчета с учетом обоих этих факторов. Значения констант равновесия для каждой из температур взяты из работы Е. Н. Еремина и А. Н. Мальцева [3]. Как видно, упрощенный расчет приводит к результатам, вполне согласующимся с опытными данными.

Для дальнейшего изучения процесса было интересно поставить серию экспериментов, в которых было бы исключено или влияние температур взрыва, или влияние состава исходной смеси. Для варьирования температуры взрыва при неизменном составе нами были использованы добавки к исходной смеси определенных количеств озона и метана, взятых в ст

* Для случая взрывного окисления азота в смесях с кислородом и горючим (CO , CH_4 , H_2) Я. Б. Зельдович, П. Я. Садовников и Д. А. Франк-Каменецкий [2] полагают, что выход полностью определяется равновесием при температуре взрыва. Однако как ранее уже указывалось [1], в случае системы $\text{O}_3 + \text{N}_2$ аномально высокие концентрации атомарного кислорода, могущие возникнуть при взрыве озона, возможно, могут повлиять на выход, поэтому в настоящей работе констатируется лишь «симбатность» выхода с равновесием.

ометрическом соотношении по уравнению:



ы предполагали, что, аналогично системам азот + кислород + горюе [2], в данном случае процесс окисления азота не связан с химическим

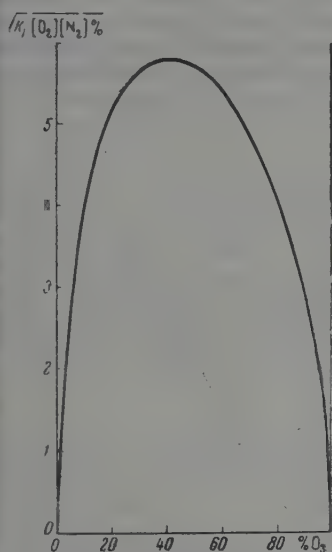


Рис. 1

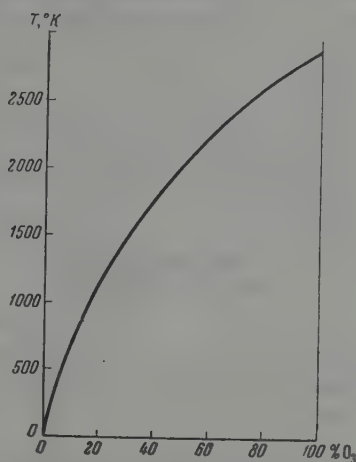


Рис. 2

ис. 1. Зависимость выхода NO от концентрации озона в смеси при постоянной температуре

ис. 2. Зависимость максимальной температуры взрыва от концентрации озона

ис. 3. Зависимость выхода NO от концентрации озона в смеси (расчитанная)

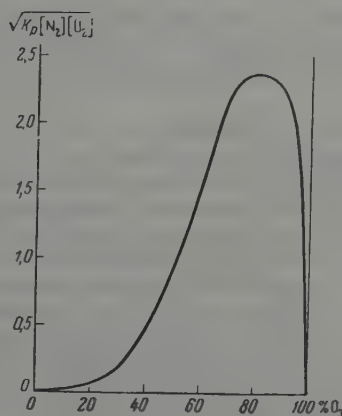


Рис. 3

еханизмом горения метана, хотя присутствие в смеси продуктов горения, возможно, каким-то образом и влияет на величину выхода окиси азота.

Парциальное давление метана вычислялось по формуле:

$$p_{\text{CH}_4} = \frac{(p_{\text{N}_2} C_{\text{N}_2} + \frac{3}{2} p_{\text{O}_3} C_{\text{O}_2}) (T_{\text{взр}} - T_0) - p_{\text{O}_3} Q_{\text{O}_3}}{258100 - (C_{\text{CO}_2} + 2C_{\text{H}_2\text{O}}) (T_{\text{взр}} - T_0)}, \quad (3)$$

де T_0 , p , C имеют тот же смысл, что и в формуле (2).

Экспериментальная часть

Опыты проводились на ранее описанной установке [1], дополненной системой для осушки метана и дозирочным баллоном, который отделился кранами от осушительной системы и взрывной пипетки. Давление метана в этом баллоне выбиралось таким образом, чтобы при открытии крана, отделявшего его от взрывной пипетки, при уравнивании давления в пипетку, ранее заполненную озono-азотной смесью, поступало нужное количество метана. После опыта содержимое пипетки анализировалось. В отличие от прежней методики [1], образовавшаяся двуокись азота окислялась до N_2O_5 не перекисью водорода, а озоном (см., например, [4]).

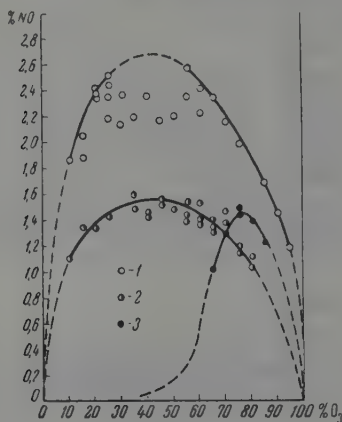


Рис. 4

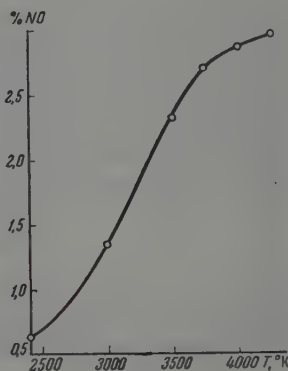


Рис. 5

Рис. 4. Изотермы выхода окиси азота: 1 — $T_{\text{взр}} = 3000^\circ \text{K}$; 2 — $T_{\text{взр}} = 3500^\circ \text{K}$; 3 — неизотермическая кривая по [1]

Рис. 5. Зависимость выхода NO от температуры взрыва

Для этого в пипетку впускался 6—8%-ный озонированный кислород. Образовавшаяся пятиокись азота растворялась в воде. Раствор, охлажденный после кипячения, необходимого для разложения растворенного в воде озона, титровался едким натром по фенолфталеину. Анализ озонированного кислорода, применявшегося для окисления NO_2 , показал, что окислы азота в нем практически отсутствовали. Сравнение аналитических данных, полученных старым и новым методами, показало хорошую сходимость результатов. Метан, применявшийся для приготовления смеси, предварительно очищался пропусканием через промывные склянки с щелочным раствором пирогаллола, аммиачным раствором Cu_2Cl_2 и с бромной водой, а также через трубчатую печь с окисью меди и колонки с твердым едким кали.

Зависимость выхода окиси азота от состава при постоянной температуре взрыва. На рис. изображены изотермы выхода окиси азота, соответствующие температурам взрыва 3000 и 3500° K при начальном давлении 100 мм рт. ст. (без учета добавки $CH_4 + \frac{4}{3}O_3$). Кривые имеют однотипный характер и достигают максимума при концентрации озона около 40 объемн.%. Максимальный выход в опытах с температурой 3000° K равен приблизительно 1,5%, а при температуре 3500° K — 2,6 объемн.%. Для сравнения на том же рисунке изображена ранее полученная кривая [1], снятая для смеси озон + азот при начальном давлении 100 мм рт. ст. Максимальное значение выхода NO (75% O₃), $T_{\text{взр}} = 2350^\circ \text{K}$, приблизительно равно максималь-

му значению на изотерме при $T_{\text{взр}} = 3000^\circ \text{K}$. То, что в данном случае который выигрыш в температуре не дает заметного увеличения выхода окиси азота, можно объяснить тормозящим действием продуктов горения. Окисление азота, проведенное в одних и тех же условиях (с добавками метана), дает увеличение выхода более чем в 1,5 раза при увеличении температуры на 500° . Таким образом полученные результаты хорошо согласуются со сделанным предположением о симбатности выхода окиси азота с равновесием (1) при температуре взрыва, из которого следует, что максимальные выходы NO должны лежать при 75% O_3 для озono-азотных смесей и при 40% O_3 в изотермических опытах.

Зависимость выхода NO от температуры взрыва при постоянном составе исходной смеси. На рис. 5 изображена зависимость выхода NO от температуры взрыва для смеси 65% $\text{O}_3 + 35\% \text{N}_2$ при начальном давлении 100 мм рт. ст. Выход NO быстро растет в интервале $3000-3800^\circ \text{K}$. Дальше возрастание выхода идет более медленно. При температуре взрыва 4250°K выход NO достигает 2,9 объемн.%. Имеет ли кривая максимум, выяснить не удалось, так как взрывная пипетка (диаметр 44 мм, объем 1 л) разрушилась при взрыве смеси с температурой взрыва 4500°K .

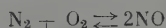
Следует отметить, что выходы NO еще далеки от термодинамически равновесных при температуре взрыва.

Выводы

1. Изучена зависимость выхода NO от состава смеси при постоянной температуре взрыва при начальном давлении 100 мм рт. ст. Показано, что выход окиси азота проходит через максимум при концентрации озона смеси, равной 40%.

2. Изучена зависимость выхода NO от температуры взрыва при постоянном составе смеси (65% $\text{O}_3 + 35\% \text{N}_2$). Показано, что выход растет от 0,6% при 2500°K до 3% при 4250°K , т. е. при изменении температуры в 1,7 раза выход окиси азота увеличивается в пять раз.

3. Экспериментальные данные могут быть объяснены из предположения, что конечный выход окислов азота симбатен с термодинамическим равновесием



и температуре взрыва.

Московский государственный университет
им. М. В. Ломоносова

Поступила
5.X.1958

ЛИТЕРАТУРА

- Н. И. Кобозев, В. П. Лебедев, Б. В. Страхов, Г. И. Зыкова, Ж. физ. химии, 31, 2547, 1957.
Я. Б. Зельдович, П. Я. Садовников, Д. А. Франк-Каменецкий, Окисление азота при горении, Изд-во АН СССР, М.—Л., 1947.
Е. Н. Еремин, А. Н. Мальцев, Ж. физ. химии, 30, 1179, 1956.
H. J. Schumacher, G. Sprenger, Z. phys. Chem. (A), 136, 77, 1928.

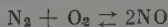
THE PHYSICAL CHEMISTRY OF CONCENTRATED OZONE

IX. THE DEPENDENCE OF THE YIELD OF NITRIC OXIDE ON THE EXPLOSION TEMPERATURE OF OZONE-NITROGEN MIXTURES

B. V. Strakhov, V. P. Egorov, V. P. Lebedev, N. I. Kobozev (Moscow)

Summary

The dependence of the nitric oxide yield on the explosion temperature in the explosive oxidation of nitrogen-ozone mixtures has been investigated. The explosion temperature was controlled by introducing in the explosion pipette stoichiometric methane-ozone mixtures. It was found that at constant temperature the maximum yield with respect to composition occurs at 40% per volume O_3 . The yield of nitrogen oxide at constant composition (65% $\text{O}_3 + 35\% \text{N}_2$) increases from 0.6% at 2500°K to 3% at 4250°K . The experimental data may be explained by assuming that the yield is parallel to the thermodynamical equilibrium



at the temperature of the explosion.

ВЫВОД УРАВНЕНИЯ КИНЕТИКИ РЕАКЦИИ ГИДРИРОВАНИЯ БЕНЗОЛА ВОДОРОДОМ В ПРИСУТСТВИИ ПАЛЛАДИЕВЫХ КАТАЛИЗАТОРОВ

И. М. Колесников

Исследование кинетики реакции гидрирования бензола и других ароматических углеводородов в проточной системе при повышенном и атмосферном давлении в присутствии палладиевых катализаторов нанесенных на носители, проводилось А. В. Фростом с сотрудниками [1—6]. Однако им не удалось теоретически вывести уравнение кинетики, которое было бы пригодно для объяснения опытных данных. Уравнение, удовлетворительно описывающее процесс гидрогенизации бензола водородом в твердых контактах в проточных условиях, можно получить при помощи теории, разработанной Г. М. Панченковым [7, 8].

Общее уравнение кинетики для гетерогенной каталитической реакции имеет вид:

$$w = n_1 \frac{dx}{S_0 dl}, \quad (1)$$

где w — скорость реакции; n_1 — число грамм-молекул исходного вещества поступающего в реактор; S_0 — площадь катализатора на единицу длины слоя по направлению потока; x — степень превращения; dl — элемент длины реакционной зоны.

Для большинства гетерогенных каталитических реакций скорость возникновения и исчезновения реагентов зависит от степени заполнения поверхности; при определении поверхности, занятой реагирующими веществами, пользуются обычно адсорбционной изотермой Лэнгмюра. Для гетерогенной каталитической реакции, протекающей в кинетической области, можно написать:

$$w = n_1 \frac{dx}{S_0 dl} = k' \prod_{i=1}^n \sigma_{A_i}^{v_i}, \quad (2)$$

где k' — константа скорости реакции; v_i — стехиометрические коэффициенты; σ_{A_i} — поверхность, занятая реагентом A_i , на единице площади катализатора.

В данной работе выведено уравнение кинетики бимолекулярной необратимой гетерогенной каталитической реакции и при помощи найденного уравнения обработаны опытные данные, взятые из работы [5], по гидрированию бензола водородом на палладиевых катализаторах.

Предположим, что реакция гидрирования бензола водородом протекает по схеме:



где A — бензол, B — водород, C — циклогексан, k' — константа скорости реакции, v — стехиометрический коэффициент. Пусть скорость, с которой будут реагировать вещества A и B , определится как

$$n_1 \frac{dx}{S_0 dl} = k' \sigma_A \sigma_B, \quad (4)$$

де σ_A, σ_B — доли поверхности катализатора, занятые веществами А и В. Полагая, что адсорбция мономолекулярная, запишем (4) в виде:

$$n_1 \frac{dx}{S_0 dl} = \frac{k' b_A b_B p_A p_B}{(1 + b_A p_A + b_B p_B + b_C p_C)^2} \quad (5)$$

де b_A, b_B, b_C — адсорбционные коэффициенты, а p_A, p_B, p_C — парциальные давления вещества А, В и С соответственно. Уравнение (5) имеет вид, неудобный для его дальнейших использований. Преобразуем его так, чтобы получить парциальные давления как функцию от x .

Если в реактор подается n_1 грамм-молекул вещества А и n_2 — грамм-молекул вещества В, то в сечении реактора, отвечающем степени превращения x на расстоянии l от начала реакционной зоны, получим следующие количества реагентов:

$$\begin{aligned} \text{А (бензол)} & n_1 (1 - x); \\ \text{В (водород)} & n_1 (\gamma - vx); \\ \text{С (циклогексан)} & n_1 x, \end{aligned} \quad (6)$$

де $\gamma = n_2/n_1$ есть отношение числа грамм-молекул водорода к числу молекул бензола. Общее число молекул веществ в этом сечении будет равно

$$\sum n = n_1 (1 + \gamma - vx). \quad (7)$$

Выразим парциальные давления в виде $f(x)$.

По закону Дальтона

$$\frac{P_{A_i}}{P} = \frac{n_i}{\sum n}. \quad (8)$$

— общее давление.

Подставив (6) и (7) в (8), а (8) в (5), найдем,

$$n_1 \frac{dx}{S_0 dl} = \frac{k' b_A b_B P^2 (1 - x) (\gamma - vx)}{[1 + \gamma + b_A P + b_B P \gamma - (v + b_A P + b_B v P - b_C P)x]^2}. \quad (9)$$

Обозначив через

$$\beta = \frac{v + b_A P + b_B v P - b_C P}{1 + \gamma + b_A P + b_B P \gamma}, \quad (9a)$$

$$k_1 = \frac{k' b_A b_B P^2 S_0}{(1 + \gamma + b_A P + b_B P \gamma)^2}, \quad (9b)$$

введя эти обозначения в (9), получим

$$n_1 \frac{dx}{dl} = \frac{k_1 (1 - x) (\gamma - vx)}{(1 - \beta x)^2}. \quad (10)$$

После разделения переменных и интегрирования (10) имеем

$$\beta^2 x + \frac{v(\beta - 1)^2}{v - \gamma} \ln(1 - x) + \frac{(\beta \gamma - v)^2}{(\gamma - v)v} \ln \frac{\gamma - vx}{\gamma} = \frac{k_1 v}{n_1}, \quad (11)$$

де $k_1 = kl$.

Уравнение (11) значительно упрощается из условия рассмотрения адсорбции реагирующих веществ.

1. Если водород адсорбируется так, что выполняется неравенство

$$v + b_A P - b_C P \ll b_B v P \gg 1 + \gamma + b_A P, \text{ то}$$

$$\beta = \frac{v}{\gamma}; \quad k_2 = \frac{k_1' b_A S_0 l}{b_B};$$

и тогда выражение (11) приобретает вид

$$vx + \gamma^2(v - \gamma) \ln(1 - x) = \frac{k_2}{n_1}, \quad (12)$$

при $\gamma = v$ получим

$$x = \frac{k_2}{n_1}. \quad (12_1)$$

2. Если адсорбция бензола намного превышает адсорбцию водорода и циклогексана, т. е.

$$v + b_A v P - b_C P \ll b_A P \gg 1 + \gamma + b_B P \gamma,$$

то

$$\beta = 1, \quad k_3 = \frac{k'_1 b_B S_0 l}{b_A},$$

и тогда из (11) получим

$$\frac{x}{v} + \frac{(\gamma - v)}{v^2} \ln \left(\frac{\gamma - vx}{\gamma} \right) = \frac{k_3}{n_1}, \quad (13)$$

а при $\gamma = v$ имеем

$$\frac{x}{v} = \frac{k_3}{n_1}. \quad (13_1)$$

3. При условии слабой адсорбции всех веществ, т. е., когда

$$v \gg b_A P + b_B v P - b_C P \text{ и } 1 + \gamma \gg b_A P + b_B P \gamma, \quad (13_2)$$

$$\beta = \frac{v}{1 + \gamma} \text{ и } k_4 = \frac{k' b_A b_B P^2 S_0 l}{(1 + \gamma)^2}.$$

С учетом (13₂) из (11) получим после подстановки значений β и k_4 :

$$\frac{v^2}{(1 + \gamma)^2} x + \frac{(v - \gamma - 1)^2 v}{(1 + \gamma)(v - \gamma)} \ln(1 - x) + \frac{v^2}{(1 + \gamma)^2 (\gamma - v) v} \ln \left(\frac{\gamma - vx}{\gamma} \right) = \frac{k_4}{n_1}; \quad (14)$$

при $\gamma = v$ решение уравнения (10) позволяет получить

$$\frac{v}{(1 + \gamma)^2} x + \frac{(v - 1 - \gamma)^2}{v(1 + \gamma)(1 - x)} + \frac{2(v - 1 - \gamma)}{(1 + \gamma)^2} \ln(1 - x) = \frac{k_4}{n_1}. \quad (14_1)$$

4. При условии сильной адсорбции всех участников реакции, когда

$$v \ll b_A P + b_B v P - b_C P \text{ и } 1 + \gamma \ll b_A P + b_B P \gamma$$

$$\beta_1 = \frac{b_A P + b_B v P - b_C P}{b_A P + b_B \gamma P} \text{ и } k_5 = \frac{k' b_A b_B S_0 l}{(b_A P + b_B P \gamma)^2},$$

из уравнения (11) получаем

$$\beta_1^2 x + \frac{v(\beta_1 - 1)^2}{v - \gamma} \ln(1 - x) + \frac{(\beta_1 \gamma - 1)^2}{(\gamma - v) v} \ln \frac{\gamma - vx}{\gamma} = \frac{k_5}{n_1}. \quad (15)$$

Для обработки опытных данных по гидрированию бензола водородом на палладиевых катализаторах, взятых из работы [5], нами были использованы выражения (12), (12₁), (13), (13₁), (14), (14₁) и (15). При этом оказалось, что удовлетворительное постоянство кажущихся констант скорости можно получить только по уравнениям (13) и (13₁). В табл. 1 — приводятся значения кажущихся констант скоростей, рассчитанные по уравнениям (13) и (13₁), для реакции гидрирования бензола водородом на катализаторах, содержащих палладий (в вес. %), 1 — 1,41%; 2 — 1,03%; 3 — 0,49%; 4 — 0,18%. Катализатор приготовлялся нанесением палладия на силикагель. Опыты в работе [5] были проведены при 168° и атмосферном давлении.

При использовании уравнений (13) и (13₁) нами принималось $\gamma = 3$. Значение кажущейся константы скорости объясняется тем, что выходы гидрированного продукта были вычислены с некоторой неточностью. Вероятное значение кажущейся константы скорости реакции должно быть около 5 ммоль/см³·час.

Таблица 1

Значение кажущейся константы скорости реакции гидрирования бензола водородом на свежем катализаторе 1

Число ммолей бензола, подаваемого в реактор в час, n_1	$\gamma = \frac{n_2}{n_1}$	Степень превращения x , доли	Кажущаяся константа скорости реакции k_3 , ммоль/см ³ ·час
11	0,8	0,238	6,25
11	1,0	0,288	6,02
11	1,4	0,371	4,43
11	1,6	0,405	3,97
11	1,7	0,442	4,04
11	2,5	0,518	2,49
11	3,0	0,547	2,01
k_3 среднее = 4,18			

Нами проводилась обработка опытных данных, полученных в работе [5], по уравнениям (13) и (13₁) как для свежих катализаторов, так для «утомленных», т. е. уже проработавших некоторое время. В табл. 2 приводятся значения кажущихся констант скорости реакции гидрирования бензола водородом, рассчитанных для опытов, проводившихся на свежем и «утомленном» катализаторах. При этом видно, что уменьшение активности катализатора привело к снижению кажущейся константы скорости реакции гидрирования бензола водородом по сравнению со свежим катализатором в 1,5 раза.

Таблица 2

Зависимость степени превращения бензола на катализаторе 2 от объемной скорости

Число ммолей бензола, подаваемого в реактор в час, n_1	$\gamma = \frac{n_2}{n_1}$	Степень превращения x , доли	Кажущаяся константа скорости реакции k_3 , ммоль/см ³ ·час
«Свежий» катализатор			
11	3,0	0,147	0,540
11	3,0	0,148	0,544
11	3,0	0,145	0,534
18	3,0	0,092	0,553
33	3,0	0,046	0,507
k_3 средн. = 0,535			
«Утомленный» катализатор			
9	3,33	0,127	0,351
11	3,0	0,093	0,342
11	2,74	0,093	0,374
18	2,69	0,060	0,394
33	2,97	0,031	0,344

k_3 средн. 0,361

Аналогичные расчеты были проведены и для опытов, полученных на свежем и «утомленном» катализаторах 3, которые приводятся в табл. 3.

Таблица 3

Значение кажущейся константы скорости реакции гидрирования бензола водородом на катализаторе 3

Число ммоль бензола, подаваемого в реактор в час, n_1	$\gamma = \frac{n_2}{n_1}$	Степень превращения x , доли	Кажущаяся константа скорости реакции k_3 , ммоль/см ³ час
«Свежий» катализатор			
9	3,0	0,075	0,0225
11	3,0	0,061	0,224
11	3,0	0,060	0,220
18	3,22	0,038	0,229
33	2,97	0,020	0,221
			k_3 средн. 0,223
«Утомленный» катализатор			
11	3,0	0,028	0,102
11	3,0	0,030	0,110
18	2,67	0,018	0,108
33	2,97	0,009	0,105
			k_3 средняя = 0,105

Активность «свежего» катализатора 3, содержащего палладий, почти в два раза меньше, чем в «свежем» катализаторе 2, уменьшилась в 2,4 раза. Активность «утомленного» катализатора уменьшилась также в два раза, по сравнению со «свежим» у образца 3 и в 1,5 раза у образца 2, отсюда следует, что катализатор, содержащий меньше палладия, утомляется сильнее.

В табл. 4 приводится значение кажущейся константы скорости, определенной для опытов, полученных на катализаторе 4.

Таблица 4

Кинетика гидрирования бензола водородом в присутствии «свежего» катализатора 4

Число ммоль бензола, подаваемого в реактор в час, n_1	$\gamma = \frac{n_2}{n_1}$	Степень превращения бензола x , доли	Кажущаяся константа скорости реакции k_3 , ммоль/см ³ час
11	1,0	0,0354	0,398
14	3,3	0,0678	0,278
14	3,3	0,0678	0,278
18	1,6	0,0283	0,313
33	2,4	0,0179	0,247
33	3,3	0,0185	0,244
			k_3 среднее = 0,294

Из рассмотрения данных табл. 1—4 следует, что проведенные нами расчеты подтверждают пригодность уравнений (13) и (13₁) для обработки опытных данных по гидрированию бензола водородом в присутствии палладиевых катализаторов, при осуществлении процесса в проточной системе. Установленная закономерность не изменяется с отравлением или «утомлением» катализатора. Сравнение кажущихся констант скорости, рассчитанных по уравнениям (13) и (13₁) для реакции гидрирования бен

ла водородом на катализаторах, содержащих различное количество палладия, показывает, что по мере уменьшения палладия в катализаторе кажущаяся константа скорости снижается. Таким образом наличие сведений по значениям кажущихся констант скоростей позволяет оценить активность катализатора и его поведение в условиях опыта.

Выводы

1. Выведено уравнение бимолекулярной необратимой гетерогенной каталитической реакции, и по найденному кинетическому уравнению работаны опытные данные, приведенные в работе [5].
2. Показано, что адсорбция бензола на катализаторе велика и намного превышает адсорбцию водорода и циклогексана.
3. «Утомляемость» катализатора, содержащего меньший процент палладия, выше, чем катализатора с большим содержанием палладия. Это легко определяется из сравнения кажущихся констант скоростей реакции.
4. Проведенные выше рассуждения показывают возможность применимости представлений об однородности каталитической поверхности палладия в отношении ее действия на реакцию гидрирования бензола водородом.

Московский институт нефтехимической и газовой промышленности им. И. М. Губкина

Поступила
8.X.1958

ЛИТЕРАТУРА

- А. А. Алчуджан, А. А. Введенский, В. Р. Жаркова, А. В. Фрост, Ж. общ. химии, 4, 1168, 1934.
Д. П. Добычин, А. В. Фрост, Ж. физ. химии, 7, 742, 1936.
А. А. Введенский, Р. К. Добронравов, Ж. общ. химии, 16, 71, 1946.
А. А. Алчуджан, А. А. Введенский, А. В. Фрост, Ж. общ. химии, 18, 268, 1948.
В. М. Грязнов, Л. К. Усова, А. В. Фрост, Вестн. МГУ, № 3, 107, 1949; А. В. Фрост. Тр. по кинетике и катализу, Изд-во АН СССР, Москва, 1956, стр. 86.
В. М. Грязнов, С. С. Юфит, А. В. Фрост. Вестн. МГУ, № 6, 35, 1950.
Г. М. Панченков, Ж. физ. химии, 22, 209, 1948; 26, 454, 1952; Уч. зап. МГУ, вып. 174, 53, 1955.
Г. М. Панченков, И. М. Колесников, Сб. Межвузовского совещания, Переработка нефти, Гостоптехиздат, Москва, 1958, стр. 39.

DERIVATION OF AN EQUATION FOR THE KINETICS OF HYDROGENATION OF BENZENE BY HYDROGEN IN THE PRESENCE OF PALLADIUM CATALYSTS

I. M. Kolesnikov (Moscow)

Summary

An equation has been derived for an irreversible bimolecular heterogeneous catalytic reaction and has been applied to the experimental results presented in [5] on the hydrogenation of benzene by hydrogen in a flow system in the presence of palladium catalysts. The adsorption of benzene on the catalyst has been shown to be considerable, greatly exceeding that of hydrogen and cyclohexane. The «fatiguability» of the catalyst containing a small per cent of palladium is higher than that with a large percentage. This is easily seen from a comparison of the apparent reaction constants. A discussion has shown the applicability of the concept as to uniformity of the catalytic surface of palladium with respect to the hydrogenation of benzene by hydrogen.

ИССЛЕДОВАНИЕ ПРЕВРАЩЕНИЯ ГИДРАТНЫХ ФОРМ
СОЛЕЙ В РАСТВОРЕ МЕТОДОМ ЭЛЕКТРОПРОВОДНОСТИ*Б. Ф. Марков и Н. Х. Туманова*

Во многих случаях, как известно, из водного раствора соль выкристаллизовывается в виде различных кристаллогидратов в зависимости от температуры и состава раствора. Температуре, разграничивающей области выпадения различных кристаллогидратов, на линии насыщения отвечает особая точка, которая одновременно является температурой превращения кристаллогидратов.

Следует допустить, что растворы, примыкающие к областям выпадения кристаллогидратов, будут иметь существенно различные свойства. Среди различных свойств растворов солей структура раствора является главным, поскольку ею обусловлены многие физико-химические свойства раствора. Структурные данные о водных растворах солей были получены, преимущественно, при их рентгенографическом исследовании. Рентгенографические исследования разбавленных растворов привели к выводу, что таким растворам свойственна структура воды, хотя растворенная соль вносит некоторые искажения структуры растворителя.

Структура же концентрированных и в том числе насыщенных растворов имитирует структуру кристаллогидрата, выделяющегося из насыщенного раствора [1, 2]. Например, по А. Ф. Скрышевскому [3]... «Координационное число иона лития и радиус координационной сферы в расплавленных кристаллогидратах $\text{LiCl} \cdot 2\text{H}_2\text{O}$ и $\text{LiCl} \cdot 3\text{H}_2\text{O}$ близки к соответствующим элементам в твердых кристаллогидратах».

Следовательно, по структурному признаку жидкие растворы в системе вода — соль можно разбить на три области: область структуры водного раствора [1, 2]. Например, по А. Ф. Скрышевскому [3]... «Координационное число иона лития и радиус координационной сферы в расплавленных кристаллогидратах $\text{LiCl} \cdot 2\text{H}_2\text{O}$ и $\text{LiCl} \cdot 3\text{H}_2\text{O}$ близки к соответствующим элементам в твердых кристаллогидратах». Следовательно, по структурному признаку жидкие растворы в системе вода — соль можно разбить на три области: область структуры водного раствора с ростом температуры; при этом температура превращения кристаллогидратов одновременно должна быть границей, разделяющей концентрированные растворы различной структуры. В соответствии с этим вероятно, что полимеры какого-либо физико-химического свойства будут иметь особые точки (или участки), приблизительно отвечающие температуре превращения в твердой фазе.

Поскольку структура концентрированных растворов солей отвечает структуре кристаллогидратов, то следует ожидать изменения структуры раствора с ростом температуры; при этом температура превращения кристаллогидратов одновременно должна быть границей, разделяющей концентрированные растворы различной структуры. В соответствии с этим вероятно, что полимеры какого-либо физико-химического свойства будут иметь особые точки (или участки), приблизительно отвечающие температуре превращения в твердой фазе.

С повышением температуры одна гидратная форма соли будет заменяться другой гидратной формой; при этом переход будет происходить в относительно узком температурном интервале.

Для обнаружения превращения гидратных форм солей в растворе пригоден измерение электропроводности, поскольку перестройка гидратной оболочки ионов вызывает изменение их подвижности.

В данной статье приводятся результаты измерения электропроводности концентрированных растворов солей в дополнение к ранее опубликованным данным [7], которые подтверждают высказанные выше предположения.

Экспериментальная часть

Измерение электропроводности растворов производилось в широком температурном интервале для составов, расположенных вблизи тройной точки (раствор — кристаллогидрат I — кристаллогидрат II). Для расширения диапазона температуры в ряде случаев измерялась электропроводность пересыщенных растворов.

Для приготовления растворов применялись химически чистые соли, дополнительно перекристаллизованные. Насыщенный при определенной температуре раствор заливался в чашку, которая находилась в термостате при несколько повышенной температуре. Электропроводность измерялась приблизительно через один градус, при этом раствор каждый раз термостатировался в течение 10 мин.

Раствор $\text{CoCl}_2 \cdot 6\text{H}_2\text{O}$, насыщенный при 25,3 и 35°. По диаграмме растворимости [8] шестиводный кристаллогидрат при 47,5° превращается в четырехводный, который переходит в двухводный при 56,5°. Образование четырехводного кристаллогидрата, однако, не подтверждено измерениями давления ассоциации кристаллогидратов [8], тем самым является сомнительным существование $\text{CoCl}_2 \cdot 4\text{H}_2\text{O}$. Полимер электропроводности (кривая 1 рис. 2)* представляется двумя прямыми, расположенными под углом друг к другу и пересекающимися приблизительно при 48°; при 56,5° не наблюдается изменения температурного коэффициента электропроводности. Следовательно, в растворе реализуется переход гидратных форм, отвечающий превращению кристаллогидрата $\text{CoCl}_2 \cdot 6\text{H}_2\text{O}$ в $\text{CoCl}_2 \cdot 2\text{H}_2\text{O}$.

Несомненно, нельзя отождествлять гидратные формы солей в растворе соответствующими кристаллогидратами. Как известно, кристаллогидраты $\text{CoCl}_2 \cdot 6\text{H}_2\text{O}$ и $\text{CoCl}_2 \cdot 2\text{H}_2\text{O}$ различаются по цвету: первый из них розовый, второй — фиолетового цвета. Примечателен тот факт, что изменение краски раствора с ростом температуры происходит в этой же последовательности от розового к фиолетовому и, наконец, синему. Изменение окраски раствора при нагревании является ярким качественным подтверждением перехода гидратных форм соли в растворе [9].

На рис. 2 нанесены политермы электропроводности растворов $\text{CoCl}_2 \cdot 6\text{H}_2\text{O}$, полученные насыщением при 25 и 30° (кривые 3 и 2 соответственно). В этих случаях изломы на политерме выражены слабее, а точка пересечения несколько смещается в сторону более низкой температуры, что следует приписать влиянию воды с разбавлением.

Раствор $\text{Na}_2\text{SO}_4 \cdot 7\text{H}_2\text{O}$, насыщенный при 20 и 30°. По диаграмме растворимости [10] семиводный кристаллогидрат при 34°

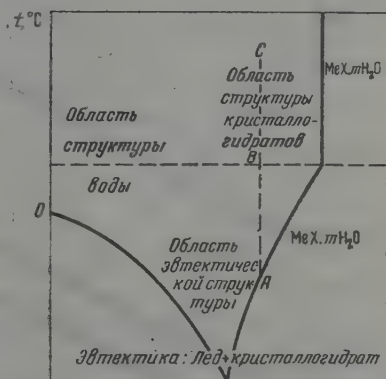


Рис. 1. Фазовая диаграмма системы вода — соль

* Величина кружков на рисунках примерно отвечает точности измерения электропроводности ($\pm 0,3\%$).

превращается в безводную соль. Ранее [7] было найдено, что для раствора, полученного насыщением при 22° , этот переход отображается изгибом на политерме электропроводности, приблизительно при температуре превращения. Повторные измерения с растворами, насыщенными при 20 и 30° , подтвердили прежний результат. Как и в предыдущей системе, по мере приближения к тройной точке превращение гидратных форм все более четко отображается на политерме электропроводности.

Раствор $\text{Na}_2\text{SO}_4 \cdot 10\text{H}_2\text{O}$, насыщенный при 22 , 25 и 30° . По диаграмме растворимости $\text{Na}_2\text{SO}_4 \cdot 10\text{H}_2\text{O}$ обезвоживается при $32,4^\circ$.

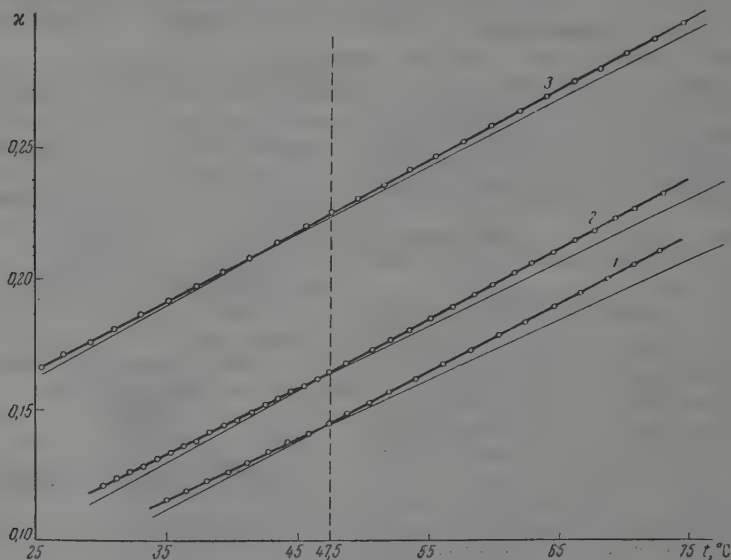


Рис. 2. Зависимость электропроводности от температуры: 1 — раствор $\text{CoCl}_2 \cdot 6\text{H}_2\text{O}$, насыщенный при 35° ; 2 — при 30° ; 3 — при 25°

[11]. Политерма электропроводности для раствора, насыщенного при 22° имеет четко выраженный излом при $32-32,5^\circ$, как видно на рис. 3. Для растворов, насыщенных при 25 и 30° , политермы электропроводности имеют аналогичный вид; также по мере приближения к тройной точке излом политермы становится все более выраженным.

Раствор $\text{Na}_2\text{CO}_3 \cdot 10\text{H}_2\text{O}$, насыщенный при 33° . По диаграмме растворимости десятиводной кристаллогидрат превращается в семиводный при $31,7^\circ$, а последний в одноводный при $35,4^\circ$ ([11], стр. 670). Оба эти перехода отобразились на политерме электропроводности раствора, насыщенного при 33° , в виде двух перегибов, приходящихся приблизительно на 31 и 35° (рис. 4). В предыдущем исследовании [7] перегиб изотермы электропроводности был обнаружен при 35° для раствора, насыщенного при 22° .

Раствор $\text{Cu}(\text{NO}_3)_2 \cdot 6\text{H}_2\text{O}$, насыщенный при $23,5^\circ$. По диаграмме растворимости $\text{Cu}(\text{NO}_3)_2 \cdot 6\text{H}_2\text{O}$ переходит в $\text{Cu}(\text{NO}_3)_2 \cdot 3\text{H}_2\text{O}$ при $24,5^\circ$ ([11], стр. 657). Поскольку насыщение раствора производилось вблизи тройной точки, часть измерений электропроводности выполнена для пересыщенных растворов, легко получаемых в этом случае. Политерма электропроводности состоит из двух отрезков, пересекающихся при $24,5^\circ$, что отвечает также температуре превращения кристаллогидрата (рис. 5).

Раствор $\text{LiNO}_3 \cdot 3\text{H}_2\text{O}$, насыщенный при 28° . По диаграмме растворимости ([11], стр. 664) $\text{LiNO}_3 \cdot 3\text{H}_2\text{O}$ переходит в $\text{LiNO}_3 \cdot \frac{1}{2}\text{H}_2\text{O}$ при $29,6^\circ$. Политермы электропроводности раствора, насыщенного при 8° , претерпевают излом приблизительно при температуре перехода кристаллогидратов (рис. 6).

Раствор $\text{Sr}(\text{NO}_3)_2 \cdot 4\text{H}_2\text{O}$, насыщенный при 30° . По диаграмме растворимости ([11], стр. 683) четырехводный кристаллогидрат при $31,3^\circ$ превращается в безводную соль. По прежним измерениям [7] на политерме электропроводности раствора, полученного насыщением при 20° , наблюдается четкий излом при 31° . Измерения с раствором, полученным насыщением при 30° , т. е. близки тройной точки, подтвердили переход гидратных форм соли в растворе.

Раствор $\text{Ca}(\text{NO}_3)_2 \cdot 4\text{H}_2\text{O}$, насыщенный при 38° . По диаграмме растворимости ([11], стр. 644) четырехводный кристаллогидрат превращается в двоводный при 42° . В растворе, полученном насыщением при 38° , этому переходу соответствует излом политермы электропроводности.

Раствор $\text{NaBr} \cdot 2\text{H}_2\text{O}$, насыщенный при 49° . По диаграмме растворимости ([11], стр. 670) двухводный кристаллогидрат при $50,7^\circ$ превращается в безводную соль. Соответствующий переход гидратных форм в растворе проявляется в изгибе политермы электропроводности, когда раствор получен насыщением при 20° [7] или при 49° , т. е. вблизи тройной точки.

Раствор $\text{NaJ} \cdot 2\text{H}_2\text{O}$, насыщенный при 63° . По диаграмме растворимости ([11], стр. 673) двухводный кристаллогидрат превращается при 65° в безводную соль. Политерма электропроводности для раствора, полученного насыщением при 65° , имеет перегиб при $65-66^\circ$ (рис. 7), свидетельствуя о превращении гидратных форм в растворе.

Раствор $\text{Na}_2\text{CrO}_4 \cdot 4\text{H}_2\text{O}$, насыщенный при 66° . По диаграмме растворимости ([11], стр. 670) четырехводный кристаллогидрат при 68° превращается в безводную соль. Соответствующий переход гидратных форм в растворе проявляется в хорошо выраженном изгибе политермы электропроводности раствора, полученного насыщением как при 50° [7], так и при 66° , т. е. вблизи тройной точки.

Раствор $\text{MnSO}_4 \cdot 5\text{H}_2\text{O}$, насыщенный при 22° . По диаграмме растворимости пятиводный кристаллогидрат превращается в одноводный при 25° [12]. Изгиб политермы электропроводности раствора, полученного насыщением при 22° , также приходится на 25° .

Раствор $\text{ZnSO}_4 \cdot 6\text{H}_2\text{O}$, насыщенный при 65° . По диаграмме растворимости ([11], стр. 687) шестиводный кристаллогидрат превращается в одноводный при 70° . Этот переход отображается в растворе тем, что политерма электропроводности состоит из двух прямых, расположенных под углом и пересекающихся приблизительно при 70° (рис. 8).

Раствор $\text{Na}_2\text{B}_4\text{O}_7 \cdot 10\text{H}_2\text{O}$, насыщенный при 59° . По

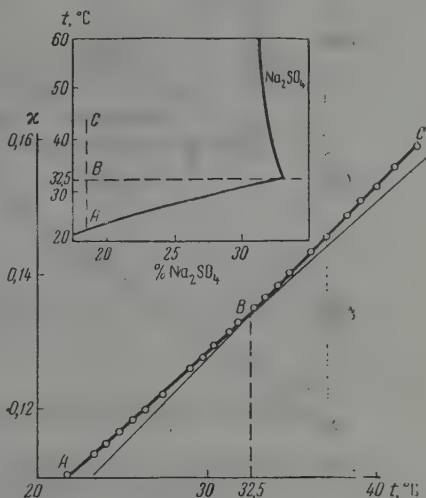


Рис. 3. Зависимость электропроводности от температуры. Раствор $\text{Na}_2\text{SO}_4 \cdot 10\text{H}_2\text{O}$, насыщенный при 22°

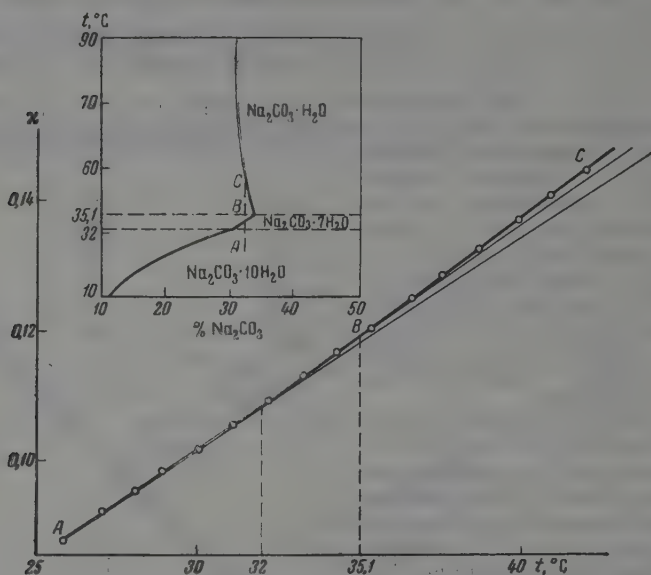


Рис. 4. Зависимость электропроводности от температуры. Раствор $\text{Na}_2\text{CO}_3\cdot 10\text{H}_2\text{O}$, насыщенный при 33°

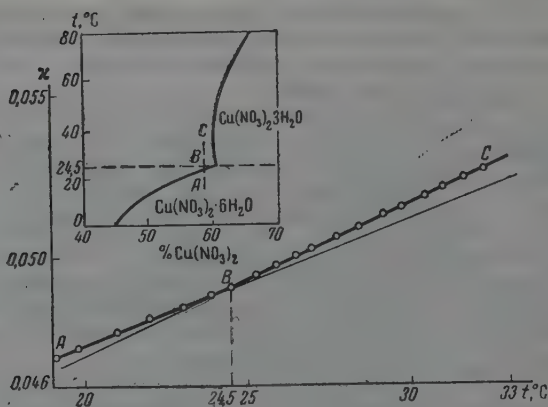


Рис. 5. Зависимость электропроводности от температуры. Раствор $\text{Cu}(\text{NO}_3)_2\cdot 6\text{H}_2\text{O}$, насыщенный при $23,5^{\circ}$

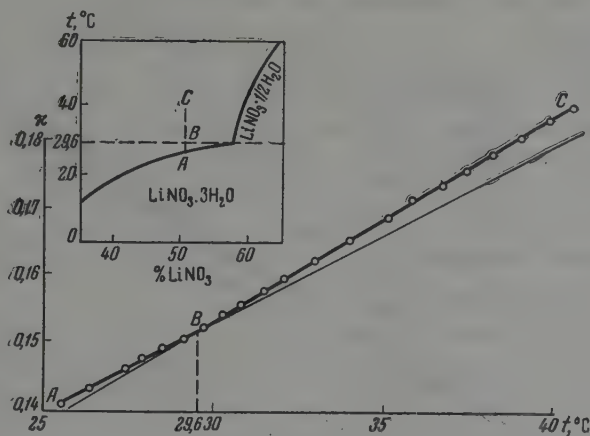


Рис. 6. Зависимость электропроводности от температуры. Раствор $\text{LiNO}_3 \cdot 3\text{H}_2\text{O}$, насыщенный при 28°

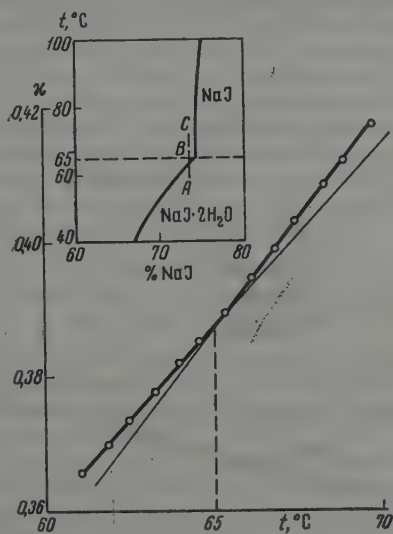


Рис. 7. Зависимость электропроводности от температуры. Раствор $\text{NaJ} \cdot 2\text{H}_2\text{O}$, насыщенный при 63°

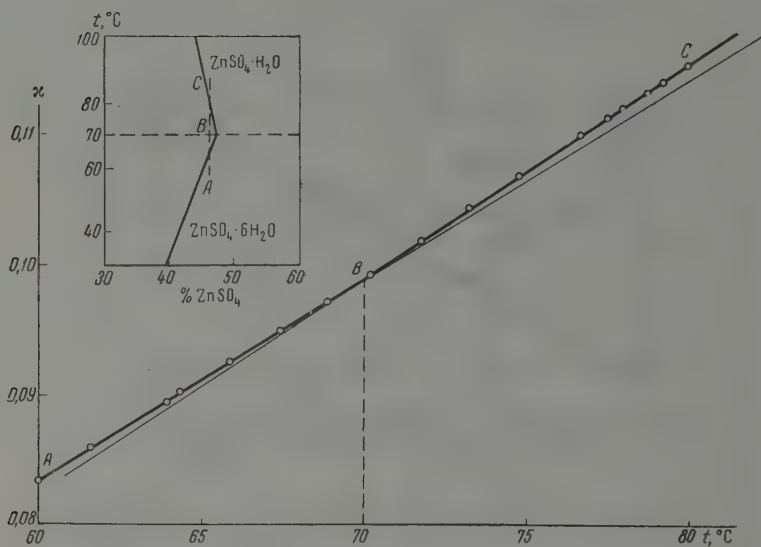


Рис. 8. Зависимость электропроводности от температуры. Раствор $\text{ZnSO}_4 \cdot 6\text{H}_2\text{O}$, насыщенный, при 65°

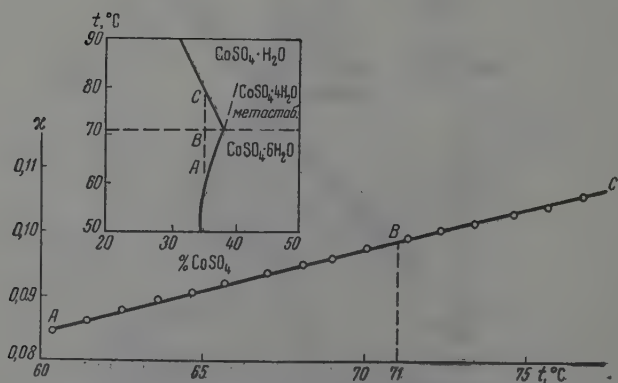


Рис. 9. Зависимость электропроводности от температуры. Раствор $\text{CoSO}_4 \cdot 6\text{H}_2\text{O}$, насыщенный при 60°

грамме растворимости ([11], стр. 669) десятиводный кристаллогидрат превращается в пятиводный при 60° . Переход соответствующих гидратных форм в растворе по политерме электропроводности происходит приблизительно при той же температуре.

Раствор $\text{CoSO}_4 \cdot 6\text{H}_2\text{O}$, насыщенный при 60° . В предыдущей работе [7] при изучении растворов сульфата магния было обнаружено, что переход кристаллогидрата $\text{MgSO}_4 \cdot 6\text{H}_2\text{O}$ в $\text{MgSO}_4 \cdot \text{H}_2\text{O}$, происходящий при 68° , не отображается на политерме электропроводности: все точки от 50 до 90° строго укладывались на одну прямую. Этот факт, надящийся, казалось бы, в полном противоречии со всем остальным экспериментальным материалом, объясняется тем, что кристаллогидрат $\text{MgSO}_4 \cdot 6\text{H}_2\text{O}$ может находиться в метастабильном состоянии выше 68° . В связи с этим гидратная форма в растворе, устойчивая ниже 68° , будет храниться и при более высоких температурах.

Аналогичная картина наблюдалась в случае сульфата кобальта. Переходу стабильных форм кристаллогидратов $\text{CoSO}_4 \cdot 6\text{H}_2\text{O} \rightarrow \text{CoSO}_4 \cdot \text{H}_2\text{O}$ по политерме электропроводности раствора не отвечают какие-либо особые точки (рис. 9), поскольку и в этом случае возможна реализация метастабильных состояний гидратных форм соли в растворе.

Приведенный выше экспериментальный материал доказывает, что структурные изменения в растворе происходят не только при изменении концентрации, но и при изменении температуры, и подтверждает принцип структурного соответствия сосуществующих фаз, поскольку структурные превращения в твердой фазе находят отображение в растворе.

Выводы

1. Превращению одного кристаллогидрата соли в другой или в безводную соль, происходящему в твердой фазе при повышении температуры, отвечают переходы гидратных форм солей в концентрационных растворах приблизительно при той же температуре превращения. Эти переходы проявляются в изменении температурной зависимости электропроводности. Политерма электропроводности состоит из двух прямых, расположенных под углом и соединенных коротким криволинейным участком. Точка пересечения прямых (экстраполяция) близко совпадает с температурой превращения в твердой фазе. Эта закономерность установлена для концентрированных растворов следующих солей:

$\text{Cl}_2 \cdot 5\text{H}_2\text{O}$, $\text{Na}_2\text{SO}_4 \cdot 10\text{H}_2\text{O}$, $\text{Na}_2\text{SO}_3 \cdot 7\text{H}_2\text{O}$, $\text{Na}_2\text{CO}_3 \cdot 10\text{H}_2\text{O}$, $\text{Cu}(\text{NO}_3)_2 \cdot 6\text{H}_2\text{O}$, $\text{LiNO}_3 \cdot 3\text{H}_2\text{O}$, $\text{KNO}_3 \cdot 2\text{H}_2\text{O}$, $\text{Ca}(\text{NO}_3)_2 \cdot 4\text{H}_2\text{O}$, $\text{NaBr} \cdot 2\text{H}_2\text{O}$, $\text{NaJ} \cdot 2\text{H}_2\text{O}$, $\text{Na}_2\text{CrO}_4 \cdot 4\text{H}_2\text{O}$, $\text{MnSO}_4 \cdot 5\text{H}_2\text{O}$, $\text{ZnSO}_4 \cdot 6\text{H}_2\text{O}$, $\text{Na}_2\text{B}_4\text{O}_7 \cdot 10\text{H}_2\text{O}$.

2. При переходе к менее концентрированным растворам, т. е. при удалении от тройной точки (раствор — кристаллогидрат I — кристаллогидрат II) эффект превращения гидратных форм все слабее проявляется на политерме электропроводности.

3. Для растворов $\text{MgSO}_4 \cdot 6\text{H}_2\text{O}$ и $\text{CoSO}_4 \cdot 6\text{H}_2\text{O}$ политермы электропроводности представляют прямые линии, что свидетельствует об отсутствии превращений гидратных форм в растворе. Последнее объясняется сохранением высших гидратов в метастабильной форме при повышенных температурах.

4. На ряде примеров показано, что при переходе в области пересыщенных растворов не происходит изменения температурного коэффициента электропроводности. Это дало возможность провести измерения электропроводности в более широком температурном интервале у растворов, полученных насыщением вблизи тройной точки.

ЛИТЕРАТУРА

1. J. Beck, Phys. Z., **40**, 474, 1939.
2. J. P. Mathien, M. Lönnsbury. C. R., **229**, 1315, 1949.
3. А. Ф. Скрышевский, Сборник «Строение и физические свойства веществ в жидком состоянии, Изд-во Киевск. гос. ун-та, Киев, 1954.
4. М. А. Ключко, Докл. АН СССР, **82**, 261, 1952.
5. Н. В. Гевелинг, Изв. Сектора физ.-хим. анализа. ИОНХ АН СССР, **9**, 63, 1936.
6. В. И. Николаев и И. С. Катык, Ж. общ. химии, **9**, 1611, 1939.
7. Б. Ф. Марков, Укр. хим. ж., **23**, 706, 1957.
8. Landolt-Börnstein, т. I, стр. 648, III доп. том, стр. 493.
9. М. С. Вревский, Работы по теории растворов, Изд-во АН СССР, Москва - Ленинград, 1953.
10. Landolt-Börnstein, II доп. том, стр. 365.
11. Landolt-Börnstein том I, стр. 675.
12. Landolt-Börnstein III доп. том, стр. 508.

**INVESTIGATION OF THE TRANSFORMATIONS OF THE HYDRATE FORMS
OF SALTS IN SOLUTION BY THE ELECTROCONDUCTIVITY
METHOD**

B. F. Markov and N. Kh. Tumanova (Kiev)

S u m m a r y

The transformation of one crystal hydrate of a salt into another or into the anhydrous form that takes place in the solid phase on raising the temperature corresponds in concentrated solutions to transitions of the hydrate forms of the salts. The transitions are manifested in the staggered changes in the temperature coefficients of electroconductivity of the solutions. The electroconductivity polytherm comprises two straight lines at an angle to each other, joined by a short curvilinear section. The point of intersection of the lines is situated at a temperature approaching that of the transformation temperature of the solid phase. This effect has been revealed in the concentrated solutions of many salts forming crystal hydrates. Electroconductivity measurements of solutions of magnesium and cobalt sulfates do not yield any indication as to transitions of the hydrate in solution, which is explained by preservation of the higher hydrates at elevated temperatures in the metastable state.

The data confirm the principle of structural correspondence between coexisting phases, inasmuch as structural transformations in the solid phase are reflected in the solution.

ТЕРМОДИНАМИЧЕСКИЕ СВОЙСТВА ЭЛЕКТРОЛИТОВ В НЕВОДНЫХ РАСТВОРАХ

Х. КОНСТАНТЫ ДИССОЦИАЦИИ ОСНОВАНИЙ В АЦЕТОНЕ
90%-НОЙ СМЕСИ АЦЕТОНА С ВОДОЙ

Н. А. Измайлов и Т. В. Можарова

Изучение силы оснований в неводных растворителях представляет интерес в связи с общей проблемой влияния растворителей на диссоциацию электролитов в растворе. Вопрос о силе оснований и зависимости от свойств растворителя и растворенного вещества интересен не только с теоретической точки зрения, но имеет существенное практическое значение.

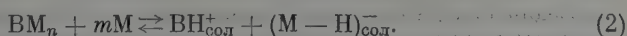
Последние годы характеризуются все более широким использованием неводных сред в аналитической практике. Выяснение характера влияния растворителей на силу оснований даст возможность рационально подходить к выбору растворителей для решения тех или иных аналитических задач.

Однако, в то время как в литературе имеется большое число экспериментальных исследований констант диссоциации кислот в различных растворителях, константы диссоциации оснований в неводных средах изучены сравнительно мало.

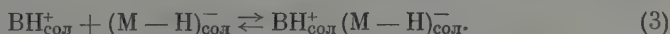
Одним из нас [1] было показано, что диссоциация оснований должна рассматриваться по схеме, аналогичной схеме диссоциации кислот. Процесс диссоциации оснований происходит в несколько стадий. Первичной стадией процесса является образование продукта присоединения между молекулами основания и растворителем:



Под влиянием дальнейшей сольватации продукт присоединения диссоциирует на ионы:



в средах с низкой диэлектрической постоянной образовавшиеся ионы ассоциируют в ионные двойники:



В пользу такого механизма диссоциации свидетельствуют многочисленные данные об образовании продуктов присоединения молекул оснований с растворителями.

Наличие молекулярных комплексов оснований с растворителями установлено многими методами физико-химического анализа и оптическими исследованиями.

Большое число работ посвящено взаимодействию оснований со спиртами [2, 3] и кислыми растворителями [4, 5]. В ряде исследований установлено также образование продуктов присоединения с несодержащими гидроксил растворителями: ацетоном [6], хлороформом [7], нитробензолом [8].

Оптическое изучение взаимодействия аминов с растворителями показывает, что в большинстве случаев образование молекулярных комплексов связано водородными связями.

Согласно квантово-механической теории водородной связи, развитой Н. Д. Соколовым [9], процесс перехода протона всегда имеет своей первой стадией образование водородного мостика. Возникновение межмолекулярной водородной связи приводит к снижению потенциального барьера реакции, что облегчает переход протона от молекулы растворителя к основанию.

Величины констант ассоциации для межмолекулярных комплексов, определенные различными авторами, показывают, что во многих случаях амины в растворах находятся в основном в виде неионизированных продуктов присоединения. Как уже указывалось выше, образовавшиеся в результате диссоциации ионы находятся в равновесии с недиссоциированными молекулами и ионными парами.

Одновременное присутствие в растворе продуктов присоединения, образованных за счет водородных связей, и ионных пар было показано Барроу [10] для смесей пиридина с карбоновыми кислотами. Сопоставляя инфракрасные спектры поглощения пиридина в четыреххлористом угле, хлороформе и бутаноле и его смесей с карбоновыми кислотами в хлороформе, он пришел к выводу о существовании для карбоновых кислот промежуточной силы равновесия, характеризующего непосредственное превращение продукта присоединения в ионную пару.

Обычная константа диссоциации оснований на ионы, равная отношению произведения активности ионов к активности недиссоциированного вещества, должна зависеть от констант всех перечисленных выше равновесий [11]

$$K_{об} = \frac{a_{ВН}^* + a_{(М-Н)^-}^*}{a_{В}^* + a_{ВМ_n}^* + a_{ВН^+(М-Н)^-}^*} = \frac{K_{дисс}}{1 + K_{нест}^* + K_{пр}^*}; \quad (4)$$

в этом уравнении:

$$K_{дисс} = \frac{a_{ВН^+}^* a_{(М-Н)^-}^*}{a_{ВМ_n}^*}; \quad K_{нест}^* = \frac{a_{В}^*}{a_{ВМ_n}^*}; \quad K_{пр}^* = \frac{a_{ВН^+(М-Н)^-}^*}{a_{ВМ_n}^*}.$$

Отдельные элементы рассмотренной схемы диссоциации оснований были позднее предложены рядом иностранных авторов. Однако Берг и Паттерсон [12] не учли образование в растворе ионных пар наряду с продуктами присоединения. Кольтгоф и Брукенштейн [13] не приняли во внимание образование недиссоциированных продуктов присоединения. Предложенное последними авторами уравнение, записанное в принятых нами обозначениях, имеет следующий вид:

$$K_{об} = \frac{K_{дисс}}{1 + K_{пр}}.$$

Очевидно, это уравнение является частным случаем более общего уравнения (4) при условии, что $K_{нест}^* = 0$.

На основании рассмотренной схемы диссоциации Н. А. Измайловым [14] было получено уравнение, отражающее зависимость силы оснований от свойств растворителя и растворенного вещества:

$$K_{об} = \frac{K_{В}}{K_{ВМ} (1 + K_{нест}^* + K_{пр}^*)} e^{\sum A_{\alpha} / RT}; \quad (5)$$

котором K_B — константа собственной основности основания в вакууме; K_M — константа основности лиат-иона; $\gamma'_{0BM_n} = K_{\text{нест}} e^{A_{KB}/RT}$ — коэффициент активности недиссоциированных молекул основания, A_{KB} — свободная энергия конденсации основания;

$$\Sigma A_x = \Sigma \frac{z^2 e^2 N}{2r} \left(1 - \frac{1}{D}\right) + \frac{\Sigma A_c}{RT}$$

сумма химических энергий сольватации ионов, в том числе и лиат-иона.

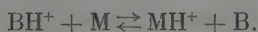
Из приведенного уравнения следует, что способность оснований к диссоциации возрастает с увеличением разницы в величинах собственной основности основания и лиат-иона, с увеличением K_n^* и уменьшением $K_{\text{пр}}$, т. е. с увеличением степени превращения вещества в продукт присоединения и уменьшением ассоциации ионов, а также с увеличением энергии сольватации ионов и диэлектрической постоянной растворителя.

Уравнение (5) может быть записано в сокращенном виде следующим образом:

$$K_{\text{об}} = \frac{K_B}{K'_{BM}} a_M^* e^{\frac{\Sigma A_x}{RT} - \frac{A_{\text{мол}}}{RT}}, \quad (6)$$

$$A_{\text{мол}} = -RT \ln \frac{K_{\text{нест}}^*}{1 + K_{\text{нест}}^* + K_{\text{пр}}} + A_{KB}$$

— свободная энергия растворения молекул основания при переносе из вакуума в данную среду. Очевидно, что величина $A_{\text{мол}}$ определяется собственной энергией конденсации основания, энергией образования продукта присоединения BM_n и степенью превращения молекул B в продукт присоединения и в ионную пару. Для характеристики силы оснований в литературе обычно пользуются экспериментально определяемыми кислотными константами K_A , характеризующими равновесие:



Константа диссоциации оснований и его кислотная константа, т. е. константа сопряженной ему катионной кислоты, связаны между собой через ионное произведение среды:

$$pK_{\text{осн}} = p_i - pK_A. \quad (7)$$

Выражение для кислотной константы диссоциации основания может быть получено из сопоставления реакций диссоциации основания и растворителя в вакууме:

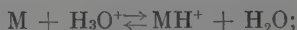
$$K_A = \frac{K'_{BM} \cdot a_M^* (1 + K_{\text{нест}}^* + K_{\text{пр}})}{K_B \cdot \gamma'_{0BM_n}} e^{-\frac{A_{xMH^+} - A_{xBH^+}}{RT}} \quad (8)$$

Изменение силы оснований при переходе от неводного растворителя к воде, обычно выбираемой в качестве стандарта, определяется следую-

щими уравнениями:

$$\begin{aligned} \Delta pK_{\text{осн}} &= \lg K'_r - \lg \frac{a_M^*}{a_{\text{H}_2\text{O}}} - \lg \frac{K_{\text{нест М}}^*}{K_{\text{нест H}_2\text{O}}^*} + \\ &+ \lg \frac{(1 + K_{\text{нест}}^* + K_{\text{пр}})_{\text{М}}}{(1 + K_{\text{нест}}^* + K_{\text{пр}})_{\text{H}_2\text{O}}} + \frac{e^2 z^2}{4,6 k T r_i} \left(\frac{1}{D_{\text{М}}} - \frac{1}{D_{\text{H}_2\text{O}}} \right) + \frac{\Delta \Sigma A_c}{2,3 RT} = \\ &= \Delta \left(\lg K_{\text{ВМ}} - \frac{\Sigma A_x}{RT} \right) + \frac{\Delta A_{\text{мол}}}{2,3 RT} = 2 \lg \gamma_{\text{ионов}} - \lg \gamma_{\text{молекул}}, \end{aligned} \quad (9)$$

где $K'_r = K_{\text{ВМ}}/K_{\text{ВН}_2\text{О}}$ — константа обмена протона между ионами лигандов по реакции:



$$\lg \gamma_{\text{ионов}} = \frac{1}{2} \lg K'_r - \frac{1}{2} \lg \frac{a_M^*}{a_{\text{H}_2\text{O}}} + \frac{1}{2} \sum \frac{e^2 z^2}{4,6 k T r_i} \left(\frac{1}{D_{\text{М}}} - \frac{1}{D_{\text{H}_2\text{O}}} \right) + \frac{\Delta \Sigma A_c}{4,6 k T};$$

$$\lg \gamma_{\text{молекул}} = \lg \frac{K_{\text{нест М}}^*}{K_{\text{нест H}_2\text{O}}^*} - \lg \frac{(1 + K_{\text{нест}}^* + K_{\text{пр}})_{\text{М}}}{(1 + K_{\text{нест}}^* + K_{\text{пр}})_{\text{H}_2\text{O}}}.$$

Уравнение (9) показывает, что изменение силы оснований под влиянием растворителей определяется разностью в химических энергиях сольватации ионов и молекул, причем энергия сольватации ионов включает и изменение энергии протонного сродства лиганд-ионов. Приведенные уравнения аналогичны соответствующим уравнениям для кислот. Поэтому естественно предположить, что растворители будут оказывать на основания дифференцирующее действие, подобное их действию на кислоты. Как известно, дифференцирующее действие заключается в том, что под влиянием растворителей изменяется относительная сила оснований разных природ групп. Такое дифференцирование является результатом различного взаимодействия растворителей разной природы с недиссоциированными молекулами оснований и с образовавшимися при их диссоциации ионами.

Причины дифференцирующего действия могут быть выяснены, если воспользоваться выражением для относительных констант диссоциации. При этом необходимо иметь в виду, что диссоциация всех оснований в данном растворителе приводит к образованию одного и того же аниона лигандов. Поэтому

$$pK_{\text{отн}} = \lg \frac{K_2}{K_1} = \lg \frac{K_{\text{В}_2}}{K_{\text{В}_1}} + \frac{A_{\text{ХВ}_2\text{Н}^+} - A_{\text{ХВ}_1\text{Н}^+}}{2,3 RT} - \frac{A_{\text{мол. 2}} - A_{\text{мол. 1}}}{2,3 RT}. \quad (10)$$

Первый член в уравнении (10) представляет отношение собственных констант диссоциации оснований в вакууме и не зависит от растворителя. Следовательно, дифференцирующее действие растворителей на силу оснований является следствием различия в энергиях сольватации ионов лигандов ΔA_x и молекул $\Delta A_{\text{мол}}$ для оснований разных групп при переходе от одного растворителя к другому.

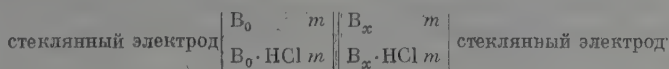
Константы диссоциации ряда органических оснований были определены разными методами в спиртах [15, 16], уксусной [17] и муравьиной [18] кислотах, смесях ацетона [19] и диоксана [20] с водой, в некоторых неперотолитических растворителях [21, 22]. Анализ имеющихся в литературе данных показывает, что растворители, дифференцирующие силу оснований, дифференцируют, хотя и в меньшей степени, силу оснований. К сожалению, в большинстве исследований данные ограничиваются одной группой оснований. Поэтому этих данных недостаточно, особенно для типичных дифференцирующих растворителей, чтобы сделать выводы о характере и величине их дифференцирующего действия. Мож

кидать, что в растворителях, обладающих наиболее сильным дифференцирующим действием по отношению к кислотам, соотношение в силе оснований разных природных групп будет заметно изменяться. На это же указывают и данные Принга [19] о константах диссоциации ряда оснований в 50%- и 90%-ном ацетоне.

В связи с этим мы прежде всего решили исследовать влияние ацетона 90%-ной смеси ацетона с водой на силу оснований разной природы.

В качестве объектов исследования были выбраны первичные и третичные ароматические амины, пиридиновые основания и алкалоиды, производные изохинолина. Ацетон и основания были очищены обычными методами; чистота их контролировалась по температурам кипения и плавления. Перед измерениями анилин и его производные перегонялись под вакуумом. При этом мы получали бесцветные вещества.

Константы диссоциации оснований были определены на основании измерения электродвижущей силы цепи с переносом следующего типа с двумя стеклянными электродами из стекла Дола:



Контакт между полужлементами осуществлялся через шлиф. Выбор стеклянных электродов в качестве индикаторных был обусловлен тем, что ни водородный, ни хингидронный электроды не дают устойчивого потенциала в растворах аминов, как это следует из работы [19].

Возможность использования стеклянного электрода для измерения активности водородных ионов в неводных средах была показана ранее А. Измайловым с сотрудниками [23]. При построении нами калибровочных кривых стеклянных электродов в 90%-ном ацетоне оказалось, что исследуемой области рН соответствуют прямолинейные участки калибровочных кривых.

Для проверки работы стеклянных электродов в чистом ацетоне мы определили известные из литературы константы диссоциации бензойной и салициловой кислот. Полученные нами константы совпали с литературными данными с точностью до 0,1 рК. Преимущество использованной нами цепи заключается в отсутствие фазовых границ и, следовательно, фазового потенциала. Кроме того, подвижности большинства органических катионов близки между собой; поэтому величина диффузионного потенциала невелика, и ею можно пренебречь. Электродвижущая сила исследуемой цепи определяется выражением:

$$E = \frac{RT}{nF} \ln a_{\text{H}_{\text{CT}}} - \frac{RT}{nF} \ln a_{\text{H}_{\text{X}}}$$

$$E = 0,059 \left(\lg K_{\text{A}_{\text{CT}}} + \lg \frac{a_{\text{BH}_{\text{CT}}^+}}{a_{\text{B}_{\text{CT}}}} - \lg K_{\text{A}_{\text{X}}} - \lg \frac{a_{\text{BH}_{\text{X}}^+}}{a_{\text{B}_{\text{X}}}} \right),$$

где $K_{\text{A}_{\text{CT}}}$ и $K_{\text{A}_{\text{X}}}$ — константы диссоциации катионных кислот, сопряженных стандартному и исследуемому основаниям. Концентрации оснований и их солей равны в обоих полужлементах. Если константы диссоциации исследуемых пар оснований не отличаются более чем на 1—2 единицы рК, то ионные силы растворов оснований практически одинаковы. При этом условии отношение коэффициентов активностей

$$\frac{\gamma_{\text{BH}_{\text{CT}}^+}}{\gamma_{\text{B}_{\text{CT}}}} \bigg/ \frac{\gamma_{\text{BH}_{\text{X}}^+}}{\gamma_{\text{B}_{\text{X}}}}$$

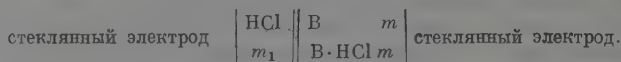
близко к единице. Для полунейтрализованных растворов слабых оснований электродвижущая сила цепи непосредственно даст величину относительно константы диссоциации:

$$\frac{E}{0,059} = \text{pK}_{\text{Aз}} - \text{pK}_{\text{Aст}} \quad (1)$$

При измерении одна половина сосуда заполнялась полунейтрализованным раствором стандартного основания, а другая — исследуемого основания. Для нейтрализации использовался раствор хлористого водорода в ацетоне или пикриновая кислота.

Растворы готовились непосредственно перед измерениями, так как для многих оснований при стоянии они темнели. Измерения велись при двух концентрациях: 0,005 и 0,002 *м*. Расхождения между данными измерениями при разных концентрациях не превышали 1—1,5 мВ. Все измерения проводились при $25^\circ \pm 0,1$.

Как уже указывалось, из данных по электродвижущим силам мы определяли относительные константы диссоциации оснований. Для нахождения констант диссоциации оснований необходимо было определить кислотную константу стандартного основания — анилина — в 90%-ной смеси ацетона с водой и в ацетоне. С этой целью мы воспользовались цепью указанного выше типа, в которой в качестве стандартного раствора применялся полунейтрализованный раствор кислоты с известным значением pK . Кроме того, константы диссоциации анилина были найдены из электродвижущей силы концентрационной цепи:



pH стандартного раствора HCl в 90%-ном ацетоне вычисляли по известным коэффициентам активности HCl [24]. В чистом ацетоне для расчетов pH

Таблица 1
 pK_{A} оснований в 90%-ном ацетоне и ацетоне при 25°

Амины	pK_{A}			$\Delta \text{pK}_{\text{A}}$	
	Вода	90%-ный ацетон	Ацетон	90%-ный ацетон	Ацетон
Анилин	4,62	4,20	5,92	—0,42	1,30
<i>m</i> -Толуидин	4,71	4,35	6,15	—0,36	1,44
<i>p</i> -Толуидин	5,12	4,65	6,57	—0,47	1,45
<i>m</i> -Cl-анилин	3,52	3,34	4,85	—0,18	1,33
<i>p</i> -Br-анилин	3,91	3,36	—	—0,55	—
<i>m</i> -NO ₂ -анилин	2,60	2,71	3,97	0,11	1,37
<i>p</i> -NO ₂ -анилин	2,04	2,44	3,52	0,40	1,48
α -Нафтиламин	3,99	3,70	5,42	—0,29	1,43
Диметиланилин	5,10	3,81	4,91	—1,29	—0,19
Диэтиламин	6,56	4,90	6,26	—1,66	—0,30
Пиридин	5,23	4,48	5,77	—0,75	0,54
α -Пиколин	5,96	5,32	6,64	—0,63	0,69
α -Br-пиридин	2,63	2,15	3,21	—0,48	0,58
Пиперидин	11,20	10,54	12,24	—0,66	1,04
Хинолин	4,80	4,10	5,41	—0,70	0,61
Кодеин	7,90	7,98	9,62	0,08	1,72
Наркотин	6,18	6,00	8,07	—0,18	1,89
Папаверин	5,90	6,14	8,03	0,24	2,12
Морфин	7,87	7,90	9,57	0,03	1,70
Диэтиламин	10,98	10,00	11,24	—0,98	0,26
Дифениламин	0,85	3,00	3,87	2,15	3,02
<i>p</i> -Cl-анилин	4,00	—	5,34	—	1,34

и исходили из констант диссоциации хлористого водорода, приведенных в диссертации Забары [25]. Оба метода определения констант диссоциации анилина дали совпадающие результаты.

Полученные экспериментально величины констант диссоциации катионных кислот, сопряженных изученным основаниям, представлены в табл. 1. В таблице также приведены величины ΔpK_A , дающие изменение констант диссоциации катионных кислот при переходе от воды к неводному раствору.

Из табл. 1 следует малая изменяемость величин pK катионных кислот в смесях ацетона с водой и в ацетоне по сравнению с их величинами в водных растворах. Величины ΔpK_A оснований невелики по сравнению с соответствующими величинами для незаряженных кислот. В 90%-ном ацетоне величины pK_A оснований уменьшаются на 1—2 единицы, в соответствии с чем сила катионных кислот увеличивается. В безводном ацетоне, наоборот, величины pK_A возрастают на 0,5—2 единицы, и, следовательно, сила кислот уменьшается. Значительно меньшее влияние неводных растворителей на силу катионных кислот, по сравнению с их влиянием на незаряженные кислоты, становится вполне понятным, если обратиться к выражениям для ΔpK_A катионных и ΔpK незаряженных кислот:

$$\Delta pK_A = 2 \lg \gamma_0^{oc} + \lg \gamma_{0MH^+}^{эл} - \lg \gamma_{0BH^+}^{эл} + \lg \gamma_{0молекул}; \quad (12)$$

$$\Delta pK = 2 \lg \gamma_0^{oc} + \lg \gamma_{0MH^+}^{эл} + \lg \gamma_{0A^-}^{эл} - \lg \gamma_{0молекул}; \quad (13)$$

Из приведенных уравнений следует, что различие во влиянии растворителей на катионные и незаряженные кислоты определяется различием в причинах электростатических членов и в энергиях присоединения молекулы растворителя к молекулам основания и кислоты, а также знаком этих величин. В уравнение для ΔpK_A катионных кислот входит разность $\lg \gamma_0^{эл}$ членов, в то время как в уравнение для незаряженных кислот — сумма

Таблица 2

Константы диссоциации оснований в 90%-ном ацетоне при 25°

Основание	pK_{OCH_3}		ΔpK_{OCH_3}
	вода	90%-ный ацетон	90%-ный ацетон
Анилин	9,40	16,1	6,70
m-Толуидин	9,29	15,95	6,66
p-Толуидин	8,88	15,65	6,77
m-Cl-анилин	10,48	16,96	6,48
p-Br-анилин	10,09	16,94	6,85
m-NO ₂ -анилин	11,40	17,59	6,19
p-NO ₂ -анилин	11,96	17,86	5,90
α-Нафтиламин	10,01	16,52	6,51
Диметиланилин	8,90	16,49	7,59
Диэтиланилин	7,48	15,40	7,92
Пиридин	8,77	15,82	7,05
α-Пиколин	8,05	14,98	6,93
α-Br-пиридин	11,37	18,15	6,78
Пиперидин	2,80	9,76	6,96
Хинолин	9,20	16,20	7,00
Кодеин	6,10	12,32	6,22
Наркотия	7,82	14,30	6,48
Папаверин	8,10	14,16	6,06
Морфин	6,13	12,40	6,27
Диэтиламин	3,02	10,30	7,28
Дифениламин	13,15	17,30	4,15

электростатических членов. Поэтому влияние диэлектрической постоянной на силу катионных кислот будет значительно меньше, чем на незаряженные кислоты. Изменение в силе катионных кислот оказывается меньше, чем $2\lg \gamma_0^{\text{осн}}$, так как $\lg \gamma_0$ молекул имеет обычно отрицательное значение.

Выше было приведено уравнение (7), связывающее константу диссоциации основания с его кислотной константой. В соответствии с этим уравнением изменение констант кислотности ΔpK_A при переходе от одного растворителя к другому будет равно:

$$\Delta pK_A = \Delta p i - \Delta pK_{\text{осн}}$$

Следовательно, величины ΔpK_A определяются разностью в величинах полного произведения и констант основности. Эти величины компенсируют

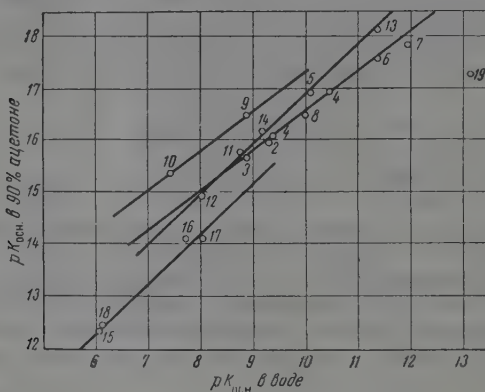


Рис. 1. Зависимость $pK_{\text{осн}}$ в 90%-ном ацетоне от $pK_{\text{осн}}$ в воде: 1 — анилин; 2 — м-толуидин; 3 — п-толуидин; 4 — м-Cl-анилин; 5 — п-Br-анилин; 6 — м-NO₂-анилин; 7 — п-NO₂-анилин; 8 — α-нафтиламин; 9 — диметиланилин; 10 — диэтиланилин; 11 — пиридин; 12 — α-пиколин; 13 — α-Br-пиридин; 14 — хинолин; 15 — кодеин; 16 — наркотин; 17 — папаверин; 18 — морфин; 19 — дифениламин

друг друга, благодаря чему величина ΔpK_A для катионных кислот велика. Из уравнения (7) видно, что мы легко можем вычислить константы диссоциации оснований, зная константы диссоциации сопряженных катионных кислот и ионное произведение среды.

В табл. 2 приведены значения констант диссоциации оснований в 90%-ном ацетоне, а также соответствующие значения $\Delta pK_{\text{осн}}$. Константы диссоциации оснований в безводном ацетоне вычислить не удалось из-за отсутствия данных о ионном произведении ацетона.

В противоположность малому изменению кислотных констант, константы диссоциации оснований в 90%-ном ацетоне изменяются очень сильно (табл. 2). Уменьшение силы оснований в 90%-ном ацетоне на 6–7 единиц в показателе степени можно сопоставить со средней величиной ΔpK для ароматических карбоновых кислот ~5,0 и для нитрофенолов ~3,6 [25]. Таким образом ацетон ослабляет силу оснований даже в большей мере, чем кислот. Это объясняется тем, что молекулы ацетона не обладают протон-донорными свойствами.

Данные табл. 1 показывают, что по величине ΔpK_A для ацетона изученные основания отчетливо разделяются на четыре группы: первичные ароматические амины ($\Delta pK_A \sim 1,4$), пиридиновые основания ($\Delta pK_A \sim 0,6$), третичные ароматические амины ($\Delta pK_A \sim -0,2$) и алкалоиды ($\Delta pK_A \sim 1,9$). Такое деление, но менее четкое, наблюдается и в 90%-ном ацетоне. Очевидно, что ацетон дифференцирует силу оснований различных групп.

Действительно, на графиках зависимости pK в неводном растворителе от pK в воде каждой из четырех изученных групп оснований соответствует прямая линия. Для безводного ацетона приведена физическая зависимость относительных констант диссоциации $pK_{отн.}$. Из взаимного расположения прямых на рис. 1 и следует, что влияние ацетона больше на первичные ароматические амины, чем на пиридиновые основания и третичные ароматические амины. Менее сказывается влияние неводных растворителей на константах диссоциации алкалоидов.

Прямая для алкалоидов, принадлежащих к группе изохинолина, проходит на 2,5 единицы pK ниже (по ординате) прямая для хинолина и пиридиновых оснований. По-видимому, влияние ацетона и его смеси с водой на силу оснований связано не только с числом водородных атомов при азоте аминовой группы, но также и со строением исследуемых аминов и их солей.

Дифференцирующее действие ацетона и его смеси с водой усиливается при переходе от безводного ацетона к ацетону;

состояние между соответствующими прямыми при этом увеличивается. Необходимо отметить, что наклоны прямых $pK_M = f(pK_{H_2O})$ различны для оснований разных групп. Для характеристики наклона прямых в табл. 3 приведены тангенсы углов наклона. Наклоны

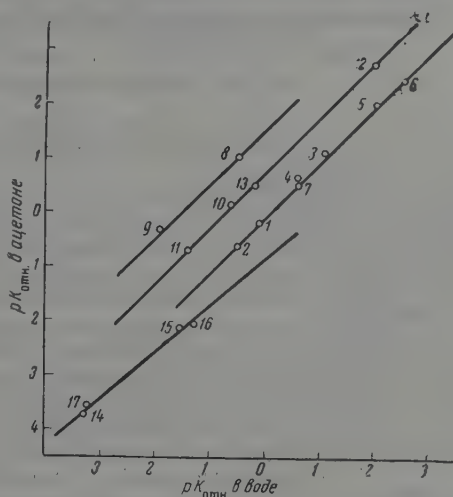


Рис. 2. Зависимость $pK_{отн.}$ в ацетоне от $pK_{отн.}$ в воде (стандарт — анилин): 1 — *m*-толуидин; 2 — *n*-толуидин; 3 — *m*-Cl-анилин; 4 — *n*-Cl-анилин; 5 — *m*-NO₂-анилин; 6 — *n*-NO₂-анилин; 7 — α -нафтиламин; 8 — диметиламин; 9 — диэтиламин; 10 — пиридин; 11 — α -пиколин; 12 — α -Вг-пиридин; 13 — хинолин; 14 — кодеин; 15 — наркотин; 16 — папаверин; 17 — морфин

Дифференцирующее действие ацетона и его смеси с водой усиливается при переходе от безводного ацетона к ацетону;

состояние между соответствующими прямыми при этом увеличивается. Необходимо отметить, что наклоны прямых $pK_M = f(pK_{H_2O})$ различны для оснований разных групп. Для характеристики наклона прямых в табл. 3 приведены тангенсы углов наклона. Наклоны

Таблица 3

Тангенсы углов наклона для оснований разных групп в ацетоне и его смеси с водой

Растворитель	Пиридиновые основания	Алкалоиды	Перв. аромат. амины	Трет. аромат. амины
90%-ный ацетон	1,00	1,00	0,77	0,77
Ацетон	1,08	0,92	1,00	1,00

наклоны уменьшаются от пиридиновых оснований к первичным и третичным ароматическим аминам и возрастают при увеличении содержания ацетона.

Выводы

1. Определены константы диссоциации 22 оснований в безводном ацетоне и 90%-ной смеси ацетона с водой.

2. Показано, что ацетон и 90%-ный ацетон дифференцируют силу оснований различной природы. Влияние данных растворителей на силу оснований возрастает в последовательности: алкалоиды < первичные ароматические амины < производные пиридина < третичные ароматические амины.

Харьковский государственный университет
им. А. М. Горького

Поступила
11.X.1958

ЛИТЕРАТУРА

1. Н. А. Измайлов, Тр. Ин-та химии ХГУ, 10, 5, 1953.
2. W. Gordy and S. C. Stanford, J. Chem. Phys., 8, 171, 1940.
3. Б. М. Красовицкий, Е. И. Вайль, О. М. Савченко, Укр. х. ж., 22, 330, 1956.
4. Н. Г. Ярославский, Ж. физ. химии, 22, 265, 1948.
5. П. П. Шорыгин, А. Х. Халилов, Ж. физ. химии, 25, 1475, 1951.
6. Н. А. Измайлов, Л. Л. Спивак, Тр. Ин-та химии ХГУ, 7, 153, 1951.
7. G. Barrow and E. Anne Jerger, J. Amer. Chem. Soc., 76, 5247, 1954.
8. А. С. Наумова. Сб. статей по общей химии, Изд-во АН СССР, М.— Л., 1953, стр. 788.
9. Н. Д. Соколов, Успехи физ. наук, 57, 205, 1955.
10. G. Barrow, J. Amer. Chem. Soc., 78, 5802, 1956.
11. Н. А. Измайлов, Ж. физ. химии, 30, 2164, 1956.
12. D. Berg, A. Patterson, J. Amer. Chem. Soc., 75, 5731, 1953.
13. I. M. Kolthoff and S. Bruckenstein, J. Amer. Chem. Soc., 78, 1, 1956.
14. Н. А. Измайлов, Тр. Ин-та химии ХГУ, 18, 25, 1957.
15. H. Goldschmidt, Z. phys. Chem., 119, 439, 1926.
16. M. Kilpatrick and C. A. Arenberg, J. Amer. Chem. Soc., 75, 38, 1953.
17. N. F. Hall, J. Amer. Chem. Soc., 52, 5115, 1930.
18. А. М. Шкодин, Н. А. Измайлов, Н. П. Дзюба, Ж. аналит. хим., 6, 273, 1951.
19. Pring, Trans. Faraday Soc., 19, 705, 1924.
20. J. Knoch, J. C. James, Trans. Faraday Soc., 46, 254, 1950.
21. R. P. Bell and J. B. Bayles, J. Chem. Soc., 1518, 1952.
22. N. K. Hall, J. Phys. Chem., 60, 63, 1956.
23. Н. А. Измайлов, Т. Ф. Францевич-Заблудовская, Ж. физ. химии, 15, 983, 1945.
24. Н. А. Измайлов, и И. Ф. Забара, Ж. физ. химии, 20, 165, 1945.
25. И. Ф. Забара. Диссертация, Харьковский гос. университет, 1946.

THERMODYNAMIC PROPERTIES OF ELECTROLYTES IN NON-AQUEOUS SOLUTIONS.

I. THE DISSOCIATION CONSTANTS OF BASES IN ACETONE AND IN 90% ACETONE-WATER MIXTURES

N. A. Izmailov and T. V. Mozharova (Kharkov)

Summary

With the purpose of ascertaining the effect of solvents on the strength of bases dissociation constants of 22 bases in anhydrous acetone and 90% acetone-water mixture have been determined by emf measurements in cells with transfer at constant ionic strength. It has been shown that acetone and the 90% acetone-water mixture exert a differentiating effect on the strength of bases of various nature. The effect of these solvents on the strengths of bases increases in the following order: alkaloids < primary aromatic amines < pyridine derivatives < tertiary aromatic amines.

-9118 RUUU

РЕНТГЕНОГРАФИЧЕСКОЕ ИССЛЕДОВАНИЕ ИЗМЕНЕНИЙ
РАЗМЕРОВ ФЛУКТУАЦИЙ КОНЦЕНТРАЦИИ
В СИСТЕМЕ СЕРОУГЛЕРОД — МЕТИЛОВЫЙ СПИРТ
В ЗАВИСИМОСТИ ОТ ТЕМПЕРАТУРЫ

Н. В. Мохов и И. В. Кириш

При рентгенографических исследованиях растворов, имеющих верхнюю критическую температуру растворения, нами [1, 2] было установлено отсутствие молекулярной смешиваемости при температурах как вблизи критических температур растворения, так и значительно выше нее. Указанный вывод был сделан на основании сравнения опытных кривых с расчетными, полученными путем аддитивного сложения экспериментальных кривых чистых компонент с учетом молекулярной концентрации.

Наличие элементов аддитивности кривых интенсивности является доказательством существования в растворах небольших областей со структурами, близкими к структурам чистых компонентов.

Указанные выводы были сделаны на основании исследования бинарных систем: фенол — вода и сероуглерод — метиловый спирт.

Наличие структурных неоднородностей в исследуемых растворах обуславливает разность электронных плотностей; это дает возможность, применив метод малых углов рассеяния, определить размеры флуктуаций концентрации. Анализ кривых интенсивности рассеянных рентгеновых лучей под малыми углами показал, что указанные системы можно отнести к плотным жидким. Наличие достаточно четких максимумов интенсивности вызывает на подавляющее число областей, обладающих одинаковыми размерами. В соответствии с работами Юдовича [3, 4] нами были определены размеры флуктуаций концентрации.

В связи с этим представляет определенный интерес исследовать изменение их размеров в зависимости от температуры, что и является задачей настоящей работы.

Экспериментальная часть

Объектом исследования являлась двойная жидкая система сероуглерод — метиловый спирт, изучавшаяся нами в предыдущих работах [2].

Не останавливаясь на деталях экспериментальной части, достаточно подробно описанных нами в предшествующих работах, укажем только, что исследование производилось при помощи молибденового излучения, применение которого было обусловлено большой поглощательной способностью сероуглерода. Несмотря на жесткость использованного излучения получено четкое разделение максимумов на интерференционных кривых рассеяния под малыми углами. Интенсивность рассеянных рентгеновых лучей регистрировалась счетчиком элементарных частиц.

Кривые интенсивности для раствора сероуглерод — метиловый спирт с отношением молекул 1:5 (32 вес. % CS_2) при 12, 21, 55 и 63°C приведены на рис. 1—4. Ход кривых интенсивности в наблюдаемом интервале углов рассеяния характеризуется резким спаданием интенсивности при мини-

мальных углах отсчета и рядом периодически расположенных максимумов. С повышением температуры исследуемого раствора положение максимумов смещается в сторону больших углов, что указывает на уменьшение размеров флуктуаций концентрации с температурой.

Наличие максимумов указывает, что система CS_2 — CH_3OH может быть отнесена к плотно упакованным с преобладающим размером флуктуаций

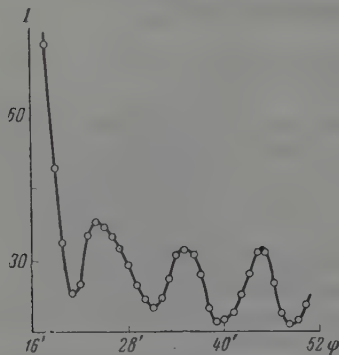


Рис. 1

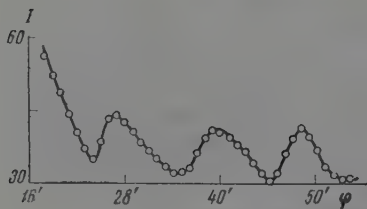


Рис. 4

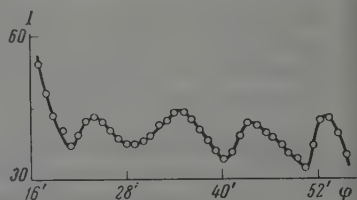


Рис. 2

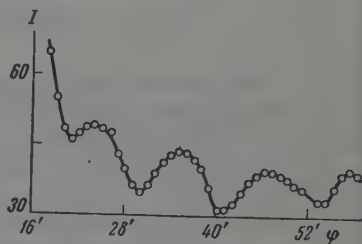


Рис. 3

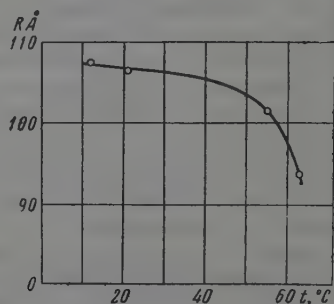


Рис. 5

Рис. 1. Кривая интенсивности при 12° и малых углах рассеяния

Рис. 2. Кривая интенсивности при 21° и малых углах рассеяния

Рис. 3. Кривая интенсивности при 55° и малых углах рассеяния

Рис. 4. Кривая интенсивности при 63° и малых углах рассеяния

Рис. 5. Размеры флуктуаций концентрации в зависимости от температуры

концентрации. Исходя из термодинамических соображений естественно допустить их сферическую форму.

Используя соотношение, полученное Юдовичем [3, 4],

$$2R \sin \vartheta = \frac{U\lambda}{2\pi},$$

где R — радиус частицы, $\vartheta = \varphi/2$ и λ — длина волны, и сопоставляя положение максимумов на экспериментальной кривой с теоретическим, получаем следующие размеры флуктуаций концентрации в зависимости от температуры (см. табл. на стр. 1555),

На рис. 5 приведена кривая зависимости размеров флуктуаций концентрации для данного раствора как функция температуры. Как видно из приведенной кривой, с повышением температуры размеры флуктуаций

$t, ^\circ\text{C}$	12	21	55	63
$R, \text{\AA}$	107,4	106,5	101,5	93,7

концентрации изменяются вначале незначительно, а по мере удаления от критической температуры растворения наблюдается резкое уменьшение их размеров.

Выводы

1. Определены размеры флуктуаций концентрации в растворе S_2 — CH_3OH с концентрацией 32 вес. % при $t = 12, 21, 55$ и 63° .
2. С повышением температуры флуктуации концентрации уменьшаются.
3. Получена кривая изменения размеров флуктуаций в зависимости от температуры.

Днепропетровский государственный
университет

Поступила
12.X.1958

ЛИТЕРАТУРА

1. Н. В. Мохов и И. В. Кирш, Ж. физ. химии, 30, 1319, 1956.
2. И. В. Кирш, Ж. физ. химии, 32, 1116, 1958.
3. K. L. Gudowitch, J. Appl. Phys., 20, 174, 1232, 1949.
4. K. L. Gudowitch, J. Appl. Phys., 22, 214, 1951.

X-RAY STUDY OF THE CHANGES IN THE MAGNITUDES OF CONCENTRATION FLUCTUATIONS IN THE SYSTEM CARBON DISULFIDE—METHYL ALCOHOL WITH RESPECT TO TEMPERATURE

N. V. Mokhov and I. V. Kirsh (Dniepropetrovsk)

Summary

The magnitudes of the concentration fluctuation in the binary system carbon disulfide — methyl alcohol have been determined by the low angle method. A curve has been obtained depicting the dependence of the magnitudes of the fluctuations on the temperature.

ТЕРМОДИНАМИЧЕСКИЕ СВОЙСТВА СМЕСЕЙ РАСПЛАВЛЕННЫХ СОЛЕЙ

1. МЕТОД ОПРЕДЕЛЕНИЯ СОСТАВА НАСЫЩЕННОГО ПАРА НАД СМЕСЬЮ РАСПЛАВЛЕННЫХ СОЛЕЙ. СОСТАВ НАСЫЩЕННОГО ПАРА СИСТЕМЫ ХЛОРИСТЫЙ КАЛИЙ — БРОМИСТЫЙ КАЛИЙ

Н. Л. Ярым-Агаев

В работах по определению состава насыщенного пара над смесью расплавленных солей [1, 2] анализу подвергался конденсат* пара, равновесного с жидкой фазой. В процессе отбора конденсата состав жидкой фазы не должен практически изменяться, что может быть достигнуто лишь при использовании в опыте большого количества жидкой фазы. Так, в работах [1, 2] для каждого измерения использовалось 60—70 г смеси солей. Неговоря уже о том, что получение большого количества чистых солей (для построения всей изотермы требуется около 1 кг каждого из компонентов) связано иногда со значительными трудностями, возникает проблема термостатирования и перемешивания расплава при высоких температурах, которая в упомянутых установках едва ли полностью разрешена. Кроме того, в разных частях поля конденсации выделяются кристаллы смеси разного состава, сбор же без потерь всей выкристаллизовавшейся в результате конденсации соли представляет далеко не простую задачу.

В связи с изложенным мы отказались от использования методов, основанных на улавливании пара, и было решено для определения состава насыщенного пара над смесью расплавленных солей применить ранее предложенный нами и Е. А. Коганом [3] метод определения состава пара над смесью двух жидкостей при низких температурах, несколько модифицировав его. В этом случае отпадает необходимость собирать и анализировать конденсат, а для проведения опыта требуется небольшое количество расплава (0,3—0,6 г).

Ранее было показано [3], что состав насыщенного пара над раствором может быть вычислен на основании установленной опытным путем зависимости между массой испаряемого раствора и его составом по уравнению

$$N_1' = N_1 + \frac{dN_1}{d \ln m}, \quad (1)$$

где N_1' — весовая доля более летучего компонента в паре, N_1 — весовая доля этого же компонента в жидкой фазе, а m — масса испаряемой жидкости в тот момент, когда ее состав равен N_1 .

Для нахождения N_1' необходимо на основании экспериментальных данных аналитически или графически установить зависимость N_1 от $\ln m$ и найти значение производной $dN_1/d \ln m$.

В случае веществ, плавящихся при высоких температурах, целесообразен следующий способ установления зависимости между весовой долей

* В данном случае под конденсатом понимаются кристаллы или смесь кристаллов солей, выделившихся при охлаждении пара.

компонента в жидкой фазе и ее массой: готовится смесь компонентов, делится на части, и каждая часть испаряется разное время так, что конечный состав испаряемой жидкости и ее масса в разных опытах оказываются различными. Эти составы и массы жидкости после окончания парения должны быть определены. Если во всех опытах исходная масса одинакова, то полученных данных достаточно для построения графика зависимости состава жидкой фазы от ее массы в процессе испарения. Одна из точек этого графика определяется исходной массой и исходным составом, все другие — конечными значениями масс и составов серии опытов. Если исходная масса во всех опытах различна (что практически иногда более удобно), расчет целесообразно вести в предположении, что исходная масса равна 1 г; для этого значение массы вещества, оставшегося после испарения, следует разделить на значение массы взятого для испарения вещества полученную величину использовать для построения графика.

Из изложенного ясно, что эксперимент должен сводиться к проведению изотермического испарения смеси при заданной температуре с последующим определением массы и состава оставшейся смеси.

Экспериментальная часть

Испарение расплава осуществлялось в вертикальной трубчатой печи 1 (рис. 1) с трансформатором и реостатом 2, включенным последовательно с печью. В печь, запыленную снизу, помещался массивный цилиндрический блок 3 из нержавеющей стали весом около 4,5 кг. Диаметр основания блока 70 мм, высота блока 200 мм. В блоке

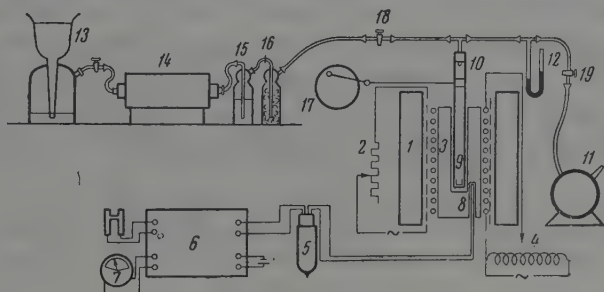


Рис. 1. Схема установки для определения состава насыщенного пара над смесью расплавленных солей

сверлено два отверстия: сверху, центральное диаметром 22 мм и глубиной 160 мм, снизу другое, отстоящее от центрального и параллельное ему. Диаметр нижнего отверстия равен 7 мм, глубина — 55 мм. На блок поверх миканитовой изоляции намотана нихромовая спираль, соединенная с автотрансформатором 4, имеющим плавную регулировку. Эта спираль образует дополнительный нагреватель. При помощи основного и дополнительного нагревателя удается в течение длительного времени поддерживать постоянную температуру. Осуществляется это следующим образом: когда достигнута нужная температура, при помощи ползунового реостата 2 и трансформатора печи режим нагрева подбирается так, что температура блока медленно падает (подобрать так режим работы печи, чтобы ее температура оставалась постоянной, конечно не удастся). Затем через определенные промежутки времени, обычно 30 сек., на короткий срок несколько раз включается дополнительный нагреватель, причем блок включений подбирается так, чтобы температура блока не изменялась. Рис. 2 — кривую колебания температуры блока в течение одного из опытов. Хотя вид полученных кривых в различных опытах очень различен, во всех опытах наибольшие отклонения от заданной температуры не превышали 0,5°.

Контроль температуры осуществлялся с помощью хромель-алюмелевой термопары, горячий спай 8 вводился в нижнее отверстие блока, холодный спай погружался в сосуд 5 с таяющим льдом. Электродвижущая сила термопары измерялась при помощи пятидесятиградусного потенциометра 6 и гальванометра с теневой стрелкой 7. Показания хромель-алюмелевой термопары время от времени сравнивались с показаниями платино-платинородиевой термопары, калиброванной по реперным точкам. При этом плати-

тино-платинородиевая термопара вводилась в верхнее отверстие блока и помещалась в то место отверстия, где при опыте находится пробирка с испаряемой солью.

Испаряемая солевая смесь помещалась в платиновый или никелевый стаканчик 3. Высота стаканчика 18 мм, диаметр 14 мм. Стаканчик, в свою очередь, помещался в дно кварцевой пробирки 10, введенной в верхнее центральное отверстие блока 1. Пробирка при помощи тройника соединялась с форвакуумным насосом 11 и ртутным манометром 12. Этот же тройник мог быть использован для наполнения пробирки азотом из газометра 13. Для удаления следов кислорода азот пропусклся над накаленной медной проволокой в печи 14. В склянке 15 серной кислотой поглощались пары воды, а в склянке 16, наполненной ватой, отделялись брызги серной кислоты. Электронный центр 17 мог сообщать колебательное движение кварцевой пробирке, помещенной в печь.

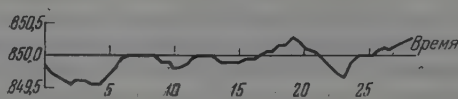


Рис. 2. Колебания температуры в печи (t) в течение опыта. На оси абсцисс отложено время в мин.

Опыт проводился следующим образом. Заготавливалась смесь определенного состава; навески солей в виде порошков тщательно смешивались сначала на часовом стекле, а затем в ступке. Часть заготовленной смеси в количестве от 0,2 до 0,6 г высыпалась в предварительно взвешенный платиновый или никелевый стаканчик. Стаканчик опускался на дно кварцевой пробирки, и пробирка закрывалась пробкой с тройником. При закрытом кране 18 форвакуумным насосом из пробирки откачивался воздух. Затем при закрытом кране 19 в пробирку впускался азот. Операция откачивания и заполнения пробирки азотом повторялась трехкратно. Затем пробирка со стаканчиком, заполненная азотом, вводилась в верхнее отверстие металлического блока 3 нагретого до нужной температуры. Было установлено, что через 15 мин. смесь соли плавится и принимает температуру печи. По истечении этого времени * из пробирки откачивался азот; начинался процесс интенсивного испарения жидкой фазы; через некоторое время, установленное предварительными опытами, процесс резко обрывался, что достигалось извлечением пробирки из печи. Затем пробирка охлаждалась, стаканчик извлекался, выдерживался в эксикаторе и взвешивался. Застывшая смесь солей растворялась в горячей воде и анализировалась.

Обработка результатов наблюдений. Для идеальной системы, т. е. системы, для которой при любых значениях состава справедлив закон Рауля, интегрирование (1) дает [3]

$$\left(\frac{m}{m_0}\right)^{1-\alpha} = \left(\frac{N_1}{N_1^0}\right)^\alpha \frac{N_2^0}{N_2}, \quad (2)$$

где m_0 — исходная масса испаряемой смеси с весовым составом N_1^0 — первого и N_2^0 — второго компонента; m — масса жидкой фазы в процессе испарения, когда ее состав равен N_1 — весовым долям первого, N_2 — весовым долям второго компонента.

Если первый компонент более летуч, чем второй, то α — отношение давлений насыщенного пара над вторым и первым чистыми компонентами. Очевидно, в этом случае α меньше единицы.

При обработке экспериментальных данных уравнение (2) целесообразно прологарифмировать, придав ему следующий вид:

$$\lg m N_2 = \alpha \lg m N_1 + [\lg N_2^0 - \alpha \lg N_1^0 + (1 - \alpha) \lg m_0]. \quad (3)$$

* Разумеется, результаты опыта не изменились, если бы откачивание вообще не производилось. Однако опыт при этом оказался бы чрезвычайно растянутым. Так при 850° в пробирке, заполненной азотом, скорость испарения бромистого калия оказалась равной 0,05 мг/мин, при давлении 3 мм рт. ст. эта скорость была равной 8 мг/мин.

Поскольку выражение в квадратных скобках содержит только постоянные величины, уравнение (3) относительно величин $\lg m N_2$ и $\lg m N_1$ ($m N_2$ и $m N_1$ представляют собой массы компонентов в смеси в процессе испарения) является уравнением прямой линии. Очевидно, линейная зависимость $\lg m N_2$ от $\lg m N_1$ является признаком идеальности системы, если N_1 и N_2 изменяются в широком интервале составов. Чем больше кривая зависимости $\lg m N_2$ от $\lg m N_1$ отличается от прямой, тем больше реальная система отличается от идеальной.

Если произведены серии опытов со смесями разного исходного состава, то на основании этих серий опытов в координатах $\lg m N_2$ и $\lg m N_1$ для идеальной системы может быть построен ряд прямых, параллельных друг другу. Сама по себе прямолинейная зависимость, охватывающая небольшой интервал составов, еще не может служить признаком идеальной системы; как иногда криволинейный участок на графике давление насыщенного пара — состав жидкой фазы можно с большой точностью заменить прямолинейным участком, что приводит к постоянству значения α в рассматриваемом интервале составов. Если α имеет одно и то же значение при проведении опытов с исходными смесями самого различного состава, можно утверждать, что в пределах точности эксперимента система является идеальной. При этом прямые в координатах $\lg m N_2 - \lg m N_1$, соответствующие различным сериям опытов, должны быть параллельны друг другу.

Состав пара в системе бромистый калий — хлористый калий. Изложенный выше метод был использован для определения состава пара системы бромистый калий — хлористый калий.

Компоненты квалификации «ч.д.а» дважды перекристаллизовывались, высушивались в сушильном шкафу и длительное время выдерживались в эксикаторе над серной кислотой. Испарение проводилось при 850° . Остаток после испарения растворялся в 150 мл воды, к раствору добавлялось 3 г азотнокислого бария, после чего содержание ионов брома и хлора в растворе определялось потенциометрическим титрованием. В качестве титрующего раствора использовался 0,04 N раствор азотнокислого серебра. Рабочим электродом была предварительно посеребренная серебряная пластинка, электродом сравнения — каломельный электрод, электролитическим ключом — полоска фильтровальной бумаги, смоченная 1 N раствором азотнокислого калия. Во избежание попадания ионов хлора из каломельного электрода в титруемый раствор, каломельный электрод соединялся с серебряным электродом электролитическим ключом не непосредственно, а через два стаканчика, наполненных раствором азотнокислого калия. В процессе титрования раствор непрерывно перемешивался электромагнитной мешалкой.

Использование калиброванной бюретки, зрительной трубы для отсчета объема титрующего раствора, потенциометра с ценой делений до 0,1 мВ чувствительного гальванометра делало возможным определять объем раствора азотнокислого серебра, пошедшего на титрование бромистого калия и хлористого калия с точностью до $\pm 0,02$ мл, что составляет ошибку примерно в 0,1 мг при подсчете содержания обеих солей в растворе.

Для опытов было приготовлено четыре смеси следующего исходного состава: 0,3225, 0,5311, 0,6932 и 0,9378 весовых долей бромистого калия.

Эти смеси делились на части и использовались для проведения серии опытов. В каждом опыте определялась масса исходной смеси m_0 , масса смеси после испарения m и ее состав N_{KBr} и N_{KCl} (весовые доли компонентов в смеси). Подсчитывалась та масса, которую имела бы смесь после испарения, если бы масса исходной смеси в каждом опыте равнялась $m' = m/m_0$. На основании полученных данных для исходной смеси для каждого опыта вычислялись значения $\lg m' N_{\text{KBr}}$ и $\lg m' N_{\text{KCl}}$.

Как видно из рис. 3, зависимость $\lg m'N_{\text{KCl}}$ от $\lg m'N_{\text{KBr}}$ для каждой серии опытов на графике выражается прямой линией. Уравнения

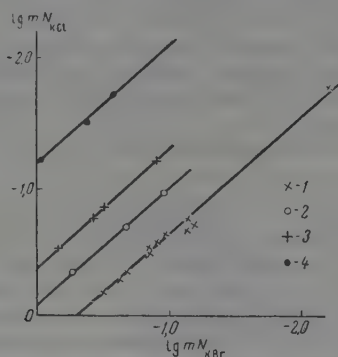


Рис. 3

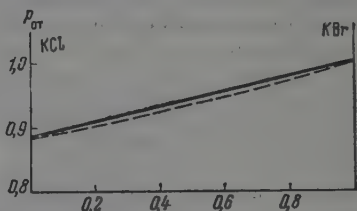


Рис. 4

Рис. 3. Зависимость $\lg m'N_{\text{KCl}}$ от $\lg m'N_{\text{KBr}}$: 1 — опыты 1-й серии; 2 — опыты 2-й серии; 3 — опыты 3-й серии; 4 — опыты 4-й серии

Рис. 4. Диаграмма: $p_{\text{от}}$ — отношение давления насыщенного пара над раствором дапного состава к давлению насыщенного пара над чистым бромистым калием; x — мольная доля бромистого калия системы хлористый калий — бромистый калий при 850°

прямых получены по методу наименьших квадратов и приведены в табл. 1. При вычислении коэффициентов уравнения учитывались данные всех проведенных опытов, никакого отбора более достоверных опытов не производилось.

Таблица 1

Уравнения зависимости $\lg m'N_{\text{KCl}}$ от $\lg m'N_{\text{KBr}}$ для смесей различного исходного состава N_{KBr}

N_{KBr}	Уравнение
0,323	$\lg m'N_{\text{KCl}} = 0,2747 + 0,8855 \lg m'N_{\text{KBr}}$
0,531	$\lg m'N_{\text{KCl}} = -0,0846 + 0,8771 \lg m'N_{\text{KBr}}$
0,693	$\lg m'N_{\text{KCl}} = -0,3742 + 0,8937 \lg m'N_{\text{KBr}}$
0,938	$\lg m'N_{\text{KCl}} = -0,6328 + 0,8852 \lg m'N_{\text{KBr}}$

Сравнение угловых коэффициентов всех четырех уравнений 0,8855; 0,8771; 0,8937; 0,8852 показывает, что система хлористый калий — бромистый калий при 850° является идеальной. Пользуясь терминологией М. И. Темкина [4], растворы этой системы можно назвать совершенными ионными растворами.

Сравнение величины α , найденной в опытах, с величиной отношения давлений пара над хлористым калием и над бромистым калием при 850° , взятых из литературы, не может быть произведено из-за разноречивости литературных данных.

Так, в литературе приводятся следующие значения давления пара над расплавленным хлористым калием при 850° в мм рт. ст.: 2 [1]; 1,7 (экстраполировано) [5], 2,6 (интерполировано) [6].

О точности определения состава пара можно судить по данным табл. 2. В столбцах 2, 3, 4, 5, 6 этой таблицы приведены величины состава пара,

вычисленные для значений α , полученных в каждой серии опытов и для среднего значения, равного 0,8854.

Таблица 2

Состав и давление пара системы хлористый калий — бромистый калий при 850°

Мольная доля КВг в жидк.	α					
	1-я серия 0,8855	2-я серия 0,8771 мольная доля	3-я серия 0,8937 КВг	4-я серия 0,8852 в паре	среднее 0,8937	$p_{от}$
0,000	0,000	0,000	0,000	0,000	0,000	0,885
0,200	0,220	0,221	0,219	0,220	0,220	0,908
0,400	0,430	0,432	0,427	0,430	0,430	0,931
0,600	0,629	0,631	0,627	0,629	0,629	0,954
0,800	0,819	0,820	0,817	0,819	0,819	0,977
1,000	1,000	1,000	1,000	1,000	1,000	1,000

Вычисления произведены по формуле

$$x'_{\text{КВг}} = \frac{x_{\text{КВг}}}{x_{\text{КВг}} + \alpha(1 - x_{\text{КВг}})},$$

где $x_{\text{КВг}}$ и $x'_{\text{КВг}}$ — мольные доли бромистого калия соответственно в жидкости и паре. Из табл. 2 видно, что разница в величинах $x'_{\text{КВг}}$ в каждой горизонтальной строке нигде не превышает 0,2 мол. % (или 0,002 мольной доли).

В последнем столбце табл. 2 приведено $p_{от}$ — отношение давления насыщенного пара над раствором данного состава к давлению насыщенного пара над чистым бромистым калием; оно вычислялось по уравнению

$$p_{от} = \alpha(1 - x_{\text{КВг}}) + x_{\text{КВг}}.$$

Из-за отсутствия достоверных данных о давлении насыщенного пара над бромистым калием (или хлористым калием) абсолютная величина давления пара над смесями не была вычислена.

По данным последнего столбца табл. 2 построена диаграмма давления пара — состав жидкой фазы (сплошная линия), парообразной фазы (пунктирная линия) для системы хлористый калий — бромистый калий при 850° (рис. 4).

Выводы

1. Описан метод определения состава насыщенного пара над смесью расплавленных солей по экспериментально найденной зависимости состава испаряемой жидкой фазы от ее массы.

2. Определен состав насыщенного пара для растворов системы бромистый калий — хлористый калий при 850°. Показано, что смеси хлористого калия и бромистого калия при этой температуре являются совершенными ионными растворами (т. е. система хлористый калий — бромистый калий идеальная).

Донецкий индустриальный институт
Сталино

Поступила
12.X.1958

ЛИТЕРАТУРА

1. L. Hackspill, R. Grandadam. Ann. chimie, 5, 219, 1926.
2. K. Jellinek, A. Golumbowski, Z. phys. Chem., A, 147, 461, 1930.
3. Н. Л. Ярым-Агаев, Е. А. Коган, Ж. физ. химии, 30, 2510, 1956.
4. М. И. Темкин, Ж. физ. химии, 20, 105, 1946.
5. E. F. Fiesck, W. H. Redebush, J. Amer. Chem. Soc., 48, 2552, 1926.
6. D. Jackson a. V. Morgan. J. Industr. Chem., 12, 110, 1921.

THERMODYNAMIC PROPERTIES OF MOLTEN SALT MIXTURES.

I. METHOD FOR DETERMINING THE SATURATED VAPOR COMPOSITION

N. L. Yarym-Agaev (Stalino)

S u m m a r y

A method has been described for determining the saturated vapor composition over molten salt mixtures. This is accomplished by the partial evaporation of the melt in a thermostatted oven under vacuum and the mass m and composition of the liquid phase N_1 is determined after the evaporation. The vapor composition N_1 over a mixture of given composition is determined from the data of a number of runs with the aid of formula (1) of the paper. The integration of (1) for the ideal system gives a linear dependence between $\lg m N_1$ and $\lg m N_2$ (m is the mass of the liquid phase changing in the process of evaporation, N_1 and N_2 are the weight fractions of its components).

The method was used to determine the vapor composition of the system potassium chloride — potassium bromide at 850°. On the basis of the experimental data it may be inferred that mixtures of potassium chloride and potassium bromide are perfect ionic solutions (i. e. potassium chloride—potassium bromide is an ideal system).

ТЕОРИЯ МОДЕЛИРОВАНИЯ ЭЛЕКТРИЧЕСКИХ ПОЛЕЙ В ЭЛЕКТРОЛИТАХ

Н. П. Гнусин

В последние годы неоднократно предпринимались попытки установить условия подобия электрических полей в электролитах [1—3]. Однако полученные при этом результаты носили частный характер и были пригодны для ограниченных случаев электролиза. Настоящая работа представляет собою попытку дать в сжатом виде более общее решение задачи при помощи метода теории подобия.

Условия подобия электрических полей в электролитах. Процесс протекания тока в электрическом поле характеризуется системой дифференциальных уравнений:

$$\operatorname{div} \mathbf{D} = 0; \quad (1)$$

$$\mathbf{D} = \frac{\mathbf{E}}{\rho}; \quad (2)$$

$$\operatorname{rot} \mathbf{E} = 0, \quad (3)$$

в которых \mathbf{D} — вектор плотности тока, \mathbf{E} — вектор напряженности, ρ — удельное сопротивление электролита. В случае однородной среды и уравнения приводятся к известному уравнению Лапласа

$$\frac{\partial^2 V}{\partial x^2} + \frac{\partial^2 V}{\partial y^2} + \frac{\partial^2 V}{\partial z^2} = 0, \quad (4)$$

в котором V обозначает потенциальную функцию.

Краевыми условиями в электрическом поле являются: 1) на границе электролит — изолятор (стенки ванны, воздух):

$$\frac{\partial V}{\partial n} = 0, \quad (5)$$

— нормаль к границе) и 2) на границе электролит — электроды:

$$\eta = f(D_n) + a, \quad (6)$$

где η — поляризация, D_n — плотность тока, a — константа. Условие (6) представляет собою уравнение поляризационной кривой.

При решении задачи полагаем, что моделируемые электролизеры геометрически подобны и что электролиты, играющие роль проводящей среды, однородны.

Уравнения (4), (5) и (6) составляют условия однозначности явления. Задача осуществления подобия электрических полей электролизеров, как это следует из третьей теоремы подобия, может быть решена на основании рассмотрения указанных уравнений.

Приведем эти уравнения к безразмерной форме, для чего выведем некоторые масштабные преобразования:

$$x = x_0 X, \quad V = V_0 U, \quad D_n = D_0 D_n. \quad (7)$$

После введения преобразований в уравнения (4) и (5) получаем

$$\frac{V_0}{x_0^2} \left(\frac{\partial^2 U}{\partial X^2} + \frac{\partial^2 U}{\partial Y^2} + \frac{\partial^2 U}{\partial Z^2} \right) = 0$$

или

$$\frac{\partial^2 U}{\partial X^2} + \frac{\partial^2 U}{\partial Y^2} + \frac{\partial^2 U}{\partial Z^2} = 0 \quad (8)$$

и

$$\frac{V_0}{x_0} \left(\frac{\partial U}{\partial N} \right) = 0 \quad \text{или} \quad \frac{\partial U}{\partial N} = 0. \quad (9)$$

Проведенные преобразования уравнения Лапласа (4) и граничного условия (5) не дают никаких дополнительных уравнений, налагающих ограничения на выбор масштабов или констант подобия. Подобие явлений описываемых уравнением Лапласа, и подобное граничного условия в той части, где электролит соприкасается со стенками электролизера и воздухом, выполняется автоматически.

Введение масштабных преобразований в граничное условие (6) приводит к соотношению:

$$V_0 H = f(D_0 D_n) + a,$$

которое после исключения постоянной величины D_0 из-под знака функции и деления обеих частей равенства на V_0 можно записать в виде:

$$H = F(D_n) + A. \quad (10)$$

Равенство (10) представляет собою уравнение поляризационной кривой, выраженное в безразмерных единицах поляризации и безразмерных единицах плотности тока. Из числа условий, определяющих однозначность процесса, соотношение (10) является единственным налагающим ограничение на выбор констант подобия. Поэтому условие подобия электрических полей в электролитах может быть сформулировано следующим образом. Для того чтобы два электролита, находящиеся в геометрически подобных электролизерах, имели подобные электрические поля, необходимо и достаточно, чтобы функции, выражающие связь между значениями безразмерных поляризаций и значениями безразмерных плотностей токов для электродов, были одинаковы или, по крайней мере, отличались на постоянную величину.

Рассмотрим еще одну формулировку условия подобия через поляризуемость. Поляризуемостью α называется производная вида $\alpha = d\eta/dD_n$ полученная из уравнения кривой поляризации (6).

Для поляризуемости α , выраженной в безразмерных единицах, будем иметь место соотношение:

$$\alpha = \frac{dH}{dD_n}. \quad (11)$$

После дифференцирования уравнения кривой поляризации (10) получаем

$$\alpha = \Phi(D_n). \quad (12)$$

Равенство (12) представляет собою дифференциальное уравнение поляризационной кривой. Поэтому оно, как и равенство (10), может быть рассмотрено в качестве граничного условия. На этом основании вторая формулировка условия подобия будет следующей. Для того чтобы два электролита имели подобные электрические поля, необходимо и достаточно, чтобы функции, выражающие связь между значениями безразмерных поляризуемостей и значениями безразмерных плотностей токов, были одинаковы.

К р и т е р и а л ь н ы е у р а в н е н и я э л е к т р и ч е с к и х по л е й в э л е к т р о л и т а х . Критериальные уравнения имеют

большое значение для установления различных связей, характеризующих подобные явления. Они позволяют в виде простых соотношений обобщить данные, полученные на основании опыта. Критериальные уравнения выражают определенную связь между различными комплексами параметров, выявляющуюся из рассмотрения физического уравнения, характеризующего процесс, а также из рассмотрения граничных условий заданных физических параметров и геометрических элементов, входящих в условия однозначности.

В настоящем разделе устанавливается вид критериальных уравнений для электрохимических полей с однородной средой ($\rho = \text{const}$) для случая, когда поляризация линейно зависит от плотности тока:

$$\eta = kD_n + a \quad (13)$$

$$\alpha = \frac{d\eta}{dD_n} = k = \text{const}. \quad (14)$$

Дифференциальным уравнением, характеризующим электрическое поле электролитов, является, как ранее было отмечено, уравнение Лапласа (4). Интегрирование этого уравнения приводит к результатам, зависящим от условий однозначности. В нашем случае к числу этих условий относятся: величина удельного сопротивления электролита ρ , характеризующая физические свойства среды; геометрические параметры $l_0, l_1, l_2, \dots, l_n$, определяющие форму электролизера, граничное условие (13), связанное с электрохимическими свойствами системы электрод — электролит, и, наконец, условие (5) на границе электролита с изолятором, соблюдаемое автоматически при наличии геометрического подобия моделируемых электролизеров.

Уравнения, характеризующие процесс и граничные условия, а также физические и геометрические параметры, входящие в условия однозначности, при помощи масштабных преобразований:

$$x = x_0 X; \rho = \rho_0 P; V = V_0 U; D_n = D_0 D_n; \alpha = \alpha_0 \partial, \quad (15)$$

представим в безразмерном виде.

Для уравнения Лапласа (4) и граничного условия (5) ранее были получены соотношения (8) и (9).

Граничное условие (13) в рассматриваемом случае для катодной и анодной границ электролита на основании (14) можно выразить двумя соотношениями

$$\alpha_k = \frac{d\eta}{dD_k} = \text{const}_1; \quad \alpha = \frac{d\eta}{dD_a} = \text{const}_2. \quad (16)$$

При помощи масштабных преобразований из этих соотношений получаем

$$\alpha_0 \partial_k = \frac{V_0 dH}{D_0 dD_k} = \text{const}_1; \quad \alpha_0 \partial_a = \frac{V_0 dH}{D_0 dD_a} = \text{const}_2. \quad (17)$$

Из равенств (17) определяем уравнение связи:

$$\alpha_0 = \frac{V_0}{D_0}, \quad (18)$$

получаем выражение для граничных условий (16) в безразмерной форме:

$$\partial_k = \frac{dH}{dD_k} = \text{const}_3; \quad \partial_a = \frac{dH}{dD_a} = \text{const}_4. \quad (19)$$

Безразмерные геометрические параметры, отражающие геометрические свойства электролизера, предстанут в виде

$$L_0, L_1, L_2, \dots, L_n.$$

Выберем произвольно значения трех масштабов:

$$x_0 = l_0; \quad \rho_0 = \rho; \quad D_0 = \frac{I_0}{l_0^2},$$

где l_0 — любой произвольный размер электролизера, ρ — удельное сопротивление электролита, I_0 — сила тока в ванне.

Выбор этих масштабов предопределяет масштаб для измерения потенциала V_0 , так как последний имеет взаимосвязанную размерность, которую согласно закону Ома можно выразить соотношением:

$$[V_0] = [D_0][\rho_0][l_0]. \quad (2)$$

При помощи уравнения связи между размерностями (20) и уравнения связи между масштабами (18) найдем, что

$$V_0 = \frac{I_0 \rho}{l_0} \text{ и } \alpha_0 = \rho l_0.$$

На этом основании для безразмерных параметров масштабные преобразования дают

$$L_0 = 1; \quad P = 1; \quad D_n = \frac{D_n}{I_0} l_0^2; \quad U = \frac{V l_0}{I_0 \rho}; \quad \vartheta = \frac{\alpha}{\rho l_0}. \quad (2)$$

В результате интегрирования уравнения (8) под знак функции, определяющей потенциал U , кроме координат рассматриваемой точки X, Y и Z , войдут постоянные интегрирования, определяемые из условий однозначности. В нашем случае к их числу относятся

$$L_0, L_1, L_2, \dots, L_n; \quad \vartheta_k, \vartheta_a \text{ и } P.$$

Следовательно, результирующее уравнение для потенциала будет иметь вид:

$$U = F_0(X, Y, Z, L_0, L_1, L_2, \dots, L_n, \vartheta_k, \vartheta_a, P).$$

Так как согласно (21) $L_0 = 1$ и $P = 1$, то для потенциала можно записать

$$U = F(X, Y, Z, L_1, L_2, \dots, L_n, \vartheta_k, \vartheta_a).$$

Перенеся уравнение в развернутом виде, окончательно получим

$$U = \frac{I_0}{\rho l_0} = F\left(\frac{x}{l_0}, \frac{y}{l_0}, \frac{z}{l_0}, \frac{l_1}{l_0}, \frac{l_2}{l_0}, \dots, \frac{l_n}{l_0}, \frac{\alpha_k}{\rho l_0}, \frac{\alpha_a}{\rho l_0}\right). \quad (2)$$

Покажем, что число полученных критериев в уравнении (22) находится в полном соответствии с требованиями π -теоремы. Число размерных величин, входящих в уравнение, равно $N = n + 9$; число величин с различными размерностями $m = 6$; число величин с независимыми размерностями $q = 3$. Согласно π -теореме число критериев комплексов (t_1) должно быть

$$t_1 = m - q = 6 - 3 = 3, \quad (2)$$

а число симплексов (t_2)

$$t_2 = N - m = n + 9 - 6 = n + 3. \quad (2)$$

Число критериев-комплексов и число симплексов, содержащихся в уравнении (22), как показывает непосредственный подсчет, отвечает числам, рассчитанным из формул (23) и (24).

Критерии и симплексы, находящиеся под знаком функции потенциала, будут также входить под знак функций других переменных поля, являющихся в конечном счете производными от потенциала.

Аналогично предыдущему можно показать, что величина модуля вектора плотности тока D может быть представлена в виде следующей функции

$$\frac{D}{I_0} l_0^2 = F_1 \left(\frac{x}{l_0}, \frac{y}{l_0}, \frac{z}{l_0}, \frac{l_1}{l_0}, \frac{l_2}{l_0}, \dots, \frac{l_n}{l_0}, \frac{\alpha_k}{\rho l_0}, \frac{\alpha_a}{\rho l_0} \right). \quad (25)$$

Соответственно нормальная составляющая вектора плотности тока к границе области будет иметь вид

$$\frac{D_n}{I_0} l_0^2 = F_2 \left(\frac{x}{l_0}, \frac{y}{l_0}, \frac{z}{l_0}, \frac{l_1}{l_0}, \frac{l_2}{l_0}, \dots, \frac{l_n}{l_0}, \frac{\alpha_k}{\rho l_0}, \frac{\alpha_a}{\rho l_0} \right). \quad (26)$$

Для показателя неравномерности распределения тока на электродах, также можно написать

$$T_1 = \frac{dD_n l_0}{dD_n} = F_3 \left(\frac{x}{l_0}, \frac{y}{l_0}, \frac{z}{l_0}, \frac{l_1}{l_0}, \frac{l_2}{l_0}, \dots, \frac{l_n}{l_0}, \frac{\alpha_k}{\rho l_0}, \frac{\alpha_a}{\rho l_0} \right). \quad (27)$$

В случае, если любая из переменных величин, характеризующих поле, будет относиться к какой-либо точке электрического поля, то координаты этой точки (x_0, y_0, z_0), принявшие определенное значение как постоянные числа, могут быть исключены из-под знака соответствующей функции. Например, для максимальной, средней и минимальной плотностей токов на любом из электродов критериальные уравнения будут иметь следующий вид

$$\frac{D_{\max}}{I_0} l_0^2 = F_4 \left(\frac{l_1}{l_0}, \frac{l_2}{l_0}, \dots, \frac{l_n}{l_0}, \frac{\alpha_k}{\rho l_0}, \frac{\alpha_a}{\rho l_0} \right), \quad (28)$$

$$\frac{D_{\text{ср}}}{I_0} l_0^2 = F_5 \left(\frac{l_1}{l_0}, \frac{l_2}{l_0}, \dots, \frac{l_n}{l_0}, \frac{\alpha_k}{\rho l_0}, \frac{\alpha_a}{\rho l_0} \right), \quad (29)$$

$$\frac{D_{\min}}{I_0} l_0^2 = F_6 \left(\frac{l_1}{l_0}, \frac{l_2}{l_0}, \dots, \frac{l_n}{l_0}, \frac{\alpha_k}{\rho l_0}, \frac{\alpha_a}{\rho l_0} \right). \quad (30)$$

Для показателей равномерности распределения тока T , представляющих собою относительные числа, составленные из различных комбинаций D_{\max} , D_{\min} и $D_{\text{ср}}$, вид функции, как это следует из равенств (28), (29) и (30), в общем случае будет

$$T = F_7 \left(\frac{l_1}{l_0}, \frac{l_2}{l_0}, \dots, \frac{l_n}{l_0}, \frac{\alpha_k}{\rho l_0}, \frac{\alpha_a}{\rho l_0} \right). \quad (31)$$

Равенство (31) показывает, что равномерность распределения тока на электродах зависит не только от геометрических факторов, но и от свойств самого электролита, в частности от отношений величин поляризуемостей катода и анода к удельному сопротивлению электролита.

Все критериальные уравнения, о которых идет здесь речь, выводятся предположении линейной связи между поляризацией и плотностью тока. На практике такая связь встречается редко. Для того чтобы использовать критериальные уравнения для установления различного рода закономерностей в электролитах с нелинейными поляризационными кривыми в критериях электрохимического подобия, следует учитывать среднее значение поляризуемостей. В этом случае, например, критериальное уравнение (31) будет иметь вид

$$T = F_8 \left(\frac{l_1}{l_0}, \frac{l_2}{l_0}, \dots, \frac{l_n}{l_0}, \frac{\alpha_{k, \text{ср}}}{\rho l_0}, \frac{\alpha_{a, \text{ср}}}{\rho l_0} \right). \quad (32)$$

Обсуждение выводов теории подобия с точки зрения имеющихся литературных данных. Первую из попыток решить задачу моделирования предприняли Агар Хоар [1], которые пришли к выводу, что при одинаковой плотности тока

и поляризации два электролита будут моделировать друг друга в случае, если линейные размеры электролизеров будут обратно пропорциональны удельным сопротивлениям растворов. Их условие можно написать в виде

$$\rho' l'_0 = \rho'' l''_0. \quad (33)$$

Другой попыткой в этом направлении является работа Форсблума и Машовца [2]. Авторы сформулировали условие подобия равенства, которое, будучи записано в наших обозначениях, имеет вид:

$$\eta' = K_V \eta''. \quad (34)$$

Этот же результат по существу приводит и Каданер [3]. Наконец, автор настоящей работы ранее [4], исходя из равенства углов наклона линий тока к электродам в подобных электрических полях, удалось сформулировать условие подобия в виде соотношения

$$\eta' = K_V \eta'' + A, \quad (35)$$

в котором величина A может быть любой константой.

Оценим приведенные результаты с точки зрения условий моделирования, установленных с помощью теории подобия.

Из определения подобия вытекает, что для двух подобных электрических полей будет иметь место равенство безразмерных значений потенциалов

$$U' = U'',$$

откуда следует

$$V' \frac{l'_0}{\rho' l'_0} = V'' \frac{l''_0}{\rho'' l''_0}$$

или

$$V' = K_V V''. \quad (36)$$

Равенство (36) справедливо и для точек, находящихся на границах электролита. Для дальнейших расчетов воспользуемся связью между потенциалом границ V и поляризуемостью η :

$$\Pi_M - V = \Delta \Pi + \eta, \quad (37)$$

где Π_M — потенциал металла электрода, а $\Delta \Pi$ — разность потенциалов между металлом электрода и электролитом в отсутствие тока.

Для тех случаев, в которых величины Π_M и $\Delta \Pi$ можно считать постоянными, на основании равенства (37) имеем

$$V + \eta = \text{const} \quad (38)$$

откуда следует:

$$V = \text{const} - \eta.$$

После подстановки этого результата в соотношение (36) получим

$$\eta' = K_V \eta'' + A,$$

где A — некоторая константа.

Таким образом, теория подобия приводит к результату (35), полученному ранее, но другим путем. Условие подобия Г. В. Форсблума и В. П. Машовца (34) относится к этому частному случаю, когда в уравнении (35) константа A — равна нулю. Условие Агара и Хоара (33) можно получить как частный случай из более общих условий подобия (34) или (35) путем их дифференцирования и последующих преобразований, например из (35) получаем

$$\frac{d\eta'}{dD'_n} = \frac{\rho' l'_0}{\rho'' l''_0} \frac{d\eta''}{dD''_n} \quad \text{или} \quad \frac{\alpha'}{\rho' l'_0} = \frac{\alpha''}{\rho'' l''_0}.$$

При одинаковой плотности тока и одинаковой форме поляризационных кривых, как это оговаривают Агар и Хоар, имеем $\alpha' = \alpha''$, а затем (33).

Имющиеся литературные данные позволяют также определенным образом судить о правильности установленного в настоящей работе вида критериальных уравнений. Существуют несколько решенных задач, относящихся к случаям, когда удалось интегрировать уравнение Лапласа при граничном условии (13). Задачи такого рода были решены Каспером [5], Фрумкин [6], Вагнером [7] и другими. Решения некоторых авторов приведем в качестве примера.

Каспер для случая распределения тока вдоль поверхности плоского электрода в поле с линейным анодом дает для потенциала формулу:

$$V = -\frac{I_0 \rho}{4\pi} \left[\ln \frac{(x-a)^2 + y^2}{(x+a)^2 + y^2} - \frac{4a}{\rho} \int_0^{\infty} \frac{e^{-\gamma(a+x)} \cos \gamma y d\gamma}{1 + \gamma a} \right],$$

где a — расстояние между линией и плоскостью, γ — переменная интегрирования.

Представим эту формулу в безразмерном виде:

$$4\pi \frac{V}{I_0 \rho} = -\ln \frac{\left(\frac{x}{a} - 1\right)^2 + \left(\frac{y}{a}\right)^2}{\left(\frac{x}{a} + 1\right)^2 + \left(\frac{y}{a}\right)^2} + 4 \frac{\alpha}{\rho a} \int_0^{\infty} \frac{e^{-\gamma a (1-x/a)} \cos \gamma a \frac{y}{a} d(\gamma a)}{1 + \gamma a \frac{\alpha}{\rho a}}. \quad (39)$$

Отсюда следует, что потенциал в задаче Каспера в общем виде выражается функцией

$$\frac{V}{I_0 \rho} = f\left(\frac{x}{a}, \frac{y}{a}, \frac{\alpha}{\rho a}\right). \quad (40)$$

Безразмерная переменная интегрирования γa не войдет под знак функции (40), так как в процессе интегрирования она исключится.

Фрумкин для одного упрощенного случая поля получает решение

$$\frac{D_2 - D_1}{D_1} = \frac{\frac{\Delta/l}{\frac{1}{\rho l} \left| \frac{d\eta}{dD_n} \right| + 1}}, \quad (41)$$

где $(D_2 - D_1)/D_1$ — величина, характеризующая относительную неравномерность распределения тока, Δ/l — один из геометрических параметров, представленный в безразмерном виде, $d\eta/dD_n$ — поляризуемость электрода α .

Этот результат легко может быть представлен в виде

$$\frac{D_2 - D_1}{D_1} = f\left(\frac{\Delta}{l}, \frac{\alpha}{\rho l}\right). \quad (42)$$

Сравнение равенства (40) и (42) с равенствами (22) и (31) показывает, что соотношения, являющиеся конкретными решениями задач поля, содержат под знаком функции те же параметры, наличие которых устанавливается при помощи теории подобия.

Выводы

Дано решение задачи моделирования электрических полей в электролитах методом теории подобия. При этом сформулированы условия подобия и установлен вид критериальных уравнений.

ЛИТЕРАТУРА

1. I. N. Agar, T. P. Hoar, Disc. Faraday Soc., 1, 158, 1947.
 2. Г. В. Форсблом, В. П. Машовец, Докл. АН СССР, 91, 593, 1953.
 3. Л. И. Кадагер, Научн. зап. Харьковского ин-та сов. торговли, 6, 261, 1957.
 4. Н. П. Гнусин, Тр. Ленингр. технол. ин-та им. Ленсовета, 33, 13, 1955.
 5. Ch. Kaspar, Trans. Electrochem. Soc., 78, 131, 1940.
 6. А. Н. Фрумкин, Ж. физ. химии, 23, 1477, 1949.
 7. А. Н. Фрумкин, В. С. Багоцкий, З. А. Иофа, Б. П. Кабанов, Кинетика электродных процессов. Изд-во МГУ, 1952.
 8. C. Wagner, J. Electrochem. Soc., 98, 116, 1951.
-

THE THEORY OF MODELLING ELECTRICAL FIELDS OF ELECTROLYTES

N. P. Gnusin (Gomel')

Summary

Attempts to theoretically solve the problem of modelling the electrical fields of electrolytes made heretofore did not yield any decisive results. In this study a solution has been attempted with the aid of the similarity principle. It was shown that in order for two electrolytes in geometrically similar electrolyzers to have similar electrical fields it is necessary and sufficient that the functions expressing the relation between the values or the dimensionless polarizabilities and for the dimensionless current densities should be identical.

О КАТАЛИТИЧЕСКОМ ОКИСЛЕНИИ МЕТАНА
И МЕТИЛОВОГО СПИРТА

Н. С. Ениколопан и И. М. Бельговский

Исследовав условия получения максимальных выходов стабильных промежуточных продуктов в сложных цепных реакциях, мы показали, что при данной температуре и данном составе реагирующих веществ существует определенный предельный выход стабильных промежуточных продуктов, не зависящий от скорости зарождения, вырождения разветвления и гибели активных центров [1]. Существенное изменение скорости зарождения и гибели активных центров может лишь уменьшить или увеличить время достижения максимальной концентрации стабильных промежуточных продуктов, практически не влияя на ее величину. Хотя величина максимальной концентрации промежуточного вещества, будучи функцией текущих концентраций реагирующих веществ, и зависит от времени своего наступления, однако, опыт показывает, что этот эффект незначителен [2, 3].

Исходя из этого, можно утверждать, что при образовании одного и того же стабильного промежуточного продукта из разных исходных веществ в случае цепного протекания процесса максимальный выход СПП в основном будет определяться химической активностью, т. е. реакционной способностью исходных веществ, а не условиями протекания процесса. Резкое увеличение максимальных выходов стабильных промежуточных продуктов при применении гетерогенных катализаторов связано в основном с гетерогенным протеканием всего процесса, а не с изменением скорости зарождения или гибели активных центров. С этой точки зрения определенный интерес представляет сопоставление выходов формальдегида при окислении метана и метилового спирта. Гомогенное окисление метана протекает по механизму $\text{CH}_4 \rightarrow \text{CH}_2\text{O} \rightarrow \text{CO}$. [4], при этом максимальный выход формальдегида не превышает 3% [5]. Применение различных гетерогенных катализаторов с целью увеличения выхода формальдегида не приводит к существенным результатам.

При окислении метилового спирта на серебряном катализаторе выход формальдегида составляет 80—90% [6]. Столь большая разница в выходах формальдегида при окислении метана и метилового спирта не может быть объяснена большей реакционной способностью метилового спирта (связь С—Н в метиловом спирте менее прочна, чем в метане). Безусловно это явление связано с резким различием в механизме процесса.

Задачей настоящей работы является выяснение причин, приводящих к столь большой разнице в выходе формальдегида при окислении метилового спирта и метана.

Экспериментальная часть

Методика. Исследование проводилось на обычной вакуумной установке (рис. 1). Реакционный сосуд представлял собой кварцевый цилиндр длиной 180 мм и внутренним диаметром 38 мм (объем 160 см³). По оси цилиндра проходил кварцевый капилляр диаметром 0,55 мм, в котором помещался центральный спай дифференциальной термодомы. Вто-

рой спай помещался в другом кварцевом капилляре, протянутом вдоль внешней стенки сосуда. В работе использовались термопары: нихром-константан 0,05 и 0,13 мм, хромель-алюмель 0,10 мм. Дифференциальная термопара подключалась к зеркальному гальванометру типа М 21-1 с чувствительностью 10^{-9} А.

Система градуировалась при помощи двух термометров Бекмана и имела чувствительность порядка $1,5 \cdot 10^{-2}$ град./мм шкалы. Изменение давления в реакционном сосуде по ходу реакции регистрировалось мембранным манометром чувствительностью 15—25 мм вод. ст./мм шкалы.

Для исследования кинетики реакции гомогенного окисления метилового спирта и метана стенки реакционного сосуда обрабатывались

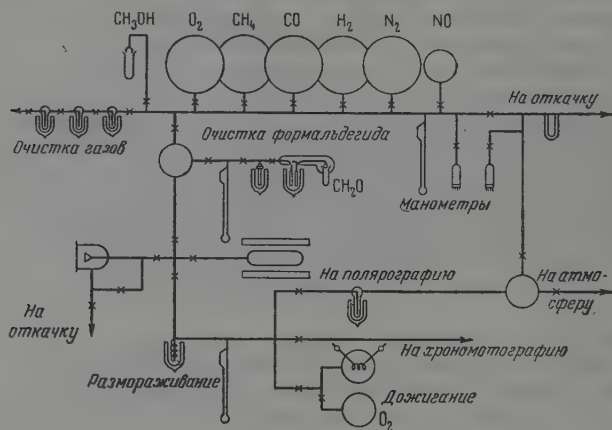


Рис. 1. Вакуумная установка для изучения газовых реакций окислений

2%-ным водным раствором тетрабората калия. Для исследования кинетики реакции гетерогенного окисления метана и метилового спирта стенки реакционного сосуда покрывались пленкой металлического серебра. Покрытие производилось испарением металлического серебра с молибденового нагревателя в вакууме. Для этого внутри сосуда помещалась молибденовая проволока диаметром 0,7 мм в виде спирали, к которой были прикреплены маленькие навески металлического серебра. Сосуд откачивался до давления 10^{-6} мм рт. ст. и прокачивался, после чего молибденовая спираль нагревалась электрическим током до $700-800^{\circ}$. При этом серебро медленно испарялось и покрывало равномерным тонким слоем стенки сосуда. Полученный таким образом слой серебра составлял примерно 2000 молекулярных слоев.

Обычно реакция проходила за 3—7 мин. Анализ реакционной смеси производился через каждые 30 сек. Определялась концентрация оставшегося метана, метилового спирта и кислорода и образовавшихся CO , H_2 , CO_2 , H_2 и CH_2O .

Содержание воды и двуокиси углерода определялось по кривым размораживания. Сумма метилового спирта и формальдегида определялась сжиганием их на нагретой платиновой проволоке в избытке кислорода с последующим определением количества образовавшегося CO_2 . Затем формальдегид определялся отдельно при помощи полярографа. Анализ неконденсирующихся газов (метана, кислорода, окиси углерода и водорода) проводился хроматографически.

Обсуждение результатов

Из литературных данных [7, 8] известно, что метиловый спирт при прочих равных условиях окисляется с большей скоростью, чем метан. Отсюда следует, что выход стабильного промежуточного продукта — формальдегида, который в обеих реакциях осуществляет вырожденное разветвление [9] (максимальная скорость реакции пропорциональна максимальной концентрации формальдегида), в случае гомогенного окисления метилового спирта должен быть выше, чем в случае окисления метана. Однако необходимо выяснить, может ли при гомогенном окислении метилового спирта образоваться такое большое количество формальдегида, как это имеет место в промышленных реакторах при применении серебряных или медных катализаторов. Для доказательства гомогенного характера реакции мы воспользовались методом раздельного калориметрирования [10, 11], согласно которому реакция гомогенна, если вычисленный теоретически разогрев в центре реактора строго совпадает с разогревом, измеренным на опыте. Теоретическое вычисление величины разогрева производится в предположении, что система стационарна, т. е. $\partial T / \partial t = 0$. Это может быть в том случае, если время релаксации температуры в реакционном сосуде намного меньше времени реакции. А. А. Ковальским [11] экспериментально было показано, что в случае гетерогенного тепловыделения (окисление медной проволоки) это допущение справедливо. В случае гомогенного тепловыделения справедливость этого допущения для обычно встречающихся реакций (скорость тепловыделения и ее изменение во времени) не была доказана. Ниже приводится расчет, доказывающий, что это допущение справедливо.

Теоретическое вычисление объемного разогрева в реакционном сосуде. Общее дифференциальное уравнение теплопроводности для задачи гомогенным тепловыделением имеет вид:

$$\frac{\partial T}{\partial t} = a \Delta T + \frac{w}{C_p}, \quad (1)$$

где a — коэффициент температуропроводности, $a = \lambda / C_p$, в $\text{м}^2/\text{час}$,
 λ — коэффициент теплопроводности в $\text{ккал}/\text{м} \cdot \text{час} \cdot \text{град}$;
 w — удельная скорость тепловыделения в $\text{ккал}/\text{м}^3 \cdot \text{час}$;
 C — теплоемкость среды в $\text{ккал}/\text{кг} \cdot \text{град}$; ρ — плотность среды в $\text{кг}/\text{м}^3$.

Принимая условно реакционный сосуд за бесконечный цилиндр, будем решать задачу в цилиндрических координатах. Тогда уравнение (1) принимает вид:

$$\frac{\partial T}{\partial t} = a \left(\frac{\partial^2 T}{\partial r^2} + \frac{1}{r} \frac{\partial T}{\partial r} \right) + \frac{w}{C_p}, \quad (2)$$

где r — радиус.

Если температура на стенках реакционного сосуда ($r = R$) поддерживается постоянной, а тепловыделение происходит равномерно по всему объему сосуда, то граничные условия для нашей задачи следующие:

$$\begin{aligned} T(r, 0) &= T_0 && \text{задается начальная температура в сосуде,} \\ \frac{\partial T(0, t)}{\partial r} &= 0 && \text{условие максимальной температуры на оси} \\ &&& \text{сосуда (из соображений симметрии),} \\ T(R, t) &= T_{\text{ст}} && \text{температура на стенке остается постоянной.} \end{aligned}$$

Разобьем всю реакцию на отдельные короткие интервалы, достаточно малые для того, чтобы считать скорость реакции постоянной ($w = \text{const}$). Для любого такого интервала решение уравнения может быть представлено в виде бесконечного ряда [12]:

$$\theta = 1 + \frac{1}{4} \text{Po} \left(1 + \frac{2}{\text{Bi}} - \frac{r^2}{R^2} \right) - \sum_{n=1}^{\infty} \left(1 + \frac{\text{Po}}{\mu_n^2} \right) A_n I_0 \left(\mu_n \frac{r}{R} \right) e^{-\mu_n^2 \text{Fo}}, \quad (3)$$

где критерии теплового подобия:

$$\text{Po} = \frac{w R^2}{\lambda |T_{\text{ст}} - T_0|} - \text{критерий Померанцева},$$

$$Bi = \frac{\alpha}{\lambda} R - \text{критерий Био,}$$

$$Fo = \frac{at}{R^2} - \text{критерий Фурье,}$$

α — коэффициент теплоотдачи в $\text{ккал}/\text{м}^2 \cdot \text{час} \cdot \text{град}$;

$$\theta = \frac{T(r, t) - T_{\text{ст}}}{T_0 - T_{\text{ст}}} - \text{относительная избыточная температура,}$$

A_n, μ_n — постоянные коэффициенты и корни характеристического уравнения, для определения которых составлена таблица,

I_0 — функция Бесселя 1-го рода нулевого порядка.

Видно, что временная зависимость, характеризующая время релаксации температуры в системе, входит в решение через критерий Фурье. От его величины зависит значение всего ряда (3).

Оценим по величине первый член ряда. Для этого из таблиц находим числовые значения A_1 и μ_1 и подставляем их в выражение для общего члена ряда (3). Рассмотрим решение на оси сосуда, полагая $r = 0$. В нашем случае $\alpha = \infty$, $Bi = \infty$; следовательно, $A_1 = 1,602$ и $\mu_1 = 2,6$;

$$N_1 = \left(1 + \frac{Po}{\mu_1^2}\right) A_1 I_0\left(\mu, \frac{r}{R}\right) e^{-\mu_1^2 Fo} = \left[1 + \frac{1}{2,6^2} \frac{wR^2}{\lambda(T_0 - T_{\text{ст}})}\right] \cdot 1,6 \cdot e^{-2,6^2 at/R^2},$$

где N_1 — первый член разложения.

Подставим в полученное выражение следующие значения величин, определенных для 90-й секунды реакции окисления метилового спирта в реакторе при 530° ; $Po[\text{CH}_3\text{OH}] = 50$ мм рт. ст., $Po[\text{O}_2] = 50$ мм рт. ст. $w = 2,0 \cdot 10^3$ $\text{ккал}/\text{м}^3 \cdot \text{час}$, $a = 2,3$ $\text{м}^2/\text{час}$, $\lambda = 6,4 \cdot 10^3$ $\text{ккал}/\text{м} \cdot \text{час} \cdot \text{град}$, $(T_0 - T_{\text{ст}}) = \Delta T = 2,0^\circ$, $R = 1,9 \cdot 10^{-2}$ м.

Получаем

$$N_1 = 2,9 \cdot e^{-43000t},$$

где t — часы, или

$$N_1 = 2,9 \cdot e^{-12t},$$

где t — секунды

Таблица 1

t , сек.	N_1	t , сек.	N_1
0	2,9	0,4	0,024
0,1	0,87	0,5	0,007
0,2	0,26	1,0	0,00002
0,3	0,08		

Зависимость N_1 от времени t представлена на рис. 2.

Видно, что член N_1 со временем быстро стремится к нулю. Легко показать, что в любой момент времени все другие члены ряда пренебрежимо малы по сравнению с первым членом. Если интервал времени, в течение которого можно считать скорость реакции постоянной, достаточен для затухания рассмотренной функции $N_1(t)$ (т. е. $\sim 0,5$ сек), то для конца интервала в выражении (3) можно пренебречь всеми членами ряда по сравнению с единицей:

$$\theta = 1 + \frac{1}{4} Po \left(1 + \frac{2}{Bi} - \frac{r^2}{R^2}\right). \quad (4)$$

Преобразуем его, учитывая, что в случае постоянной температуры стенки $\alpha = \infty$ и $Bi = \infty$. Имеем:

$$\frac{T(r, t) - T_{\text{ст}}}{T_0 - T_{\text{ст}}} = 1 + \frac{1}{4} \frac{wR^2}{\lambda(T_0 - T_{\text{ст}})} \cdot \left(1 - \frac{r^2}{R^2}\right),$$

$$T(r, t) - T_0 = \frac{wR^2}{4\lambda} \left(1 - \frac{r^2}{R^2}\right).$$

Обозначая $T(r, t) - T_0$ через ΔT , получаем выражение для разогрева в центре реакционного сосуда:

$$\Delta T(0, t) = \frac{R^2}{4\lambda} w. \quad (5)$$

Правая часть выражения не зависит от времени, значит разогрев в реакционном сосуде успевает установиться за рассматриваемый промежуток времени и точно соответствует скорости химической реакции. Применяя подобные рассуждения к последовательным отрезкам времени, получаем известную формулу для объемного разогрева стационарных условиях:

$$\Delta T(0, t) = \frac{R^2}{4\lambda} w(t). \quad (6)$$

При выводе формулы предполагалось постоянство теплопроводности реакционной смеси λ . На самом деле теплопроводность смеси меняется, однако здесь это не существенно и конечный результат может быть записан в виде:

$$\Delta T(0, t) = \frac{R^2 w(t)}{4\lambda(t)} = \frac{Q(t)}{4\pi\lambda(t)}, \quad (7)$$

где Q — тепловыделение в единицу времени на единицу длины реакционного сосуда.

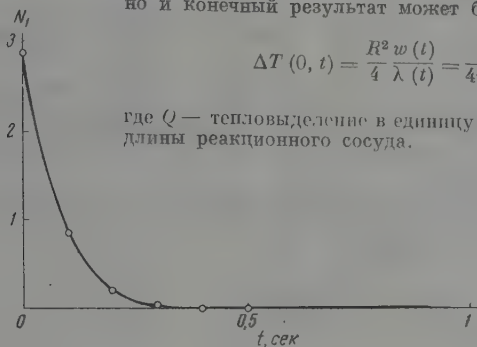


Рис. 2. Зависимость первого члена разложения от времени

Полученный результат свидетельствует о том, что при обычно наблюдаемых тепловыделениях химической реакции и их изменениях во времени (w и dw/dt) условия теплопроводности в реакционных сосудах данного типа можно считать стационарными, пренебрегать тепловой инерцией реакционной смеси.

Для сопоставления выходов формальдегида при окислении метана и метилового спирта исследовалась кинетика гомогенного окисления метана (температура 580° , давление 250 мм рт. ст., $\text{CH}_4 : \text{O}_2 = 1 : 1$) и метилового спирта (температура 490° , давление 106 мм рт. ст., $\text{CH}_3\text{OH} : \text{O}_2 = 1 : 1$). Эксперименты проводились при разных температурах и давлениях с целью получения сопоставимых скоростей реакции (рис. 3, 4). Хотя очевидно, что условия реакции (температура и давление) влияют на максимальный выход формальдегида, однако, как показывает опыт, это влияние невелико.

Максимальная концентрация формальдегида в случае окисления метана оказалась равной 1 мм рт. ст., а в случае окисления метилового спирта — 4,7 мм рт. ст., т. е. в пять раз больше. Выходы формальдегида, рассчитанные на прореагировавший метан и метиловый спирт, в обоих случаях оказались очень низкими. Таким образом можно считать доказанным, что большой выход формальдегида при окислении метилового спирта на серебряном катализаторе не связан с иницированием на серебряной поверхности активных центров, которые далее ведут гомогенное окисление метилового спирта.

Остается показать, что в этой серии опытов реакция действительно гомогенна. Для этого сопоставим рассчитанное значение разогрева с опытными. Используемые для теоретического вычисления величины разогрева данные по теплопроводности газов при высоких температурах пред-

ставлены на рис. 5. Теплопроводность смеси газов рассчитывалась по аддитивной схеме. Конвекция, вызванная разогревом, не учитывалась, так как величина разогрева мала и, следовательно, конвекция незначительна. Исходя из кинетических данных, представленных на рис. 3, 4, для момент

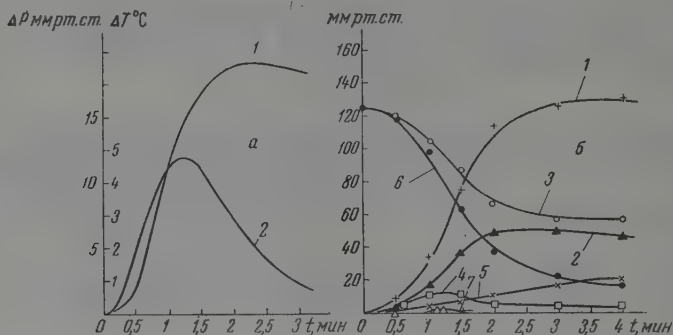


Рис. 3. Кинетика гомогенного окисления метана при 580° и давления 250 мм рт. ст. Смесь $\text{CH}_4 : \text{O}_2 = 1 : 1$. а: 1 — ΔP , 2 — ΔT ; б: 1 — H_2O , 2 — CO , 3 — CH_3OH , 4 — H_2 , 5 — CO_2 , 6 — O_2 , 7 — H_2CO

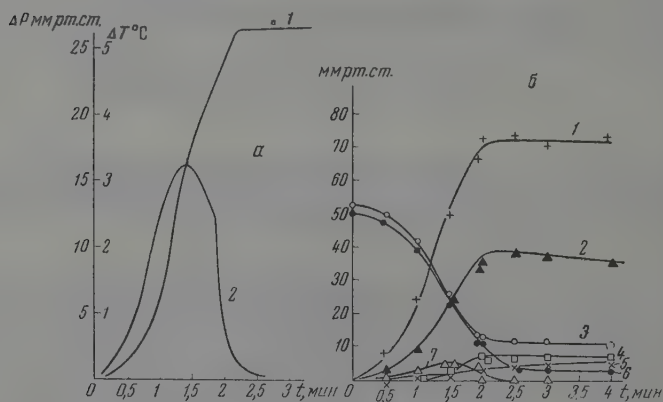


Рис. 4. Кинетика гомогенного окисления метилового спирта при 490° и давления 106 мм рт. ст. Смесь $\text{CH}_3\text{OH} : \text{O}_2 = 1 : 1$. а: 1 — ΔP , 2 — ΔT ; б: 1 — H_2O , 2 — CO , 3 — CH_3OH , 4 — H_2 , 5 — CO_2 , 6 — O_2 , 7 — H_2CO

максимальной скорости реакции получены следующие значения коэффициентов теплопроводности: при окислении метана $\lambda = 84 \cdot 10^{-3}$ ккал/м·час, при окислении метилового спирта $\lambda = 64 \cdot 10^{-3}$ ккал/м·час.

Для вычисления скорости тепловыделения использовались следующие данные по энтальпии и теплоемкости газов [13] (табл. 2).

Данные по теплоемкости соответствуют средней величине в рассматриваемом интервале температур. Скорость тепловыделения рассчитывалась по формуле

$$w = \sum_{i=1}^{i=n} (\Delta H_i + C_{pi} \Delta T) \frac{\Delta N_i}{\Delta t},$$

Таблица 2

	CH ₄	CH ₃ OH	H ₂ O	CO	CO ₂	H ₂	O ₂
H ₁₈ , ккал/моль	-17,87	-48,93	-57,84	-26,74	-84,45	0	0
·10 ³ , ккал/моль	9,51	14,7	8,66	6,8	4,8	6,87	7,0

где n — число компонентов в системе; $\frac{\Delta N}{\Delta t}$ — скорость изменения концентрации в моль/м³·час — определялась графически из кинетических данных.

Суммирование проводилось по всем компонентам. Получены следующие значения скоростей тепловыделения: окисление метана $w = 6,7 \times 10^3$ ккал/м³·час; окисление метилового спирта $w = 3,1 \times 10^3$ ккал/м³·час; величина разогрева вычисляется по формуле $\Delta T = w R^2/4\lambda$.

В табл. 3 сопоставлены вычисленные и измеренные на опыте значения разогревов в центре реакционного сосуда.

Результаты теоретического вычисления не очень строгие из-за трудности определения истинной теплопроводности смеси.

Данные табл. 3 показывают, что реакции окисления метана и метилового спирта, протекающие в сосуде, стенки которого промыты тетраборатом калия, действительно гомогенны.

Окисление метана и метилового спирта на серебряном катализаторе. Опыты показали, что метан

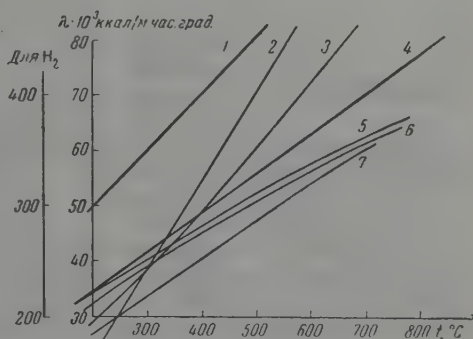


Рис. 5. Зависимость теплопроводности некоторых газов от температуры: 1 — CH₄, 2 — CH₃OH, 3 — H₂O, 4 — H₂, 5 — O₂, 6 — CO, 7 — CO₂

Таблица 3

	$\Delta T_{\text{выч}}$	$\Delta T_{\text{эксп}}$
Окисление метана	5,1	4,7
Окисление метилового спирта	4,5	3,5

окисляется в присутствии серебра значительно медленнее, чем в чистом сосуде в тех же условиях. Так, при 580° реакция шла очень медленно и за 15 мин. выгорело только 10% метана, тогда как при той же температуре в чистом сосуде реакция завершается за 3—4 мин. Кинетические кривые представлены на рис. 6. Реакция не сопровождалась изменением объема. Единственными продуктами реакции были вода и CO₂, что само по себе говорит о гетерогенном характере окисления метана на серебре. Кроме того, если окисление метана идет в объеме, то оно должно ускоряться добавками формальдегида. Опыты показали, что добавки формальдегида не ускоряют окисление метана. Добавки к системе метана с кислородом (CH₄ : O₂ =

$=1:1$, $P_0 = 250$ мм рт. ст.) более 20 мм рт. ст. формальдегида при 580° приводили к вспышке формальдегида, а окисление метана не ускорялось.

Вычисленный на основании кинетических кривых объемный разогрев составляет $0,25^\circ$ при условии, что реакция чисто гомогенна:

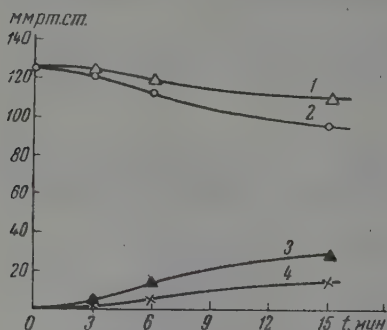


Рис. 6. Кинетика гетерогенного окисления метана на серебряном катализаторе при 580° и давлении 250 мм рт. ст. Смесь $\text{CH}_4 : \text{O}_2 = 1 : 1$

Таким образом, отсутствие разогрева в центре сосуда ($\Delta T = 0$), состав полученных продуктов (CO_2 и H_2O) и отсутствие влияния добавок формальдегида показывают, что медленная реакция окисления метана в серебре полностью гетерогенна. Тщательный анализ продуктов реакции

$$\lambda_{\text{ср}} = 73,4 \cdot 10^{-3} \frac{\text{ккал}}{\text{м} \cdot \text{час} \cdot \text{град}};$$

$$w = 2 \cdot 10^2 \frac{\text{ккал}}{\text{м}^3 \cdot \text{час}};$$

$$R = 2 \cdot 10^{-2} \text{ м};$$

$$\Delta T = \frac{R^2}{4\lambda} w = 0,25^\circ \text{ С}.$$

Расчет произведен для седьмой минуты реакции.

Измерения показали, что объемный разогрев отсутствует с точностью до $0,02^\circ$.

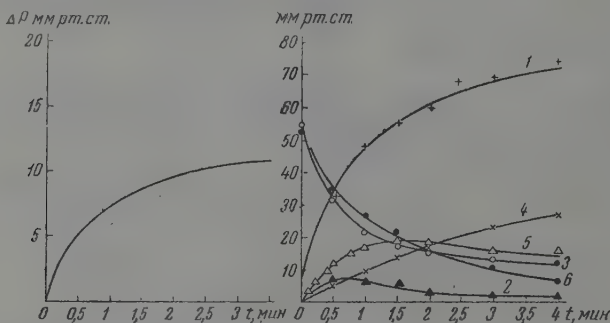


Рис. 7. Кинетика окисления метилового спирта на серебряном катализаторе при 370° и давлении 105 мм рт. ст. Смесь $\text{CH}_3\text{OH} : \text{O}_2 = 1 : 1$. 1 — H_2O , 2 — CO , 3 — CH_3OH , 4 — CO_2 , 5 — H_2CO , 6 — O_2

на формальдегид показал, что формальдегид не образуется (содержание $\text{CH}_2\text{O} < 0,005$ мм рт. ст.).

Опыты по окислению метилового спирта в посеребренном сосуде показали, что спирт легче окисляется на серебре, чем в объеме. Так, быстрая реакция окисления шла уже при 370° , т. е. на 120° ниже, чем в чистом сосуде. Реакция имела чисто гетерогенный характер: объемный разогрев полностью отсутствовал, изменилась кинетика процесса, рис. 7. Основные продукты — вода, CO_2 , CO и формальдегид. Максимальная концентрация формальдегида 19,5 мм рт. ст., что составляет 37% от исходного количества спирта. Наличие большой концентрации формальдегида в объеме не привело к гомогенному окислению метилового спирта (объемный разогрев равен нулю). Это возможно в том случае, если на поверхности сере

а очень сильно обрываются цепи. Для доказательства были проведены опыты по окислению метилового спирта в реакторе, промытом тетраборатом калия при температуре, соответствующей каталитическому окислению (370°). При этой температуре метиловый спирт окисляется очень медленно, но уже небольшие добавки формальдегида приводят к бурной гомогенной реакции (рис. 8). Таким образом, при температуре 370° формальдегид способен зародить с большой скоростью активные центры. Необходимо было выяснить, зарождает ли формальдегид активные центры на поверхности реакционного сосуда или в объеме. Для этого исследовалось влияние инертного газа на скорость окисления метилового спирта в присутствии формальдегида. Если активные центры зарождаются на поверхности реакционного сосуда, то инертный газ либо должен уменьшать скорость реакции (гибель активных центров в объеме), либо вовсе не влиять на скорость реакции (гибель на поверхности), но не должен ускорять реакцию. Опыт показал, что добавки азота увеличивают скорость реакции окисления метилового спирта, т. е. формальдегид зарождает активные центры в объеме.

В случае окисления метилового спирта на серебре концентрация формальдегида в объеме составляла 20 мм рт. ст., т. е. в объеме с большой скоростью образовывались активные центры, однако гомогенная реакция не шла, что говорит о гибели активных центров на серебряной поверхности. Это предотвращает гомогенное окисление метилового спирта и, что самое главное, дальнейшее гомогенное окисление образовавшегося формальдегида.

Из совокупности полученных данных следует, что при окислении метилового спирта на серебряном катализаторе реакция протекает через стадию образования CH_2O , который в основном десорбируется в объем и частично окисляется на поверхности в CO_2 и H_2O . Поскольку на поверхности серебра активные центры погибают с большой скоростью, то десорбированный в объем формальдегид дальше не окисляется. Метан же, по-видимому, в отличие от гомогенного окисления, на серебряном катализаторе непосредственно окисляется в воду и CO_2 , не проходя через стадию образования формальдегида.

Выводы

1. Решение уравнения теплопроводности показало, что для обычно наблюдаемых скоростей реакции (скорости тепловыделения и ускорения процесса) систему можно рассматривать как стационарную, т. е. метод издельного калориметрирования А. А. Ковальского к ней применим.
2. Показано, что при гомогенном окислении метана и метилового спирта максимальный выход промежуточного продукта формальдегида в последнем случае больше, чем в случае окисления метана, что находится в соответствии с большей реакционной способностью метилового спирта.
3. Исследование окисления метилового спирта на серебряном катализаторе показало, что процесс протекает полностью гетерогенно через промежуточную стадию образования формальдегида, который в основном сорбируется в объем. Гомогенное окисление образовавшегося формальде-

ΔP , мм рт.ст.

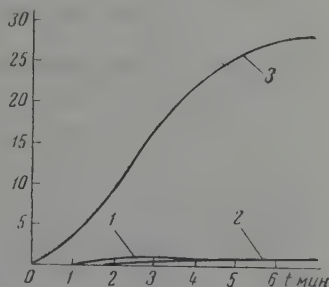


Рис. 8. Влияние добавок формальдегида на кинетику гомогенного окисления спирта: при 370°
 1 — CH_2O — 8 мм, O_2 — 97 мм;
 2 — CH_3OH — 53 мм, O_2 — 52 мм;
 3 — CH_3OH — 53 мм, H_2CO — 8 мм, O_2 — 52 мм

дегида, а также метилового спирта полностью подавляется из-за гибели активных центров на поверхности серебра.

4. В случае окисления метана на серебряном катализаторе реакция по-видимому, не проходит через промежуточную стадию образования формальдегида.

Академия наук СССР
Институт химической физики

Поступила
18.X.1958

ЛИТЕРАТУРА

1. Н. С. Ениколопян, Г. В. Королев, Г. П. Савушкина. Ж. физ. химии, 31, 865, 1958.
2. Н. С. Ениколопян, Г. В. Королев. Докл. АН СССР, 118, 6, 1958.
3. Н. С. Ениколопян, Г. В. Королев. Докл. АН СССР, 119, 3, 1958.
4. И. Н. Антонова, В. А. Кузьмин, Р. И. Мошкина, М. Б. Нейман, А. Б. Налбандян, Г. И. Феклисов. Изв. АН СССР, Отд. хим. н., вып. 789, 1955.
6. А. А. Анисонян, С. Ф. Гудков, Н. С. Ениколопян, Н. С. Клейменов, А. М. Маркевич, А. Б. Налбандян, А. Н. Сидоров. Газовое хозяйство, 6, 32, 1957.
6. Дж. Ф. Уокер. Формальдегид. Госхимиздат, М., 1957.
7. Л. В. Кармилова, Н. С. Ениколопян, А. Б. Налбандян. Ж. физ. химии, 34, 990, 1960.
8. K. M. Bell, C. F. H. Tipper. Proc. Roy. Soc., A 238, 256, 1956.
9. Л. В. Кармилова, Н. С. Ениколопян, А. Б. Налбандян. Ж. физ. химии, 31, 851, 1957.
10. А. А. Ковальский, М. Л. Богоявленская. Ж. физ. химии, 20, 1925, 1946.
11. А. А. Ковальский. Диссертация ИХФ, Москва.
12. А. В. Лыков. Теория теплопроводности, Гостехтеоретиздат, М., 1952.
13. Теплотехнический справочник под ред. Я. И. Герасимова, М., 1957.

CATALYTIC OXIDATION OF METHANE AND METHYL ALCOHOL

N. S. Enikolopyan and I. M. Bel'govskii (Moscow)

Summary

The solution of the thermal conductivity equations showed that for usually observed reaction rates (rate of heat evolution and acceleration of the process) the system may be considered as stationary, i. e. the Kovalskii separate calorimetric method is strictly valid.

It has been shown that in the homogeneous oxidation of methane and methyl alcohol the maximum yield of the intermediate formaldehyde is greater in the latter case than in the case of oxidation of methane, which is in correspondence with the higher reactivity of methyl alcohol.

A study of the oxidation of methyl alcohol on a silver catalyst showed that the process is completely heterogeneous and passes through the intermediate stage of formaldehyde formation which is mainly desorbed into space. The homogeneous oxidation of the formaldehyde formed, as well as of methyl alcohol are completely suppressed, owing to the rapid annihilation of active centers on the silver surface.

In the case of methane oxidation on a silver catalyst the reaction evidently does not pass through the intermediate state of formation of formaldehyde.

ФИЗИКО-ХИМИЧЕСКИЙ АНАЛИЗ СИСТЕМ, ОБРАЗОВАННЫХ
СПИРТАМИ С ОРГАНИЧЕСКИМИ КИСЛОТАМИ

III. СИСТЕМА ЭТИЛОВЫЙ СПИРТ — МОНОХЛОРУКСУСНАЯ КИСЛОТА*

З. С. Друтман

В статьях [1, 2] было высказано предположение, что сложный характер изменения некоторых свойств системы этиловый спирт — уксусная кислота является результатом образования в системе различных соединений, состав которых зависит от окружающей среды.

Представляет интерес выяснить, как скажется на состав образующих в такой системе соединений увеличение реакционной способности кислоты. С этой целью была изучена система этиловый спирт — монохлоруксусная кислота при 20, 40 и 60° по удельному объему, вязкости и удельной электропроводности. Кроме того, изучено изменение удельного объема, вязкости и диэлектрической проницаемости данной системы при растворении в четыреххлористом углероде при 40°.

Экспериментальная часть

Измерения диэлектрической проницаемости проводились по методу Уингера на частоте 1000 кГц.

Этот метод рассчитан для работы с очень плохо проводящими системами. В силу этого нам не удалось измерить диэлектрическую проницаемость чистой системы, электропроводность которой оказалась значительной.

Предварительными опытами было установлено, что процесс этерификации в системе не сказывается заметным образом на ее свойствах в течение 3—4 час. с момента образования системы. Поэтому все измерения производились тотчас после приготовления растворов.

Смеси готовились весовым путем. Растворы системы в четыреххлористом углероде готовились из изомольярных смесей компонентов с четыреххлористым углеродом объемным путем методом непрерывных измерений.

На рис. 1 приводятся изотермы удельного объема системы в функции концентрации спирта и изотермы вязкости системы в функции мол.%. При 20 и 40° кривые обрываются на 60—70 мол.% монохлоруксусной кислоты в силу того, что при более высокой концентрации кислота полностью не растворяется в спирте. Значительная выпуклость к оси состава на кривых вязкости свидетельствует о разрушении ассоциированных комплексов компонентов системы. Вместе с тем незначительный перегиб в области эквивалентного соотношения компонентов говорит о наличии некоторого взаимодействия между ними. По-видимому наложение обоих процессов приводит к аддитивному изменению удельного объема системы. Наличие взаимодействия между компонентами системы отчетливо отражается на

* В экспериментальной части работы принимали участие Б. И. Колешко, В. Бернштейн и В. В. Киреева.

изотермах удельной электропроводности. Как следует из рис. 2, растворение монохлоруксусной кислоты в этиловом спирте приводит к резкому росту электропроводности. В области эквимолекулярного соотношения компонентов электропроводность падает и на изотермах образуется минимум между двумя максимумами. С ростом температуры электропроводность системы возрастает, а минимум на изотермах углубляется. Исправление электропроводности на вязкость не изменяет характера изотерм электропроводности.

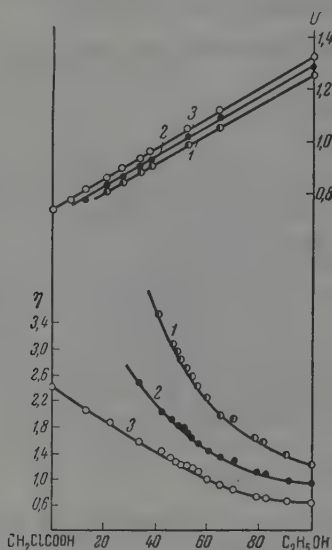


Рис. 1

Рис. 1. Удельный объем и вязкость системы при 20, 40 и 60°: 1—20°; 2—40°; 3—60°

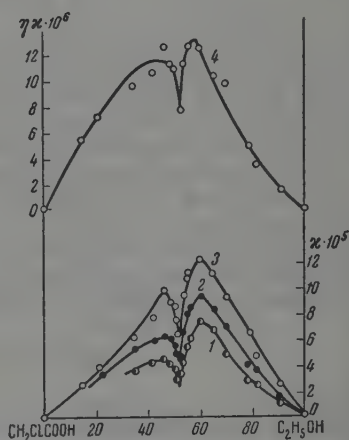


Рис. 2

Рис. 2. Удельная электропроводность системы при: 1—20°; 2—40° и 3—60°; 4—электропроводность, исправленная на вязкость при 20°

Таким образом, изменение изученных свойств системы отражает не только процесс диссоциации ассоциированных комплексов, но и процесс образования соединения из компонентов в соотношении 1 : 1.

Этот вывод находит подтверждение и во второй части исследования при изучении изменения свойств системы, растворенной в четыреххлористом углероде.

На рис. 3 изображена зависимость удельного объема системы в функции вес. % и вязкости системы в функции мол. % при различном содержании растворителя.

На рис. 4 приводятся результаты измерения диэлектрической проницаемости тех же растворов. Присутствие растворителя приводит к уменьшению выпуклости на изотермах вязкости, а на изотермах удельного объема и диэлектрической проницаемости появляется заметный перегиб, приходящийся на эквимолекулярное соотношение компонентов. С увеличением концентрации растворителя излом сглаживается, но кривые сохраняют некоторую выпуклость от оси состава. Возможно, что это является результатом наложения свойств нескольких соединений.

Полученные экспериментальные данные позволили рассчитать молярную поляризацию системы в растворе, пользуясь уравнением Онзагера — киркуда и правилом смешения. Расчет общей поляризации растворенных веществ производился по уравнению:

$$P_{2,3} = \left[\frac{(\epsilon - 1)(2\epsilon + 1)}{9\epsilon} + kd \right] \frac{M_1 N_1}{d N_2} + \frac{(\epsilon - 1)(2\epsilon + 1)}{9\epsilon} \frac{a M_2 + b M_3}{d},$$

где ϵ и d — диэлектрическая проницаемость и удельный вес раствора; M_1 , M_2 и M_3 — молекулярные веса растворителя и растворенных веществ;

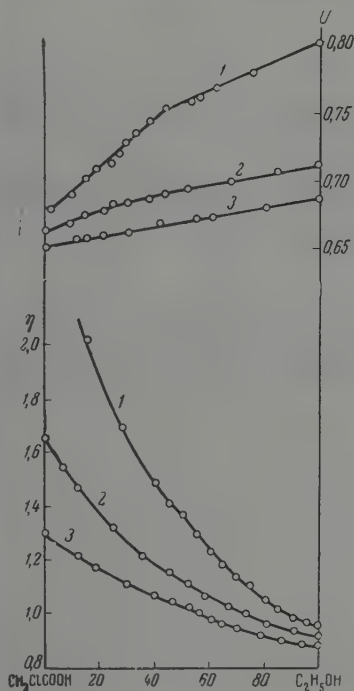


Рис. 3

Рис. 3. Удельный объем и вязкость системы в присутствии четыреххлористого углерода: 1 — 40; 2 — 60 и 3 — 80 мол.% CCl_4

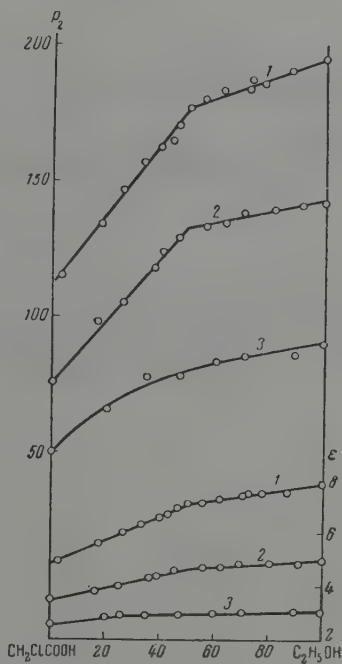


Рис. 4

Рис. 4. Диэлектрическая проницаемость и молекулярная поляризация системы в присутствии четыреххлористого углерода: 1 — 40; 2 — 60 и 3 — 80 мол.% CCl_4

и N_2 — молярные доли растворителя и смеси растворенных веществ в растворе; a и b — молярные доли растворенных веществ в растворе данной концентрации; k — удельная поляризация растворителя.

Результаты расчета представлены на рис. 4 в виде диаграммы зависимости молярной поляризации растворенных веществ от их соотношения, выраженного в мол. %. Как видно из рисунка, изменение поляризации системы в точности передает характер изменения диэлектрической проницаемости, причем излом на диаграмме $P_{2,3}$ — состав выражен значительно точнее, чем на диаграмме ϵ — состав, и также приходится на эквимолекулярное соотношение компонентов.

Выводы

В системе этиловый спирт — монохлоруксусная кислота имеет место образование соединения эквимолекулярного состава. Но не исключена возможность образования соединений иного состава.

Черновицкий государственный университет

Поступила
20.X.1958

ЛИТЕРАТУРА

1. З. С. Друтман, Ж. общ. химии, 25, 30, 1955.
2. З. С. Друтман, Ж. физ. химии, 33, 822, 1959.

THE PHYSICO-CHEMICAL ANALYSIS OF SYSTEMS FORMED BY ALCOHOLS
AND ORGANIC ACIDS

III. SPECIFIC VOLUME, SPECIFIC ELECTROCONDUCTIVITY, VISCOSITY AND DIELECTRIC
POLARIZATION OF THE SYSTEM ETHYLALCOHOL—MONOCHLOROACETIC ACID

Z. S. Drutman (Chernovitsi)

S u m m a r y

A study of the specific volume, viscosity, electroconductivity and dielectric polarization of the system ethyl. alcohol—monochloroacetic acid leads to the conclusion that besides break down of associated complexes the formation takes place in the system compounds of equimolar composition.

МЕХАНИЗМ СУЛЬФИДНОЙ КОРРОЗИИ ЖЕЛЕЗА

I. КИНЕТИЧЕСКИЕ ХАРАКТЕРИСТИКИ ПРОЦЕССА

П. В. Гельд и А. К. Красовская

В противоположность процессу оксидной коррозии, изучению особенностей взаимодействия железа с парами серы посвящено чрезвычайно ограниченное число исследований [1—8], в большинстве из которых, к тому же использовались технические материалы. Так, в работах [1—5] изучались скорости и условия формирования сульфидной окалины, образующейся на чугунных и стальных изделиях, находящихся в контакте (при высоких температурах) с высшими сульфидами переходных металлов. В статьях [6, 7] была отмечена глубокая аналогия процессов оксидной и сульфидной коррозии железа. На основании этого обсуждался возможный механизм взаимодействия, который включает (по мнению авторов) этап встречной реакционной диффузии частиц серы и железа. Напротив, в работе [8] (выполнившие единственное нам известное кинетическое исследование взаимодействия паров серы с чистым железом при 10°) пришли к выводу о том, что рассматриваемый процесс хорошо описывается уравнениями теории Вагнера и сводится к односторонней диффузии катионов железа через сульфидный покров*.

Эти противоречия в оценке механизма сульфидной коррозии железа, а также скудность сведений о кинетических особенностях взаимодействия чистых реагентов делали целесообразным постановку новых исследований, результаты которых приводятся ниже. Их проведение представляло известный интерес также и потому, что рассматриваемый процесс имеет не только частное значение (служба металлических деталей, например в коксовых печах, в контакте с высшими сульфидами и парами серы), но и общее, в связи с возможностью проверки еще на одном объекте справедливости существующих теорий газовой коррозии.

Экспериментальная часть

Материалы. Перед употреблением реактивная сера подвергалась обычными приемами химической очистке, а затем двукратной перегонке в вакууме. Металлические образцы готовились из ленты армо-железа. Они имели форму параллелепипеда размерами $0,1 \times 10 \times 30$ мм. Для выяснения роли межфазовых взаимодействий перед опытом подвергались различной обработке: а) часть из них полировалась, промывалась в спирте и эфире, а затем отжигалась в глубоком вакууме при 460° в течение 1 час.; б) вторая группа образцов перед промывкой и указанной термообработкой не полировалась, а травилась в слабом растворе азотной кислоты; в) некоторые образцы, для большего изменения рельефа их поверхности, подвергались либо глубокому травлению азотной кислотой, либо шлифовке шкуркой № 1. Вес образцов составлял около 250 мг и мало менялся от опыта к опыту.

Методика исследования. Изучение кинетики взаимодействия паров серы с металлами связано с трудностями, обусловленными легкой конденсацией паров серы. Поэтому в ряде случаев [8] используют герметичные ампулы. Их использование, однако, связано с известными неудобствами: а) необходимостью изготовления большого числа реакторов; б) затруднительностью отпайки ампул, в ко-

* К аналогичному выводу пришли также авторы работы [9], с которой мы ознакомились по окончании исследования.

торых образцов подвешивается на кварцевых индикаторах, позволяющих осуществлять непрерывный контроль за их весом; в) невозможностью вакуумной тренировки установки и реагентов в процессе их разогрева. В связи с этим была использована установка, в которой реакционный сосуд (кварцевая трубка диаметром 30 мм) отсоединялся в нужный момент от вакуумной установки при помощи серного клапана. Внутрь реактора (рис. 1) подвешиваются кварцевые весы Мак-Бена с образцом и платиновый указателем, положение которого фиксируется микроскопом МИР-1. Чувствительность весов составляла от 1 до 3 мг/деление, что обеспечивало вполне достаточную точность измерений ($\sim 1\%$). В нижнюю часть реакционной трубки помещался вкладыш из молибденового стекла, заканчивающийся в верхней части стаканчиком, в который загружалась сера. Между вкладышем и реакционным сосудом оставался небольшой зазор (0,3—0,5 мм), заполняющийся при проведении опыта конденсирующейся серой.

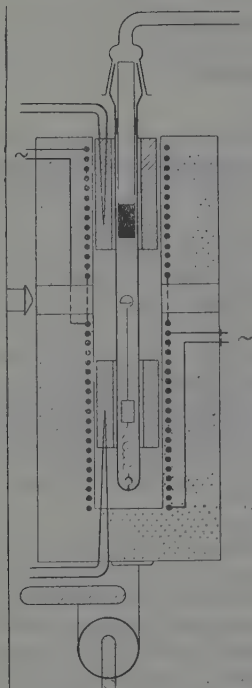


Рис. 1. Схема экспериментального устройства для исследования кинетики взаимодействия железа с парами серы

Для обеспечения возможности проведения опытов при разных парциальных давлениях серы и температурах образца использовалась вертикальная подвижная печь с двумя независимыми нагревателями. Создание изотермических зон обеспечивалось массивными никелевыми вкладышами. Измерение и регулировка температуры осуществлялись обычными потенциометрическими устройствами (платиновая термопара, потенциометр ИП и автоматический электронный регулятор ЭПД-17). Давление паров серы в реакционном сосуде регулировалось температурой подогрева стаканчика серой.

Порядок проведения опытов был следующий. После загрузки серы и образца установка собиралась и тщательно дегазировалась. Сдвинутая вверх печь разогревалась — в верхнем каскаде — до температуры проведения опыта, а в нижнем — до соответствующей желаемой упругости паров серы. Для улучшения дегазационной системы и уменьшения ее инерции печь первоначально надвигалась на реактор настолько, чтобы образец постепенно прогревался, а сосуд с серой оставался практически при комнатной температуре. Лишь после прогрева основной части реакционного сосуда и образца печь устанавливалась в рабочее положение, и начинался опыт. Как показали контрольные исследования, плавление и прогрев серы до нужной температуры осуществлялись относительно быстро (3—4 мин.) и легко обнаруживались на кинетических кривых (см. ниже).

Описанное устройство позволяло проводить исследования в широком интервале температур без существенной инерции. При этом наблюдалась относительно хорошая воспроизводимость результатов $\pm (5-10)\%$, подтверждающая пригодность выбранной методики не только для изучения сульфидной коррозии металлов, но и для проведения кинетических исследований с использованием различных легко конденсируемых реагентов (фосфор, селен и др.).

Кинетические исследования. Первая серия опытов была проведена при давлении паров серы, равном примерно 10 мм рт. ст. (чему соответствовала температура нижнего термостата печи $t \sim 235^\circ$) температуре образца в 400° . В этих условиях изучалось выполнение параболического закона окисления, а также зависимость кинетических показателей процесса от характера обработки поверхности образцов и глубины первичного вакуума.

Как показала обработка результатов опытов, квадрат удельного прироста веса образца $(\Delta P/S, \text{мг/см}^2)^2$ меняется со временем линейно, что указывает на выполнимость параболического закона.

Константа скорости k этого закона определялась, как обычно, графически. Полученные при этом данные приведены в табл. 1.

Как видно из таблицы, несмотря на существенно различные условия проведения опыта k менялась относительно мало ($\pm 10\%$), и колебания ее значений не выходили за пределы обычного разброса, обусловленного за-

Таблица 1

Константы (k) параболического закона окисления армо-железа парами серы ($p_{S_2} = 10$ мм рт. ст.) при 400°

№ опытов	Начальный вакуум, мм рт. ст.	Обработка образца	k , $\text{мг}^2/\text{см}^4 \text{ мин}$	$\Delta k = k_{\text{ср}} - k$ $\text{мг}^2/\text{см}^4 \text{ мин}$
49	10^{-3}	Полировка	0,036	+0,004
51	10^{-3}	»	0,034	+0,002
53	10^{-2}	»	0,035	+0,003
62	10^{-2}	»	0,029	-0,003
63	10^{-2}	»	0,029	-0,003
64	10^{-2}	»	0,031	-0,001
65	10^{-2}	Деформация	0,032	$\pm 0,000$
68	10^{-2}	Травление	0,029	-0,003
21a	10^{-5}	»	0,033	+0,001
21a	10^{-5}	»	0,033	+0,001
$k_{\text{ср}} = (0,032 \pm 0,003) \text{ мг}^2/\text{см}^4 \text{ мин}$				

рудненностью строгой воспроизводимости температуры, времени прогрета, наличием примесей и т. д. Таким образом результаты выполненных исследований показали, что кинетические характеристики процесса от-

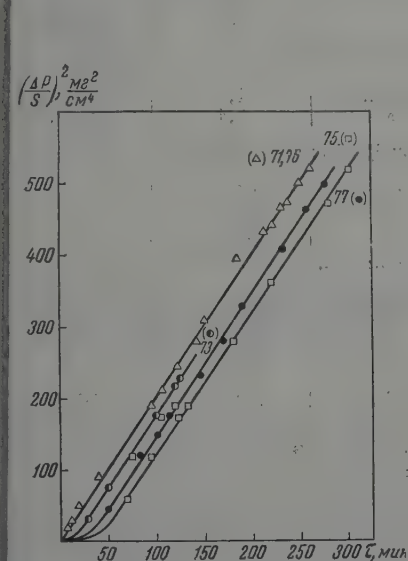


Рис. 2. Кинетика сульфидирования армо-железа при 500°

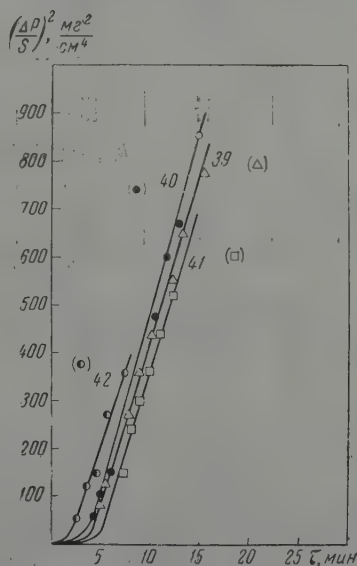


Рис. 3. Кинетика сульфидирования армо-железа при 700°

осительно мало чувствительны к состоянию исходной поверхности образцов и возможному присутствию в газовой фазе следов кислорода.

Аналогичные результаты были получены и при более высоких температурах. Оказалось, что и при $450, 500, 600, 700$ и 800° кинетика взаимодействия железа с парами серы подчиняется параболическому закону. Это, в частности, видно из рис. 2 и 3, иллюстрирующих результаты некоторых из опытов, проведенных при 500 и 700° , а также сводного графика, представленного на рис. 4.

Как и при низкотемпературных исследованиях, в этой серии опытов (табл. 2) не удалось установить зависимость константы скорости взаимодействия

Таблица 2

Константы (k) параболического закона окисления армо-железа парами серы при 500—800° С

$t, ^\circ\text{C}$	№ опытов	p_{S_2} , мм рт. ст.	Начальный вакуум, мм рт. ст.	Обработка образца	k , мг ² /см ⁴ мин	$\Delta k = k_{\text{ср}} - k$, мг ² /см ⁴ мин
500°	75	40	10 ⁻⁴	Полировка	1,80	+0,06
	76	40	10 ⁻⁴	»	2,08	+0,34
	77	40	10 ⁻⁴	»	1,95	+0,21
	78	120	10 ⁻³	»	2,00	+0,26
	81	40	10 ⁻⁴	»	2,00	+0,26
	15a	40	10 ⁻³	Травление	1,10	-0,64
	18a	120	10 ⁻³	»	1,62	-0,12
	19a	120	10 ⁻⁴	»	1,90	+0,16
	20a	120	10 ⁻⁵	»	1,80	+0,06
	12a	15	10 ⁻²	»	1,50	-0,24
	4a	40	10 ⁻⁴	»	1,25	-0,49
	9a	40	10 ⁻⁴	»	1,25	-0,49
	5a	70	10 ⁻⁴	»	1,84	+0,10
	6a	70	10 ⁻⁴	»	2,22	+0,48
	7a	70	10 ⁻⁴	»	1,67	-0,07
	8a	70	10 ⁻⁴	»	1,50	-0,24
	9a	70	10 ⁻⁴	»	1,25	-0,49

$$k_{\text{ср}} = (1,74 \pm 0,2) \text{ мг}^2/\text{см}^4 \text{ мин}$$

600°	25	17	10 ⁻³	Травление	11,3	+ 2,6
	26	17	10 ⁻³	»	6,1	- 2,6

$$k_{\text{ср}} = (8,7 \pm 2,6) \text{ мг}^2/\text{см}^4 \text{ мин}$$

700°	39	20	10 ⁻⁴	Полировка	65	—
	40	30	10 ⁻⁵	»	66	—
	41	30	10 ⁻⁴	»	66	—

$$k_{\text{ср}} = 66 \text{ мг}^2/\text{см}^4 \text{ мин}$$

800°	29	80	10 ⁻⁵	Травление	172	- 6
	30	80	10 ⁻⁵	»	167	-11
	32	80	10 ⁻⁵	»	190	+12
	34	80	10 ⁻⁵	Полировка	167	-11
	35	80	10 ⁻⁵	»	182	+ 4
	36	80	10 ⁻⁵	»	179	+ 1

$$k_{\text{ср}} = (176 \pm 8) \text{ мг}^2/\text{см}^4 \text{ мин}$$

ствия ни от обработки поверхности образцов, ни от качества дегазации установки. Более того, сопоставление результатов, полученных в низкотемпературных опытах, проведенных при существенно различных парциальных давлениях паров серы (например при 500° колебания p_{S_2} составляли от 10 до 120 мм рт. ст.), также не обнаружили закономерной связи k и p_{S_2} .

Разумеется, как это видно из табл. 2, независимость k от p_{S_2} , глубины первичного вакуума и характера обработки поверхности образцов относятся лишь к случаю роста толстых сульфидных покровов при низких температурах (500°). Выполненные эксперименты не дают ответа на вопрос о кинетических характеристиках процесса формирования и роста тонких окалин, так как использованная экспериментальная установка отличалась некоторой термической инерцией и отбором паров серы (на формирование клапана) в начальные периоды взаимодействия. По-видимому, именно этими обстоятельствами и обусловлены отклонения от параболической зависимости в начальные периоды взаимодействия (рис. 2 и 3).

Обсуждение результатов

Процесс сульфидной коррозии, как и другие виды газовой коррозии, evidently, начинается с адсорбции паров серы на поверхности металла последующего формирования и роста окарины. В установившемся процессе, в связи с этим, можно с некоторыми упрощениями выделить стадии сорбции паров серы, реакционной диффузии и кристаллохимических превращений.

Достаточно строгое выполнение параболического временного закона измерения при всех исследованных температурах и давлениях паров серы

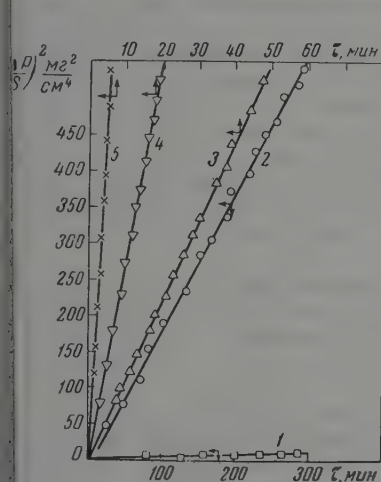


Рис. 4

Рис. 4. Влияние температуры и времени на коррозию армо-железа парами серы: 1 — 400°; 2 — 500°; 3 — 600°; 4 — 700°; 5 — 800°

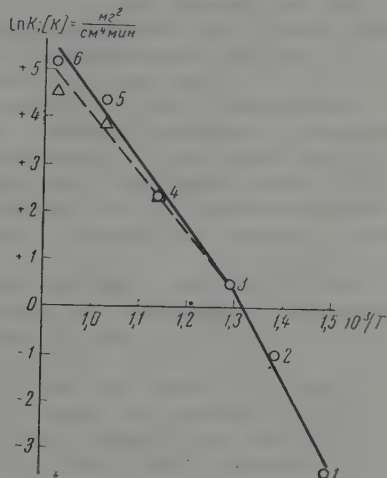


Рис. 5

Рис. 5. Зависимость константы параболического закона от температуры: 1 — 400°; 2 — 450°; 3 — 500°; 4 — 600°; 5 — 700°; 6 — 800°. Пунктирная линия — после приведения экспериментальных данных к одному давлению

позволяет говорить о том, что определяющим скоростью этапом взаимодействия является реакционная диффузия. Не останавливаясь в настоящей статье на конкретизации ее особенностей, хотелось бы пока лишь отметить, что она осуществляется в результате встречного перемещения частиц серы и железа. Это, в частности, следует из того, что сульфидный покров на поверхности железа, с одной стороны, оказывается не напряженным, а с другой — органически сросшимся с металлическим остатком. Следует заметить, что обсуждаемая особенность взаимодействия, более подробно обоснованию которой будет посвящена следующая статья, вызывает на сомнительность выводов авторов работы [8], согласно которым сульфидная коррозия железа осуществляется в результате односторонней диффузии катионов железа. В связи с этим и их модель взаимодействия, основанная на предположении, что скорость процесса определяется диффузией катионов железа и может быть оценена, основываясь на выводах теории Вагнера, является весьма приближенной.

Фактически, как говорилось выше, имеет место не односторонняя, а встречная диффузия железа и серы. Более того, исходя из значительного веса ковалентных связей в решетке пирротина, а также большого размера анионов S^{2-} , можно предполагать, что поток серы в значительной мере носит квазиатомный характер.

Наконец, малая чувствительность кинетических характеристик взаимодействия к парциальному давлению паров серы (при 500°), так же как и выполнение параболического закона, указывает на быстроту межфазовых взаимодействий и, в частности, легкость перестройки решетки железа в решетку пирротина.

Как известно, достаточно часто константы скоростей коррозионных процессов меняются с температурой по экспоненциальному закону. С целью проверки применимости этой закономерности для характеристики рассматриваемого взаимодействия был построен график в координатах $\ln k - 1/T$.

Из рис. 5 видно, что усредненные экспериментальные данные обобщаются кривой, которая в первом приближении может рассматриваться как сочленение двух прямолинейных участков. При этом высокотемпературная ветвь этой зависимости характеризуется меньшим наклоном, а низкотемпературная — большим. Излом кривой $\ln k = f(1/T)$ наблюдается в области температур от 500 до 600° . Энергия активации процесса при высоких температурах, рассчитанная обычными методами, составляет $E_1 = 27$ ккал. При этом необходимо иметь в виду следующее. Экспериментальные значения констант параболического закона при 600 , 700 и 800 мм рт. ст. были получены при разных давлениях, равных соответственно 17 , 30

80 мм рт. ст. Если, следуя работе [8], положить, что $k \sim \sqrt[6]{p_{S_2}}$, и привести результаты измерений к одному давлению паров серы, то, как это видно из рис. 5, им будет соответствовать энергия активации, близкая к $E_1 = 23,3$ ккал/моль. Эта величина немногим отличается от установленной в работе [9] энергии активации $E = 20,6$ ккал/моль.

Следует отметить, что эти значения существенно меньше установленные для процесса окисления железа кислородом, для которого ряд авторов (см., например, [10]) нашли $E = 45$ ккал/моль. По-видимому, относительно небольшие энергетические осложнения, возникающие при реакционной диффузии в пирротине, обусловлены малой компактностью его решетки а также широкой областью его гомогенности (дефектности).

В низкотемпературной области энергия активации взаимодействия заметно больше и составляет $E_2 = 37$ ккал/моль.

Наличие излома на температурной зависимости константы скорости указывает на изменение условий коррозии и характера наиболее медленной стадии процесса. Причину этого обстоятельства, по-видимому, следует искать (так же как и в случае окисления меди [11]) в изменении структуры сульфидного покрова и, в частности, возможности формирования двухслойной окалины.

Действительно, при низких температурах ($< 550^\circ$) в изученном интервале давлений паров серы термодинамически устойчивым по отношению к газовой фазе сульфидом является пирит, что делает достаточно вероятным образование на пирротиновой подкладке наружного слоя пирита. При более высоких температурах ($> 600^\circ$) пирит неустойчив, и сульфидная окалина состоит лишь из одного слоя пирротина. При учете структурных особенностей сульфидов железа (пирротин — дырчатая фаза переменного состава, в которой вакансии статистически распределены в железной подрешетке троилита; пирит — компактная решетка типа поваренной соли) кажется достаточно ясной причина роста энергии активации при переходе от высоких температур к низким.

Для непосредственного подтверждения этих предположений были выполнены рентгеноструктурные исследования окалины с использованием железного антикатаода ($\lambda_{K\alpha} = 1,9321$ Å). Изучение тонкой окалины (толщиной $\sim 10^{-6}$ см), полученной на железе при 350° и $p_{S_2} = 10$ мм рт. ст. обнаружило ее двухфазность — в ней присутствовали как пирротин, так и пирит. Аналогичную структуру имели и более толстые окалины, выр-

денные при низких ($<550^\circ$) температурах. Сопоставление результатов съемок со шлифа и дебаграмм показало, что их поверхностный слой состоит из пирита, имеющего значительно меньшую толщину, чем глубинный — пирротинный.

Как и следовало ожидать, сульфидный покров, образовавшийся на железе при более высоких температурах ($<600^\circ$), был однофазным — съемки со шлифа и дебаграммы обнаруживали присутствие в нем лишь пирротина.

Изучение фазового состава окалин различной толщины (полученных при температурах ниже 550° в течение различного времени — до 36 час.) показало, что в них соотношение между слоями пирротина и пирита остается примерно неизменным. По-видимому, это связано с затрудненностью диффузии через слой пирита и быстротой перестройки решетки FeS в FeS_2 , на которую обращали в свое время внимание авторы [8].

Следует заметить, что подобное соотношение между толщинами наружного и внутреннего слоев двухфазной окалины неоднократно отмечалось и в случае оксидной коррозии. В частности, при окислении меди (по отмеченным выше причинам) наружный слой CuO оказывался примерно в 1000 раз тоньше внутреннего слоя Cu_2O [12], что также связано со структурными особенностями соединений высшей и низшей валентности.

Далее, именно в связи с образованием наружного слоя пирита кинетические характеристики взаимодействия при 500° не зависели от давления серы (несмотря на его стократное изменение), т. е. вели себя так же, как в случае оксидной коррозии меди [11].

Наконец, рентгеноструктурные исследования сульфидных покровов обнаружили в них признаков внутреннего напряжения (четкие, не размытые линии и отсутствие заметных искажений в соотношении интенсивностей отдельных линий). Начиная с 600° (и выше), в окалине заметно развитие процесса рекристаллизации, что легко обнаруживается не только рентгенографически, но и визуально.

Текстурограммы*, снятые с образцов, полученных при 500 и 600° , обнаружили слабосовершенную текстуру роста в слое пирита и ее отсутствие в слое пирротина.

Выводы

1. Изучена кинетика окисления железа парами серы при 400 – 800° .
2. Окисление железа парами серы подчиняется параболической временной зависимости. Скоростопределяющим этапом процесса является диффузионная его стадия, в то время как межфазовые взаимодействия осуществляются относительно быстро (при 500°).
3. Сульфидный покров, образующийся на железе (при $p_{\text{S}_2} = 10$ – 100 мм рт. ст.), либо однофазен ($t > 600^\circ$) и состоит из пирротина, либо двухфазен ($t < 550^\circ$) и образован слоями FeS и FeS_2 . В этих условиях пирит образует весьма тонкую поверхностную пленку. Перестройка решетки пирита в пирротин протекает неупорядоченно и со скоростью, существенно большей, чем диффузионная стадия процесса. Образование на сульфидном покрове пленки FeS_2 ведет к росту кажущейся энергии активации процесса от 25 до 37 ккал.

Поступила
20.X.1958

* Выполненные Е. Б. Бланковой, которой приносим свою признательность.

ЛИТЕРАТУРА

1. К. Н. Шабалин, Хим. пром-сть, № 11, 37, 1928.
2. А. В. Смирнов, Хим. пром-сть, № 8, 5, 1938.
3. П. Д. Курочкин, Тр. Моск. ин-та стали, № 19, 211, 1941.
4. А. А. Горшков и А. А. Израилевич, Уральский политехн. ин-т, 1946, отчет № 1571.
5. А. А. Израилевич, Уральский политехн. ин-т, Диссертация, 1948.
6. П. В. Гельд и О. А. Есин, Ж. прикл. химии, 19, 678, 1946.
7. П. В. Гельд и О. А. Есин, Ж. прикл. химии, 19, 861, 1946.
8. K. Nauffe u. A. Rahmel. Z. phys. Chem., 199, 159, 1952.
9. R. A. Meussner u. C. E. Birchenall, Corrosion, 13, 79, 1957.
10. Скорость окалинообразования на металлах и сплавах. Уч. зап. ЛГУ, № 175, 1954.
11. R. F. Tylecote, J. Inst. Metals, 78, 259, 1950.
12. К. Хауффс. Сб. «Успехи физики металлов», ч. I, Металлургиздат, 1956, стр. 82.

MECHANISM OF THE SULFIDE CORROSION OF IRON

I. KINETIC CHARACTERISTICS OF THE PROCESS

P. V. Gel'd, A. K. Krasovskaya (Sverdlovsk)

Summary

The results are described of the gravimetric and X-ray analyses of the interaction between iron and sulfur vapor over the temperature range 400—800° C. The parabolic time law was found to hold. The two sided character of diffusion of sulfur particles and iron through the sulfide coating, the rate of which determines the kinetic properties of the over-all process has been demonstrated.

О РАСТВОРИМОСТИ ГАЗОВ В ВОДЕ ПОД ДАВЛЕНИЕМ

А. Ю. Намиот

Зависимость от давления растворимости газов в различных жидкостях, в том числе и в воде, во многих случаях хорошо передается уравнением Кричевского — Казарновского:

$$RT \ln \frac{f_2}{N_2} = RT \ln k_2(p_1^0, T) + \bar{v}_2^*(p - p_1^0). \quad (1)$$

Здесь f_2 — летучесть растворенного газа, N_2 — его мольная доля в жидком растворе, $\bar{v}_2 = \lim_{N_2 \rightarrow 0} \frac{f_2}{N_2}$ — коэффициент Генри, p_1^0 — давление пара растворителя, \bar{v}_2^* — коэффициент.

При выводе уравнения (1) предполагалось, что коэффициент \bar{v}_2^* имеет значение парциального мольного объема растворенного компонента в бесконечно разбавленном растворе. В дальнейшем было установлено [1], что для растворов различных газов во многих органических жидкостях измеренные значения парциальных мольных объемов растворенных газов значительно отличались от величины коэффициента \bar{v}_2^* в уравнении (1). Это обстоятельство указывало на эмпирический характер уравнения (1).

Кричевским и Ильинской было предложено уравнение [1], учитывающее влияние концентрации на отношение f_2/N_2

$$RT \ln \frac{f_2}{N_2} = RT \ln k_2(p_1^0, T) + \int_{p_1^0}^p \bar{v}_2 dp - A(p, T)(1 - N_1^2). \quad (2)$$

Здесь \bar{v}_2 — парциальный мольный объем растворенного газа в его бесконечно разбавленном растворе; A — коэффициент, не зависящий от состава; N_1 — мольная доля растворителя.

Экспериментальное подтверждение уравнения (2) до последнего времени было получено только для растворов газов в органических жидкостях [1], а не для растворов газов в воде, что в значительной степени было связано с трудностью определения объема воды, насыщенной под давлением мало растворимыми газами.

Выполненные недавно при высоких давлениях измерения объемов растворов в воде метана, азота и углекислого газа [2] дают возможность провести проверку применимости уравнения (2) для растворов перечисленных газов в воде при 25° и давлениях до 450 атм.

Данные по растворимости, использованные при проверке уравнения (2), были взяты из соответствующих экспериментальных работ [3—7]. Значения летучести метана и азота — из расчетов Сейджа и Леси [8], значения летучести углекислого газа из работы [9], а значения летучести жидкого углекислого газа были рассчитаны нами.

Коэффициенты Генри k_2 были рассчитаны по данным растворимости газов в воде при атмосферном давлении [10].

Величины парциальных мольных объемов при давлении в 430 атм были взяты из работы [2] как среднее определений для давлений 415—440 атм.

Изменение объема с давлением определялось по уравнению

$$\bar{v}_p = \bar{v}_{430} [1 + \bar{\beta}(430 - p)], \quad (3)$$

где \bar{v}_p — парциальный мольный объем при давлении p ; \bar{v}_{430} — парциаль-

ный мольный объем при давлении 430 атм; $\bar{\beta}$ — коэффициент сжимаемости парциального мольного объема.

Коэффициенты сжимаемости $\bar{\beta}$ были взяты из работы [2] (таблица)*

Коэффициенты сжимаемости парциальных мольных объемов
растворенных в воде газов при 25°

Газ	Интервал давления, атм	Содержание растворенного газа, см ³ /г	$\bar{\beta} \cdot 10^4$
Метан	150—450	2,80; 3,0	$1,5 \pm 1,5$
Азот	200—450	2,7; 2,1	$4,0 \pm 1,5$
Углекислый газ	220—420	11,5; 18,1	$0,0 \pm 0,3$

Учитывая, что в пределах точности определения парциального мольного объема зависимость его от концентрации не была установлена, принималось, что используемые значения парциального мольного объема не отличались от соответствующих значений при бесконечном разбавлении.

Результаты проверки уравнения (2) изображены графически на рис. 1 и 2. Из рисунков можно сделать вывод, что в пределах точности исходных данных разность

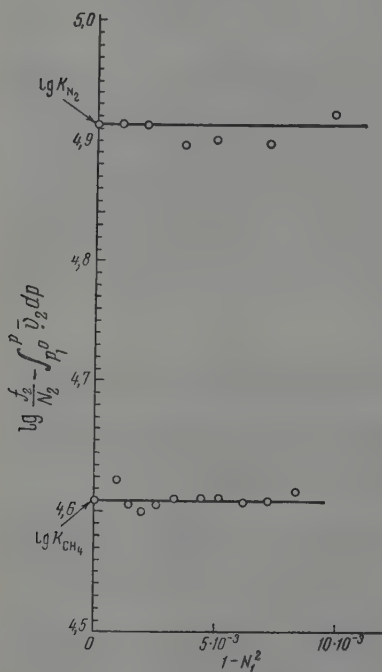


Рис. 1

Из того факта, что величиной $A(1 - N_1^2)$ в уравнении (2) можно пренебречь, отнюдь не следует, что коэффициент A для рассматриваемых систем должен быть очень малым. Вывод о возможности пренебрежения членом $A(1 - N_1^2)$ сделан в пределах точности исходных данных, исполь-

$$\lg \frac{f_2}{N_2} - \frac{1}{2,3RT} \int_{p_1^0}^p \bar{v}_2 dp$$

не зависит от состава и равна постоянной величине $\lg k_2$, т. е. что в уравнении (2) можно пренебречь членом $A(1 - N_1^2)$. При этом уравнение (2) переходит в уравнение

$$RT \ln \frac{f_2}{N_2} = RT \ln k_2(p_1^0, T) + \int_{p_1^0}^p \bar{v}_2 dp. \quad (4)$$

Следует подчеркнуть, что полученный вывод не имеет общего характера и ограничен рассмотренными пределами давления и точностью экспериментальных данных по растворимости и по измерениям парциальных мольных объемов.

* Таблица дополнена некоторыми данными, полученными А. Ю. Намиотом и М. М. Бондаревой после опубликования работы [2].

уемых в уравнении (2). Погрешности в определениях растворимости N_2 могут достигать 2%. Предельная величина члена $A(1-N_1^2)$ должна соответствовать этой погрешности:

$$\Delta = \lg 1,02 = 0,01 = \frac{A}{2,3RT} (1 - N_1^2) \approx \frac{2AN_2}{2,3RT}. \quad (5)$$

Для азота и метана в изученном диапазоне давлений N_2 не превосходит 0,004, для углекислого газа N_2 достигает 0,015. Подставляя соответствующие величины в уравнение (5), находим, что для азота и метана A должно быть более $70\,000 \text{ см}^3 \text{ атм/моль}$, а для углекислого газа не более $10\,000 \text{ см}^3 \text{ атм/моль}$.

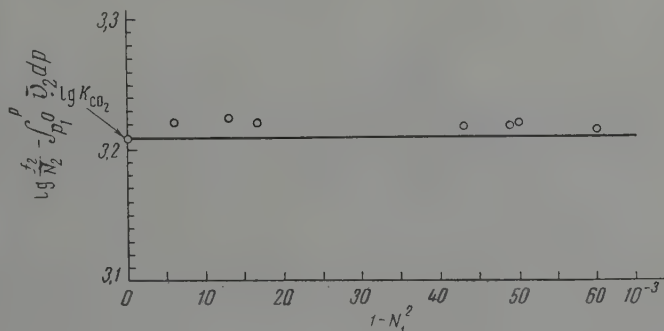


Рис. 2

Справедливость уравнения (4) для растворов в воде метана, азота и углекислого газа можно распространить на растворы смесей этих газов в воде.

Для тройной системы, состоящей из двух газовых компонентов и воды, обобщение уравнения (2) имеет вид (6):

$$RT \ln \frac{f_2}{N_2} = RT \ln k_2(p_1^0, T) + \int_{p_1^0}^p \bar{v}_2 dp + A_{12}(N_2^2 - 2N_2) - A_{13}N_3^2 - (A_{23} - A_{12} - A_{13})N_3'(N_1 + N_3), \quad (6)$$

где A_{12} , A_{13} , A_{23} — коэффициенты, не зависящие от состава. По аналогии с уравнением (2) можно допустить, что для растворов в воде смесей растворенных газов члены уравнения (6), зависящие от концентрации, будут равны нулю. При этом допущении уравнение (6) также переходит в уравнение (4). Возможность использования уравнения (4) для многокомпонентной системы вместо уравнения (6) намного упрощает расчеты растворимости газовых смесей в воде. В этом случае для расчета растворимости многокомпонентной смеси газов необходимо располагать только лишь данными по растворимости в двойных системах, состоящих из одного газа и воды.

Так, если уравнение (4) соблюдается для многокомпонентной системы, для каждого компонента можно записать:

$$RT \ln \frac{f_i}{N_i} = RT \ln \frac{f_i^0(p, T) \gamma_i''}{N_i} = RT \ln k_i(p_1^0, T) + \int_{p_1^0}^p \bar{v}_i dp, \quad (7)$$

где f_i^0 — летучесть чистого компонента в газовой фазе; γ_i — мольная доля компонента i в газовой фазе, γ_i'' — коэффициент активности компонента i в газовой фазе.

Из уравнения (7) можно найти часто используемую в расчетах фазо-

вого равновесия константу фазового равновесия $y_i/N_i = K_i$

$$K_i = \frac{y_i}{N_i} = \frac{k_i(p_1^0, T) \exp \frac{1}{RT} \int_{p_1^0}^p \bar{v}_i dp}{f_i^0(p, T) \gamma_i''(p, T, y_2, \dots, y_n)} = \frac{\tilde{K}_i(p, T)}{\gamma_i''(p, T, y_2, \dots, y_n)}, \quad (8)$$

здесь

$$\tilde{K}_i = \frac{k_i(p_1^0, T) \exp \frac{1}{RT} \int_{p_1^0}^p \bar{v}_i dp}{f_i^0}$$

зависит от давления и температуры, но не от состава жидкой фазы. Значения \tilde{K}_i могут быть найдены из данных по растворимости в двойных системах, так как для этих систем в большинстве случаев газовая фаза почти целиком состоит из одного компонента, а поэтому $\gamma_i'' = 1$ и $y_i/N_i = \tilde{K}_i$.

Величина коэффициента активности γ_i'' также не зависит от состава жидкой фазы и может быть рассчитана на основании данных, относящихся только к газовой фазе. Результаты экспериментальной проверки уравнения (8) на тройных системах: вода — метан — азот [11]; вода — метан — пропан [12]; вода — метан — углекислый газ [12]; вода — азот — углекислый газ [12] оказались вполне удовлетворительными**.

Соблюдение уравнения (8) на нескольких тройных системах при различных концентрациях компонентов подтверждает возможность пренебрежения в уравнении (6) членами, зависящими от концентрации компонентов.

Возможность описания при помощи уравнения (4) опытных данных по растворимости в воде метана, азота, углекислого газа и их смесей проведена в основном при 25°. О справедливости этих уравнений для упомянутых газов и их смесей при других температурах можно в настоящее время судить лишь по косвенным признакам. Так, полагая, что сжимаемость парциального мольного объема метана при 50° имеет тот же порядок величины, что и при 25°, и используя экспериментально определенную величину парциального мольного объема растворенного в воде метана при атмосферном давлении [1], можно убедиться в возможности применения уравнения (4) к данным по растворимости метана [3] и при 50°. Анализ данных по растворимости метана при более высоких температурах вплоть до 160° [3] свидетельствует о малой вероятности нарушения закономерностей, соблюдающихся при более низких температурах.

Пренебрегая сжимаемостью парциального мольного объема углекислого газа и используя данные по величинам парциальных мольных объемов CO₂ при 1 атм и при 50° и при 0° [1], можно проверить уравнение (4) для описания растворимости углекислого газа в воде. При этом можно установить, что уравнение (4) соблюдается для растворов CO₂ в воде лишь в пределах от 12 до 40°. При температурах 50° и выше приблизительно соблюдается уравнение (2) (рис. 3). При 0° не выполняется ни уравнение (1), ни, по-видимому, уравнение (2).

Установленная в настоящей статье применимость уравнения (4) для описания растворимости метана и азота в воде под давлением является вполне закономерной. Уравнение (4), выражающее закон Генри, являе-

* При расчетах \tilde{K}_i , если необходимо, вводят поправку на присутствие в газовой фазе паров воды.

** Отмеченное в работе [13] отклонение от уравнения (8) для системы вода — азот — углекислый газ не было подтверждено нами [12].

и предельным термодинамическим уравнением, справедливым для бесконечно разбавленных растворов [1]. Применимость уравнения (4) для метана и азота, растворенных в воде, вероятно, связана с малой растворимостью этих газов в воде (в рассмотренном диапазоне давлений молярная доля метана и азота в их водных растворах не превосходит 0,004).

Растворимость углекислого газа в воде достигает $N_2 = 0,015$, т. е. она находится уже в том диапазоне концентраций, в котором установлена непригодность уравнения (4) для растворов газов в органических жидкостях [1].

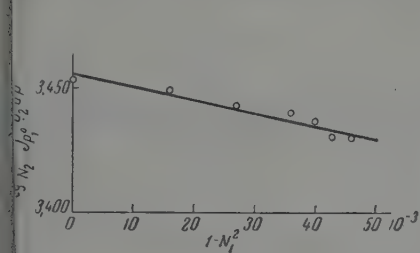


Рис. 3

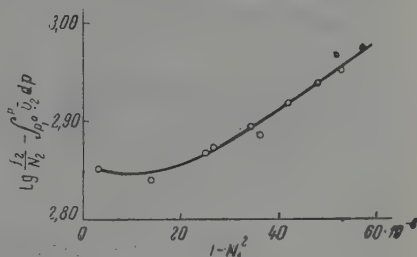


Рис. 4

Возможно, что справедливость уравнения (4) для углекислого газа, растворенного в воде, при 25° вызвана не столько малым значением его молярной концентрации, а тем, что коэффициент A в уравнении (2) при 25° имеет значение, близкое к нулю. Как следует из наклона прямых на рис. 3 и 4, при 50° A больше нуля, а при 0° A меньше нуля. Возможно, что при промежуточных температурах A проходит через нуль.

Поскольку уравнение (4) является частным случаем уравнения (2) при $A(1 - N_1^2) \approx 0$, то для всех рассмотренных систем, для которых выполняется уравнение (4), выполняется также уравнение (2) Кричевского — Гинской, являющееся в настоящее время наиболее общим уравнением для разбавленных растворов неэлектролитов. В уравнении (4) отношение $f_2/N_2 = \text{const}$ (p, T) не зависит от концентрации, а в уравнении (2) учитывается изменение отношения f_2/N_2 в зависимости от концентрации растворенного вещества:

$$\frac{f_2}{N_2} = \text{const}(p, T) - \frac{A}{e^{RT}}(1 - N_1^2).$$

Следует, однако, иметь в виду ограниченные пределы применимости уравнения (2), что связано с предельным характером этого уравнения. Хотя уравнение (2), в отличие от уравнения (4), и учитывает влияние концентрации на величину отношения f_2/N_2 , способ учета этого влияния, отражаемый членом $A(1 - N_1^2)$, строго справедлив только в пределе при бесконечном разбавлении.

Выводы

1. Установлено, что для растворов в воде метана, азота и углекислого газа при 25° и давлениях до 450 атм приближенно выполняется закон Рауля в его термодинамической формулировке [уравнение (4)].
2. Показано, что растворимость смесей рассмотренных газов в воде под давлением может быть рассчитана по данным о растворимости в двойных системах вода — газ и по коэффициентам активности компонентов газовой фазы.

ЛИТЕРАТУРА

1. И. Р. Кричевский. Фазовые равновесия в растворах при высоких давлениях, Госхимиздат, 1952.
2. А. Ю. Намиот, М. М. Бондарева. Научно-технический сборник по добыче нефти, Гостоптехиздат, вып. 4, 1959.
3. O. L. Culberson, J. J. McKetta. Trans. AIME, 192, 223, 1951.
4. R. Wiebe, V. Gaddy, C. Heins, J. Amer. Chem. Soc., 55, 947, 1933.
5. R. Wiebe, V. Gaddy, J. Amer. Chem. Soc., 61, 315, 1939.
6. R. Wiebe, V. Gaddy, J. Amer. Chem. Soc., 62, 815, 1940.
7. Я. Д. Зельвенский. Хим. пром-сть, 14, 1250, 1937.
8. B. H. Sage, W. N. Lacey. Thermodynamic Properties of the Lighter Paraffin Hydrocarbons and Nitrogen, N. J., 1950.
9. Deming and Deming. Phys. Rev., 56, 108, 1939.
10. T. J. Morrison, F. Billet, J. Chem. Soc., 3819, 1952.
11. А. Ю. Намиот, М. М. Бондарева. Научно-технический сборник по добыче нефти, Гостоптехиздат, вып. 2, 60, 1958.
12. А. Ю. Намиот, М. М. Бондарева. Тр. Всесоюзного нефтегазового научно-исследовательского института, Гостоптехиздат, вып. 21, 197, 1959.
13. Я. Д. Зельвенский. Ж. физ. химии, 13, 514, 1939.

WATER SOLUBILITY OF GASES UNDER PRESSURE

A. Yu. Namiot (Moscow)

Summary

An analysis has been made of the experimental data on phase equilibria and volume measurements in solutions of methane, nitrogen and carbon dioxide in water at 25° and pressures up to 450 atm. It has been found that for these systems Henry's law in its thermodynamic formulation holds.

The water solubility of the gases under pressure may be calculated from the solubility data in the binary water — gas systems and from the activity coefficients of the components in the gaseous phase.

ИЗУЧЕНИЕ ВЛИЯНИЯ ПРИРОДЫ КАТИОНА НА ПОДВИЖНОСТЬ АТОМОВ КИСЛОРОДА В АНИОНЕ В ВОДНЫХ РАСТВОРАХ. I

О. К. Скарре, М. О. Терешкевич и Т. С. Шелехова

Влияние катиона на свойства аниона в концентрированных растворах электролитов еще недостаточно изучено. Имеются данные о том, что ионы натрия и калия по-разному влияют на подвижность атомов кислорода в связанном с ними анионе HSO_4^- [1]. Г. П. Миклухиным [2] установлено, что природа металла в уксуснокислых солях сказывается на подвижности атомов водорода в радикале уксусной кислоты. Однако систематического исследования по данному вопросу нет, хотя оно могло бы быть полезным для развития теории сильных электролитов, и, кроме того, оно необходимо при изучении кислородного обмена в солях.

В данной работе изучалась способность к кислородному обмену нитратов элементов I группы периодической системы.

Экспериментальная часть

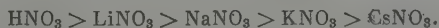
Дважды перекристаллизованные и тщательно просушенные навески солей загружались в ампулы из стекла пирекс со взвешенным количеством воды, ампулы запаивались и помещались в термостат. После пребывания ампул в течение определенного времени в термостате их вскрывали, воду из них отгоняли от соли и по убыли в воде тяжелого изотопа кислорода рассчитывали процент обмена [3]. Анализ производился флотационным методом [4].

Установлено, что нитраты элементов I группы не обменивают своего кислорода с водой ни при 140° , ни при 160° за длительное время. Поэтому остальные опыты были проведены в присутствии катализатора — азотной кислоты. Количества азотной кислоты были невелики по сравнению с количествами соли, взятыми для обмена. Соотношение между водой и солью в грамм-атомах кислорода составляло 3 : 1.

Кроме того, была воспроизведена обменная реакция между азотной кислотой и водой [5]. Все полученные данные сведены в таблицу.

Прибавление HNO_3 , как видно из таблицы, значительно ускоряет обмен в нитратах, что обнаружено также А. И. Бродским и его сотрудниками [6]. Однако следует отметить, что не все полученные нами результаты совпадают с их данными [6] (см. таблицу, опыты 10—13 и 23—25).

Влияние катиона существенно сказывается на способности к обмену атомов кислорода в анионе. По скорости протекания обменной реакции нитраты элементов главной подгруппы I группы располагаются в ряд:



Подобный ряд получен при изучении в нашей лаборатории обмена в хавелевокислых и янтарнокислых солях этих же элементов. Найденная закономерность позволяет предположить, что подвижность атомов кислорода в анионе связана с радиусом иона катиона: чем больше этот радиус, тем менее способен к обмену кислород аниона. Из исследованных солей не входит в общий ряд только соль серебра.

№	Вещество	Вес вещества, г	Вес воды, г	Время, часы	Темпера- тура, °C	Концентра- ция катализатора (HNO ₃)	%
1	HNO ₃	13,454	11,684	1	30	—	100
2	LiNO ₃	4,981	12,125	24	140	—	0
3	LiNO ₃	5,117	11,777	10	160	—	0
4	LiNO ₃	5,089	12,118	2	160	0,119 N	100
5	NaNO ₃	6,305	12,063	10	140	—	0
6	NaNO ₃	6,256	11,958	24	140	—	0
7	NaNO ₃	6,299	11,745	10	160	—	0
8	NaNO ₃	6,108	12,071	2	160	0,120 N	63
9	NaNO ₃	6,383	11,501	5	160	0,120 N	96
10	KNO ₃	7,175	11,588	3	140	—	0
11	KNO ₃	7,502	11,574	10	140	—	0
12	KNO ₃	7,454	11,650	24	140	—	0
13	KNO ₃	7,003	11,190	10	160	—	0
14	KNO ₃	7,014	12,071	2	160	0,112 N	32
15	KNO ₃	7,494	12,074	3	160	0,112 N	73
16	KNO ₃	7,054	11,852	5	160	0,120 N	91
17	RbNO ₃	10,980	12,224	26	140	—	0
18	RbNO ₃	10,929	12,260	10	160	—	0
19	CsNO ₃	14,414	12,069	3	140	—	0
20	CsNO ₃	14,412	12,240	24	140	—	0
21	CsNO ₃	14,417	12,089	10	160	—	0
22	CsNO ₃	14,421	12,029	2	160	0,120 N	0
23	AgNO ₃	11,524	11,945	1,5	140	—	0
24	AgNO ₃	11,492	12,519	11	140	—	0
25	AgNO ₃	11,712	12,071	25	140	—	0
26	AgNO ₃	12,895	11,991	2	160	0,092 N	91

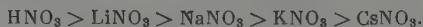
Ион серебра по своему радиусу близок к иону калия, а по способности к обмену AgNO₃ приближается к LiNO₃. Очевидно, кроме радиуса иона, играет значительную роль химическая природа катиона [7].

Влияние катиона и катализатора на способность к обмену приводит к мысли, что обмен происходит в комплексах, в которых участвуют, кроме растворителя и аниона, катион из соли и протон, являющийся здесь катализатором. Отсутствие обмена в CsNO₃ свидетельствует о том, что эти комплексы довольно устойчивы, так как в противном случае могла бы идти обменная реакция между HNO₃ и водой и последующий обмен катионами между солью и кислотой.

Выводы

1. Не обнаружен кислородный обмен между нитратами элементов I группы периодической системы и водой при 140 и 160°.

2. При катализе азотной кислотой нитраты элементов главной подгруппы I группы по способности к обмену располагаются в ряд:



3. По подвижности атомов кислорода нитрат серебра сходен с нитратом лития

Днепропетровский
государственный университет

Поступила
22 X 1958

ЛИТЕРАТУРА

1. E. R. S. Winter и H. U. A. Briscoe, J. Chem. Soc. (London), 631, 1942.
2. Г. П. Миклухин, Докл. АН СССР, 70, 437, 1950.
3. А. И. Бродский, Химия изотопов, М., 1957, стр. 286.
4. [3], стр. 129.

- R. Klein. а R. A. Friedel, J. Amer. Chem. Soc., 72, 38, 1950.
А. И. Бродский и Н. А. Высоцкая, -Сб. «Изотопы в катализаторе»,
М., 1957, стр. 245.
А. И. Бродский и Н. А. Высоцкая, Ж. физ. химии, 32, 1521, 1958.
-

INVESTIGATION OF THE EFFECT OF THE NATURE OF THE CATION ON
THE LABILITY OF OXYGEN ATOMS IN THE ANION IN AQUEOUS SOLUTIONS

O. K. Skarre, M. O. Tereshkevich and T. S. Shelekhova (Dniepropetrovsk)

S u m m a r y

The nature of the cation affects the capacity of oxygen exchange among nitrates. The lability of oxygen atoms among alkaline metal nitrates diminishes from the lithium to the caesium salt. In its exchange capacity silver nitrate is similar to lithium nitrate. Exchange was carried out in the presence of nitric acid, acting as catalyst. The data lead to the assumption that exchange takes place in complexes, the composition of which, in addition to the anion, includes the solvent, cation and proton from the acid.

КАПИЛЛЯРНЫЙ ГИСТЕРЕЗИС ПРИ ПОДЪЕМЕ ЖИДКОСТИ
В КАПИЛЛЯРАХ ПЕРЕМЕННОГО СЕЧЕНИЯ*М. М. Кусаков и Д. Н. Некрасов*

Равновесное положение уровней воды и нефти в порах пласта, которым определяется мощность переходных зон между водой и нефтью или нефтью и газом, зависит от капиллярных сил и сил тяжести. Такое равновесное положение уровней может быть различным при подъеме или опускании воды и нефти в пористой среде. Это явление, известное под названием капиллярного гистерезиса, отсутствует в случае цилиндрических пор, наличие которых предполагается в идеализированных пористых средах. С большим приближением к действительности пласт можно представить как систему пор переменного сечения. Поэтому изучение капиллярных явлений в капиллярах переменного сечения имеет не только теоретический, но и большой практический интерес, тем более что работы, посвященные этому вопросу, очень немногочисленны [1—4].

Настоящая работа посвящена изучению капиллярного гистерезиса при подъеме жидкости в единичном капилляре переменного круглого сечения, периодически сужающегося и расширяющегося по синусоидальному закону.

Как показано на примере капилляра конической формы [5], равновесные высоты капиллярного подъема смачивающей жидкости в капиллярах круглого сечения могут быть найдены тремя независимыми методами.

1. Если известна зависимость

$$h = f(\tau), \quad (1)$$

где h — высота капиллярного подъема и τ — время, то равновесные высоты капиллярного подъема жидкости могут быть найдены из условия

$$\frac{dh}{d\tau} = 0. \quad (2)$$

2. Если известна зависимость

$$U = f(h), \quad (3)$$

где U — потенциальная энергия сил тяжести и сил поверхностного натяжения смачивающей жидкости, то равновесные значения h могут быть найдены из условия

$$\frac{dU}{dh} = 0. \quad (4)$$

3. Если известна форма капилляра

$$r = f(h) \quad (5)$$

(предполагается, что внутренняя поверхность капилляра представляет собой поверхность вращения вокруг оси, совпадающей с осью капилляра), то равновесные высоты капиллярного подъема могут быть найдены из совместного решения системы уравнений:

$$\left. \begin{aligned} \rho gh &= \frac{2\sigma}{r} \\ r &= f(h) \end{aligned} \right\} \quad (6)$$

где r — радиус капилляра (для простоты r принимается равным радиусу мениска и форма мениска считается сферической), σ — поверхностное натяжение жидкости на границе с воздухом, ρ — плотность жидкости и g — ускорение силы тяжести.

Эти три метода были использованы одним из нас совместно с В. В. Ледевым для решения задачи о капиллярном подъеме жидкости в капилляре конической формы [5].

Рассмотрим теперь, используя второй и третий методы, задачу о подъеме жидкости в капилляре, профиль которого описывается уравнением

$$r = \alpha + \beta \sin \gamma(h + \delta), \quad (7)$$

где α , β и γ — постоянные для данного капилляра величины, связанные размерами капилляра следующими соотношениями:

$$\alpha = \frac{1}{2}(r_1 + r_2), \quad \beta = \frac{1}{2}(r_1 - r_2) \text{ и } \gamma = \frac{2\pi}{\lambda},$$

где h — глубина погружения капилляра в жидкость и λ — «период» капилляра (рис. 1).

Применение второго метода. Выражение для потенциальной энергии U сил тяжести и капиллярных сил для капилляра углового поперечного сечения имеет вид [6]:

$$U = \pi \rho g \int_0^h r^2 h \, dh - 2\pi \sigma \int_0^h r \, dh. \quad (8)$$

Подставляя в это выражение значение для r из (7) и производя вычисления, находим

$$\begin{aligned} U = & \pi \rho g \left\{ \frac{1}{4} h^2 (2\alpha^2 + \beta^2) - \frac{1}{4} \beta h \left[\frac{8\alpha}{\gamma} \cos \gamma(h + \delta) + \right. \right. \\ & \left. \left. + \frac{\beta}{\gamma} \sin 2\gamma(h + \delta) \right] + \frac{4\beta}{\gamma^2} \left[\alpha \sin \frac{\gamma h}{2} \cos \gamma \left(\frac{h}{2} + \delta \right) + \right. \right. \\ & \left. \left. + \frac{\beta}{16} \sin \gamma h \sin \gamma(h + \delta) \right] \right\} - \\ & - 2\pi \sigma \left[\alpha h + \frac{2\beta}{\gamma} \sin \frac{\gamma h}{2} \sin \gamma \left(\frac{h}{2} + \delta \right) \right]. \quad (9) \end{aligned}$$

Как указано в [6], действительные положительные корни $h, h_2, \dots, h_i, \dots$, уравнения (4) при $(d^2U/dh^2)_{h=h_i} > 0$ соответствуют высотам, отвечающим устойчивому равновесию, а при $(d^2U/dh^2)_{h=h_i} < 0$ — высотам, отвечающим неустойчивому равновесию.

Подъем жидкости в капилляре происходит в интервале значений h от h_i или от h_i до h_{i+1} , если в этом интервале $dU/dh < 0$; при значениях h , соответствующих интервалам, для которых $dU/dh > 0$, подъем жидкости в капилляре может быть осуществлен лишь за счет внешней работы. Однако уравнение (4) применительно к капилляру синусоидальной формы является трансцендентным и решать и исследовать его удобнее графическим способом. График функции $U = f(h)$ строится на основании экспериментальных данных (ρ , r_1 , r_2 , δ и λ) при различных значениях h .

На рис. 2 схематически изображен график функции $U = f(h)$. Высоты

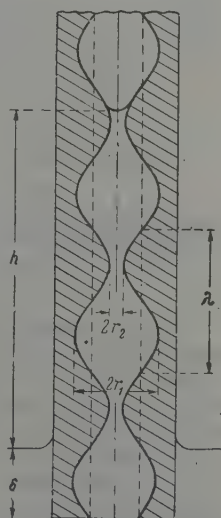


Рис. 1. Схематический профиль «синусоидального» капилляра

h_1, h_3, h_5, \dots соответствуют устойчивому равновесию, а h_2, h_4, h_6, \dots — не устойчивому равновесию. Из этого графика видно, что переход мениска из положения, соответствующего устойчивому равновесию, в соседнее положение, соответствующее также устойчивому равновесию, но большей высоте — требует затраты внешней работы на преодоление «потенциального барьера».

Для экспериментальной проверки этого метода были изготовлены стеклянные капилляры синусоидальной формы, в которых при 20° наблюдался капиллярный подъем дистиллированной воды (поверхностное натяжение $\sigma_{20} = 72,8 \text{ эрг/см}^2$) и медицинского масла ($\sigma_{20} = 31,4 \text{ эрг/см}^2$). Высоты капиллярного подъема определяли следующим образом: капилляр погружали на глубину δ в жидкость и при помощи вертикального

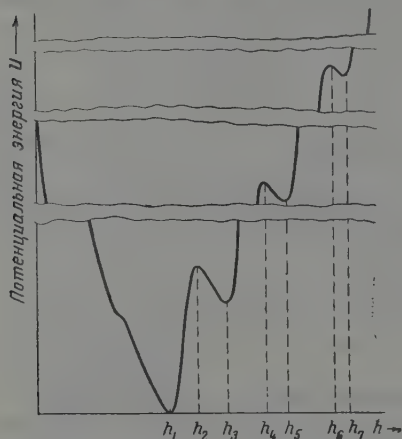


Рис. 2. Схематический график функции $U = f(h)$ для капилляра «синусоидальной» формы

катетометра с точностью до 0,01 мм определяли высоту h капиллярного подъема, соответствующую первому равновесному положению мениска. После этого с помощью небольшого разрежения в капилляре жидкость весьма осторожно засасывали выше данных пор, пока предоставленная самой себе не поднималась или опускалась до следующей высоты h_3 , соответствующей равновесному положению. При этом мениск может оказаться на высоте h_3 , либо поднимаясь из положения, соответствующего высоте $h_1 < h < h_3$, либо опускаясь до положения соответствующего высоте $h_3 < h < h_5$.

После измерения высоты h_3 , той же последовательности жидкость засасывалась выше и измерялись все высоты h_5, h_7, \dots , соответствующие устойчивому равновесному положению.

Таблица 1

Постоянные капилляров

Постоянные, см	r_1	r_2	λ	β	α	γ
Капилляр 1	0,0560	0,0107	1,8600	0,0227	0,0334	3,3763
Капилляр 2	0,0530	0,0200	1,5000	0,0165	0,0365	4,1866

Потенциальная энергия U вычислялась по формуле (9), и для удобства график $U = f(h)$ строился таким образом, чтобы минимальное значение потенциальной энергии U соответствовало нулевому значению на графике

На рис. 3 изображены графики $r = f(h)$, построенные на основании результатов непосредственного измерения профиля капилляра (сплошная линия) и рассчитанные по уравнению (7) (пунктирная линия), постоянные которого вычислялись на основании непосредственного измерения профиля капилляра, а также график функции $U = f(h)$ для капилляра

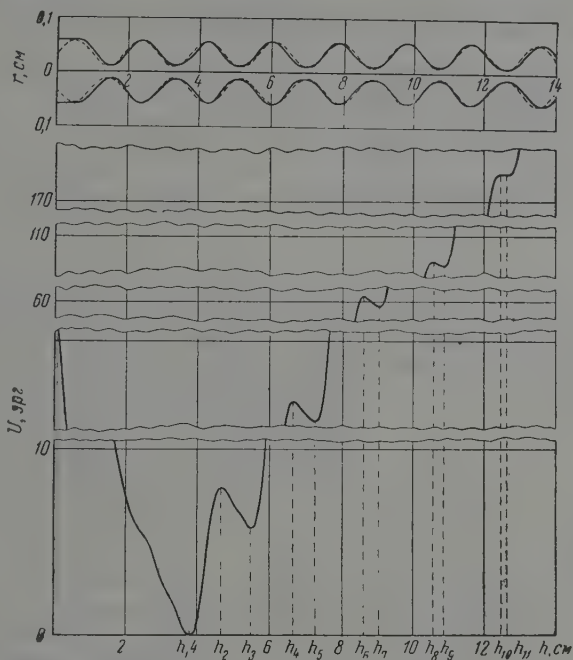


Рис. 3. Зависимость $r = f(h)$ и $U = f(h)$ для подъема воды в капилляре 1

в котором наблюдался подъем воды. Все измерения в этом случае проводили для глубины погружения $\delta = 0$. Для этого капилляра было отмечено 6 высот, соответствующих устойчивому равновесию. Наиболее устойчивой из всех высот, отвечающих устойчивому равновесию, оказалась высота h_1 .

Для капилляра 2, в котором наблюдался подъем медицинского масла, графики $r = f(h)$ и $U = f(h)$ для глубины погружения $\delta = 0,365$ см изображены на рис. 4.

В табл. 2 приведены равновесные высоты подъема воды (капилляр 1) и медицинского масла (капилляр 2), наблюдаемые из опыта и найденные на графиках $U = f(h)$.

Как видно из приведенных данных, экспериментально определенные и найденные графически значения устойчивых высот капиллярного подъема хорошо согласуются между собой. То же самое наблюдалось в опытах, проведенных при разных глубинах погружения δ .

Применение третьего метода. Для капилляра синусоидальной формы система уравнений (6) имеет вид:

$$\left. \begin{aligned} \rho gh &= \frac{2\sigma}{r} \\ r &= \alpha + \beta \sin \gamma (h + \delta) \end{aligned} \right\} \quad (10)$$

Решение этой системы трансцендентных уравнений удобно искать лишь графическим способом. Однако вопрос об устойчивости высот может быть решен на основании следующих соображений. Из графиков $\rho gh = f(h)$ и $2\sigma/r = f(h)$ (рис. 5) видно, что устойчивые высоты капиллярного подъема соответствуют абсциссам точек пересечения прямой $\rho gh = f(h)$ и кривой

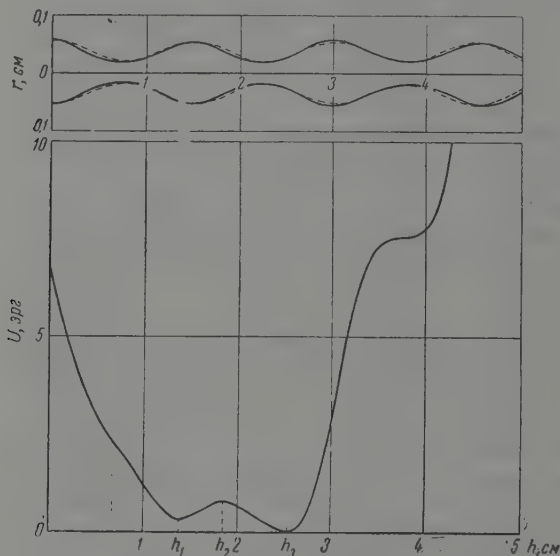


Рис. 4. Зависимость $r = f(h)$ и $U = f(h)$ для подъема медицинского масла в капилляре 2

$2\sigma/r = f(h)$ на ее нисходящих участках. Это следует из того, что при высотах, меньших или больших, чем высоты, соответствующие этим точкам пересечения, мениск будет стремиться подняться или опуститься до этих высот, так как в этом случае при меньшей высоте жидкость под действием капиллярного давления будет стремиться подняться вверх (стрелка *a*), а при большей высоте жидкость под действием гидростатического давления будет стремиться опуститься вниз (стрелка *b*).

Аналогичным образом можно показать, что высоты капиллярного подъема, соответствующие абсциссам точек пересечения прямой $\rho gh = f(h)$ и кривой $2\sigma/r = f(h)$ на ее восходящих участках, будут соответствовать неустойчивому равновесию (стрелки *c* и *d*)*.

Вопрос о числе равновесных высот частично также может быть решен на основании анализа графиков функций $\rho gh = f(h)$ и $2\sigma/r = f(h)$, изображенных на рис. 5.

При

$$\frac{d}{dh} (\rho gh) \geq \frac{d}{dh} \left[\frac{2\sigma}{\alpha + \beta \sin \gamma (h + \delta)} \right],$$

* Истинное направление стрелок *c* и *d* противоположно показанному на рис. 5.

Таблица 2

Равновесные высоты капиллярного подъема, найденные опытным и графическим путем
(второй способ)

Высота, см	h_1	h_2	h_3	h_4	h_5	h_6	h_7	h_8	h_9	h_{10}	h_{11}
---------------	-------	-------	-------	-------	-------	-------	-------	-------	-------	----------	----------

Вода (капилляр 1)

эксперим.	3,805	—	5,415	—	7,175	—	9,025	—	10,785	—	12,670
графич.	3,77	4,67	5,48	6,65	7,26	8,62	9,04	10,57	10,87	12,45	12,63

Медицинское масло (капилляр 2)

эксперим.	1,360	—	2,490	—	—	—	—	—	—	—	—
графич.	1,39	1,85	2,52	—	—	—	—	—	—	—	—

должно существовать одна равновесная и притом устойчивая высота капиллярного подъема, если правая часть неравенства имеет максимальное значение. В этом случае касательная к кривой $2\sigma/r = f(h)$ проходит через точку перегиба на ее восходящей части (см. пунктирные прямые A и B на рис. 5). Произведя вычисления, приходим к условию существования одной равновесной устойчивой высоты независимо от положения мениска в капилляре (т. е. независимо от величины погружения δ капилляра), в виде неравенства

$$\rho g \geq \frac{8\pi\sigma(r_1 - r_2)}{\lambda(r_1 + r_2)}.$$

Далее, можно показать, что при

$$\rho g < \frac{8\pi\sigma(r_1 - r_2)}{\lambda(r_1 + r_2)^2},$$

независимости от величины погружения δ от размеров капилляра, может существовать одна или несколько высот. В случае одной высоты эта высота будет устойчивой. Если имеется несколько высот, то первая высота может быть как устойчивой, так и неустойчивой. В том случае, когда первая высота является устойчивой, все нечетные высоты (h_1, h_3, h_5, \dots) будут соответствовать устойчивому равновесию, а все четные высоты (h_2, h_4, \dots) — неустойчивому; если же первая высота будет неустойчивой, то, наоборот: все нечетные высоты будут также неустойчивыми, а все четные — устойчивыми.

На рис. 6 и 7 изображены графики функций $\rho gh = f(h)$ и $2\sigma/r = f(h)$ для упомянутых выше капилляров 1 (подъем воды) и 2 (подъем медицинского масла).

В табл. 3 приведены равновесные высоты подъема, найденные из опыта и путем графического решения системы уравнений (10).

При использовании этого метода также наблюдается вполне удовлетворительное совпадение значений высот, определенных экспериментально и найденных графически.

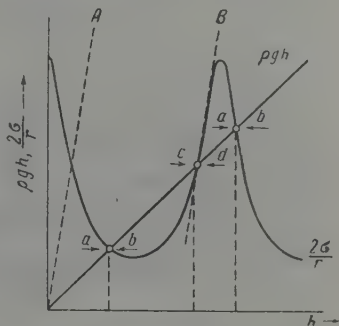


Рис. 5. Схематические графики функций $\rho gh = f(h)$ и $2\sigma/r = f(h)$ для «синусоидального» капилляра [графическое решение системы (10) уравнений]

Таблица 3

Равновесные высоты капиллярного подъема, найденные опытным и графическим путем
(третий метод)

Высоты, см	h_1	h_2	h_3	h_4	h_5	h_6	h_7	h_8	h_9	h_{10}	h_{11}
---------------	-------	-------	-------	-------	-------	-------	-------	-------	-------	----------	----------

Вода (капилляр 1)

Эксперим.	3,805	—	5,415	—	7,175	—	9,025	—	10,785	—	12,6
Графич.	3,77	4,68	5,5	6,66	7,27	8,61	9,06	10,54	10,85	12,47	12,6

Медицинское масло (капилляр 2)

Эксперим.	1,360	—	2,490	—	—	—	—	—	—	—	—
Графич.	1,39	1,85	2,52	—	—	—	—	—	—	—	—

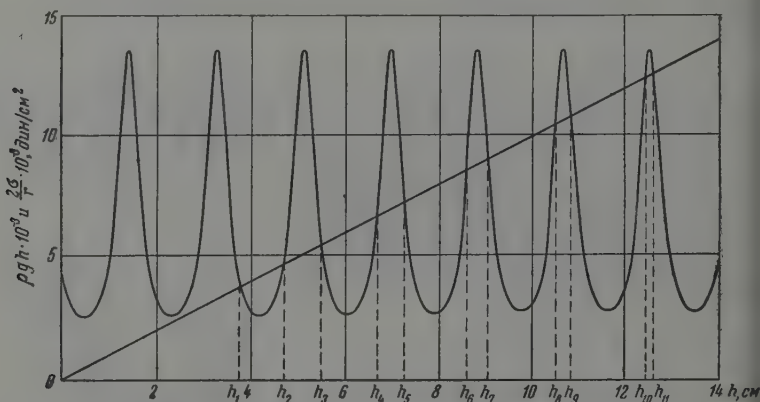


Рис. 6. Графики функций $\rho gh = f(h)$ и $2\sigma/r = f(h)$ для «синусоидального» капилляра 1 (подъем воды)

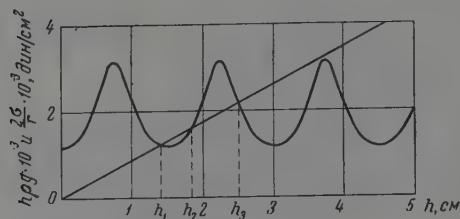


Рис. 7. Графики функций $\rho gh = f(h)$ и $2\sigma/r = f(h)$ для «синусоидального» капилляра 2 (подъем медицинского масла)

Выводы

Двумя независимыми методами показано, что для капилляра синусоидальной формы, в зависимости от его размеров и глубины погружения, может существовать несколько равновесных устойчивых и неустойчивых высот капиллярного подъема.

Значения высот капиллярного подъема, рассчитанные двумя методами, хорошо согласуются с экспериментально полученными значениями этих высот.

Академия наук СССР
Институт нефти

Поступила
24.X.1958

ЛИТЕРАТУРА

- А. Ю. Давидов, Теория капиллярных явлений, М., 1854, стр. 201.
Н. Bouasse, Capillarité, phénomènes superficiels, Paris, 1924, p. 189.
А. В. Лыков, Явления переноса в капиллярно-пористых телах, М., 1954, стр. 32.
V. Šupr, Spisy vyd. přírodověd. fak. Masarykovy univ., 3, 137, 1956.
В. В. Лебедев, М. М. Кусakov, Изв. высших учебных заведений. Физика, 1, 15, 1958.
М. М. Кусakov, Д. Н. Некрасов, Докл. АН СССР, 119, 107, 1958.

CAPILLARY HYSTERESIS IN THE RISE OF LIQUIDS IN A CAPILLARY
OF VARYING CROSS SECTION

M. M. Kussakov, D. N. Nekrassov (Moscow)

Summary

The problem of the rise of liquids in sinusoidal capillaries has been solved and it has been shown that several equilibrium stable and unstable heights of capillary ascent may exist, depending upon the sizes and depth of immersion of the capillary. The values of the height of the capillary rise calculated by two independent methods (consideration of the general conditions for equilibrium of liquids with account made of gravity and capillary forces, and of the shape of the capillary) are in good agreement with the experimental results for the same heights (for water and non-polar oil).

ИССЛЕДОВАНИЕ ЗАВИСИМОСТИ ПЕРЕНАПРЯЖЕНИЯ ВОДОРОДА НА АЛЮМИНИИ ОТ СОСТОЯНИЯ ЕГО ПОВЕРХНОСТИ И КОНЦЕНТРАЦИИ КИСЛОТЫ

А. А. Дьяков и Т. И. Костоусова

Среди ряда факторов, влияющих на величину перенапряжения водорода при его электролитическом выделении, существенным является состояние поверхности электрода. Значительный интерес при этом представляет исследование вопроса о влиянии на перенапряжение водородных пленок металлов. В настоящее время имеется еще мало работ, посвященных специально этому вопросу.

И. Платонова и С. Левина [1] измеряли перенапряжение водорода на порошковой разном железном электроде в растворах едкого кали. Они нашли, что кривая перенапряжения водорода на электроде с остатками невосстановленного кислорода имеет больший наклон и лежит значительно выше, чем в случае полностью восстановленного железного электрода. С. А. Розенцвейг и Б. И. Кабанов [2] измеряли перенапряжение водорода на восстановленном, анодноокисленном и воздушноокисленном порошковым железном электроде в растворе едкого натра. Ими было также найдено, что перенапряжение водорода на окисленной поверхности выше, чем на восстановленной. Наклон кривых перенапряжения на электроде с окисленной поверхностью больше, чем на электроде с восстановленной поверхностью. Б. И. Кабанов и Е. В. Барелко [3] измеряли перенапряжение водорода на магнии в растворе едкого кали. Они нашли, что перенапряжение водорода на окисленной поверхности значительно выше, чем на неокисленной.

Вопрос о влиянии концентрации электролита на перенапряжение водорода является более изученным. А. Н. Фрумкин [4] на основании теории замедленного разряда было выведено уравнение, количественно устанавливающее связь перенапряжения с концентрацией электролита. Это уравнение хорошо подтверждается опытами в электролитах невысокой концентрации. В растворах высокой концентрации перенапряжение водорода исследовано еще недостаточно. Однако данные З. А. Иофа и А. И. Фрумкина о перенапряжении водорода на ртути в концентрированных растворах кислот свидетельствуют о том, что пока еще трудно в этих условиях количественно учесть все факторы, влияющие на зависимость перенапряжения водорода от концентрации [5].

Перенапряжение водорода на алюминии измерялось в ряде работ [6—9]. Однако влияние состояния поверхности электрода на перенапряжение водорода при этом не учитывалось. Принимая же во внимание воздействие образующейся естественным путем окисной пленки на ряд свойств алюминия, можно ожидать, что окисная пленка на поверхности алюминия оказывает влияние и на перенапряжение водорода. В работе [9] перенапряжение было измерено в ряде растворов серной кислоты концентрации от 0,01 до 0,2 *N*. Полученные данные показывают, что в этой области концентраций перенапряжение практически одинаково во всех исследованных растворах. Таким образом, результаты и следовало ожидать в соответствии с теорией А. Н. Фрумкина. Изменение перенапряжения водорода с изменением концентрации кислоты должно наблюдаться только в более концентрированных растворах.

В настоящей работе исследовалось влияние на перенапряжение водорода на алюминии состояния поверхности электрода (активное и пассивное), характера атмосферы над электролитом и концентрации кислоты.

Экспериментальная часть

Перенапряжение водорода измерялось прямым компенсационным методом. Потенциал алюминиевого электрода измерялся по отношению к водородному электроду с тем же электролитом, что и в сосуде, где поляризовался образец. Опыты проводили в дважды перегнанной соляной

кислоте следующих концентраций: 0,05; 0,5; 1,0; 2,0; 4,0; 5,0 и 6,0 N. Электрод готовился из 99,98%-ного алюминия. Он представлял собой цилиндр высотой около 8 мм, вставленный в стеклянную трубку и закрепленный ней заливаемым в зазор полистиролом. Такая конструкция электрода была предложена Н. Д. Томашовым [10]. Изготовленный этим способом электрод имеет те преимущества, что у него только одна рабочая поверхность и надежный электрический контакт. Конструкция прибора позволяла проводить опыты в атмосфере водорода, получаемого электролитическим путем. Термостатированием достигалось постоянство температуры $5 \pm 0,2^\circ$.

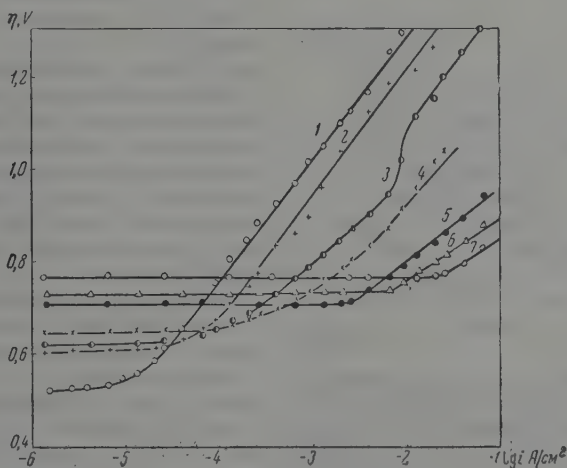


Рис. 1. Кривые перенапряжения водорода на алюминии в HCl различных концентраций: 1—0,05; 2—0,5; 3—1,0; 4—2,0; 5—4,0; 6—5,0 и 7—6,0 N

При проведении опытов, кроме отдельных измерений, применялась следующая методика. Хорошо зачищенный наждачной бумагой образец омывали последовательно эфиром, спиртом и водой и помещали в прибор, где энергичным продуванием водорода создавали водородную атмосферу. Затем в эту часть прибора пропускалась кислота, предварительно очищенная катодной поляризацией с одновременным пропуском водорода в течение 4 час. Цепь замыкалась в момент соприкосновения образца с электролитом. Образец выдерживали в течение 30 мин. при катодной поляризации током $1 \cdot 10^{-3}$ А/см², после чего снимали кривую перенапряжения в направлении от больших плотностей тока к малым. Такая методика позволяла проводить измерения с образцом, находящимся в активном состоянии. Из-за очень большой скорости растворения в 5,0 и 6,0 N кислоте образец при катодной поляризации не выдерживался. При снятии кривой перенапряжения плотность поляризующего тока изменялась с интервалом в 1 мин.

Опытные данные. На рис. 1 представлены кривые перенапряжения в соляной кислоте. Каждая из кривых состоит из двух участков — горизонтального и наклонного. Горизонтальный участок кривой показывает величину стационарного потенциала алюминия по отношению к водородному электроду в том же электролите. С увеличением концентрации соляной кислоты стационарный потенциал сдвигается в сторону более отрицательных значений. Изменение потенциала составляет 0,25 В при изменении концентрации кислоты от 0,05 до 6,0 N. Однако если учесть

изменения потенциала водородного электрода с изменением активности ионов водорода и пересчитать потенциал алюминия по отношению к нормальному водородному электроду (н. в. э.), то действительный сдвиг потенциала составит всего около 0,09 V.

Увеличение концентрации кислоты вызывает снижение перенапряжения водорода. При плотности тока $1 \cdot 10^{-2}$ А/см² с изменением концентрации кислоты от 0,05 до 0,5 N перенапряжение уменьшается на 0,09 V, а с изменением концентрации кислоты от 0,5 до 5,0 N — на 0,45 V. Снижение перенапряжения водорода на алюминии в соляной кислоте при

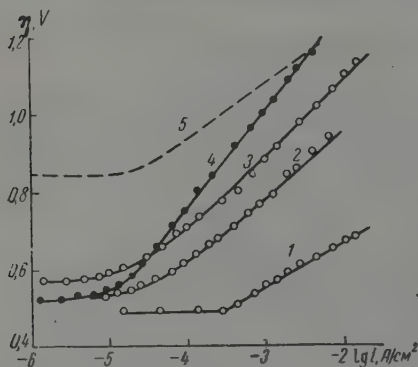


Рис. 2. Кривые перенапряжения водорода на алюминии: 1 — на незачищенном и 3 — на зачищенном образце в воздушной атмосфере в 0,5 N HCl; 2 — на незачищенном и 4 — на зачищенном образце в атмосфере водорода в 0,05 N HCl; 5 — предполагаемый ход кривой перенапряжения на образце с непрерывной зачисткой поверхности

$1 \cdot 10^{-3}$ А/см² в 1,0 N соляной кислоте перенапряжение равно 0,80 V. По литературным данным, в этих условиях перенапряжение водорода равно 0,58 V [7]. Такая же величина перенапряжения найдена и в 2,0 M серной кислоте [8].

С целью выяснения влияния состояния поверхности электрода на перенапряжение водорода были проведены измерения на незачищаемом электроде в воздушной атмосфере. В этих условиях сохраняется образующаяся естественным путем окисная пленка, пассивирующая образец. Как видно из рис. 2 (кривая 1), зависимость перенапряжения водорода от плотности тока на таком электроде соответствует требованиям уравнения Тафеля. Коэффициент b равен 0,11 V. Величина перенапряжения водорода, определенная в этих условиях, согласуется с данными Хиклинга и Солта [7], которые измеряли перенапряжение на незачищаемом электроде в воздушной атмосфере. Однако из наших данных видно, что при увеличении плотности тока перенапряжение не стремится к некоторому пределу, как это наблюдали Хиклинг и Солт. Как уже отмечалось в литературе [4], такой необычный ход кривой перенапряжения у Хиклинга и Солта, видимо, связан с допущенными при проведении измерений методическими ошибками.

Зачистка перед опытом и катодная поляризация в атмосфере водорода активизируют образец. Он приближается к такому состоянию, когда на его поверхности отсутствует окисная пленка. На образце алюминия в активном состоянии, как видно из рис. 2 (кривая 3), перенапряжение водорода более высокое, стационарный потенциал сдвигнут в сторону более отрицательных значений, по сравнению с образцом, покрытым естественной

увеличении ее концентрации от 0, до 1,9 N наблюдалось также в работе И. Е. Титовой и Г. И. Чугарова [11]. Обращает на себя внимание, однако, необычайно большая величина снижения перенапряжения водорода. Так, для ртутного электрода было найдено [5], что перенапряжение водорода при изменении концентрации соляной кислоты от 1,0 до 10,0 N, т. е. также в десять раз, меняется только на 0,30 V.

Кривые перенапряжения, как следует из рис. 1, имеют сравнительно большой наклон. Если расчитать коэффициент b в уравнении Тафеля, то оказывается, что для 0,5 N кислоты он равен 0,27, для 2,0 N раствора 0,20 и для 4,0 M раствора 0,16 V. Сравнительно высоким оказывается и численное значение величины перенапряжения. Так, при плотности тока

разовавшейся окисной пленкой (кривая 1). Зачистка образцов перед опытом сказывается на величине перенапряжения водорода и при проведении опытов в атмосфере водорода. Перенапряжение в этом случае на зачищенном электроде (кривая 4, рис. 2) выше, чем на незачищенном (кривая 2). Характерно, что в атмосфере водорода стационарные потенциалы зачищенного и незачищенного электродов близки по своей величине. Это свидетельствует о том, что первоначальное различие в состоянии поверхности электродов постепенно ликвидируется с уменьшением катодной поляризации. После прекращения катодной поляризации состояние поверхности обоих электродов становится одинаковым.

Обсуждение результатов

Как уже упоминалось выше, литературные данные свидетельствуют о том, что появление окисной пленки на железе и магнии в растворе щелочи вызывает повышение перенапряжения водорода. В настоящей же работе найдено, что в соляной кислоте появление окисной пленки на алюминии приводит, наоборот, к понижению перенапряжения водорода. Пока еще нет теоретических соображений, могущих объяснить этот факт. Однако можно показать, что из данных работ Г. Б. Кларка и Г. В. Акимова [12] стационарных потенциалах алюминия при зачистке и без зачистки также следует, что на образце с окисной пленкой перенапряжение должно быть ниже, чем на образце без окисной пленки. По данным Г. Б. Кларка и Г. В. Акимова, стационарный потенциал алюминия в 0,1 *N* соляной кислоте в активном состоянии при зачистке равен $-0,92$ В, в пассивном же состоянии стационарный потенциал равен $-0,50$ В по отношению к н. в. э. Учитывая то обстоятельство, что перенапряжение водорода в кислоте по своей величине должно быть не менее величины стационарного потенциала электрода, измеренного относительно водородного электрода в том же электролите, можно оценить величину перенапряжения водорода, которая должна быть на электроде при зачистке в активном состоянии, а без зачистки — в пассивном состоянии. Для этого надо данные Г. Б. Кларка и Г. В. Акимова о потенциалах пересчитать по отношению к водородному электроду в том же электролите, т. е. в 0,1 *N* соляной кислоте. Величина равновесного потенциала водородного электрода в 0,1 *N* соляной кислоте идет около 0,07 В. Следовательно, потенциалы алюминия в активном и пассивном состоянии соответственно будут $-0,85$ и $-0,43$ В.

Таким образом, из данных об электродном потенциале при зачистке и без зачистки вытекает, что перенапряжение водорода на алюминии в соляной кислоте при пассивном состоянии его поверхности должно быть $0,42$ В меньше, чем при активном состоянии поверхности. Из данных же настоящей работы можно найти, что при плотности тока $1 \cdot 10^{-2}$ А/см² разница между величиной перенапряжения водорода на активной поверхности (кривая 2, рис. 1) и пассивной поверхности (кривая 1, рис. 2) равна приблизительно 0,40 В. Это значение хорошо согласуется с предполагаемой величиной снижения перенапряжения, вытекающей из данных о потенциалах при зачистке и без зачистки.

Приведенный зачисткой и катодной поляризацией в активное состояние алюминиевый электрод при уменьшении катодной поляризации начинает постепенно пассивироваться, на электроде постепенно появляется окисная пленка. Вследствие этого к снижению перенапряжения водорода, вызванному уменьшением катодной поляризации, присоединяется еще снижение перенапряжения, вызванное появлением окисной пленки. Такое снижение перенапряжения с уменьшением катодной поляризации называется более высоким, чем это следует из теории перенапряжения, коэффициент *b* оказывается завышенным, как это наблюдается на опыте. Можно думать, что кривая перенапряжения, полученная в условиях не-

прерывной зачистки электрода, имела бы нормальный наклон и была предположительно близка к кривой 5, рис. 2. Однако практически такую кривую получить пока не представилось возможным из-за трудности полного удаления окисной пленки с алюминия.

На электроде, находящемся в пассивном состоянии, кривая перенапряжения имеет нормальный наклон (кривая 1, рис. 2). Образовавшаяся естественным путем окисная пленка на алюминии достаточно прочная, катодная поляризация, видимо, не меняет существенно состояние поверхности, поэтому не меняются и условия разряда ионов водорода при изменении катодной поляризации. Наклон кривой перенапряжения в этом случае оказывается меньше, чем на электроде с активной поверхностью. Величина коэффициента b близка к теоретическому значению.

Объяснение значительного снижения перенапряжения при увеличении концентрации кислоты в концентрированных растворах встречается с значительными трудностями. Исследуя зависимость перенапряжения водорода на ртути от концентрации соляной кислоты, З. А. Иофа и А. С. Фрумкин [5] вывели на основании теории замедленного разряда уравнение перенапряжения, которое пригодно для качественной оценки зависимости перенапряжения от концентрации кислоты в концентрированных растворах. Как полагают З. А. Иофа и А. Н. Фрумкин, в концентрированных растворах на кинетику разряда ионов водорода влияют два фактора. Первый — связанный с адсорбцией ионов в пограничном слое второй — связанный с изменением коэффициента активности ионов кислоты.

На алюминии с увеличением концентрации кислоты перенапряжение водорода понижается значительно сильнее, чем на ртути. По нашему мнению, это связано с тем, что у алюминия с увеличением концентрации кислоты наблюдается значительное смещение стационарного потенциала в сторону отрицательных значений и возрастание тока саморастворения. Эти обстоятельства, вероятно, и вызывают более сильное снижение перенапряжения на алюминии, по сравнению с теми металлами, ток саморастворения и стационарный потенциал которых мало меняются с ростом концентрации кислоты. Алюминиевый электрод, как известно, отличается одной особенностью, что его поверхность имеет прочную защитную окисную пленку. С увеличением концентрации кислоты начинается разрушение окисной пленки, а это приводит к изменению электрохимического потенциала металла.

Выводы

1. Измерено перенапряжение водорода на алюминии в соляной кислоте различной концентрации при активном и пассивном состоянии его поверхности. Обнаружено, что перенапряжение водорода на образце, находящемся в активном состоянии, выше, чем перенапряжение водорода на пассивированном образце. Наклон кривых перенапряжения в первом случае значительно выше, чем во втором. Перенапряжение водорода на пассивированном образце хорошо согласуется с литературными данными. Наклон кривой перенапряжения близок к теоретическому значению.
2. Показано, что факт более высокого перенапряжения водорода на алюминии в активном состоянии вытекает из данных работ Г. Б. Кларка и Г. В. Акимова о стационарных потенциалах при зачистке и без зачистки.
3. С увеличением концентрации кислоты перенапряжение водорода значительно уменьшается. Стационарный потенциал при этом смещается в сторону более отрицательных значений, ток саморастворения возрастает. Высказано предположение, что значительное снижение перенапряжения

нения водорода на алюминии при увеличении концентрации соляной кислоты связано с весьма сильным увеличением тока саморастворения алюминия и сдвигом стационарного потенциала в сторону более отрицательных значений.

Уральский государственный университет
им. А. М. Горького
Свердловск

Поступила
28.X.1958

ЛИТЕРАТУРА

1. И. Платонова и С. Левица, Ж. физ. химии, **21**, 331, 1947.
2. С. А. Розенцвейг и Б. Н. Кабанов, Ж. физ. химии, **22**, 513, 1948.
3. Б. Н. Кабанов и Е. В. Барелко, Ж. физ. химии, **31**, 2501, 1957.
4. А. Н. Фрумкин, В. С. Багоцкий, З. А. Иофа и Б. Н. Кабанов, Кинетика электродных процессов, Изд-во МГУ, 1952.
5. З. А. Иофа и А. Н. Фрумкин, Ж. физ. химии, **18**, 268, 1944.
6. K. Nobel, S. Caplan, E. Eiseman, Trans. Amer. Electrochem. Soc., **43**, 55, 1923.
7. A. Hickling and F. Salt, Trans. Faraday, Soc., **36**, 1226, 1940.
8. А. Г. Печерская и В. В. Стендер, Ж. прикл. химии, **19**, 1303, 1946.
9. Ю. Ю. Матулис и О. К. Гальдиксоне, Тр. АН ЛитССР, Б — **3**, 23, 1955.
10. Н. Д. Томашов, Тр. Второй конференции по коррозии металлов, т. II, стр. 11, 1943.
11. И. Е. Титова и Г. И. Чуфаров, Ж. физ. химии, **29**, 502, 1955.
12. Г. Б. Кларк и Г. В. Акимов, Тр. Второй конференции по коррозии металлов, т. II, стр. 33, 1943.

INVESTIGATION OF THE DEPENDENCE OF HYDROGEN OVERVOLTAGE ON ALUMINUM UPON THE STATE OF THE SURFACE AND CONCENTRATION OF THE ACID

A. A. Dyakov and T. I. Kostousova (Sverdlovsk)

S u m m a r y

The hydrogen overvoltage on aluminum in hydrochloric acid has been investigated over the concentration range 0.05N to 6.0 N. Measurements were made under conditions of activation and passivation of the specimen with the aim of ascertaining the effect of the oxide film on the overvoltage.

It has been found that with increase in concentration of acid the overvoltage of hydrogen on aluminum diminishes, the steady state potential of aluminum shifting in the direction of more negative values. Higher overvoltage is observed for aluminum in the active state than for the passivated specimen.

ИЗУЧЕНИЕ КАТОДНОЙ ПОЛЯРИЗАЦИИ В СВИНЦОВЫХ ПИРОФОСФАТНЫХ РАСТВОРАХ

О. К. Кудра и Н. В. Гудович

Несмотря на обширное использование электролитического выделения металлов в технике, многие вопросы катодного электроосаждения еще нуждаются во всесторонней и глубокой теоретической разработке. Особенно важным является выяснение процессов электрокристаллизации из широко распространенных комплексных электролитов, дающих гладкие и мелкозернистые покрытия. Попытки объяснения таких процессов привели к разным теоретическим представлениям. По мнению некоторых авторов, благоприятные условия осаждения мелкозернистого осадка из комплексных растворов вызываются очень малой концентрацией в них простых ионов, высокая же поляризация, наблюдаемая при этом, обуславливается медленностью пополнения этих ионов при диссоциации сложных комплексов [1].

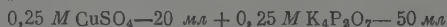
Другие авторы приписывают высокую поляризацию медленному переходу иона из комплексов в адсорбированное состояние на поверхности электрода [2]. Некоторые исследователи связывают катодную поляризацию непосредственно с разрядом комплексных ионов. В пользу последнего представления говорят недавно опубликованные результаты работ [3]. Однако полученных в этом направлении опытных данных пока не достаточно, чтобы с полным основанием можно было предпочесть то или иное толкование. Поэтому дальнейшее развитие исследований в этой области и накопление дополнительного материала необходимо для выяснения действительной природы явлений.

В настоящей работе нами были изучены катодные процессы в комплексных свинцовых пирофосфатных электролитах.

Экспериментальная часть

Катодная поляризация исследовалась обычным компенсационным методом. Был выяснено влияние температуры на поляризацию. Предварительно методом электропроводности было установлено наличие комплексообразования в растворах азотнокислого свинца при введении в них пирофосфата калия. Образующийся комплекс отвечает формуле $K_2Pb(P_2O_7)_2$. При определении переноса ионов при электролизе обнаружено, что свинец перемещается в анодное пространство. Константа нестойкости комплексного аниона $[Pb(P_2O_7)_2]^{6-}$, рассчитанная нами по произведению растворимости, отвечает значению отрицательного логарифма, равному 6,23, т. е. числу, близкому к величине, полученной В. П. Васильевым [4] по термодинамическим данным для комплекса $Na_2Pb(P_2O_7)_2$.

Поляризация изучалась при прямом и обратном ходе кривых. Воспроизводимость результатов 2—5 мВ. Электродом сравнения служил щелочной полужелезный $Hg(HgO) | NaOH$ с потенциалом 0,114 В при 25°. В некоторых случаях пользовались насыщенный каломельным электродом. Исходные препараты: азотнокислый свинец и пирофосфат калия марки «х. ч.» дополнительно перекристаллизовывались. Растворы готовились на дважды перегнанной воде. В качестве исходных концентраций брали 0,05 М K_2PbO_7 и 0,03 М $Pb(NO_3)_2$. Катод изготовлялся из платиновой жести в виде пластинки с отверстием в 2 мм диаметром, в которое с тыльной стороны впаивался капиллярный конец сифона. По бокам и с тыльной стороны катод был впаивлен в стекло. Лицевая «рабочая» поверхность катода в 3,2 см² предварительно меднилась из медной пирофосфатной ванны



и затем свинцевалась из молочнокислой ванны, разработанной нами (45 г/л молочнокислого свинца, 15 г/л молочной кислоты и 4 г/л 2,7-нафталинсульфокислоты).

При изучении поляризации при разных соотношениях пирофосфата калия и азотнокислого свинца было обнаружено наличие аномального рода кривых. При достижении потенциала электрода 0,600—0,615 В наблюдалось резкое падение силы тока, после чего появлялся минимум на кривой и дальше сила тока постепенно возрастала. Глубина минимума увеличивалась с ростом концентрации азотнокислого свинца.

На рис. 1 приведена одна из серий полученных кривых. Кривая 1 относится к соотношению $0,03 \text{ M Pb(NO}_3)_2 : 0,05 \text{ M K}_4\text{P}_2\text{O}_7 = 1 : 5$, кривая 2 и 3 — соответственно к соотношениям этих же исходных растворов, равным $1 : 3$ и $1 : 2$.

Если допустить, что нулевой заряд двойного слоя в пирофосфатных ваннах близок к потенциалу — 0,69 В, как это установлено для свинца в 10^{-3} растворе хлористого калия [1], то образование минимумов на кривых может быть связано перезарядкой двойного слоя. Видимому, процесс осаждения свинца на катоде вначале происходит из комплексных ионов, сосредоточенных в двойном слое. При повышении отрицательного заряда катода начинается десорбция анионов, что, в конце концов, приводит к резкому снижению электропроводности свинца и образованию на кривой минимума. Дальнейший подъем кривой, по всей вероятности, связан как с постепенным увеличением разряда простых ионов свинца, так и с новым электрохимическим процессом — разрядом водородных ионов.

В связи с таким возможным объяснением характера поляризационных кривых в исследуемых растворах возможно наличие как химической, так и концентрационной поляризации.

Нам казалось целесообразным поэтому более внимательно изучить влияние температурного фактора. Для этого была применена методика, впервые предложенная С. В. Горбачевым, позволяющая на основании температурных зависимостей рассчитывать эффективные энергии активации предполагаемых электродных процессов.

Эта часть исследований проводилась в стеклянном приборе, устройство которого показано на рис. 2.

Одно из двух отделений сосуда служило электролизером. В другом отделении помещался электрод сравнения. Катод и электрод сравнения из платиновой проволоки диаметром 0,3 мм и поверхностью 6,47 мм² каждый) покрывались перед каждой серией вытравленным свинцом из молочнокислой ванны приведенного выше состава. Анод в виде цилиндрической изогнутой свинцовой пластины располагался у стенок электролизера и равномерно отстоял от помещенного в центре катода. Приведенное устройство прибора и подготовка электродов вполне обеспечивали получение воспроизводимых результатов.

Разность потенциалов между катодом и электродом сравнения измерялась компенсационным методом потенциометром ППТВ-1. Сила тока определялась микроамперметром с ценой деления 5 мкА. Некоторые растворы готовились растворением свежесожаженной хорошо промытой окиси свинца в одномолярном растворе пирофосфата калия, в такого исходного раствора готовились рабочие растворы простым разбавлением.

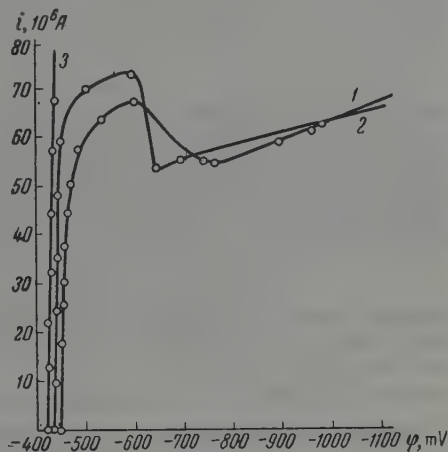


Рис. 1. Влияние комплексообразователя на силу тока при электровосстановлении свинца: 1 — соотношение $\text{Pb(NO}_3)_2 : \text{K}_4\text{P}_2\text{O}_7 = 1 : 5$; 2 — соотношение $\text{Pb(NO}_3)_2 : \text{K}_4\text{P}_2\text{O}_7 = 1 : 3$; 3 — соотношение $\text{Pb(NO}_3)_2 : \text{K}_4\text{P}_2\text{O}_7 = 1 : 2$

Полученные результаты сведены в табл. 1, 2 и 3.

Таблица

Зависимость поляризации от температуры для раствора $K_2P_2O_7 = 0,25$ моль/л
 $Pb = 0,1$ моль/л

20°		30°		40°		50°		60°		70°		80°		90°	
$i, \frac{mA}{cm^2}$	$-\varphi, mV$	$i, \frac{mA}{cm^2}$	$-\varphi, mV$	$i, \frac{mA}{cm^2}$	$-\varphi, mV$	$i, \frac{mA}{cm^2}$	$-\varphi, mV$	$i, \frac{mA}{cm^2}$	$-\varphi, mV$	$i, \frac{mA}{cm^2}$	$-\varphi, mV$	$i, \frac{mA}{cm^2}$	$-\varphi, mV$	$i, \frac{mA}{cm^2}$	$-\varphi, mV$
0	0	0	0	0	0	0	0	0	0	0	0	0	0	0	0
0,38	12,3	0,62	9,6	0,46	7,0	0,62	5,5	0,38	4,2	0,62	3,3	0,62	2,5	0,62	0,62
1,01	13,7	1,28	12,5	0,62	9,1	1,31	8,0	1,24	7,2	1,38	5,2	1,32	4,1	1,32	1,32
2,01	19,0	1,90	14,0	1,40	11,9	2,10	9,3	2,00	9,1	2,32	6,7	2,47	6,2	2,47	2,47
2,70	23,6	2,25	15,5	2,00	14,2	3,08	10,5	2,78	11,6	3,32	8,1	3,40	7,4	3,40	3,40
3,55	33,6	3,10	20,9	2,85	16,1	4,10	13,3	3,55	11,7	4,34	9,6	4,64	9,0	4,64	4,64
4,08	50,0	4,00	28,1	3,60	29,1	5,00	14,8	4,71	13,0	5,66	11,5	5,80	11,1	5,80	5,80
4,25	88,0	5,20	47,1	3,80	18,2	6,01	17,5	5,90	14,1	6,70	14,0	7,00	12,4	7,00	7,00
		5,40	62,9	4,70	25,0	7,30	24,5	6,80	16,1	7,75	16,1	8,20	14,5	8,20	8,20
				5,00	27,0	8,31	28,0	8,1	22,3	8,90	22,0	9,40	15,8	9,35	9,35
				6,00	39,6	8,80	39,0	9,4	26,2	9,10	23,1	10,40	25,1	10,20	10,20
				6,20	42,0	9,10	49,0	10,6	34,3	11,20	26,0				
				7,10	80,0										

Таблица

Зависимость поляризации от температуры для раствора $K_2P_2O_7 = 0,5$ моль/л
 $Pb = 0,2$ моль/л

20°		30°		40°		50°		60°		70°		80°		90°	
$i, \frac{mA}{cm^2}$	$-\varphi, mV$	$i, \frac{mA}{cm^2}$	$-\varphi, mV$	$i, \frac{mA}{cm^2}$	$-\varphi, mV$	$i, \frac{mA}{cm^2}$	$-\varphi, mV$	$i, \frac{mA}{cm^2}$	$-\varphi, mV$	$i, \frac{mA}{cm^2}$	$-\varphi, mV$	$i, \frac{mA}{cm^2}$	$-\varphi, mV$	$i, \frac{mA}{cm^2}$	$-\varphi, mV$
0	0	0	0	0	0	0	0	0	0	0	0	0	0	0	0
0,38	10,0	0,54	8,6	0,46	7,1	0,38	5,4	0,62	5,5	0,62	3,6	0,62	3,0	0,54	0,54
0,62	12,4	1,08	12,0	0,62	7,3	1,06	7,1	1,24	7,6	1,39	5,9	1,03	6,0	1,46	1,46
0,70	14,5	1,46	14,5	1,24	9,6	1,82	10,0	2,25	10,0	2,40	7,9	2,10	8,1	1,94	1,94
1,01	15,4	1,86	15,1	2,00	11,2	2,56	11,0	3,17	11,3	3,17	9,9	3,10	10,5	3,50	3,50
1,32	17,5	2,08	17,7	2,10	11,5	3,47	13,1	4,34	19,4	4,25	12,5	4,41	12,0	4,51	4,51
1,94	19,5	2,86	18,5	2,78	13,5	4,40	16,1	5,40	16,9	5,20	14,6	5,40	13,5	5,40	5,40
2,70	21,6	3,71	21,1	3,55	14,4	5,50	20,1	6,80	22,9	6,40	17,0	6,70	15,1	7,00	7,00
2,86	22,2	3,86	23,2	3,64	15,5	6,30	26,0	8,20	35,0	7,20	18,0	8,00	18,5	7,71	7,71
3,55	25,6	4,41	27,0	4,45	17,1	7,31	38,4	9,60	45,0	9,00	24,0	9,40	25,0	8,82	8,82
3,80	29,9	4,80	36,0	4,65	17,9	8,70	61,4							9,76	9,76
4,61	46,0	5,40	49,0	5,58	21,5										
4,70	53,9			6,68	27,9										
				7,60	35,6										
				8,10	61,0										
				8,20	70,5										

Для вычисления эффективной энергии активации A использовалась зависимость, установленная С. В. Горбачевым:

$$\lg i = -\frac{A}{2,3RT} + \text{const},$$

где i — плотность тока; R — газовая константа в калориях.

Определение производилось графически по наклону прямолинейных участков кривых зависимости $\lg i$ от $1/T$ ($A/2,3$ — отвечает $\text{tg } \alpha$ угла наклона и $A = 2,3 R \text{tg } \alpha$). На рис. 3 — 5 приведены отмеченные зависимости

Таблица 3

Зависимость поляризации от температуры для раствора $K_4P_2O_7 = 1,0$ моль/л
и $Pb = 0,4$ моль/л

20°		30°		40°		50°		60°		70°		80°	
i, mA^2	$-\varphi, \text{mV}$	i, mA^2	$-\varphi, \text{mV}$	i, mA^2	$-\varphi, \text{mV}$	i, mA^2	$-\varphi, \text{mV}$	i, mA^2	$-\varphi, \text{mV}$	i, mA^2	$-\varphi, \text{mV}$	i, mA^2	$-\varphi, \text{mV}$
0	0	0	0	0	0	0	0	0	0	0	0	0	0
8	13,0	0,38	8,9	0,46	6,5	0,46	5,2	0,32	4,1	0,32	3,6	1,12	4,8
16	16,7	0,32	15,2	0,92	9,0	1,23	8,9	0,70	6,6	0,82	5,2	1,88	5,5
24	19,9	1,47	17,5	1,62	11,5	1,93	10,9	2,93	7,2	1,35	6,0	2,62	6,1
32	22,9	2,24	20,5	2,47	14,1	2,86	12,1	3,60	8,4	1,80	7,0	3,31	6,3
40	25,2	2,93	23,3	3,31	16,5	3,61	13,4	4,50	9,2	2,93	7,5	5,21	6,5
48	29,3	3,70	27,0	4,47	19,6	5,50	17,8	4,95	10,5	3,58	7,6	6,12	7,0
56	32,3	4,55	29,0	5,80	21,8	6,34	19,8	6,00	11,5	4,50	8,1	6,45	8,1
64	36,5	5,34	30,6	6,80	25,7	7,41	22,9	7,70	13,0	5,57	9,2	8,25	9,5
72	39,4	6,50	33,4	7,70	28,1	8,50	25,8	7,61	14,0	6,70	10,0	9,75	11,4
80	42,7	7,65	34,7	8,80	30,3	9,60	26,3	8,80	16,1	8,31	12,3	11,21	14,5
88	46,1	8,50	35,7	11,0	31,5	10,80	33,6	9,60	18,5	9,10	14,4	12,10	20,0
96	48,0	9,60	36,3			11,60	39,8	10,60	21,0	11,27	17,0	12,70	25,1
104	48,0							11,20	27,0	11,40	21,0		

Как видно из приведенных рисунков, при электровыделении свинца пирофосфатных комплексных электролитов не наблюдается строго линейной зависимости между $\lg i$ и $1/T$. В более разведенных растворах по-яются почти плавные кривые. По мере повышения концентрации на

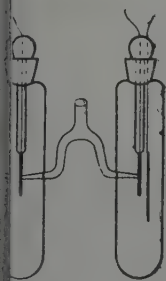


Рис. 2

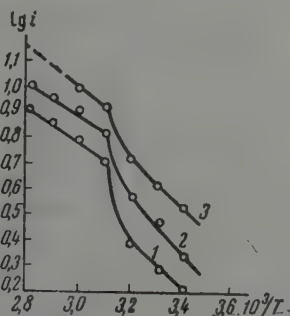


Рис. 3

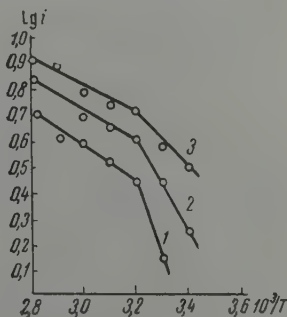


Рис. 4

Рис. 2. Электролизер

3. Зависимость логарифма плотности тока от температуры для раствора 1 моль/л $K_4P_2O_7 + 0,4$ моль/л Pb ; 1 — 0,015 В; 2 — 0,02 В; 3 — 0,03 В

4. Зависимость логарифма плотности тока от температуры для раствора 0,5 моль/л $K_4P_2O_7 + 0,2$ моль/л Pb ; 1 — 0,015 В; 2 — 0,02 В; 3 — 0,03 В

ивных резко выявляются по два характерных излома с явно выраженными двумя прямолинейными участками. Уже по ходу этих кривых можно сделать заключение о смене механизма разряда свинца. Расчет энергии активации подтверждает такое предположение. На рис. 6—8 представлены некоторые зависимости энергии активации от поляризации в растворах различных концентраций.

Из рис. 6—8 видно, что при разных температурах наблюдается резкое изменение энергии активации с увеличением потенциала поляризации. Изменение величины A колеблется в пределах от 12—13 ккал и выше и до 6 ккал и ниже. Так как значение энергии активации выше 6 ккал отве-

чает химической поляризации, а ниже этой величины соответствует поляризации концентрационной, то полученные результаты свидетельствуют о наличии при низких значениях катодного потенциала (до 0,02 V) резкого

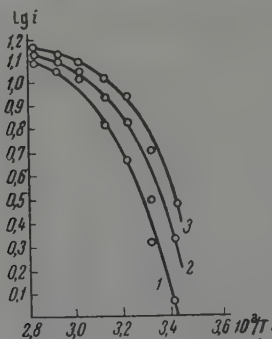


Рис. 5

Рис. 5. Зависимость логарифма плотности тока от температуры для раствора 0,25 моль/л $K_4P_2O_7$ + 0,1 моль/л Pb: 1 — 0,015 V; 2 — 0,02 V; 3 — 0,03 V

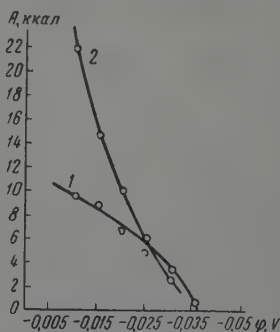


Рис. 6

Рис. 6. Зависимость энергии активации от поляризации для раствора 1 моль/л $K_4P_2O_7$ + 0,4 моль/л Pb: 1 — 50°; 2 — 60°

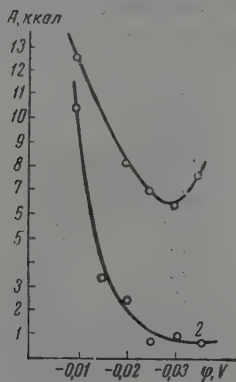


Рис. 7

Рис. 7. Зависимость энергии активации от поляризации для раствора 0,5 моль/л $K_4P_2O_7$ + 0,2 моль/л Pb: 1 — 40°; 2 — 50°

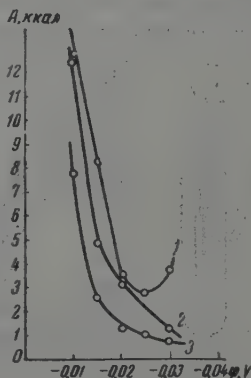


Рис. 8

Рис. 8. Зависимость энергии активации от поляризации для раствора 0,25 моль/л $K_4P_2O_7$ + 0,1 моль/л Pb: 1 — 70°; 2 — 80°; 3 — 90°

выраженной химической поляризации, в то время как при высоких значениях — поляризация обусловлена диффузионными процессами.

Высокую энергию активации при низкой поляризации можно объяснить той дополнительной энергией, которая необходима для выделения свинца из комплексного аниона. При повышенной поляризации, в силу десорбции анионов из двойного слоя, тормозящим процессом электролиза является диффузия ионов к электроду.

Наблюдаемая смена механизма электровыделения свинца протекает плавно, а не скачком. Аналогичная картина описана А. В. Измайловым и С. В. Горбачевым [6], а также И. Т. Щербаковым и И. Л. Агафоновым [7] при изучении других объектов.

Выводы

1. Изучена катодная поляризация в свинцовых пирофосфатных электролитах.
2. Определены зависимости поляризации от температуры.
3. Рассчитаны энергии активации катодных процессов электровыделения свинца из пирофосфатных растворов.
4. Установлено, что при низких значениях катодного потенциала имеет место химическая, а при высоких — концентрационная поляризация. Механизм протекания меняется плавно, а не скачкообразно.

Киевский политехнический
институт

Поступила
30.X.1958

ЛИТЕРАТУРА

- А. И. Левин, Ж. общ. химии, 14, 31, 1944.
Н. А. Изгарышев и А. Н. Иванова, Минеральное сырье и цветные металлы, 9, 1929; Н. А. Изгарышев, Цветные металлы, 6, 1930; Н. А. Изгарышев и Е. Я. Майорова, Ж. общ. химии, 6, 1208, 1936.
Т. А. Крюкова, Докл. АН СССР, 65, 517, 1949; Т. В. Калиш и А. Н. Фрумкин, Ж. физ. химии, 28, 473 и 801, 1954; H. Gerischer, Z. Elektrochem., 52, 604, 1953; Е. А. Укше, А. И. Левин, Ж. общ. химии, 24, 775, 1954.
В. П. Васильев. Исследование пирофосфатных комплексов, Автореферат диссертации, г. Иваново, 1954.
А. Н. Фрумкин, В. С. Багоцкий, З. А. Йофа, Б. Н. Кабанов, Кинетика электродных процессов, Изд-во МГУ, 1952.
В. А. Измайлов и С. В. Горбачев, Ж. физ. химии, 26, 296, 1952.
И. Т. Щербаков и И. Л. Агафонов, Ж. физ. химии, 28, 865, 1954.

A STUDY OF THE CATHODIC POLARIZATION IN LEAD PYROPHOSPHATE SOLUTIONS

O. K. Kudra, N. V. Gudovich (Kiev)

Summary

A study has been made of cathodic polarization in aqueous solutions of complex lead pyrophosphate electrolytes. The polarization curves have been found to possess anomalous shapes. On attaining a cathodic potential of 0.600—0.615 v. a sharp fall in current density was observed, following which a minimum appeared on the curve and the current gradually increased.

In view of this a detailed study was made of the temperature dependence of the polarization. From the data obtained calculations were made of the activation energy (A) according to Gorbachev's formula: $\lg i = A/2.3RT + \text{const.}$ (i , being the current density; T —the temperature; R —the gas constant in calories). The $\lg i - 1/T$ relation was found to contain two linear sections, bearing witness to the presence of two different mechanisms for the cathodic process at varying current densities. The high A values calculated for low cathodic potentials and the low values for large potentials bear evidence to the fact that in the low potential region chemical polarization and in the high potential region concentration polarization takes place. The change in mechanisms is smooth, without leaps.

Evidently lead deposition on the cathode first takes place from the complex anions concentrated in the double layer. The high energy of activation in this connection is due to the additional energy required for liberating the lead directly from the anionic complex.

On increasing the negative charge of the cathode gradual desorption of the anions from the double layer takes place. The new cathodic process is due to discharge of the simple ions (Pb^{2+} , H^+) and is accompanied only by concentration polarization.

КОЛЕБАТЕЛЬНЫЙ СПЕКТР СТЕКЛООБРАЗНОГО
ФТОРИСТОГО БЕРИЛЛИЯ

*В. В. Обухов-Денисов, Т. А. Сидоров, Ф. С. Файзуллов
и В. П. Черемисинов*

Изучение структуры вещества в конденсированном состоянии ведется в большинстве случаев рентгенографическим методом. Этот метод дает хорошие результаты лишь при исследовании кристаллических объектов. Однако при исследовании строения вещества в стеклообразном состоянии рентгеноструктурный анализ оказался мало эффективным. Поэтому необходимо привлекать другие методы физического исследования строения вещества, в числе которых важное место занимает изучение колебательных спектров.

В настоящей статье изложены результаты исследования колебательного спектра стеклообразного фтористого бериллия, а также краткое обсуждение этих результатов.

При изготовлении образца * для изучения спектра комбинационного рассеяния кристаллический BeF_2 плавился и выдерживался при 1000° в платиновой пробирке в течение 20 мин. до полного удаления пузырьков газа. При охлаждении расплав затвердевает в виде стекла. Получить полностью прозрачный образец не удалось. В нем содержались в очень небольшом количестве непрозрачные включения окиси бериллия. Шлифовка и полировка образца велась в обезвоженном керосине. После обработки образец представлял собой цилиндр диаметром 16,0 мм и длиной 60,0 мм. Стеклообразный фтористый бериллий очень гигроскопичен и на воздухе покрывается непрозрачной пленкой. Поэтому при хранении и исследовании образец помещали в стеклянную кювету с P_2O_5 . При таком хранении образец долгое время оставался прозрачным.

Все исследования спектра комбинационного рассеяния стеклообразного фтористого бериллия проводились на трехпризменном спектрографе ИСП-51. Спектры фотографировались на противоореольных фотопластинках «Изохром Агфа» чувствительностью $18^\circ/10$ дин. В качестве источника возбуждения применялись ртутные лампы низкого давления с охлаждаемыми водой электродами.

Измерение прозрачности фтористого бериллия показало, что образец пропускает свет начиная с 3000 \AA . Таким образом, получение спектра комбинационного рассеяния от резонансной линии ртути 2537 \AA было исключено, и спектр исследовался от возбуждающих ртутных линий 3650 , 4047 , 4358 и 5460 \AA . Для выделения одиночных линий применялись стеклянные фильтры Hg 365, Hg 405, Hg 436 и Hg 546 соответственно. Была использована также давшая хорошие результаты при исследовании спектров комбинационного рассеяния стекол методика скрещенных фильтров, описанная нами ранее [1].

Однако несмотря на продолжительное время экспозиции (~ 100 час.), применение различных возбуждающих ртутных линий и скрещенных филь-

* Авторы приносят благодарность Л. Р. Бацановой и А. В. Повоселовой за предоставление образца стеклообразного BeF_2 .

ов, спектра комбинационного рассеяния стеклообразного фтористого бериллия нам получить не удалось.

Спектр инфракрасного поглощения стеклообразного фтористого бериллия исследовался на двухлучевом спектрофотометре [2] в области от 8 до 24 μ , для чего использовались призмы из NaCl и KBr. Приготовление образцов для исследования спектров инфракрасного поглощения шло по методике, разработанной нами ранее [3]. Вещество помещали на испаритель специальной вакуумной кюветы, кювету откачивали до 10^{-4} мм рт. ст. Фтористый бериллий напылялся тонким слоем на пластинку из KBr. Таким образом, за время исследования образец все время находился в вакууме, что предохраняло его от разрушающего действия паров атмосферы. Полученный инфракрасный спектр поглощения стеклообразного фтористого бериллия приведен на рисунке. В спектре зарегистрирована одна довольно широкая интенсивная полоса поглощения с максимумом у 750 см^{-1} . На высокочастотной стороне этой полосы имеется неразрешенный максимум с частотой около 820 см^{-1} .

Обсуждая полученные результаты по исследованию колебательного спектра BeF_2 , можно сделать вывод, что отсутствие у стеклообразного фтористого бериллия спектра комбинационного рассеяния может быть объяснено тем, что связи в BeF_2 в значительной степени ионные. Однако фтористый бериллий, как и все чистые

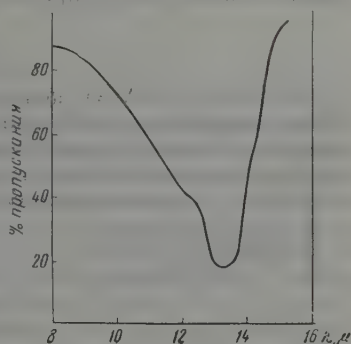
окисидные соли бериллия, является плохим проводником электричества. Исходя из того факта, что в расплавленном состоянии электропроводность фтористого бериллия также невелика, Нейман и Рихтер [5] делают вывод о том, что связь $\text{Be} - \text{F}$ — неионная.

Сопоставляя наши данные с данными электрохимических исследований, можно утверждать, что связь в BeF_2 занимает промежуточное положение между гомеополярной и ионной связями.

Сравнительно высокая частота валентного колебания $\nu = 750\text{ см}^{-1}$ и малое межатомное расстояние в BeF_2 ($r \sim 1,45\text{ \AA}$) дают основание предполагать, что фтористый бериллий состоит из отдельных молекул или небольших ионов. В то же время высокая температура плавления фтористого бериллия ($\sim 550^\circ$), приближающаяся к температурам плавления веществ с ионным характером связи, указывает на сильное взаимодействие между молекулами или сложными ионами.

Можно предположить, что структура BeF_2 занимает некоторое промежуточное положение и не может быть отнесена ни к типично ионной, ни молекулярной структурам. Значительная степень гомеополярности связи $\text{Be} - \text{F}$ означает, что большую часть времени валентные электроны находятся между атомами Be и F, обеспечивая образование молекул или небольших ионов. Ионный характер связи означает, что в молекуле BeF_2 атомы Be и F обладают зарядами, что и создает сильное межмолекулярное взаимодействие.

Представляется также интересным сравнить предложенную структуру стеклообразного BeF_2 со структурой других стеклообразующих веществ, в частности со стеклообразным B_2O_3 . Изучая физико-химические свойства стеклообразного борного ангидрида, Фаянс и Барбер [6] предположили, что это вещество состоит из молекул, имеющих химическую формулу B_4O_6 . В работах по изучению колебательных спектров стеклообразного B_2O_3 [1, 7, 8], проведенных в нашей лаборатории, это предпо-



Инфракрасный спектр поглощения стеклообразного BeF_2 в области 8—16 μ

ложение было подтверждено. Одновременно указывалось, что между молекулами B_4O_6 имеет место сильное взаимодействие. Таким образом для обоих веществ B_2O_3 и BeF_2 , которые являются стеклообразователями, характерным является наличие молекул или сложных ионов с сильным взаимодействием между ними.

Приведенные в этой работе выводы о структуре стеклообразного фтористого бериллия не могут считаться окончательными, однако они представляются нам весьма правдоподобными и полезными при решении такой сложной и запутанной проблемы, как структура неорганических стекол.

Считаем своим долгом выразить благодарность Н. Н. Соболеву за помощь и ценные советы при обсуждении указанной работы.

Выводы

На основе анализа колебательного спектра и физико-химических свойств сделано предположение о строении стеклообразного фтористого бериллия. Показано, что структура исследуемого вещества относится к структурам промежуточного типа, т. е. не может быть определенно отнесена ни к координационной, ни к молекулярной структурам.

Академия наук СССР
Физический институт
им. П. Н. Лебедева

Поступила
31.X.1958

ЛИТЕРАТУРА

1. Э. Н. Лоткова, В. В. Обухов-Денисов, Н. Н. Соболев, В. П. Черемисин, *Оптика и спектроскопия*, **1**, 772, 1956.
2. В. И. Малышев, М. Н. Марков и А. А. Шубин, *Докл. АН СССР*, **8**, 273, 1952.
3. Т. А. Сидоров и Н. Н. Соболев, *Оптика и спектроскопия*, **2**, 717, 1956.
4. А. В. Новоселова, *Ж. общ. химии*, **14**, 385, 1944.
5. В. Neumann, H. Richter, *Z. Elektrochem.*, **31**, 484, 1925.
6. K. Fajans, S. W. Barber, *J. Amer. Chem. Soc.*, **74**, 2761, 1952.
7. Т. А. Сидоров и Н. Н. Соболев, *Оптика и спектроскопия*, **3**, 560, 1957.
8. Т. А. Сидоров и Н. Н. Соболев, *Оптика и спектроскопия*, **4**, 9, 1958.

THE VIBRATION SPECTRUM OF VITREOUS BERYLLIUM FLUORIDE

V. V. Obukhov-Denisov, T. A. Sidorov, F. S. Fatzullov
V. P. Cheremisinov (Moscow)

Summary

From an analysis of the vibration spectra and physico-chemical properties of vitreous beryllium an assumption has been made concerning its structure. The structure of this substance was shown to belong to the intermediate type, i. e. it can not be definitely referred either to coordination or to molecular structures.

КИСЛОТНО-ОСНОВНЫЕ РАВНОВЕСИЯ В БЕЗВОДНОЙ УКСУСНОЙ КИСЛОТЕ

1. ЭЛЕКТРОПРОВОДНОСТЬ И КОНСТАНТЫ ДИССОЦИАЦИИ МИНЕРАЛЬНЫХ КИСЛОТ

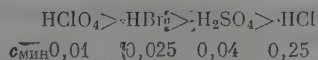
А. М. Шкодин

Безводная уксусная кислота как растворитель с низкой диэлектрической проницаемостью и ярко выраженными кислотными свойствами сильно изменяет реакционную способность электролитов. Поэтому этот растворитель уже давно привлекает внимание исследователей.

Усилиями многих авторов [1—6] достаточно хорошо изучена электропроводность минеральных (сильных в воде) кислот в безводной уксусной кислоте в широких интервалах концентраций. На рис. 1 представлены собранные и обработанные нами результаты многих исследований, каждый из которых производил измерения электропроводности лишь в небольшом диапазоне концентраций. Результаты Ганча и Лангбейна [7], впервые систематически изучавших электропроводность ряда кислот в уксусной кислоте, как и данные Садека [8], на рисунке не представлены, так как они не совпадают с результатами других исследователей, что, вероятно, объясняется недостаточной степенью обезвоживания растворителя.

Зависимость эквивалентной электропроводности от концентрации кислот в безводной уксусной кислоте оказывается достаточно интересной. Кривые электропроводности проходят через минимум и максимум. Поведение кислот в уксусной кислоте аналогично поведению «вальденовых» солей в смесях диоксана и воды, изученных Фуосом и Краусом.

Одинаково сильные в воде минеральные кислоты, как показывают кривые, в уксусной кислоте дифференцированы и по силе располагаются в ряд, установленный впервые Ганчем и Лангбейном [7]:



Характерно, что минимум электропроводности обнаруживается при разных концентрациях кислот. Это показали еще Ганч и Лангбейн. В приведенном выше ряду указаны концентрации минимумов проводимости Ганчу и Лангбейну.

Как нами установлено, концентрация, отвечающая минимуму электропроводности в одном растворителе, определяется силой электролита. На рис. 2 представлена связь между концентрацией в точке минимума эквивалентной электропроводности минеральных кислот и их pK : $\lg \kappa_{\text{мин}}$ — линейная функция pK кислоты. Такая же зависимость обнаружена и для солей в уксусной и муравьиной кислотах. По-видимому, она является общей для всех электролитов и растворителей.

Лишь Кольтгоф и Вилман [4] измерили электропроводность разбавленных до 10^{-5} моль/л растворов. Эти данные использовались многими авторами для расчета констант диссоциации кислот. В табл. 1 приведены полученные константы. Там же, в столбце 9, даны результаты индикатор-

ного определения констант, по Кольтофу и Брукенштейну [10, 11] и константа HCl (столбец 10), приведенная в таблицах Ландольта — Берштейна [12].

Значения констант в ряде случаев значительно различаются. Кроме того, как показано нами совместно с Л. И. Каркузак в предыдущей статье [13], эти константы находятся в противоречии с экспериментальными коэффициентами активности. Наши определения констант диссоциации методом э. д. с. [13] дали результаты (см. табл. 1, столбец 1), значительно отличающиеся от литературных значений.

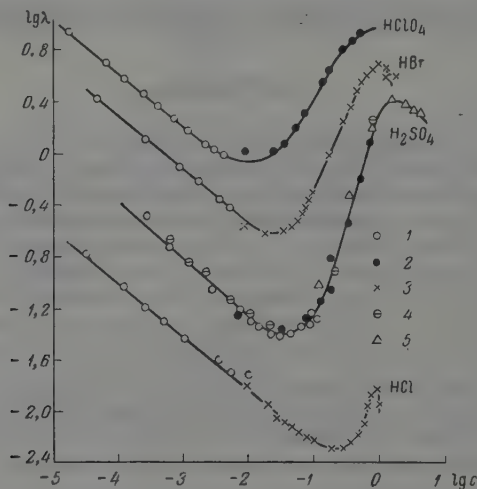


Рис. 1. Изотермы эквивалентной электропроводности кислот в безводной уксусной кислоте 25°. Данные: 1 — [4], 2 — [6], 3 — [5], 4 — [3], 5 — [1]

По этим причинам мы снова рассчитали константы диссоциации минеральных кислот в уксусной кислоте по тем же данным Кольтофа и Вилмана о зависимости электропроводности от концентрации кислот.

Так как полученные нами результаты на 2—3 порядка отличаются от литературных, необходимо хотя бы кратко рассмотреть методы расчетов, применявшиеся другими авторами.

В первых работах по определению констант диссоциации кислот в уксусной кислоте по данным электропроводности растворов [5, 14, 15] для определения предельной эквивалентной электропроводности растворов λ_0 применялось известное правило Вальдена:

$$\lambda_0 \gamma_0 = \text{const.}$$

При этом используется положение, что величина константы для многих случаев колеблется в пределах 0,5—1,0. Это приводит к большому произволу в выборе λ_0 .

Если использовать λ_0 электролита в близком по природе растворителе, например в муравьиной кислоте, то найдем, что для HCl предельная эквивалентная электропроводность в уксусной кислоте равна $\lambda_0 = 75 (0,0162 / 0,0111) = 110$. Здесь 75 — предельная электропроводность HCl в муравьиной кислоте по данным Шлезингера и Мартина [16], а 0,0162 и 0,0111 — вязкости муравьиной и уксусной кислот соответственно. Выбор того или иного значения λ_0 приводит к значительным расхождениям в константах диссоциации. Нередко приближенно принимают, что λ_0 для всех кислот одинаковы, хотя такое упрощение влечет за собой большие ошибки в оценках диссоциации.

Здесь необходимо отметить, что приложимость правила Вальдена, которым часто пользуются для определения предельной электропроводности, весьма ограничена.

Таблица 1

Константы диссоциации кислот в уксусной кислоте

Кислота	[5,14]		[15]		[27]		[3]	[10,11]	[42]	[13]
	λ_0	pK	λ_0	pK	λ_0	pK	pK	pK	pK	pK
HClO ₄	17	4,95	40	5,80	44	6,05	—	4,87	—	2,70
HBr	58	6,7	40	6,40	44	6,73	—	—	—	—
H ₂ SO ₄	—	8,8	35	8,2	44	8,13	9,00	7,24	—	4,25
HCl	58	9,16	40	8,85	44	9,29	—	8,55	4,00	5,30
HNO ₃	—	—	39	9,38	—	—	—	—	—	—

как ограничена приложимость и теоретической основы этого правила — закона Стокса [17]. Как известно, еще Джонстон [18] отмечал, что связь между электропроводностью и вязкостью более сложная и дается выражением:

$$\lambda_0 \eta^n = \text{const.} \quad (2)$$

С. С. Евстропьев [19] справедливо указывает, что правило Вальдена даже в одном растворителе не является строгим и отступления от него весьма многочисленны. Оно верно лишь для некоторых электролитов в небольшом температурном интервале.

Уже давно Краус [20] отрицал справедливость закономерностей Вальдена, считая, что Вальден неправильно определял λ_0 . И действительно, в работах Вальдена [21] λ_0 определялась по одной из формул Ольбрауха, именно:

$$\lambda = \lambda_0 - a \sqrt{c}. \quad (3)$$

Эта зависимость Кольрауша теоретически не обоснована и не может служить основой для экстраполяции λ_0 .

Использование формулы (3) для определения λ_0 привело Вальдена к зависимости, устанавливающей связь между константой диссоциации K электролита и электрической проницаемостью растворителя D :

$$D^3 = AK, \quad (4)$$

где A — постоянная. Мы говорим здесь о правиле (4) Вальдена потому, что оно базируется (через константу диссоциации K) на тех же λ_0 , что и правило (1).

Но теперь хорошо известно, что зависимость (3) верна. В результате работ П. А. Измайлова [22] и других исследователей показано, что константы диссоциации электролитов являются экспоненциальной функцией $1/D$. Такая зависимость для кислот в кислых растворителях была обнаружена в наших работах [23—25]. Этим положением так же опровергается правило (4).

Таким образом мы приходим к заключению, что правило Вальдена $\lambda_0 \eta_0 = \text{const}$ не может служить основой для определения предельной электропроводности λ_0 растворов электролитов. Поэтому приведенные в табл. 1 значения λ_0 и pK кислот в безводной уксусной кислоте считаем недостоверными.

Смит и Эллиот [27] определили λ_0 и pK хлорной кислоты в безводной уксусной кислоте экстраполяцией данных Кольцофа и Вилмана [4] по Фуосу и Краусу. Окажется, что λ_0 и pK хлорной кислоты равны соответственно 44 и 6,06. Далее, вместо того, чтобы такой же экстраполяцией независимо от HClO₄ найти pK других кислот, Смит и Эллиот положили, что для всех кислот и солей $\lambda_0 = 44$ и нашли pK по уравнению (для одной и той же концентрации):

$$\Delta pK = pK_{\text{HA}} - pK_{\text{HClO}_4} = -2 \lg \frac{\lambda_{\text{HA}}}{\lambda_{\text{HClO}_4}}. \quad (5)$$

Полученные таким путем pK представлены в табл. 1 (столбец 7).

Заметим, что если бы Смит и Эллиот приняли за стандарт любую другую кислоту, результаты оказались бы совершенно иными.

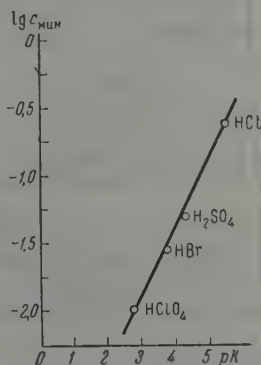


Рис. 2. Зависимость концентрации минимума электропроводности кислот от их силы в безводной уксусной кислоте

На основании данных Кольтгофа и Вилмана [4] об электропроводности растворов кислот мы определим λ_0 и константы диссоциации кислот несколькими приемами:

1. Как известно, Краус и Брэй закон разведения Оствальда представили в виде уравнения прямой:

$$\frac{1}{\lambda} = \frac{1}{\lambda_0} + \frac{c\lambda}{K\lambda_0^2}.$$

График зависимости $1/\lambda$ от $c\lambda$ дает возможность определить λ_0 и K . Примеры такой экстраполяции для HCl и HClO_4 даны на рис. 3 и 4. Резуль-

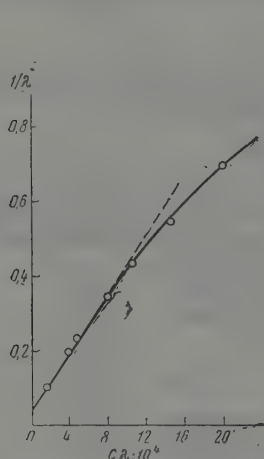


Рис. 3. Определение предельной электропроводности λ_0 и константы диссоциации HClO_4 в уксусной кислоте по Краусу и Брэю

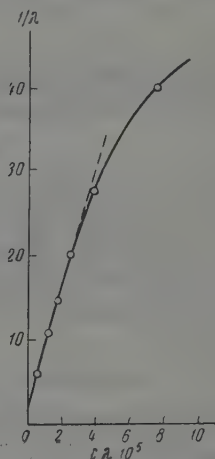


Рис. 4. Определение предельной электропроводности λ_0 и константы диссоциации HCl в уксусной кислоте по Краусу и Брэю

таты оказались следующие: $\text{HClO}_4 - \lambda_0 = 25$, $\text{pK} = 5,40$; $\text{HBr} - \lambda_0 = 3,12$, $\text{pK} = 4,03$; $\text{H}_2\text{SO}_4 - \lambda_0 = 1,0$, $\text{pK} = 4,5$; $\text{HCl} - \lambda_0 = 0,5$, $\text{pK} = 5,24$. Оказывается, что электропроводности при бесконечно большом разведении λ_0 кислот в безводной уксусной кислоте очень малы и различны, а не одинаковы, как это приняли Смит и Эллиот.

О том, как хорошо сохраняются константы, свидетельствуют следующие данные для HCl (при $\lambda_0 = 0,5$): $c = 0,0000358$ моль/л, $\text{pK} = 5,24$; $c = 0,0001317$, $\text{pK} = 5,25$; $c = 0,0002752$, $\text{pK} = 5,28$; $c = 0,000522$, $\text{pK} = 5,25$; $c = 0,001075$, $\text{pK} = 5,28$; $c = 0,00377$, $\text{pK} = 5,22$.

Важно отметить, что хлорная кислота, как показывает экстраполяция, оказывается слабее других кислот. Но это противоречит всем другим данным — положению изотермы электропроводности (рис. 1) и потенциометрическим измерениям [11, 13].

2. Для определения λ_0 и констант диссоциации кислот в безводной уксусной кислоте мы использовали метод Фуоса и Крауса [28] и метод Шидловского. Оба эти метода приводят к одним и тем же результатам.

На рис. 5 и 6 приведены результаты определения констант по Фуосу и Краусу и по Шидловскому. Результаты оказались следующие (второе приближение): $\text{HClO}_4 - \lambda_0 = 50$, $\text{pK} = 6,14$; $\text{HBr} - \lambda_0 = 5$, $\text{pK} = 4,57$; $\text{HCl} - \lambda_0 = 0,4$, $\text{pK} = 5,46$.

Как и следовало ожидать, результаты экстраполяции по Фуосу и Краусу очень близки к результатам экстраполяции по Краусу и Брю. Если последние исправить на ионную силу по Дебаю

$$pK = pK_c + 2A\sqrt{\alpha c}, \quad (7)$$

то совпадение окажется полным. Например, для HCl $pK_c = 5,25$, а исправленное $pK = 5,45$, т. е. полностью совпадает со вторым приближением по Фуосу и Краусу.

Но и в случае экстраполяции по Фуосу и Краусу хлорная кислота остается самой сла-

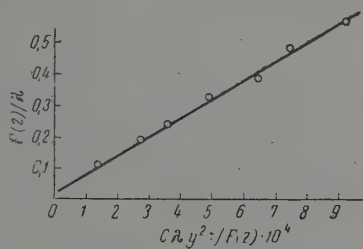


Рис. 5

Рис. 5. Определение предельной электропроводности λ_0 и константы диссоциации HClO_4 в уксусной кислоте по Фуосу и Краусу

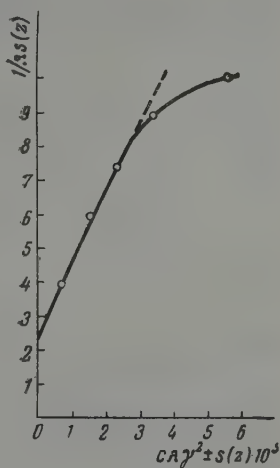


Рис. 6

Рис. 6. Определение предельной электропроводности λ_0 и константы диссоциации HCl в уксусной кислоте по Шидловскому, 2 приближение

ей. Это противоречие с экспериментальными фактами не снимается и вскрывается.

3. Для экстраполяции λ_0 кислот мы использовали также уравнение Мазагера в виде:

$$\lambda'_0 = \frac{\lambda + A\sqrt{\alpha c}}{1 - B\sqrt{\alpha c}}, \quad (8)$$

где A и B — легко подсчитываемые константы. Для уксусной кислоты $A = 170$, $B = 10,5$.

Величина λ'_0 , как известно, является функцией концентрации и лишь при $c = 0$, $\lambda'_0 = \lambda_0$:

$$\lambda'_0 = \lambda_0 + \alpha c. \quad (9)$$

При вычислении λ'_0 по уравнению (8) величине α придавались различные значения.

(а) $\alpha = 1$. Это допущение для относительно концентрированных растворов в уксусной кислоте неверно. Однако при больших разведениях оно приближенно справедливо.

(б) $\alpha = \sqrt{K/c}$, причем значения констант диссоциации брались из работы Кольтофа и Брукенштейна (табл. 1, столбец 9) и по нашим потенциометрическим измерениям (табл. 1, столбец 11). В обоих случаях константы определены независимыми методами, не связанными с электропроводностью, и разнятся между собой на 2—3 порядка.

Результаты оказались следующие: $\text{HCl} - \lambda_0 = 0,6$, $\text{pK} = 5,25$; $\text{H}_2\text{SO}_4 - \lambda_0 = 1,2$, $\text{pK} = 4,35$; $\text{HBr} - \lambda_0 = 3,4$, $\text{pK} = 4,10$.

Определение предельной электропроводности λ_0 по уравнению (8) приводит к таким же результатам, что и экстраполяция по Краусу и Брэу и по Фуосу и Краусу. Причем результат экстраполяции почти не зависит от принятого значения α в формуле (8). Исключением является хлорная кислота. При концентрациях, меньших $0,5 \cdot 10^{-3}$,

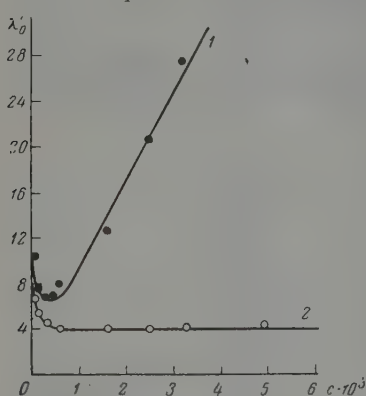


Рис. 7. Экстраполяция λ_0' HClO_4 в уксусной кислоте на нулевую концентрацию. Определение λ_0 при условии: 1 — $\alpha = 1$; 2 — $\alpha = \sqrt{K/c}$, $\text{pK} = 4,8$

стандарта HCl при $c = 10^{-3}$. Тогда оказывается, что для хлорной кислоты $\text{pK} = 2,85$, т. е. близко к pK , найденному нами из потенциометрических измерений.

Особенность хлорной кислоты состоит еще в том, что она образует с уксусной кислотой продукт присоединения ионного характера, тогда как другие кислоты образуют с растворителем продукты присоединения молекулярного типа.

Итак, наше определение констант диссоциации ряда минеральных кислот в безводной уксусной кислоте по данным электропроводности приводит к значениям констант, на 2—3 порядка большим, чем литературные значения. Полученные константы хорошо совпадают с нашими потенциометрическими измерениями (см. табл. 1, столбец 11).

В предыдущей статье [13] обсуждена надежность наших потенциометрических измерений. Здесь выше было показано, что правило Вальдена $\lambda_0 \gamma_0 = \text{const}$ не может служить основой для определения предельной электропроводности и, следовательно, констант диссоциации электролитов. В случае растворов кислот в безводной уксусной кислоте указанное правило приводит к завышенным величинам λ_0 и к очень низким константам диссоциации.

Определение λ_0 и констант диссоциации по Краусу и Брэу, Фуосу и Краусу, по Шидловскому, а также по Онзаггеру приводит к совпадающим между собой величинам λ_0 и pK . Последние в свою очередь хорошо совпадают с потенциометрическими измерениями pK с использованием коэффициентов активности.

Наши величины pK отличаются также от данных Кольтгофа и Брукенштейна [10, 11], приведенных в столбце 9 табл. 1. Эти авторы индикаторным методом определили константу диссоциации HCl

λ_0' в этом случае резко возрастает (рис. 7). Следовательно, в случае хлорной кислоты мы сталкиваемся с какой-то аномалией, которая обнаруживается только при экстраполяции $\lambda_0' - c$. По этой причине при расчете констант диссоциации хлорная кислота не может служить стандартом, как это было в работе Смита и Эллиота.

Необычный ход кривой $\lambda_0' - c$ для хлорной кислоты можно объяснить или ошибкой эксперимента в области больших разведений или же тем, что в этой области концентраций имеет место отрицательная вязкость растворов кислоты. Поэтому проводимость HClO_4 сильно возрастает. Как известно, в водных растворах HClO_4 отрицательная вязкость проявляется до концентраций, превышающих $0,25$ моль/л [29].

Для подсчета pK хлорной кислоты по этим причинам мы воспользовались уравнением (5), приняв в качестве

$K = 8,55$. Константы диссоциации хлорной и серной кислот Кольтоф и Брукенштейн нашли потенциометрически, по уравнению

$$E = E_0 + \frac{RT}{2F} \ln K + \frac{RT}{2F} \ln c,$$

где «нормальный потенциал» цепи E_0 определен авторами из данных для HCl , константа которого известна. Следовательно, надежность констант HClO_4 и H_2SO_4 определяется надежностью константы HCl . Но константы, полученные индикаторным методом, как указывают сами Кольтоф и Брукенштейн [10], зависят от фракционной способности примененного индикаторного основания и могут значительно отличаться от констант, найденных классическим потенциометрическим методом. Это положение отмечено также Н. А. Измайловым [30].

Таким образом, константы HCl и, следовательно, HClO_4 и H_2SO_4 , найденные Кольтофом и Брукенштейном, не являются независимыми величинами и поэтому отличаются от наших потенциометрических значений.

Отметим еще, что соотношение между константами диссоциации кислот по нашим данным несколько меньше, чем по данным других исследователей (см. табл. 1).

Обращает на себя внимание факт, что предельные электропроводности кислот в уксусной кислоте очень малы и различаются в зависимости от аниона.

На величину предельной электропроводности оказывает влияние вязкость растворителя. Но в ряду растворителей одной химической природы предельная электропроводность λ_0 определяется главным образом диэлектрической проницаемостью растворителя: чем меньше диэлектрическая проницаемость, тем меньше λ_0 . Это иллюстрируется приведенными в табл. 2 данными для некоторых электролитов в гидроксилсодержащих кислых растворителях.

Таблица 2

Предельная электропроводность электролитов, вязкость и диэлектрическая проницаемость растворителей при 25°

Электролит	λ_0					
	Растворитель					
	вода $\eta=0,89$, $D=78,5$	метанол $\eta=0,55$, $D=31,5$	этанол $\eta=1,10$, $D=25$	муравьиная кислота $\eta=1,62$, $D=57$	моноклор-уксусная кислота $\eta_{25^\circ}=2,22$, $D=25$	уксусная кислота, $\eta=1,1$, $D=6,2$
OONa	426,16	194,3	83,8	75,0	—	0,5
	397	—	49	65,4	—	3,3
COONa	91,1	—	—	—	—	1,4
	149,8	105	46,3	62,7	26,3	—
1	126,4	97,1	43,0	—	23,8	—
1	115	91	39,2	—	—	2,2

Уменьшение предельной электропроводности с уменьшением диэлектрической проницаемости растворителя, вероятно, объясняется увеличением радиуса сольватированных ионов.

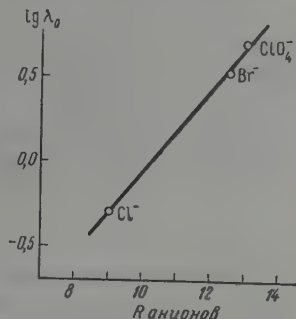


Рис. 8. Зависимость предельной электропроводности кислот в безводной уксусной кислоте от рефракции анионов

Н. А. Измайлов [30] показал, что дифференцирующее действие растворителей на силу кислот зависит в первую очередь от различия в энергии взаимодействия анионов кислот с растворителем. Последнее в свою очередь определяется локализацией заряда в анионах, мерой которой является их поляризуемость. Поляризуемость ионов можно оценить величиной рефракции свободных ионов. Оказалось, что pK кислот линейно зависит от величины рефракции анионов.

Точно так же можно объяснить и различия в величинах предельной электропроводности кислот в уксусной кислоте. Чем больше поляризуемость аниона, тем меньше энергия взаимодействия его с диполями растворителя, тем меньше, радиус с сольватированного иона, а следовательно больше его подвижность. На рис. 8 показано, что действительно предельная электропроводность кислот в уксусной кислоте является линейной функцией рефракции анионов.

Автор выражает благодарность проф. Н. А. Измайлову за обсуждение этой работы.

Выводы

1. На основании литературных данных построены изотермы эквивалентной электропроводности HCl , H_2SO_4 , HBr и $HClO_4$ в безводной уксусной кислоте в широком интервале концентраций при 25° . Изотермы проходят через минимум и максимум электропроводности.

2. Установлено, что концентрация, отвечающая минимуму электропроводности кислот в уксусной кислоте, является функцией силы кислоты: $\lg c_{мин}$ является линейной функцией pK .

3. По данным [4] об изменении электропроводности кислот в зависимости от концентрации в безводной уксусной кислоте определены предельные электропроводности и константы диссоциации кислот. При этом использованы метод Крауса и Брэя, Фуоса и Крауса и уравнение Онзагера. Во всех случаях получены совпадающие результаты: $pK_{HCl} = 5,46$; $pK_{H_2SO_4} = 4,5$, $pK_{HBr} = 4,10$. При экстраполяции предельной электропроводности хлорной кислоты обнаружена аномалия. Поэтому константа хлорной кислоты вычислена иным путем: $pK_{HClO_4} = 2,8$. Полученные из электропроводности pK кислот хорошо совпадают нашими потенциометрическими определениями.

4. Установлена линейная зависимость между логарифмом предельной электропроводности кислот и рефракцией анионов.

Харьковский государственный университет
им. А. М. Горького

Поступила
2.I.1959

ЛИТЕРАТУРА

1. H. C. Jones, Amer. Chem. Journ., 16, 1, 1894.
2. W. C. Eichelberger and V. K. La Mer, J. Amer. Chem. Soc., 55, 3635, 1933.
3. N. F. Hall and H. H. Voge, J. Amer. Chem. Soc., 55, 239, 1933.
4. I. M. Kolthoff and A. Willman, J. Amer. Chem. Soc., 56, 1007, 1934.
5. M. Hlasko, E. Michalski, Roczn. Chem., 18, 220, 1930.
6. C. Maas and G. Jander, Fortschr. Chem. Forsch., 2, 219, 1953.
7. A. Hantzsch and W. Langbein, Z. anorgan. Chem., 204, 193, 1932.
8. H. Sadek, J. Indian Chem. Soc., 29, 846, 1952.
9. А. М. Шкодин, Изв. высш. учебн. завед., Химия, 3, 36, 1960.
10. I. M. Kolthoff and S. Bruckenstein, J. Amer. Chem. Soc., 78, 1, 1956.
11. S. Bruckenstein and I. M. Kolthoff, J. Amer. Chem. Soc., 78, 297, 1956.
12. Landolt-Börnstein, Phys.-chem. Tabellen, 3, 2161, 1936.
13. А. М. Шкодин, Л. И. Каркузак, Ж. физ. химии, 33, 2795, 1959.
14. М. Hlasko, Roczn. Chem., 17, 11, 1937.
15. Н. А. Измайлов, Ж. физ. химии, 24, 321, 1950.

- H. I. Schlesinger and A. W. Martin, J. Amer. Chem. Soc., 36, 1589, 1914.
 А. И. Бродский, Физическая химия, т. II, стр. 613, 1948.
 J. Jonston, J. Amer. Chem. Soc., 31, 1010, 1909.
 К. С. Евстропьев, Ж. физ. химии, 6, 454, 1935.
 C. Kraus, The Properties of Conducting Systems, Цит. по А. И. Бродский. Современная теория электролитов, стр. 150, 1934.
 P. Walden, Elektrochemie nichtwässriger Lösungen, Leipzig, стр. 158, 1924.
 Н. А. Измайлов, Тр. Совещания по термодинамике и строению растворов в Москве. Изд-во АН СССР, М., 1959.
 А. М. Шкодин, Н. А. Измайлов и Н. П. Дзюба, Укр. хим. ж., 20, 595, 1954.
 А. М. Шкодин и Л. И. Каркузак, Тр. хим. ф-та и Ин-та химии ХГУ, 15, 5, 1956.
 А. М. Шкодин, Л. И. Каркузак и М. Т. Хименко, Ж. общ. химии, 27, 29, 1957.
 А. М. Сухотин, Сб. Тр. Совещания по влиянию растворителей на свойства электролитов. Изд-во ХГУ, 1960.
 T. L. Smith and J. H. Elliot, J. Amer. Chem. Soc., 75, 3566, 1953.
 R. M. Fuoss, J. Amer. Chem. Soc., 57, 488, 1935.
 Справочник химика, т. III, стр. 418, 1952.
 Н. А. Измайлов, Тр. хим. фак-та и Ин-та химии ХГУ, 18, 25, 1957.

ACID—BASE EQUILIBRIA IN ANHYDROUS ACETIC ACID

II. ELECTROCONDUCTIVITY AND DISSOCIATION CONSTANTS OF MINERAL ACIDS

A. M. Shkodin (Kharkov)

S u m m a r y

From the data of Kolthoff and Willman on the electroconductivity of mineral acids in anhydrous acetic acid the dissociation constants of the acids have been calculated with the aid of the method of Kraus and Brey, Fuoss and Krauss, by the method of Shid-sky and also with the aid of Onsager's equation. Coinciding results have been obtained in all cases: $pK_{HCl} = 5.45$, $pH_{HBr} = 4.10$; $pK_{HBr} = 4.10$, $pK_{HClO_4} = 2.85$, $pK_{HClO_4} = 2.85$, $pK_{H_2SO_4} = 4.5$.

МЕТОДЫ И ТЕХНИКА ФИЗИКО-ХИМИЧЕСКОГО ИССЛЕДОВАНИЯ

К ПРЯМОМУ МЕТОДУ ОПРЕДЕЛЕНИЯ ДАВЛЕНИЯ ПАРА

С. П. Детков

Прямой метод определения давления пара состоит в измерении силы отдачи камеры, когда из отверстия в камере выходит молекулярный поток. Впервые этот метод использовался Майером [1] и Фольмером [2] и получил широкое распространение в последнее время [3—9].

Метод имеет высокую точность в интервале давлений 10^{-7} — 10^{-4} атм, а в комбинации с другими методами, например эффузионным, дает возможность определять молекулярный вес пара [7].

Аппарат, применявшийся в работе [8], состоит из эвакуированной до давления 10^{-5} мм рт. ст. вертикальной трубки, по оси которой опускается упругая нить. Внизу к нити принашивается поперечное коромысло с двумя эффузионными камерами на концах. При эффузии молекул пара нить закручивается. Давление пара вычисляется по формуле:

$$p = \frac{2F}{a_1 y_1 \gamma_1 + a_2 y_2 \gamma_2}; \quad F = C\theta,$$

где F —момент силы отдачи; θ —угол закручивания упругой нити; C —коэффициент пропорциональности; a_1 и a_2 —площади отверстий в камерах; y_1 и y_2 —расстояния от оси вращения до центров отверстий; γ —отношение силы отдачи камеры при данном отверстии к силе отдачи при отверстии с бесконечно тонкими краями. Поправочный коэффициент η является чисто геометрическим фактором, если молекулы не конденсируются на стенках отверстия. Одно из наиболее простых его выражений можно получить при цилиндрическом отверстии в камере.

В эффузионных методах определения давления пара аналогичным поправочным коэффициентом служит фактор вероятности W (10), который определяется как вероятность преодоления молекулой цилиндрической трубы без возвращения ее обратно. Фактор вероятности может быть вычислен с большой точностью, но не может заменить коэффициент η , так как распределение молекул по направлениям при их выходе из цилиндрического отверстия не подчиняется закону косинуса.

Фриман и Серси [6] на основании работ Клаузинга [11, 12] вычислили десять значений поправочного коэффициента η при отношении высоты цилиндра к диаметру от 0 до 1. Однако, как ниже показывается, эти вычисления весьма сложные и недостаточно точные. Пью, Барроу и др. в своих работах отказались от применения поправочного коэффициента и воспользовались калибровкой прибора по веществу с хорошо известным давлением пара. Такой сравнительный метод связан с погрешностью в определении пара эталона и не может считаться удовлетворительным.

В настоящей работе получено точное выражение для поправочного коэффициента при условиях:

- а) плотность молекул, входящих в цилиндрическую трубу отверстия камеры, одинакова для всех элементов сечения;
- б) распределение по направлениям молекул, входящих в трубу, и молекул, отраженных от ее стенок, описывается законом косинуса;
- в) распределение плотности падающих молекул на стенках трубы линейное.

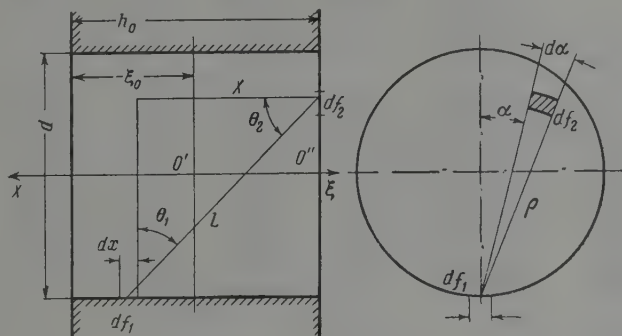
Автор использует при этом работу О. Е. Власова [13], который вычислил фактор вероятности W на основании весьма точного линейного закона распределения плотности молекулярного потока по длине цилиндра для коротких цилиндров.

На рисунке 1 показана короткая цилиндрическая труба — выход из эффузионной камеры. Пусть в соответствии с рисунком молекулярный поток направляется слева направо (из камеры) в абсолютный вакуум. Точка O' располагается на середине оси цилиндра. Точка O'' — начало отсчетов координаты x . Обозначим ν_0 — плотность молекулярного потока, входящего в трубу. Плотность потока, падающего на стенки трубы, уменьшается с уменьшением x и в точке O' всегда будет равна $0,5 \nu_0$. Плот-

сть добавочного потока, падающего на стенки сосуда, до плотности ν_0 обозначается. Если обеспечить указанный добавочный поток так, что плотности входящего в трубу потока и отраженного потока от стенок сосуда будут равны ν_0 , то и плотность потока, выходящего из трубы, будет равна ν_0 . Распределение молекул по направлениям определится законом косинуса, и поправочный коэффициент η будет равен единице. Обозначая долю до единицы, связанную с отдачей цилиндра при выходе добавочного потока, величиной η' , получим искомый коэффициент

$$\eta = 1 - \eta'.$$

Таким образом, задача сводится к определению величины η' .



Согласно О. Е. Власову [3] распределение плотности падающего добавочного потока описывается уравнением

$$\nu = \nu_0 \left[0,5 \left(1 + B \frac{h}{d_0} \right) - B \frac{x}{d_0} \right] = \nu_0 \left(D - \frac{B}{d_0} x \right), \quad (1)$$

$$B = \frac{4 + 3x_0^2}{6x_0 + 4x_0^3 + 4\sqrt{(1 + x_0^2)^3}}, \quad x_0 = \frac{h}{2d_0}$$

— высота цилиндра, d_0 — диаметр цилиндра.

Для проверки этого уравнения составляется интеграл фактора вероятности, решение которого записывается в виде

$$W = \frac{1 + \varphi}{2} + \frac{B}{3} \left[2 - 2\sqrt{4x_0^2 + 1} + x_0(1 - \varphi) \right], \quad (2)$$

где $\varphi = (2x_0 - \sqrt{4x_0^2 + 1})^2$ — вероятность того, что молекула пройдет через трубу прямо, без соприкосновения с ее стенками.

В таблице приведены значения $B_{Вл}$ и $W_{Вл}$ по Власову. Величина $W_{Вл}$ хорошо совпадает с точными данными Клаузинга [12]. Линейный закон Клаузинга, использованный в работе Фримана и Серси, менее точен по сравнению с формулой (1). Величина $B_{Кл}$ по Клаузингу выражается уравнением

$$B_{Кл} = \frac{\sqrt{4x_0^2 + 1} - \varphi}{2x_0(\sqrt{4x_0^2 + 1} + 1)}. \quad (3)$$

Численные значения $B_{Кл}$ показаны в таблице; там же приведены вычисления $B_{Кл}$ по уравнению (2). Как видно, О. Е. Власов [13] дал более точное выражение для коэффициента B .

Переходим теперь к составлению интеграла для коэффициента η' . Элементарный боковой коэффициент $d\psi$ означает долю излучения, попадающую с элемента боковой поверхности цилиндра df_1 на элемент выходного сечения цилиндра df_2 и выражается формулой:

$$d\psi = \frac{\cos \theta_1 \cos \theta_2}{\pi L^2} df_2,$$

где L — расстояние между элементами df_1 и df_2 , θ_1 и θ_2 — углы между нормальными к этим элементам и направлением L .

$\frac{h}{d_0}$	$B_{ВЛ}$	$B_{КЛ}$	$W_{ВЛ}$	$W_{КЛ}$	W [12]	η	$\eta_{\text{ср}}$ [6]
0,1	0,92863	0,92761	0,9092	0,9092	0,9092	0,9373	0,938
0,2	0,86404	0,86079	0,8341	0,8341	0,8341	0,8784	0,877
0,3	0,80556	0,79981	0,7711	0,7712	0,7711	0,8247	0,825
0,4	0,75260	0,74464	0,7177	0,7178	0,7177	0,7762	0,778
0,5	0,70457	0,69505	0,6719	0,6721	0,6720	0,7326	0,734
0,6	0,66099	0,64666	0,6320	0,6326	0,6320	0,6935	0,690
0,7	0,62139	0,61087	0,5970	0,5976	0,5970	0,6584	0,676
0,8	0,58536	0,57529	0,5600	0,5669	0,5659	0,6267	0,629
0,9	0,55252	0,54340	0,5384	0,5394	0,5384	0,5981	0,540
1,0	0,52254	0,51472	0,5136	0,5147	0,5136	0,5721	0,577
1,1	0,49513	0,48885	0,4913	0,4924	0,4914	0,5485	—
1,2	0,47002	0,46544	0,4711	0,4720	0,4711	0,5269	—
1,3	0,44697	0,44416	0,4527	0,4534	0,4527	0,5071	—
1,4	0,42578	0,42473	0,4360	0,4364	0,4359	0,4889	—
1,5	0,40625	0,40700	0,4207	0,4204	0,4205	0,4722	—
1,6	0,38822	0,39069	0,4065	0,4057	0,4062	0,4569	—
1,7	0,37155	0,37566	0,3937	0,3921	0,3931	0,4425	—
1,8	0,35611	0,36176	0,3818	0,3794	0,3809	0,4293	—
1,9	0,34176	0,34887	0,3717	0,3683	0,3695	0,4169	—
2,0	0,32843	0,33688	0,3605	0,3563	0,3589	0,4056	—

Как видно из рисунка

$$\cos \theta_1 = \frac{p \cos \alpha}{L}, \quad \cos \theta_2 = \frac{x}{L}, \quad L = \sqrt{p^2 + x^2}, \quad df_2 = p d\alpha d\beta.$$

Отдача цилиндра при испускании доли $d\psi$ излучения элемента df_1 записывается:

$$dF = \nu p \cos \theta_2 d\psi df_1; \quad df_1 = 0,5 d_0 x d\beta,$$

где p — среднее количество движения одной молекулы.

Отдача цилиндра при излучении выходного сечения цилиндра с интенсивностью δ_0 равна

$$F_0 = \frac{2}{3} \nu_0 \frac{\pi d_0^2}{4} P.$$

Дифференциальное уравнение для коэффициента η' выразится так:

$$d\eta' = \frac{dF}{F} = 6 \frac{\nu}{\nu_0} \frac{\cos \theta_2}{\pi d_0^2} d\psi df_1.$$

Окончательное интегральное выражение имеет вид:

$$\eta = 1 - \frac{3}{\pi^2 d_0} \int_0^{2\pi + \pi/2} \int_0^{\pi/2} \int_0^{d_0 \cos \alpha} \int_0^{\pi/2} \cos \alpha \left(D - \frac{B}{d_0} x \right) \frac{x^2 p^2}{(x^2 + p^2)^{5/2}} d\beta d\alpha dx dp.$$

Интегрирование производится в записанном порядке с использованием таблиц [14] и приводит к решению

$$\eta = 1 - \frac{4}{\pi k} \left\{ D \frac{h}{d_0} [E - (1 - k^2) F] + \frac{2}{3} B \left[\frac{2k^2 - 1}{k^2} (E - \langle 1 - k^2 \rangle F) + \frac{1 - k^2}{2} F - k \right] \right\},$$

где F и E — полные эллиптические интегралы 1-го и 2-го рода с модулем k .

$$k = \frac{d_0}{\sqrt{h^2 + d_0^2}}.$$

В таблице приведены значения величины η для отношений $h/d_0 = 0-2$, черт 0,1.

Все вычисления проводились с семью знаками после запятой, так что точность данных определялась используемыми таблицами полных эллиптических интегралов [15].

Для сравнения в столбце 8 приведены результаты вычислений Фримана и Сорси [6].

Выводы

1. Получено аналитическое выражение поправочных коэффициентов при расчетах давления пара в прямом методе для цилиндрических отверстий в камерах. Выражение является точным при соблюдении ряда условий, в частности линейного распределения плотности молекулярного потока, падающего на стенки цилиндрического отверстия.
2. Показано, что линейный закон, предложенный О. Е. Власовым, точнее, чем линейный закон Клаузинга, использованный Фриманом и Серси.
3. Погрешность, связанная с использованием линейного закона распределения плотности падающего молекулярного потока, увеличивается с удлинением цилиндра.

Уральский электромеханический институт
инженеров железнодорожного транспорта

Поступила
12.I.1959

ЛИТЕРАТУРА

1. H. Mayer, Z. Phys. 67, 240, 1931.
2. M. Vollmer, Z. phys. Chem. Bodenstein Festband, 863, 1931.
3. Neumann u. Völker, Z. phys. Chem., A161, 33, 1932.
4. K. Niwa, Z. Shibata, J. Fac. Sci. Hokkaido Imp. Univ., 3, 53, 1940.
5. G. Wessel, Z. Phys. 130, 539, 1951.
6. R. D. Freeman a. A. W. Searcy, J. Chem. Phys., 22, 762, 1954.
7. A. W. Searcy a. R. D. Freeman, J. Amer. Chem. Soc., 76, 5229, 1954.
8. R. F. Barrow, P. G. Dodsworth, A. R. Downie, E. A. H. S. Jeffries, Trans. Faraday Soc., 51, 1354, 1955.
9. A. C. P. Pugh a. R. F. Barrow, Trans. Faraday Soc., 54, 671, 1958.
10. С. П. Детков, Ж. физ. химии, 31, 2367, 1957.
11. P. Clausius, Z. Physik, 66, 471, 1930.
12. P. Clausius, Ann. Physik, 12, 961, 1932.
13. О. Е. Власов, Изв. В.Т.И., № 1 (44), 1929.
14. И. М. Рыжик и И. С. Градштейн, Таблицы интегралов, рядов, сумм и произведений. Гос. изд. техн.-теор. литер. М.—Л., 1951; Г. Д. Двайт, Таблицы интегралов и др. математ. формулы, ИЛ, М., 1948.
15. Н. Самойлова-Яхонтова, Таблицы эллиптических интегралов, ОНТИ, 1935.

ON THE DIRECT METHOD OF VAPOR PRESSURE DETERMINATION

S. P. Detkov (Sverdlovsk)

Summary

An analytical expression has been obtained for the correction factors for the cylindrical holes in the chambers in vapor pressure calculations by the direct method. The expression is exact provided a number of conditions are fulfilled, in particular, linear distribution of the density of the molecular stream impacting on the walls of the cylindrical opening. It has been shown that the linear relation proposed by Vlasov is more accurate than that of Clausius employed by Freeman and Searcy. The error associated with the use of the linear law of density distribution of the impacting molecular beam increases with increase in cylinder length.

УСТАНОВКА С ВРАЩАЮЩИМСЯ ДИСКОВЫМ ЭЛЕКТРОДОМ

М. П. Белянчиков, Ю. В. Плесков и В. Г. Поминов

После развития В. Г. Левичем [1] теории конвективной диффузии применительно к вращающемуся в растворе диску, метод вращающегося дискового электрода находит весьма широкое применение в практике физико-химического исследования: для определения концентрации и коэффициентов диффузии растворенных веществ, для изучения кинетики электрохимических процессов, растворения твердого тела в жидкости, некоторых гомогенных химических процессов и т. п. [2—6].

В ряде случаев необходимо вести измерения в условиях интенсивной подачи реагирующего вещества из объема раствора к поверхности электрода (при сохранении ламинарного режима течения жидкости), что осуществляется увеличением скорости вращения диска. Описанные в литературе установки с вращающимся электродом [2, 7] позволяют достичь скорости вращения 20000—22000 об/мин. Они обладают рядом конструктивных недостатков и неудобны в работе (отсутствует плавная регулировка числа оборотов, невозможны сколько-нибудь продолжительные измерения при высокой скорости вращения и т. д.).

Описываемая ниже лабораторная установка свободна от перечисленных недостатков и позволяет производить изучение электрохимических процессов в условиях интенсивного перемешивания раствора. Скорость вращения электрода плавно меняется в интервале 900—33000 об/мин., стабильность скорости вращения $\pm 1\%$ от установленного значения.

Установка смонтирована на настольном штативе (рис. 1) и включает в себя следующие части:

1. Высокочастотный электродвигатель с вертикально расположенным валом, на нижнем конце которого укреплен электрод.

2. Электронный генератор, приводящий электродвигатель во вращение.

3. Строботахометр ПСТ-1 для измерения скорости вращения.

4. Электрохимическая ячейка.

Электродвигатель. В качестве привода применяется высокочастотный короткозамкнутый асинхронный электродвигатель трехфазного тока мощностью

Рис. 1. Общий вид установки с вращающимся электродом: 1 — электродвигатель; 2 — электронный генератор; 3 — строботахометр; 4 — электрохимическая ячейка

0,05 квт. (рис. 2). Статор 3 двигателя собран из пластин электротехнической стали Э-44, толщиной 0,35 мм. Число пазов $z_1 = 12$. Обмотка статора двухслойная, выполнена проводом ПЭВ-2.

Пакет статора размещен внутри корпуса 8, представляющего собой полый цилиндр. С обоих торцов к корпусу крепятся щитки 6 и 12, в которых установлены подшипники 11. Центрирование статора и щитков по одной поверхности исключает образование заметной серпообразности воздушного зазора между ротором и статором, что необходимо для безвибрационной работы двигателя на высоких оборотах.

Опорами вала ротора 5 служат радиально-упорные шарикоподшипники ЦКБ-667 с посадочным диаметром под вал 9 мм. Их особенность заключается в наличии так называемого «замка» на внутреннем кольце и базировании сепаратора по бортам наружного кольца. Предварительный натяг подшипников, необходимый для нормальной работы двигателя, осуществляется пружиной 10 и составляет 2—3 кг. Ротор двигателя состоит из пластин железа и «беличьего колеса». Число прутьев $z_2 = 10$.

Электронный генератор. Питание электродвигателя осуществляется от электронного силового генератора мощностью 0,1 *квт*. Скорость вращения ротора электродвигателя изменяется путем изменения частоты генератора в интервале 15—550 *гц*. Генератор состоит из задающего генератора, каскада предварительного усиления, конечной ступени, блока питания и набора емкостей для сдвига фаз в обмотке двигателя (рис. 3).

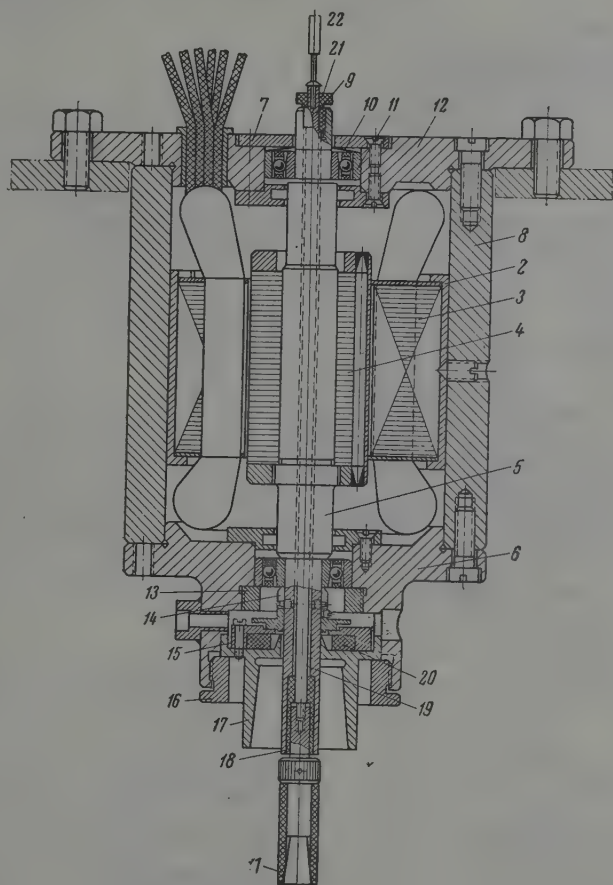


Рис. 2. Высокочастотный электродвигатель: 1 — электрод; 2 — стакан статора; 3 — пластина статора; 4 — пластина ротора; 5 — вал ротора; 6 — щиток нижний; 7 — шайба; 8 — корпус; 9 — валик; 10 — пружина; 11 — подшипник; 12 — щиток верхний; 13 — гайка; 14 — втулка; 15 — меднографитное кольцо; 16 — гайка; 17 — конус; 18 — изолирующая втулка; 19 — изолирующая трубка; 20 — упругий элемент; 21 — изолирующая втулка; 22 — меднографитная игла

Задающий генератор работает на лампах 6ЖЗП и 6Н1П по двухкаскадной RC-схеме. Параметры частотно-избирательного четырехполосника в цепи положительной обратной связи рассчитаны на частоты 15—550 *гц*. Этот интервал разбит на четыре диапазона, причем ступенчатая регулировка частоты производится переключением емкостей частотно-избирательного четырехполосника*, а плавная регулировка — переменным вдвоенным сопротивлением.

Фазопереключающая ступень работает на лампе 6Н9 по автобалансной схеме, мощный каскад — на лампе 6Н7 по парафазной схеме. Конечная ступень собрана двухтактной ультралинейной схемой на лампах ГУ-50 по две лампы в плече. Для

* Одновременно с переключением диапазонов происходит переключение емкостей для сдвига фаз в обмотке двигателя.

коррекции частотной характеристики усилителя управляющие сетки ламп ГУ-50 шунтируются цепочками из сопротивлений и емкостей. Первичная обмотка выходного трансформатора также шунтируется емкостями.

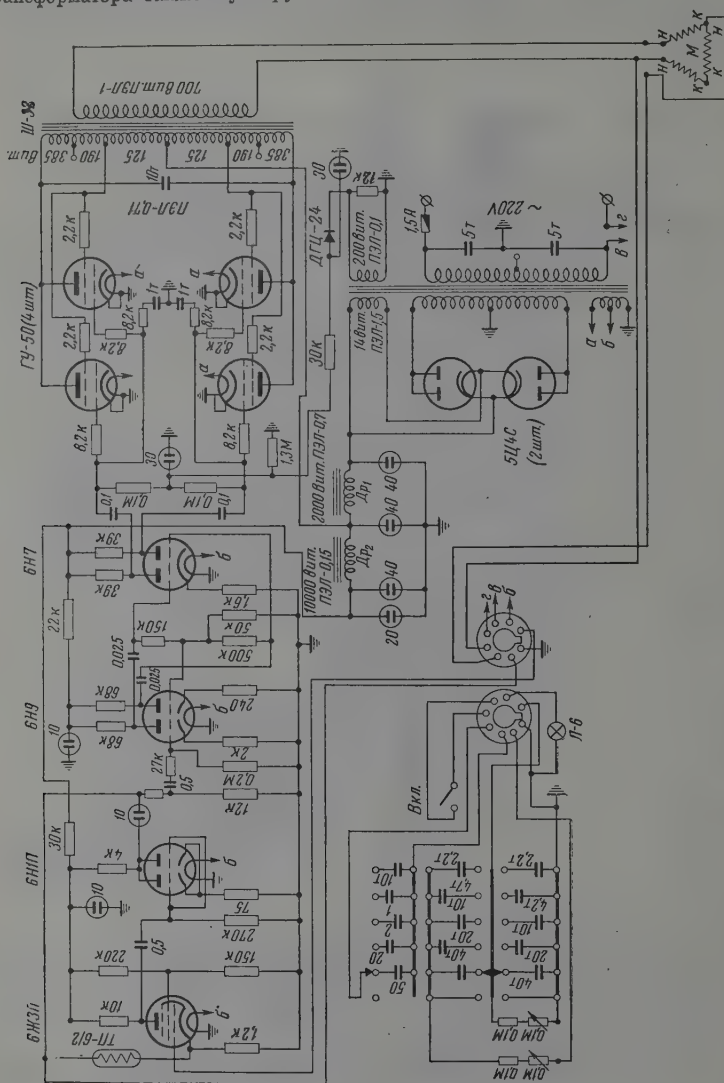


Рис. 3. Схема электронного генератора

Для питания генератора от сети переменного тока служит двухполупериодный кенотронный выпрямитель, собранный на лампах 5Ц4С. Для сглаживания выпрямленного тока поставлен двухъячейный фильтр.

Электрод и уплотнительное устройство (рис. 2). Электрод 1 представляет собой стальной стержень, на котором укреплен усеченный конус из исследуемого металла. Рабочей поверхностью является нижнее основание усеченного конуса диаметром 6,5 мм; боковая поверхность электрода закрыта кожухом из тефлона. К установке может быть изготовлено несколько взаимозаменяемых электродов *. Электрод закрепляется на валу ротора 5 при помощи изолирующей втулки 18

* При необходимости производить измерения в условиях турбулентного течения жидкости следует использовать электрод необтекаемой формы [8].

и удерживается от смещения в вертикальном направлении валиком 9, проходящим внутри вала ротора и изолированным от него хлорвиниловой трубкой 19 и втулками 18 и 21. Подвод тока к электроду осуществляется при помощи скользящего контакта, образованного верхним концом валика 9, в который запрессована платиновая головка,

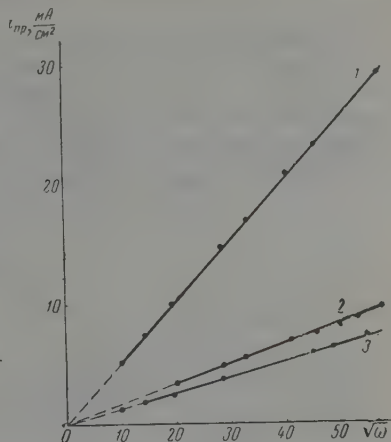


Рис. 4. Зависимость предельного тока от угловой скорости вращения электрода: 1 — восстановление KMnO_4 ($1,5 \cdot 10^{-3} \text{ M}$) на золотом электроде; 2 — окисление гидрохинона ($1,73 \cdot 10^{-3} \text{ M}$) на золотом электроде; 3 — восстановление $\text{K}_2\text{Cr}_2\text{O}_7$ ($3,31 \cdot 10^{-4} \text{ M}$) на амальгамированном золотом электроде. Фон — $1 \text{ N H}_2\text{SO}_4$

и расположенной по оси вала меднографитной иглой 22, неподвижно укрепленной на корпусе двигателя. Сопротивление контакта не превышает нескольких десятых ома.

Электрохимическая ячейка устанавливается под мотором и прижимается стеклянным шлифом к конусу 17. Герметизация ячейки при вращении электрода достигается при помощи латунной втулки с фланцем 14, закрепленной на валу, и неподвижного меднографитного кольца 15, расположенного над конусом 17. Кольцо 15 прижимается к втулке 14 упругим элементом 20 из губчатой резины. Зазоры между втулкой 14 и валом 5 и между кольцом 15, конусом 17 и упругим элементом 20 заливаются лаком.

Экспериментальная часть

Согласно [1], предельный ток диффузии на вращающийся дисковый электрод определяется выражением:

$$i_d = 0,62 n F D^{1/2} \omega^{-1/2} \nu^{1/2} c,$$

где n — число электродов, участвующих в процессе; F — число Фарадея; ν — кинематическая вязкость раствора; D и c — соответственно, коэффициент диффузии и концентрация реагирующего на электроде вещества; ω — угловая скорость вращения электрода ($\omega = 2\pi m$, где m — число оборотов электрода в секунду). Приведенная формула справедлива для ламинарного режима течения жидкости (число Рейнольдса $1 \ll \text{Re} < 10^5$).

На рис. 4 приведена зависимость предельного тока i_d от $\sqrt{\omega}$ для различных реакций окисления и восстановления. Как видно из рис. 4, прямая пропорциональность между i_d и $\sqrt{\omega}$ для реакций восстановления $\text{K}_2\text{Cr}_2\text{O}_7$ и KMnO_4 и окисления гидрохинона сохраняется во всем исследованном интервале ω (число Рейнольдса $10^3 < \text{Re} < 4 \cdot 10^4$), что свидетельствует о сохранении в нашем случае ламинарного режима движения жидкости до 33000 об/мин.

Приносим благодарность В. С. Батрукову, сконструировавшему электрод и уплотнительное устройство.

Академия наук СССР
Институт электрохимии

Поступила
10.1.1960

ЛИТЕРАТУРА

- В. Г. Левич, Физико-химическая гидродинамика, М., 1959.
- А. Н. Фрумкин, Э. А. Айказян, Изв. АН СССР, Отд. хим. н., 202, 1959.
- E. N. Hogge, M. Kraichman, J. Amer. Chem. Soc., 76, 1431, 1954.
- Ю. В. Плесков, Ж. физ. химии, 34, 623, 1959.
- И. Р. Кричевский, Ю. В. Цеханская, Ж. физ. химии, 30, 2315, 1956; 33, 2331, 1959.
- Я. Коутецкий, В. Г. Левич, Докл. АН СССР, 117, 441, 1957.
- Г. П. Дезидерьев, С. И. Березина, Изв. Каз. филиала АН СССР, Серия хим. наук, вып. 3, 41, 1957.
- Г. Л. Видович, А. И. Федорова, Докл. АН СССР, 109, 135, 1956.

AN ARRANGEMENT WITH A ROTATING DISC ELECTRODE

M. P. Belyanchikov, Yu. V. Pleskov and V. G. Pominov (Moscow)

S u m m a r y

An arrangement with a rotating disc electrode has been described for kinetic studies of electrochemical processes on intensive stirring of the solution. The arrangement comprises a high-frequency motor on the shaft of which is attached the electrode, an electronic generator to drive the motor, a stroboscopic tachometer for measuring the rotation speed and an electrochemical cell. The speed of rotation of the electrode may be gradually varied from 900 to 33000 r/min.

ДИСКУССИЯ

ПО ПОВОДУ СТАТЬИ Д. С. КОРЖИНСКОГО «ЭКСТРЕМАЛЬНЫЕ СОСТОЯНИЯ В СИСТЕМАХ С ВПОЛНЕ ПОДВИЖНЫМИ КОМПОНЕНТАМИ» [1]

А. В. Сторонкин

По содержанию статьи Д. С. Коржинского [1] считаю необходимым сделать следующие замечания.

1. Автор статьи пишет ([1], стр. 1536—1537): «Проблема экстремумов температуры и давления была рассмотрена Гиббсом и Коноваловым для двухкомпонентных систем. Затем теорема Гиббса — Коновалова была обобщена на случай многокомпонентных систем в обстоятельных работах Сореля и Жуге. Результаты этих работ изложены в фундаментальном курсе химической термодинамики И. Пригожина и Р. Де-Дей. Этой же проблеме посвящена более поздняя работа А. В. Сторонкина*, который, как видно из отсутствия необходимых ссылок, не знал работ французских и бельгийских авторов по данной проблеме».

Во-первых, неправильно, что моя работа [2] «посвящена» проблеме экстремумов температуры и давления, так как в ней этому вопросу посвящена только одна глава (4 страниц из 120). Во-вторых, Д. С. Коржинский ошибочно утверждает, что «проблема экстремумов температуры и давления» была рассмотрена не только Коноваловым, но и Гиббсом лишь «для двухкомпонентных систем». В действительности же Гиббс дал выводы и формулировки своих законов, которые справедливы для любой n -компонентной гетерогенной системы, имеющей экстремум давления и температуры. Гиббс ([3], стр. 99; [4], стр. 146, 147) показал, что если составы двух многокомпонентных фаз одинаковы, то условие их равновесия выражается уравнением:

$$(m''v' - m'v'') dp = (m''\eta' - m'\eta'') dt. \quad (1)$$

Отсюда на примере бинарных систем Гиббс сделал вывод, что при равенстве составов двух фаз давление имеет экстремум при постоянстве температуры, а экстремум температуры при постоянстве давления. Этот вывод воспроизведен Гуггенгеймом ([5], стр. 77, 78). Поскольку вышеприведенное уравнение справедливо для любого числа компонентов, то и выводы Гиббса, сделанные на основе этого уравнения, справедливы также для любого числа компонентов.

На этот факт, неизвестный, очевидно, Д. С. Коржинскому, я указал в работе [2] (стр. 37), на которую ссылается автор статьи. После общего вывода закона Гиббса — Коновалова при помощи обобщенного дифференциального уравнения ван-дер-Ваальса формулировки закона для многокомпонентных двухфазных систем, мною было отмечено ([2], стр. 38): «Гиббс ([3], стр. 99) вывел это правило чисто теоретическим путем на примере (а не для — А. См.) бинарных систем...». Совершенно общий характер имеет вывод Гиббса ([3], стр. 99, 100; [4], стр. 147, 148) и относительно свойств многокомпонентных систем, имеющих экстремумы давления при постоянстве температуры и экстремум температуры при постоянстве давления. В связи с этим мною было отмечено ([2], стр. 46): «Гиббс [2] рассмотрел условие экстремума давления и температуры таких систем на примере трехкомпонентной трехфазной системы и указал, что полученные результаты могут быть распространены на любые значения n ». Таким образом Гиббс, а не кто-либо другой, дал общие формулировки законов для гетерогенных систем, имеющих экстремумы давления при постоянстве температуры и температуры при постоянстве давления.

Из приведенной выше цитаты видно, что Д. С. Коржинский неправильно интерпретирует выводы Гиббса и что им невнимательно были просмотрены соответствующие разделы моей работы.

2. Д. П. Коноваловым было впервые указано, а ван-дер-Ваальсом ([5, стр. 259]) этого доказано, что обратная теорема об экстремуме давления (при $T = \text{const}$) экстремумы температуры (при $p = \text{const}$), когда составы сосуществующих фаз одинаковы, может и не выполняться. «Предвиденный Д. П. Коноваловым случай, где обратная теор-

* См. [2].

рема не имеет места, встречается лишь тогда, когда одинаковыми становятся не только составы, но и плотности жидкости и сосуществующего с ней пара» ([6,], стр. 260) Д. С. Коржинский ошибочно возражает против этого строго доказуемого положения. Прямая теорема («если p при постоянстве T и T при постоянстве p имеют экстремум, то составы сосуществующих фаз одинаковы»), в отличие от обратной, не имеет исключений.

Д. С. Коржинский правильно отмечает, что экстремумы p при $T = \text{const}$ и T при $p = \text{const}$ нераздельно существуют тогда, когда коэффициенты при dp и dT в уравнении (1) отличны от нуля, и что если один из указанных коэффициентов равен нулю, то экстремумы наблюдаются раздельно.

3. Как следует из содержания рассматриваемой статьи, Д. С. Коржинский придает большое значение обсуждению условий, при которых имеют место экстремумы химических потенциалов компонентов гетерогенных систем. В частности, в выводах статьи автор пишет: «Рассмотренный вывод теоремы Гиббса — Коновалова в обобщенных параметрах имеет преимущество своей общности, так как он распространяется на случаи экстремумов не только температуры и давления, но и на экстремумы химических потенциалов компонентов» ([1], стр. 1544).

Поскольку в статье отсутствуют соответствующие ссылки, у читателя может сложиться неправильное представление, что Д. С. Коржинский впервые в литературе обсуждает этот вопрос.

Вопрос об экстремумах химических потенциалов компонентов гетерогенных систем в связи с общей задачей о зависимости химических потенциалов от состава был рассмотрен на примере тройных систем автором настоящего письма совместно с М. М. Шульц [7, 8]. В упомянутых статьях на основе условий равновесия и устойчивости гетерогенных систем были выведены закономерности, устанавливающие связь между изменениями химических потенциалов и изотермо-изобарическими изменениями состава, и, в частности, условия экстремума химических потенциалов. Эти теоретические выводы были использованы в ряде статей [9—12] при обсуждении экспериментальных данных о равновесии гетерогенных систем.

Необходимо отметить, что в статье Д. С. Коржинского отсутствуют ссылки на указанные работы.

Ленинградский государственный университет
им. А. А. Жданова

Поступила
26.XII.1958

ЛИТЕРАТУРА

1. Д. С. Коржинский, Ж. физ. химии, 32, 1536, 1958.
2. А. Сторонкин, Об условиях термодинамического равновесия многокомпонентных систем, Изд-во ЛГУ, 1948.
3. J. W. Gibbs, The scientific papers, т. 1. 1906.
4. Дж. В. Гиббс, Термодинамические работы, Гос. изд-во техн.-теорет. лит-ры М.—Л., 1950.
5. Гуггенгейм, Современная термодинамика, изложенная по методу Гиббса 1941.
6. Ван-дер-Ваальс и Констанн, Курс термостатики, ОНТИ, М., 1936.
7. А. В. Сторонкин, М. М. Шульц, Вестн. ЛГУ, № 11, 153, 1954.
8. М. М. Шульц, А. В. Сторонкин, Вестн. ЛГУ, № 22, 11, 1956.
9. А. В. Сторонкин, Н. П. Маркузин, Ж. физ. химии, 29, 111, 1955.
10. П. П. Маркузин, А. В. Сторонкин, Вестн. ЛГУ, № 10, 123, 1957.
11. А. В. Сторонкин, Л. Э. Симанавичус, Вестн. ЛГУ, № 22, 104, 1957.
12. М. П. Сусарев, Н. А. Смирнова, Вестн. ЛГУ, № 16, 85, 1956.

ДОПОЛНИТЕЛЬНЫЕ ЗАМЕЧАНИЯ ОБ ЭКСТРЕМАЛЬНЫХ СОСТОЯНИЯХ

(ОТВЕТ А. В. СТОРОНКИНУ)

Д. С. Коржинский

В моей статье об экстремальных состояниях [1] отмечались две ошибки в работе А. В. Сторонкина [2].

1) А. В. Сторонкин писал: «Экстремумы давления и температуры существуют всегда совместно и не могут наблюдаться раздельно» ([1], стр. 37). Из текста возражений А. В. Сторонкина [3] вытекает, что эту ошибку он признает.

2) Далее А. В. Сторонкин указывал: «Следует подчеркнуть, что обратная теорема об экстремуме давления и температуры, когда состав сосуществующих фаз одинаковый, вообще говоря, не имеет места» ([2], стр. 38). В сочетании с первым вышеприведенным утверждением отсюда следует, что состояние двухфазовой системы с одинаковым составом фаз не обязательно экстремально (раз может отсутствовать экстремум давления, то, в силу первого утверждения А. В. Сторонкина, будет отсутствовать и экстремум температуры). Это положение тоже ошибочно, так как состояние с одинаковым составом фаз двухфазовой системы будет обязательно экстремальным (либо в отношении T и p , либо в отношении одного из них), и в этом смысле обратная теорема Гиббса — Коновалова, как и прямая, не может иметь исключений. В пояснение писал: «Отсутствие экстремума температуры при равенстве составов двух фаз и их плотностей означало бы равенство также и их удельных энтропий, т. е. равенство всех $k+2$ основных параметров двух фаз, что... с точки зрения правила фаз невероятно... (фазовые превращения второго рода здесь не рассматриваются)» ([1], стр. 1541). Несмотря на эти пояснения, в своем ответе А. В. Сторонкин пишет, будто отрицаю возможность случая, когда при одинаковости составов двух фаз экстремум давления отсутствует и опять пишет: «Прямая теорема... в отличие от обратной не имеет исключений» [3], т. е. обратная теорема имеет исключения. Помимо признания возможности раздельных экстремумов для T и p А. В. Сторонкину еще следовало бы признать невозможность случая, когда при равенстве составов фаз двухфазовой системы отсутствовали бы экстремумы и для T и для p одновременно, т. е. признать обязательность обратной теоремы.

Данная мною ранее формулировка прямой и обратной теоремы Гиббса — Коновалова может быть наглядно пояснена нижеследующей таблицей параметров системы, сохранением прежних обозначений [1].

Главные интенсивные параметры системы $T, -p, \mu_a, \dots, \mu_k$, взятые в произвольной последовательности, обозначим как $t_1, \dots, t_{\Phi+2}$, а сопряженные с ними в уравнениях термодинамических потенциалов экстенсивные параметры фаз $s^j, v^j, m_a^j, \dots, m_k^j$, взятые в соответствующей последовательности, обозначим как $X_1^j, \dots, X_{\Phi+2}^j$. В нижеследующей таблице, разделенной на четыре сектора, под каждым интенсивным параметром верхней строчки расположены сопряженные с ним экстенсивные параметры фаз, причем каждой фазе соответствует особая строчка. Число $l \geq 0$, так что число столбцов в левой части таблицы равно или больше числа фаз Φ (но не может превышать числа $\Phi+1$).

$t_1, t_2, \dots, t_{\Phi+1}$	$t_{\Phi+1+1}, \dots, t_{k+2}$
$X_1', X_2', \dots, X_{\Phi+1}'$	$X_{\Phi+1+1}', \dots, X_{k+2}'$
$\dots \dots \dots$	$\dots \dots \dots$
$X_1^\Phi, X_2^\Phi, \dots, X_{\Phi+1}^\Phi$	$X_{\Phi+1+1}^\Phi, \dots, X_{k+2}^\Phi$

Теорема Гиббса—Коновалова: Состояние, в котором экстенсивные параметры $X_1, X_2, \dots, X_{\Phi+1}$ в Φ -фазах (левый нижний сектор таблицы) связаны между собою ли-

нейной зависимостью, экстремально в отношении каждого из интенсивных параметров $l_{\phi+l+1}, \dots, l_{k+2}$ (правый верхний сектор таблицы), при условии постоянства всех параметров этого последнего ряда, кроме одного из них, проходящего через экстремальное значение. Обратно, из экстремальности каждого из параметров $l_{\phi+l+1}, \dots, l_{k+2}$ при условии постоянства остальных параметров этого ряда (правый верхний сектор таблицы), следует наличие линейной зависимости между экстенсивными параметрами $X_1, \dots, X_{\phi+l}$ рассматриваемых фаз (левый нижний сектор таблицы).

В этой формулировке видна полная эквивалентность прямой и обратной теорем, которые здесь, как и у некоторых других авторов (см., например, [4], стр. 510), изложены в другой последовательности, чем у А. В. Сторонкина [2].

Согласно данному изложению теоремы Гиббса—Коновалова, для экстремальности состояния в отношении T и p нет необходимости, чтобы линейная зависимость распространялась на содержания всех компонентов в сосуществующих фазах, она может распространяться только на часть из них. Так, для экстремальности двухфазовой системы в отношении T и p достаточна пропорциональность содержаний двух компонентов в двух фазах, т. е. состав этих двух фаз в многокомпонентной системе может быть различным. Подобные случаи имеют особое значение для «систем с вполне подвижными компонентами» [5], в которых химические потенциалы «вполне подвижных» компонентов могут являться такими же факторами состояния системы, как температура и давление.

Академия наук СССР
Институт геологии рудных месторождений,
петрографии, минералогии и геохимии

Поступила
1.IV.1960

ЛИТЕРАТУРА

1. Д. С. Коржинский, Ж. физ. химии, 32, 1536, 1958.
2. А. В. Сторонкин, Об условиях термодинамического равновесия многокомпонентных систем, Изд-во ЛГУ, 1948.
3. А. В. Сторонкин, Ж. физ. химии, 34, 1643, 1960.
4. J. Prigogine, R. Defay, Thermodynamique chimique, T. I, 11, 1950.
5. Д. С. Коржинский, Физико-химические основы анализа парагенезиса минералов, Изд-во АН СССР, 1957.

ПИСЬМА В РЕДАКЦИЮ

О ПРИБЛИЖЕННОМ РАСЧЕТЕ СВОЙСТВ ВЕЩЕСТВ,
ОТЛИЧАЮЩИХСЯ ПО ИЗОТОПНОМУ СОСТАВУ

М. Х. Карапетьянц, Янь Го-сень

Изотопный эффект в свойствах веществ принято характеризовать величинами

$$\frac{G_D}{G_H} = A \quad (1)$$

$$G_D - G_H = B \quad (2)$$

эм., например, [1] и [2]) *. В исследованиях, в которых изотопный эффект изучался для большого числа веществ или в широком интервале условий, было установлено, что A и B не являются постоянными. Констатацией этого факта обычно и ограничиваются.

Между тем, в большинстве случаев можно достичь удовлетворительных результатов, если учесть изменения A и B с помощью приближенного линейного уравнения

$$G_D = aG_H + b. \quad (3)$$

При сопоставлении значений свойств в двух рядах сходных веществ, отличающихся по изотопному составу (в данных условиях), это уравнение является примером первого метода сравнительного расчета [3]; если же его применять для сопоставления значения свойств двух веществ, отличающихся по изотопному составу, то оно является частным примером четвертого метода сравнительного расчета [4]. Точность (3) в общем случае не зависит от степени различия в величинах G_H и G_D , т. е. от того, насколько a отличается от единицы, а b от нуля.

В качестве примеров рекомендуемой зависимости укажем на уравнения

$$(t_{кр})_{DX} = 0,9864 (t_{кр})_{HX} + 4,4 \quad (4)$$

$$n_{D_2O} = 0,919075 n_{H_2O} + 0,10319. \quad (5)$$

В первом из них сравниваются критические температуры галогенидов дейтерия и водорода ($X=Cl, Br, J$), во втором — показатели преломления воды и тяжелой воды в зависимости от длины волны. Уравнение (4) приводит к среднему отклонению от опытных данных в 0,07°, уравнение (5) — в 0,002%. Обе величины соизмеримы с ошибками определения соответственно $t_{кр}$ [5] и n (см. [2]), в то время как изменение величин $(t_{кр})_{DX} - (t_{кр})_{HX}$, $n_{D_2O} - n_{H_2O}$, $\frac{(t_{кр})_{DX}}{(t_{кр})_{HX}}$ и $\frac{n_{D_2O}}{n_{H_2O}}$ лежат далеко за пределами погрешности эксперимента.

В весьма широком интервале температур, когда (1) и (2) становятся неудовлетворительными, а (3), давая существенный выигрыш в точности по сравнению с (1) и (2), все же приводит к не очень достоверным результатам, можно повысить точность расчета, обратившись к уравнению

$$\lg G_D = a \lg G_H + b, \quad (6)$$

приведящему частным примером четвертого метода сравнительного расчета. Целесообразность перехода в таких случаях от обычных к логарифмическим шкалам очевидна; на одном примере она была показана в [6].

* Здесь и в дальнейшем G_H — свойство G вещества, содержащего один изотоп (например, водород), а G_D — то же свойство вещества, содержащего другой изотоп (например, дейтерий).

Сравнительный метод расчета можно использовать и для приближенного вычисления значений свойств веществ с различным содержанием данного изотопа, например, с различной степенью дейтерирования x . Для этого следует установить зависимость коэффициентов a и b от x (см., например, [6]). Это позволяет в ряде случаев определить приближенные значения рассматриваемых свойств веществ, не располагая для них какими-либо опытными данными.

Зная $G-t$ зависимость для веществ с различным содержанием изотопа, можно воспользоваться и другим методом сравнительного расчета; в рассматриваемом случае ему будет отвечать приближенное линейное уравнение

$$G_t = aG_{t_0} + b, \quad (7)$$

в котором при температурах t_0 и t сопоставлены значения данного свойства веществ, отличающихся по изотопному составу.

В докладе одного из авторов [7] были сообщены многочисленные примеры, показывающие широту охвата опытного материала рекомендуемыми здесь соотношениями и точность их применения; многие из них будут приведены в [8].

Химико-технологический институт
им. Д. И. Менделеева
Москва
Сычуаньский университет
Чэнду, КНР

Поступила
22.XI.1959

ЛИТЕРАТУРА

1. А. И. Бродский, Химия изотопов. Изд. АН СССР, изд. 2-е, М., 1957.
2. П. Киршенбаум, Тяжелая вода. ИЛ, М., 1953.
3. М. Х. Карапетьянц, Ж. физ. химии, 27, 934, 1953.
4. М. Х. Карапетьянц, Ж. физ. химии, 29, 1132, 1955.
5. И. Б. Рабинович, В. А. Горбушенков, Докл. АН СССР, 120, 566, 1958.
6. М. Х. Карапетьянц, Янь Го-сень, Acta sci. natur. Univ. Szechuan, № 6, 71, 1959.
7. М. Х. Карапетьянц, Научно-техническая конференция ин-та им. Д. И. Менделеева, М., 1960. Тезисы докладов, стр. 9, 1960.
8. М. Х. Карапетьянц, Вестн. техн. и экон. информ. (в печати).

О ФИЗИЧЕСКОЙ ПРИРОДЕ ФАЗОВЫХ ПЕРЕХОДОВ II РОДА

В. К. Семенченко

Разногласия, существующие по вопросу о сущности фазовых переходов II рода, и число работ, появляющихся по этому вопросу, показывают, что вопрос этот нельзя считать решенным. Мы полагаем, что сформулированная нами недавно теорема о предельно устойчивых состояниях [1] позволяет дать более обоснованное решение о природе фазовых переходов II рода.

Эренфест [2] определил фазовые переходы II рода, как переходы, при которых изобарно-изотермические потенциалы Z обеих фаз равны тождественно, их первые производные также равны, но вторые производные не равны.

Обозначая $X_i = T, p, \mu, E, H; x_i = S, v, c_j, D, B$, имеем

$$Z' = Z''; \quad (1)$$

$$\left(\frac{\partial Z'}{\partial X_i}\right)_{X_j} = x'_i = \left(\frac{\partial Z''}{\partial X_i}\right)_{X_j} = x''_i; \quad (2)$$

$$\left(\frac{\partial^2 Z'}{\partial X_i^2}\right)_{X_j} = \left(\frac{\partial x'_i}{\partial X_i}\right)_{X_j} \neq \left(\frac{\partial^2 Z''}{\partial X_i^2}\right)_{X_j} = \left(\frac{\partial x''_i}{\partial X_i}\right)_{X_j} \quad (3)$$

Условие (1) является излишним, так как оно вытекает из (2):

$Z' = U' + pv' - TS' = U'' + pv'' - TS''$; $U' = TS' - pv' = U'' = TS'' - pv''$ и $v' = v''$ и $S' = S''$ по (2).

Следовательно, условия Эренфеста сводятся к двум независимым постулатам (2) и (3). Условие (2) совпадает с условием, необходимым, но не достаточным для того, чтобы переход был критическим. Однако в критической точке касательные к обеим ветвям бинадали и синодали равны и тождественны с касательной к критической изотерме, а в точке фазового перехода II рода их обратные величины $(\partial x_i / \partial X_i)_{X_j}$, а следовательно, и они сами, образуют по (3) конечный угол:

$$\left(\frac{\partial x'_i}{\partial X_i}\right)_{X_j} - \left(\frac{\partial x''_i}{\partial X_i}\right)_{X_j} = \left(\frac{dx_i}{dX_i}\right)_{X_j} = \Delta \left(1 / \left(\frac{\partial X_i}{\partial x_i}\right)_{X_j}\right) \neq 0. \quad (4)$$

Следовательно, чтобы доказать априорную возможность существования фазовых переходов II рода, мы должны доказать, что существует предельный случай равновесия ($x'_i = x''_i$), при котором коэффициенты устойчивости равновесных фаз не равны друг другу. Возможность доказательства этого положения выяснилась после формулировки теоремы о предельно устойчивых состояниях [1], что мы сейчас и покажем.

Устойчивость равновесия определяется по Гиббсу [3] значением детерминанта D , равного для системы, состояние которой определяется i координатами x_i :

$$D = \begin{vmatrix} \left(\frac{\partial X_1}{\partial x_1}\right)_{x_2 \dots x_i} & \dots & \left(\frac{\partial X_i}{\partial x_i}\right)_{x_2 \dots x_{i-1}} \\ \left(\frac{\partial X_i}{\partial x_1}\right)_{x_2 \dots x_i} & \dots & \left(\frac{\partial X_i}{\partial x_i}\right)_{x_2 \dots x_{i-1}} \end{vmatrix}. \quad (5)$$

Можно показать, что вторые производные термодинамического потенциала Z равны обратным значениям производных $(\partial X_i / \partial x_i)_{X_j}$, которые выражаются черз

адиабатические производные $(\partial X_i / \partial x_i)_{X_j}$, входящие в детерминант D таким образом [1]:

$$\left(\frac{\partial X_i}{\partial x_i} \right)_{X_j} = \frac{D}{\frac{\partial (X_1 \dots X_{i-1})}{\partial (x_1 \dots x_{i-1})}}, \quad (6)$$

то позволяет записать условие (4) так:

$$\Delta \left(\frac{\partial x_i}{\partial X_i} \right)_{X_j} = \Delta \frac{1}{D} \frac{\partial (X_1 \dots X_{i-1})}{\partial (x_1 \dots x_{i-1})}. \quad (7)$$

Выражение (7) показывает, что неравенство адиабатических коэффициентов устойчивости $(\partial X_i / \partial x_i)_{X_j}$, следствием которого является и неравенство детерминантов устойчивости D , является достаточным условием для выполнения неравенства Эренфеста (3).

До недавнего времени рассматривалась возможность только нижней границы детерминанта устойчивости D . Однако всякая положительная величина лежит в границах:

$$0 \leq D \leq +\infty. \quad (8)$$

Рассмотрение верхней границы [1] приводит к выводу о существовании предельно устойчивых состояний, в которых по крайней мере один из адиабатических коэффициентов устойчивости $(\partial X_i / \partial x_i)_{X_j} \rightarrow \infty$, вследствие чего $D \rightarrow \infty$. Примерами предельно устойчивых состояний являются вещества при абсолютном нуле, сверхдиамагнетики и He_{II} . Предельно устойчивые фазы во всем поле своего существования имеют заданные значения одного из адиабатических коэффициентов устойчивости детерминанта D , равные бесконечности. Изодинамические производные, обратные значения $1 / \left(\frac{\partial x_i}{\partial X_i} \right)_{X_j} = 1 / \left(\frac{\partial^2 Z}{\partial X_i^2} \right)_{X_j}$, равны бесконечности только в том случае,

если в них входит сила или координата, входящая в адиабатическую производную, равную бесконечности. Следовательно, на всем протяжении существования предельно устойчивой фазы, сверхфазы, она обладает заданным и определяющим ее значением некоторых $(\partial X_i / \partial x_i)_{X_j}$, а поэтому D и $(\partial X_i / \partial x_j)_{X_j}$. Вторая фаза не может иметь таких значений $(\partial X_i / \partial x_i)_{X_j}$, так как она также являлась бы сверхфазой, поэтому для сверхфаз условия (3), (4) должны всегда выполняться, и предельный, аналогичный критическому переход в них должен быть фазовым переходом II рода в смысле Эренфеста.

Таким образом мы видим, что фазовые переходы II рода оказываются некоторым особым случаем критических переходов, возможными только для равновесий между сверхфазами и обычными фазами, например, сверхдиамагнетик (сверхпроводник) — обычный проводник, He_{II} — He_I .

Истолкование многочисленных случаев равновесий в сплавах, полимерах и растворах, как равновесий II рода, а переходов между этими фазами, как фазовых переходов II рода, необоснованно, так как в обычном равновесии при предельном переходе вторые производные $(\partial X_i / \partial x_i)_{X_j}$ всегда равны. Мы полагаем, что эти переходы являются закритическими переходами, где происходит не разрыв вторых производных Z потенциала, а прохождение их через конечные экстремумы [4].

Коэффициенты устойчивости, как это можно показать [3, 5], обратно пропорциональны флуктуациям. Следовательно, в сверхфазе флуктуации ряда параметров прекращаются, поэтому критический переход сверхфаз, являющийся переходом II рода, не будет для этих параметров сопровождаться таким бурным развитием флуктуаций, как обычный критический переход.

Московский государственный
университет им. М. В. Ломоносова

Поступила
4.XI.1959

ЛИТЕРАТУРА

1. В. К. Семенченко, Изв. АН СССР, Отд. хим. н., № 2, 368, 1959; Ж. физ. химии, 33, 1234, 1959.
2. Р. Ehrenfest, Proc. Amsterd. Acad., 36, 147, 1933.
3. Гиббс, Термодинамические работы, ГИТТЛ, Москва, 1950.
4. В. К. Семенченко, Докл. АН СССР, 92, 625, 1953, 99, 1045, 1954; Сборник «Применение ультразвуки к исследованию вещества, МОПИ, Москва, 1956, стр. 51.
5. В. К. Семенченко, Ж. физ. химии, 21, 1461, 1947.

ХЕМИЛЮМИНЕСЦЕНЦИЯ В РЕАКЦИЯХ ХЛОРАНГИДРИДОВ КИСЛОТ С АМИНАМИ И КЕТОНАМИ

С. Г. Энтелис, В. Я. Шляпнитох, О. Н. Карпухин
и О. В. Нестеров

Мы обнаружили, что реакции ацилирования аминов и кетонов хлорангидридами органических кислот сопровождаются хемилюминесценцией. Свечение наблюдается при помощи фотоумножителя ФЭУ-29, чувствительного в области 350—610 $m\mu$.

Сведения об изучавшихся реакциях, условиях их проведения и полученных результатах приведены ниже. Опыты проводились при комнатной температуре.

Реакция	Реагенты		Сигнал * отн. ед.	Примечание
	I	II		
$C_6H_5NH_2$ (I) + C_6H_5COCl (II)	Хлорбензол 0,5 моль/л	Хлорбензол 0,5 моль/л	0	Осадок
$C_6H_5NH_2$ (I) + C_6H_5COCl (II)	Бензол 0,5 моль/л	Бензол 0,5 моль/л	0,55	Осадок
$C_6H_5NH_2$ (I) + C_6H_5COCl (II)	Ацетон 0,5 моль/л	Ацетон 0,5 моль/л	2—5,5	Нет осадка
$C_6H_5NH_2$ (I) + $ClOC(CH_2)_4COCl$ (II)	Ацетон 0,5 моль/л	Толуол 0,23 моль/л	> 6,5	Осадок
$C_6H_5NH_2$ (I) + $ClOC(CH_2)_4COCl$ (II)	Бензол 0,5 моль/л	Толуол 0,23 моль/л	> 7	Осадок
H_3COCH_3 (I) + C_6H_5COCl (II)	Ацетон	Бензол 0,5 моль/л	0,35	Нет осадка
H_3COCH_3 (I) + $ClOC(CH_2)_4COCl$ (II)	Ацетон	Толуол 0,23 моль/л	0,7	Нет осадка
$C_6H_5NH_2$ (I) + HCl (II)	Хлорбензол 0,5 моль/л	Хлорбензол, насыщ. раствор	0,01	Нет осадка

* Сигнал, равный единице, соответствует $\sim 2 \cdot 10^4$ квантов в секунду из 1 см реактора.

Хемилюминесценция несомненно связана с экзотермическими стадиями реакции. Реакция ацилирования аминов хлорангидридами обычно сопровождается образованием солей аминов и кристаллизацией продуктов реакции. Однако из данных, приведенных в таблице, следует, что эти процессы не ведут к хемилюминесценции. Таким образом наблюдаемое свечение вызывается протеканием реакции ацилирования.

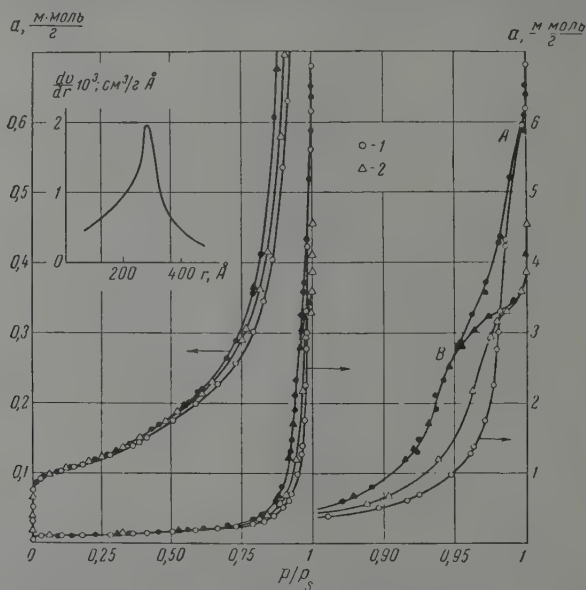
Академия наук СССР
Институт химической физики
Москва

Поступила
29.XII.1959

АВТОПРЕССОВАНИЕ САЖИ И КАЖУЩИЙСЯ СОРБЦИОННЫЙ ГИСТЕРЕЗИС

А. А. Исирикян

Обычно полагают [1], что в процессах формирования пористой структуры адсорбентов, получающихся при высушивании гидрогелей, главную роль играют капиллярные силы, сжимающие гидрогель в твердую компактную массу ксерогеля. В [2] было показано превращение рыхлого аэрогеля кремнезема в мелкопористый силикагель лишь при увлажнении и высушивании его. Авторы [2] объяснили наблюдаемый эффект также действием капиллярных сил. Однако в этих случаях капиллярное сжатие сорбентов происходит на фоне других осложняющих процессов. Например



Изотерма адсорбции *n*-гексана на графитированной термической саже: 1 — первая серия и 2 — вторая серия. Слева наверху — кривая распределения объема пор по их радиусам. Черные точки — десорбция

в гидрогеле продолжается синерезис и химическая конденсация коллоидных частиц в зоне их касания, а при смачивании аэрогеля — растворение, гидратация поверхности частиц [3] и возможная их химическая конденсация.

Исследуя дифференциальные теплоты адсорбции * паров *n*-гексана на прокаленной при 3000° термической саже с удельной поверхностью по адсорбции паров азота 29,1 м²/г, автор обнаружил гистерезис адсорбции при малых давлениях пара и сжатие образца в процессе сорбции с уменьшением предельного сорбционного объема (объема пор) от 0,8 до 0,5 см³/г. Так как химическое взаимодействие или набухание в нашей системе графит — гексан исключено, то капиллярные явления

* Адсорбционно-калориметрическая аппаратура описана в [4]. Измерения проводились при 20°.

десь выступают уже в своем чистом виде и автопрессование сажи однозначно объясняется механическим натяжением вогнутой поверхности жидкости, сконденсированной между частицами сажи.

На средней части рисунка приведена изотерма адсорбции полностью, а слева и справа — начальные и конечные участки ее в более крупном масштабе.

Первая серия измерений, доведенная до насыщения, указала на существование реального сорбционного объема $v_s = 0,8 \text{ см}^3/\text{г}$ и весьма широкую область гистерезисной петли, достигающую до $p/p_s = 0,05$.

Вторая серия опытов, проведенная после высоковакуумного откачивания сажи при 0° , дала изотерму адсорбции, отличную по форме от первой, а именно: сократился сорбционный объем до $0,5 \text{ см}^3/\text{г}$, сузилась гистерезисная петля в области капиллярной конденсации, и исчез гистерезис при малых давлениях пара. Дальнейшие опыты привели к воспроизведению изотермы второй серии во всех ее частях. Таким образом уже после первого адсорбционно-десорбционного цикла образовалась новая более или менее жесткая структура в массе сажи (в агломератах).

Формирование пористой структуры сажи произошло главным образом при десорбции пара и завершилось в точке пересечения двух десорбционных ветвей изотермы (на рисунке — участок изотермы десорбции от A до B). При этом сжимающее адсорбент отрицательное гидростатическое давление возросло от 0 до 10 атм^* . Из полученных величин v_s можно рассчитать координационное число n (число касаний на одну жевую частицу), которое вследствие автопрессования увеличилось на $\Delta n = 5,5 - 4,3 = 1,2$. При $n = 9$ объем пор составил бы $0,2 \text{ см}^3/\text{г}$, т. е. первоначальный объем пор уменьшился бы в четыре раза. Ясно, что для сажи с меньшими частицами и при смачивании ее жидкостью с большей величиной поверхностного натяжения можно получить значительно больший эффект автопрессования. Например, для системы «нальная сажа — вода» капиллярные силы могут развить давление до $100-150 \text{ атм}$.

Обнаруженное явление автопрессования объясняет причину уплотнения как сажи, так и других высокодисперсных порошков в технологических процессах их крупного гранулирования, и позволит в дальнейшем глубже изучить происходящие при этом явления. Кроме того, при исследовании адсорбции и капиллярной конденсации паров на высокодисперсных порошках автопрессование адсорбента (лиофильного) всегда будет давать кажущуюся гистерезисную петлю при малых относительных давлениях пара. В таких случаях для разграничения кажущегося сорбционного гистерезиса от действительного, необходимо дополнительное исследование, как это описано выше.

Московский государственный университет
им. М. В. Ломоносова

Поступила
30.XII.1959

ЛИТЕРАТУРА

- И. Е. Неймарк, Успехи химии, 25, 284, 1956.
M. F. Johnson and H. E. Ries, J. Amer. Chem. Soc., 72, 4289, 1950.
А. А. Исирикян и А. В. Киселев, Докл. АН СССР, 115, 343, 1957.
А. А. Исирикян и А. В. Киселев, Ж. физ. химии, 31, 2127, 1957.

* Капиллярное гидростатическое давление рассчитывалось по формуле Жюрена, средний радиус кривизны пленки — по формуле Кельвина.

ОСЦИЛЛОГРАФИЧЕСКАЯ ПОЛЯРОГРАФИЯ. УРАВНЕНИЕ
НИСХОДЯЩЕЙ ВЕТВИ ПОЛЯРОГРАФИЧЕСКОЙ ВОЛНЫ
И ЕГО ПРИЛОЖЕНИЯ

Я. П. Гохштейн и А. Я. Гохштейн

Применяя к соотношению между концентрацией и ее градиентом на границе электрода [1] теорему о среднем и опираясь на быстрое убывание граничной концентрации со временем, можно показать, что на небольшом расстоянии от пика осциллографической волны зависимость тока I от потенциала электрода E будет следующей:

$$I(E) = nFSc_0 V \sqrt{\frac{D}{\pi}} \frac{1}{\sqrt{E - E_a}}, \quad (1)$$

v — скорость линейного изменения потенциала; n — число электронов реакции; F — число Фарадея; s — площадь электрода; c_0 — концентрация исходного вещества в растворе, выраженная в $\text{мол}/\text{мл}$; D — коэффициент диффузии; E_a — в небольшой степени зависит от E . Неучет этого факта влечет ошибку, которая, как будет показано ниже, не превышает 2—3%. Однако можно исключить и этот источник ошибки, получив формулу (1) другим путем. В результате E_a будет постоянным, а единица в числителе заменится близким к ней коэффициентом. Для этого обратим внимание на приближенное равенство:

$$y(z) = \sum_{v=1}^m a_v (z - z_v)^p = a_0 (z - z_0)^p, \quad (2)$$

которое становится довольно точным при $z > z_0 + \Delta$ ($a_v, z_v, a_0, z_0, \Delta > 0, |p| \leq 1$ — постоянные). Например, точность приближения

$$y(z) = \frac{1}{\sqrt{z-1}} + \frac{1}{\sqrt{z-2}} = \frac{1,996}{\sqrt{z-1,558}} \quad \left(p = -\frac{1}{2}\right)$$

достигает 0,1% при $z \geq 5$. При неограниченном возрастании z ошибка остается меньше 0,2%. Аналогичное свойство распространяется и на интегралы. При этом в (2) знак суммы заменяется знаком интеграла.

Для определения постоянных коэффициентов были численно проинтегрированы уравнения обратимой и необратимой электрохимических реакций:

$$\int_0^z \frac{\eta_0(\lambda) d\lambda}{\sqrt{z-\lambda}} = \frac{1}{1 + e^{\sigma-z}}; \quad (3)$$

$$\int_0^z \frac{\eta_H(\lambda) d\lambda}{\sqrt{z-\lambda}} = 1 - e^{\sigma-z} \eta_H(z); \quad (4)$$

$$\eta_0 = \sqrt{\frac{D}{\pi}} \frac{1}{c} \sqrt{\frac{RT}{nF}} \varphi_0, \quad \eta_H = \sqrt{\frac{D}{\pi}} \sqrt{\frac{RT}{anF}} \frac{\varphi_H}{c} \sqrt{v}, \quad (5)$$

полученные после учета граничных условий для $c(0, t)$. $c(0, t)$ — концентрация исходного вещества на границе электрода, $\varphi = dc(0, t)/dx$; σ было выбрано равным $\ln 10^3$. Результаты вычислений приведены на рис. 1. Условная единица для обратимого процесса равна 0,0118/ n вольт, для необратимого 0,0118/ an вольт.

Значения функций $\eta_0 = 0,255$ и $\eta_H = 0,282$ в точке пика согласуются с результатами, полученными ранее Рендлсом [2] и Делахеем [3]. Однако настоящее вычисление предпринято с целью получить значения этих функций за пиком, на достаточном удалении от него. Из рис. 1 видно, что начиная с $\bar{n} = 21$ обе функции чрезвычайно близки

друг к другу. Точка $\bar{n} = 21$ находится на расстоянии от пика в $0,0543/n$ вольт для обратимого и $0,0543/\alpha n$ вольт — для необратимого процессов. Учитывая возможные минимальные значения $n = 1$ и $\alpha = 0,25$, можно теоретически гарантировать совпадение токов для процессов различной степени обратимости на расстоянии от пика, большем $0,2$ В. В отдельных случаях это расстояние меньше. Пользуясь какими-либо двумя значениями из рис. 1 (например при $\bar{n} = 25$ и $\bar{n} = 30$), по формулам:

$$\bar{n}_0 = \frac{\eta_1^2 \bar{n}_1 - \eta_2^2 \bar{n}_2}{\eta_1^2 - \eta_2^2}, \quad a_0 = \eta_1 (\bar{n}_1 - \bar{n}_0) \quad (6)$$

можно определить искомые коэффициенты для каждой из функций η_0 и η_H :

$$\eta_0 = 0,4524 (\bar{n} - 15,94)^{-1/2}, \quad \eta_H = 0,4567 (\bar{n} - 15,53)^{-1/2} \quad (7)$$

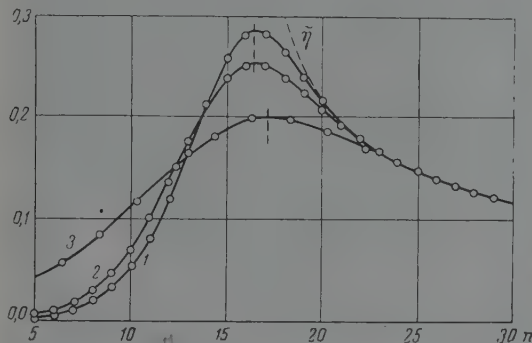


Рис. 1. Волны полярографического тока для: 1 — обратимой реакции; 2 — необратимой реакции при $\alpha = 1$ и 3 — при $\alpha = 0,5$ и нисходящая ветвь, вычисленная по формуле $\eta = 0,454 (\bar{n} - 15,7)^{-1/2}$

На рис. 1 даны значения среднего этих функций, $\tilde{\eta} = 0,454 (\bar{n} - 15,7)^{-1/2}$. Начальное значение потенциала удобно избрать потенциал пика E_1 . Переход к старым переменным в (7) дает формулы нисходящей ветви для обратимой:

$$I_0 = nFsc_0 V \sqrt{\frac{D}{\pi}} \frac{0,964}{\sqrt{|E - E_1| + \frac{0,0056}{n} \left(\frac{T}{T_0} \right)}} \quad (8)$$

обратимой:

$$I_H = nFsc_0 V \sqrt{\frac{D}{\pi}} \frac{0,974}{\sqrt{|E - E_1| + \frac{0,0104}{\alpha n} \left(\frac{T}{T_0} \right)}} \quad (9)$$

ций. Если тип волны и число электронов неизвестны, то при $|E - E_1| > 0,2$ вольт можно пользоваться формулой:

$$I = nFsc_0 V \sqrt{\frac{D}{\pi}} \frac{0,970}{\sqrt{|E - E_1| + 0,013}}, \quad (10)$$

получаемой усреднением двух предыдущих при значениях $n = 1$, $\alpha = 0,5$; $T = T_0$. Данные значения n и T не связывают применения формулы (10), так как при $|E - E_1| > 2$ В токи различных процессов с достаточной точностью совпадают. Ошибки в (8) — (10) в практической области потенциалов не превосходят 1%. При значительном возрастании потенциала ошибка остается в пределах 3,6%, что связано с сопоставлением числителей в формулах (1) и (8).

Независимость полярографического тока от типа процесса при $|E - E_1| > 2$ удобна для аналитических определений. Уравнение (10) дает следующие значения тока на расстояниях 0,20; 0,27; 0,30 V от максимума:

$$\begin{aligned} I_{0,20} &= 1,143 \cdot 10^5 \text{ nsc}_0 \sqrt{D} \sqrt{v}, \\ I_{0,27} &= 1,000 \cdot 10^5 \text{ nsc}_0 \sqrt{D} \sqrt{v}, \\ I_{0,30} &= 0,942 \cdot 10^5 \text{ nsc}_0 \sqrt{D} \sqrt{v}. \end{aligned} \quad (1)$$

Соотношения (11) могут быть использованы и для вычисления коэффициентов диффузии.

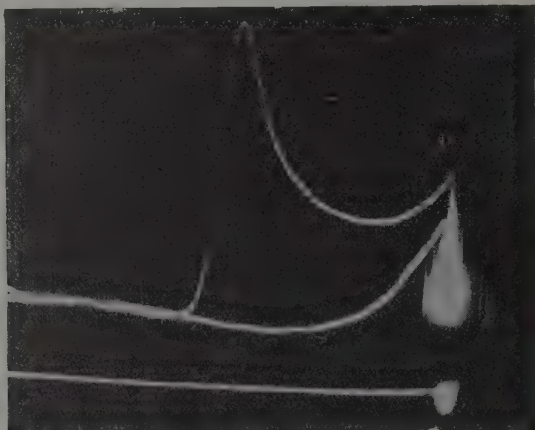


Рис. 2. Экспериментально полученная осциллограмма $2,38 \cdot 10^{-4} M \text{ Cd}^{2+}$ в $1N \text{ HCl}$, $v = 3,4 \text{ V/сек.}$

Сопоставление тока в максимуме полярографической волны с током на падающей ветви дает полезные соотношения для определения типа волны и расчета α и n . Для обратимой реакции:

$$\frac{I_{\text{макс}}^0}{I_0(E)} = 5,18 \sqrt{n} \sqrt{|E - E_1| + \frac{0,0056}{n} \left(\frac{T}{T_0} \right)}; \quad (2)$$

для необратимой реакции:

$$\frac{I_{\text{макс}}^H}{I_H(E)} = 5,68 \sqrt{\alpha n} \sqrt{|E - E_1| + \frac{0,0104}{\alpha n} \left(\frac{T}{T_0} \right)}; \quad (3)$$

для расстояний $|E - E_1|$, равных 0,20 и 0,30 V:

$$\begin{aligned} \frac{I_{\text{макс}}^0}{I_{0,20}} &= 2,39 \sqrt{n}; & \frac{I_{\text{макс}}^0}{I_{0,30}} &= 2,90 \sqrt{n}; \\ \frac{I_{\text{макс}}^H}{I_{0,20}} &= 2,62 \sqrt{\alpha n}; & \frac{I_{\text{макс}}^H}{I_{0,30}} &= 3,18 \sqrt{\alpha n}. \end{aligned}$$

Величины c_0 , D , s , v в этих формулах не участвуют.

При одновременном восстановлении нескольких веществ, при ступенчатом и становлении одного вещества и в ряде других случаев необходимо выделить из суммарных токов, получающейся на осциллограмме, отдельные слагаемые. Формулы (8)–(10) позволяют продолжить первую волну в область потенциалов последующих волн. А

гично может быть продолжена вторая волна и т. д. Продолжение первой волны на некотором потенциале E составит

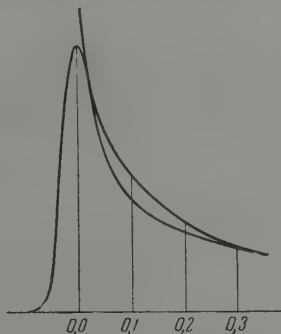
$$I(E) = 5,444 \cdot 10^4 s c_0 \sqrt{v} \sqrt{D} \frac{h_1 n_1}{\sqrt{|E - E_1| + E_{r1}}} \quad (15)$$

Продолжение двух первых волн:

$$I(E) = 5,444 \cdot 10^4 s c_0 \sqrt{v} \left[\frac{\sqrt{D_1} h_1 n_1}{\sqrt{|E - E_1| + E_{r1}}} + \frac{\sqrt{D_2} h_2 n_2}{\sqrt{|E - E_2| + E_{r2}}} \right] \quad (16)$$

коэффициенты h_i и E_{ri} выбираются в зависимости от типа предшествующих волн обратимая: $h_i = 0,964$, $E_{ri} = (0,0056/n_i)(T/T_0)$; необратимая: $h_i = 0,974$, $E_{ri} =$

Рис. 3. Ток восстановления Cd^{2+} и теоретически вычисленная нисходящая ветвь. Расхождения при $|E \text{ и } E_1| < 0,3 \text{ В}$ вызваны, вероятно, большой скоростью изменения потенциала



$(0,104/\alpha_i n_i)(T/T_0)$; тип волны неизвестен: $h_i = 0,970$, $E_{ri} = 0,013$; значения потенциала даны в вольтах. В случае ступенчатой реакции все коэффициенты диффузии должны быть заменены на D_1 [4].

Уравнение нисходящей ветви экспериментально проверено при восстановлении $38 \cdot 10^{-4} \text{ М Cd}^{2+}$ в 1 N HCl на капельном ртутном электроде.

На осциллограмме (рис. 2) получены общий ток и ток фона (снизу). Разность (рис. 3) представляет собой ток восстановления Cd^{2+} . Там же нанесена теоретическая кривая нисходящей ветви, рассчитанная по уравнению (8). Начало отсчета на оси абсцисс — потенциал пика.

Академия наук СССР
Институт геохимии и аналитической химии
им. В. И. Вернадского

Поступила
15.I.1960

ЛИТЕРАТУРА

- Я. П. Гохштейн, А. Я. Гохштейн, Докл. АН СССР, 128, 985, 1959.
J. Randles, Trans. Faraday Soc., 44, 327, 1948.
P. Delahay, J. Amer. Chem. Soc., 75, 1190, 1953.

СОДЕРЖАНИЕ

Е. П. Бабин, В. Г. Плюсин, М. И. Насакина и Н. М. Роди- гин. Закономерности замещения атомов водорода в бензольном ядре ал- кильными группами. X	13
Е. И. Грибова, С. А. Каменецкая, А. В. Панкратов, А. Я. Апин и С. Я. Пшежецкий. Критический диаметр и ско- рость детонации жидких растворов озона.	13
Е. М. Рыжков и А. М. Сухотин. Электрохимическое исследование растворов HCl в растворителях с невысокой диэлектрической проницае- мостью. II	14
А. В. Сторонкин и А. И. Русанов. Термодинамическая теория критических явлений в трехкомпонентных системах. V	14
Ф. Г. Эльдаров. Теплопроводность неводных растворов солей. II	14
И. Р. Кричевский и Г. А. Сори́на. Фазовые равновесия жидкость — газ в системах циклогексан — двуокись углерода и циклогексан — закись азота	14
Ан. Н. Несмеянов, Н. Э. Хандомирова, В. Д. Виленский, Е. А. Бирин и Е. А. Борисов. О влиянии окисных пленок на ско- рость испарения	14
М. А. Лошкарев и Е. И. Дубяго. Кинетика катодного выделения висмута. I	14
Н. И. Кобозев. О механизме катализа. III	14
Л. А. Нисельсон. О классификации процессов разделения	14
Л. А. Ларин и З. А. Иофа. Исследование механизма усиленной кор- розии железа у трехфазной границы	14
М. И. Шапаронов. К теории растворов. X	14
А. Д. Степухович и Ю. П. Наумов. Кинетика и механизм крекинга парафиновых углеводородов	14
В. Н. Еременко. Термодинамические свойства компонентов в жидких растворах системы алюминий — цинк	14
В. П. Скрипов и В. М. Костин. Теплоемкость расслаивающихся рас- творов триэтиламина в легкой и тяжелой воде.	150
И. А. Багодкая, Л. Д. Ковба и А. И. Оше. Исследование влия- ния диффундирующего атомарного водорода на кинетику электрохимиче- ского выделения его	150
Х. С. Багдасарьян. К вопросу об относительной реакционности радика- лов	151
Б. В. Страхов, В. П. Егоров, В. П. Лебедев и Н. И. Кобозев. Физико-химия концентрированного озона. IX	152
И. М. Колесников. Вывод уравнения кинетики реакции гидрирования бензола водородом в присутствии палладиевых катализаторов.	152
Б. Ф. Марков и Н. Х. Туманова. Исследование превращения гид- ратных форм солей в растворе методом электропроводности	153
Н. А. Измайлов и Т. В. Можарова. Термодинамические свойства электролитов в неводных растворах. X	154
Н. В. Мохов и П. В. Кирш. Рентгенографическое исследование измене- ний размеров флуктуаций концентрации в системе сероуглерод — метило- вый спирт в зависимости от температуры	155
Н. Л. Ярым-Агаев. Термодинамические свойства смесей расплавлен- ных солей. I	155
И. П. Гнусин. Теория моделирования электрических полей в электроли- тах	156
Н. С. Ениколопан и И. М. Бельговский. О каталитическом окис- лении метана и метилового спирта	157
З. С. Друман. Физико-химический анализ систем, образованных спирт- ами с органическими кислотами. III	158
П. В. Гельд и А. К. Красовская. Механизм сульфидной коррозии железа. I	158
А. Ю. Намиот. О растворимости газов в воде под давлением	159
О. К. Скарре, М. О. Терешкевич и Т. С. Шелехова. Изу- чение влияния природы катиона на подвижность атомов кислорода в анионе в водных растворах. I	159
М. М. Кусаков и Д. Н. Некрасов. Капиллярный гистерезис при подъеме жидкости в капиллярах переменного сечения	160

А. Дьяков и Т. И. Костоусова. Исследование зависимости перенапряжения водорода на алюминии от состояния его поверхности и концентрации кислоты	1610
К. Рудра и Н. В. Гудович. Изучение катодной поляризации в свинцовых пирофосфатных растворах	1616
В. Обухов-Денисов, Т. А. Сидоров, Ф. З. Файзулов и В. П. Черемисинов. Колебательный спектр стеклообразного фтористого бериллия	1622
М. Шкодин. Кислотно-основные равновесия в безводной уксусной кислоте. II	1625

Методы и техника физико-химического исследования

П. Детков. К прямому методу определения давления пара	1634
П. Белянчиков, Ю. В. Плесков и В. Г. Поминов. Установка с вращающимся дисковым электродом	1638

Дискуссия

В. Сторонкин. По поводу статьи Д. С. Коржинского «Экстремальные состояния в системах с вполне подвижными компонентами»	1643
С. Коржинский. Дополнительные замечания об экстремальных состояниях (ответ А. В. Сторонкину)	1645

Письма в редакцию

Х. Карапетьянц и Янь Го-сень. О приближенном расчете свойств веществ, отличающихся по изотопному составу	1647
К. Семенченко. О физической природе фазовых переходов II рода.	1649
Г. Энтелис, В. Я. Шляпнито, О. Н. Карпухин и О. В. Нестеров. Хемилюминесценция в реакциях хлорангидридов кислот с аминами и кетонами	1651
А. Исирикян. Автопрессование сажи и кажущийся сорбционный гистерезис	1652
П. Гохштейн и А. Я. Гохштейн. Осциллографическая полярография. Уравнение нисходящей ветви полярографической волны и его приложения	1654

CONTENTS

P. Babin, V. G. Plusnin, M. I. Nasakin and N. M. Rodichin. Correlations in the Substitution of Benzene Hydrogen by Alkyl Groups. X	1389
I. Gribova, S. A. Kamenetskaya, A. V. Pankratov, A. Ya. Apin, S. Ya. Pshezhetskii. The Critical Diameter and the Explosion Rate of Liquid Ozone Solutions	1395
M. Ryzhkov, A. M. Sukhotin. Electrochemical Investigation of HCl Solutions in Solvents with Low Dielectric Constant Values. II	1402
V. Storonkin, A. I. Rusanov. Thermodynamic Theory of Critical Phenomena in Three-Component Systems. V	1407
G. Eldarov. Thermal Conductivity of Non-Aqueous Salt Solutions. II	1414
R. Krichevskii, G. A. Sorina. Gas-Liquid Phase Equilibria in the Systems Cyclohexane-Carbon Dioxide and Cyclohexane-Nitrous Oxide.	1420
N. Nesmeyanov, N. E. Khanomirova, V. D. Vilenskii, E. A. Birin, E. A. Borisov. Effect of Oxide Films on the Rate of Vaporization	1425
A. Loshkarev, E. I. Debyago. Kinetics of the Cathodic Deposition of Bismuth. I	1430
I. Kobozev. On the Mechanism of Catalysis. III	1443
A. Nisel'son. Classification of Separation Processes	1460
A. Larin, Z. A. Iofa. Investigation of the Mechanism of Enhanced Corrosion at the Three Phase Boundary	1470
I. Shakhparonov. On the Theory of Solutions. X	1478
D. Stepukhovich, Yu. P. Naumov. The Influence of the Heterogeneity. Factor on the Kinetics and Mechanism of Cracking of Ethane and Propane	1488

V. N. Eremenko. The Thermodynamic Properties of the Components of Liquid Metallic Solutions of the System Aluminum — Zinc	1495
V. P. Skripov and V. M. Kostin. The Heat Capacity of Separating-out Triethylamine Solutions in Light and Heavy Water	1503
I. A. Bagotskaya, L. D. Kovba and A. I. Oshe. Investigation of the Effect of Diffusing Atomic Hydrogen on the Kinetics of Its Electrochemical Evolution. I	1508
Kh. S. Bagdasaryan. On the Relative Reactivity of Radicals	1517
B. V. Strakhov, V. P. Egorov, V. P. Lebedev, N. I. Kobozev. The Physical Chemistry of Concentrated Ozone. IX	1524
I. M. Kolesnikov. Derivation of an Equation for the Kinetics of Hydrogenation of Benzene by Hydrogen in the Presence of Palladium Catalysts	1528
B. F. Markov, N. Kh. Tumanova. Investigation of the Transformations of the Hydrate Forms of Salts in Solution with the Aid of the Electroconductivity Method	1534
N. A. Izmailov, T. V. Mozharova. The Effect of Non-Aqueous Solvents on the Strengths of Bases. I	1543
N. V. Mokhov, I. V. Kirsh. X-Ray Study of the Changes in the Magnitudes of Concentration Fluctuations in the System Carbon Disulfide—Methyl Alcohol with Respect to Temperature	1553
N. L. Yarym-Agaev. Thermodynamic Properties of Molten Salt Mixtures. I	1558
N. P. Gnusin. The Theory of Modeling Electrical Fields of Electrolytes	1563
N. S. Eikolopyan, I. M. Bel'govskii. Catalytic Oxidation of Methane and Methyl Alcohol	1577
Z. S. Drutman. The Physico-Chemical Analysis of Systems Formed by Alcohols and Organic Acids. III	1587
P. V. Gel'd, A. K. Krasnovskaya. Mechanism of the Sulfide Corrosion of Iron. I	1588
A. Yu. Namiot. Solubility in Water of Gases under Pressure	1597
O. K. Skarre, M. O. Tershkevich, T. S. Shelekhova. Investigation of the Effect of the Cation Species on the Lability of Oxygen Atoms in the Anion in Aqueous Solutions	1597
M. M. Kusakov, D. N. Nekrasov. Capillary Hysteresis in the Rise of Liquids in a Capillary of Varying Cross Section	1607
A. A. Dyakov, T. I. Kostousova. Investigation of the Dependence of Hydrogen Overvoltage on Aluminum upon the State of the Surface and Concentration of the Acid	1617
O. K. Kudra, N. V. Gudovich. A Study of the Cathodic Polarization in Lead Pyrophosphate Solutions	1617
V. V. Obukhov-Denisov, T. A. Sidorov, F. S. Faizullov, V. P. Cheremisinov. The Vibration Spectrum of Vitreous Beryllium Fluoride	1627
A. M. Shkodin. Acid — Base Equilibria in Anhydrous Acetic Acid	1627

Experimental Methods and Apparatus

S. P. Detkov. On the Direct Method of Vapor Pressure Determination	1637
M. P. Belyanchikov, Yu. V. Pleskov, V. G. Pominov. An Arrangement with a Rotating Disc Electrode	1637

Discussion

A. B. Storonkin. On the Paper by D. S. Korzhinskii «Extremal States in Systems with Completely Mobile Components»	167
D. S. Korzhinskii. Further Remarks on Extremal States	167

Letters to the Editor

M. Kh. Karapetyants and Yan Ho-sen. On the Approximate Calculation of the Properties of Substances Differing in Their Isotopic Composition.	167
V. K. Semenchenko. On the Physical Nature of Second Order Phase Transitions	167
S. G. Entekis, V. Ya. Shlyapinton, O. N. Karpukhin, O. V. Nesterov. Chemiluminescence in Reactions between Acyl Chlorides and Amines and Ketones	167
A. A. Isirikyan. Self-Compression of Carbon Black and Apparent Sorption Hysteresis	167
Ya. P. Gokhshtein, A. Ya. Gokhshtein. Oscillographic Polarography. The Equation for the Descending Branch of the Polarographic Wave and Its Approximation.	167

Технический редактор *Н. А. Колгурина*

Т-06573	Подписано к печати 20/VII—1960 г.	Печ. л. 23,29	Уч.-изд. л. 25,2
Формат бумаги $70 \times 108^{1/16}$	Бум. л. $8^{1/2}$	Зак. / 601	Тираж 3575 экз.

2-я типография Издательства Академии наук СССР. Москва, Шубинский пер., 10

ОРДЕНА ТРУДОВОГО КРАСНОГО ЗНАМЕНИ
НАУЧНО-ИССЛЕДОВАТЕЛЬСКИЙ ФИЗИКО-ХИМИЧЕСКИЙ
ИНСТИТУТ им. Л. Я. КАРНОВА
ГОСУДАРСТВЕННОГО КОМИТЕТА СОВЕТА МИНИСТРОВ
СССР ПО ХИМИИ

ОБЪЯВЛЯЕТ

прием в аспирантуру института на 1960 год с отрывом и без отрыва от производства по следующим специальностям:

**ВЫСОКОМОЛЕКУЛЯРНЫЕ СОЕДИНЕНИЯ;
ХИМИЧЕСКАЯ КИНЕТИКА И КАТАЛИЗ;
РАДИАЦИОННАЯ ХИМИЯ;
ЭЛЕКТРОХИМИЯ;
РАЗДЕЛЕНИЕ СМЕСЕЙ;
АЭРОЗОЛИ**

Все поступающие в аспирантуру подвергаются приемным испытаниям:

по курсу истории КПСС,
по курсу физической химии,
по одному из иностранных языков (немецкому или английскому). Экзамены будут проводиться в июне и октябре 1960 года.

Для лиц, поступающих в аспирантуру, институт организует консультации по истории КПСС, физической химии и по иностранным языкам.

Зачисленные в аспирантуру обеспечиваются стипендией. Для особо отличившихся аспирантов в институте установлены стипендии имени академика А. Н. Баха. Общежития институт не предоставляет.

Заявления принимаются по 25 сентября 1960 г. по адресу:
Москва, Б-120, ул. Обука, 10.

Справки лично и по тел. К 7-99-17.

